

S.S.51 "ALEMAGNA"
VARIANTE DI LONGARONE

PROGETTO FATTIBILITA' TECNICA ED ECONOMICA

COD. VE407

PROGETTAZIONE: ATI VIA - SERING - VDP - BRENG

RESPONSABILE DELL'INTEGRAZIONE DELLE PRESTAZIONI SPECIALISTICHE e PRGETTISTA:

Dott. Ing. Massim Capasso (Ord. Ing. Prov. Roma A26031)

PROGETTISTA:

Responsabile Tracciato stradale: *Dott. Ing. Massimo Capasso (Ord. Ing. Prov. Roma 26031)*

Responsabile Strutture: *Dott. Ing. Giovanni Piazza (Ord. Ing. Prov. Roma 27296)*

Responsabile Idraulica, Geotecnica e Impianti: *Dott. Ing. Sergio Di Maio (Ord. Ing. Prov. Palermo 2872)*

Responsabile Ambiente: *Dott. Ing. Francesco Ventura (Ord. Ing. Prov. Roma 14660)*

GRUPPO DI PROGETTAZIONE

MANDATARIA:

MANDANTI:



GEOLOGO:

Dott. Geol. Enrico Curcuruto (Ord. Geo. Regione Sicilia 966)

COORDINATORE SICUREZZA IN FASE DI PROGETTAZIONE:

Dott. Ing. Matteo Di Girolamo (Ord. Ing. Prov. Roma A15138)

COORDINATORE ATTIVITA' DI PROGETTAZIONE:

Dott. Ing. MariaAntonietta Merendino (Ord. Ing. Prov. Roma A28481)

ATTRAVERSAMENTI IDRAULICI E SITEMAZIONI IDRAULICHE

Relazione tecnica e di calcolo


CODICE PROGETTO		NOME FILE		REVISIONE	SCALA:
PROGETTO	LIV. PROG. ANNO	VE407_P00TM00STRRE01_B			
DPVE0407	D 21	CODICE ELAB.	P00TM00STRRE01	B	-
D					
C					
B					
A	EMISSIONE	MAGGIO 2022	G. FALASCHI	M. CUCCARO	M.CAPASSO
REV.	DESCRIZIONE	DATA	REDATTO	VERIFICATO	APPROVATO

INDICE

Sommario

1.	DESCRIZIONE GENERALE DELL'OPERA	3
2.	NORMATIVE DI RIFERIMENTO	4
3.	DURABILITÀ E PRESCRIZIONI SUI MATERIALI.....	5
4.	MATERIALI IMPIEGATI E RELATIVE CARATTERISTICHE.....	7
5.	CARATTERISTICHE GEOTECNICHE DEI TERRENI	8
6.	CARATTERIZZAZIONE SISMICA DEL SITO.....	11
7.	CRITERI DI CALCOLO.....	13
	7.1 Calcolo del carico sulla calotta.....	13
	7.2 Spinta sui piedritti.....	14
	7.3 Verifica al carico limite.....	16
8.	AZIONI SULLA STRUTTURA.....	20
	8.1 Peso proprio della struttura.....	20
	8.2 Peso proprio del terreno.....	20
	8.3 Spinte indotte dal terreno	21
	8.4 Spinte idrostatica e idrodinamica	23
	8.5 Carichi permanenti non strutturali (pavimentazione stradale).....	24
	8.6 Pressione dell'acqua (e del materiale trascinato) all'interno del tombino	25
	8.7 Carichi variabili da traffico	26
	8.8 Azione sismica.....	32
9.	MODALITA' DI CALCOLO	35
10.	CALCOLO SEZIONE SCATOLARE 2,00 X 2,00.....	36
	10.1. Geometria scatolare	36
	10.2. Caratteristiche strati terreno	36
	10.3. Sintesi dei risultati.....	42
11.	CALCOLO SEZIONE SCATOLARE 2,50 X 2,50.....	50
	11.1. Geometria scatolare	50
	11.2. Caratteristiche strati terreno	50

11.3. Sintesi dei risultati.....	56
12. CALCOLO SEZIONE SCATOLARE 5,00 X 3,00	64
12.1. Geometria scatolare	64
12.2. Caratteristiche strati terreno	64
12.3. Sintesi dei risultati.....	71

S.S.51"Alemagna" Variante di Longarone		
VE 407	<i>POOTM00STRRE01_B Tombini - Relazione tecnica e di calcolo</i>	

1. DESCRIZIONE GENERALE DELL'OPERA

La presente relazione è relativa agli attraversamenti idraulici previsti nell'ambito della progettazione di fattibilità tecnica ed economica della S.S.51"Alemagna"- Variante di Longarone, nella quale sono previsti in tutto n. 9 attraversamenti idraulici della nuova viabilità da parte del reticolo idraulico esistente.

In particolare si riporta il dimensionamento dei seguenti tombini scatoari tipologici (luci interne):

- Tombino idraulico scatolare 2,00 m x 2,00m
- Tombino idraulico scatolare 2,50 m x 2,50m
- Tombino idraulico scatolare 5,00 m x 3,00m

Il progetto, inoltre, prevede degli attraversamenti idraulici realizzati mediante impiego di elementi circolari in c.a. prefabbricati con diametro nominale DN 1500.

Nel seguito del presente documento, verranno riportati i criteri di dimensionamento e verifica delle strutture scatoari sopraelencate, diversificati per tipologia.

I carichi agenti sono stati valutati in accordo con quanto previsto dalle vigenti normative; in particolare le azioni sono quelle tipiche di una struttura interrata. Sono stati considerati inoltre i carichi indotti dal traffico stradale (con applicazione, tra le altre, delle specifiche previste dal cap. 5 -Ponti stradali- del D.M. Min. II. TT. del 17 gennaio 2018, Norme tecniche per le costruzioni), e quelli indotti dal liquido (acqua + detriti) che scorre all'interno dell'opera.

L'opera, inoltre, ricade in zona sismica, pertanto saranno applicate le azioni previste dalla normativa, così come riportato nei capitoli successivi.

2. NORMATIVE DI RIFERIMENTO

Le Normative di riferimento utilizzate sono:

1. Decreto Ministeriale 17.01.2018 “Nuove norme tecniche per le costruzioni”
2. Circolare 21.01.2019 n° 7/C.S.LL.PP. “Istruzioni per l’applicazione delle Nuove norme tecniche per le costruzioni” di cui al Decreto Ministeriale 17 gennaio 2018.
3. EN 1992-1-1: 2005 “Eurocodice 2: Progettazione delle strutture di calcestruzzo, Parte 1-1: Regole generali e regole per gli edifici”;
4. EN 1997-1: 2005 “Eurocodice 7: Progettazione geotecnica, Parte 1: Regole generali”;
5. EN 1998-1: 2005 “Eurocodice 8: Progettazione delle strutture per la resistenza sismica, Parte 1: Regole generali, azioni sismiche e regole per gli edifici”;
6. EN 1998-5: 2005 “Eurocodice 8: Progettazione delle strutture per la resistenza sismica, Parte 5: Fondazioni, strutture di contenimento ed aspetti geotecnici”;
7. Legge 5 novembre 1971 n°1086 – “Norme per la disciplina delle opere in conglomerato cementizio armato normale e precompresso ed a struttura metallica”;
8. Norma UNI 11.104 (prospetto 1, tipologia di calcestruzzo associato all’opera da realizzare)
9. Norma UNI 11.104 (prospetto 4, classe di esposizione del calcestruzzo)
10. norma UNI EN 206-1
11. D.M. 11.03.1988 e s.m. – “Norme tecniche riguardanti le indagini sui terreni e sulle rocce, la stabilità dei pendii naturali e delle scarpate, i criteri generali e le prescrizioni per la progettazione, l’esecuzione ed il collaudo delle opere di sostegno delle terre e delle opere di fondazione”;
12. D.M. 5 novembre 2001 – Norme funzionali e geometriche per la costruzione delle strade;
13. D.M. 22 aprile 2004 – Modifica del decreto 5 novembre 2001, n. 6792, recante “Norme funzionali e geometriche per la costruzione delle strade”;
14. Bollettino CNR n. 150 – Norme sull’arredo funzionale delle strade urbane.

3. DURABILITÀ E PRESCRIZIONI SUI MATERIALI

Per garantire la durabilità delle strutture in calcestruzzo armato ordinario, esposte all'azione dell'ambiente, si devono adottare dei provvedimenti atti a limitare gli effetti di degrado indotti dall'attacco chimico e fisico, oltre che quelli derivanti dalla corrosione delle armature e dai cicli di gelo e disgelo. Per ottenere la prestazione richiesta in funzione delle condizioni ambientali e per definire la relativa classe, si fa riferimento alle indicazioni contenute nelle Linee Guida sul calcestruzzo strutturale edite dal Servizio Tecnico Centrale del Consiglio Superiore dei Lavori Pubblici ovvero alle norme UNI EN 206-1 ed UNI 11104.


Ai fini di preservare le armature dai fenomeni di aggressione ambientale, dovrà essere previsto un idoneo copriferro il cui valore, misurato tra la parete interna del cassero e la generatrice dell'armatura metallica più vicina, individua il cosiddetto "copriferro nominale". Il copriferro nominale c_{nom} è somma di due contributi, il copriferro minimo c_{min} e la tolleranza di posizionamento h . Vale pertanto: $c_{nom} = c_{min} + h$.

La tolleranza di posizionamento delle armature "h", per le strutture gettate in opera, può essere assunta pari a 5 mm, nell'ipotesi in cui sia previsto controllo di qualità con misura dei copriferri. In accordo con le specifiche dei materiali da utilizzarsi per l'opera in oggetto, si utilizzano i seguenti tipi di calcestruzzo e i seguenti valori minimi del copriferro. Quest'ultimo è valutato in accordo a quanto prescritto nella Norma UNI EN 1992-1-1, mentre la classe di resistenza minima è definita in accordo alla Norma UNI 11104.

In base a quanto definito nelle norme suddette, e in accordo con quanto previsto nelle tabelle 4.1.III e 4.1.IV del D.M. 17 Gennaio 2018 e tabb. C4.1.II, C4.1.III e C4.1.IV della circ. applicativa n. 7 del 21/1/2019, si definiscono le condizioni ambientali ed i relativi limiti di apertura delle fessure accettabili per ciascun elemento strutturale.

In particolare, per il progetto in questione viene prevista una classe di esposizione per il calcestruzzo pari a XA2, in ragione delle concentrazioni di solfati emersi dalle indagini. Ne derivano una condizione ambientale di tipo aggressivo (vedi tab. 4.1.III NTC 2018) e i criteri di scelta dello stato limite di fessurazione (tab. 4.1.IV NTC 2018).

In base a tali limiti fissati dal progetto, dalla normativa e dalle prescrizioni ANAS, viene scelta la classe di resistenza del cls C32/40. Il copriferro minimo resta quindi definito (tab. 4.1.IV NTC

S.S.51"Alemagna" Variante di Longarone		 Anas <small>GRUPPO FS ITALIANE</small>
VE 407	<i>P00TM00STRRE01_B Tombini - Relazione tecnica e di calcolo</i>	

2018) in 35 mm, cui vanno aggiunti altri 10 mm in quanto l'opera prevista ha una vita nominale di 100 anni. A questo valore vanno aggiunti infine ulteriori 5 mm relativi alla tolleranza di posizionamento come detto prima.

Ne deriva dunque un copriferro pari a 50 mm.

4. MATERIALI IMPIEGATI E RELATIVE CARATTERISTICHE

Le caratteristiche dei materiali impiegati per la realizzazione degli attraversamenti idraulici scatolari sono di seguito riportati:

❖ Calcestruzzo per opere in c.a.:

- Classe di resistenza: C32/40.
- Classe di esposizione: XA2.
- Dimensione nominale massima degli aggregati (Fondazione): D_{upper} 32 mm, D_{lower} 20 mm.
- Dimensione nominale massima degli aggregati (Elevazione): D_{upper} 25 mm, D_{lower} 16 mm.
- Classe di consistenza: S4.
- Rapporto a/c: 0,50.
- Contenuto minimo di cemento: 340 kg/m^3
- Modulo elastico cls: $E_c = 338021,17 \text{ kg/cm}^2$.
- Coefficiente di omogeneizzazione cls teso/compresso: $n'=0,50$
- Coeff. omogeneizzazione acciaio/cls: $n=15$,

❖ Acciaio ordinario per calcestruzzo armato:

- Acciaio per calcestruzzo armato: B450C.
- Tensione caratteristica di snervamento: $f_{yk} = 450 \text{ N/mm}^2$
- Tensione caratteristica a carico massimo: $f_{tk} = 540 \text{ N/mm}^2$

5. CARATTERISTICHE GEOTECNICHE DEI TERRENI

I tombini in progetto risultano inglobati nel corpo del rilevato stradale, motivo per il quale sia il terreno di ricoprimento sia quello di rinfiango saranno costituiti dallo stesso materiale del rilevato. Laddove il ricoprimento H del tombino fosse inferiore a 2,50 m, si prevede invece per il rinfiango l'utilizzo di misto cementato e misto stabilizzato di opportune caratteristiche, per avere maggiori cautele contro eventuali cedimenti o concentrazioni di sollecitazioni indotte dal traffico stradale a distanza ridotta dal piano stradale.

Tuttavia, poichè le caratteristiche del misto stabilizzato/misto cementato sono migliori rispetto al materiale di costruzione del rilevato, e poichè i vari tombini presenti lungo il tracciato si trovano nelle due condizioni di rinfiango/ricoprimento di cui sopra ($H < 2,5$; $H > 2,50$ m), verrà impostato il calcolo prevedendo le condizioni più sfavorevoli, ovvero nel caso in cui il tombino sia totalmente inglobato nel rilevato stradale.

Per quanto riguarda invece il piano di posa delle fondazioni degli scatolari, si prevede una bonifica del terreno naturale in sito, di scarse caratteristiche meccaniche, predisponendo come terreno di posa delle fondazioni lo stesso materiale di cui è costituito il rilevato medesimo.

Per la definizione degli spessori di scotico e bonifica si faccia riferimento alle tabelle riportate nella relazione geotecnica e nella relazione geologica.

Le sezioni esaminate sono state progettate facendo riferimento alle seguenti caratteristiche fisico-meccaniche. Per un maggiore approfondimento dei parametri considerati a base del calcolo si rimanda alla relazione geotecnica generale:

➤ Terreno di ricoprimento

- $\gamma = 1900 \text{ kg/cm}^2$ Peso dell'unità di volume del terreno
- $\gamma_{\text{sat}} = 2000 \text{ kg/cm}^2$ Peso saturo dell'unità di volume del terreno
- $\phi = 35^\circ$ Angolo di attrito del terreno
- $C = 0 \text{ kg/cm}^2$ Coesione del terreno

➤ Terreno di rinfiango

- $\gamma = 1900 \text{ kg/cm}^2$ Peso dell'unità di volume del terreno

- $\gamma_{\text{sat}} = 2000 \text{ kg/cm}^2$ Peso saturo dell'unità di volume del terreno
- $\phi = 35^\circ$ Angolo di attrito del terreno
- $\delta = 23^\circ$ Angolo di attrito terreno-struttura, secondo Rowe-Peaker
- $C = 0 \text{ kg/cm}^2$ Coesione del terreno

➤ Terreno di fondazione

- $\gamma = 2000 \text{ kg/cm}^2$ Peso dell'unità di volume del terreno
- $\gamma_{\text{sat}} = 2100 \text{ kg/cm}^2$ Peso saturo dell'unità di volume del terreno
- $\phi = 36^\circ$ Angolo di attrito del terreno
- $\delta = 24^\circ$ Angolo di attrito terreno-struttura, secondo Rowe-Peaker
- $C = 5 \text{ kg/cm}^2$ Coesione del terreno

Il costipamento, eseguito come previsto nel capitolato Anas, conferisce al terreno una certa – seppur minima – coesione. Per tale motivo è stato considerato un valore della coesione pari a 10 kPa (0,10 kg/cm²).


Considerando la tipologia di fondazione dello scatolare, viene scelta la trattazione generale di Vesic per la determinazione della costante di Winkler verticale (K_v). Secondo Vesic, il modulo di reazione verticale del terreno risulta:

$$k_v = (1/B) * E_{ed} / (1 - \nu^2)$$

dove:

- B è la larghezza della fondazione
- E_{ed} è il modulo edometrico del terreno
- ν è il coefficiente di Poisson del terreno

Per quanto riguarda, invece, il valore della costante di Winkler orizzontale (K_h), viene fatto riferimento alla trattazione di *Bowles*, secondo cui –in assenza di specifiche prove– si può determinare il valore del modulo di reazione orizzontale del terreno a partire da quello verticale, secondo la relazione:

S.S.51"Alemagna" Variante di Longarone		 GRUPPO FS ITALIANE
VE 407	<i>P00TM00STRRE01_B Tombini - Relazione tecnica e di calcolo</i>	

$$K_h = 2 * K_v.$$

Secondo la trattazione geotecnica consueta, e in assenza di specifiche situazioni, viene anche fissata l'Adesione terreno-struttura (A) pari a 0,5*C.

6. CARATTERIZZAZIONE SISMICA DEL SITO

Identificazione del sito

Latitudine	46,2665915
Longitudine	12,2999618
Comune	Longarone
Provincia	Belluno
Regione	Veneto
Punti di interpolazione del reticolo	8975 - 8974 - 9196 - 9197

Tipo di opera

Tipo di costruzione	Opera di importanza strategica
Vita nominale	100 anni
Classe d'uso	IV - Opere strategiche molto pericolose
Vita di riferimento	200 anni


Combinazioni SLU

Accelerazione al suolo $a_g =$	3.42 [m/s ²]
Coefficiente di amplificazione per tipo di sottosuolo (S)	1.06
Coefficiente di amplificazione topografica (St)	1.00
Coefficiente riduzione (β_m)	1.00
Rapporto intensità sismica verticale/orizzontale	0.50
Coefficiente di intensità sismica orizzontale (percento)	$k_h = (a_g/g * \beta_m * St * S_s) = 36.92$
Coefficiente di intensità sismica verticale (percento)	$k_v = 0.50 * k_h = 18.46$

Combinazioni SLE

Accelerazione al suolo $a_g =$	1.35 [m/s ²]
Coefficiente di amplificazione per tipo di sottosuolo (S)	1.20
Coefficiente di amplificazione topografica (St)	1.00

Coefficiente riduzione (β_m)	1.00
Rapporto intensità sismica verticale/orizzontale	0.50
Coefficiente di intensità sismica orizzontale (percento)	$k_h=(a_g/g*\beta_m*St*S_s) = 16.5$
Coefficiente di intensità sismica verticale (percento)	$k_v=0.50 * k_h = 8.25$
Forma diagramma incremento sismico	Rettangolare
Spinta sismica	Wood
Angolo diffusione sovraccarico	30,00 [°]

S.S.51" Alemagna" Variante di Longarone		 anas GRUPPO FS ITALIANE
VE 407	P00TM00STRRE01_B <i>Tombini - Relazione tecnica e di calcolo</i>	

7. CRITERI DI CALCOLO

Per il progetto delle strutture, la determinazione delle azioni, delle sollecitazioni e la procedura di verifica, si è fatto riferimento alla normativa italiana vigente con particolare riguardo a:

- D.M. del 17/01/2018 - Norme tecniche per le costruzioni.
- Circolare 21 Gennaio 2019, n° 7 - Istruzioni per l'applicazione delle "Nuove norme tecniche per le costruzioni" di cui al D.M. 17 gennaio 2018.

Sono state inoltre state consultate le seguenti norme:

- UNI EN 206-1:2006 – "Calcestruzzo – Specificazione, prestazione, produzione e conformità".

In particolare, di seguito, si riportano i criteri di calcolo e le scelte progettuali poste a base della progettazione.

7.1 Calcolo del carico sulla calotta

Metodo di Terzaghi

Nei riguardi della forma del diagramma di carico, cioè della modalità di applicazione delle spinte del terreno, il metodo di Terzaghi considera che il carico sul traverso si manifesti come semplice peso di una massa parabolica o ellittica di distacco.

Più in dettaglio Terzaghi fornisce due espressioni differenti della pressione a seconda della maggiore o minore altezza del ricoprimento H_0 . Le due espressioni sono:

Per $H_0 \leq 5B_i$

$$p_v = \frac{\gamma B_1 - C}{K \tan \phi} [1 - e^{-A}]$$

nella quale K è un coefficiente sperimentale, che, secondo misure eseguite dallo stesso Autore è circa uguale ad 1 . Inoltre:

$$B_1 = \frac{b}{2} + h \tan \left(45^\circ - \frac{\phi}{2} \right)$$

In questa espressione b ed h sono la larghezza e l'altezza dello scatolare e ϕ è l'angolo d'attrito del terreno di rinfiaccio mentre il termine A è espresso dalla relazione:

$$A = K + \frac{H_0}{B_1} \tan \phi$$

Per grandi profondità, cioè per $H_0 > 5B_1$:

$$p_v = \frac{\gamma B_1 - C}{K \tan \phi} [1 - e^{-D}] + \gamma H_2 e^{-D}$$

Dove:

$$D = K \frac{H_1}{B_1} \tan \phi$$

essendo H_1 la distanza, misurata dal piano orizzontale sul quale agisce la pressione, alla quale si estende l'effetto volta e H_2 la residua distanza sino al piano campagna. La somma $H_1 + H_2$ è l'altezza del ricoprimento H_0 .

7.2 Spinta sui piedritti

Considerata la tipologia di opera (strutture interrato) viene trattata, in via cautelativa, una spinta a riposo in condizioni statiche.

Si assume che sui piedritti agisca la spinta calcolata in condizioni di riposo. Il coefficiente di spinta a riposo è espresso dalla relazione:

$$K_0 = 1 - \sin \phi$$

dove ϕ rappresenta l'angolo d'attrito interno del terreno di rinfianco.

Quindi la pressione laterale, ad una generica profondità z , e la spinta totale sulla parete di altezza H valgono:

$$\sigma = \gamma z K_0 + p_v K_0$$

$$S = 1/2 \gamma H_2 K_0 + p_v K_0 H$$

dove p_v è la pressione verticale agente in corrispondenza della calotta.

In condizioni sismiche, verrà invece considerata -per tener conto dell'incremento di spinta dovuta al sisma- la teoria di Wood.

Nel caso di strutture rigide completamente vincolate, in modo tale che non può svilupparsi nel terreno uno stato di spinta attiva, nonché nel caso di muri verticali con terrapieno a superficie orizzontale, l'incremento dinamico di spinta del terreno può essere calcolato come:

$$\Delta P_d = \alpha \gamma H_2$$

$$\alpha = a_g/g * S_S * \beta_m * S_T$$

H è l'altezza sulla quale agisce la spinta. Il punto di applicazione si considera a metà altezza.

7.3 Verifica al carico limite

Il rapporto fra il carico limite in fondazione e la componente normale della risultante dei carichi trasmessi dal muro sul terreno di fondazione deve essere superiore a η_q . Cioè, detto Q_u , il carico limite ed R la risultante verticale dei carichi in fondazione, deve essere:

$$\frac{Q_u}{R} \geq \eta_q$$

Le espressioni di Hansen per il calcolo della capacità portante si differenziano a secondo se siamo in presenza di un terreno puramente coesivo ($f=0$) o meno e si esprimono nel modo seguente:

Caso generale:

$$q_u = cN_c s_c d_c i_c g_c b_c + qN_q s_q d_q i_q g_q b_q + 0.5B\gamma N_\gamma s_\gamma d_\gamma i_\gamma g_\gamma b_\gamma$$

Caso di terreno puramente coesivo $\phi=0$:

$$q_u = 5.14c(1 + s_c + d_c - i_c - g_c - b_c) + q$$

in cui d_c, d_q, d_γ , sono i fattori di profondità; s_c, s_q, s_γ , sono i fattori di forma; i_c, i_q, i_γ , sono i fattori di inclinazione del carico; b_c, b_q, b_γ , sono i fattori di inclinazione del piano di posa; g_c, g_q, g_γ , sono i fattori che tengono conto del fatto che la fondazione poggia su un terreno in pendenza.

I fattori N_c, N_q, N_γ sono espressi come:

$$N_q = e^{\pi \tan \phi} K_p$$

$$N_c = (N_q - 1) \cot \phi$$

$$N_\gamma = 1.5(N_q - 1) \tan \phi$$

Vediamo ora come si esprimono i vari fattori che compaiono nella espressione del carico ultimo.

Fattori di forma

$$\text{Per } \phi=0 \quad s_c = 0.2 \frac{B}{L}$$

$$\text{Per } \phi>0 \quad s_c = 1 + \frac{N_q B}{N_c L}$$

$$s_c = 1 + \frac{B}{L} \tan \phi$$

$$s_c = 1 - 0.4 \frac{B}{L}$$

Fattori di profondità

Si definisce il parametro k come:

$$k = \frac{D}{B} \text{ se } \frac{D}{B} \leq 1$$

$$k = \arctan\left(\frac{D}{B}\right) \text{ se } \frac{D}{B} > 1$$

I vari coefficienti si esprimono come segue:

$$\text{Per } \phi=0 \quad d_c = 0.4k$$

$$\text{Per } \phi>0 \quad d_c = 1 + 0.4k$$

$$d_q = 1 + 2 \tan \phi (1 - \sin \phi)^2 k$$

$$d_\gamma = 1$$

Fattori di inclinazione del carico

Nel prosieguo si indicano con V e H le componenti del carico rispettivamente perpendicolare e parallela alla base, con A_f l'area efficace della fondazione ottenuta come $A_f = B' \times L'$ (dove B' e L' sono legate alle dimensioni effettive della fondazione B , L e all'eccentricità del carico e_B , e_L dalle relazioni $B' = B - 2e_B$; $L' = L - 2e_L$) e con h l'angolo di inclinazione della fondazione espresso in gradi ($h=0$ per fondazione orizzontale).

I fattori di inclinazione del carico si esprimono come:

$$\text{Per } \phi = 0 \quad i_c = 1/2 \left(1 - \sqrt{1 - \frac{H}{A_f c_a}} \right)$$

$$\text{Per } \phi > 0 \quad i_c = i_q - \frac{1-i_q}{N_q-1}$$

$$i_q = \left(1 - \frac{0.5H}{V+A_f c_a \tan \phi} \right)^5$$

$$\text{Per } \eta = 0 \quad i_\gamma = \left(1 - \frac{0.7H}{V+A_f c_a \tan \phi} \right)^5$$

$$\text{Per } \eta > 0 \quad i_\gamma = \left(1 - \frac{(0.7-h/450)H}{V+A_f c_a \tan \phi} \right)^5$$

Fattori di inclinazione del piano di posa della fondazione

$$\text{Per } \phi=0 \quad b_c = \frac{h}{147}$$

$$\text{Per } \phi>0 \quad b_c = 1 - \frac{h}{147}$$

$$b_q = e^{-2h \tan \phi}$$

$$b_\gamma = e^{-2.7h \tan \phi}$$

Fattori di inclinazione del terreno

Indicando con β la pendenza del pendio i fattori g si ottengono dalle espressioni seguenti:

$$\text{Per } \phi=0 \quad g_c = \frac{\beta}{147}$$

$$\text{Per } \phi>0 \quad g_c = 1 - \frac{\beta}{147}$$

$$g_q = g_\gamma = (1 - 0.05 \tan \beta)^5$$

Per poter applicare la formula di Hansen devono risultare verificate le seguenti condizioni:

- $H < Vtg\delta + A_f c_a$
- $\beta \leq \phi$
- $i_q, i_g > 0$
- $\beta + \eta \leq 90^\circ$

8. AZIONI SULLA STRUTTURA

Vengono considerate le seguenti azioni agenti sulla struttura scatolare:

- Peso proprio strutture
- Peso proprio del terreno
- Pressioni indotte dal terreno (escluso effetti dei carichi variabili)
- Spinta idrostatica e idrodinamica
- Pressione dell'acqua (e del materiale trascinato) all'interno del tombino
- Permanenti non strutturali in genere (pavimentazione stradale)
- Carichi variabili (carichi mobili da ponte).
- Azioni sismiche.

8.1 Peso proprio della struttura

Calcolato in automatico dal software di calcolo in funzione delle dimensioni e dei materiali assegnati agli elementi costituenti la struttura interrata. Essendo questa interamente realizzata in calcestruzzo armato, il valore del peso specifico del materiale definito nel software ed utilizzato per la stima del peso proprio della struttura è il seguente:

$$\gamma_{cls} = 2500 \text{ kg/m}^3$$

8.2 Peso proprio del terreno

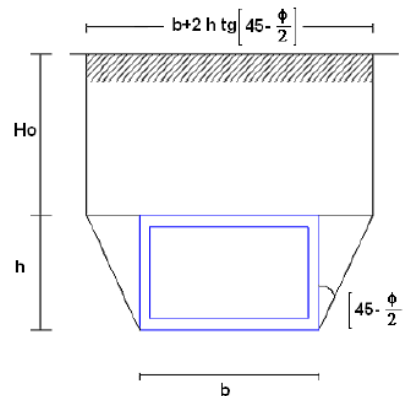
Analogamente a quanto scritto per il calcolo del peso proprio della struttura, anche il peso proprio del terreno viene calcolato automaticamente dal codice di calcolo in base ai parametri geotecnici del terreno. Nel dettaglio, il software stima il peso proprio del terreno in funzione del suo peso dell'unità di volume e degli spessori (i cui valori variano in funzione dello scatolare oggetto di studio).

Il peso dell'unità di volume definito per stimare il peso proprio del terreno è il seguente:

$$\gamma = 1900 \text{ kg/m}^3$$

$$\gamma_{\text{sat}} = 2000 \text{ kg/m}^3$$

Per quanto riguarda il calcolo della pressione in calotta, il programma consente di applicare tre differenti metodi, il metodo della pressione geostatica, il metodo di Terzaghi o il metodo di Caquot-Kerisel. Per il progetto degli scatolari in esame è stato utilizzato il metodo di Terzaghi il quale considera che il carico sul traverso si manifesti come semplice peso di una massa parabolica o ellittica di distacco.



Non essendoci delle profondità elevate, per tutti gli scatolari esaminati sono state applicate le espressioni valide per il caso $H_0 \leq 5B_1$:

$$p_v = \frac{\gamma B_1 - C}{K \operatorname{tg} \varphi} \left(1 - e^{-K \frac{H_0}{B_1} \operatorname{tg} \varphi} \right) \quad B_1 = \frac{b}{2} + h \operatorname{tg} \left(45^\circ - \frac{\varphi}{2} \right)$$

Definendo per ogni sezione esaminata la geometria dello scatolare, le caratteristiche geotecniche del terreno e lo spessore di ricoprimento, il software permette di stimare l'entità della pressione in calotta. I valori ottenuti per ogni singola sezione possono essere visionati nel paragrafo “*Analisi della spinta e verifiche*” presente nel tabulato di calcolo nell'allegato corrispondente allo scatolare che si vuole esaminare.

8.3 Spinte indotte dal terreno

Per quanto concerne la spinta del terreno in condizioni statiche, dal momento che le pareti non possono subire spostamenti sufficienti ad innescare uno stato limite attivo, si è fatto riferimento alla spinta valutata in condizioni di riposo. Questa è data dal prodotto della tensione verticale, funzione del peso dell'unità di volume del terreno e della profondità considerata, e del coefficiente di spinta laterale a riposo che è fornito a sua volta dall'espressione di Jaky:

$$k_0 = 1 - \sin \phi$$

Dal momento che l'angolo di attrito del terreno di rinfianco è uguale per tutti gli scatolari esaminati, il valore di k_0 sarà anch'esso uguale per tutte le sezioni e pari a:

$$k_0 = 1 - \sin 35^\circ = 0.43$$

La spinta a riposo presenta un diagramma di forma trapezoidale caratterizzato da un valore minimo in corrispondenza del traverso di copertura e da un valore massimo in corrispondenza della fondazione dello scatolare. I valori massimi e minimi delle tensioni orizzontali sono stati calcolati come segue:

$$\sigma_{h,\min} = \sigma_{v,\min} * k_0 = \gamma' * h_{\text{ricop.}} * k_0$$

$$\sigma_{h,\max} = \sigma_{v,\max} * k_0 = \gamma' * (h_{\text{ricop.}} + h) * k_0$$

Avendo indicato con "h_{ricop.}" e con "h" rispettivamente lo spessore dello strato di ricoprimento e l'altezza complessiva del culvert.

Il valore del peso efficace dell'unità di volume del terreno, del coefficiente di spinta laterale a riposo e dello spessore di ricoprimento sono uguali per tutte le sezioni scatolari analizzate. Differenti sono, invece, i valori dell'altezza dei culvert h che vengono sintetizzati nella tabella sottostante:

Sezione dello scatolare	Spessore di ricoprimento (h _{ric})	Altezza dello scatolare (h)
Scatolare 2,00x2,00	2,00 m	2,80 m
Scatolare 2,50x2,50	2,00 m	3,50 m
Scatolare 5,00x3,00	2,00 m	4,20 m

Oltre a valutare la spinta in condizioni statiche, il programma stima ed applica anche l'incremento della spinta del terreno dovuto all'evento sismico. A tal riguardo, per valutare tale incremento, si è fatto riferimento alla teoria di Wood che è la teoria più indicata nel caso di strutture rigide.

Come già anticipato, l'incremento dinamica della spinta del terreno è applicato a metà altezza e può essere calcolato come segue:

$$\Delta P_d = \alpha \gamma' H^2$$

$$\text{Con: } \alpha = \frac{a_g}{g} * S_S * \beta_m * S_T$$

Dove γ è il peso dell'unità di volume del terreno, H è l'altezza sulla quale agisce la spinta, a_g è l'accelerazione massima del terreno, S_s ed S_t sono i coefficienti stratigrafico e topografico, β_m è il coefficiente di riduzione dell'accelerazione massima attesa al sito.

I parametri sismici, così come il peso dell'unità di volume del terreno, assumono gli stessi valori per tutti le sezioni scatolari analizzate:

- $\gamma = 1900 \text{ kg/m}^3$
- $a_g/g \text{ (SLU)} = 0.348$; $a_g/g \text{ (SLE)} = 0.138$
- $S_s \text{ (Cat.B)} = 1.2$
- $S_T \text{ (T}_1) = 1$
- $\beta_m = 1$

L'unico parametro che cambia da sezione a sezione è l'altezza su cui agisce l'incremento dinamico della spinta la quale è coincidente con l'altezza totale del culvert che a sua volta può essere letta dalla tabella riportata per la spinta statica a riposo.

I valori ottenuti per ogni singola sezione possono essere visionati nel paragrafo "*Analisi della spinta e verifiche*" presente nel tabulato di calcolo nell'allegato corrispondente allo scatolare che si vuole esaminare.

8.4 Spinte idrostatica e idrodinamica

Per tutte le sezioni esaminate è stata considerata, a favore di sicurezza, la presenza della falda ad una profondità di 1 m ($h_w = 1 \text{ m}$) dal piano campagna in modo tale da tener conto dell'incremento di spinta sui piedritti verticali e del peso di acqua sul traverso di copertura.

Tale assunzione da un lato comporta una riduzione della spinta statica del terreno (che viene calcolata con il valore di $\gamma' = \gamma_{\text{sat}} - \gamma_w$), dall'altro si traduce in un notevole aggravio dovuto alla presenza delle pressioni interstiziali.

Anche la spinta idrostatica, analogamente alla spinta statica del terreno, presenta un diagramma di forma trapezoidale caratterizzato da un valore minimo in corrispondenza del traverso di copertura e da un valore massimo in corrispondenza della fondazione dello scatolare.

La spinta idrostatica sui piedritti è stata determinata in funzione del peso specifico dell'acqua γ_w e dell'altezza idrica (h_w) che caratterizza ogni sezione. Tale spinta si somma alla spinta statica del terreno agente sui piedritti e può essere determinata come segue:

$$u_{w,\min} = \gamma_w * z_{\min}$$

$$u_{w,\max} = \gamma_w * z_{\max}$$

In queste espressioni z_{\min} non è altro che la profondità del traverso di copertura misurata a partire dal pelo libero della falda ($z_{\min} = h_{ric} - h_w$), mentre z_{\max} è la profondità della soletta di fondazione misura sempre a partire dal pelo libero della falda ($z_{\max} = h_{ric} + h - h_w$).

Nella tabella seguente vengono riportati i valori di z_{\min} e z_{\max} per le diverse sezioni esaminate:

Sezione dello scatolare	Profondità minima (z_{\min})	Profondità massima (z_{\max})
Scatolare 2,00x2,00	1,00 m	3,80 m
Scatolare 2,50x2,50	1,00 m	4,50 m
Scatolare 5,00x3,00	1,00 m	5,20 m

La presenza della falda, inoltre, comporta la presenza di un carico uniformemente distribuito sul traverso di copertura. Tale carico può essere determinato con la seguente espressione:

$$Q_w = \gamma_w * z = \gamma_w (h_{ric} - h_w) = 10 \text{ kN/m}^2$$

Oltre a questi due carichi, il software valuta in automatico anche la spinta idrodinamica dell'acqua che si genera a seguito di un evento sismico. Tale spinta viene stimata in funzione del coefficiente sismico orizzontale, della quota del pelo libero dell'acqua e della distanza dalla superficie piezometrica dalla fondazione della sezione scatolare.

8.5 Carichi permanenti non strutturali (pavimentazione stradale)

Il carico permanente non-strutturale è costituito dalla pavimentazione stradale, il cui spessore totale è costante e pari a 50-53 cm. In particolare, dal dimensionamento della pavimentazione stradale risultano gli spessori qui di seguito elencati, e dalla scelta del materiale risultano fissati i corrispondenti pesi specifici:

- Strato di usura (congl. Bituminoso), spessore 4 cm: 1700 kg/m^3

- Strato di binder (congl. Bituminoso), spessore 4 cm: 1750 kg/m³
- Strato di base (congl. Bituminoso), spessore 10 cm: 1800 kg/m³
- Strato di sotto-base (misto stabilizzato), spessore 20 cm: 1900 kg/m³
- Strato di fondazione (misto granulare non legato), spessore 15 cm: 1900 kg/m³

Considerando i pesi a m² per ciascuno strato, risulta allora un peso totale della pavimentazione di:

$$P_{\text{pav}} = 983,00 \text{ kg/m}^2.$$

Nel calcolo del peso totale, tuttavia, non è stato considerato il peso delle canalette, delle barriere, dei cordoli e di tutti gli elementi accessori della piattaforma stradale che insistono sulla stessa. Questi vengono valutati in misura dell'80% del peso del pacchetto stradale per cui il peso da computare relativo alla pavimentazione stradale completa di accessori e manufatti secondari sarà:

$$P_{\text{tot,pav}} = P_{\text{pav}} + 0.8P_{\text{pav}} = 1770 \text{ kg/m}^2.$$

8.6 Pressione dell'acqua (e del materiale trascinato) all'interno del tombino

La presenza dell'acqua all'interno dello scatolare esercita una pressione sia sulle pareti interne sia sulla soletta di fondazione. Per tener conto di tale spinta è stato valutato un carico di tipo idrostatico, dovuto non solo alla presenza di acqua ma anche a un'eventuale presenza di detriti che potrebbero essere trasportati dalla stessa. Al tal riguardo, per tener conto della presenza dei detriti, la spinta idrostatica viene calcolata utilizzando il peso specifico dell'acqua maggiorato del 10%:

$$\gamma_1 = \text{peso di volume dell'acqua} + \text{peso detriti} = 1000 \text{ kg/m}^3 + 100 \text{ kg/m}^3 = 1100 \text{ kg/m}^3$$

La scelta di schematizzare la presenza dell'acqua e dei detriti attraverso un carico di tipo idrostatico trova riscontro dallo studio idraulico dal quale risultano velocità medio-basse, onde per cui – considerando una vita utile pari a 200 anni e un tempo di ritorno di 475 anni- la valutazione dell'azione dell'acqua in termini di carico idrostatico è accettabile.

Risulta, quindi, un carico distribuito e costante in fondazione dato dalla seguente espressione:

$$P_1 = \gamma_1 \times H$$

Dove H è l'altezza max. della sezione bagnata (pari a sua volta all'altezza geometrica interna del tombino al netto del franco libero).

Al contrario, sulle pareti dello scatolare agisce un carico distribuito di tipo triangolare, con punto di nullo in corrispondenza del pelo libero dell'acqua contenuta nello scatolare e punto di massima pressione all'intradosso della soletta di fondazione. La pressione massima viene anch'essa calcolata con la medesima espressione di P_1

Considerato che, in accordo ai calcoli idraulici, il franco libero (h_f) della sezione viene fissato sempre pari a 0,70 m, si riporta una tabella riepilogativa per le diverse sezioni esaminate in cui si indica il valore dell'altezza della sezione bagnata e, quindi, della spinta ottenuta:

Sezione dello scatolare	Altezza della sezione bagnata ($h_b = h_{int} - h$)	Spinta idrostatica ($S_{w,max} = \gamma_l * h_b$)
Scatolare 2,00x2,00	1,30 m	1430 kg/m
Scatolare 2,50x2,50	1,80 m	1980 kg/m
Scatolare 5,00x3,00	2,30 m	2530 kg/m

8.7 Carichi variabili da traffico

I carichi di riferimento, gli schemi e le combinazioni di calcolo sono stati definiti sulla base delle indicazioni fornite dal capitolo 5 del D.M. 17/01/2018, Ponti stradali.

I carichi di tipo stradale sono applicati secondo 6 schemi fondamentali di calcolo, e vengono ripartiti sia in direzione longitudinale che trasversale dal piano stradale al piano medio della soletta superiore.

Tra gli schemi di carico previsti dalle NTC 2018, quello più significativo risulta essere lo schema 1. Tale carico è costituito, come noto, da 4 forze concentrate, applicate verticalmente, al livello del piano stradale, ad opportuna distanza tra loro, più un carico distribuito di 9 kN/m^2 . Ciascuna di tali forze al variare della profondità tende a diffondersi nel terreno sottostante, dando luogo ad uno stato di pressione superficiale via via diverso, per forma e per intensità, fino ad incontrare la struttura oggetto di verifica.

Tra i carichi da traffico non verrà considerata la forza di frenatura, poichè si ritiene che questa sia totalmente assorbita dal ricoprimento di terreno (rilevato) previsto al di sopra e a fianco dello scatolare (il quale è sempre superiore a 1,50 m).

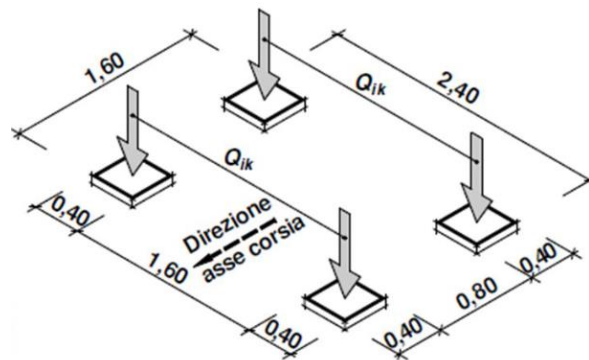
Nel dettaglio lo schema di carico 1 è costituito da carichi concentrati su due assi in tandem e da carichi uniformemente distribuiti; i carichi concentrati sono pari a:

$Q_{1k} = 300$ kN ad asse su corsia n.1 di larghezza convenzionale pari a 3m;

$Q_{2k} = 200$ kN ad asse su corsia n.2 di larghezza convenzionale pari a 3m;

$Q_{3k} = 200$ kN ad asse su corsia n.2 di larghezza convenzionale pari a 3m.

Si ipotizza che tali carichi siano applicati su un'impronta rettangolare pari a 2.4 x 1.60 m (1.6 m sviluppo parallelo alla corsia di traffico, 2.4 m sviluppo perpendicolare), ovvero pari all'ingombro complessivo esterno del tandem.



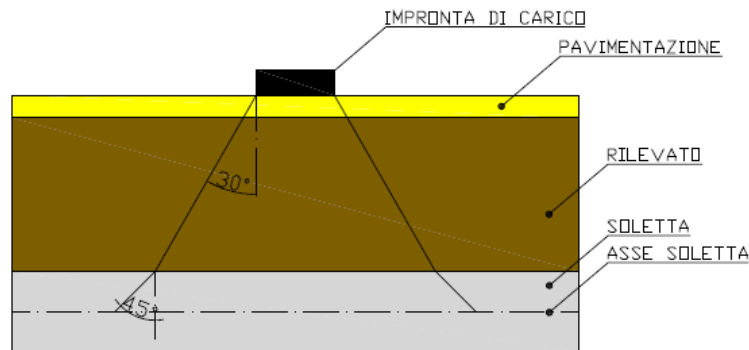
Per quanto riguarda i carichi uniformemente distribuiti (associati ai carichi tandem) si considera prudenzialmente il carico $q_{1k} = 9$ kN/m² applicato a tutte le colonne di carico (la norma prevede l'applicazione dalla seconda alla n-esima corsia di un carico ridotto da 2.5 kN/m²). I carichi tandem vengono posizionati ortogonalmente all'asse del sottovia e vengono ripartiti sia in direzione longitudinale che trasversale dal piano stradale al piano medio della soletta superiore. Si assume che la diffusione avvenga con un angolo di 30° attraverso il rilevato stradale (in accordo al punto C5.1.3.3.7.1 della circolare ministeriale del 02/02/2009) e con un angolo di 45° nella soletta superiore del tombino. L'effetto dei carichi tandem sulla soletta superiore viene pertanto messo in conto attraverso la determinazione di un carico equivalente distribuito a cui si somma il carico uniforme q_{1k} .

Diffusione del carico tandem in direzione longitudinale (parallela all'asse della strada)

La larghezza di diffusione del carico tandem in direzione longitudinale può essere valutata con la seguente espressione:

$$L_{dl} = 1.6m + 2x[\tan 30^\circ \times H_r + \tan 45^\circ \times S_s/2]$$

Dove con H_r viene indicato lo spessore dello strato di ricoprimento e con S_s lo spessore della soletta di copertura dello scatolare.



Il valore della larghezza di diffusione in direzione longitudinale cambia in funzione della sezione scatolare esaminata considerato che cambia il valore dello spessore di ricoprimento e/o il valore dello spessore della soletta di copertura. Nella tabella seguente, per ogni sezione esaminata, si riportano i valori di H_r , di S_s e il valore risultante di L_{dl} :

Sezione dello scatolare	Spessore di ricoprimento (h_{ric})	Spessore della soletta (S_s)	Larghezza diffus. (L_{dl})
Scatolare 2,00x2,00	2,00 m	0,40 m	4,31 m
Scatolare 2,50x2,50	2,00 m	0,50 m	4,41 m
Scatolare 5,00x3,00	2,00 m	0,60 m	4,51 m

Diffusione del carico tandem in direzione trasversale (ortogonale all'asse della strada)

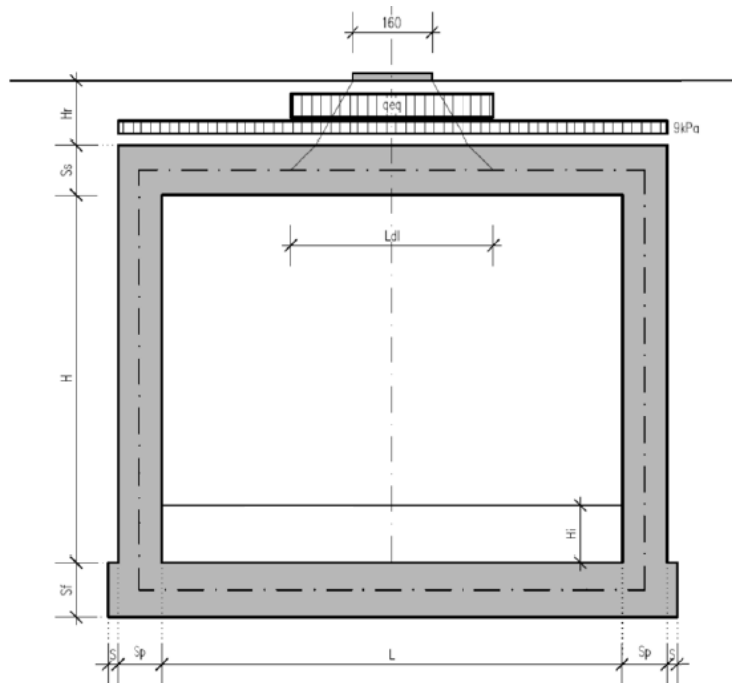
In maniera del tutto analoga a quanto fatto per la direzione longitudinale, anche in direzione trasversale, assumendo sempre che la diffusione avvenga con angolo di 30° attraverso il rilevato stradale e di 45° sino al piano medio della soletta superiore, si può applicare la medesima espressione. L'unica differenza risiede nel primo termine in quanto questa volta viene considerato lo sviluppo perpendicolare alla corsia di traffico, per cui si ha:

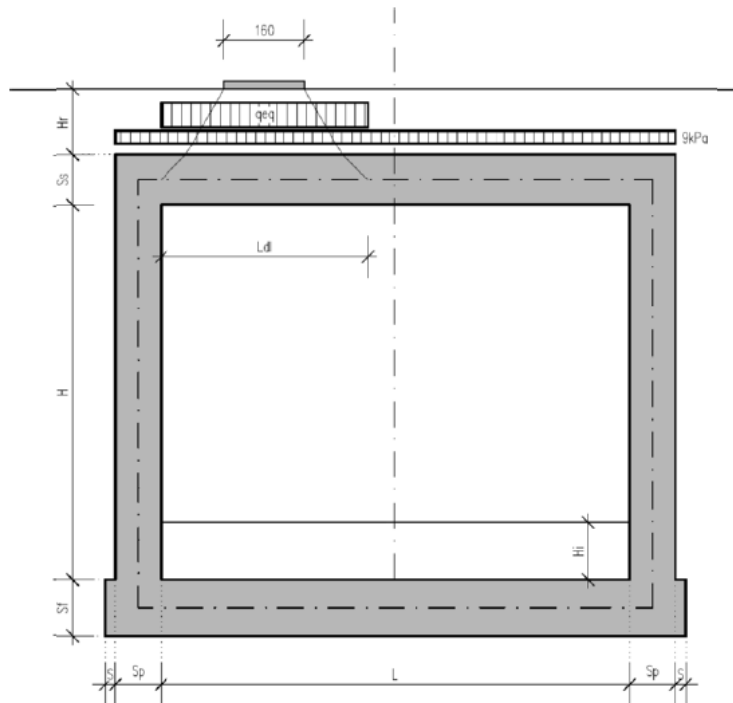
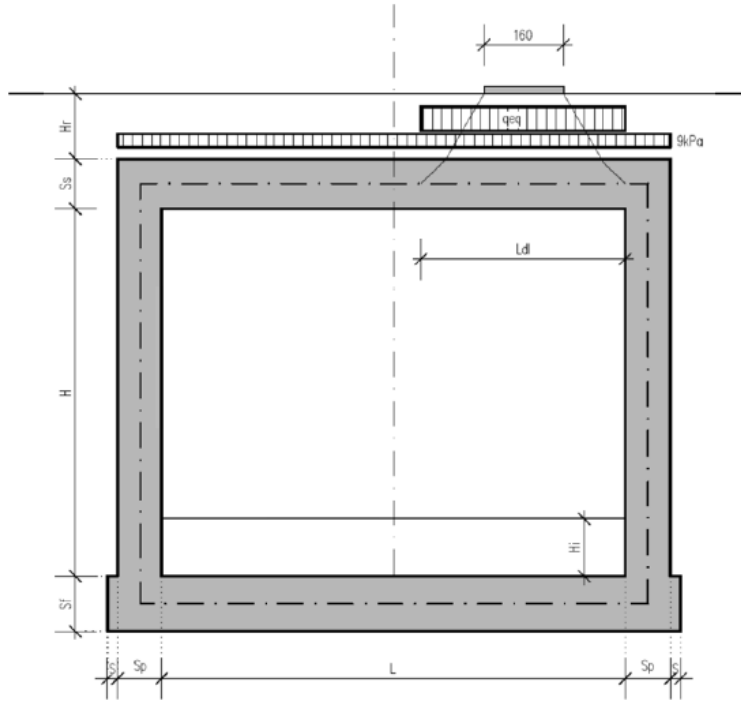
$$L_{dt} = 2.4m + 2x[\tan 30^\circ \times H_r + \tan 45^\circ \times S_s/2]$$

Segue una tabella riepilogativa con i risultati ottenuti per le diverse sezioni esaminate:

Sezione dello scatolare	Spessore di ricoprimento (h_{ric})	Spessore della soletta (S_s)	Larghezza diffus. (L_{dt})
Scatolare 2,00x2,00	2,00 m	0,40 m	5,11 m
Scatolare 2,50x2,50	2,00 m	0,50 m	5,21 m
Scatolare 5,00x3,00	2,00 m	0,60 m	5,31 m

La posizione del carico equivalente al tandem viene variata su tutta la soletta con l'obiettivo di massimizzare il momento in mezzzeria della soletta di copertura e i tagli nella soletta a filo dei piedritti. Per ottenere questi risultati si considerano tre differenti configurazioni per l'applicazione dei carichi:



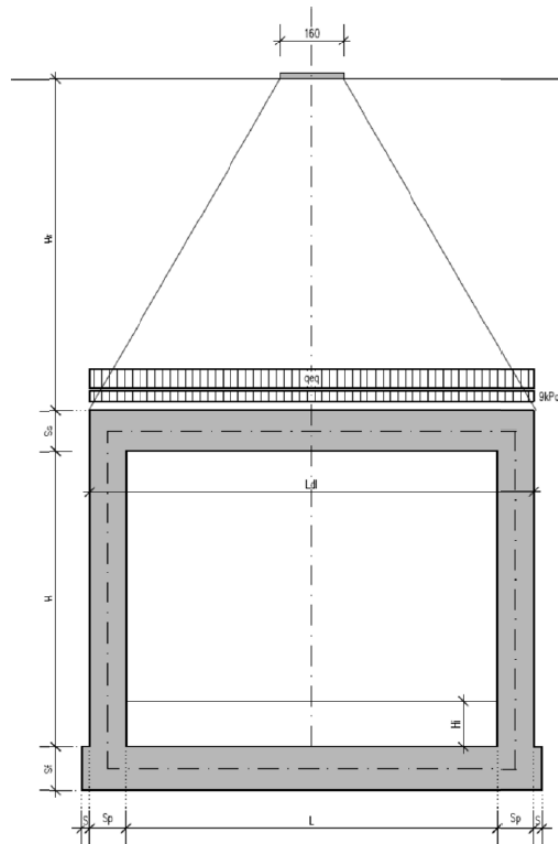


Nell'eventualità in cui, per la struttura in esame, la larghezza di diffusione longitudinale dovesse risultare maggiore del termine " $L + 2S_p$ " (larghezza netta interna + spessore dei piedritti, cioè la larghezza complessiva dello scatolare), allora i tre casi di carico sopra rappresentati coinciderebbero in un unico caso in cui il carico verrebbe applicato all'intera larghezza della soletta.

Confrontando per ogni sezione la larghezza di diffusione longitudinale con il rispettivo valore della larghezza complessiva, si osserva che:

Sezione dello scatolare	Larghezza diffusione (L_{dl})	Larghezza totale (L)	Confronto tra i due termini
Scatolare 2,00x2,00	4,31 m	2,80 m	$L_{dl} > L + 2S_p$
Scatolare 2,50x2,50	4,41 m	3,50 m	$L_{dl} > L + 2S_p$
Scatolare 5,00x3,00	4,51 m	6,20 m	$L_{dl} < L + 2S_p$

Per le sezioni 2x2 e 2.5x2.5, la larghezza di diffusione del carico tandem viene maggiore della larghezza complessiva dello scatolare. Per queste sezioni i tre casi di carico coincidono in un unico caso in cui il carico equivalente (che si somma al carico di 9kN/m^2) viene spalmato sull'intera larghezza della soletta; per la sezione 5x3, invece, si considerano le tre differenti posizioni del carico equivalente al carico tandem.




Infine la presenza dei carichi mobili ai lati della struttura comporta l'insorgere di una spinta orizzontale uniforme sulle pareti della stessa. Si è ipotizzato, come previsto dalla norma, che a tergo delle pareti agiscano sia il carico $q_{1k} = 9 \text{ kN/m}^2$, sia il carico Q_{1k} ripartito su una superficie convenzionale di $3,00\text{m} \times 2,20\text{m}$ e dunque di intensità pari a:

$$300 \text{ kN}/(3,00\text{m} \times 2,20\text{m}) = 45,45 \text{ kN/m}^2$$

Per la valutazione della spinta conseguente a tale sovraccarico, si è fatto riferimento, come per la spinta litostatica, al coefficiente di spinta laterale a riposo ($k_0 = 0,43$).

8.8 Azione sismica

Per la valutazione degli effetti dell'azione sismica sul manufatto scatolare, si procede secondo i criteri di seguito esposti.

S.S.51 "Alemagna" Variante di Longarone		 ANAS GRUPPO FS ITALIANE
VE 407	POOTM00STRRE01_B <i>Tombini - Relazione tecnica e di calcolo</i>	

In linea di principio è evidente che il sisma produce i suoi effetti in conseguenza:

- Dell'azione inerziale (verticale e/o orizzontale) che agisce sulle masse permanenti;
- Dell'azione inerziale (verticale e/o orizzontale) che agisce sulle masse accidentali;
- Delle sovraspinte orizzontali trasmesse dal terreno.

Per il sisma orizzontale si mette in conto la sola componente ortogonale all'asse del manufatto, essendo del tutto ininfluenza quella ad esso parallela.

L'azione sismica viene calcolata in funzione dei parametri sismici definiti nel capitolo 6 "Caratterizzazione sismica del sito".

Il coefficiente di intensità sismica orizzontale k_h può essere determinato con la seguente espressione:

$$k_h = \frac{a_g}{g} S_s S_t \beta_m$$

con:

- $\frac{a_g}{g}$ accelerazione al suolo dipendente dalla posizione dell'opera;
- S_s coefficiente di amplificazione stratigrafica per tipo di sottosuolo B;
- S_t coefficiente di amplificazione topografica per categoria T1;
- β_m coefficiente di riduzione.


Considerando le coordinate dell'opera (ubicata vicino il comune di Gela), una vita nominale $V_N = 100$ anni e una classe d'uso IV, ottenendo in tal modo una vita di riferimento $V_R = 200$ anni, si ricava un valore $k_h = 0,37$ allo stato limite di salvaguardia della vita (SLV), e un valore $k_h = 0,185$ allo stato limite di danno (SLD).

Come da comune norma si considera $k_v = 0,5 * k_h$.

L'effetto inerziale del sisma viene simulato mediante una distribuzione di azioni statiche equivalenti, date dal prodotto delle masse coinvolte per il coefficiente k_h .

Risulta dunque:

- Azione orizzontale sulla soletta: $F_{h,s} = \gamma_{cls} * S_{Soletta} * k_h$
- Azione orizzontale sui piedritti: $F_{h,p} = \gamma_{cls} * S_{piedritti} * k_h$

S.S.51"Alemagna" Variante di Longarone		
VE 407	P00TM00STRRE01_B <i>Tombini - Relazione tecnica e di calcolo</i>	

In funzione dei valori dello spessore della soletta e dello spessore dei piedritti che caratterizzano le diverse sezioni, si ottengono i valori delle forze inerziali dovute al sisma. Il peso specifico del calcestruzzo e il valore del coefficiente sismico orizzontale non cambiano per le diverse sezioni considerate.

Per concludere questa trattazione inerente all'analisi dei carichi agenti sulle strutture scatolari, si precisa che, data la tipologia e l'ubicazione dell'opera (struttura interrata), si ritiene accettabile la scelta di non considerare le verifiche a ritiro sul cls, nè sollecitazioni di tipo termico.

9. MODALITA' DI CALCOLO

A partire dal tipo di terreno, dalla geometria e dai sovraccarichi agenti il programma è in grado di conoscere tutti i carichi agenti sulla struttura per ogni combinazione di carico.

La struttura scatolare viene schematizzata come un telaio piano e viene risolta mediante il metodo degli elementi finiti (FEM). Più dettagliatamente il telaio viene discretizzato in una serie di elementi connessi fra di loro nei nodi.

Il terreno di rinfianco e di fondazione vengono invece schematizzati con una serie di elementi molle non reagenti a trazione (modello di Winkler). L'area della singola molla è direttamente proporzionale alla costante di Winkler del terreno e all'area di influenza della molla stessa.

A partire dalla matrice di rigidezza del singolo elemento, K_e , si assembla la matrice di rigidezza di tutta la struttura K . Tutti i carichi agenti sulla struttura vengono trasformati in carichi nodali (reazioni di incastro perfetto) ed inseriti nel vettore dei carichi nodali p .

Indicando con u il vettore degli spostamenti nodali (incogniti), la relazione risolutiva può essere scritta nella forma:

$$K u = p$$

Da questa equazione matriciale si ricavano gli spostamenti incogniti u :

$$u = K^{-1} p$$

Noti gli spostamenti nodali è possibile risalire alle sollecitazioni nei vari elementi.

La soluzione del sistema viene fatta per ogni combinazione di carico agente sullo scatolare. Il successivo calcolo delle armature nei vari elementi viene condotto tenendo conto delle condizioni più gravose che si possono verificare nelle sezioni fra tutte le combinazioni di carico.

Per le specifiche condizioni di carico si veda quanto illustrato negli allegati di calcolo diversificati per ciascun tombino.

10. CALCOLO SEZIONE SCATOLARE 2,00 X 2,00

Si riportano di seguito i calcoli, le procedure e i tabulati relativi al progetto della tipologia di tombini 2 x 2 (luci interne).

10.1. Geometria scatolare

Descrizione:	Scatolare semplice	
Altezza esterna	2,80	[m]
Larghezza esterna	2,80	[m]
Lunghezza mensola di fondazione sinistra	0,00	[m]
Lunghezza mensola di fondazione destra	0,00	[m]
Spessore piedritto sinistro	0,40	[m]
Spessore piedritto destro	0,40	[m]
Spessore fondazione	0,40	[m]
Spessore traverso	0,40	[m]

10.2. Caratteristiche strati terreno

Strato di ricoprimento

Descrizione	Terreno di ricoprimento	
Spessore dello strato	2,00	[m]
Peso di volume	19,0000	[kN/mc]
Peso di volume saturo	20,0000	[kN/mc]
Angolo di attrito	35,00	[°]
Coesione	0,00	[kg/cm ²]

Strato di rinfiacco

Descrizione	Terreno di rinfiacco	
Peso di volume	19,0000	[kN/mc]
Peso di volume saturo	20,0000	[kN/mc]
Angolo di attrito	35,00	[°]
Angolo di attrito terreno struttura	23,00	[°]
Coesione	0,00	[kg/cm ²]
Costante di Winkler	5,00	[kg/cm ² /cm]

Strato di base

Descrizione	Terreno di base	
Peso di volume	20,0000	[kN/mc]

Peso di volume saturo	21,0000	[kN/mc]
Angolo di attrito	36,00	[°]
Angolo di attrito terreno struttura	24,00	[°]
Coesione	5,00	[kg/cmq]
Costante di Winkler	10,00	[kg/cmq/cm]
Tensione limite	5,00	[kg/cmq]
Quota falda (rispetto al piano di posa)	3,80	[m]

Nell'Allegato 1 alla presente relazione sono riportati i risultati di tutte le verifiche (spostamenti nodali, sollecitazioni, pressioni sul terreno, verifiche SLU, verifiche SLE, fessurazioni, verifiche geotecniche ecc...), inclusi tutti i tabulati di calcolo relativi al tombino in questione.

Nelle figure seguenti si riportano:

- Gli schemi geometrici del tombino tipologico in questione e la stratigrafia dei terreni di ricoprimento, rinfiacco e fondazione;
- Gli schemi dei carichi agenti sulla struttura;
- La deformata, il diagramma delle pressioni e delle sollecitazioni presenti all'interno della struttura.

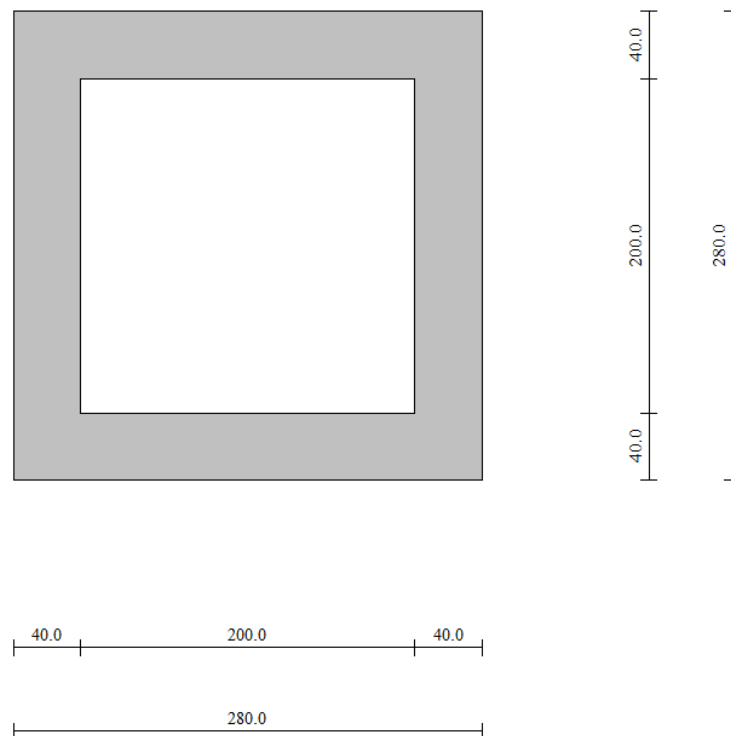


Figura 10.1: schema geometrico del tombino

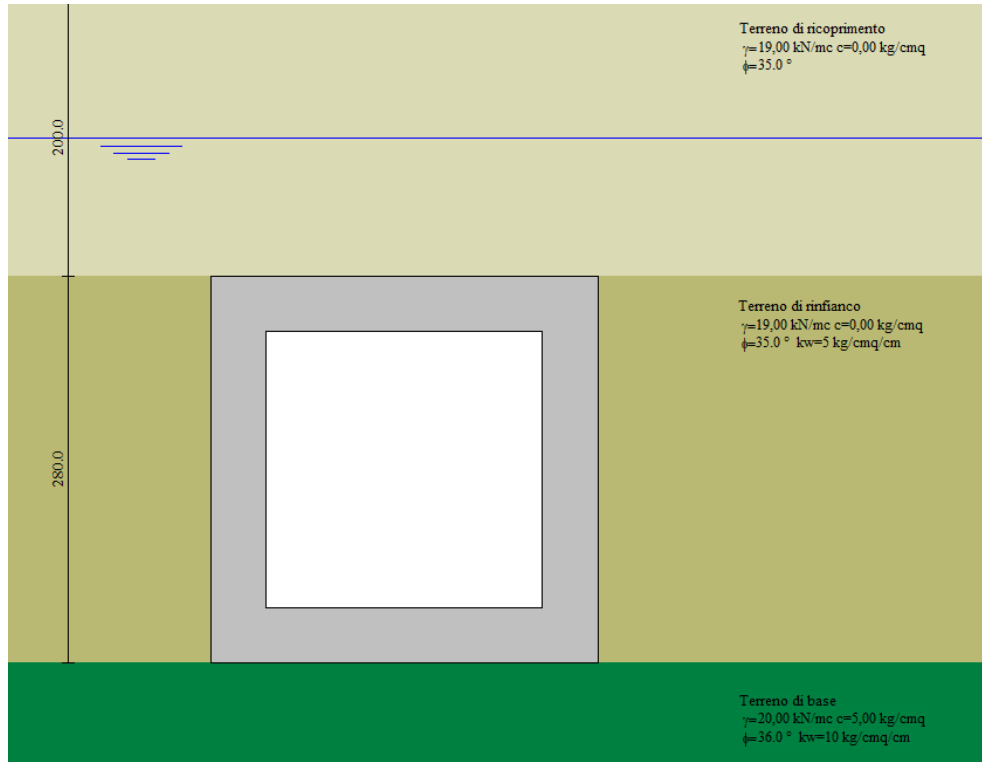


Figura 10.2: stratigrafia del terreno

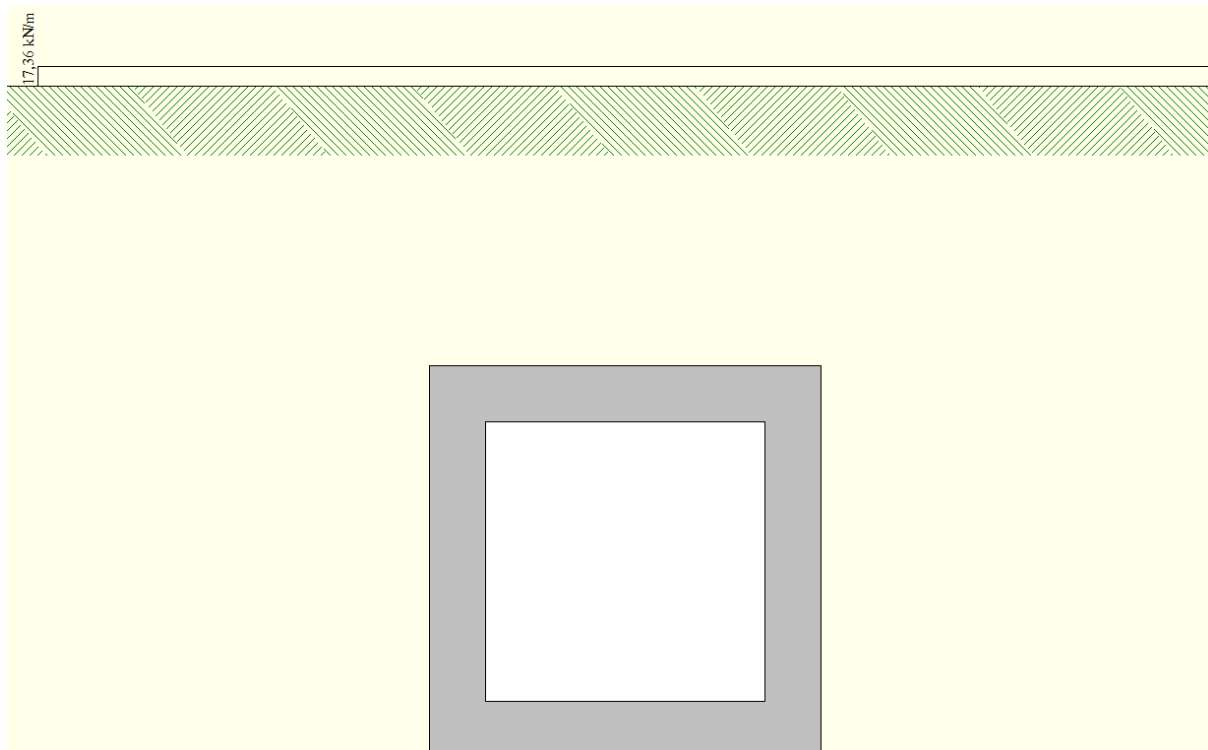


Figura 10.3: schema dei carichi permanenti non strutturali

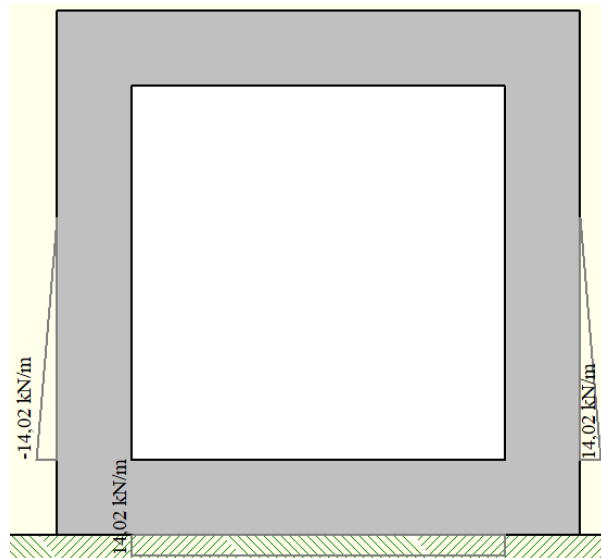


Figura 10.4: schema dei carichi idrostatici interni

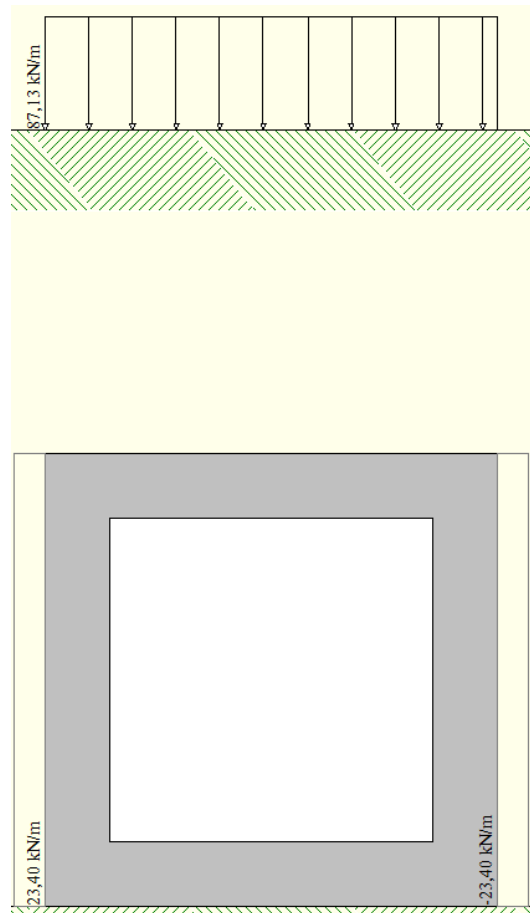


Figura 10.5: schema dei sovraccarichi variabili da traffico

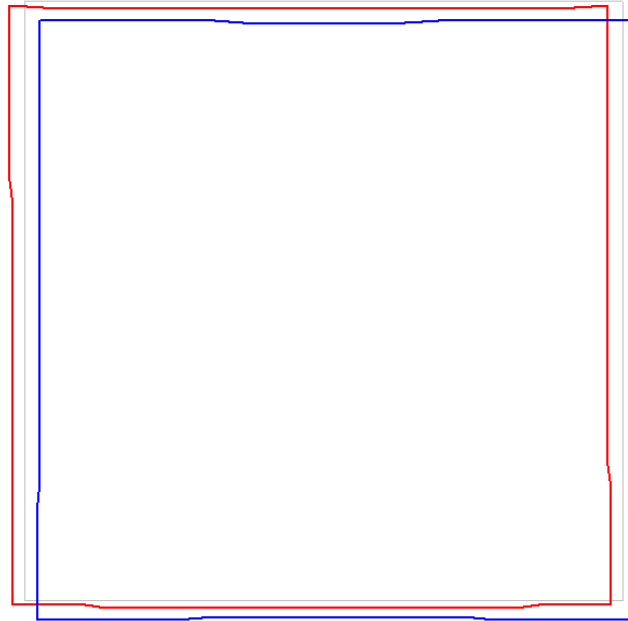


Figura 10.6: configurazione deformata della struttura (involuppo allo SLU; in rosso considerenando gli spostamenti negativi, in blu quelli positivi)

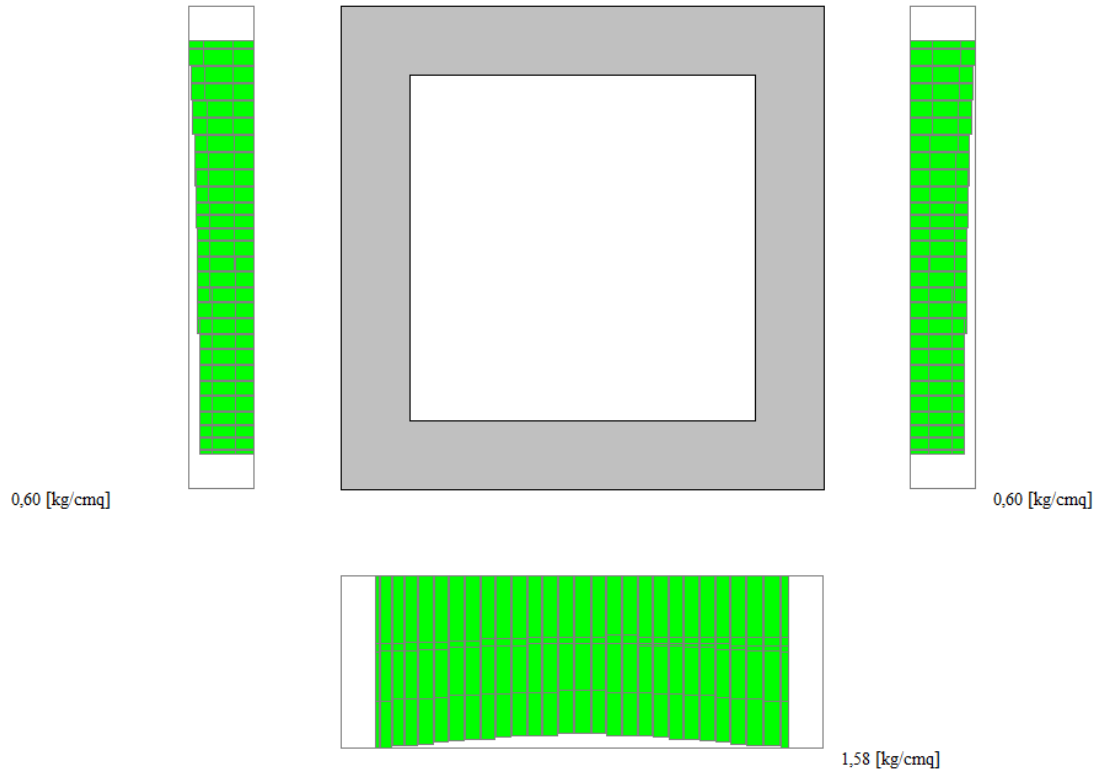


Figura 10.7: involuppo delle pressioni per l'elemento di fondazione allo SLU

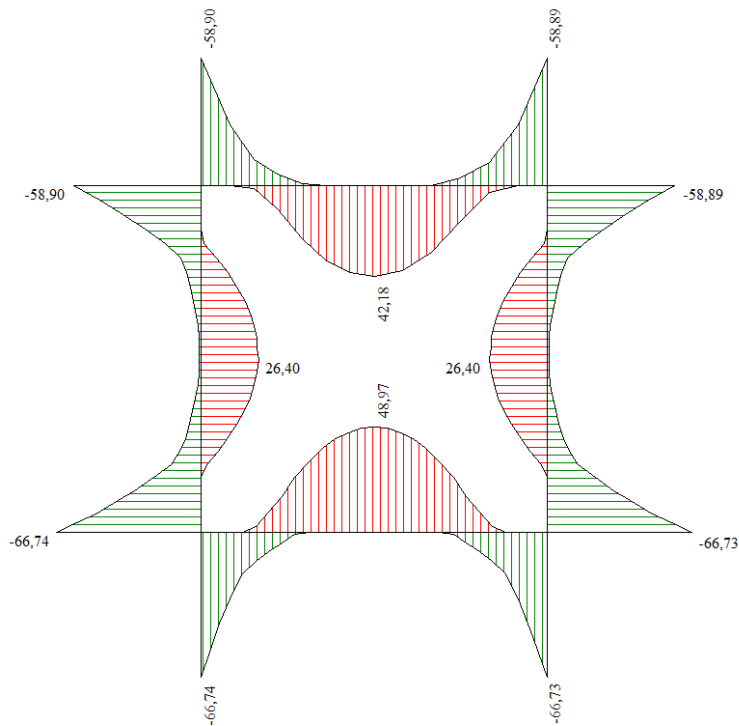
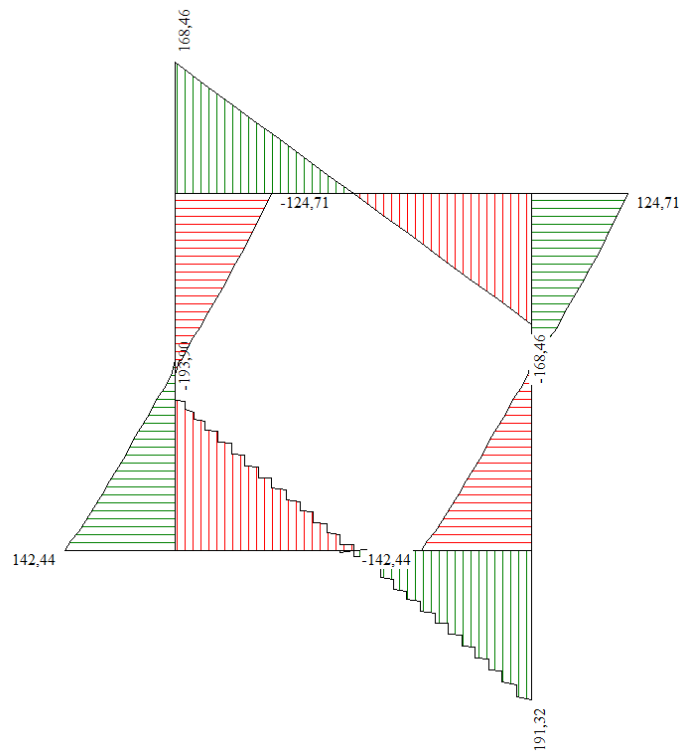

 Figura 10.8: involuppo dei momenti flettenti nella struttura allo SLU(valori in $\text{kN} \cdot \text{m}$)


Figura 10.9: involuppo del taglio nella struttura allo SLU(valori in kN)

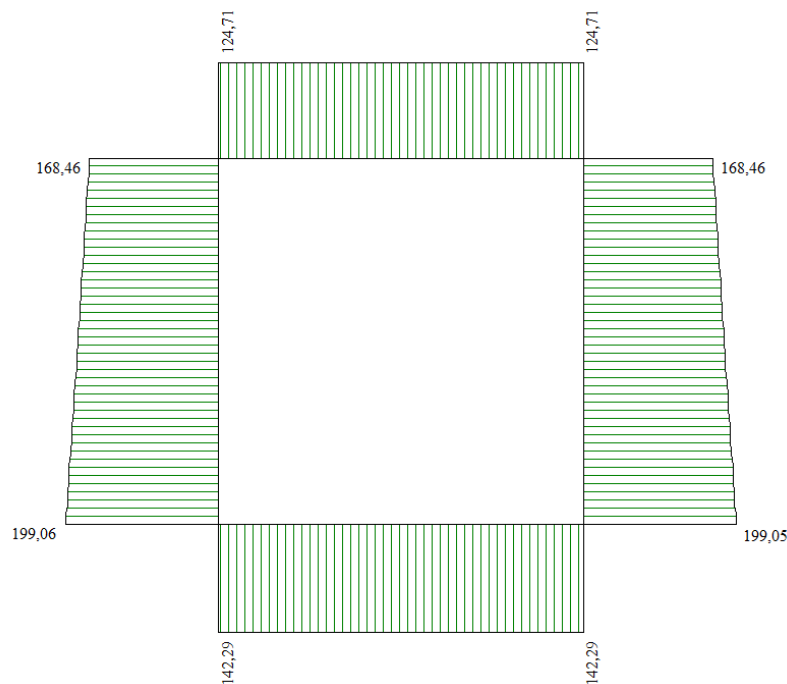


Figura 10.10: involuppo dello sforzo normale nella struttura allo SLU (valori in kN)

10.3. Sintesi dei risultati

Si riportano di seguito i risultati più sfavorevoli delle analisi allo SLU e allo SLE dell'elemento scatolare.

Stato Limite Ultimo (SLU)

Simbologia adottata ed unità di misura

N° *Indice sezione*

X *Ascissa/Ordinata sezione, espresso in cm*

M *Momento flettente, espresso in kNm*

V *Taglio, espresso in kN*

N *Sforzo normale, espresso in kN*

N_u *Sforzo normale ultimo, espressa in kN*

M_u *Momento ultimo, espressa in kNm*

A_{fi} *Area armatura inferiore, espresse in cmq*

A_{fs} *Area armatura superiore, espresse in cmq*

CS *Coeff. di sicurezza sezione*

V_{Rd} *Aliquota taglio assorbita dal calcestruzzo in elementi senza armature trasversali, espressa in kN*

V_{Rcd} Aliquota taglio assorbita dal calcestruzzo in elementi con armature trasversali, espressa in kN

V_{Rsd} Aliquota taglio assorbita armature trasversali, espressa in kN

A_{sw} Area armature trasversali nella sezione, espressa in cm²

Verifica sezioni fondazione (Inviluppo)

Base sezione B = 100 cm

Altezza sezione H = 40,00 cm

X	A _{fi}	A _{fs}	CS
0,20	8,04	8,04	2,43
0,76	8,04	10,05	5,57
1,40	8,04	8,04	4,25
2,04	8,04	10,05	5,21
2,60	8,04	8,04	2,43

X	V _{Rd}	V _{Rsd}	V _{Rcd}	A _{sw}
0,20	0,00	204,45	1470,63	2,01
0,76	173,53	0,00	0,00	0,00
1,40	173,53	0,00	0,00	0,00
2,04	173,53	0,00	0,00	0,00
2,60	0,00	204,45	1470,63	2,01

Verifica sezioni traverso (Inviluppo)

Base sezione B = 100 cm

Altezza sezione H = 40,00 cm

X	A_{fi}	A_{fs}	CS
0,20	12,72	12,72	4,16
0,73	12,72	12,72	8,54
1,40	12,72	12,72	7,92
2,00	12,72	12,72	7,92
2,60	12,72	12,72	4,16

X	V_{Rd}	V_{Rsd}	V_{Rcd}	A_{sw}
0,20	175,65	0,00	0,00	0,00
0,73	175,65	0,00	0,00	0,00
1,40	175,65	0,00	0,00	0,00
2,00	175,65	0,00	0,00	0,00
2,60	175,65	0,00	0,00	0,00

Verifica sezioni piedritto sinistro (Inviluppo)

Base sezione B = 100 cm

Altezza sezione H = 40,00 cm

Y	A_{fi}	A_{fs}	CS
0,20	14,07	14,07	4,86
1,40	14,07	14,07	11,77
2,60	14,07	14,07	4,33

Y	V _{Rd}	V _{Rsd}	V _{Rcd}	A _{sw}
0,20	191,61	0,00	0,00	0,00
1,40	189,60	0,00	0,00	0,00
2,60	187,59	0,00	0,00	0,00

Verifica sezioni piedritto destro (Inviluppo)

Base sezione B = 100 cm

Altezza sezione H = 40,00 cm

Y	A _{fi}	A _{fs}	CS
0,20	14,07	14,07	4,86
1,40	14,07	14,07	11,77
2,60	14,07	14,07	4,33

Y	V _{Rd}	V _{Rsd}	V _{Rcd}	A _{sw}
0,20	191,61	0,00	0,00	0,00
1,40	189,60	0,00	0,00	0,00
2,60	187,59	0,00	0,00	0,00

Stato Limite di Esercizio (SLE)

Simbologia adottata ed unità di misura

N° *Indice sezione*

X *Ascissa/Ordinata sezione, espresso in m*

M *Momento flettente, espresso in kNm*

V *Taglio, espresso in kN*

N *Sforzo normale, espresso in kN*

A_{fi} *Area armatura inferiore, espressa in cmq*

A_{fs} *Area armatura superiore, espressa in cmq*

- σ_{fi} Tensione nell'armatura disposta in corrispondenza del lembo inferiore, espresse in kg/cmq
 σ_{fs} Tensione nell'armatura disposta in corrispondenza del lembo superiore, espresse in kg/cmq
 σ_c Tensione nel calcestruzzo, espresse in kg/cmq
 τ_c Tensione tangenziale nel calcestruzzo, espresse in kg/cmq
 A_{sw} Area armature trasversali nella sezione, espressa in cmq

Verifica sezioni fondazione (Inviluppo)

Base sezione B = 100 cm

Altezza sezione H = 40,00 cm

Y	A _{fi}	A _{fs}	σ_c	σ_{fi}	σ_{fs}
0,20	8,04	8,04	37,61	1321,32	294,75
0,76	8,04	10,05	6,99	88,02	61,90
1,40	8,04	8,04	25,58	225,06	726,65
2,04	8,04	10,05	6,99	88,03	61,91
2,60	8,04	8,04	37,60	1321,20	294,74

X	τ_c	A _{sw}
0,20	-5,0	2,01
0,76	-2,4	0,00
1,40	0,2	0,00
2,04	2,8	0,00
2,60	4,9	2,01

Verifica sezioni traverso (Inviluppo)

Base sezione B = 100 cm

Altezza sezione H = 40,00 cm

VE 407

P00TM00STRRE01_B *Tombini - Relazione tecnica e di calcolo*

Y	A_{fi}	A_{fs}	σ_c	σ_{fi}	σ_{fs}
0,20	12,72	12,72	27,24	241,18	763,67
0,73	12,72	12,72	4,59	19,72	60,15
1,40	12,72	12,72	18,21	403,65	176,47
2,00	12,72	12,72	6,48	62,16	80,11
2,60	12,72	12,72	27,24	241,17	763,59

X	τ_c	A_{sw}
0,20	4,3	0,00
0,73	2,4	0,00
1,40	0,0	0,00
2,00	-2,1	0,00
2,60	-4,3	0,00


Verifica sezioni piedritto sinistro (Inviluppo)

Base sezione B = 100 cm

Altezza sezione H = 40,00 cm

Y	A_{fi}	A_{fs}	σ_c	σ_{fi}	σ_{fs}
0,20	14,07	14,07	29,69	285,16	676,11
1,40	14,07	14,07	8,44	79,69	105,59
2,60	14,07	14,07	26,08	248,16	610,31

Y	τ_c	A_{sw}
0,20	3,8	0,00

S.S.51" Alemagna" Variante di Longarone		
VE 407	POOTM00STRRE01_B <i>Tombini - Relazione tecnica e di calcolo</i>	

1,40	0,1	0,00
2,60	-3,4	0,00

Verifica sezioni piedritto destro (Inviluppo)

Base sezione $B = 100$ cm
 Altezza sezione $H = 40,00$ cm

Y	A_{fi}	A_{fs}	σ_c	σ_{fi}	σ_{fs}
0,20	14,07	14,07	29,69	285,15	676,05
1,40	14,07	14,07	8,44	79,72	105,61
2,60	14,07	14,07	26,08	248,14	610,25

Y	τ_c	A_{sw}
0,20	-3,8	0,00
1,40	-0,1	0,00
2,60	3,4	0,00

Verifiche geotecniche

Simbologia adottata

IC Indice della combinazione

N_c, N_q, N_γ Fattori di capacità portante

N_c, N_q, N_γ Fattori di capacità portante corretti per effetto forma, inclinazione del carico, affondamento, etc.

q_u Portanza ultima del terreno, espressa in [kg/cmq]

Q_U Portanza ultima del terreno, espressa in [kN]/m

Q_Y Carico verticale al piano di posa, espressa in [kN]/m

FS Fattore di sicurezza a carico limite

IC	Nc	Nq	Ny	N'c	N'q	N'y	qu	Qu	Qy	FS
1	50,59	37,75	40,05	71,68	47,47	40,05	414,00	113681,24	265,13	428,78
2	50,59	37,75	40,05	71,68	47,47	40,05	392,77	107850,47	315,83	341,48
3	50,59	37,75	40,05	71,68	47,47	40,05	392,77	107850,47	354,51	304,22
4	50,59	37,75	40,05	49,28	33,03	23,92	276,87	76025,32	216,30	351,49
5	50,59	37,75	40,05	48,59	32,58	23,46	271,65	74591,89	181,54	410,88
6	50,59	37,75	40,05	52,72	35,25	26,26	280,95	77147,07	161,73	477,01
7	50,59	37,75	40,05	52,05	34,82	25,80	275,31	75597,16	126,98	595,36
8	50,59	37,75	40,05	49,28	33,03	23,92	276,87	76025,22	216,30	351,49
9	50,59	37,75	40,05	48,59	32,58	23,46	271,65	74591,62	181,54	410,88
10	50,59	37,75	40,05	52,72	35,25	26,26	280,95	77146,86	161,73	477,00
11	50,59	37,75	40,05	52,05	34,82	25,80	275,31	75596,67	126,98	595,36

11. CALCOLO SEZIONE SCATOLARE 2,50 X 2,50

Si riportano di seguito i calcoli, le procedure e i tabulati relativi al progetto della tipologia di tombini 2,5 x 2,5 (luci interne).

11.1. Geometria scatolare

Descrizione: Scatolare semplice

Altezza esterna	3,50	[m]
Larghezza esterna	3,50	[m]
Lunghezza mensola di fondazione sinistra	0,00	[m]
Lunghezza mensola di fondazione destra	0,00	[m]
Spessore piedritto sinistro	0,50	[m]
Spessore piedritto destro	0,50	[m]
Spessore fondazione	0,50	[m]
Spessore trasverso	0,50	[m]

11.2. Caratteristiche strati terreno

Strato di ricoprimento

Descrizione	Terreno di ricoprimento	
Spessore dello strato	2,00	[m]
Peso di volume	19,0000	[kN/mc]
Peso di volume saturo	20,0000	[kN/mc]
Angolo di attrito	35,00	[°]
Coesione	0,00	[kg/cm ²]

Strato di rinfiacco

Descrizione	Terreno di rinfiacco	
Peso di volume	19,0000	[kN/mc]
Peso di volume saturo	20,0000	[kN/mc]
Angolo di attrito	35,00	[°]
Angolo di attrito terreno struttura	23,00	[°]
Coesione	0,00	[kg/cm ²]
Costante di Winkler	5,00	[kg/cm ² /cm]

Strato di base

Descrizione	Terreno di base	
Peso di volume	20,0000	[kN/mc]

Peso di volume saturo	21,0000	[kN/mc]
Angolo di attrito	36,00	[°]
Angolo di attrito terreno struttura	24,00	[°]
Coesione	5,00	[kg/cmq]
Costante di Winkler	10,00	[kg/cmq/cm]
Tensione limite	5,00	[kg/cmq]
Quota falda (rispetto al piano di posa)	4,50	[m]

Nell'Allegato 2 alla presente relazione sono riportati i risultati di tutte le verifiche (spostamenti nodali, sollecitazioni, pressioni sul terreno, verifiche SLU, verifiche SLE, fessurazioni, verifiche geotecniche ecc...), inclusi tutti i tabulati di calcolo relativi al tombino in questione.

Nelle figure seguenti si riportano:

- Gli schemi geometrici del tombino tipologico in questione e la stratigrafia dei terreni di ricoprimento, rinfiacco e fondazione;
- Gli schemi dei carichi agenti sulla struttura;
- La deformata, il diagramma delle pressioni e delle sollecitazioni presenti all'interno della struttura.

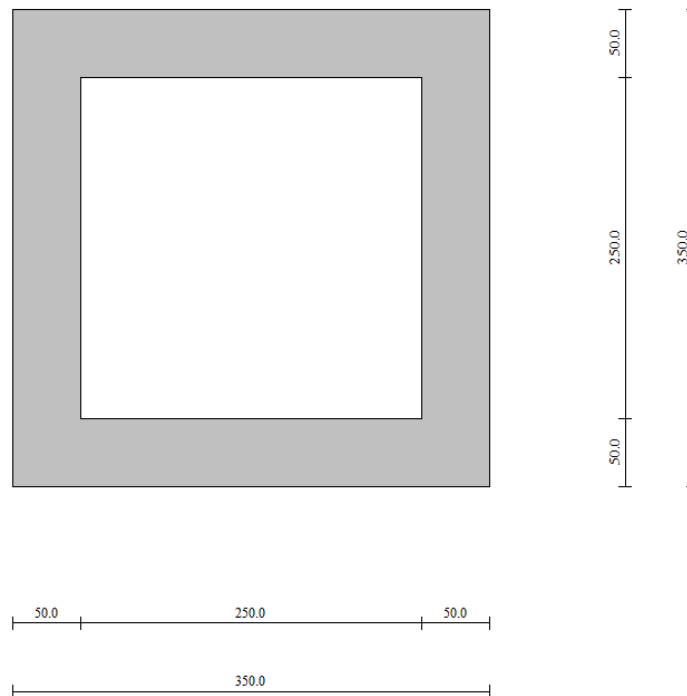


Figura 11.1: schema geometrico del tombino

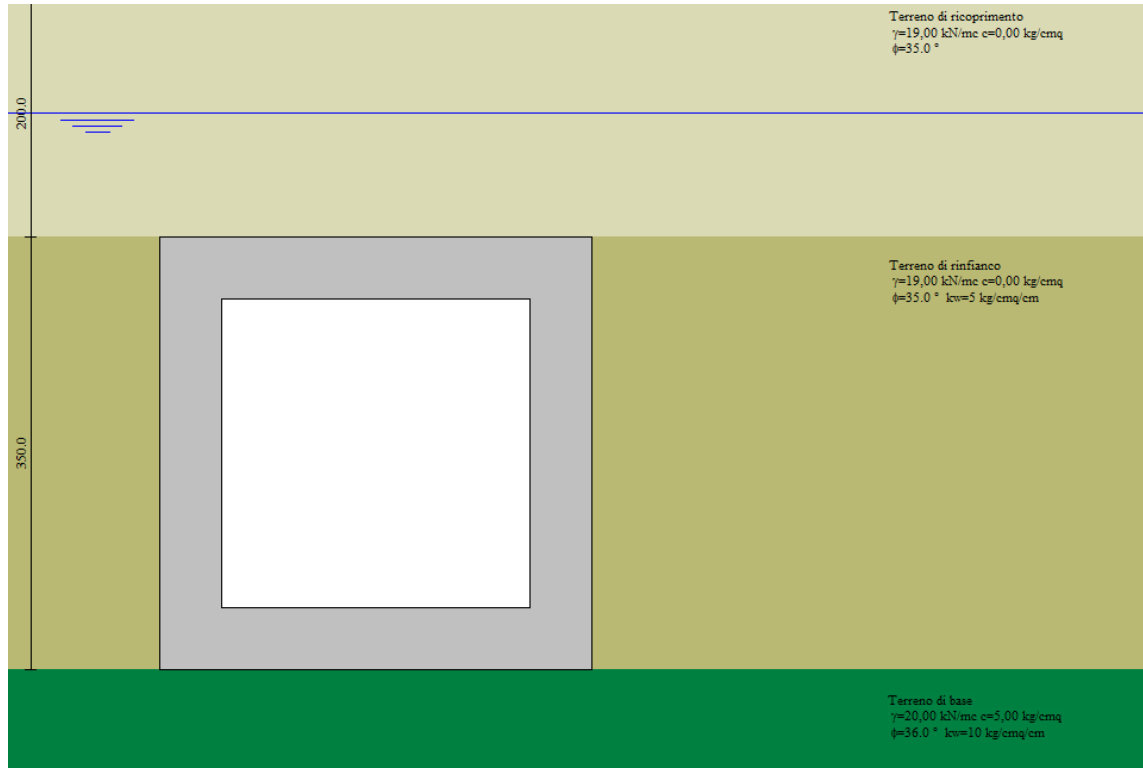


Figura 11.2: stratigrafia del terreno

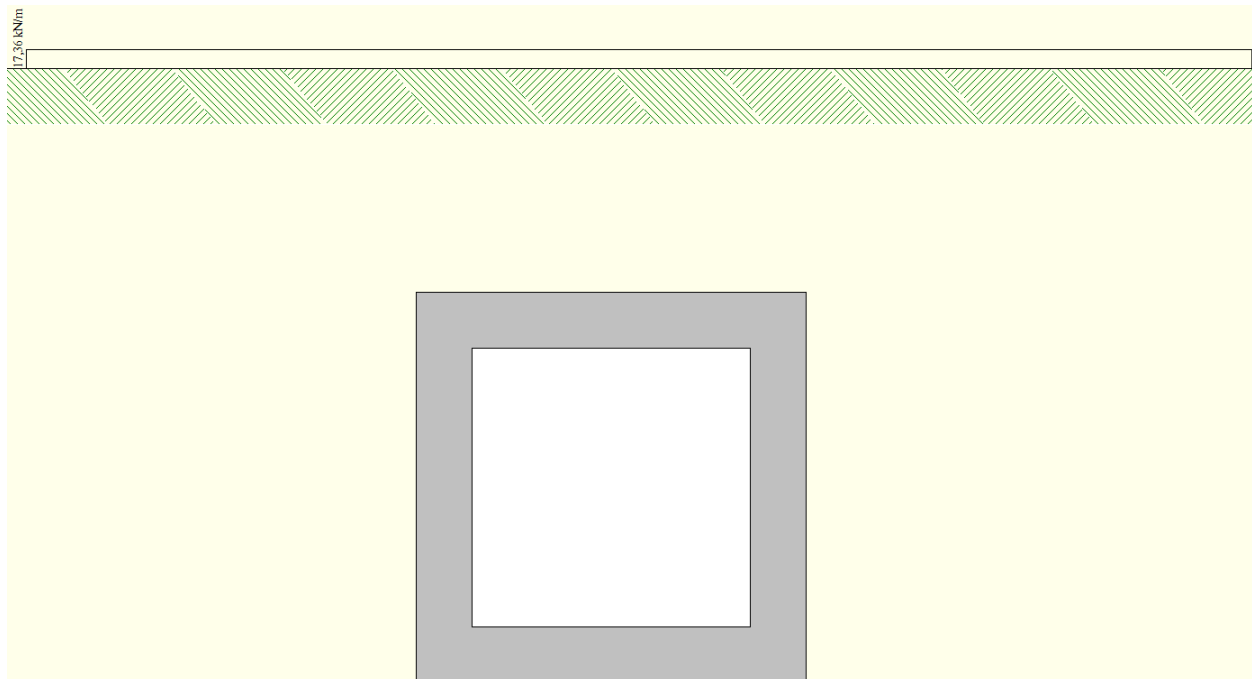


Figura 11.3: schema dei carichi permanenti non strutturali

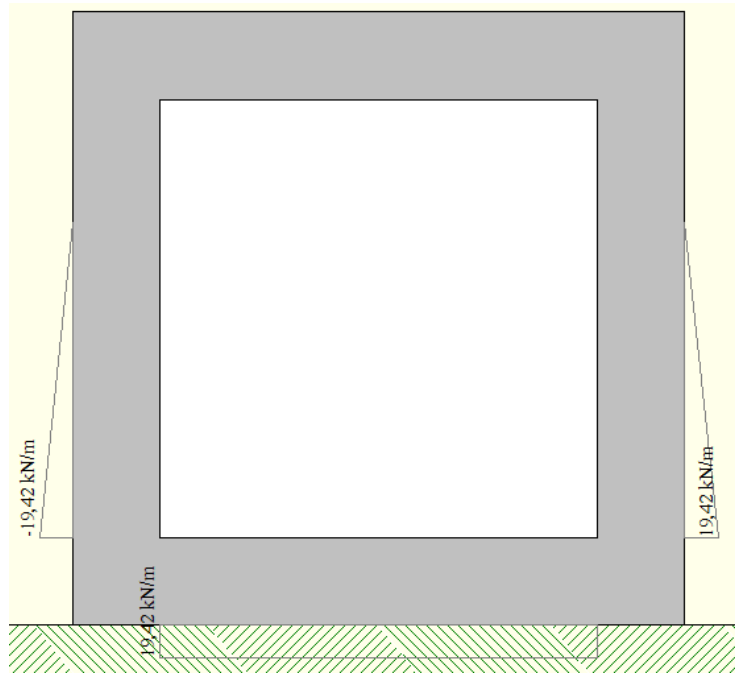


Figura 11.4: schema dei carichi idrostatici interni

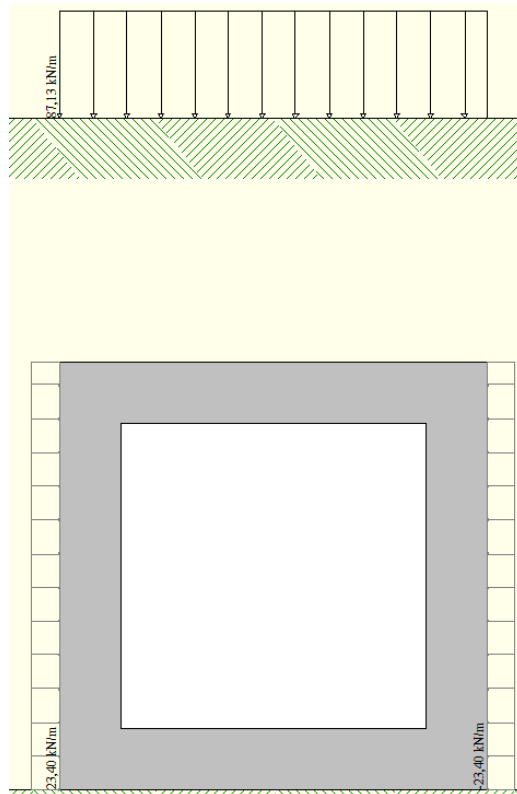


Figura 11.5: schema dei sovraccarichi variabili da traffico

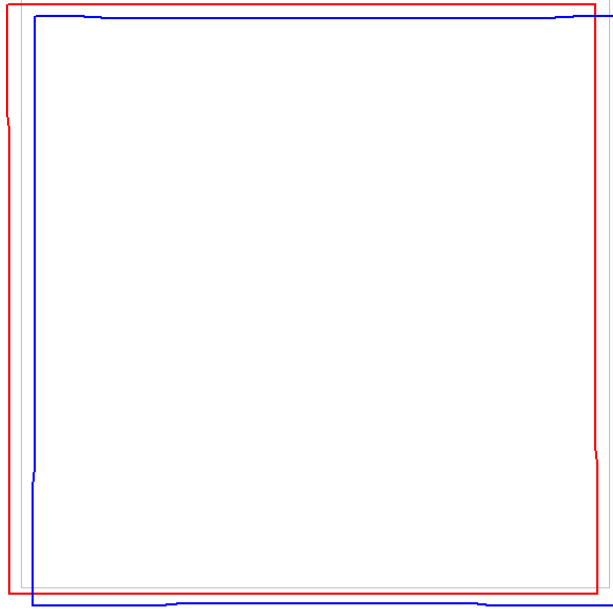


Figura 11.6: configurazione deformata della struttura (involuppo allo SLU; in rosso considerenando gli spostamenti negativi, in blu quelli positivi)

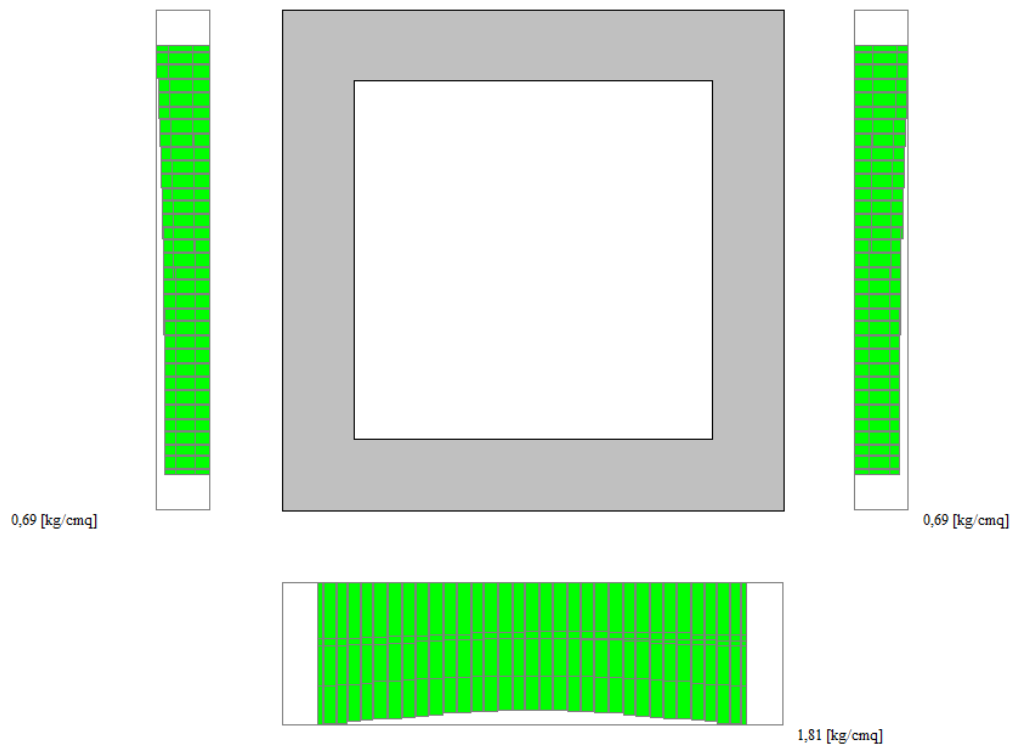
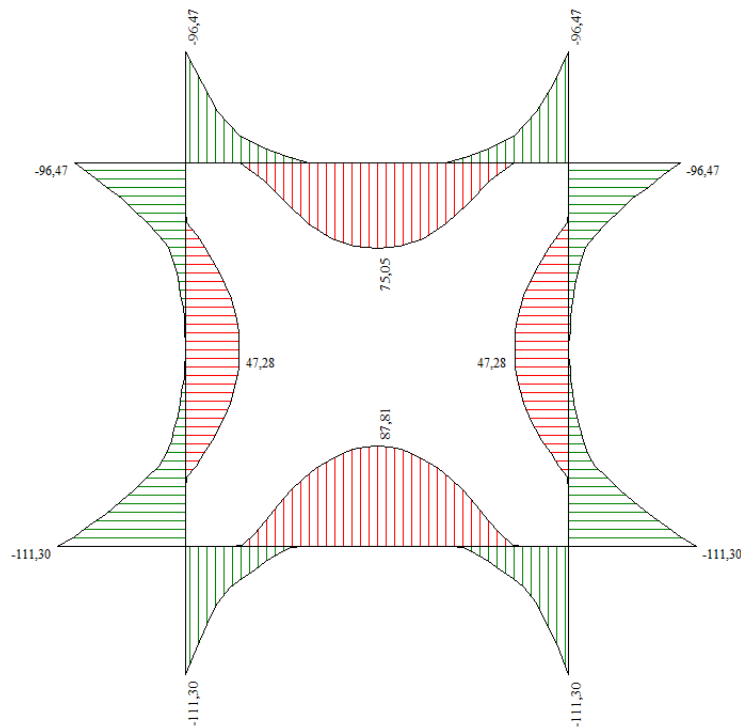
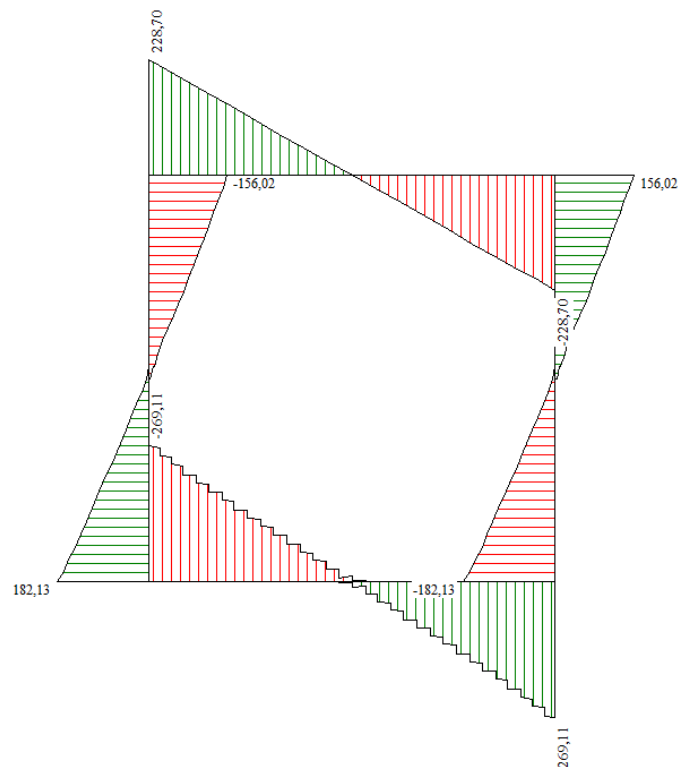


Figura 11.7: involuppo delle pressioni per l'elemento di fondazione allo SLU


 Figura 11.8: involuppo dei momenti flettenti nella struttura allo SLU (valori in $\text{kN} \cdot \text{m}$)

 Figura 11.9: involuppo del taglio nella struttura allo SLU (valori in kN)

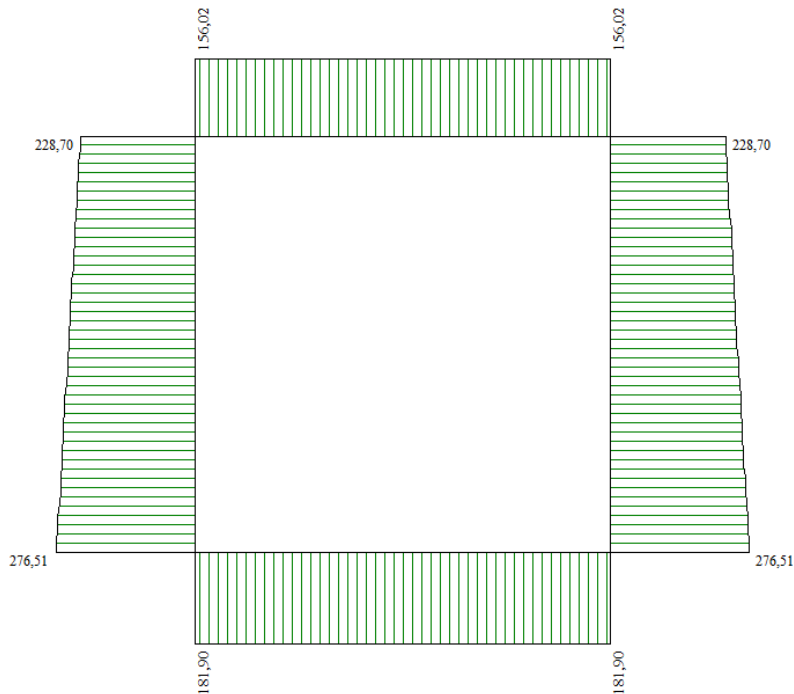


Figura 11.10: involuppo dello sforzo normale nella struttura allo SLU (valori in kN)

11.3. Sintesi dei risultati

Si riportano di seguito i risultati più sfavorevoli delle analisi allo SLU e allo SLE dell'elemento scatolare.

Stato Limite Ultimo (SLU)

Simbologia adottata ed unità di misura

N° *Indice sezione*

X *Ascissa/Ordinata sezione, espresso in cm*

M *Momento flettente, espresso in kNm*

V *Taglio, espresso in kN*

N *Sforzo normale, espresso in kN*

N_u *Sforzo normale ultimo, espressa in kN*

M_u *Momento ultimo, espressa in kNm*

A_{fi} *Area armatura inferiore, espresse in cmq*

A_{fs} *Area armatura superiore, espresse in cmq*

CS *Coeff. di sicurezza sezione*

V_{Rd} *Aliquota taglio assorbita dal calcestruzzo in elementi senza armature trasversali, espressa in kN*

V_{Rcd} Aliquota taglio assorbita dal calcestruzzo in elementi con armature trasversali, espressa in kN

V_{Rsd} Aliquota taglio assorbita armature trasversali, espressa in kN

A_{sw} Area armature trasversali nella sezione, espressa in cm²

Verifica sezioni fondazione (Inviluppo)

Base sezione B = 100 cm

Altezza sezione H = 50,00 cm

X	A _{fi}	A _{fs}	CS		
0,25	14,07	10,05	3,15		
0,98	10,05	14,07	4,60		
1,75	10,05	10,05	3,37		
2,52	10,05	14,07	4,59		
3,25	14,07	10,05	3,15		
X	V _{Rd}	V _{Rsd}	V _{Rcd}	A _{sw}	
0,25	0,00	394,30	1892,84	4,02	
0,98	208,46	0,00	0,00	0,00	
1,75	208,46	0,00	0,00	0,00	
2,52	208,46	0,00	0,00	0,00	
3,25	0,00	394,30	1892,84	4,02	

Verifica sezioni traverso (Inviluppo)

Base sezione B = 100 cm

Altezza sezione H = 50,00 cm

X	A _{fi}	A _{fs}	CS
0,25	15,27	15,27	3,92

VE 407

PO07M00STRRE01_B Tombini - Relazione tecnica e di calcolo

1,04	17,81	15,27	6,70
1,75	15,27	15,27	5,83
2,46	17,81	15,27	6,70
3,25	15,27	15,27	3,92

X	V_{Rd}	V_{Rsd}	V_{Rcd}	A_{sw}
0,25	0,00	249,52	1887,46	2,54
1,04	210,64	0,00	0,00	0,00
1,75	210,64	0,00	0,00	0,00
2,46	210,64	0,00	0,00	0,00
3,25	0,00	249,52	1887,46	2,54


Verifica sezioni piedritto sinistro (Inviluppo)

Base sezione B = 100 cm

Altezza sezione H = 50,00 cm

Y	A_{fi}	A_{fs}	CS
0,25	16,08	16,08	4,73
1,75	16,08	16,08	9,67
3,25	16,08	16,08	4,09

Y	V_{Rd}	V_{Rsd}	V_{Rcd}	A_{sw}
0,25	229,08	0,00	0,00	0,00
1,75	225,86	0,00	0,00	0,00

S.S.51"Alemagna" Variante di Longarone		
VE 407	POOTM00STRRE01_B <i>Tombini - Relazione tecnica e di calcolo</i>	

3,25 222,63 0,00 0,00 0,00

Verifica sezioni piedritto destro (Inviluppo)

Base sezione B = 100 cm

Altezza sezione H = 50,00 cm

Y	A _{fi}	A _{fs}	CS
00,25	16,08	16,08	4,73
1,75	16,08	16,08	9,67
3,25	16,08	16,08	4,09

Y	V _{Rd}	V _{Rsd}	V _{Rcd}	A _{sw}
0,25	229,08	0,00	0,00	0,00
1,75	225,86	0,00	0,00	0,00
3,25	222,63	0,00	0,00	0,00

Stato Limite di Esercizio (SLE)

Simbologia adottata ed unità di misura

N° *Indice sezione*

X *Ascissa/Ordinata sezione, espresso in m*

M *Momento flettente, espresso in kNm*

V *Taglio, espresso in kN*

N *Sforzo normale, espresso in kN*

A_{fi} *Area armatura inferiore, espressa in cmq*

A_{fs} *Area armatura superiore, espressa in cmq*

σ_{fi} *Tensione nell'armatura disposta in corrispondenza del lembo inferiore, espresse in kg/cmq*

σ_{fs} *Tensione nell'armatura disposta in corrispondenza del lembo superiore, espresse in kg/cmq*

σ_c *Tensione nel calcestruzzo, espresse in kg/cmq*

τ_c Tensione tangenziale nel calcestruzzo, espresse in kg/cmq
 A_{sw} Area armature trasversali nella sezione, espressa in cmq

Verifica sezioni fondazione (Inviluppo)

Base sezione B = 100 cm

Altezza sezione H = 50,00 cm

Y	A _{fi}	A _{fs}	σ_c	σ_{fi}	σ_{fs}
00,25	14,07	10,05	33,54	1014,83	334,50
0,98	10,05	14,07	10,15	124,93	93,31
1,75	10,05	10,05	29,06	282,95	940,36
2,52	10,05	14,07	10,15	124,93	93,31
3,25	14,07	10,05	33,54	1014,83	334,50

X	τ_c	A _{sw}
0,25	-5,4	4,02
0,98	-2,5	0,00
1,75	0,1	0,00
2,52	2,8	0,00
3,25	5,4	4,02

Verifica sezioni traverso (Inviluppo)

Base sezione B = 100 cm

Altezza sezione H = 50,00 cm

Y	A _{fi}	A _{fs}	σ_c	σ_{fi}	σ_{fs}
0,25	15,27	15,27	26,96	269,41	810,81
1,04	17,81	15,27	9,33	103,91	112,88

VE 407

P00TM00STRRE01_B *Tombini - Relazione tecnica e di calcolo*

1,75	15,27	15,27	20,71	544,08	215,70
2,46	17,81	15,27	9,33	103,91	112,88
3,25	15,27	15,27	26,96	269,41	810,81

X	τ_c	A_{sw}
0,25	4,5	2,54
1,04	2,2	0,00
1,75	0,0	0,00
2,46	-2,2	0,00
3,25	-4,5	2,54


Verifica sezioni piedritto sinistro (Inviluppo)

Base sezione B = 100 cm

Altezza sezione H = 50,00 cm

Y	A_{fi}	A_{fs}	σ_c	σ_{fi}	σ_{fs}
0,25	16,08	16,08	30,71	330,45	711,05
1,75	16,08	16,08	8,16	89,28	98,94
3,25	16,08	16,08	26,40	281,90	630,93

Y	τ_c	A_{sw}
0,25	3,7	0,00
1,75	0,1	0,00
3,25	-3,1	0,00

S.S.51 "Alemagna" Variante di Longarone		
VE 407	PO0TM00STRRE01_B <i>Tombini - Relazione tecnica e di calcolo</i>	

Verifica sezioni piedritto destro (Inviluppo)

Base sezione $B = 100$ cm
 Altezza sezione $H = 50,00$ cm

Y	A _{fi}	A _{fs}	σ_c	σ_{fi}	σ_{fs}
0,25	16,08	16,08	30,71	330,45	711,05
1,75	16,08	16,08	8,16	89,28	98,94
3,25	16,08	16,08	26,40	281,90	630,93

Y	τ_c	A _{sw}
0,25	-3,7	0,00
1,75	-0,1	0,00
3,25	3,1	0,00

Verifiche geotecniche

Simbologia adottata

IC Indice della combinazione

N_c, N_q, N_γ Fattori di capacità portante

N_c, N_q, N_γ Fattori di capacità portante corretti per effetto forma, inclinazione del carico, affondamento, etc.

q_u Portanza ultima del terreno, espressa in [kg/cmq]

Q_U Portanza ultima del terreno, espressa in [kN]/m

Q_Y Carico verticale al piano di posa, espressa in [kN]/m

FS Fattore di sicurezza a carico limite

IC	N _c	N _q	N _γ	N' _c	N' _q	N' _γ	q _u	Q _U	Q _Y	FS
1	50,59	37,75	40,05	70,90	47,11	40,05	419,01	143819,01	378,39	380,08
2	50,59	37,75	40,05	70,90	47,11	40,05	393,67	135123,70	448,38	301,36
3	50,59	37,75	40,05	70,90	47,11	40,05	393,67	135123,70	501,53	269,42

VE 407

PO0TM00STRRE01_B Tombini - Relazione tecnica e di calcolo

4	50,59	37,75	40,05	46,50	31,33	22,40	267,11	91682,34	311,60	294,23
5	50,59	37,75	40,05	45,62	30,76	21,81	260,60	89446,31	257,30	347,64
6	50,59	37,75	40,05	50,22	33,74	24,93	271,24	93098,24	235,32	395,63
7	50,59	37,75	40,05	49,36	33,18	24,34	264,44	90764,20	181,01	501,43
8	50,59	37,75	40,05	46,50	31,33	22,40	267,11	91682,34	311,60	294,23
9	50,59	37,75	40,05	45,62	30,76	21,81	260,60	89446,31	257,30	347,64
10	50,59	37,75	40,05	50,22	33,74	24,93	271,24	93098,24	235,32	395,63
11	50,59	37,75	40,05	49,36	33,18	24,34	264,44	90764,20	181,01	501,43

12. CALCOLO SEZIONE SCATOLARE 5,00 X 3,00

Si riportano di seguito i calcoli, le procedure e i tabulati relativi al progetto della tipologia di tombini 5 x 3 (luci interne).

12.1. Geometria scatolare

Descrizione:	Scatolare semplice	
Altezza esterna	4,20	[m]
Larghezza esterna	6,20	[m]
Lunghezza mensola di fondazione sinistra	0,00	[m]
Lunghezza mensola di fondazione destra	0,00	[m]
Spessore piedritto sinistro	0,60	[m]
Spessore piedritto destro	0,60	[m]
Spessore fondazione	0,60	[m]
Spessore trasverso	0,60	[m]

12.2. Caratteristiche strati terreno

Strato di ricoprimento

Descrizione	Terreno di ricoprimento	
Spessore dello strato	2,00	[m]
Peso di volume	19,0000	[kN/mc]
Peso di volume saturo	20,0000	[kN/mc]
Angolo di attrito	35,00	[°]
Coesione	0,00	[kg/cm ²]

Strato di rinfiacco

Descrizione	Terreno di rinfiacco	
Peso di volume	19,0000	[kN/mc]
Peso di volume saturo	20,0000	[kN/mc]
Angolo di attrito	35,00	[°]
Angolo di attrito terreno struttura	23,00	[°]
Coesione	0,00	[kg/cm ²]
Costante di Winkler	5,00	[kg/cm ² /cm]

Strato di base

Descrizione	Terreno di base	
Peso di volume	20,0000	[kN/mc]

Peso di volume saturo	21,0000	[kN/mc]
Angolo di attrito	36,00	[°]
Angolo di attrito terreno struttura	24,00	[°]
Coesione	5,00	[kg/cmq]
Costante di Winkler	10,00	[kg/cmq/cm]
Tensione limite	5,00	[kg/cmq]
Quota falda (rispetto al piano di posa)	5,20	[m]

Nell'Allegato 1 alla presente relazione sono riportati i risultati di tutte le verifiche (spostamenti nodali, sollecitazioni, pressioni sul terreno, verifiche SLU, verifiche SLE, fessurazioni, verifiche geotecniche ecc...), inclusi tutti i tabulati di calcolo relativi al tombino in questione.

Nelle figure seguenti si riportano:

- Gli schemi geometrici del tombino tipologico in questione e la stratigrafia dei terreni di ricoprimento, rinfiacco e fondazione;
- Gli schemi dei carichi agenti sulla struttura;
- La deformata, il diagramma delle pressioni e delle sollecitazioni presenti all'interno della struttura.

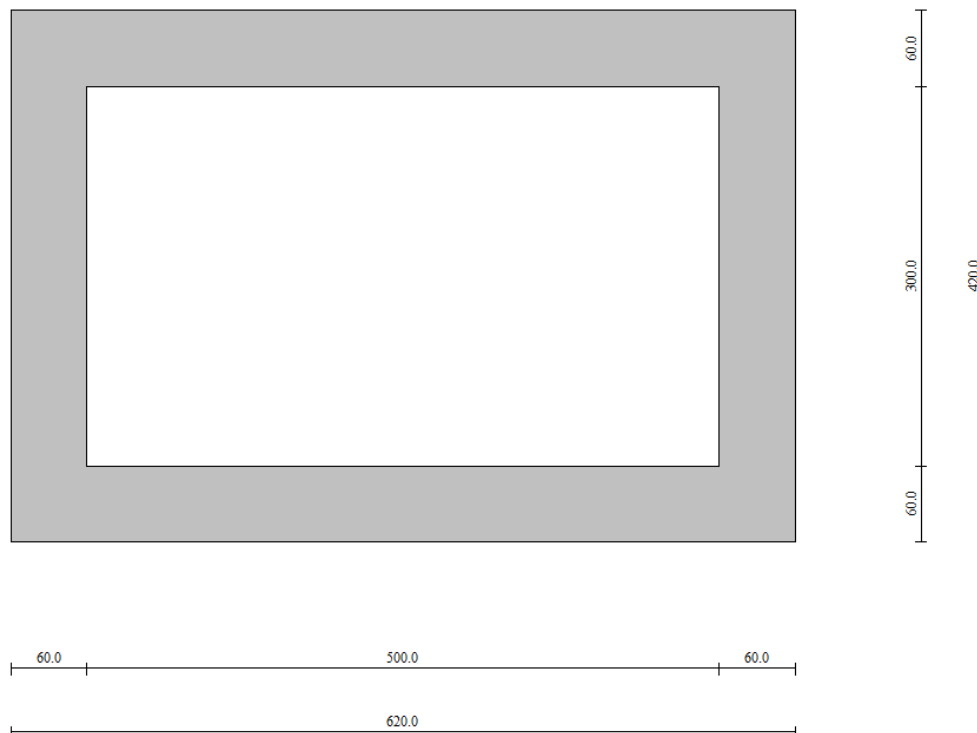


Figura 12.1: schema geometrico del tombino

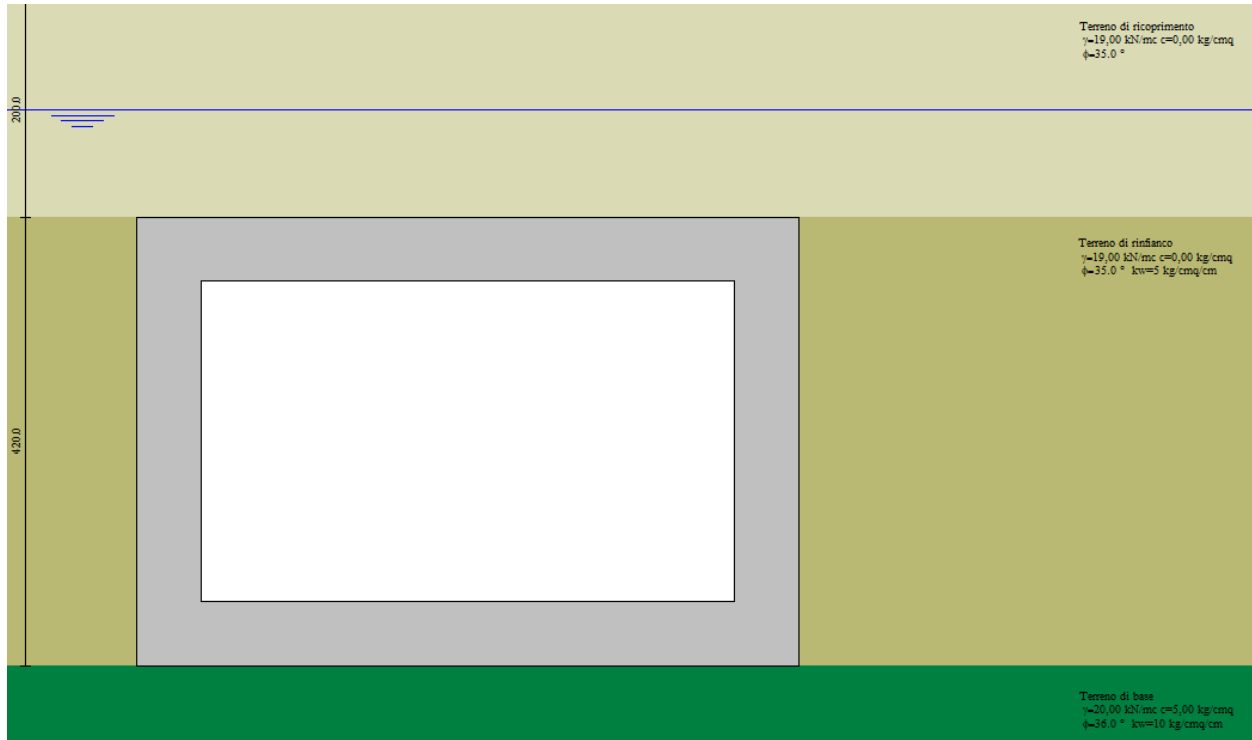


Figura 12.2: stratigrafia del terreno

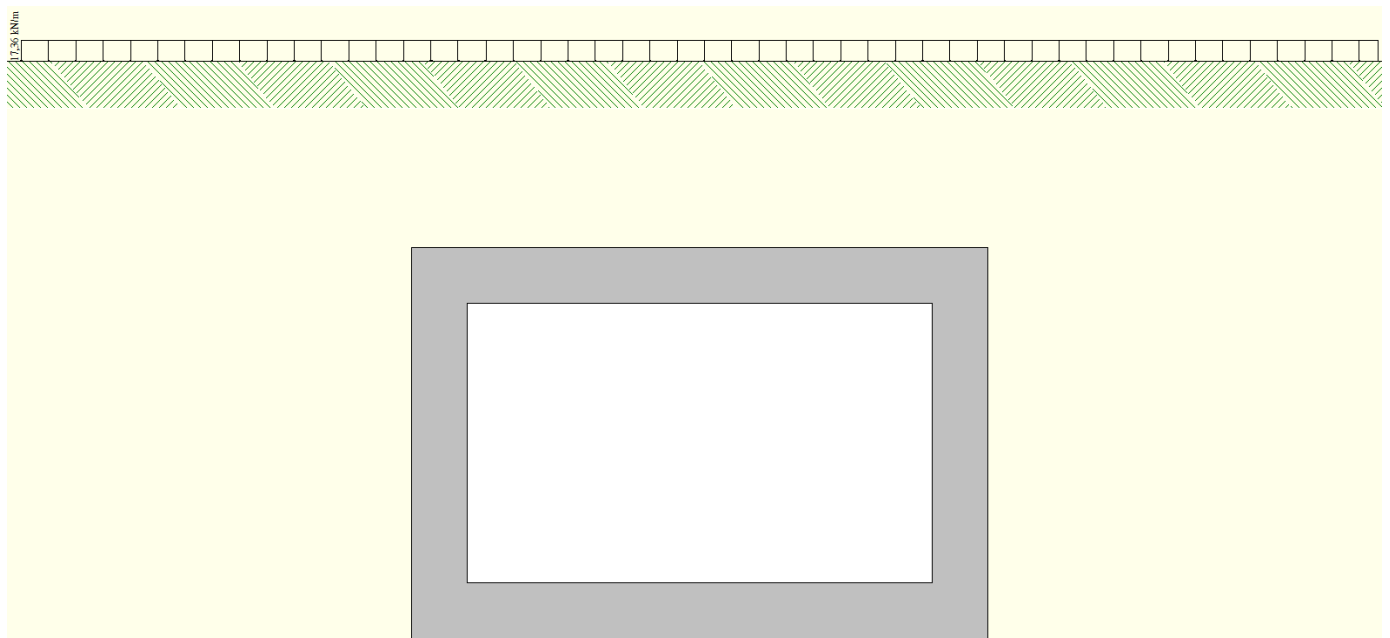


Figura 12.3: schema dei carichi permanenti non strutturali

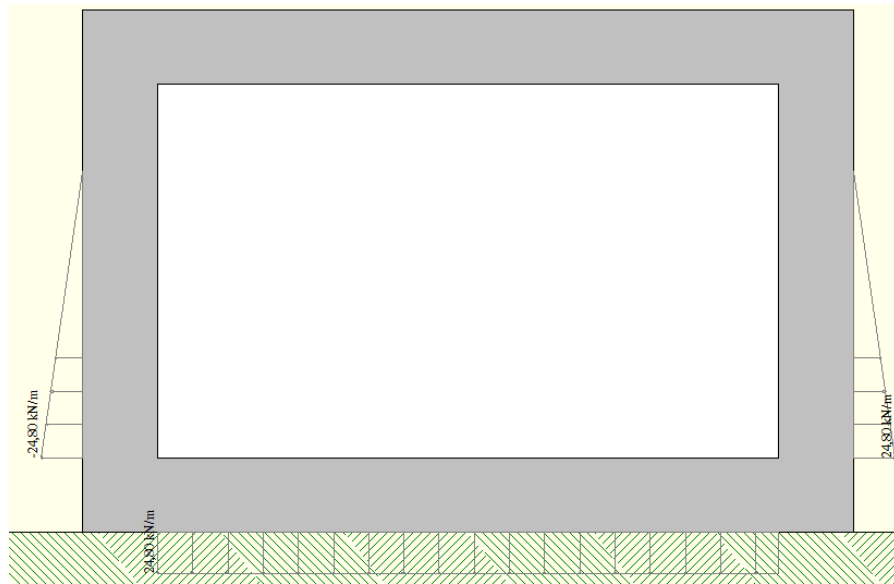


Figura 12.4: schema dei carichi idrostatici interni

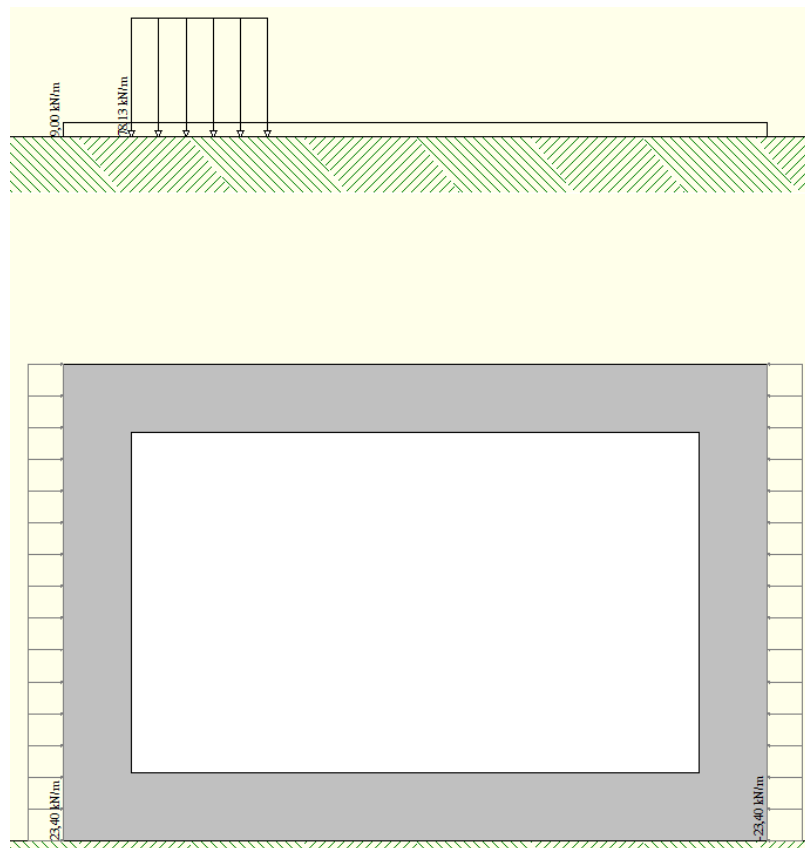


Figura 12.5: schema dei sovraccarichi variabili da traffico (pos.1)

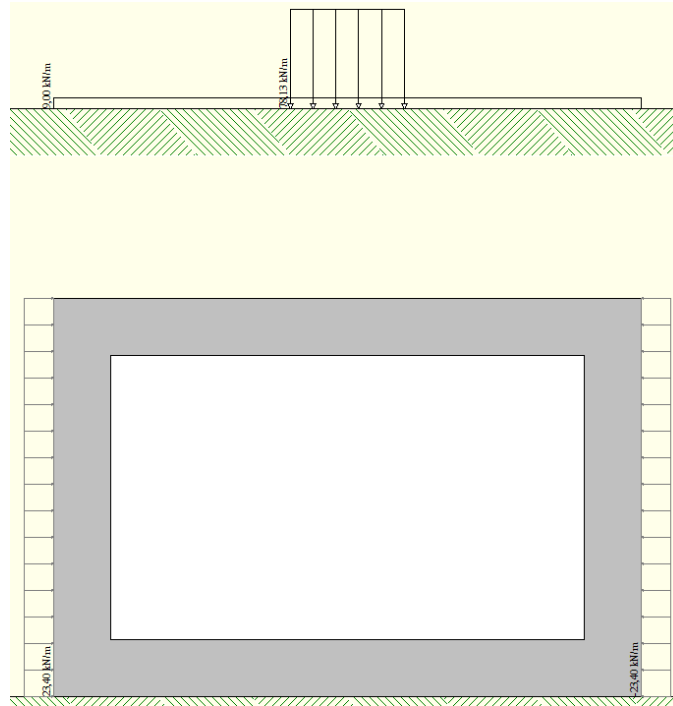


Figura 12.6 schema dei sovraccarichi variabili da traffico (pos.2)

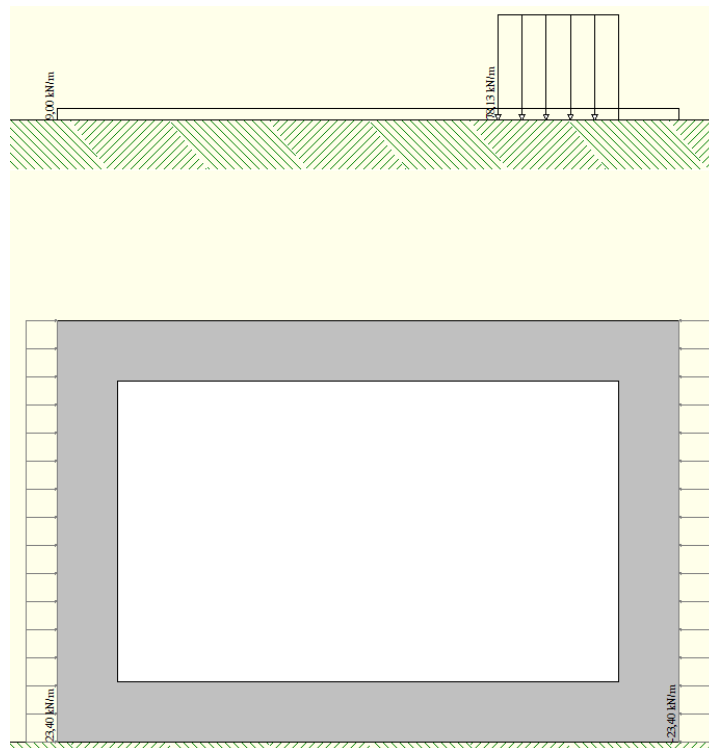


Figura 12.7: schema dei sovraccarichi variabili da traffico (pos.3)

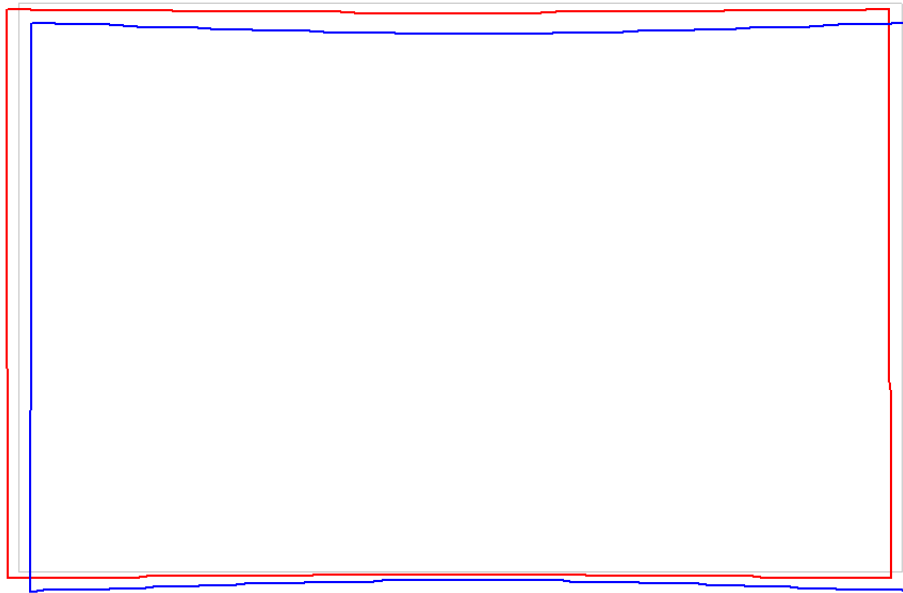


Figura 12.8: configurazione deformata della struttura (inviluppo allo SLU; in rosso considerando gli spostamenti negativi, in blu quelli positivi)

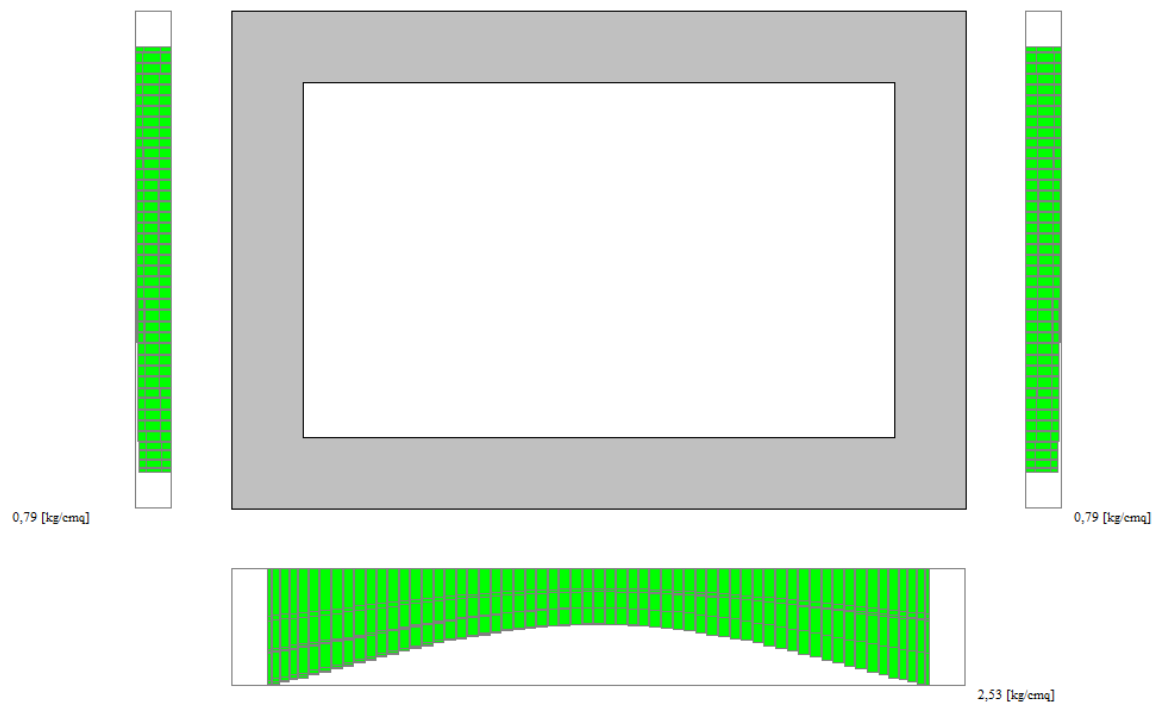


Figura 12.9: inviluppo delle pressioni per l'elemento di fondazione allo SLU

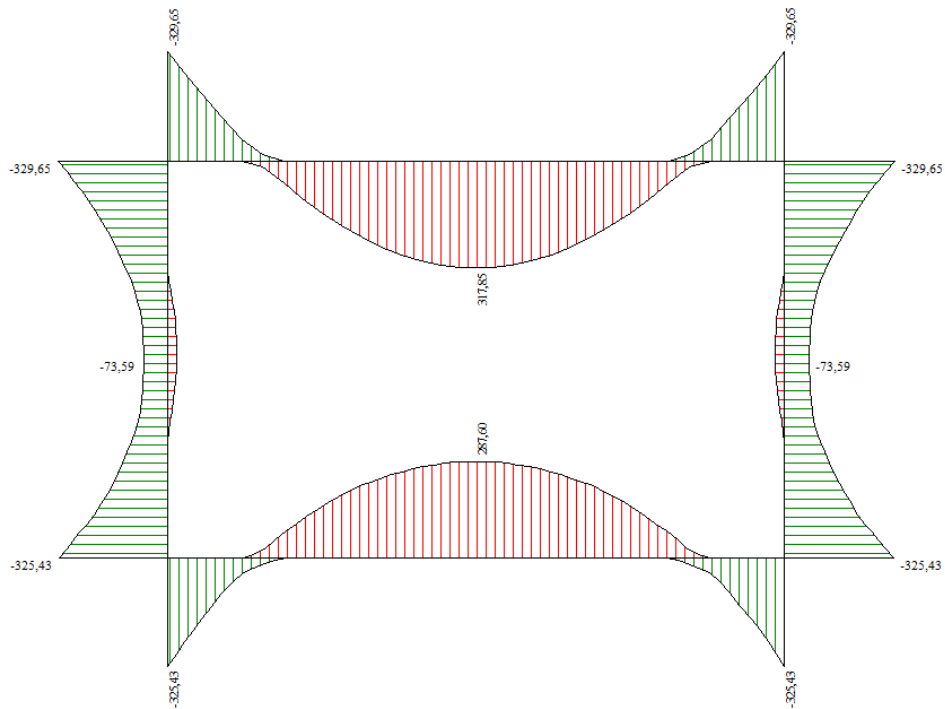


Figura 12.10: involuppo dei momenti flettenti nella struttura allo SLU(valori in kN * m)

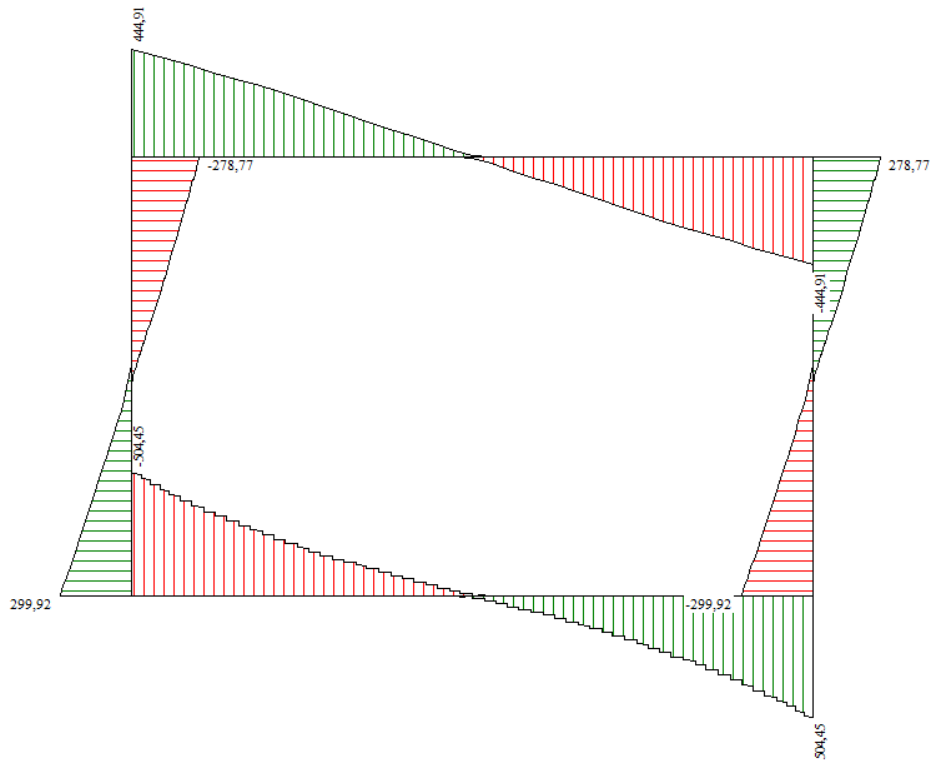


Figura 12.11: involuppo del taglio nella struttura allo SLU(valori in kN)

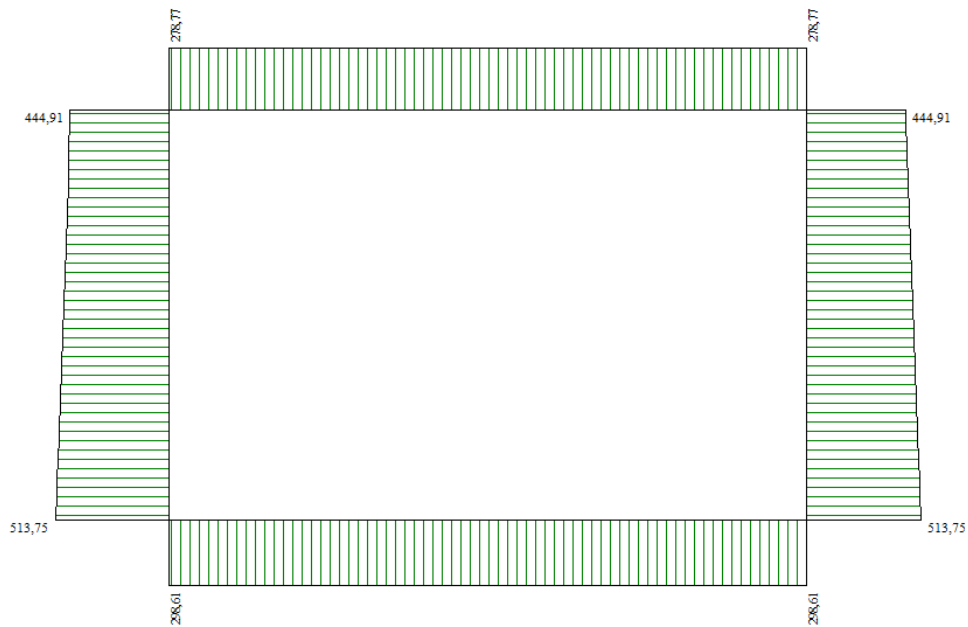


Figura 12.12: involuppo dello sforzo normale nella struttura allo SLU (valori in kN)

12.3. Sintesi dei risultati

Si riportano di seguito i risultati più sfavorevoli delle analisi allo SLU e allo SLE dell'elemento scatolare.

Stato Limite Ultimo (SLU)

Simbologia adottata ed unità di misura

N° *Indice sezione*

X *Ascissa/Ordinata sezione, espresso in cm*

M *Momento flettente, espresso in kNm*

V *Taglio, espresso in kN*

N *Sforzo normale, espresso in kN*

N_u *Sforzo normale ultimo, espressa in kN*

M_u *Momento ultimo, espressa in kNm*

A_{fi} *Area armatura inferiore, espresse in cmq*

A_{fs} *Area armatura superiore, espresse in cmq*

CS *Coeff. di sicurezza sezione*

V_{Rd} *Aliquota taglio assorbita dal calcestruzzo in elementi senza armature trasversali, espressa in kN*

V_{Rcd} *Aliquota taglio assorbita dal calcestruzzo in elementi con armature trasversali, espressa in kN*

V_{Rsd} *Aliquota taglio assorbita armature trasversali, espressa in kN*

A_{sw} *Area armature trasversali nella sezione, espressa in cmq*

Verifica sezioni fondazione (Inviluppo)

Base sezione B = 100 cm

Altezza sezione H = 60,00 cm

X	A _{fi}	A _{fs}	CS	
0,30	31,42	12,57	2,45	
1,66	15,71	18,85	2,23	
3,10	15,71	12,57	1,22	
4,54	15,71	18,85	2,14	
5,90	31,42	12,57	2,45	
X	V _{Rd}	V _{Rsd}	V _{Red}	A _{sw}
0,30	0,00	602,40	2318,22	6,28
1,66	0,00	301,20	2318,22	3,14
3,10	244,38	0,00	0,00	0,00
4,54	0,00	301,20	2318,22	3,14
5,90	0,00	602,40	2318,22	6,28

Verifica sezioni traverso (Inviluppo)

Base sezione B = 100 cm

Altezza sezione H = 60,00 cm

X	A _{fi}	A _{fs}	CS
0,30	18,85	34,56	2,61
1,70	25,13	18,85	2,48
3,10	18,85	18,85	1,54

VE 407

PO0TM00STRRE01_B Tombini - Relazione tecnica e di calcolo

4,50	25,13	18,85	2,48
5,90	18,85	34,56	2,61

X	V_{Rd}	V_{Rsd}	V_{Rcd}	A_{sw}
0,30	0,00	602,40	2310,64	6,28
1,70	0,00	301,20	2310,64	3,14
3,10	251,35	0,00	0,00	0,00
4,50	0,00	301,20	2310,64	3,14
5,90	0,00	602,40	2310,64	6,28


Verifica sezioni piedritto sinistro (Inviluppo)

Base sezione B = 100 cm

Altezza sezione H = 60,00 cm

Y	A_{fi}	A_{fs}	CS
0,30	18,85	18,85	1,88
2,10	18,85	18,85	15,19
3,90	18,85	18,85	1,74

Y	V_{Rd}	V_{Rsd}	V_{Rcd}	A_{sw}
0,30	281,87	0,00	0,00	0,00
2,10	277,14	0,00	0,00	0,00
3,90	272,41	0,00	0,00	0,00

S.S.51" Alemagna" Variante di Longarone		
VE 407	PO0TM00STRRE01_B <i>Tombini - Relazione tecnica e di calcolo</i>	

Verifica sezioni piedritto destro (Inviluppo)

Base sezione B = 100 cm

Altezza sezione H = 60,00 cm

Y	A _{fi}	A _{fs}	CS
0,30	18,85	18,85	1,88
2,10	18,85	18,85	15,19
3,90	18,85	18,85	1,74

Y	V _{Rd}	V _{Rsd}	V _{Rcd}	A _{sw}
0,30	281,87	0,00	0,00	0,00
2,10	277,14	0,00	0,00	0,00
3,90	272,41	0,00	0,00	0,00

Stato Limite di Esercizio (SLE)

Simbologia adottata ed unità di misura

N° *Indice sezione*

X *Ascissa/Ordinata sezione, espresso in m*

M *Momento flettente, espresso in kNm*

V *Taglio, espresso in kN*

N *Sforzo normale, espresso in kN*

A_{fi} *Area armatura inferiore, espressa in cmq*

A_{fs} *Area armatura superiore, espressa in cmq*

σ_{fi} *Tensione nell'armatura disposta in corrispondenza del lembo inferiore, espresse in kg/cmq*

σ_{fs} *Tensione nell'armatura disposta in corrispondenza del lembo superiore, espresse in kg/cmq*

σ_c *Tensione nel calcestruzzo, espresse in kg/cmq*

τ_c *Tensione tangenziale nel calcestruzzo, espresse in kg/cmq*

A_{sw} *Area armature trasversali nella sezione, espressa in cmq*

Verifica sezioni fondazione (Inviluppo)

Base sezione B = 100 cm

Altezza sezione H = 60,00 cm

Y	A _{fi}	A _{fs}	σ _c	σ _{fi}	σ _{fs}
0,30	31,42	12,57	53,16	1287,71	607,86
1,66	15,71	18,85	27,54	317,94	633,05
3,10	15,71	12,57	62,00	612,93	2557,08
4,54	15,71	18,85	27,54	317,94	633,05
5,90	31,42	12,57	53,16	1287,71	607,86

X	τ _c	A _{sw}
0,30	-8,2	6,28
1,66	-3,3	3,14
3,10	0,1	0,00
4,54	3,5	3,14
5,90	8,2	6,28

Verifica sezioni traverso (Inviluppo)

Base sezione B = 100 cm

Altezza sezione H = 60,00 cm

Y	A _{fi}	A _{fs}	σ _c	σ _{fi}	σ _{fs}
0,30	18,85	34,56	49,48	565,67	1199,28
1,70	25,13	18,85	26,33	568,70	307,34

VE 407

POOTM00STRRE01_B *Tombini - Relazione tecnica e di calcolo*

3,10	18,85	18,85	57,67	2009,42	603,75
4,50	25,13	18,85	26,33	568,70	307,34
5,90	18,85	34,56	49,48	565,67	1199,28

X	τ_c	A_{sw}
0,30	7,2	6,28
1,70	3,8	3,14
3,10	-0,3	0,00
4,50	-3,8	3,14
5,90	-7,2	6,28


Verifica sezioni piedritto sinistro (Inviluppo)

Base sezione B = 100 cm

Altezza sezione H = 60,00 cm

Y	A_{fi}	A_{fs}	σ_c	σ_{fi}	σ_{fs}
0,30	18,85	18,85	60,58	672,46	1690,46
2,10	18,85	18,85	12,36	168,10	78,85
3,90	18,85	18,85	60,67	661,18	1827,25

Y	τ_c	A_{sw}
0,30	5,0	0,00
2,10	0,1	0,00
3,90	-4,5	0,00

S.S.51"Alemagna" Variante di Longarone		 Anas GRUPPO FS ITALIANE
VE 407	PO0TM00STRRE01_B <i>Tombini - Relazione tecnica e di calcolo</i>	

Verifica sezioni piedritto destro (Inviluppo)

Base sezione $B = 100$ cm
 Altezza sezione $H = 60,00$ cm

Y	A _{fi}	A _{fs}	σ_c	σ_{fi}	σ_{fs}
0,30	18,85	18,85	60,58	672,46	1690,46
2,10	18,85	18,85	12,36	168,10	78,85
3,90	18,85	18,85	60,67	661,18	1827,25

Y	τ_c	A _{sw}
0,30	-5,0	0,00
2,10	-0,1	0,00
3,90	4,5	0,00

Verifiche geotecniche

Simbologia adottata

IC Indice della combinazione

N_c, N_q, N_γ Fattori di capacità portante

N_c, N_q, N_γ Fattori di capacità portante corretti per effetto forma, inclinazione del carico, affondamento, etc.

q_u Portanza ultima del terreno, espressa in [kg/cmq]

Q_U Portanza ultima del terreno, espressa in [kN]/m

Q_Y Carico verticale al piano di posa, espressa in [kN]/m

FS Fattore di sicurezza a carico limite

IC	N _c	N _q	N _γ	N' _c	N' _q	N' _γ	q _u	Q _U	Q _Y	FS
1	50,59	37,75	40,05	70,82	47,07	40,05	435,97	265077,00	720,79	367,76
2	50,59	37,75	40,05	70,82	47,07	40,05	402,83	244931,52	900,70	271,93
3	50,59	37,75	40,05	70,57	46,91	39,86	397,47	241672,04	937,03	257,91

VE 407

POOTM00STRRE01_B Tombini - Relazione tecnica e di calcolo

4	50,59	37,75	40,05	70,82	47,07	40,05	402,83	244931,52	944,74	259,26
5	50,59	37,75	40,05	70,57	46,91	39,86	397,47	241672,04	937,03	257,91
6	50,59	37,75	40,05	50,58	33,97	25,22	304,57	185182,32	591,50	313,07
7	50,59	37,75	40,05	49,83	33,49	24,70	298,97	181778,35	491,58	369,78
8	50,59	37,75	40,05	53,47	35,85	27,24	298,08	181239,86	441,52	410,49
9	50,59	37,75	40,05	52,76	35,39	26,73	292,46	177823,19	341,60	520,56
10	50,59	37,75	40,05	50,58	33,97	25,22	304,57	185182,32	591,50	313,07
11	50,59	37,75	40,05	49,83	33,49	24,70	298,97	181778,35	491,58	369,78
12	50,59	37,75	40,05	53,47	35,85	27,24	298,08	181239,86	441,52	410,49
13	50,59	37,75	40,05	52,76	35,39	26,73	292,46	177823,19	341,60	520,56

Normative di riferimento

- Legge nr. 1086 del 05/11/1971.

Norme per la disciplina delle opere in conglomerato cementizio, normale e precompresso ed a struttura metallica.

- Legge nr. 64 del 02/02/1974.

Provvedimenti per le costruzioni con particolari prescrizioni per le zone sismiche.

- D.M. LL.PP. del 11/03/1988.

Norme tecniche riguardanti le indagini sui terreni e sulle rocce, la stabilità dei pendii naturali e delle scarpate, i criteri generali e le prescrizioni per la progettazione, l'esecuzione e il collaudo delle opere di sostegno delle terre e delle opere di fondazione.

- D.M. LL.PP. del 14/02/1992.

Norme tecniche per l'esecuzione delle opere in cemento armato normale e precompresso e per le strutture metalliche.

- D.M. 9 Gennaio 1996

Norme Tecniche per il calcolo, l'esecuzione ed il collaudo delle strutture in cemento armato normale e precompresso e per le strutture metalliche

- D.M. 16 Gennaio 1996

Norme Tecniche relative ai 'Criteri generali per la verifica di sicurezza delle costruzioni e dei carichi e sovraccarichi'

- D.M. 16 Gennaio 1996

Norme Tecniche per le costruzioni in zone sismiche

- Circolare Ministero LL.PP. 15 Ottobre 1996 N. 252 AA.GG./S.T.C.

Istruzioni per l'applicazione delle Norme Tecniche di cui al D.M. 9 Gennaio 1996

- Circolare Ministero LL.PP. 10 Aprile 1997 N. 65/AA.GG.

Istruzioni per l'applicazione delle Norme Tecniche per le costruzioni in zone sismiche di cui al D.M. 16 Gennaio 1996

Norme Tecniche per le Costruzioni 2018 (D.M. 17 Gennaio 2018)

Circolare n.7 del 21/01/2019 - Istruzioni per l'applicazione dell'«Aggiornamento delle Norme Tecniche per le Costruzioni» di cui al decreto ministeriale 17 gennaio 2018.

Calcolo del carico sulla calotta

Metodo di Terzaghi

Nei riguardi della forma del diagramma di carico, cioè della modalità di applicazione delle spinte del terreno, il metodo di Terzaghi considera che il carico sul traverso si manifesti come semplice peso di una massa parabolica o ellittica di distacco.

Più in dettaglio Terzaghi fornisce due espressioni differenti della pressione a seconda della maggiore o minore altezza del ricoprimento H_0 . Le due espressioni sono:

Per $H_0 \leq 5 B_1$

$$P_v = \frac{\gamma B_1 - C}{K \operatorname{tg} \phi} [1 - e^{-A}]$$

nella quale K è un coefficiente sperimentale, che, secondo misure eseguite dallo stesso Autore è circa uguale ad 1. Inoltre:

$$B_1 = \frac{b}{2} + h \operatorname{tg} \left(45^\circ - \frac{\phi}{2} \right)$$

In questa espressione b ed h sono la larghezza e l'altezza dello scatolare e ϕ è l'angolo d'attrito del terreno di rinfianco mentre il termine A è espresso dalla relazione

$$A = K \frac{H_0}{B_1} \operatorname{tg} \phi$$

Per grandi profondità, cioè per $H_0 > 5B_1$:

$$P_v = \frac{\gamma B_1 - C}{K \operatorname{tg} \phi} [1 - e^{-D}] + \gamma H_2 e^{-D}$$

Dove

$$D = K \frac{H_1}{B_1} \operatorname{tg} \phi$$

essendo H_1 la distanza, misurata dal piano orizzontale sul quale agisce la pressione, alla quale si estende l'effetto volta e H_2 la residua distanza sino al piano campagna. La somma $H_1 + H_2$ è l'altezza del ricoprimento H_0 .

Spinta sui piedritti

Spinta attiva - Metodo di Coulomb

La teoria di Coulomb considera l'ipotesi di un cuneo di spinta a monte della parete che si muove rigidamente lungo una superficie di rottura rettilinea. Dall'equilibrio del cuneo si ricava la spinta che il terreno esercita sull'opera di sostegno. In particolare Coulomb ammette, al contrario della teoria di Rankine, l'esistenza di attrito fra il terreno e la parete, e quindi la retta di spinta risulta inclinata rispetto alla normale alla parete stesso di un angolo di attrito terra-parete.

L'espressione della spinta esercitata da un terrapieno, di peso di volume γ , su una parete di altezza H , risulta espressa secondo la teoria di Coulomb dalla seguente relazione (per terreno incoerente)

$$S = 1/2\gamma H^2 K_a$$

K_a rappresenta il coefficiente di spinta attiva di Coulomb nella versione riveduta da Muller-Breslau, espresso come

$$K_a = \frac{\sin(\alpha + \phi)}{\sin^2\alpha \sin(\alpha - \delta) \left[1 + \frac{\sqrt{[\sin(\phi + \delta)\sin(\phi - \beta)]}}{\sqrt{[\sin(\alpha - \delta)\sin(\alpha + \beta)]}} \right]^2}$$

dove ϕ è l'angolo d'attrito del terreno, α rappresenta l'angolo che la parete forma con l'orizzontale ($\alpha = 90^\circ$ per parete verticale), δ è l'angolo d'attrito terreno-parete, β è l'inclinazione del terrapieno rispetto all'orizzontale.

La spinta risulta inclinata dell'angolo d'attrito terreno-parete δ rispetto alla normale alla parete.

Il diagramma delle pressioni del terreno sulla parete risulta triangolare con il vertice in alto. Il punto di applicazione della spinta si trova in corrispondenza del baricentro del diagramma delle pressioni ($1/3 H$ rispetto alla base della parete). L'espressione di K_a perde di significato per $\beta > \phi$. Questo coincide con quanto si intuisce fisicamente: la pendenza del terreno a monte della parete non può superare l'angolo di natural declivio del terreno stesso.

Nel caso di terreno dotato di attrito e coesione c l'espressione della pressione del terreno ad una generica profondità z vale

$$\sigma_a = \gamma z K_a - 2c \sqrt{K_a}$$

Spinta in presenza di falda

Nel caso in cui a monte della parete sia presente la falda il diagramma delle pressioni sulla parete risulta modificato a causa della sottospinta che l'acqua esercita sul terreno. Il peso di volume del terreno al di sopra della linea di falda non subisce variazioni. Viceversa al di sotto del livello di falda va considerato il peso di volume di galleggiamento

$$\gamma_a = \gamma_{\text{sat}} - \gamma_w$$

dove γ_{sat} è il peso di volume saturo del terreno (dipendente dall'indice dei pori) e γ_w è il peso di volume dell'acqua. Quindi il diagramma delle pressioni al di sotto della linea di falda ha una pendenza minore. Al diagramma così ottenuto va sommato il diagramma triangolare legato alla pressione idrostatica esercitata dall'acqua.

Spinta a Riposo

Si assume che sui piedritti agisca la spinta calcolata in condizioni di riposo. Il coefficiente di spinta a riposo è espresso dalla relazione:

$$K_0 = 1 - \sin\phi$$

dove ϕ rappresenta l'angolo d'attrito interno del terreno di rinfianco.

Quindi la pressione laterale, ad una generica profondità z e la spinta totale sulla parete di altezza H valgono

$$\sigma = \gamma z K_0 + p_v K_0$$

$$S = 1/2 \gamma H^2 K_0 + p_v K_0 H$$

dove p_v è la pressione verticale agente in corrispondenza della calotta.

Spinta in presenza di sisma - Formula di Wood

Spinta del terreno nel caso di strutture rigide.

Nel caso di strutture rigide completamente vincolate, in modo tale che non può svilupparsi nel terreno uno stato di spinta attiva, nonché nel caso di muri verticali con terrapieno a superficie orizzontale, l'incremento dinamico di spinta del terreno può essere calcolato come:

$$\Delta P_d = \alpha \gamma H^2$$

$$\alpha = a_g/g * S_s * \beta_m * S_t$$

H è l'altezza sulla quale agisce la spinta. Il punto di applicazione va preso a metà altezza.

Verifica al carico limite

Il rapporto fra il carico limite in fondazione e la componente normale della risultante dei carichi trasmessi dal muro sul terreno di fondazione deve essere superiore a η_q . Cioè, detto Q_u , il carico limite ed R la risultante verticale dei carichi in fondazione, deve essere:

$$\frac{Q_u}{R} \geq \eta_q$$

Le espressioni di Hansen per il calcolo della capacità portante si differenziano a secondo se siamo in presenza di un terreno puramente coesivo ($\phi=0$) o meno e si esprimono nel modo seguente:

Caso generale:

$$q_u = cN_c s_c d_c i_c g_c b_c + qN_q s_q d_q i_q g_q b_q + 0.5B\gamma N_\gamma s_\gamma d_\gamma i_\gamma g_\gamma b_\gamma$$

Caso di terreno puramente coesivo $\phi=0$:

$$q_u = 5.14c(1+s_c+d_c-i_c-g_c-b_c) + q$$

in cui d_c, d_q, d_γ , sono i fattori di profondità; s_c, s_q, s_γ , sono i fattori di forma; i_c, i_q, i_γ , sono i fattori di inclinazione del carico; b_c, b_q, b_γ , sono i fattori di inclinazione del piano di posa; g_c, g_q, g_γ , sono i fattori che tengono conto del fatto che la fondazione poggia su un terreno in pendenza.

I fattori N_c, N_q, N_γ sono espressi come:

$$N_q = e^{\pi \tan \phi} K_p$$

$$N_c = (N_q - 1) \cot \phi$$

$$N_\gamma = 1.5(N_q - 1) \tan \phi$$

Vediamo ora come si esprimono i vari fattori che compaiono nella espressione del carico ultimo.

Fattori di forma

$$\text{per } \phi=0 \quad s_c = 0.2 \frac{B}{L}$$

$$\text{per } \phi>0 \quad s_c = 1 + \frac{N_q}{N_c} \frac{B}{L}$$

$$s_q = 1 + \frac{B}{L} \operatorname{tg}\phi$$

$$s_y = 1 - 0.4 \frac{B}{L}$$

Fattori di profondità

Si definisce il parametro k come

$$k = \frac{D}{B} \quad \text{se} \quad \frac{D}{B} \leq 1$$

$$k = \operatorname{arctg} \frac{D}{B} \quad \text{se} \quad \frac{D}{B} > 1$$

I vari coefficienti si esprimono come

$$\text{per } \phi=0 \quad d_c = 0.4k$$

$$\text{per } \phi>0 \quad d_c = 1 + 0.4k$$

$$d_q = 1 + 2\operatorname{tg}\phi(1 - \sin\phi)^2 k$$

$$d_y = 1$$

Fattori di inclinazione del carico

Indichiamo con V e H le componenti del carico rispettivamente perpendicolare e parallela alla base e con A_f l'area efficace della fondazione ottenuta come $A_f = B' \times L'$ (B' e L' sono legate alle dimensioni effettive della fondazione B , L e all'eccentricità del carico e_B , e_L dalle relazioni $B' = B - 2e_B$ $L' = L - 2e_L$) e con η l'angolo di inclinazione della fondazione espresso in gradi ($\eta=0$ per fondazione orizzontale).

I fattori di inclinazione del carico si esprimono come:

$$\text{per } \phi = 0 \quad i_c = 1/2(1 - \sqrt{1 - \frac{H}{A_f c_a}})$$

$$\text{per } \phi > 0 \quad i_c = i_q - \frac{1 - i_q}{N_q - 1}$$

$$i_q = \left(1 - \frac{0.5H}{V + A_f c_a \operatorname{tg}\phi}\right)^5$$

$$\text{per } \eta = 0 \quad i_\gamma = \left(1 - \frac{0.7H}{V + A_{rc} \text{ctg} \phi}\right)^5$$

$$\text{per } \eta > 0 \quad i_\gamma = \left(1 - \frac{(0.7 - \eta^\circ/450^\circ)H}{V + A_{rc} \text{ctg} \phi}\right)^5$$

Fattori di inclinazione del piano di posa della fondazione

$$\text{per } \phi = 0 \quad b_c = \frac{\eta^\circ}{147^\circ}$$

$$\text{per } \phi > 0 \quad b_c = 1 - \frac{\eta^\circ}{147^\circ}$$

$$b_q = e^{-2\eta \text{tg} \phi}$$

$$b_\gamma = e^{-2.7\eta \text{tg} \phi}$$

Fattori di inclinazione del terreno

Indicando con β la pendenza del pendio i fattori g si ottengono dalle espressioni seguenti:

$$\text{per } \phi = 0 \quad g_c = \frac{\beta^\circ}{147^\circ}$$

$$\text{per } \phi > 0 \quad g_c = 1 - \frac{\beta^\circ}{147^\circ}$$

$$g_q = g_\gamma = (1 - 0.05 \text{tg} \beta)^5$$

Per poter applicare la formula di Hansen devono risultare verificate le seguenti condizioni:

$$H < V \text{tg} \delta + A_{rc} a$$

$$\beta \leq \phi$$

$$i_q, i_\gamma > 0$$

$$\beta + \eta \leq 90^\circ$$

Strategia di soluzione

A partire dal tipo di terreno, dalla geometria e dai sovraccarichi agenti il programma è in grado di conoscere tutti i carichi agenti sulla struttura per ogni combinazione di carico.

La struttura scatolare viene schematizzata come un telaio piano e viene risolta mediante il metodo degli elementi finiti (FEM). Più dettagliatamente il telaio viene discretizzato in una serie di elementi connessi fra di loro nei nodi.

Il terreno di rinfianco e di fondazione viene invece schematizzato con una serie di elementi molle non reagenti a trazione (modello di Winkler). L'area della singola molla è direttamente proporzionale alla costante di Winkler del terreno e all'area di influenza della molla stessa.

A partire dalla matrice di rigidezza del singolo elemento, \mathbf{K}_e , si assembla la matrice di rigidezza di tutta la struttura \mathbf{K} . Tutti i carichi agenti sulla struttura vengono trasformati in carichi nodali (reazioni di incastro perfetto) ed inseriti nel vettore dei carichi nodali \mathbf{p} .

Indicando con \mathbf{u} il vettore degli spostamenti nodali (incogniti), la relazione risolutiva può essere scritta nella forma

$$\mathbf{K} \mathbf{u} = \mathbf{p}$$

Da questa equazione matriciale si ricavano gli spostamenti incogniti \mathbf{u}

$$\mathbf{u} = \mathbf{K}^{-1} \mathbf{p}$$

Noti gli spostamenti nodali è possibile risalire alle sollecitazioni nei vari elementi.

La soluzione del sistema viene fatta per ogni combinazione di carico agente sullo scatolare. Il successivo calcolo delle armature nei vari elementi viene condotto tenendo conto delle condizioni più gravose che si possono verificare nelle sezioni fra tutte le combinazioni di carico.

ALLEGATO 1: SCATOLARE 2,00x2,00

Geometria scatolare

Descrizione: Scatolare semplice

Altezza esterna	2,80	[m]
Larghezza esterna	2,80	[m]
Lunghezza mensola di fondazione sinistra	0,00	[m]
Lunghezza mensola di fondazione destra	0,00	[m]
Spessore piedritto sinistro	0,40	[m]
Spessore piedritto destro	0,40	[m]
Spessore fondazione	0,40	[m]
Spessore traverso	0,40	[m]

Caratteristiche strati terreno

Strato di ricoprimento

Descrizione	Terreno di ricoprimento	
Spessore dello strato	2,00	[m]
Peso di volume	19,0000	[kN/mc]
Peso di volume saturo	20,0000	[kN/mc]
Angolo di attrito	35,00	[°]
Coesione	0,00	[kg/cm ²]

Strato di rinfiacco

Descrizione	Terreno di rinfiacco	
Peso di volume	19,0000	[kN/mc]
Peso di volume saturo	20,0000	[kN/mc]
Angolo di attrito	35,00	[°]
Angolo di attrito terreno struttura	23,00	[°]
Coesione	0,00	[kg/cm ²]
Costante di Winkler	5,00	[kg/cm ² /cm]

Strato di base

Descrizione	Terreno di base	
Peso di volume	20,0000	[kN/mc]
Peso di volume saturo	21,0000	[kN/mc]
Angolo di attrito	36,00	[°]
Angolo di attrito terreno struttura	24,00	[°]
Coesione	5,00	[kg/cm ²]
Costante di Winkler	10,00	[kg/cm ² /cm]
Tensione limite	5,00	[kg/cm ²]

Falda

Quota falda (rispetto al piano di posa)	3,80	[m]
---	------	-----

Caratteristiche materiali utilizzati

Materiale calcestruzzo

R _{ck} calcestruzzo	407,88	[kg/cm ²]
Peso specifico calcestruzzo	24,5170	[kN/mc]
Modulo elastico E	338021,17	[kg/cm ²]
Tensione di snervamento acciaio	4588,65	[kg/cm ²]

Coeff. omogeneizzazione cls teso/compresso (n')	0,50
Coeff. omogeneizzazione acciaio/cls (n)	15,00
Coefficiente dilatazione termica	0,0000120

Condizioni di carico

Convenzioni adottate

Origine in corrispondenza dello spigolo inferiore sinistro della struttura
 Carichi verticali positivi se diretti verso il basso
 Carichi orizzontali positivi se diretti verso destra
 Coppie concentrate positive se antiorarie
 Ascisse X (espresse in m) positive verso destra
 Ordinate Y (espresse in m) positive verso l'alto
 Carichi concentrati espressi in kN
 Coppie concentrate espressi in kNm
 Carichi distribuiti espressi in kN/m

*Simbologia adottata e unità di misura**Forze concentrate*

X ascissa del punto di applicazione dei carichi verticali concentrati
 Y ordinata del punto di applicazione dei carichi orizzontali concentrati
 F_y componente Y del carico concentrato
 F_x componente X del carico concentrato
 M momento

Forze distribuite

X_i, X_f ascisse del punto iniziale e finale per carichi distribuiti verticali
 Y_i, Y_f ordinate del punto iniziale e finale per carichi distribuiti orizzontali
 V_{ni} componente normale del carico distribuito nel punto iniziale
 V_{nf} componente normale del carico distribuito nel punto finale
 V_{ti} componente tangenziale del carico distribuito nel punto iniziale
 V_{tf} componente tangenziale del carico distribuito nel punto finale
 D_{te} variazione termica lembo esterno espressa in gradi centigradi
 D_{ti} variazione termica lembo interno espressa in gradi centigradi

Condizione di carico n°1 (Peso Proprio)Condizione di carico n°2 (Spinta terreno sinistra)Condizione di carico n°3 (Spinta terreno destra)Condizione di carico n°4 (Sisma da sinistra)Condizione di carico n°5 (Sisma da destra)Condizione di carico n°6 (Spinta falda)Condizione di carico n° 7 (Pavimentazione stradale)

Distr	Terreno	$X_i = -2,80$	$X_f = 5,60$	$V_{ni} = 17,36$	$V_{nf} = 17,36$		
-------	---------	---------------	--------------	------------------	------------------	--	--

Condizione di carico n° 8 (CARICO IDROSTATICO liquido int.)

Distr	Fondaz.	$X_i = 0,40$	$X_f = 2,40$	$V_{ni} = 14,02$	$V_{nf} = 14,02$	$V_{ti} = 0,00$	$V_{tf} = 0,00$
Distr	Pied_S	$Y_i = 0,40$	$Y_f = 1,70$	$V_{ni} = -14,02$	$V_{nf} = 0,00$	$V_{ti} = 0,00$	$V_{tf} = 0,00$
Distr	Pied_D	$Y_i = 0,40$	$Y_f = 1,70$	$V_{ni} = 14,02$	$V_{nf} = 0,00$	$V_{ti} = 0,00$	$V_{tf} = 0,00$

Condizione di carico n° 9 (Traffico stradale)

Distr	Terreno	$X_i = 0,00$	$X_f = 2,80$	$V_{ni} = 87,13$	$V_{nf} = 87,13$		
Distr	Pied_S	$Y_i = 0,00$	$Y_f = 2,80$	$V_{ni} = 27,23$	$V_{nf} = 27,23$	$V_{ti} = 0,00$	$V_{tf} = 0,00$
Distr	Pied_D	$Y_i = 0,00$	$Y_f = 2,80$	$V_{ni} = -27,23$	$V_{nf} = -27,23$	$V_{ti} = 0,00$	$V_{tf} = 0,00$

Impostazioni di progetto

Verifica materiali:**Stato Limite Ultimo**

Coefficiente di sicurezza calcestruzzo g_c	1.50
Fattore riduzione da resistenza cubica a cilindrica	0.83
Fattore di riduzione per carichi di lungo periodo	0.85
Coefficiente di sicurezza acciaio	1.15
Coefficiente di sicurezza per la sezione	1.00

Verifica Taglio - Metodo dell'inclinazione variabile del traliccio

$$V_{Rd} = [0.18 * k * (100.0 * r_l * f_{ck})^{1/3} / g_c + 0.15 * s_{cp}] * b_w * d > (v_{min} + 0.15 * s_{cp}) * b_w * d$$

$$V_{Rsd} = 0.9 * d * A_{sw} / s * f_{yd} * (ctg \alpha + ctg \varphi) * \sin \alpha$$

$$V_{Rcd} = 0.9 * d * b_w * a_c * f_{cd}' * (ctg(\varphi) + ctg(\alpha)) / (1.0 + ctg \varphi^2)$$

con:

d	altezza utile sezione [mm]
b_w	larghezza minima sezione [mm]
s_{cp}	tensione media di compressione [N/mm ²]
r_l	rapporto geometrico di armatura
A_{sw}	area armatura trasversale [mm ²]
s	interasse tra due armature trasversali consecutive [mm]
a_c	coefficiente maggiorativo, funzione di f_{cd} e s_{cp}

$$f_{cd}' = 0.5 * f_{cd}$$

$$k = 1 + (200/d)^{1/2}$$

$$v_{min} = 0.035 * k^{3/2} * f_{ck}^{1/2}$$

Stato Limite di EsercizioCriteri di scelta per verifiche tensioni di esercizio:

Ambiente moderatamente aggressivo

Limite tensioni di compressione nel calcestruzzo (comb. rare) 0.60 f_{ck} Limite tensioni di compressione nel calcestruzzo (comb. quasi perm.) 0.45 f_{ck} Limite tensioni di trazione nell'acciaio (comb. rare) 0.80 f_{yk} Criteri verifiche a fessurazione:

Armatura poco sensibile

Apertura limite fessure espresse in [mm]

Apertura limite fessure $w_1=0,20 w_2=0,30 w_3=0,40$

Metodo di calcolo aperture delle fessure:

- NTC 2018 - C4.1.2.2.4.5

Resistenza a trazione per **Flessione**Verifiche secondo :

Norme Tecniche 2018 - Approccio 2

Copriferro sezioni 5,00 [cm]

Descrizione combinazioni di carico

Simbologia adottata

<i>g</i>	Coefficiente di partecipazione della condizione
<i>Y</i>	Coefficiente di combinazione della condizione
<i>C</i>	Coefficiente totale di partecipazione della condizione

Norme Tecniche 2018

Simbologia adottata

<i>g_{G1sfav}</i>	Coefficiente parziale sfavorevole sulle azioni permanenti
<i>g_{G1fav}</i>	Coefficiente parziale favorevole sulle azioni permanenti
<i>g_{G2sfav}</i>	Coefficiente parziale sfavorevole sulle azioni permanenti non strutturali
<i>g_{G2fav}</i>	Coefficiente parziale favorevole sulle azioni permanenti non strutturali
<i>g_Q</i>	Coefficiente parziale sulle azioni variabili
<i>g_{tanf}</i>	Coefficiente parziale di riduzione dell'angolo di attrito drenato
<i>g_{c'}</i>	Coefficiente parziale di riduzione della coesione drenata
<i>g_{cu}</i>	Coefficiente parziale di riduzione della coesione non drenata
<i>g_{qu}</i>	Coefficiente parziale di riduzione del carico ultimo

Coefficienti di partecipazione combinazioni staticheCoefficienti parziali per le azioni o per l'effetto delle azioni:

<i>Carichi</i>	<i>Effetto</i>		<i>A1</i>	<i>A2</i>
Permanenti	Favorevole	<i>g_{G1fav}</i>	1,00	1,00
Permanenti	Sfavorevole	<i>g_{G1sfav}</i>	1,30	1,00
Permanenti non strutturali	Favorevole	<i>g_{G2fav}</i>	0,80	0,80
Permanenti non strutturali	Sfavorevole	<i>g_{G2sfav}</i>	1,50	1,30
Variabili	Favorevole	<i>g_{Qifav}</i>	0,00	0,00
Variabili	Sfavorevole	<i>g_{Qisfav}</i>	1,50	1,30
Variabili da traffico	Favorevole	<i>g_{Qfav}</i>	0,00	0,00
Variabili da traffico	Sfavorevole	<i>g_{Qsfav}</i>	1,35	1,15
Termici	Favorevole	<i>g_{efav}</i>	0,00	0,00
Termici	Sfavorevole	<i>g_{esfav}</i>	1,20	1,20

Coefficienti parziali per i parametri geotecnici del terreno:

<i>Parametri</i>		<i>M1</i>	<i>M2</i>
Tangente dell'angolo di attrito	<i>g_{tanf}</i>	1,00	1,25
Coesione efficace	<i>g_{c'}</i>	1,00	1,25
Resistenza non drenata	<i>g_{cu}</i>	1,00	1,40
Resistenza a compressione uniassiale	<i>g_{qu}</i>	1,00	1,60
Peso dell'unità di volume	<i>g_g</i>	1,00	1,00

Coefficienti di partecipazione combinazioni sismicheCoefficienti parziali per le azioni o per l'effetto delle azioni:

<i>Carichi</i>	<i>Effetto</i>		<i>A1</i>	<i>A2</i>
Permanenti	Favorevole	<i>g_{G1fav}</i>	1,00	1,00
Permanenti	Sfavorevole	<i>g_{G1sfav}</i>	1,00	1,00
Permanenti	Favorevole	<i>g_{G2fav}</i>	0,00	0,00
Permanenti	Sfavorevole	<i>g_{G2sfav}</i>	1,00	1,00
Variabili	Favorevole	<i>g_{Qifav}</i>	0,00	0,00
Variabili	Sfavorevole	<i>g_{Qisfav}</i>	1,00	1,00
Variabili da traffico	Favorevole	<i>g_{Qfav}</i>	0,00	0,00
Variabili da traffico	Sfavorevole	<i>g_{Qsfav}</i>	1,00	1,00
Termici	Favorevole	<i>g_{efav}</i>	0,00	0,00
Termici	Sfavorevole	<i>g_{esfav}</i>	1,00	1,00

Coefficienti parziali per i parametri geotecnici del terreno:

<i>Parametri</i>		<i>M1</i>	<i>M2</i>
Tangente dell'angolo di attrito	$g_{\tan f}$	1,00	1,00
Coesione efficace	$g_{c'}$	1,00	1,00
Resistenza non drenata	g_{cu}	1,00	1,00
Resistenza a compressione uniassiale	g_{qu}	1,00	1,00
Peso dell'unità di volume	g_g	1,00	1,00

Combinazione n° 1 SLU (Approccio 2)

	Effetto	g	Y	C
Peso Proprio	Sfavorevole	1.30	1.00	1.30
Spinta terreno sinistra	Sfavorevole	1.30	1.00	1.30
Spinta terreno destra	Sfavorevole	1.30	1.00	1.30
Pavimentazione stradale	Sfavorevole	1.50	1.00	1.50

Combinazione n° 2 SLU (Approccio 2)

	Effetto	g	Y	C
Peso Proprio	Sfavorevole	1.30	1.00	1.30
Spinta terreno sinistra	Sfavorevole	1.30	1.00	1.30
Spinta terreno destra	Sfavorevole	1.30	1.00	1.30
Pavimentazione stradale	Sfavorevole	1.50	1.00	1.50
Spinta falda	Sfavorevole	1.30	1.00	1.30
CARICO IDROSTATICO liquido int.	Sfavorevole	1.50	1.00	1.50
Traffico stradale	Sfavorevole	1.35	0.75	1.01

Combinazione n° 3 SLU (Approccio 2)

	Effetto	g	Y	C
Peso Proprio	Sfavorevole	1.30	1.00	1.30
Spinta terreno sinistra	Sfavorevole	1.30	1.00	1.30
Spinta terreno destra	Sfavorevole	1.30	1.00	1.30
Pavimentazione stradale	Sfavorevole	1.50	1.00	1.50
Spinta falda	Sfavorevole	1.30	1.00	1.30
CARICO IDROSTATICO liquido int.	Sfavorevole	1.50	1.00	1.50
Traffico stradale	Sfavorevole	1.35	1.00	1.35

Combinazione n° 4 SLU (Approccio 2) - Sisma Vert. positivo

	Effetto	g	Y	C
Peso Proprio	Sfavorevole	1.00	1.00	1.00
Spinta terreno sinistra	Sfavorevole	1.00	1.00	1.00
Spinta terreno destra	Sfavorevole	1.00	1.00	1.00
Pavimentazione stradale	Sfavorevole	1.00	1.00	1.00
Sisma da sinistra	Sfavorevole	1.00	1.00	1.00

Combinazione n° 5 SLU (Approccio 2) - Sisma Vert. negativo

	Effetto	g	Y	C
Peso Proprio	Sfavorevole	1.00	1.00	1.00
Spinta terreno sinistra	Sfavorevole	1.00	1.00	1.00
Spinta terreno destra	Sfavorevole	1.00	1.00	1.00
Pavimentazione stradale	Sfavorevole	1.00	1.00	1.00
Sisma da sinistra	Sfavorevole	1.00	1.00	1.00

Combinazione n° 6 SLU (Approccio 2) - Sisma Vert. positivo

	Effetto	g	Y	C
Peso Proprio	Sfavorevole	1.00	1.00	1.00
Spinta terreno sinistra	Sfavorevole	1.00	1.00	1.00
Spinta terreno destra	Sfavorevole	1.00	1.00	1.00
Pavimentazione stradale	Sfavorevole	1.00	1.00	1.00
Spinta falda	Sfavorevole	1.00	1.00	1.00
CARICO IDROSTATICO liquido int.	Sfavorevole	1.00	1.00	1.00
Sisma da sinistra	Sfavorevole	1.00	1.00	1.00

Combinazione n° 7 SLU (Approccio 2) - Sisma Vert. negativo

	Effetto	g	Y	C
Peso Proprio	Sfavorevole	1.00	1.00	1.00
Spinta terreno sinistra	Sfavorevole	1.00	1.00	1.00
Spinta terreno destra	Sfavorevole	1.00	1.00	1.00
Pavimentazione stradale	Sfavorevole	1.00	1.00	1.00
Spinta falda	Sfavorevole	1.00	1.00	1.00
CARICO IDROSTATICO liquido int.	Sfavorevole	1.00	1.00	1.00
Sisma da sinistra	Sfavorevole	1.00	1.00	1.00

Combinazione n° 8 SLU (Approccio 2) - Sisma Vert. positivo

	Effetto	g	Y	C
Peso Proprio	Sfavorevole	1.00	1.00	1.00
Spinta terreno sinistra	Sfavorevole	1.00	1.00	1.00
Spinta terreno destra	Sfavorevole	1.00	1.00	1.00
Pavimentazione stradale	Sfavorevole	1.00	1.00	1.00
Sisma da destra	Sfavorevole	1.00	1.00	1.00

Combinazione n° 9 SLU (Approccio 2) - Sisma Vert. negativo

	Effetto	g	Y	C
Peso Proprio	Sfavorevole	1.00	1.00	1.00
Spinta terreno sinistra	Sfavorevole	1.00	1.00	1.00
Spinta terreno destra	Sfavorevole	1.00	1.00	1.00
Pavimentazione stradale	Sfavorevole	1.00	1.00	1.00
Sisma da destra	Sfavorevole	1.00	1.00	1.00

Combinazione n° 10 SLU (Approccio 2) - Sisma Vert. positivo

	Effetto	g	Y	C
Peso Proprio	Sfavorevole	1.00	1.00	1.00
Spinta terreno sinistra	Sfavorevole	1.00	1.00	1.00
Spinta terreno destra	Sfavorevole	1.00	1.00	1.00
Pavimentazione stradale	Sfavorevole	1.00	1.00	1.00
Spinta falda	Sfavorevole	1.00	1.00	1.00
CARICO IDROSTATICO liquido int.	Sfavorevole	1.00	1.00	1.00
Sisma da destra	Sfavorevole	1.00	1.00	1.00

Combinazione n° 11 SLU (Approccio 2) - Sisma Vert. negativo

	Effetto	g	Y	C
Peso Proprio	Sfavorevole	1.00	1.00	1.00
Spinta terreno sinistra	Sfavorevole	1.00	1.00	1.00
Spinta terreno destra	Sfavorevole	1.00	1.00	1.00
Pavimentazione stradale	Sfavorevole	1.00	1.00	1.00
Spinta falda	Sfavorevole	1.00	1.00	1.00
CARICO IDROSTATICO liquido int.	Sfavorevole	1.00	1.00	1.00
Sisma da destra	Sfavorevole	1.00	1.00	1.00

Combinazione n° 12 SLE (Quasi Permanente)

	Effetto	g	Y	C
Peso Proprio	Sfavorevole	1.00	1.00	1.00
Spinta terreno sinistra	Sfavorevole	1.00	1.00	1.00
Spinta terreno destra	Sfavorevole	1.00	1.00	1.00
Pavimentazione stradale	Sfavorevole	1.00	1.00	1.00
Spinta falda	Sfavorevole	1.00	1.00	1.00
CARICO IDROSTATICO liquido int.	Sfavorevole	1.00	1.00	1.00

Combinazione n° 13 SLE (Frequente)

	Effetto	g	Y	C
Peso Proprio	Sfavorevole	1.00	1.00	1.00
Spinta terreno sinistra	Sfavorevole	1.00	1.00	1.00
Spinta terreno destra	Sfavorevole	1.00	1.00	1.00
Pavimentazione stradale	Sfavorevole	1.00	1.00	1.00
Spinta falda	Sfavorevole	1.00	1.00	1.00
CARICO IDROSTATICO liquido int.	Sfavorevole	1.00	1.00	1.00

Combinazione n° 14 SLE (Frequente)

	Effetto	g	Y	C
Peso Proprio	Sfavorevole	1.00	1.00	1.00
Spinta terreno sinistra	Sfavorevole	1.00	1.00	1.00
Spinta terreno destra	Sfavorevole	1.00	1.00	1.00
Pavimentazione stradale	Sfavorevole	1.00	1.00	1.00
Traffico stradale	Sfavorevole	1.00	0.75	0.75
Spinta falda	Sfavorevole	1.00	1.00	1.00
CARICO IDROSTATICO liquido int.	Sfavorevole	1.00	1.00	1.00

Combinazione n° 15 SLE (Rara)

	Effetto	g	Y	C
Peso Proprio	Sfavorevole	1.00	1.00	1.00
Spinta terreno sinistra	Sfavorevole	1.00	1.00	1.00
Spinta terreno destra	Sfavorevole	1.00	1.00	1.00
Pavimentazione stradale	Sfavorevole	1.00	1.00	1.00
Spinta falda	Sfavorevole	1.00	1.00	1.00
CARICO IDROSTATICO liquido int.	Sfavorevole	1.00	1.00	1.00
Traffico stradale	Sfavorevole	1.00	0.75	0.75

Combinazione n° 16 SLE (Rara)

	Effetto	g	Y	C
Peso Proprio	Sfavorevole	1.00	1.00	1.00
Spinta terreno sinistra	Sfavorevole	1.00	1.00	1.00
Spinta terreno destra	Sfavorevole	1.00	1.00	1.00
Pavimentazione stradale	Sfavorevole	1.00	1.00	1.00
Traffico stradale	Sfavorevole	1.00	1.00	1.00
Spinta falda	Sfavorevole	1.00	1.00	1.00
CARICO IDROSTATICO liquido int.	Sfavorevole	1.00	1.00	1.00

Combinazione n° 17 SLE (Quasi Permanente) - Sisma Vert. positivo

	Effetto	g	Y	C
Peso Proprio	Sfavorevole	1.00	1.00	1.00
Spinta terreno sinistra	Sfavorevole	1.00	1.00	1.00
Spinta terreno destra	Sfavorevole	1.00	1.00	1.00
Pavimentazione stradale	Sfavorevole	1.00	1.00	1.00
Spinta falda	Sfavorevole	1.00	1.00	1.00
CARICO IDROSTATICO liquido int.	Sfavorevole	1.00	1.00	1.00
Sisma da sinistra	Sfavorevole	1.00	1.00	1.00

Combinazione n° 18 SLE (Quasi Permanente) - Sisma Vert. negativo

	Effetto	g	Y	C
Peso Proprio	Sfavorevole	1.00	1.00	1.00
Spinta terreno sinistra	Sfavorevole	1.00	1.00	1.00
Spinta terreno destra	Sfavorevole	1.00	1.00	1.00
Pavimentazione stradale	Sfavorevole	1.00	1.00	1.00
Spinta falda	Sfavorevole	1.00	1.00	1.00
CARICO IDROSTATICO liquido int.	Sfavorevole	1.00	1.00	1.00
Sisma da sinistra	Sfavorevole	1.00	1.00	1.00

Combinazione n° 19 SLE (Quasi Permanente) - Sisma Vert. positivo

	Effetto	g	Y	C
Peso Proprio	Sfavorevole	1.00	1.00	1.00
Spinta terreno sinistra	Sfavorevole	1.00	1.00	1.00
Spinta terreno destra	Sfavorevole	1.00	1.00	1.00
Pavimentazione stradale	Sfavorevole	1.00	1.00	1.00
Spinta falda	Sfavorevole	1.00	1.00	1.00
CARICO IDROSTATICO liquido int.	Sfavorevole	1.00	1.00	1.00
Sisma da destra	Sfavorevole	1.00	1.00	1.00

Combinazione n° 20 SLE (Quasi Permanente) - Sisma Vert. negativo

	Effetto	g	Y	C
Peso Proprio	Sfavorevole	1.00	1.00	1.00
Spinta terreno sinistra	Sfavorevole	1.00	1.00	1.00
Spinta terreno destra	Sfavorevole	1.00	1.00	1.00
Pavimentazione stradale	Sfavorevole	1.00	1.00	1.00
Spinta falda	Sfavorevole	1.00	1.00	1.00
CARICO IDROSTATICO liquido int.	Sfavorevole	1.00	1.00	1.00
Sisma da destra	Sfavorevole	1.00	1.00	1.00

Combinazione n° 21 SLE (Frequente) - Sisma Vert. positivo

	Effetto	g	Y	C
Peso Proprio	Sfavorevole	1.00	1.00	1.00
Spinta terreno sinistra	Sfavorevole	1.00	1.00	1.00
Spinta terreno destra	Sfavorevole	1.00	1.00	1.00
Pavimentazione stradale	Sfavorevole	1.00	1.00	1.00
Spinta falda	Sfavorevole	1.00	1.00	1.00
CARICO IDROSTATICO liquido int.	Sfavorevole	1.00	1.00	1.00
Sisma da sinistra	Sfavorevole	1.00	1.00	1.00

Combinazione n° 22 SLE (Frequente) - Sisma Vert. negativo

	Effetto	g	Y	C
Peso Proprio	Sfavorevole	1.00	1.00	1.00
Spinta terreno sinistra	Sfavorevole	1.00	1.00	1.00
Spinta terreno destra	Sfavorevole	1.00	1.00	1.00
Pavimentazione stradale	Sfavorevole	1.00	1.00	1.00
Spinta falda	Sfavorevole	1.00	1.00	1.00
CARICO IDROSTATICO liquido int.	Sfavorevole	1.00	1.00	1.00
Sisma da sinistra	Sfavorevole	1.00	1.00	1.00

Combinazione n° 23 SLE (Frequente) - Sisma Vert. positivo

	Effetto	g	Y	C
Peso Proprio	Sfavorevole	1.00	1.00	1.00
Spinta terreno sinistra	Sfavorevole	1.00	1.00	1.00
Spinta terreno destra	Sfavorevole	1.00	1.00	1.00
Pavimentazione stradale	Sfavorevole	1.00	1.00	1.00

Spinta falda	Sfavorevole	1.00	1.00	1.00
CARICO IDROSTATICO liquido int.	Sfavorevole	1.00	1.00	1.00
Sisma da destra	Sfavorevole	1.00	1.00	1.00

Combinazione n° 24 SLE (Frequente) - Sisma Vert. negativo

	Effetto	g	Y	C
Peso Proprio	Sfavorevole	1.00	1.00	1.00
Spinta terreno sinistra	Sfavorevole	1.00	1.00	1.00
Spinta terreno destra	Sfavorevole	1.00	1.00	1.00
Pavimentazione stradale	Sfavorevole	1.00	1.00	1.00
Spinta falda	Sfavorevole	1.00	1.00	1.00
CARICO IDROSTATICO liquido int.	Sfavorevole	1.00	1.00	1.00
Sisma da destra	Sfavorevole	1.00	1.00	1.00

Combinazione n° 25 SLE (Rara) - Sisma Vert. positivo

	Effetto	g	Y	C
Peso Proprio	Sfavorevole	1.00	1.00	1.00
Spinta terreno sinistra	Sfavorevole	1.00	1.00	1.00
Spinta terreno destra	Sfavorevole	1.00	1.00	1.00
Pavimentazione stradale	Sfavorevole	1.00	1.00	1.00
Spinta falda	Sfavorevole	1.00	1.00	1.00
CARICO IDROSTATICO liquido int.	Sfavorevole	1.00	1.00	1.00
Sisma da sinistra	Sfavorevole	1.00	1.00	1.00

Combinazione n° 26 SLE (Rara) - Sisma Vert. negativo

	Effetto	g	Y	C
Peso Proprio	Sfavorevole	1.00	1.00	1.00
Spinta terreno sinistra	Sfavorevole	1.00	1.00	1.00
Spinta terreno destra	Sfavorevole	1.00	1.00	1.00
Pavimentazione stradale	Sfavorevole	1.00	1.00	1.00
Spinta falda	Sfavorevole	1.00	1.00	1.00
CARICO IDROSTATICO liquido int.	Sfavorevole	1.00	1.00	1.00
Sisma da sinistra	Sfavorevole	1.00	1.00	1.00

Combinazione n° 27 SLE (Rara) - Sisma Vert. positivo

	Effetto	g	Y	C
Peso Proprio	Sfavorevole	1.00	1.00	1.00
Spinta terreno sinistra	Sfavorevole	1.00	1.00	1.00
Spinta terreno destra	Sfavorevole	1.00	1.00	1.00
Pavimentazione stradale	Sfavorevole	1.00	1.00	1.00
Spinta falda	Sfavorevole	1.00	1.00	1.00
CARICO IDROSTATICO liquido int.	Sfavorevole	1.00	1.00	1.00
Sisma da destra	Sfavorevole	1.00	1.00	1.00

Combinazione n° 28 SLE (Rara) - Sisma Vert. negativo

	Effetto	g	Y	C
Peso Proprio	Sfavorevole	1.00	1.00	1.00
Spinta terreno sinistra	Sfavorevole	1.00	1.00	1.00
Spinta terreno destra	Sfavorevole	1.00	1.00	1.00
Pavimentazione stradale	Sfavorevole	1.00	1.00	1.00
Spinta falda	Sfavorevole	1.00	1.00	1.00
CARICO IDROSTATICO liquido int.	Sfavorevole	1.00	1.00	1.00
Sisma da destra	Sfavorevole	1.00	1.00	1.00

Analisi della spinta e verifiche

Simbologia adottata ed unità di misura

Origine in corrispondenza dello spigolo inferiore sinistro della struttura

Le forze orizzontali sono considerate positive se agenti verso destra

Le forze verticali sono considerate positive se agenti verso il basso

X ascisse (espresse in m) positive verso destra

Y ordinate (espresse in m) positive verso l'alto

M momento espresso in kNm

V taglio espresso in kN

SN sforzo normale espresso in kN

ux spostamento direzione X espresso in cm

uy spostamento direzione Y espresso in cm

s_t pressione sul terreno espressa in kg/cm²

Tipo di analisi

Pressione in calotta

I carichi applicati sul terreno sono stati diffusi secondo **valore 30.00**

Metodo di calcolo della portanza

Teoria di Terzaghi

Hansen

Spinta sui piedritti

a Riposo [combinazione 1]
 a Riposo [combinazione 2]
 a Riposo [combinazione 3]
 a Riposo [combinazione 4]
 a Riposo [combinazione 5]
 a Riposo [combinazione 6]
 a Riposo [combinazione 7]
 a Riposo [combinazione 8]
 a Riposo [combinazione 9]
 a Riposo [combinazione 10]
 a Riposo [combinazione 11]
 a Riposo [combinazione 12]
 a Riposo [combinazione 13]
 a Riposo [combinazione 14]
 a Riposo [combinazione 15]
 a Riposo [combinazione 16]
 a Riposo [combinazione 17]
 a Riposo [combinazione 18]
 a Riposo [combinazione 19]
 a Riposo [combinazione 20]
 a Riposo [combinazione 21]
 a Riposo [combinazione 22]
 a Riposo [combinazione 23]
 a Riposo [combinazione 24]
 a Riposo [combinazione 25]
 a Riposo [combinazione 26]
 a Riposo [combinazione 27]
 a Riposo [combinazione 28]

Sisma**Identificazione del sito**

Latitudine 46.266591
 Longitudine 12.299962
 Comune Longarone
 Provincia Belluno
 Regione Veneto

Punti di interpolazione del reticolo

8975 - 8974 - 9196 - 9197

Tipo di opera

Tipo di costruzione	Opera di importanza strategica
Vita nominale	100 anni
Classe d'uso	IV - Opere strategiche ed industrie molto
pericolose	
Vita di riferimento	200 anni

Combinazioni SLU

Accelerazione al suolo $a_g =$	3.42 [m/s ²]
Coefficiente di amplificazione per tipo di sottosuolo (S)	1.06
Coefficiente di amplificazione topografica (St)	1.00
Coefficiente riduzione (b_m)	1.00
Rapporto intensità sismica verticale/orizzontale	0.50
Coefficiente di intensità sismica orizzontale (percento)	$k_h=(a_g/g*b_m*St*Ss) = 36.92$
Coefficiente di intensità sismica verticale (percento)	$k_v=0.50 * k_h = 18.46$

Combinazioni SLE

Accelerazione al suolo $a_g =$	1.35 [m/s ²]
Coefficiente di amplificazione per tipo di sottosuolo (S)	1.20
Coefficiente di amplificazione topografica (St)	1.00
Coefficiente riduzione (b_m)	1.00
Rapporto intensità sismica verticale/orizzontale	0.50
Coefficiente di intensità sismica orizzontale (percento)	$k_h=(a_g/g*b_m*St*Ss) = 16.51$
Coefficiente di intensità sismica verticale (percento)	$k_v=0.50 * k_h = 8.25$
Forma diagramma incremento sismico	Rettangolare

Spinta sismica Wood

Angolo diffusione sovraccarico 30,00 [°]

Coefficienti di spinta

N°combinazione	Statico	Sismico
1	0,426	0,000
2	0,426	0,000
3	0,426	0,000
4	0,426	1,009
5	0,426	1,009
6	0,426	1,009
7	0,426	1,009
8	0,426	1,009
9	0,426	1,009
10	0,426	1,009
11	0,426	1,009
12	0,426	0,000
13	0,426	0,000
14	0,426	0,000
15	0,426	0,000
16	0,426	0,000
17	0,426	0,601
18	0,426	0,601
19	0,426	0,601
20	0,426	0,601
21	0,426	0,601
22	0,426	0,601
23	0,426	0,601
24	0,426	0,601
25	0,426	0,601
26	0,426	0,601
27	0,426	0,601

28	0,426	0,601
----	-------	-------

Discretizzazione strutturale

Numero elementi fondazione	27
Numero elementi traverso	13
Numero elementi piedritto sinistro	27
Numero elementi piedritto destro	27
Numero molle fondazione	28
Numero molle piedritto sinistro	28
Numero molle piedritto destro	28

Analisi della combinazione n° 1

Pressione in calotta(solo peso terreno) 0,398217 [kg/cmq]

Carichi verticali in calotta

Xi	Xj	Q[kg/cmq]
-13,95	-3,95	0,398217
-3,95	6,75	0,606464
6,75	16,75	0,398217

Spinte sui piedritti

Piedritto sinistro Pressione sup. 0,258610 [kg/cmq] Pressione inf. 0,559335 [kg/cmq]
 Piedritto destro Pressione sup. 0,258610 [kg/cmq] Pressione inf. 0,559335 [kg/cmq]

Analisi della combinazione n° 2

Pressione in calotta(solo peso terreno) 0,305927 [kg/cmq]

Carichi verticali in calotta

Xi	Xj	Q[kg/cmq]
-13,95	-3,95	0,305927
-3,95	-1,15	0,514174
-1,15	3,95	1,007147
3,95	6,75	0,514174
6,75	16,75	0,305927

Spinte sui piedritti

Piedritto sinistro Pressione sup. 0,413544 [kg/cmq] Pressione inf. 0,574878 [kg/cmq]
 Piedritto destro Pressione sup. 0,413544 [kg/cmq] Pressione inf. 0,574878 [kg/cmq]

Falda

Pressione in calotta 0,1300[kg/cmq]
 Spinta 85,67[kN]
 Sottospinta 0,4940[kg/cmq]

Analisi della combinazione n° 3

Pressione in calotta(solo peso terreno) 0,305927 [kg/cmq]

Carichi verticali in calotta

Xi	Xj	Q[kg/cmq]
-13,95	-3,95	0,305927
-3,95	-1,15	0,514174
-1,15	3,95	1,171471
3,95	6,75	0,514174

6,75 16,75 0,305927

Spinte sui piedritti

Piedritto sinistro Pressione sup. 0,478306 [kg/cmq] Pressione inf. 0,639640 [kg/cmq]
 Piedritto destro Pressione sup. 0,478306 [kg/cmq] Pressione inf. 0,639640 [kg/cmq]

Falda

Pressione in calotta 0,1300[kg/cmq]
 Spinta 85,67[kN]
 Sottospinta 0,4940[kg/cmq]

Analisi della combinazione n° 4

Pressione in calotta(solo peso terreno) 0,306321 [kg/cmq]

Carichi verticali in calotta

Xi	Xj	Q[kg/cmq]
-13,95	-3,95	0,306321
-3,95	6,75	0,445152
6,75	16,75	0,306321

Spinte sui piedritti

Piedritto sinistro Pressione sup. 0,189823 [kg/cmq] Pressione inf. 0,421150 [kg/cmq]
 Piedritto destro Pressione sup. 0,189823 [kg/cmq] Pressione inf. 0,421150 [kg/cmq]

Spinte sismiche sui piedritti

Piedritto sinistro Pressione sup. 0,528966 [kg/cmq] Pressione inf. 0,528966 [kg/cmq]

Analisi della combinazione n° 5

Pressione in calotta(solo peso terreno) 0,306321 [kg/cmq]

Carichi verticali in calotta

Xi	Xj	Q[kg/cmq]
-13,95	-3,95	0,306321
-3,95	6,75	0,445152
6,75	16,75	0,306321

Spinte sui piedritti

Piedritto sinistro Pressione sup. 0,189823 [kg/cmq] Pressione inf. 0,421150 [kg/cmq]
 Piedritto destro Pressione sup. 0,189823 [kg/cmq] Pressione inf. 0,421150 [kg/cmq]

Spinte sismiche sui piedritti

Piedritto sinistro Pressione sup. 0,528966 [kg/cmq] Pressione inf. 0,528966 [kg/cmq]

Analisi della combinazione n° 6

Pressione in calotta(solo peso terreno) 0,235328 [kg/cmq]

Carichi verticali in calotta

Xi	Xj	Q[kg/cmq]
-13,95	-3,95	0,235328
-3,95	6,75	0,374160
6,75	16,75	0,235328

Spinte sui piedritti

Piedritto sinistro Pressione sup. 0,159550 [kg/cmq] Pressione inf. 0,283653 [kg/cmq]

Piedritto destro Pressione sup. 0,159550 [kg/cmq] Pressione inf. 0,283653 [kg/cmq]

Spinte sismiche sui piedritti

Piedritto sinistro Pressione sup. 0,383708 [kg/cmq] Pressione inf. 0,383708 [kg/cmq]

Falda

Pressione in calotta	0,1000[kg/cmq]
Spinta	65,90[kN]
Sottospinta	0,3800[kg/cmq]

Analisi della combinazione n° 7

Pressione in calotta(solo peso terreno) 0,235328 [kg/cmq]

Carichi verticali in calotta

Xi	Xj	Q[kg/cmq]
-13,95	-3,95	0,235328
-3,95	6,75	0,374160
6,75	16,75	0,235328

Spinte sui piedritti

Piedritto sinistro Pressione sup. 0,159550 [kg/cmq] Pressione inf. 0,283653 [kg/cmq]

Piedritto destro Pressione sup. 0,159550 [kg/cmq] Pressione inf. 0,283653 [kg/cmq]

Spinte sismiche sui piedritti

Piedritto sinistro Pressione sup. 0,383708 [kg/cmq] Pressione inf. 0,383708 [kg/cmq]

Falda

Pressione in calotta	0,1000[kg/cmq]
Spinta	65,90[kN]
Sottospinta	0,3800[kg/cmq]

Analisi della combinazione n° 8

Pressione in calotta(solo peso terreno) 0,306321 [kg/cmq]

Carichi verticali in calotta

Xi	Xj	Q[kg/cmq]
-13,95	-3,95	0,306321
-3,95	6,75	0,445152
6,75	16,75	0,306321

Spinte sui piedritti

Piedritto sinistro Pressione sup. 0,189823 [kg/cmq] Pressione inf. 0,421150 [kg/cmq]
 Piedritto destro Pressione sup. 0,189823 [kg/cmq] Pressione inf. 0,421150 [kg/cmq]

Spinte sismiche sui piedritti

Piedritto destro Pressione sup. 0,528966 [kg/cmq] Pressione inf. 0,528966 [kg/cmq]

Analisi della combinazione n° 9

Pressione in calotta(solo peso terreno) 0,306321 [kg/cmq]

Carichi verticali in calotta

Xi	Xj	Q[kg/cmq]
-13,95	-3,95	0,306321
-3,95	6,75	0,445152
6,75	16,75	0,306321

Spinte sui piedritti

Piedritto sinistro Pressione sup. 0,189823 [kg/cmq] Pressione inf. 0,421150 [kg/cmq]
 Piedritto destro Pressione sup. 0,189823 [kg/cmq] Pressione inf. 0,421150 [kg/cmq]

Spinte sismiche sui piedritti

Piedritto destro Pressione sup. 0,528966 [kg/cmq] Pressione inf. 0,528966 [kg/cmq]

Analisi della combinazione n° 10

Pressione in calotta(solo peso terreno) 0,235328 [kg/cmq]

Carichi verticali in calotta

Xi	Xj	Q[kg/cmq]
-13,95	-3,95	0,235328
-3,95	6,75	0,374160
6,75	16,75	0,235328

Spinte sui piedritti

Piedritto sinistro Pressione sup. 0,159550 [kg/cmq] Pressione inf. 0,283653 [kg/cmq]
 Piedritto destro Pressione sup. 0,159550 [kg/cmq] Pressione inf. 0,283653 [kg/cmq]

Spinte sismiche sui piedritti

Piedritto destro Pressione sup. 0,383708 [kg/cmq] Pressione inf. 0,383708 [kg/cmq]

Falda

Pressione in calotta 0,1000[kg/cmq]
 Spinta 65,90[kN]
 Sottospinta 0,3800[kg/cmq]

Analisi della combinazione n° 11

Pressione in calotta(solo peso terreno) 0,235328 [kg/cmq]

Carichi verticali in calotta

Xi	Xj	Q[kg/cmq]
-13,95	-3,95	0,235328
-3,95	6,75	0,374160
6,75	16,75	0,235328

Spinte sui piedritti

Piedritto sinistro Pressione sup. 0,159550 [kg/cmq] Pressione inf. 0,283653 [kg/cmq]
 Piedritto destro Pressione sup. 0,159550 [kg/cmq] Pressione inf. 0,283653 [kg/cmq]

Spinte sismiche sui piedritti

Piedritto destro Pressione sup. 0,383708 [kg/cmq] Pressione inf. 0,383708 [kg/cmq]

Falda

Pressione in calotta 0,1000[kg/cmq]
 Spinta 65,90[kN]
 Sottospinta 0,3800[kg/cmq]

Analisi della combinazione n° 12

Pressione in calotta(solo peso terreno) 0,235328 [kg/cmq]

Carichi verticali in calotta

Xi	Xj	Q[kg/cmq]
-13,95	-3,95	0,235328
-3,95	6,75	0,374160
6,75	16,75	0,235328

Spinte sui piedritti

Piedritto sinistro Pressione sup. 0,159550 [kg/cmq] Pressione inf. 0,283653 [kg/cmq]
 Piedritto destro Pressione sup. 0,159550 [kg/cmq] Pressione inf. 0,283653 [kg/cmq]

Falda

Pressione in calotta 0,1000[kg/cmq]
 Spinta 65,90[kN]
 Sottospinta 0,3800[kg/cmq]

Analisi della combinazione n° 13

Pressione in calotta(solo peso terreno) 0,235328 [kg/cmq]

Carichi verticali in calotta

Xi	Xj	Q[kg/cmq]
-13,95	-3,95	0,235328
-3,95	6,75	0,374160
6,75	16,75	0,235328

Spinte sui piedritti

Piedritto sinistro Pressione sup. 0,159550 [kg/cmq] Pressione inf. 0,283653 [kg/cmq]
 Piedritto destro Pressione sup. 0,159550 [kg/cmq] Pressione inf. 0,283653 [kg/cmq]

Falda

Pressione in calotta 0,1000[kg/cmq]
 Spinta 65,90[kN]
 Sottospinta 0,3800[kg/cmq]

Analisi della combinazione n° 14

Pressione in calotta(solo peso terreno) 0,235328 [kg/cmq]

Carichi verticali in calotta

Xi	Xj	Q[kg/cmq]
-13,95	-3,95	0,235328
-3,95	-1,15	0,374160
-1,15	3,95	0,739325

3,95	6,75	0,374160
6,75	16,75	0,235328

Spinte sui piedritti

Piedritto sinistro Pressione sup. 0,303467 [kg/cmq] Pressione inf. 0,427570 [kg/cmq]
 Piedritto destro Pressione sup. 0,303467 [kg/cmq] Pressione inf. 0,427570 [kg/cmq]

Falda

Pressione in calotta 0,1000[kg/cmq]
 Spinta 65,90[kN]
 Sottospinta 0,3800[kg/cmq]

Analisi della combinazione n° 15

Pressione in calotta(solo peso terreno) 0,235328 [kg/cmq]

Carichi verticali in calotta

Xi	Xj	Q[kg/cmq]
-13,95	-3,95	0,235328
-3,95	-1,15	0,374160
-1,15	3,95	0,739325
3,95	6,75	0,374160
6,75	16,75	0,235328

Spinte sui piedritti

Piedritto sinistro Pressione sup. 0,303467 [kg/cmq] Pressione inf. 0,427570 [kg/cmq]
 Piedritto destro Pressione sup. 0,303467 [kg/cmq] Pressione inf. 0,427570 [kg/cmq]

Falda

Pressione in calotta 0,1000[kg/cmq]
 Spinta 65,90[kN]
 Sottospinta 0,3800[kg/cmq]

Analisi della combinazione n° 16

Pressione in calotta(solo peso terreno) 0,235328 [kg/cmq]

Carichi verticali in calotta

Xi	Xj	Q[kg/cmq]
-13,95	-3,95	0,235328
-3,95	-1,15	0,374160
-1,15	3,95	0,861047
3,95	6,75	0,374160
6,75	16,75	0,235328

Spinte sui piedritti

Piedritto sinistro Pressione sup. 0,351440 [kg/cmq] Pressione inf. 0,475543 [kg/cmq]
 Piedritto destro Pressione sup. 0,351440 [kg/cmq] Pressione inf. 0,475543 [kg/cmq]

Falda

Pressione in calotta 0,1000[kg/cmq]
 Spinta 65,90[kN]
 Sottospinta 0,3800[kg/cmq]

Analisi della combinazione n° 17

Pressione in calotta(solo peso terreno) 0,235328 [kg/cmq]

Carichi verticali in calotta

Xi	Xj	Q[kg/cmq]
-13,95	-3,95	0,235328
-3,95	6,75	0,374160
6,75	16,75	0,235328

Spinte sui piedritti

Piedritto sinistro Pressione sup. 0,159550 [kg/cmq] Pressione inf. 0,283653 [kg/cmq]
 Piedritto destro Pressione sup. 0,159550 [kg/cmq] Pressione inf. 0,283653 [kg/cmq]

Spinte sismiche sui piedritti

Piedritto sinistro Pressione sup. 0,171558 [kg/cmq] Pressione inf. 0,171558 [kg/cmq]

Falda

Pressione in calotta 0,1000[kg/cmq]
 Spinta 65,90[kN]
 Sottospinta 0,3800[kg/cmq]

Analisi della combinazione n° 18

Pressione in calotta(solo peso terreno) 0,235328 [kg/cmq]

Carichi verticali in calotta

Xi	Xj	Q[kg/cmq]
-13,95	-3,95	0,235328
-3,95	6,75	0,374160
6,75	16,75	0,235328

Spinte sui piedritti

Piedritto sinistro Pressione sup. 0,159550 [kg/cmq] Pressione inf. 0,283653 [kg/cmq]
 Piedritto destro Pressione sup. 0,159550 [kg/cmq] Pressione inf. 0,283653 [kg/cmq]

Spinte sismiche sui piedritti

Piedritto sinistro Pressione sup. 0,171558 [kg/cmq] Pressione inf. 0,171558 [kg/cmq]

Falda

Pressione in calotta 0,1000[kg/cmq]
 Spinta 65,90[kN]
 Sottospinta 0,3800[kg/cmq]

Analisi della combinazione n° 19

Pressione in calotta(solo peso terreno) 0,235328 [kg/cmq]

Carichi verticali in calotta

Xi	Xj	Q[kg/cmq]
-13,95	-3,95	0,235328
-3,95	6,75	0,374160
6,75	16,75	0,235328

Spinte sui piedritti

Piedritto sinistro Pressione sup. 0,159550 [kg/cmq] Pressione inf. 0,283653 [kg/cmq]
 Piedritto destro Pressione sup. 0,159550 [kg/cmq] Pressione inf. 0,283653 [kg/cmq]

Spinte sismiche sui piedritti

Piedritto destro Pressione sup. 0,171558 [kg/cmq] Pressione inf. 0,171558 [kg/cmq]

Falda

Pressione in calotta 0,1000[kg/cmq]
 Spinta 65,90[kN]
 Sottospinta 0,3800[kg/cmq]

Analisi della combinazione n° 20

Pressione in calotta(solo peso terreno) 0,235328 [kg/cmq]

Carichi verticali in calotta

Xi	Xj	Q[kg/cmq]
-13,95	-3,95	0,235328
-3,95	6,75	0,374160
6,75	16,75	0,235328

Spinte sui piedritti

Piedritto sinistro Pressione sup. 0,159550 [kg/cmq] Pressione inf. 0,283653 [kg/cmq]
 Piedritto destro Pressione sup. 0,159550 [kg/cmq] Pressione inf. 0,283653 [kg/cmq]

Spinte sismiche sui piedritti

Piedritto destro Pressione sup. 0,171558 [kg/cmq] Pressione inf. 0,171558 [kg/cmq]

Falda

Pressione in calotta 0,1000[kg/cmq]
 Spinta 65,90[kN]
 Sottospinta 0,3800[kg/cmq]

Analisi della combinazione n° 21

Pressione in calotta(solo peso terreno) 0,235328 [kg/cmq]

Carichi verticali in calotta

Xi	Xj	Q[kg/cmq]
-13,95	-3,95	0,235328
-3,95	6,75	0,374160
6,75	16,75	0,235328

Spinte sui piedritti

Piedritto sinistro Pressione sup. 0,159550 [kg/cmq] Pressione inf. 0,283653 [kg/cmq]
 Piedritto destro Pressione sup. 0,159550 [kg/cmq] Pressione inf. 0,283653 [kg/cmq]

Spinte sismiche sui piedritti

Piedritto sinistro Pressione sup. 0,171558 [kg/cmq] Pressione inf. 0,171558 [kg/cmq]

Falda

Pressione in calotta 0,1000[kg/cmq]
 Spinta 65,90[kN]
 Sottospinta 0,3800[kg/cmq]

Analisi della combinazione n° 22

Pressione in calotta(solo peso terreno) 0,235328 [kg/cmq]

Carichi verticali in calotta

Xi	Xj	Q[kg/cmq]
-13,95	-3,95	0,235328

-3,95	6,75	0,374160
6,75	16,75	0,235328

Spinte sui piedritti

Piedritto sinistro Pressione sup. 0,159550 [kg/cmq] Pressione inf. 0,283653 [kg/cmq]
 Piedritto destro Pressione sup. 0,159550 [kg/cmq] Pressione inf. 0,283653 [kg/cmq]

Spinte sismiche sui piedritti

Piedritto sinistro Pressione sup. 0,171558 [kg/cmq] Pressione inf. 0,171558 [kg/cmq]

Falda

Pressione in calotta	0,1000[kg/cmq]
Spinta	65,90[kN]
Sottospinta	0,3800[kg/cmq]

Analisi della combinazione n° 23

Pressione in calotta(solo peso terreno) 0,235328 [kg/cmq]

Carichi verticali in calotta

Xi	Xj	Q[kg/cmq]
-13,95	-3,95	0,235328
-3,95	6,75	0,374160
6,75	16,75	0,235328

Spinte sui piedritti

Piedritto sinistro Pressione sup. 0,159550 [kg/cmq] Pressione inf. 0,283653 [kg/cmq]
 Piedritto destro Pressione sup. 0,159550 [kg/cmq] Pressione inf. 0,283653 [kg/cmq]

Spinte sismiche sui piedritti

Piedritto destro Pressione sup. 0,171558 [kg/cmq] Pressione inf. 0,171558 [kg/cmq]

Falda

Pressione in calotta	0,1000[kg/cmq]
Spinta	65,90[kN]
Sottospinta	0,3800[kg/cmq]

Analisi della combinazione n° 24

Pressione in calotta(solo peso terreno) 0,235328 [kg/cmq]

Carichi verticali in calotta

Xi	Xj	Q[kg/cmq]
-13,95	-3,95	0,235328
-3,95	6,75	0,374160
6,75	16,75	0,235328

Spinte sui piedritti

Piedritto sinistro Pressione sup. 0,159550 [kg/cmq] Pressione inf. 0,283653 [kg/cmq]
 Piedritto destro Pressione sup. 0,159550 [kg/cmq] Pressione inf. 0,283653 [kg/cmq]

Spinte sismiche sui piedritti

Piedritto destro Pressione sup. 0,171558 [kg/cmq] Pressione inf. 0,171558 [kg/cmq]

Falda

Pressione in calotta 0,1000[kg/cmq]
 Spinta 65,90[kN]
 Sottospinta 0,3800[kg/cmq]

Analisi della combinazione n° 25

Pressione in calotta(solo peso terreno) 0,235328 [kg/cmq]

Carichi verticali in calotta

Xi	Xj	Q[kg/cmq]
-13,95	-3,95	0,235328
-3,95	6,75	0,374160
6,75	16,75	0,235328

Spinte sui piedritti

Piedritto sinistro Pressione sup. 0,159550 [kg/cmq] Pressione inf. 0,283653 [kg/cmq]
 Piedritto destro Pressione sup. 0,159550 [kg/cmq] Pressione inf. 0,283653 [kg/cmq]

Spinte sismiche sui piedritti

Piedritto sinistro Pressione sup. 0,171558 [kg/cmq] Pressione inf. 0,171558 [kg/cmq]

Falda

Pressione in calotta 0,1000[kg/cmq]
 Spinta 65,90[kN]
 Sottospinta 0,3800[kg/cmq]

Analisi della combinazione n° 26

Pressione in calotta(solo peso terreno) 0,235328 [kg/cmq]

Carichi verticali in calotta

Xi	Xj	Q[kg/cmq]
-13,95	-3,95	0,235328
-3,95	6,75	0,374160
6,75	16,75	0,235328

Spinte sui piedritti

Piedritto sinistro Pressione sup. 0,159550 [kg/cmq] Pressione inf. 0,283653 [kg/cmq]
 Piedritto destro Pressione sup. 0,159550 [kg/cmq] Pressione inf. 0,283653 [kg/cmq]

Spinte sismiche sui piedritti

Piedritto sinistro Pressione sup. 0,171558 [kg/cmq] Pressione inf. 0,171558 [kg/cmq]

Falda

Pressione in calotta 0,1000[kg/cmq]
 Spinta 65,90[kN]
 Sottospinta 0,3800[kg/cmq]

Analisi della combinazione n° 27

Pressione in calotta(solo peso terreno) 0,235328 [kg/cmq]

Carichi verticali in calotta

Xi	Xj	Q[kg/cmq]
-13,95	-3,95	0,235328
-3,95	6,75	0,374160
6,75	16,75	0,235328

Spinte sui piedritti

Piedritto sinistro Pressione sup. 0,159550 [kg/cmq] Pressione inf. 0,283653 [kg/cmq]
 Piedritto destro Pressione sup. 0,159550 [kg/cmq] Pressione inf. 0,283653 [kg/cmq]

Spinte sismiche sui piedritti

Piedritto destro Pressione sup. 0,171558 [kg/cmq] Pressione inf. 0,171558 [kg/cmq]

Falda

Pressione in calotta 0,1000[kg/cmq]
 Spinta 65,90[kN]
 Sottospinta 0,3800[kg/cmq]

Analisi della combinazione n° 28

Pressione in calotta(solo peso terreno) 0,235328 [kg/cmq]

Carichi verticali in calotta

Xi	Xj	Q[kg/cmq]
-13,95	-3,95	0,235328
-3,95	6,75	0,374160
6,75	16,75	0,235328

Spinte sui piedritti

Piedritto sinistro Pressione sup. 0,159550 [kg/cmq] Pressione inf. 0,283653 [kg/cmq]
Piedritto destro Pressione sup. 0,159550 [kg/cmq] Pressione inf. 0,283653 [kg/cmq]

Spinte sismiche sui piedritti

Piedritto destro Pressione sup. 0,171558 [kg/cmq] Pressione inf. 0,171558 [kg/cmq]

Falda

Pressione in calotta 0,1000[kg/cmq]
Spinta 65,90[kN]
Sottospinta 0,3800[kg/cmq]

Spostamenti

Spostamenti fondazione (Combinazione n° 1)

X [m]	u _x [cm]	u _y [cm]
0,20	0,001	0,118
0,76	0,000	0,112
1,40	0,000	0,109
2,04	0,000	0,112
2,60	-0,001	0,118

Spostamenti traverso (Combinazione n° 1)

X [m]	u _x [cm]	u _y [cm]
0,20	0,000	0,120
0,73	0,000	0,124
1,40	0,000	0,127
2,00	0,000	0,125
2,60	0,000	0,120

Spostamenti piedritto sinistro (Combinazione n° 1)

Y [m]	u _x [cm]	u _y [cm]
0,20	0,001	0,118
1,40	-0,002	0,119
2,60	0,000	0,120

Spostamenti piedritto destro (Combinazione n° 1)

Y [m]	u _x [cm]	u _y [cm]
0,20	-0,001	0,118
1,40	0,002	0,119
2,60	0,000	0,120

Spostamenti fondazione (Combinazione n° 2)

X [m]	u _x [cm]	u _y [cm]
0,20	0,001	0,140
0,76	0,001	0,134
1,40	0,000	0,130
2,04	-0,001	0,134
2,60	-0,001	0,140

Spostamenti traverso (Combinazione n° 2)

X [m]	u _x [cm]	u _y [cm]
0,20	0,001	0,143
0,73	0,001	0,148
1,40	0,000	0,152
2,00	-0,001	0,149
2,60	-0,001	0,143

Spostamenti piedritto sinistro (Combinazione n° 2)

Y [m]	u _x [cm]	u _y [cm]
0,20	0,001	0,140

1,40	0,003	0,142
2,60	0,001	0,143

Spostamenti piedritto destro (Combinazione n° 2)

Y [m]	u _x [cm]	u _y [cm]
0,20	-0,001	0,140
1,40	-0,003	0,142
2,60	-0,001	0,143

Spostamenti fondazione (Combinazione n° 3)

X [m]	u _x [cm]	u _y [cm]
0,20	0,001	0,157
0,76	0,001	0,151
1,40	0,000	0,146
2,04	-0,001	0,151
2,60	-0,001	0,157

Spostamenti traverso (Combinazione n° 3)

X [m]	u _x [cm]	u _y [cm]
0,20	0,001	0,161
0,73	0,001	0,166
1,40	0,000	0,170
2,00	-0,001	0,167
2,60	-0,001	0,161

Spostamenti piedritto sinistro (Combinazione n° 3)

Y [m]	u _x [cm]	u _y [cm]
0,20	0,001	0,157
1,40	0,004	0,159
2,60	0,001	0,161

Spostamenti piedritto destro (Combinazione n° 3)

Y [m]	u _x [cm]	u _y [cm]
0,20	-0,001	0,157
1,40	-0,004	0,159
2,60	-0,001	0,161

Spostamenti fondazione (Combinazione n° 4)

X [m]	u _x [cm]	u _y [cm]
0,20	0,103	0,085
0,76	0,102	0,088
1,40	0,102	0,090
2,04	0,101	0,096
2,60	0,101	0,101

Spostamenti traverso (Combinazione n° 4)

X [m]	u _x [cm]	u _y [cm]
0,20	0,121	0,086
0,73	0,121	0,090
1,40	0,120	0,095
2,00	0,120	0,099

2,60	0,119	0,103
------	-------	-------

Spostamenti piedritto sinistro (Combinazione n° 4)

Y [m]	u _x [cm]	u _y [cm]
0,20	0,103	0,085
1,40	0,118	0,086
2,60	0,121	0,086

Spostamenti piedritto destro (Combinazione n° 4)

Y [m]	u _x [cm]	u _y [cm]
0,20	0,101	0,101
1,40	0,105	0,102
2,60	0,119	0,103

Spostamenti fondazione (Combinazione n° 5)

X [m]	u _x [cm]	u _y [cm]
0,20	0,103	0,069
0,76	0,102	0,073
1,40	0,102	0,076
2,04	0,101	0,081
2,60	0,101	0,086

Spostamenti traverso (Combinazione n° 5)

X [m]	u _x [cm]	u _y [cm]
0,20	0,121	0,071
0,73	0,121	0,074
1,40	0,121	0,079
2,00	0,120	0,083
2,60	0,120	0,087

Spostamenti piedritto sinistro (Combinazione n° 5)

Y [m]	u _x [cm]	u _y [cm]
0,20	0,103	0,069
1,40	0,119	0,070
2,60	0,121	0,071

Spostamenti piedritto destro (Combinazione n° 5)

Y [m]	u _x [cm]	u _y [cm]
0,20	0,101	0,086
1,40	0,105	0,087
2,60	0,120	0,087

Spostamenti fondazione (Combinazione n° 6)

X [m]	u _x [cm]	u _y [cm]
0,20	0,081	0,064
0,76	0,081	0,066
1,40	0,080	0,067
2,04	0,080	0,072
2,60	0,079	0,077

Spostamenti trasverso (Combinazione n° 6)

X [m]	u _x [cm]	u _y [cm]
0,20	0,096	0,065
0,73	0,095	0,068
1,40	0,095	0,073
2,00	0,094	0,075
2,60	0,094	0,078

Spostamenti piedritto sinistro (Combinazione n° 6)

Y [m]	u _x [cm]	u _y [cm]
0,20	0,081	0,064
1,40	0,094	0,065
2,60	0,096	0,065

Spostamenti piedritto destro (Combinazione n° 6)

Y [m]	u _x [cm]	u _y [cm]
0,20	0,079	0,077
1,40	0,082	0,078
2,60	0,094	0,078

Spostamenti fondazione (Combinazione n° 7)

X [m]	u _x [cm]	u _y [cm]
0,20	0,082	0,048
0,76	0,081	0,051
1,40	0,081	0,053
2,04	0,080	0,057
2,60	0,080	0,061

Spostamenti trasverso (Combinazione n° 7)

X [m]	u _x [cm]	u _y [cm]
0,20	0,096	0,050
0,73	0,096	0,052
1,40	0,095	0,057
2,00	0,095	0,059
2,60	0,094	0,063

Spostamenti piedritto sinistro (Combinazione n° 7)

Y [m]	u _x [cm]	u _y [cm]
0,20	0,082	0,048
1,40	0,095	0,049
2,60	0,096	0,050

Spostamenti piedritto destro (Combinazione n° 7)

Y [m]	u _x [cm]	u _y [cm]
0,20	0,080	0,061
1,40	0,081	0,062
2,60	0,094	0,063

Spostamenti fondazione (Combinazione n° 8)

X [m]	u _x [cm]	u _y [cm]
0,20	-0,101	0,101
0,76	-0,101	0,096
1,40	-0,102	0,090
2,04	-0,102	0,088
2,60	-0,103	0,085

Spostamenti traverso (Combinazione n° 8)

X [m]	u _x [cm]	u _y [cm]
0,20	-0,119	0,103
0,73	-0,120	0,099
1,40	-0,120	0,095
2,00	-0,121	0,091
2,60	-0,121	0,086

Spostamenti piedritto sinistro (Combinazione n° 8)

Y [m]	u _x [cm]	u _y [cm]
0,20	-0,101	0,101
1,40	-0,105	0,102
2,60	-0,119	0,103

Spostamenti piedritto destro (Combinazione n° 8)

Y [m]	u _x [cm]	u _y [cm]
0,20	-0,103	0,085
1,40	-0,118	0,086
2,60	-0,121	0,086

Spostamenti fondazione (Combinazione n° 9)

X [m]	u _x [cm]	u _y [cm]
0,20	-0,101	0,086
0,76	-0,101	0,081
1,40	-0,102	0,076
2,04	-0,102	0,073
2,60	-0,103	0,069

Spostamenti traverso (Combinazione n° 9)

X [m]	u _x [cm]	u _y [cm]
0,20	-0,120	0,087
0,73	-0,120	0,083
1,40	-0,121	0,079
2,00	-0,121	0,074
2,60	-0,121	0,071

Spostamenti piedritto sinistro (Combinazione n° 9)

Y [m]	u _x [cm]	u _y [cm]
0,20	-0,101	0,086
1,40	-0,105	0,087
2,60	-0,120	0,087

Spostamenti piedritto destro (Combinazione n° 9)

Y [m]	u _x [cm]	u _y [cm]
0,20	-0,103	0,069
1,40	-0,119	0,070
2,60	-0,121	0,071

Spostamenti fondazione (Combinazione n° 10)

X [m]	u _x [cm]	u _y [cm]
0,20	-0,079	0,077
0,76	-0,080	0,072
1,40	-0,080	0,067
2,04	-0,081	0,066
2,60	-0,081	0,064

Spostamenti traverso (Combinazione n° 10)

X [m]	u _x [cm]	u _y [cm]
0,20	-0,094	0,078
0,73	-0,094	0,076
1,40	-0,095	0,073
2,00	-0,095	0,069
2,60	-0,096	0,065

Spostamenti piedritto sinistro (Combinazione n° 10)

Y [m]	u _x [cm]	u _y [cm]
0,20	-0,079	0,077
1,40	-0,082	0,078
2,60	-0,094	0,078

Spostamenti piedritto destro (Combinazione n° 10)

Y [m]	u _x [cm]	u _y [cm]
0,20	-0,081	0,064
1,40	-0,094	0,065
2,60	-0,096	0,065

Spostamenti fondazione (Combinazione n° 11)

X [m]	u _x [cm]	u _y [cm]
0,20	-0,080	0,061
0,76	-0,080	0,057
1,40	-0,081	0,053
2,04	-0,081	0,051
2,60	-0,082	0,048

Spostamenti traverso (Combinazione n° 11)

X [m]	u _x [cm]	u _y [cm]
0,20	-0,094	0,063
0,73	-0,095	0,059
1,40	-0,095	0,057
2,00	-0,096	0,053
2,60	-0,096	0,050

Spostamenti piedritto sinistro (Combinazione n° 11)

Y [m]	u _x [cm]	u _y [cm]
0,20	-0,080	0,061
1,40	-0,081	0,062
2,60	-0,094	0,063

Spostamenti piedritto destro (Combinazione n° 11)

Y [m]	u _x [cm]	u _y [cm]
0,20	-0,082	0,048
1,40	-0,095	0,049
2,60	-0,096	0,050

Spostamenti fondazione (Combinazione n° 12)

X [m]	u _x [cm]	u _y [cm]
0,20	0,001	0,065
0,76	0,000	0,061
1,40	0,000	0,059
2,04	0,000	0,061
2,60	-0,001	0,065

Spostamenti traverso (Combinazione n° 12)

X [m]	u _x [cm]	u _y [cm]
0,20	0,000	0,066
0,73	0,000	0,069
1,40	0,000	0,071
2,00	0,000	0,069
2,60	0,000	0,066

Spostamenti piedritto sinistro (Combinazione n° 12)

Y [m]	u _x [cm]	u _y [cm]
0,20	0,001	0,065
1,40	0,000	0,066
2,60	0,000	0,066

Spostamenti piedritto destro (Combinazione n° 12)

Y [m]	u _x [cm]	u _y [cm]
0,20	-0,001	0,065
1,40	0,000	0,066
2,60	0,000	0,066

Spostamenti fondazione (Combinazione n° 13)

X [m]	u _x [cm]	u _y [cm]
0,20	0,001	0,065
0,76	0,000	0,061
1,40	0,000	0,059
2,04	0,000	0,061
2,60	-0,001	0,065

Spostamenti traverso (Combinazione n° 13)

X [m]	u _x [cm]	u _y [cm]
0,20	0,000	0,066
0,73	0,000	0,069
1,40	0,000	0,071
2,00	0,000	0,069
2,60	0,000	0,066

Spostamenti piedritto sinistro (Combinazione n° 13)

Y [m]	u _x [cm]	u _y [cm]
0,20	0,001	0,065
1,40	0,000	0,066
2,60	0,000	0,066

Spostamenti piedritto destro (Combinazione n° 13)

Y [m]	u _x [cm]	u _y [cm]
0,20	-0,001	0,065
1,40	0,000	0,066
2,60	0,000	0,066

Spostamenti fondazione (Combinazione n° 14)

X [m]	u _x [cm]	u _y [cm]
0,20	0,001	0,102
0,76	0,000	0,098
1,40	0,000	0,094
2,04	0,000	0,098
2,60	-0,001	0,102

Spostamenti traverso (Combinazione n° 14)

X [m]	u _x [cm]	u _y [cm]
0,20	0,001	0,105
0,73	0,000	0,108
1,40	0,000	0,111
2,00	0,000	0,109
2,60	-0,001	0,105

Spostamenti piedritto sinistro (Combinazione n° 14)

Y [m]	u _x [cm]	u _y [cm]
0,20	0,001	0,102
1,40	0,002	0,104
2,60	0,001	0,105

Spostamenti piedritto destro (Combinazione n° 14)

Y [m]	u _x [cm]	u _y [cm]
0,20	-0,001	0,102
1,40	-0,002	0,104
2,60	-0,001	0,105

Spostamenti fondazione (Combinazione n° 15)

X [m]	u _x [cm]	u _y [cm]
-------	---------------------	---------------------

0,20	0,001	0,102
0,76	0,000	0,098
1,40	0,000	0,094
2,04	0,000	0,098
2,60	-0,001	0,102

Spostamenti trasverso (Combinazione n° 15)

X [m]	u _x [cm]	u _y [cm]
0,20	0,001	0,105
0,73	0,000	0,108
1,40	0,000	0,111
2,00	0,000	0,109
2,60	-0,001	0,105

Spostamenti piedritto sinistro (Combinazione n° 15)

Y [m]	u _x [cm]	u _y [cm]
0,20	0,001	0,102
1,40	0,002	0,104
2,60	0,001	0,105

Spostamenti piedritto destro (Combinazione n° 15)

Y [m]	u _x [cm]	u _y [cm]
0,20	-0,001	0,102
1,40	-0,002	0,104
2,60	-0,001	0,105

Spostamenti fondazione (Combinazione n° 16)

X [m]	u _x [cm]	u _y [cm]
0,20	0,001	0,115
0,76	0,001	0,110
1,40	0,000	0,106
2,04	-0,001	0,110
2,60	-0,001	0,115

Spostamenti trasverso (Combinazione n° 16)

X [m]	u _x [cm]	u _y [cm]
0,20	0,001	0,117
0,73	0,000	0,121
1,40	0,000	0,125
2,00	0,000	0,122
2,60	-0,001	0,117

Spostamenti piedritto sinistro (Combinazione n° 16)

Y [m]	u _x [cm]	u _y [cm]
0,20	0,001	0,115
1,40	0,003	0,116
2,60	0,001	0,117

Spostamenti piedritto destro (Combinazione n° 16)

Y [m]	u _x [cm]	u _y [cm]
-------	---------------------	---------------------

0,20	-0,001	0,115
1,40	-0,003	0,116
2,60	-0,001	0,117

Spostamenti fondazione (Combinazione n° 17)

X [m]	u _x [cm]	u _y [cm]
0,20	0,037	0,064
0,76	0,036	0,063
1,40	0,036	0,063
2,04	0,035	0,066
2,60	0,035	0,070

Spostamenti traverso (Combinazione n° 17)

X [m]	u _x [cm]	u _y [cm]
0,20	0,043	0,066
0,73	0,043	0,069
1,40	0,042	0,072
2,00	0,042	0,072
2,60	0,042	0,072

Spostamenti piedritto sinistro (Combinazione n° 17)

Y [m]	u _x [cm]	u _y [cm]
0,20	0,037	0,064
1,40	0,042	0,065
2,60	0,043	0,066

Spostamenti piedritto destro (Combinazione n° 17)

Y [m]	u _x [cm]	u _y [cm]
0,20	0,035	0,070
1,40	0,036	0,071
2,60	0,042	0,072

Spostamenti fondazione (Combinazione n° 18)

X [m]	u _x [cm]	u _y [cm]
0,20	0,037	0,057
0,76	0,036	0,057
1,40	0,036	0,056
2,04	0,036	0,060
2,60	0,035	0,063

Spostamenti traverso (Combinazione n° 18)

X [m]	u _x [cm]	u _y [cm]
0,20	0,043	0,059
0,73	0,043	0,062
1,40	0,043	0,065
2,00	0,042	0,065
2,60	0,042	0,065

Spostamenti piedritto sinistro (Combinazione n° 18)

Y [m]	u _x [cm]	u _y [cm]
0,20	0,037	0,057
1,40	0,043	0,058
2,60	0,043	0,059

Spostamenti piedritto destro (Combinazione n° 18)

Y [m]	u _x [cm]	u _y [cm]
0,20	0,035	0,063
1,40	0,036	0,064
2,60	0,042	0,065

Spostamenti fondazione (Combinazione n° 19)

X [m]	u _x [cm]	u _y [cm]
0,20	-0,035	0,070
0,76	-0,035	0,066
1,40	-0,036	0,063
2,04	-0,036	0,063
2,60	-0,037	0,064

Spostamenti traverso (Combinazione n° 19)

X [m]	u _x [cm]	u _y [cm]
0,20	-0,042	0,072
0,73	-0,042	0,072
1,40	-0,042	0,072
2,00	-0,043	0,069
2,60	-0,043	0,066

Spostamenti piedritto sinistro (Combinazione n° 19)

Y [m]	u _x [cm]	u _y [cm]
0,20	-0,035	0,070
1,40	-0,036	0,071
2,60	-0,042	0,072

Spostamenti piedritto destro (Combinazione n° 19)

Y [m]	u _x [cm]	u _y [cm]
0,20	-0,037	0,064
1,40	-0,042	0,065
2,60	-0,043	0,066

Spostamenti fondazione (Combinazione n° 20)

X [m]	u _x [cm]	u _y [cm]
0,20	-0,035	0,063
0,76	-0,036	0,060
1,40	-0,036	0,056
2,04	-0,036	0,057
2,60	-0,037	0,057

Spostamenti traverso (Combinazione n° 20)

X [m]	u _x [cm]	u _y [cm]
0,20	-0,042	0,065
0,73	-0,042	0,065

1,40	-0,043	0,065
2,00	-0,043	0,062
2,60	-0,043	0,059

Spostamenti piedritto sinistro (Combinazione n° 20)

Y [m]	u _x [cm]	u _y [cm]
0,20	-0,035	0,063
1,40	-0,036	0,064
2,60	-0,042	0,065

Spostamenti piedritto destro (Combinazione n° 20)

Y [m]	u _x [cm]	u _y [cm]
0,20	-0,037	0,057
1,40	-0,043	0,058
2,60	-0,043	0,059

Spostamenti fondazione (Combinazione n° 21)

X [m]	u _x [cm]	u _y [cm]
0,20	0,037	0,064
0,76	0,036	0,063
1,40	0,036	0,063
2,04	0,035	0,066
2,60	0,035	0,070

Spostamenti traverso (Combinazione n° 21)

X [m]	u _x [cm]	u _y [cm]
0,20	0,043	0,066
0,73	0,043	0,069
1,40	0,042	0,072
2,00	0,042	0,072
2,60	0,042	0,072

Spostamenti piedritto sinistro (Combinazione n° 21)

Y [m]	u _x [cm]	u _y [cm]
0,20	0,037	0,064
1,40	0,042	0,065
2,60	0,043	0,066

Spostamenti piedritto destro (Combinazione n° 21)

Y [m]	u _x [cm]	u _y [cm]
0,20	0,035	0,070
1,40	0,036	0,071
2,60	0,042	0,072

Spostamenti fondazione (Combinazione n° 22)

X [m]	u _x [cm]	u _y [cm]
0,20	0,037	0,057
0,76	0,036	0,057
1,40	0,036	0,056

2,04	0,036	0,060
2,60	0,035	0,063

Spostamenti trasverso (Combinazione n° 22)

X [m]	u _x [cm]	u _y [cm]
0,20	0,043	0,059
0,73	0,043	0,062
1,40	0,043	0,065
2,00	0,042	0,065
2,60	0,042	0,065

Spostamenti piedritto sinistro (Combinazione n° 22)

Y [m]	u _x [cm]	u _y [cm]
0,20	0,037	0,057
1,40	0,043	0,058
2,60	0,043	0,059

Spostamenti piedritto destro (Combinazione n° 22)

Y [m]	u _x [cm]	u _y [cm]
0,20	0,035	0,063
1,40	0,036	0,064
2,60	0,042	0,065

Spostamenti fondazione (Combinazione n° 23)

X [m]	u _x [cm]	u _y [cm]
0,20	-0,035	0,070
0,76	-0,035	0,066
1,40	-0,036	0,063
2,04	-0,036	0,063
2,60	-0,037	0,064

Spostamenti trasverso (Combinazione n° 23)

X [m]	u _x [cm]	u _y [cm]
0,20	-0,042	0,072
0,73	-0,042	0,072
1,40	-0,042	0,072
2,00	-0,043	0,069
2,60	-0,043	0,066

Spostamenti piedritto sinistro (Combinazione n° 23)

Y [m]	u _x [cm]	u _y [cm]
0,20	-0,035	0,070
1,40	-0,036	0,071
2,60	-0,042	0,072

Spostamenti piedritto destro (Combinazione n° 23)

Y [m]	u _x [cm]	u _y [cm]
0,20	-0,037	0,064
1,40	-0,042	0,065
2,60	-0,043	0,066

Spostamenti fondazione (Combinazione n° 24)

X [m]	u _x [cm]	u _y [cm]
0,20	-0,035	0,063
0,76	-0,036	0,060
1,40	-0,036	0,056
2,04	-0,036	0,057
2,60	-0,037	0,057

Spostamenti traverso (Combinazione n° 24)

X [m]	u _x [cm]	u _y [cm]
0,20	-0,042	0,065
0,73	-0,042	0,065
1,40	-0,043	0,065
2,00	-0,043	0,062
2,60	-0,043	0,059

Spostamenti piedritto sinistro (Combinazione n° 24)

Y [m]	u _x [cm]	u _y [cm]
0,20	-0,035	0,063
1,40	-0,036	0,064
2,60	-0,042	0,065

Spostamenti piedritto destro (Combinazione n° 24)

Y [m]	u _x [cm]	u _y [cm]
0,20	-0,037	0,057
1,40	-0,043	0,058
2,60	-0,043	0,059

Spostamenti fondazione (Combinazione n° 25)

X [m]	u _x [cm]	u _y [cm]
0,20	0,037	0,064
0,76	0,036	0,063
1,40	0,036	0,063
2,04	0,035	0,066
2,60	0,035	0,070

Spostamenti traverso (Combinazione n° 25)

X [m]	u _x [cm]	u _y [cm]
0,20	0,043	0,066
0,73	0,043	0,069
1,40	0,042	0,072
2,00	0,042	0,072
2,60	0,042	0,072

Spostamenti piedritto sinistro (Combinazione n° 25)

Y [m]	u _x [cm]	u _y [cm]
0,20	0,037	0,064
1,40	0,042	0,065

2,60	0,043	0,066
------	-------	-------

Spostamenti piedritto destro (Combinazione n° 25)

Y [m]	u _x [cm]	u _y [cm]
0,20	0,035	0,070
1,40	0,036	0,071
2,60	0,042	0,072

Spostamenti fondazione (Combinazione n° 26)

X [m]	u _x [cm]	u _y [cm]
0,20	0,037	0,057
0,76	0,036	0,057
1,40	0,036	0,056
2,04	0,036	0,060
2,60	0,035	0,063

Spostamenti traverso (Combinazione n° 26)

X [m]	u _x [cm]	u _y [cm]
0,20	0,043	0,059
0,73	0,043	0,062
1,40	0,043	0,065
2,00	0,042	0,065
2,60	0,042	0,065

Spostamenti piedritto sinistro (Combinazione n° 26)

Y [m]	u _x [cm]	u _y [cm]
0,20	0,037	0,057
1,40	0,043	0,058
2,60	0,043	0,059

Spostamenti piedritto destro (Combinazione n° 26)

Y [m]	u _x [cm]	u _y [cm]
0,20	0,035	0,063
1,40	0,036	0,064
2,60	0,042	0,065

Spostamenti fondazione (Combinazione n° 27)

X [m]	u _x [cm]	u _y [cm]
0,20	-0,035	0,070
0,76	-0,035	0,066
1,40	-0,036	0,063
2,04	-0,036	0,063
2,60	-0,037	0,064

Spostamenti traverso (Combinazione n° 27)

X [m]	u _x [cm]	u _y [cm]
0,20	-0,042	0,072
0,73	-0,042	0,072
1,40	-0,042	0,072
2,00	-0,043	0,069
2,60	-0,043	0,066

Spostamenti piedritto sinistro (Combinazione n° 27)

Y [m]	u _x [cm]	u _y [cm]
0,20	-0,035	0,070
1,40	-0,036	0,071
2,60	-0,042	0,072

Spostamenti piedritto destro (Combinazione n° 27)

Y [m]	u _x [cm]	u _y [cm]
0,20	-0,037	0,064
1,40	-0,042	0,065
2,60	-0,043	0,066

Spostamenti fondazione (Combinazione n° 28)

X [m]	u _x [cm]	u _y [cm]
0,20	-0,035	0,063
0,76	-0,036	0,060
1,40	-0,036	0,056
2,04	-0,036	0,057
2,60	-0,037	0,057

Spostamenti traverso (Combinazione n° 28)

X [m]	u _x [cm]	u _y [cm]
0,20	-0,042	0,065
0,73	-0,042	0,065
1,40	-0,043	0,065
2,00	-0,043	0,062
2,60	-0,043	0,059

Spostamenti piedritto sinistro (Combinazione n° 28)

Y [m]	u _x [cm]	u _y [cm]
0,20	-0,035	0,063
1,40	-0,036	0,064
2,60	-0,042	0,065

Spostamenti piedritto destro (Combinazione n° 28)

Y [m]	u _x [cm]	u _y [cm]
0,20	-0,037	0,057
1,40	-0,043	0,058
2,60	-0,043	0,059

Sollecitazioni

Sollecitazioni fondazione (Combinazione n° 1)

X [m]	M [kNm]	V [kN]	N [kN]
0,20	-34,5826	-113,3998	57,7134
0,76	15,3887	-55,6098	57,7134
1,40	34,5526	4,8528	57,7134
2,04	15,3899	65,6352	57,7134
2,60	-34,5788	111,4641	57,7134

Sollecitazioni traverso (Combinazione n° 1)

X [m]	M [kNm]	V [kN]	N [kN]
0,20	-25,4744	86,6694	40,0541
0,73	10,4775	48,1502	40,0541
1,40	26,5279	0,0011	40,0541
2,00	13,5283	-43,3330	40,0541
2,60	-25,4717	-86,6672	40,0541

Sollecitazioni piedritto sinistro (Combinazione n° 1)

Y [m]	M [kNm]	V [kN]	N [kN]
0,20	-34,5826	57,7733	117,2666
1,40	-0,5767	1,2159	101,9680
2,60	-25,4744	-40,0540	86,6694

Sollecitazioni piedritto destro (Combinazione n° 1)

Y [m]	M [kNm]	V [kN]	N [kN]
0,20	-34,5788	-57,7730	117,2644
1,40	-0,5736	-1,2153	101,9658
2,60	-25,4717	40,0541	86,6672

Sollecitazioni fondazione (Combinazione n° 2)

X [m]	M [kNm]	V [kN]	N [kN]
0,20	-60,4435	-175,1268	129,8817
0,76	14,9680	-85,2396	129,8817
1,40	43,8351	5,7779	129,8817
2,04	14,9691	97,1935	129,8817
2,60	-60,4398	172,8276	129,8817

Sollecitazioni traverso (Combinazione n° 2)

X [m]	M [kNm]	V [kN]	N [kN]
0,20	-52,5256	149,1215	112,2241
0,73	9,3324	82,8460	112,2241
1,40	36,9482	0,0016	112,2241
2,00	14,5812	-74,5584	112,2241
2,60	-52,5218	-149,1184	112,2241

Sollecitazioni piedritto sinistro (Combinazione n° 2)

Y [m]	M [kNm]	V [kN]	N [kN]
0,20	-60,4435	130,0162	179,7188

1,40	16,0267	1,7590	164,4201
2,60	-52,5256	-112,2241	149,1215

Sollecitazioni piedritto destro (Combinazione n° 2)

Y [m]	M [kNm]	V [kN]	N [kN]
0,20	-60,4398	-130,0162	179,7156
1,40	16,0304	-1,7590	164,4170
2,60	-52,5218	112,2241	149,1184

Sollecitazioni fondazione (Combinazione n° 3)

X [m]	M [kNm]	V [kN]	N [kN]
0,20	-67,9975	-193,9132	148,4884
0,76	15,6994	-94,6125	148,4884
1,40	47,7683	6,4934	148,4884
2,04	15,7008	108,0320	148,4884
2,60	-67,9933	191,3378	148,4884

Sollecitazioni traverso (Combinazione n° 3)

X [m]	M [kNm]	V [kN]	N [kN]
0,20	-60,1314	168,4597	130,8932
0,73	9,7484	93,5895	130,8932
1,40	40,9455	0,0018	130,8932
2,00	15,6778	-84,2272	130,8932
2,60	-60,1272	-168,4562	130,8932

Sollecitazioni piedritto sinistro (Combinazione n° 3)

Y [m]	M [kNm]	V [kN]	N [kN]
0,20	-67,9975	148,6421	199,0569
1,40	19,6353	1,7374	183,7583
2,60	-60,1314	-130,8932	168,4597

Sollecitazioni piedritto destro (Combinazione n° 3)

Y [m]	M [kNm]	V [kN]	N [kN]
0,20	-67,9933	-148,6421	199,0534
1,40	19,6395	-1,7374	183,7548
2,60	-60,1272	130,8932	168,4562

Sollecitazioni fondazione (Combinazione n° 4)

X [m]	M [kNm]	V [kN]	N [kN]
0,20	-42,9521	-90,8475	99,8013
0,76	-1,7767	-48,3011	101,8418
1,40	16,2239	-0,0493	104,1456
2,04	2,8909	50,8914	106,4494
2,60	-36,8077	89,8116	108,4900

Sollecitazioni traverso (Combinazione n° 4)

X [m]	M [kNm]	V [kN]	N [kN]
0,20	-30,7145	65,7471	93,5637
0,73	-3,5103	36,2687	95,4945
1,40	8,3861	-0,5794	97,9081
2,00	-1,9105	-33,7427	100,0802

2,60	-32,1051	-66,9060	102,2524
------	----------	----------	----------

Sollecitazioni piedritto sinistro (Combinazione n° 4)

Y [m]	M [kNm]	V [kN]	N [kN]
0,20	-42,9521	111,5305	93,6278
1,40	24,6942	3,1529	79,6875
2,60	-30,7145	-93,5637	65,7471

Sollecitazioni piedritto destro (Combinazione n° 4)

Y [m]	M [kNm]	V [kN]	N [kN]
0,20	-36,8077	-96,9764	94,7867
1,40	21,9482	1,0219	80,8463
2,60	-32,1051	87,6357	66,9060

Sollecitazioni fondazione (Combinazione n° 5)

X [m]	M [kNm]	V [kN]	N [kN]
0,20	-39,9911	-78,3365	98,7176
0,76	-4,3407	-42,2869	100,7581
1,40	11,5604	-0,7018	103,0619
2,04	0,3490	43,5319	105,3657
2,60	-33,8091	77,5328	107,4063

Sollecitazioni traverso (Combinazione n° 5)

X [m]	M [kNm]	V [kN]	N [kN]
0,20	-30,2612	61,4138	94,6086
0,73	-4,8533	33,8661	96,5395
1,40	6,2460	-0,5685	98,9530
2,00	-3,3925	-31,5596	101,1251
2,60	-31,6255	-62,5507	103,2973

Sollecitazioni piedritto sinistro (Combinazione n° 5)

Y [m]	M [kNm]	V [kN]	N [kN]
0,20	-39,9911	110,4856	80,6058
1,40	26,4013	2,1080	71,0098
2,60	-30,2612	-94,6086	61,4138

Sollecitazioni piedritto destro (Combinazione n° 5)

Y [m]	M [kNm]	V [kN]	N [kN]
0,20	-33,8091	-95,8517	81,7427
1,40	23,6136	2,0535	72,1467
2,60	-31,6255	88,6355	62,5507

Sollecitazioni fondazione (Combinazione n° 6)

X [m]	M [kNm]	V [kN]	N [kN]
0,20	-41,8078	-94,8554	99,1021
0,76	-0,3882	-48,7652	101,1426
1,40	17,0709	-0,0207	103,4464
2,04	3,0297	50,8967	105,7502
2,60	-37,4702	94,5359	107,7908

Sollecitazioni trasverso (Combinazione n° 6)

X [m]	M [kNm]	V [kN]	N [kN]
0,20	-31,0401	69,0605	90,1433
0,73	-2,4733	38,0649	92,0741
1,40	9,9884	-0,6797	94,4877
2,00	-0,8805	-35,5498	96,6598
2,60	-32,6714	-70,4199	98,8320

Sollecitazioni piedritto sinistro (Combinazione n° 6)

Y [m]	M [kNm]	V [kN]	N [kN]
0,20	-41,8078	108,3882	96,9412
1,40	23,0282	3,0059	83,0009
2,60	-31,0401	-90,1433	69,0605

Sollecitazioni piedritto destro (Combinazione n° 6)

Y [m]	M [kNm]	V [kN]	N [kN]
0,20	-37,4702	-98,7189	98,3006
1,40	21,3755	0,2821	84,3603
2,60	-32,6714	87,3038	70,4199

Sollecitazioni fondazione (Combinazione n° 7)

X [m]	M [kNm]	V [kN]	N [kN]
0,20	-38,8467	-82,3444	98,0184
0,76	-2,9522	-42,7511	100,0589
1,40	12,4075	-0,6733	102,3627
2,04	0,4878	43,5372	104,6665
2,60	-34,4716	82,2572	106,7071

Sollecitazioni trasverso (Combinazione n° 7)

X [m]	M [kNm]	V [kN]	N [kN]
0,20	-30,5868	64,7271	91,1882
0,73	-3,8163	35,6623	93,1191
1,40	7,8482	-0,6687	95,5326
2,00	-2,3624	-33,3667	97,7048
2,60	-32,1918	-66,0646	99,8769

Sollecitazioni piedritto sinistro (Combinazione n° 7)

Y [m]	M [kNm]	V [kN]	N [kN]
0,20	-38,8467	107,3432	83,9191
1,40	24,7353	1,9609	74,3231
2,60	-30,5868	-91,1882	64,7271

Sollecitazioni piedritto destro (Combinazione n° 7)

Y [m]	M [kNm]	V [kN]	N [kN]
0,20	-34,4716	-97,5942	85,2566
1,40	23,0409	1,3138	75,6606
2,60	-32,1918	88,3037	66,0646

Sollecitazioni fondazione (Combinazione n° 8)

X [m]	M [kNm]	V [kN]	N [kN]
0,20	-36,8112	-91,4721	108,4906
0,76	2,8897	-42,3216	106,4501
1,40	16,2241	8,1117	104,1463
2,04	-1,7750	56,1341	101,8425
2,60	-42,9510	89,4551	99,8019

Sollecitazioni traverso (Combinazione n° 8)

X [m]	M [kNm]	V [kN]	N [kN]
0,20	-32,1074	66,9080	102,2518
0,73	-4,2840	37,4296	100,3209
1,40	8,3863	0,5815	97,9074
2,00	-1,2137	-32,5818	95,7352
2,60	-30,7118	-65,7451	93,5631

Sollecitazioni piedritto sinistro (Combinazione n° 8)

Y [m]	M [kNm]	V [kN]	N [kN]
0,20	-36,8112	96,9771	94,7887
1,40	21,9454	-1,0214	80,8484
2,60	-32,1074	-87,6352	66,9080

Sollecitazioni piedritto destro (Combinazione n° 8)

Y [m]	M [kNm]	V [kN]	N [kN]
0,20	-42,9510	-111,5311	93,6257
1,40	24,6961	-3,1536	79,6854
2,60	-30,7118	93,5631	65,7451

Sollecitazioni fondazione (Combinazione n° 9)

X [m]	M [kNm]	V [kN]	N [kN]
0,20	-33,8121	-78,9380	107,4069
0,76	0,3479	-36,2745	105,3664
1,40	11,5606	7,4953	103,0626
2,04	-4,3392	48,8066	100,7588
2,60	-39,9904	77,1999	98,7183

Sollecitazioni traverso (Combinazione n° 9)

X [m]	M [kNm]	V [kN]	N [kN]
0,20	-31,6274	62,5525	103,2966
0,73	-5,6122	35,0048	101,3658
1,40	6,2462	0,5702	98,9523
2,00	-2,7090	-30,4209	96,7801
2,60	-30,2589	-61,4120	94,6079

Sollecitazioni piedritto sinistro (Combinazione n° 9)

Y [m]	M [kNm]	V [kN]	N [kN]
0,20	-33,8121	95,8524	81,7444
1,40	23,6112	-2,0532	72,1484
2,60	-31,6274	-88,6350	62,5525

Sollecitazioni piedritto destro (Combinazione n° 9)

Y [m]	M [kNm]	V [kN]	N [kN]
0,20	-39,9904	-110,4863	80,6040
1,40	26,4028	-2,1087	71,0080
2,60	-30,2589	94,6079	61,4120

Sollecitazioni fondazione (Combinazione n° 10)

X [m]	M [kNm]	V [kN]	N [kN]
0,20	-37,4729	-95,7925	107,7913
0,76	3,0289	-44,4706	105,7508
1,40	17,0711	6,0070	103,4470
2,04	-0,3870	54,6066	101,1431
2,60	-41,8070	93,8108	99,1026

Sollecitazioni traverso (Combinazione n° 10)

X [m]	M [kNm]	V [kN]	N [kN]
0,20	-32,6732	70,4216	98,8315
0,73	-3,3805	39,4259	96,9006
1,40	9,9886	0,6813	94,4871
2,00	-0,0637	-34,1888	92,3149
2,60	-31,0380	-69,0589	90,1428

Sollecitazioni piedritto sinistro (Combinazione n° 10)

Y [m]	M [kNm]	V [kN]	N [kN]
0,20	-37,4729	98,7194	98,3022
1,40	21,3733	-0,2818	84,3619
2,60	-32,6732	-87,3034	70,4216

Sollecitazioni piedritto destro (Combinazione n° 10)

Y [m]	M [kNm]	V [kN]	N [kN]
0,20	-41,8070	-108,3887	96,9396
1,40	23,0296	-3,0064	82,9992
2,60	-31,0380	90,1428	69,0589

Sollecitazioni fondazione (Combinazione n° 11)

X [m]	M [kNm]	V [kN]	N [kN]
0,20	-34,4737	-83,2584	106,7076
0,76	0,4871	-38,4234	104,6671
1,40	12,4077	5,3905	102,3633
2,04	-2,9511	47,2791	100,0595
2,60	-38,8464	81,5555	98,0189

Sollecitazioni traverso (Combinazione n° 11)

X [m]	M [kNm]	V [kN]	N [kN]
0,20	-32,1932	66,0660	99,8763
0,73	-4,7087	37,0011	97,9455
1,40	7,8484	0,6701	95,5319
2,00	-1,5589	-32,0279	93,3598
2,60	-30,5850	-64,7258	91,1876

Sollecitazioni piedritto sinistro (Combinazione n° 11)

Y [m]	M [kNm]	V [kN]	N [kN]
0,20	-34,4737	97,5947	85,2580
1,40	23,0391	-1,3136	75,6620
2,60	-32,1932	-88,3032	66,0660

Sollecitazioni piedritto destro (Combinazione n° 11)

Y [m]	M [kNm]	V [kN]	N [kN]
0,20	-38,8464	-107,3439	83,9178
1,40	24,7363	-1,9616	74,3218
2,60	-30,5850	91,1876	64,7258

Sollecitazioni fondazione (Combinazione n° 12)

X [m]	M [kNm]	V [kN]	N [kN]
0,20	-28,6250	-88,9809	57,0508
0,76	9,3386	-43,0525	57,0508
1,40	23,8201	2,6207	57,0508
2,04	9,3392	48,5123	57,0508
2,60	-28,6230	87,9174	57,0508

Sollecitazioni trasverso (Combinazione n° 12)

X [m]	M [kNm]	V [kN]	N [kN]
0,20	-22,2464	67,5687	42,5047
0,73	5,7822	37,5385	42,5047
1,40	18,2952	0,0007	42,5047
2,00	8,1604	-33,7834	42,5047
2,60	-22,2448	-67,5674	42,5047

Sollecitazioni piedritto sinistro (Combinazione n° 12)

Y [m]	M [kNm]	V [kN]	N [kN]
0,20	-28,6250	57,1100	91,1051
1,40	4,3354	1,1701	79,3369
2,60	-22,2464	-42,5047	67,5687

Sollecitazioni piedritto destro (Combinazione n° 12)

Y [m]	M [kNm]	V [kN]	N [kN]
0,20	-28,6230	-57,1098	91,1037
1,40	4,3371	-1,1699	79,3356
2,60	-22,2448	42,5047	67,5674

Sollecitazioni fondazione (Combinazione n° 13)

X [m]	M [kNm]	V [kN]	N [kN]
0,20	-28,6250	-88,9809	57,0508
0,76	9,3386	-43,0525	57,0508
1,40	23,8201	2,6207	57,0508
2,04	9,3392	48,5123	57,0508
2,60	-28,6230	87,9174	57,0508

Sollecitazioni trasverso (Combinazione n° 13)

X [m]	M [kNm]	V [kN]	N [kN]
0,20	-22,2464	67,5687	42,5047
0,73	5,7822	37,5385	42,5047
1,40	18,2952	0,0007	42,5047
2,00	8,1604	-33,7834	42,5047
2,60	-22,2448	-67,5674	42,5047

Sollecitazioni piedritto sinistro (Combinazione n° 13)

Y [m]	M [kNm]	V [kN]	N [kN]
0,20	-28,6250	57,1100	91,1051
1,40	4,3354	1,1701	79,3369
2,60	-22,2464	-42,5047	67,5687

Sollecitazioni piedritto destro (Combinazione n° 13)

Y [m]	M [kNm]	V [kN]	N [kN]
0,20	-28,6230	-57,1098	91,1037
1,40	4,3371	-1,1699	79,3356
2,60	-22,2448	42,5047	67,5674

Sollecitazioni fondazione (Combinazione n° 14)

X [m]	M [kNm]	V [kN]	N [kN]
0,20	-45,4030	-130,7285	98,3479
0,76	10,9724	-63,8804	98,3479
1,40	32,5686	4,2107	98,3479
2,04	10,9732	72,5973	98,3479
2,60	-45,4003	129,0510	98,3479

Sollecitazioni traverso (Combinazione n° 14)

X [m]	M [kNm]	V [kN]	N [kN]
0,20	-39,1416	110,5425	83,9601
0,73	6,7132	61,4130	83,9601
1,40	27,1846	0,0011	83,9601
2,00	10,6041	-55,2695	83,9601
2,60	-39,1388	-110,5402	83,9601

Sollecitazioni piedritto sinistro (Combinazione n° 14)

Y [m]	M [kNm]	V [kN]	N [kN]
0,20	-45,4030	98,4497	134,0788
1,40	12,3433	1,1282	122,3106
2,60	-39,1416	-83,9601	110,5425

Sollecitazioni piedritto destro (Combinazione n° 14)

Y [m]	M [kNm]	V [kN]	N [kN]
0,20	-45,4003	-98,4497	134,0765
1,40	12,3460	-1,1282	122,3083
2,60	-39,1388	83,9601	110,5402

Sollecitazioni fondazione (Combinazione n° 15)

X [m]	M [kNm]	V [kN]	N [kN]
-------	---------	--------	--------

0,20	-45,4030	-130,7285	98,3479
0,76	10,9724	-63,8804	98,3479
1,40	32,5686	4,2107	98,3479
2,04	10,9732	72,5973	98,3479
2,60	-45,4003	129,0510	98,3479

Sollecitazioni trasverso (Combinazione n° 15)

X [m]	M [kNm]	V [kN]	N [kN]
0,20	-39,1416	110,5425	83,9601
0,73	6,7132	61,4130	83,9601
1,40	27,1846	0,0011	83,9601
2,00	10,6041	-55,2695	83,9601
2,60	-39,1388	-110,5402	83,9601

Sollecitazioni piedritto sinistro (Combinazione n° 15)

Y [m]	M [kNm]	V [kN]	N [kN]
0,20	-45,4030	98,4497	134,0788
1,40	12,3433	1,1282	122,3106
2,60	-39,1416	-83,9601	110,5425

Sollecitazioni piedritto destro (Combinazione n° 15)

Y [m]	M [kNm]	V [kN]	N [kN]
0,20	-45,4003	-98,4497	134,0765
1,40	12,3460	-1,1282	122,3083
2,60	-39,1388	83,9601	110,5402

Sollecitazioni fondazione (Combinazione n° 16)

X [m]	M [kNm]	V [kN]	N [kN]
0,20	-50,9985	-144,6443	112,1306
0,76	11,5142	-70,8232	112,1306
1,40	35,4822	4,7407	112,1306
2,04	11,5152	80,6257	112,1306
2,60	-50,9954	142,7622	112,1306

Sollecitazioni trasverso (Combinazione n° 16)

X [m]	M [kNm]	V [kN]	N [kN]
0,20	-44,7755	124,8670	97,7891
0,73	7,0213	69,3711	97,7891
1,40	30,1455	0,0013	97,7891
2,00	11,4164	-62,4316	97,7891
2,60	-44,7724	-124,8645	97,7891

Sollecitazioni piedritto sinistro (Combinazione n° 16)

Y [m]	M [kNm]	V [kN]	N [kN]
0,20	-50,9985	112,2467	148,4034
1,40	15,0163	1,1122	136,6352
2,60	-44,7755	-97,7891	124,8670

Sollecitazioni piedritto destro (Combinazione n° 16)

Y [m]	M [kNm]	V [kN]	N [kN]
-------	---------	--------	--------

0,20	-50,9954	-112,2467	148,4008
1,40	15,0194	-1,1122	136,6326
2,60	-44,7724	97,7891	124,8645

Sollecitazioni fondazione (Combinazione n° 17)

X [m]	M [kNm]	V [kN]	N [kN]
0,20	-34,5192	-91,6025	75,8301
0,76	4,9893	-45,6109	76,7425
1,40	20,8060	1,4320	77,7725
2,04	6,5259	49,5747	78,8026
2,60	-32,5710	90,8810	79,7149

Sollecitazioni traverso (Combinazione n° 17)

X [m]	M [kNm]	V [kN]	N [kN]
0,20	-26,1684	68,2301	63,7821
0,73	2,0978	37,7682	64,6454
1,40	14,5842	-0,3092	65,7245
2,00	4,1178	-34,5788	66,6957
2,60	-26,9104	-68,8484	67,6669

Sollecitazioni piedritto sinistro (Combinazione n° 17)

Y [m]	M [kNm]	V [kN]	N [kN]
0,20	-34,5192	80,0130	93,7088
1,40	12,6873	1,9989	80,9694
2,60	-26,1684	-63,7821	68,2301

Sollecitazioni piedritto destro (Combinazione n° 17)

Y [m]	M [kNm]	V [kN]	N [kN]
0,20	-32,5710	-75,6931	94,3271
1,40	11,9475	-0,5177	81,5878
2,60	-26,9104	62,5340	68,8484

Sollecitazioni fondazione (Combinazione n° 18)

X [m]	M [kNm]	V [kN]	N [kN]
0,20	-33,1953	-86,0087	75,3456
0,76	3,8429	-42,9220	76,2579
1,40	18,7210	1,1403	77,2880
2,04	5,3894	46,2842	78,3180
2,60	-31,2303	85,3912	79,2304

Sollecitazioni traverso (Combinazione n° 18)

X [m]	M [kNm]	V [kN]	N [kN]
0,20	-25,9657	66,2926	64,2493
0,73	1,4974	36,6940	65,1126
1,40	13,6273	-0,3043	66,1917
2,00	3,4552	-33,6027	67,1629
2,60	-26,6960	-66,9012	68,1341

Sollecitazioni piedritto sinistro (Combinazione n° 18)

Y [m]	M [kNm]	V [kN]	N [kN]
0,20	-33,1953	79,5458	87,8866
1,40	13,4506	1,5317	77,0896
2,60	-25,9657	-64,2493	66,2926

Sollecitazioni piedritto destro (Combinazione n° 18)

Y [m]	M [kNm]	V [kN]	N [kN]
0,20	-31,2303	-75,1903	88,4951
1,40	12,6921	-0,0564	77,6981
2,60	-26,6960	62,9810	66,9012

Sollecitazioni fondazione (Combinazione n° 19)

X [m]	M [kNm]	V [kN]	N [kN]
0,20	-32,5733	-92,0312	79,7151
0,76	6,5252	-43,6818	78,8028
1,40	20,8061	4,1423	77,7727
2,04	4,9901	51,2403	76,7427
2,60	-34,5178	90,5478	75,8304

Sollecitazioni traverso (Combinazione n° 19)

X [m]	M [kNm]	V [kN]	N [kN]
0,20	-26,9121	68,8499	67,6667
0,73	1,6847	38,3880	66,8035
1,40	14,5842	0,3106	65,7244
2,00	4,4897	-33,9590	64,7532
2,60	-26,1666	-68,2286	63,7820

Sollecitazioni piedritto sinistro (Combinazione n° 19)

Y [m]	M [kNm]	V [kN]	N [kN]
0,20	-32,5733	75,6934	94,3286
1,40	11,9456	0,5180	81,5892
2,60	-26,9121	-62,5339	68,8499

Sollecitazioni piedritto destro (Combinazione n° 19)

Y [m]	M [kNm]	V [kN]	N [kN]
0,20	-34,5178	-80,0131	93,7073
1,40	12,6890	-1,9990	80,9680
2,60	-26,1666	63,7820	68,2286

Sollecitazioni fondazione (Combinazione n° 20)

X [m]	M [kNm]	V [kN]	N [kN]
0,20	-31,2324	-86,4272	79,2306
0,76	5,3888	-40,9781	78,3183
1,40	18,7210	3,8667	77,2882
2,04	3,8436	47,9641	76,2582
2,60	-33,1941	85,0684	75,3459

Sollecitazioni traverso (Combinazione n° 20)

X [m]	M [kNm]	V [kN]	N [kN]
0,20	-26,6975	66,9025	68,1339
0,73	1,0909	37,3039	67,2706

1,40	13,6273	0,3056	66,1915
2,00	3,8212	-32,9928	65,2203
2,60	-25,9641	-66,2913	64,2491

Sollecitazioni piedritto sinistro (Combinazione n° 20)

Y [m]	M [kNm]	V [kN]	N [kN]
0,20	-31,2324	75,1905	88,4964
1,40	12,6904	0,0566	77,6995
2,60	-26,6975	-62,9809	66,9025

Sollecitazioni piedritto destro (Combinazione n° 20)

Y [m]	M [kNm]	V [kN]	N [kN]
0,20	-33,1941	-79,5460	87,8852
1,40	13,4521	-1,5319	77,0883
2,60	-25,9641	64,2491	66,2913

Sollecitazioni fondazione (Combinazione n° 21)

X [m]	M [kNm]	V [kN]	N [kN]
0,20	-34,5192	-91,6025	75,8301
0,76	4,9893	-45,6109	76,7425
1,40	20,8060	1,4320	77,7725
2,04	6,5259	49,5747	78,8026
2,60	-32,5710	90,8810	79,7149

Sollecitazioni traverso (Combinazione n° 21)

X [m]	M [kNm]	V [kN]	N [kN]
0,20	-26,1684	68,2301	63,7821
0,73	2,0978	37,7682	64,6454
1,40	14,5842	-0,3092	65,7245
2,00	4,1178	-34,5788	66,6957
2,60	-26,9104	-68,8484	67,6669

Sollecitazioni piedritto sinistro (Combinazione n° 21)

Y [m]	M [kNm]	V [kN]	N [kN]
0,20	-34,5192	80,0130	93,7088
1,40	12,6873	1,9989	80,9694
2,60	-26,1684	-63,7821	68,2301

Sollecitazioni piedritto destro (Combinazione n° 21)

Y [m]	M [kNm]	V [kN]	N [kN]
0,20	-32,5710	-75,6931	94,3271
1,40	11,9475	-0,5177	81,5878
2,60	-26,9104	62,5340	68,8484

Sollecitazioni fondazione (Combinazione n° 22)

X [m]	M [kNm]	V [kN]	N [kN]
0,20	-33,1953	-86,0087	75,3456
0,76	3,8429	-42,9220	76,2579
1,40	18,7210	1,1403	77,2880

2,04	5,3894	46,2842	78,3180
2,60	-31,2303	85,3912	79,2304

Sollecitazioni trasverso (Combinazione n° 22)

X [m]	M [kNm]	V [kN]	N [kN]
0,20	-25,9657	66,2926	64,2493
0,73	1,4974	36,6940	65,1126
1,40	13,6273	-0,3043	66,1917
2,00	3,4552	-33,6027	67,1629
2,60	-26,6960	-66,9012	68,1341

Sollecitazioni piedritto sinistro (Combinazione n° 22)

Y [m]	M [kNm]	V [kN]	N [kN]
0,20	-33,1953	79,5458	87,8866
1,40	13,4506	1,5317	77,0896
2,60	-25,9657	-64,2493	66,2926

Sollecitazioni piedritto destro (Combinazione n° 22)

Y [m]	M [kNm]	V [kN]	N [kN]
0,20	-31,2303	-75,1903	88,4951
1,40	12,6921	-0,0564	77,6981
2,60	-26,6960	62,9810	66,9012

Sollecitazioni fondazione (Combinazione n° 23)

X [m]	M [kNm]	V [kN]	N [kN]
0,20	-32,5733	-92,0312	79,7151
0,76	6,5252	-43,6818	78,8028
1,40	20,8061	4,1423	77,7727
2,04	4,9901	51,2403	76,7427
2,60	-34,5178	90,5478	75,8304

Sollecitazioni trasverso (Combinazione n° 23)

X [m]	M [kNm]	V [kN]	N [kN]
0,20	-26,9121	68,8499	67,6667
0,73	1,6847	38,3880	66,8035
1,40	14,5842	0,3106	65,7244
2,00	4,4897	-33,9590	64,7532
2,60	-26,1666	-68,2286	63,7820

Sollecitazioni piedritto sinistro (Combinazione n° 23)

Y [m]	M [kNm]	V [kN]	N [kN]
0,20	-32,5733	75,6934	94,3286
1,40	11,9456	0,5180	81,5892
2,60	-26,9121	-62,5339	68,8499

Sollecitazioni piedritto destro (Combinazione n° 23)

Y [m]	M [kNm]	V [kN]	N [kN]
0,20	-34,5178	-80,0131	93,7073
1,40	12,6890	-1,9990	80,9680
2,60	-26,1666	63,7820	68,2286

Sollecitazioni fondazione (Combinazione n° 24)

X [m]	M [kNm]	V [kN]	N [kN]
0,20	-31,2324	-86,4272	79,2306
0,76	5,3888	-40,9781	78,3183
1,40	18,7210	3,8667	77,2882
2,04	3,8436	47,9641	76,2582
2,60	-33,1941	85,0684	75,3459

Sollecitazioni traverso (Combinazione n° 24)

X [m]	M [kNm]	V [kN]	N [kN]
0,20	-26,6975	66,9025	68,1339
0,73	1,0909	37,3039	67,2706
1,40	13,6273	0,3056	66,1915
2,00	3,8212	-32,9928	65,2203
2,60	-25,9641	-66,2913	64,2491

Sollecitazioni piedritto sinistro (Combinazione n° 24)

Y [m]	M [kNm]	V [kN]	N [kN]
0,20	-31,2324	75,1905	88,4964
1,40	12,6904	0,0566	77,6995
2,60	-26,6975	-62,9809	66,9025

Sollecitazioni piedritto destro (Combinazione n° 24)

Y [m]	M [kNm]	V [kN]	N [kN]
0,20	-33,1941	-79,5460	87,8852
1,40	13,4521	-1,5319	77,0883
2,60	-25,9641	64,2491	66,2913

Sollecitazioni fondazione (Combinazione n° 25)

X [m]	M [kNm]	V [kN]	N [kN]
0,20	-34,5192	-91,6025	75,8301
0,76	4,9893	-45,6109	76,7425
1,40	20,8060	1,4320	77,7725
2,04	6,5259	49,5747	78,8026
2,60	-32,5710	90,8810	79,7149

Sollecitazioni traverso (Combinazione n° 25)

X [m]	M [kNm]	V [kN]	N [kN]
0,20	-26,1684	68,2301	63,7821
0,73	2,0978	37,7682	64,6454
1,40	14,5842	-0,3092	65,7245
2,00	4,1178	-34,5788	66,6957
2,60	-26,9104	-68,8484	67,6669

Sollecitazioni piedritto sinistro (Combinazione n° 25)

Y [m]	M [kNm]	V [kN]	N [kN]
0,20	-34,5192	80,0130	93,7088
1,40	12,6873	1,9989	80,9694

2,60 -26,1684 -63,7821 68,2301

Sollecitazioni piedritto destro (Combinazione n° 25)

Y [m]	M [kNm]	V [kN]	N [kN]
0,20	-32,5710	-75,6931	94,3271
1,40	11,9475	-0,5177	81,5878
2,60	-26,9104	62,5340	68,8484

Sollecitazioni fondazione (Combinazione n° 26)

X [m]	M [kNm]	V [kN]	N [kN]
0,20	-33,1953	-86,0087	75,3456
0,76	3,8429	-42,9220	76,2579
1,40	18,7210	1,1403	77,2880
2,04	5,3894	46,2842	78,3180
2,60	-31,2303	85,3912	79,2304

Sollecitazioni traverso (Combinazione n° 26)

X [m]	M [kNm]	V [kN]	N [kN]
0,20	-25,9657	66,2926	64,2493
0,73	1,4974	36,6940	65,1126
1,40	13,6273	-0,3043	66,1917
2,00	3,4552	-33,6027	67,1629
2,60	-26,6960	-66,9012	68,1341

Sollecitazioni piedritto sinistro (Combinazione n° 26)

Y [m]	M [kNm]	V [kN]	N [kN]
0,20	-33,1953	79,5458	87,8866
1,40	13,4506	1,5317	77,0896
2,60	-25,9657	-64,2493	66,2926

Sollecitazioni piedritto destro (Combinazione n° 26)

Y [m]	M [kNm]	V [kN]	N [kN]
0,20	-31,2303	-75,1903	88,4951
1,40	12,6921	-0,0564	77,6981
2,60	-26,6960	62,9810	66,9012

Sollecitazioni fondazione (Combinazione n° 27)

X [m]	M [kNm]	V [kN]	N [kN]
0,20	-32,5733	-92,0312	79,7151
0,76	6,5252	-43,6818	78,8028
1,40	20,8061	4,1423	77,7727
2,04	4,9901	51,2403	76,7427
2,60	-34,5178	90,5478	75,8304

Sollecitazioni traverso (Combinazione n° 27)

X [m]	M [kNm]	V [kN]	N [kN]
0,20	-26,9121	68,8499	67,6667
0,73	1,6847	38,3880	66,8035
1,40	14,5842	0,3106	65,7244
2,00	4,4897	-33,9590	64,7532
2,60	-26,1666	-68,2286	63,7820

Sollecitazioni piedritto sinistro (Combinazione n° 27)

Y [m]	M [kNm]	V [kN]	N [kN]
0,20	-32,5733	75,6934	94,3286
1,40	11,9456	0,5180	81,5892
2,60	-26,9121	-62,5339	68,8499

Sollecitazioni piedritto destro (Combinazione n° 27)

Y [m]	M [kNm]	V [kN]	N [kN]
0,20	-34,5178	-80,0131	93,7073
1,40	12,6890	-1,9990	80,9680
2,60	-26,1666	63,7820	68,2286

Sollecitazioni fondazione (Combinazione n° 28)

X [m]	M [kNm]	V [kN]	N [kN]
0,20	-31,2324	-86,4272	79,2306
0,76	5,3888	-40,9781	78,3183
1,40	18,7210	3,8667	77,2882
2,04	3,8436	47,9641	76,2582
2,60	-33,1941	85,0684	75,3459

Sollecitazioni traverso (Combinazione n° 28)

X [m]	M [kNm]	V [kN]	N [kN]
0,20	-26,6975	66,9025	68,1339
0,73	1,0909	37,3039	67,2706
1,40	13,6273	0,3056	66,1915
2,00	3,8212	-32,9928	65,2203
2,60	-25,9641	-66,2913	64,2491

Sollecitazioni piedritto sinistro (Combinazione n° 28)

Y [m]	M [kNm]	V [kN]	N [kN]
0,20	-31,2324	75,1905	88,4964
1,40	12,6904	0,0566	77,6995
2,60	-26,6975	-62,9809	66,9025

Sollecitazioni piedritto destro (Combinazione n° 28)

Y [m]	M [kNm]	V [kN]	N [kN]
0,20	-33,1941	-79,5460	87,8852
1,40	13,4521	-1,5319	77,0883
2,60	-25,9641	64,2491	66,2913

Pressioni terreno

Pressioni sul terreno di fondazione (Combinazione n° 1)

X [m]	s _t [kg/cmq]
0,20	1,18
0,76	1,12
1,40	1,09
2,04	1,12
2,60	1,18

Pressioni sul terreno di fondazione (Combinazione n° 2)

X [m]	s _t [kg/cmq]
0,20	1,40
0,76	1,34
1,40	1,30
2,04	1,34
2,60	1,40

Pressioni sul terreno di fondazione (Combinazione n° 3)

X [m]	s _t [kg/cmq]
0,20	1,57
0,76	1,51
1,40	1,46
2,04	1,51
2,60	1,57

Pressioni sul terreno di fondazione (Combinazione n° 4)

X [m]	s _t [kg/cmq]
0,20	0,85
0,76	0,88
1,40	0,90
2,04	0,96
2,60	1,01

Pressioni sul terreno di fondazione (Combinazione n° 5)

X [m]	s _t [kg/cmq]
0,20	0,69
0,76	0,73
1,40	0,76
2,04	0,81
2,60	0,86

Pressioni sul terreno di fondazione (Combinazione n° 6)

X [m]	s _t [kg/cmq]
0,20	0,64
0,76	0,66
1,40	0,67
2,04	0,72
2,60	0,77

Pressioni sul terreno di fondazione (Combinazione n° 7)

X [m]	s _t [kg/cmq]
0,20	0,48
0,76	0,51
1,40	0,53

2,04	0,57
2,60	0,61

Pressioni sul terreno di fondazione (Combinazione n° 8)

X [m]	st [kg/cmq]
0,20	1,01
0,76	0,96
1,40	0,90
2,04	0,88
2,60	0,85

Pressioni sul terreno di fondazione (Combinazione n° 9)

X [m]	st [kg/cmq]
0,20	0,86
0,76	0,81
1,40	0,76
2,04	0,73
2,60	0,69

Pressioni sul terreno di fondazione (Combinazione n° 10)

X [m]	st [kg/cmq]
0,20	0,77
0,76	0,72
1,40	0,67
2,04	0,66
2,60	0,64

Pressioni sul terreno di fondazione (Combinazione n° 11)

X [m]	st [kg/cmq]
0,20	0,61
0,76	0,57
1,40	0,53
2,04	0,51
2,60	0,48

Pressioni sul terreno di fondazione (Combinazione n° 12)

X [m]	st [kg/cmq]
0,20	0,65
0,76	0,61
1,40	0,59
2,04	0,61
2,60	0,65

Pressioni sul terreno di fondazione (Combinazione n° 13)

X [m]	st [kg/cmq]
0,20	0,65
0,76	0,61
1,40	0,59
2,04	0,61
2,60	0,65

Pressioni sul terreno di fondazione (Combinazione n° 14)

X [m]	st [kg/cmq]
0,20	1,02
0,76	0,98

1,40	0,94
2,04	0,98
2,60	1,02

Pressioni sul terreno di fondazione (Combinazione n° 15)

X [m]	s _t [kg/cmq]
0,20	1,02
0,76	0,98
1,40	0,94
2,04	0,98
2,60	1,02

Pressioni sul terreno di fondazione (Combinazione n° 16)

X [m]	s _t [kg/cmq]
0,20	1,15
0,76	1,10
1,40	1,06
2,04	1,10
2,60	1,15

Pressioni sul terreno di fondazione (Combinazione n° 17)

X [m]	s _t [kg/cmq]
0,20	0,64
0,76	0,63
1,40	0,63
2,04	0,66
2,60	0,70

Pressioni sul terreno di fondazione (Combinazione n° 18)

X [m]	s _t [kg/cmq]
0,20	0,57
0,76	0,57
1,40	0,56
2,04	0,60
2,60	0,63

Pressioni sul terreno di fondazione (Combinazione n° 19)

X [m]	s _t [kg/cmq]
0,20	0,70
0,76	0,66
1,40	0,63
2,04	0,63
2,60	0,64

Pressioni sul terreno di fondazione (Combinazione n° 20)

X [m]	s _t [kg/cmq]
0,20	0,63
0,76	0,60
1,40	0,56
2,04	0,57
2,60	0,57

Pressioni sul terreno di fondazione (Combinazione n° 21)

X [m]	s _t [kg/cmq]
0,20	0,64

0,76	0,63
1,40	0,63
2,04	0,66
2,60	0,70

Pressioni sul terreno di fondazione (Combinazione n° 22)

X [m]	s _t [kg/cmq]
0,20	0,57
0,76	0,57
1,40	0,56
2,04	0,60
2,60	0,63

Pressioni sul terreno di fondazione (Combinazione n° 23)

X [m]	s _t [kg/cmq]
0,20	0,70
0,76	0,66
1,40	0,63
2,04	0,63
2,60	0,64

Pressioni sul terreno di fondazione (Combinazione n° 24)

X [m]	s _t [kg/cmq]
0,20	0,63
0,76	0,60
1,40	0,56
2,04	0,57
2,60	0,57

Pressioni sul terreno di fondazione (Combinazione n° 25)

X [m]	s _t [kg/cmq]
0,20	0,64
0,76	0,63
1,40	0,63
2,04	0,66
2,60	0,70

Pressioni sul terreno di fondazione (Combinazione n° 26)

X [m]	s _t [kg/cmq]
0,20	0,57
0,76	0,57
1,40	0,56
2,04	0,60
2,60	0,63

Pressioni sul terreno di fondazione (Combinazione n° 27)

X [m]	s _t [kg/cmq]
0,20	0,70
0,76	0,66
1,40	0,63
2,04	0,63
2,60	0,64

Pressioni sul terreno di fondazione (Combinazione n° 28)

X [m]	s _t [kg/cmq]
-------	-------------------------

0,20	0,63
0,76	0,60
1,40	0,56
2,04	0,57
2,60	0,57

Verifiche combinazioni SLU

Simbologia adottata ed unità di misura

N°	Indice sezione
X	Ascissa/Ordinata sezione, espresso in cm
M	Momento flettente, espresso in kNm
V	Taglio, espresso in kN
N	Sforzo normale, espresso in kN
N_u	Sforzo normale ultimo, espressa in kN
M_u	Momento ultimo, espressa in kNm
A_{fi}	Area armatura inferiore, espressa in cmq
A_{fs}	Area armatura superiore, espressa in cmq
CS	Coeff. di sicurezza sezione
V_{Rd}	Aliquota taglio assorbita dal calcestruzzo in elementi senza armature trasversali, espressa in kN
V_{Rcd}	Aliquota taglio assorbita dal calcestruzzo in elementi con armature trasversali, espressa in kN
V_{Rsd}	Aliquota taglio assorbita armature trasversali, espressa in kN
A_{sw}	Area armature trasversali nella sezione, espressa in cmq

Verifica sezioni fondazione [Combinazione n° 1 - SLU (Approccio 2)]

Base sezione B = 100 cm
Altezza sezione H = 40,00 cm

Verifiche presso-flessione

N°	X	M	N	N_u	M_u	A_{fi}	A_{fs}	CS
1	0,20	34,58 (34,58)	57,71	244,96	146,78	8,04	8,04	4,24
2	0,76	-15,39 (-32,91)	57,71	321,72	-183,43	8,04	10,05	5,57
3	1,40	-34,55 (-34,55)	57,71	245,25	-146,83	8,04	8,04	4,25
4	2,04	-15,39 (-34,55)	57,71	300,94	-180,17	8,04	10,05	5,21
5	2,60	34,58 (34,58)	57,71	244,96	146,78	8,04	8,04	4,24

Verifiche taglio

N°	X	A_{sw}	V	V_{Rd}	V_{Rsd}	V_{Rcd}	FS
1	0,20	2,01	-113,40	0,00	204,45	1470,63	1.803
2	0,76	0,00	-55,61	173,53	0,00	0,00	3.121
3	1,40	0,00	4,85	173,53	0,00	0,00	35.760
4	2,04	0,00	65,64	173,53	0,00	0,00	2.644
5	2,60	2,01	111,46	0,00	204,45	1470,63	1.834

Verifica sezioni traverso [Combinazione n° 1 - SLU (Approccio 2)]

Base sezione B = 100 cm
Altezza sezione H = 40,00 cm

Verifiche presso-flessione

N°	X	M	N	N_u	M_u	A_{fi}	A_{fs}	CS
1	0,20	-25,47 (-25,47)	40,05	345,20	-219,54	12,72	12,72	8,62
2	0,73	10,48 (25,64)	40,05	342,18	219,08	12,72	12,72	8,54
3	1,40	26,53 (26,53)	40,05	327,33	216,79	12,72	12,72	8,17
4	2,00	13,53 (26,53)	40,05	327,33	216,79	12,72	12,72	8,17
5	2,60	-25,47 (-25,47)	40,05	345,20	-219,54	12,72	12,72	8,62

Verifiche taglio

N°	X	A_{sw}	V	V_{Rd}	V_{Rsd}	V_{Rcd}	FS
1	0,20	0,00	86,67	175,65	0,00	0,00	2.027
2	0,73	0,00	48,15	175,65	0,00	0,00	3.648

3	1,40	0,00	0,00	175,65	0,00	0,00	156219,650
4	2,00	0,00	-43,33	175,65	0,00	0,00	4,053
5	2,60	0,00	-86,67	175,65	0,00	0,00	2,027

Verifica sezioni piedritto sinistro [Combinazione n° 1 - SLU (Approccio 2)]

Base sezione B = 100 cm
 Altezza sezione H = 40,00 cm

Verifiche presso-flessione

N°	X	M	N	N _u	M _u	A _{fi}	A _{fs}	CS
1	0,20	-34,58 (-34,58)	117,27	1253,58	-369,69	14,07	14,07	10,69
2	1,40	-0,58 (-0,96)	101,97	7011,64	-65,99	14,07	14,07	68,76
3	2,60	-25,47 (-34,58)	86,67	743,59	-296,71	14,07	14,07	8,58

Verifiche taglio

N°	X	A _{sw}	V	V _{Rd}	V _{Rsd}	V _{Rcd}	FS
1	0,20	0,00	57,77	191,61	0,00	0,00	3,317
2	1,40	0,00	1,22	189,60	0,00	0,00	155,936
3	2,60	0,00	-40,05	187,59	0,00	0,00	4,683

Verifica sezioni piedritto destro [Combinazione n° 1 - SLU (Approccio 2)]

Base sezione B = 100 cm
 Altezza sezione H = 40,00 cm

Verifiche presso-flessione

N°	X	M	N	N _u	M _u	A _{fi}	A _{fs}	CS
1	0,20	-34,58 (-34,58)	117,26	1253,79	-369,72	14,07	14,07	10,69
2	1,40	-0,57 (-0,96)	101,97	7012,01	-65,77	14,07	14,07	68,77
3	2,60	-25,47 (-34,58)	86,67	743,69	-296,72	14,07	14,07	8,58

Verifiche taglio

N°	X	A _{sw}	V	V _{Rd}	V _{Rsd}	V _{Rcd}	FS
1	0,20	0,00	-57,77	191,61	0,00	0,00	3,317
2	1,40	0,00	-1,22	189,60	0,00	0,00	156,017
3	2,60	0,00	40,05	187,59	0,00	0,00	4,683

Verifica sezioni fondazione [Combinazione n° 2 - SLU (Approccio 2)]

Base sezione B = 100 cm
 Altezza sezione H = 40,00 cm

Verifiche presso-flessione

N°	X	M	N	N _u	M _u	A _{fi}	A _{fs}	CS
1	0,20	60,44 (60,44)	129,88	352,07	163,84	8,04	8,04	2,71
2	0,76	-14,97 (-41,82)	129,88	805,26	-259,27	8,04	10,05	6,20
3	1,40	-43,84 (-43,84)	129,88	604,68	-204,08	8,04	8,04	4,66
4	2,04	-14,97 (-43,84)	129,88	736,05	-248,42	8,04	10,05	5,67
5	2,60	60,44 (60,44)	129,88	352,07	163,84	8,04	8,04	2,71

Verifiche taglio

N°	X	A _{sw}	V	V _{Rd}	V _{Rsd}	V _{Rcd}	FS
----	---	-----------------	---	-----------------	------------------	------------------	----

1	0,20	2,01	-175,13	0,00	204,45	1484,34		1.167
2	0,76	0,00	-85,24	183,01	0,00	0,00		2.147
3	1,40	0,00	5,78	183,01	0,00	0,00		31.673
4	2,04	0,00	97,19	183,01	0,00	0,00		1.883
5	2,60	2,01	172,83	0,00	204,45	1484,34		1.183

Verifica sezioni traverso [Combinazione n° 2 - SLU (Approccio 2)]

Base sezione B = 100 cm
Altezza sezione H = 40,00 cm

Verifiche presso-flessione

N°	X	M	N	N _u	M _u	A _{fi}	A _{fs}	CS
1	0,20	-52,53 (-52,53)	112,22	529,86	-248,00	12,72	12,72	4,72
2	0,73	9,33 (35,43)	112,22	1020,35	322,12	12,72	12,72	9,09
3	1,40	36,95 (36,95)	112,22	948,50	312,28	12,72	12,72	8,45
4	2,00	14,58 (36,95)	112,22	948,50	312,28	12,72	12,72	8,45
5	2,60	-52,52 (-52,53)	112,22	529,86	-248,00	12,72	12,72	4,72

Verifiche taglio

N°	X	A _{sw}	V	V _{Rd}	V _{Rsd}	V _{Rcd}	FS
1	0,20	0,00	149,12	185,12	0,00	0,00	1.241
2	0,73	0,00	82,85	185,12	0,00	0,00	2.234
3	1,40	0,00	0,00	185,12	0,00	0,00	118105.060
4	2,00	0,00	-74,56	185,12	0,00	0,00	2.483
5	2,60	0,00	-149,12	185,12	0,00	0,00	1.241

Verifica sezioni piedritto sinistro [Combinazione n° 2 - SLU (Approccio 2)]

Base sezione B = 100 cm
Altezza sezione H = 40,00 cm

Verifiche presso-flessione

N°	X	M	N	N _u	M _u	A _{fi}	A _{fs}	CS
1	0,20	-60,44 (-60,44)	179,72	993,82	-334,25	14,07	14,07	5,53
2	1,40	16,03 (16,03)	164,42	4762,52	464,22	14,07	14,07	28,97
3	2,60	-52,53 (-60,44)	149,12	724,99	-293,86	14,07	14,07	4,86

Verifiche taglio

N°	X	A _{sw}	V	V _{Rd}	V _{Rsd}	V _{Rcd}	FS
1	0,20	0,00	130,02	199,81	0,00	0,00	1.537
2	1,40	0,00	1,76	197,80	0,00	0,00	112.448
3	2,60	0,00	-112,22	195,79	0,00	0,00	1.745

Verifica sezioni piedritto destro [Combinazione n° 2 - SLU (Approccio 2)]

Base sezione B = 100 cm
Altezza sezione H = 40,00 cm

Verifiche presso-flessione

N°	X	M	N	N _u	M _u	A _{fi}	A _{fs}	CS
1	0,20	-60,44 (-60,44)	179,72	993,90	-334,26	14,07	14,07	5,53
2	1,40	16,03 (16,03)	164,42	4761,82	464,27	14,07	14,07	28,96
3	2,60	-52,52 (-60,44)	149,12	725,04	-293,87	14,07	14,07	4,86

Verifiche taglio

N°	X	A _{sw}	V	V _{Rd}	V _{Rsd}	V _{Rcd}	FS
1	0,20	0,00	-130,02	199,80	0,00	0,00	1.537
2	1,40	0,00	-1,76	197,80	0,00	0,00	112.448
3	2,60	0,00	112,22	195,79	0,00	0,00	1.745

Verifica sezioni fondazione [Combinazione n° 3 - SLU (Approccio 2)]

Base sezione B = 100 cm

Altezza sezione H = 40,00 cm

Verifiche presso-flessione

N°	X	M	N	N _u	M _u	A _{fi}	A _{fs}	CS
1	0,20	68,00 (68,00)	148,49	360,84	165,24	8,04	8,04	2,43
2	0,76	-15,70 (-45,50)	148,49	888,89	-272,39	8,04	10,05	5,99
3	1,40	-47,77 (-47,77)	148,49	663,52	-213,45	8,04	8,04	4,47
4	2,04	-15,70 (-47,77)	148,49	806,60	-259,48	8,04	10,05	5,43
5	2,60	67,99 (68,00)	148,49	360,84	165,24	8,04	8,04	2,43

Verifiche taglio

N°	X	A _{sw}	V	V _{Rd}	V _{Rsd}	V _{Rcd}	FS
1	0,20	2,01	-193,91	0,00	204,45	1487,88	1.054
2	0,76	0,00	-94,61	185,45	0,00	0,00	1.960
3	1,40	0,00	6,49	185,45	0,00	0,00	28.560
4	2,04	0,00	108,03	185,45	0,00	0,00	1.717
5	2,60	2,01	191,34	0,00	204,45	1487,88	1.069

Verifica sezioni traverso [Combinazione n° 3 - SLU (Approccio 2)]

Base sezione B = 100 cm

Altezza sezione H = 40,00 cm

Verifiche presso-flessione

N°	X	M	N	N _u	M _u	A _{fi}	A _{fs}	CS
1	0,20	-60,13 (-60,13)	130,89	544,88	-250,31	12,72	12,72	4,16
2	0,73	9,75 (39,23)	130,89	1120,66	335,86	12,72	12,72	8,56
3	1,40	40,95 (40,95)	130,89	1037,08	324,41	12,72	12,72	7,92
4	2,00	15,68 (40,95)	130,89	1037,08	324,41	12,72	12,72	7,92
5	2,60	-60,13 (-60,13)	130,89	544,88	-250,31	12,72	12,72	4,16

Verifiche taglio

N°	X	A _{sw}	V	V _{Rd}	V _{Rsd}	V _{Rcd}	FS
1	0,20	0,00	168,46	187,57	0,00	0,00	1.113
2	0,73	0,00	93,59	187,57	0,00	0,00	2.004
3	1,40	0,00	0,00	187,57	0,00	0,00	107163.532
4	2,00	0,00	-84,23	187,57	0,00	0,00	2.227
5	2,60	0,00	-168,46	187,57	0,00	0,00	1.113

Verifica sezioni piedritto sinistro [Combinazione n° 3 - SLU (Approccio 2)]

Base sezione B = 100 cm

Altezza sezione H = 40,00 cm

Verifiche presso-flessione

N°	X	M	N	N _u	M _u	A _{fi}	A _{fs}	CS
1	0,20	-68,00 (-68,00)	199,06	968,27	-330,76	14,07	14,07	4,86
2	1,40	19,64 (19,64)	183,76	4493,66	480,17	14,07	14,07	24,45
3	2,60	-60,13 (-68,00)	168,46	729,87	-294,61	14,07	14,07	4,33

Verifiche taglio

N°	X	A _{sw}	V	V _{Rd}	V _{Rsd}	V _{Rcd}	FS
1	0,20	0,00	148,64	202,34	0,00	0,00	1.361
2	1,40	0,00	1,74	200,34	0,00	0,00	115.307
3	2,60	0,00	-130,89	198,33	0,00	0,00	1.515

Verifica sezioni piedritto destro [Combinazione n° 3 - SLU (Approccio 2)]

Base sezione B = 100 cm

Altezza sezione H = 40,00 cm

Verifiche presso-flessione

N°	X	M	N	N _u	M _u	A _{fi}	A _{fs}	CS
1	0,20	-67,99 (-67,99)	199,05	968,34	-330,77	14,07	14,07	4,86
2	1,40	19,64 (19,64)	183,75	4492,98	480,20	14,07	14,07	24,45
3	2,60	-60,13 (-67,99)	168,46	729,92	-294,61	14,07	14,07	4,33

Verifiche taglio

N°	X	A _{sw}	V	V _{Rd}	V _{Rsd}	V _{Rcd}	FS
1	0,20	0,00	-148,64	202,34	0,00	0,00	1.361
2	1,40	0,00	-1,74	200,33	0,00	0,00	115.307
3	2,60	0,00	130,89	198,33	0,00	0,00	1.515

Verifica sezioni fondazione [Combinazione n° 4 - SLU (Approccio 2) - Sisma Vert. positivo]

Base sezione B = 100 cm

Altezza sezione H = 40,00 cm

Verifiche presso-flessione

N°	X	M	N	N _u	M _u	A _{fi}	A _{fs}	CS
1	0,20	42,95 (42,95)	99,80	397,52	171,08	8,04	8,04	3,98
2	0,76	1,78 (16,99)	101,84	2622,28	437,51	8,04	10,05	25,75
3	1,40	-16,22 (-16,24)	104,15	2822,21	-440,07	8,04	8,04	27,10
4	2,04	-2,89 (-16,28)	106,45	3027,37	-462,89	8,04	10,05	28,44
5	2,60	36,81 (42,95)	108,49	455,42	180,31	8,04	8,04	4,20

Verifiche taglio

N°	X	A _{sw}	V	V _{Rd}	V _{Rsd}	V _{Rcd}	FS
1	0,20	2,01	-90,85	0,00	204,45	1478,63	2.250
2	0,76	0,00	-48,30	179,33	0,00	0,00	3.713
3	1,40	0,00	-0,05	179,63	0,00	0,00	3642.850
4	2,04	0,00	50,89	179,93	0,00	0,00	3.536
5	2,60	2,01	89,81	0,00	204,45	1480,28	2.276

Verifica sezioni traverso [Combinazione n° 4 - SLU (Approccio 2) - Sisma Vert. positivo]

Base sezione B = 100 cm
 Altezza sezione H = 40,00 cm

Verifiche presso-flessione

N°	X	M	N	N _u	M _u	A _{fi}	A _{fs}	CS
1	0,20	-30,71 (-32,11)	93,56	879,94	-301,94	12,72	12,72	9,40
2	0,73	-3,51 (-14,93)	95,49	3268,74	-511,22	12,72	12,72	34,23
3	1,40	8,39 (8,39)	97,91	5040,44	431,73	12,72	12,72	51,48
4	2,00	-1,91 (-12,54)	100,08	3945,82	-494,39	12,72	12,72	39,43
5	2,60	-32,11 (-32,11)	102,25	1030,26	-323,48	12,72	12,72	10,08

Verifiche taglio

N°	X	A _{sw}	V	V _{Rd}	V _{Rsd}	V _{Rcd}	FS
1	0,20	0,00	65,75	182,67	0,00	0,00	2.778
2	0,73	0,00	36,27	182,92	0,00	0,00	5.044
3	1,40	0,00	-0,58	183,24	0,00	0,00	316.245
4	2,00	0,00	-33,74	183,52	0,00	0,00	5.439
5	2,60	0,00	-66,91	183,81	0,00	0,00	2.747

Verifica sezioni piedritto sinistro [Combinazione n° 4 - SLU (Approccio 2) - Sisma Vert. positivo]

Base sezione B = 100 cm
 Altezza sezione H = 40,00 cm

Verifiche presso-flessione

N°	X	M	N	N _u	M _u	A _{fi}	A _{fs}	CS
1	0,20	-42,95 (-42,95)	93,63	598,34	-274,49	14,07	14,07	6,39
2	1,40	24,69 (24,69)	79,69	1145,29	354,91	14,07	14,07	14,37
3	2,60	-30,71 (-42,95)	65,75	365,70	-238,91	14,07	14,07	5,56

Verifiche taglio

N°	X	A _{sw}	V	V _{Rd}	V _{Rsd}	V _{Rcd}	FS
1	0,20	0,00	111,53	188,51	0,00	0,00	1.690
2	1,40	0,00	3,15	186,68	0,00	0,00	59.207
3	2,60	0,00	-93,56	184,85	0,00	0,00	1.976

Verifica sezioni piedritto destro [Combinazione n° 4 - SLU (Approccio 2) - Sisma Vert. positivo]

Base sezione B = 100 cm
 Altezza sezione H = 40,00 cm

Verifiche presso-flessione

N°	X	M	N	N _u	M _u	A _{fi}	A _{fs}	CS
1	0,20	-36,81 (-36,81)	94,79	777,38	-301,87	14,07	14,07	8,20
2	1,40	21,95 (21,95)	80,85	1464,08	397,47	14,07	14,07	18,11
3	2,60	-32,11 (-36,81)	66,91	460,68	-253,44	14,07	14,07	6,89

Verifiche taglio

N°	X	A _{sw}	V	V _{Rd}	V _{Rsd}	V _{Rcd}	FS
1	0,20	0,00	-96,98	188,66	0,00	0,00	1.945
2	1,40	0,00	1,02	186,83	0,00	0,00	182.832
3	2,60	0,00	87,64	185,00	0,00	0,00	2.111

Verifica sezioni fondazione [Combinazione n° 5 - SLU (Approccio 2) - Sisma Vert. negativo]

Base sezione B = 100 cm
 Altezza sezione H = 40,00 cm

Verifiche presso-flessione

N°	X	M	N	N _u	M _u	A _{fi}	A _{fs}	CS
1	0,20	39,99 (39,99)	98,72	438,38	177,59	8,04	8,04	4,44
2	0,76	4,34 (17,66)	100,76	2412,99	422,96	8,04	10,05	23,95
3	1,40	-11,56 (-11,66)	103,06	3939,62	-445,61	8,04	8,04	38,23
4	2,04	-0,35 (-11,66)	105,37	4045,24	-447,55	8,04	10,05	38,39
5	2,60	33,81 (39,99)	107,41	505,81	188,33	8,04	8,04	4,71

Verifiche taglio

N°	X	A _{sw}	V	V _{Rd}	V _{Rsd}	V _{Rcd}	FS
1	0,20	2,01	-78,34	0,00	204,45	1478,42	2.610
2	0,76	0,00	-42,29	179,18	0,00	0,00	4.237
3	1,40	0,00	-0,70	179,49	0,00	0,00	255.743
4	2,04	0,00	43,53	179,79	0,00	0,00	4.130
5	2,60	2,01	77,53	0,00	204,45	1480,07	2.637

Verifica sezioni traverso [Combinazione n° 5 - SLU (Approccio 2) - Sisma Vert. negativo]

Base sezione B = 100 cm
 Altezza sezione H = 40,00 cm

Verifiche presso-flessione

N°	X	M	N	N _u	M _u	A _{fi}	A _{fs}	CS
1	0,20	-30,26 (-31,63)	94,61	923,20	-308,60	12,72	12,72	9,76
2	0,73	-4,85 (-15,52)	96,54	3155,90	-507,39	12,72	12,72	32,69
3	1,40	6,25 (6,25)	98,95	5802,75	366,27	12,72	12,72	58,64
4	2,00	-3,39 (-13,33)	101,13	3799,18	-500,94	12,72	12,72	37,57
5	2,60	-31,63 (-31,63)	103,30	1077,88	-330,00	12,72	12,72	10,43

Verifiche taglio

N°	X	A _{sw}	V	V _{Rd}	V _{Rsd}	V _{Rcd}	FS
1	0,20	0,00	61,41	182,81	0,00	0,00	2.977
2	0,73	0,00	33,87	183,06	0,00	0,00	5.405
3	1,40	0,00	-0,57	183,38	0,00	0,00	322.588
4	2,00	0,00	-31,56	183,66	0,00	0,00	5.820
5	2,60	0,00	-62,55	183,95	0,00	0,00	2.941

Verifica sezioni piedritto sinistro [Combinazione n° 5 - SLU (Approccio 2) - Sisma Vert. negativo]

Base sezione B = 100 cm
 Altezza sezione H = 40,00 cm

Verifiche presso-flessione

N°	X	M	N	N _u	M _u	A _{fi}	A _{fs}	CS
1	0,20	-39,99 (-39,99)	80,61	533,17	-264,52	14,07	14,07	6,61
2	1,40	26,40 (26,40)	71,01	836,07	310,85	14,07	14,07	11,77
3	2,60	-30,26 (-39,99)	61,41	367,26	-239,15	14,07	14,07	5,98

Verifiche taglio

N°	X	A _{sw}	V	V _{Rd}	V _{Rsd}	V _{Rcd}	FS
----	---	-----------------	---	-----------------	------------------	------------------	----

1	0,20	0,00	110,49	186,80	0,00	0,00	1.691
2	1,40	0,00	2,11	185,54	0,00	0,00	88.015
3	2,60	0,00	-94,61	184,28	0,00	0,00	1.948

Verifica sezioni piedritto destro [Combinazione n° 5 - SLU (Approccio 2) - Sisma Vert. negativo]

Base sezione B = 100 cm
Altezza sezione H = 40,00 cm

Verifiche presso-flessione

N°	X	M	N	N _u	M _u	A _{fi}	A _{fs}	CS
1	0,20	-33,81 (-33,81)	81,74	701,98	-290,34	14,07	14,07	8,59
2	1,40	23,61 (23,61)	72,15	1040,81	340,66	14,07	14,07	14,43
3	2,60	-31,63 (-33,81)	62,55	472,13	-255,19	14,07	14,07	7,55

Verifiche taglio

N°	X	A _{sw}	V	V _{Rd}	V _{Rsd}	V _{Rcd}	FS
1	0,20	0,00	-95,85	186,95	0,00	0,00	1.950
2	1,40	0,00	2,05	185,69	0,00	0,00	90.423
3	2,60	0,00	88,64	184,43	0,00	0,00	2.081

Verifica sezioni fondazione [Combinazione n° 6 - SLU (Approccio 2) - Sisma Vert. positivo]

Base sezione B = 100 cm
Altezza sezione H = 40,00 cm

Verifiche presso-flessione

N°	X	M	N	N _u	M _u	A _{fi}	A _{fs}	CS
1	0,20	41,81 (41,81)	99,10	410,40	173,13	8,04	8,04	4,14
2	0,76	0,39 (15,75)	101,14	2901,25	451,76	8,04	10,05	28,68
3	1,40	-17,07 (-17,07)	103,45	2600,96	-429,22	8,04	8,04	25,14
4	2,04	-3,03 (-17,07)	105,75	2820,89	-455,37	8,04	10,05	26,68
5	2,60	37,47 (41,81)	107,79	471,46	182,86	8,04	8,04	4,37

Verifiche taglio

N°	X	A _{sw}	V	V _{Rd}	V _{Rsd}	V _{Rcd}	FS
1	0,20	2,01	-94,86	0,00	204,45	1478,49	2.155
2	0,76	0,00	-48,77	179,23	0,00	0,00	3.675
3	1,40	0,00	-0,02	179,54	0,00	0,00	8658.033
4	2,04	0,00	50,90	179,84	0,00	0,00	3.533
5	2,60	2,01	94,54	0,00	204,45	1480,14	2.163

Verifica sezioni traverso [Combinazione n° 6 - SLU (Approccio 2) - Sisma Vert. positivo]

Base sezione B = 100 cm
Altezza sezione H = 40,00 cm

Verifiche presso-flessione

N°	X	M	N	N _u	M _u	A _{fi}	A _{fs}	CS
1	0,20	-31,04 (-32,67)	90,14	798,42	-289,38	12,72	12,72	8,86
2	0,73	-2,47 (-14,46)	92,07	3250,36	-510,59	12,72	12,72	35,30
3	1,40	9,99 (9,99)	94,49	4442,87	469,66	12,72	12,72	47,02
4	2,00	-0,88 (-12,08)	96,66	3953,58	-494,04	12,72	12,72	40,90
5	2,60	-32,67 (-32,67)	98,83	941,94	-311,38	12,72	12,72	9,53

Verifiche taglio

N°	X	A _{sw}	V	V _{Rd}	V _{Rsd}	V _{Rcd}	FS
1	0,20	0,00	69,06	182,22	0,00	0,00	2.639
2	0,73	0,00	38,06	182,47	0,00	0,00	4.794
3	1,40	0,00	-0,68	182,79	0,00	0,00	268.922
4	2,00	0,00	-35,55	183,08	0,00	0,00	5.150
5	2,60	0,00	-70,42	183,36	0,00	0,00	2.604

Verifica sezioni piedritto sinistro [Combinazione n° 6 - SLU (Approccio 2) - Sisma Vert. positivo]

Base sezione B = 100 cm

Altezza sezione H = 40,00 cm

Verifiche presso-flessione

N°	X	M	N	N _u	M _u	A _{fi}	A _{fs}	CS
1	0,20	-41,81 (-41,81)	96,94	657,43	-283,53	14,07	14,07	6,78
2	1,40	23,03 (23,03)	83,00	1408,82	390,87	14,07	14,07	16,97
3	2,60	-31,04 (-41,81)	69,06	404,43	-244,84	14,07	14,07	5,86

Verifiche taglio

N°	X	A _{sw}	V	V _{Rd}	V _{Rsd}	V _{Rcd}	FS
1	0,20	0,00	108,39	188,94	0,00	0,00	1.743
2	1,40	0,00	3,01	187,11	0,00	0,00	62.249
3	2,60	0,00	-90,14	185,28	0,00	0,00	2.055

Verifica sezioni piedritto destro [Combinazione n° 6 - SLU (Approccio 2) - Sisma Vert. positivo]

Base sezione B = 100 cm

Altezza sezione H = 40,00 cm

Verifiche presso-flessione

N°	X	M	N	N _u	M _u	A _{fi}	A _{fs}	CS
1	0,20	-37,47 (-37,47)	98,30	801,70	-305,59	14,07	14,07	8,16
2	1,40	21,38 (21,38)	84,36	1652,54	418,73	14,07	14,07	19,59
3	2,60	-32,67 (-37,47)	70,42	482,60	-256,79	14,07	14,07	6,85

Verifiche taglio

N°	X	A _{sw}	V	V _{Rd}	V _{Rsd}	V _{Rcd}	FS
1	0,20	0,00	-98,72	189,12	0,00	0,00	1.916
2	1,40	0,00	0,28	187,29	0,00	0,00	663.929
3	2,60	0,00	87,30	185,46	0,00	0,00	2.124

Verifica sezioni fondazione [Combinazione n° 7 - SLU (Approccio 2) - Sisma Vert. negativo]

Base sezione B = 100 cm

Altezza sezione H = 40,00 cm

Verifiche presso-flessione

N°	X	M	N	N _u	M _u	A _{fi}	A _{fs}	CS
1	0,20	38,85 (38,85)	98,02	454,63	180,18	8,04	8,04	4,64
2	0,76	2,95 (16,42)	100,06	2697,09	442,57	8,04	10,05	26,95
3	1,40	-12,41 (-12,41)	102,36	3728,11	-451,89	8,04	8,04	36,42

4	2,04	-0,49 (-12,41)	104,67	3840,89	-455,31	8,04	10,05	36,70
5	2,60	34,47 (38,85)	106,71	526,28	191,59	8,04	8,04	4,93

Verifiche taglio

N°	X	A _{sw}	V	V _{Rd}	V _{Rsd}	V _{Rcd}	FS
1	0,20	2,01	-82,34	0,00	204,45	1478,29	2.483
2	0,76	0,00	-42,75	179,09	0,00	0,00	4.189
3	1,40	0,00	-0,67	179,40	0,00	0,00	266.461
4	2,04	0,00	43,54	179,70	0,00	0,00	4.127
5	2,60	2,01	82,26	0,00	204,45	1479,94	2.485

Verifica sezioni trasverso [Combinazione n° 7 - SLU (Approccio 2) - Sisma Vert. negativo]

Base sezione B = 100 cm

Altezza sezione H = 40,00 cm

Verifiche presso-flessione

N°	X	M	N	N _u	M _u	A _{fi}	A _{fs}	CS
1	0,20	-30,59 (-32,19)	91,19	836,20	-295,20	12,72	12,72	9,17
2	0,73	-3,82 (-15,05)	93,12	3135,00	-506,68	12,72	12,72	33,67
3	1,40	7,85 (7,85)	95,53	5156,34	423,61	12,72	12,72	53,97
4	2,00	-2,36 (-12,87)	97,70	3801,34	-500,84	12,72	12,72	38,91
5	2,60	-32,19 (-32,19)	99,88	983,92	-317,13	12,72	12,72	9,85

Verifiche taglio

N°	X	A _{sw}	V	V _{Rd}	V _{Rsd}	V _{Rcd}	FS
1	0,20	0,00	64,73	182,36	0,00	0,00	2.817
2	0,73	0,00	35,66	182,61	0,00	0,00	5.121
3	1,40	0,00	-0,67	182,93	0,00	0,00	273.538
4	2,00	0,00	-33,37	183,21	0,00	0,00	5.491
5	2,60	0,00	-66,06	183,50	0,00	0,00	2.778

Verifica sezioni piedritto sinistro [Combinazione n° 7 - SLU (Approccio 2) - Sisma Vert. negativo]

Base sezione B = 100 cm

Altezza sezione H = 40,00 cm

Verifiche presso-flessione

N°	X	M	N	N _u	M _u	A _{fi}	A _{fs}	CS
1	0,20	-38,85 (-38,85)	83,92	590,33	-273,27	14,07	14,07	7,03
2	1,40	24,74 (24,74)	74,32	1011,61	336,67	14,07	14,07	13,61
3	2,60	-30,59 (-38,85)	64,73	409,15	-245,56	14,07	14,07	6,32

Verifiche taglio

N°	X	A _{sw}	V	V _{Rd}	V _{Rsd}	V _{Rcd}	FS
1	0,20	0,00	107,34	187,23	0,00	0,00	1.744
2	1,40	0,00	1,96	185,97	0,00	0,00	94.838
3	2,60	0,00	-91,19	184,71	0,00	0,00	2.026

Verifica sezioni piedritto destro [Combinazione n° 7 - SLU (Approccio 2) - Sisma Vert. negativo]

Base sezione B = 100 cm

Altezza sezione H = 40,00 cm

Verifiche presso-flessione

N°	X	M	N	N _u	M _u	A _{fi}	A _{fs}	CS
1	0,20	-34,47 (-34,47)	85,26	727,88	-294,30	14,07	14,07	8,54
2	1,40	23,04 (23,04)	75,66	1181,81	359,89	14,07	14,07	15,62
3	2,60	-32,19 (-34,47)	66,06	496,09	-258,85	14,07	14,07	7,51

Verifiche taglio

N°	X	A _{sw}	V	V _{Rd}	V _{Rsd}	V _{Rcd}	FS
1	0,20	0,00	-97,59	187,41	0,00	0,00	1.920
2	1,40	0,00	1,31	186,15	0,00	0,00	141.691
3	2,60	0,00	88,30	184,89	0,00	0,00	2.094

Verifica sezioni fondazione [Combinazione n° 8 - SLU (Approccio 2) - Sisma Vert. positivo]

Base sezione B = 100 cm
 Altezza sezione H = 40,00 cm

Verifiche presso-flessione

N°	X	M	N	N _u	M _u	A _{fi}	A _{fs}	CS
1	0,20	36,81 (42,95)	108,49	455,45	180,31	8,04	8,04	4,20
2	0,76	-2,89 (-16,22)	106,45	3040,95	-463,39	8,04	10,05	28,57
3	1,40	-16,22 (-16,28)	104,15	2813,42	-439,69	8,04	8,04	27,01
4	2,04	1,78 (19,46)	101,84	2063,74	394,28	8,04	10,05	20,26
5	2,60	42,95 (42,95)	99,80	397,54	171,09	8,04	8,04	3,98

Verifiche taglio

N°	X	A _{sw}	V	V _{Rd}	V _{Rsd}	V _{Rcd}	FS
1	0,20	2,01	-91,47	0,00	204,45	1480,28	2.235
2	0,76	0,00	-42,32	179,93	0,00	0,00	4.252
3	1,40	0,00	8,11	179,63	0,00	0,00	22.144
4	2,04	0,00	56,13	179,33	0,00	0,00	3.195
5	2,60	2,01	89,46	0,00	204,45	1478,63	2.286

Verifica sezioni trasverso [Combinazione n° 8 - SLU (Approccio 2) - Sisma Vert. positivo]

Base sezione B = 100 cm
 Altezza sezione H = 40,00 cm

Verifiche presso-flessione

N°	X	M	N	N _u	M _u	A _{fi}	A _{fs}	CS
1	0,20	-32,11 (-32,11)	102,25	1030,12	-323,46	12,72	12,72	10,07
2	0,73	-4,28 (-16,07)	100,32	3169,53	-507,85	12,72	12,72	31,59
3	1,40	8,39 (8,39)	97,91	5040,36	431,74	12,72	12,72	51,48
4	2,00	-1,21 (-11,48)	95,74	4075,58	-488,59	12,72	12,72	42,57
5	2,60	-30,71 (-32,11)	93,56	879,81	-301,92	12,72	12,72	9,40

Verifiche taglio

N°	X	A _{sw}	V	V _{Rd}	V _{Rsd}	V _{Rcd}	FS
1	0,20	0,00	66,91	183,81	0,00	0,00	2.747
2	0,73	0,00	37,43	183,56	0,00	0,00	4.904
3	1,40	0,00	0,58	183,24	0,00	0,00	315.120
4	2,00	0,00	-32,58	182,95	0,00	0,00	5.615
5	2,60	0,00	-65,75	182,67	0,00	0,00	2.778

Verifica sezioni piedritto sinistro [Combinazione n° 8 - SLU (Approccio 2) - Sisma Vert. positivo]

Base sezione B = 100 cm
 Altezza sezione H = 40,00 cm

Verifiche presso-flessione

N°	X	M	N	N _u	M _u	A _{fi}	A _{fs}	CS
1	0,20	-36,81 (-36,81)	94,79	777,28	-301,86	14,07	14,07	8,20
2	1,40	21,95 (21,95)	80,85	1464,47	397,51	14,07	14,07	18,11
3	2,60	-32,11 (-36,81)	66,91	460,64	-253,43	14,07	14,07	6,88

Verifiche taglio

N°	X	A _{sw}	V	V _{Rd}	V _{Rsd}	V _{Rcd}	FS
1	0,20	0,00	96,98	188,66	0,00	0,00	1.945
2	1,40	0,00	-1,02	186,83	0,00	0,00	182.916
3	2,60	0,00	-87,64	185,00	0,00	0,00	2.111

Verifica sezioni piedritto destro [Combinazione n° 8 - SLU (Approccio 2) - Sisma Vert. positivo]

Base sezione B = 100 cm
 Altezza sezione H = 40,00 cm

Verifiche presso-flessione

N°	X	M	N	N _u	M _u	A _{fi}	A _{fs}	CS
1	0,20	-42,95 (-42,95)	93,63	598,34	-274,49	14,07	14,07	6,39
2	1,40	24,70 (24,70)	79,69	1145,08	354,88	14,07	14,07	14,37
3	2,60	-30,71 (-42,95)	65,75	365,70	-238,91	14,07	14,07	5,56

Verifiche taglio

N°	X	A _{sw}	V	V _{Rd}	V _{Rsd}	V _{Rcd}	FS
1	0,20	0,00	-111,53	188,51	0,00	0,00	1.690
2	1,40	0,00	-3,15	186,68	0,00	0,00	59.195
3	2,60	0,00	93,56	184,85	0,00	0,00	1.976

Verifica sezioni fondazione [Combinazione n° 9 - SLU (Approccio 2) - Sisma Vert. negativo]

Base sezione B = 100 cm
 Altezza sezione H = 40,00 cm

Verifiche presso-flessione

N°	X	M	N	N _u	M _u	A _{fi}	A _{fs}	CS
1	0,20	33,81 (39,99)	107,41	505,83	188,33	8,04	8,04	4,71
2	0,76	-0,35 (-11,66)	105,37	4045,25	-447,55	8,04	10,05	38,39
3	1,40	-11,56 (-11,66)	103,06	3939,63	-445,61	8,04	8,04	38,23
4	2,04	4,34 (19,71)	100,76	1970,41	385,51	8,04	10,05	19,56
5	2,60	39,99 (39,99)	98,72	438,40	177,59	8,04	8,04	4,44

Verifiche taglio

N°	X	A _{sw}	V	V _{Rd}	V _{Rsd}	V _{Rcd}	FS
1	0,20	2,01	-78,94	0,00	204,45	1480,07	2.590
2	0,76	0,00	-36,27	179,79	0,00	0,00	4.956
3	1,40	0,00	7,50	179,49	0,00	0,00	23.947
4	2,04	0,00	48,81	179,18	0,00	0,00	3.671

5	2,60	2,01	77,20	0,00	204,45	1478,42	2.648
---	------	------	-------	------	--------	---------	-------

Verifica sezioni traverso [Combinazione n° 9 - SLU (Approccio 2) - Sisma Vert. negativo]

Base sezione B = 100 cm
 Altezza sezione H = 40,00 cm

Verifiche presso-flessione

N°	X	M	N	N _u	M _u	A _{fi}	A _{fs}	CS
1	0,20	-31,63 (-31,63)	103,30	1077,75	-329,99	12,72	12,72	10,43
2	0,73	-5,61 (-16,64)	101,37	3074,22	-504,62	12,72	12,72	30,33
3	1,40	6,25 (6,25)	98,95	5802,66	366,28	12,72	12,72	58,64
4	2,00	-2,71 (-12,29)	96,78	3906,48	-496,14	12,72	12,72	40,36
5	2,60	-30,26 (-31,63)	94,61	923,08	-308,59	12,72	12,72	9,76

Verifiche taglio

N°	X	A _{sw}	V	V _{Rd}	V _{Rsd}	V _{Rcd}	FS
1	0,20	0,00	62,55	183,95	0,00	0,00	2.941
2	0,73	0,00	35,00	183,69	0,00	0,00	5.248
3	1,40	0,00	0,57	183,38	0,00	0,00	321.578
4	2,00	0,00	-30,42	183,09	0,00	0,00	6.019
5	2,60	0,00	-61,41	182,81	0,00	0,00	2.977

Verifica sezioni piedritto sinistro [Combinazione n° 9 - SLU (Approccio 2) - Sisma Vert. negativo]

Base sezione B = 100 cm
 Altezza sezione H = 40,00 cm

Verifiche presso-flessione

N°	X	M	N	N _u	M _u	A _{fi}	A _{fs}	CS
1	0,20	-33,81 (-33,81)	81,74	701,90	-290,33	14,07	14,07	8,59
2	1,40	23,61 (23,61)	72,15	1041,03	340,69	14,07	14,07	14,43
3	2,60	-31,63 (-33,81)	62,55	472,09	-255,18	14,07	14,07	7,55

Verifiche taglio

N°	X	A _{sw}	V	V _{Rd}	V _{Rsd}	V _{Rcd}	FS
1	0,20	0,00	95,85	186,95	0,00	0,00	1.950
2	1,40	0,00	-2,05	185,69	0,00	0,00	90.439
3	2,60	0,00	-88,63	184,43	0,00	0,00	2.081

Verifica sezioni piedritto destro [Combinazione n° 9 - SLU (Approccio 2) - Sisma Vert. negativo]

Base sezione B = 100 cm
 Altezza sezione H = 40,00 cm

Verifiche presso-flessione

N°	X	M	N	N _u	M _u	A _{fi}	A _{fs}	CS
1	0,20	-39,99 (-39,99)	80,60	533,17	-264,52	14,07	14,07	6,61
2	1,40	26,40 (26,40)	71,01	835,95	310,83	14,07	14,07	11,77
3	2,60	-30,26 (-39,99)	61,41	367,25	-239,15	14,07	14,07	5,98

Verifiche taglio

N°	X	A _{sw}	V	V _{Rd}	V _{Rsd}	V _{Rcd}	FS
----	---	-----------------	---	-----------------	------------------	------------------	----

1	0,20	0,00	-110,49	186,80	0,00	0,00	1.691
2	1,40	0,00	-2,11	185,54	0,00	0,00	87.985
3	2,60	0,00	94,61	184,28	0,00	0,00	1.948

Verifica sezioni fondazione [Combinazione n° 10 - SLU (Approccio 2) - Sisma Vert. positivo]

Base sezione B = 100 cm

Altezza sezione H = 40,00 cm

Verifiche presso-flessione

N°	X	M	N	N _u	M _u	A _{fi}	A _{fs}	CS
1	0,20	37,47 (41,81)	107,79	471,48	182,86	8,04	8,04	4,37
2	0,76	-3,03 (-17,04)	105,75	2828,14	-455,63	8,04	10,05	26,74
3	1,40	-17,07 (-17,07)	103,45	2600,93	-429,21	8,04	8,04	25,14
4	2,04	0,39 (17,59)	101,14	2445,12	425,19	8,04	10,05	24,17
5	2,60	41,81 (41,81)	99,10	410,42	173,14	8,04	8,04	4,14

Verifiche taglio

N°	X	A _{sw}	V	V _{Rd}	V _{Rsd}	V _{Rcd}	FS
1	0,20	2,01	-95,79	0,00	204,45	1480,14	2.134
2	0,76	0,00	-44,47	179,84	0,00	0,00	4.044
3	1,40	0,00	6,01	179,54	0,00	0,00	29.888
4	2,04	0,00	54,61	179,23	0,00	0,00	3.282
5	2,60	2,01	93,81	0,00	204,45	1478,49	2.179

Verifica sezioni traverso [Combinazione n° 10 - SLU (Approccio 2) - Sisma Vert. positivo]

Base sezione B = 100 cm

Altezza sezione H = 40,00 cm

Verifiche presso-flessione

N°	X	M	N	N _u	M _u	A _{fi}	A _{fs}	CS
1	0,20	-32,67 (-32,67)	98,83	941,84	-311,37	12,72	12,72	9,53
2	0,73	-3,38 (-15,80)	96,90	3100,28	-505,50	12,72	12,72	31,99
3	1,40	9,99 (9,99)	94,49	4442,81	469,67	12,72	12,72	47,02
4	2,00	-0,06 (-10,83)	92,31	4139,31	-485,75	12,72	12,72	44,84
5	2,60	-31,04 (-32,67)	90,14	798,34	-289,37	12,72	12,72	8,86

Verifiche taglio

N°	X	A _{sw}	V	V _{Rd}	V _{Rsd}	V _{Rcd}	FS
1	0,20	0,00	70,42	183,36	0,00	0,00	2.604
2	0,73	0,00	39,43	183,11	0,00	0,00	4.644
3	1,40	0,00	0,68	182,79	0,00	0,00	268.284
4	2,00	0,00	-34,19	182,50	0,00	0,00	5.338
5	2,60	0,00	-69,06	182,22	0,00	0,00	2.639

Verifica sezioni piedritto sinistro [Combinazione n° 10 - SLU (Approccio 2) - Sisma Vert. positivo]

Base sezione B = 100 cm

Altezza sezione H = 40,00 cm

Verifiche presso-flessione

N°	X	M	N	N _u	M _u	A _{fi}	A _{fs}	CS
1	0,20	-37,47 (-37,47)	98,30	801,63	-305,58	14,07	14,07	8,15

2	1,40	21,37 (21,37)	84,36	1652,89	418,77	14,07	14,07	19,59
3	2,60	-32,67 (-37,47)	70,42	482,57	-256,78	14,07	14,07	6,85

Verifiche taglio

N°	X	A _{sw}	V	V _{Rd}	V _{Rsd}	V _{Rcd}	FS
1	0,20	0,00	98,72	189,12	0,00	0,00	1.916
2	1,40	0,00	-0,28	187,29	0,00	0,00	664.600
3	2,60	0,00	-87,30	185,46	0,00	0,00	2.124

Verifica sezioni piedritto destro [Combinazione n° 10 - SLU (Approccio 2) - Sisma Vert. positivo]

Base sezione B = 100 cm
 Altezza sezione H = 40,00 cm

Verifiche presso-flessione

N°	X	M	N	N _u	M _u	A _{fi}	A _{fs}	CS
1	0,20	-41,81 (-41,81)	96,94	657,43	-283,53	14,07	14,07	6,78
2	1,40	23,03 (23,03)	83,00	1408,59	390,84	14,07	14,07	16,97
3	2,60	-31,04 (-41,81)	69,06	404,43	-244,83	14,07	14,07	5,86

Verifiche taglio

N°	X	A _{sw}	V	V _{Rd}	V _{Rsd}	V _{Rcd}	FS
1	0,20	0,00	-108,39	188,94	0,00	0,00	1.743
2	1,40	0,00	-3,01	187,11	0,00	0,00	62.237
3	2,60	0,00	90,14	185,28	0,00	0,00	2.055

Verifica sezioni fondazione [Combinazione n° 11 - SLU (Approccio 2) - Sisma Vert. negativo]

Base sezione B = 100 cm
 Altezza sezione H = 40,00 cm

Verifiche presso-flessione

N°	X	M	N	N _u	M _u	A _{fi}	A _{fs}	CS
1	0,20	34,47 (38,85)	106,71	526,29	191,59	8,04	8,04	4,93
2	0,76	-0,49 (-12,41)	104,67	3840,85	-455,31	8,04	10,05	36,70
3	1,40	-12,41 (-12,41)	102,36	3728,07	-451,89	8,04	8,04	36,42
4	2,04	2,95 (17,84)	100,06	2345,30	418,25	8,04	10,05	23,44
5	2,60	38,85 (38,85)	98,02	454,64	180,18	8,04	8,04	4,64

Verifiche taglio

N°	X	A _{sw}	V	V _{Rd}	V _{Rsd}	V _{Rcd}	FS
1	0,20	2,01	-83,26	0,00	204,45	1479,94	2.456
2	0,76	0,00	-38,42	179,70	0,00	0,00	4.677
3	1,40	0,00	5,39	179,40	0,00	0,00	33.280
4	2,04	0,00	47,28	179,09	0,00	0,00	3.788
5	2,60	2,01	81,56	0,00	204,45	1478,29	2.507

Verifica sezioni traverso [Combinazione n° 11 - SLU (Approccio 2) - Sisma Vert. negativo]

Base sezione B = 100 cm
 Altezza sezione H = 40,00 cm

Verifiche presso-flessione

N°	X	M	N	N _u	M _u	A _{fi}	A _{fs}	CS
1	0,20	-32,19 (-32,19)	99,88	983,84	-317,12	12,72	12,72	9,85
2	0,73	-4,71 (-16,36)	97,95	3006,62	-502,32	12,72	12,72	30,70
3	1,40	7,85 (7,85)	95,53	5156,27	423,61	12,72	12,72	53,97
4	2,00	-1,56 (-11,65)	93,36	3958,22	-493,83	12,72	12,72	42,40
5	2,60	-30,59 (-32,19)	91,19	836,12	-295,19	12,72	12,72	9,17

Verifiche taglio

N°	X	A _{sw}	V	V _{Rd}	V _{Rsd}	V _{Rcd}	FS
1	0,20	0,00	66,07	183,50	0,00	0,00	2.777
2	0,73	0,00	37,00	183,24	0,00	0,00	4.952
3	1,40	0,00	0,67	182,93	0,00	0,00	272.993
4	2,00	0,00	-32,03	182,64	0,00	0,00	5.703
5	2,60	0,00	-64,73	182,36	0,00	0,00	2.817

Verifica sezioni piedritto sinistro [Combinazione n° 11 - SLU (Approccio 2) - Sisma Vert. negativo]

Base sezione B = 100 cm
 Altezza sezione H = 40,00 cm

Verifiche presso-flessione

N°	X	M	N	N _u	M _u	A _{fi}	A _{fs}	CS
1	0,20	-34,47 (-34,47)	85,26	727,83	-294,29	14,07	14,07	8,54
2	1,40	23,04 (23,04)	75,66	1182,01	359,92	14,07	14,07	15,62
3	2,60	-32,19 (-34,47)	66,07	496,06	-258,85	14,07	14,07	7,51

Verifiche taglio

N°	X	A _{sw}	V	V _{Rd}	V _{Rsd}	V _{Rcd}	FS
1	0,20	0,00	97,59	187,41	0,00	0,00	1.920
2	1,40	0,00	-1,31	186,15	0,00	0,00	141.709
3	2,60	0,00	-88,30	184,89	0,00	0,00	2.094

Verifica sezioni piedritto destro [Combinazione n° 11 - SLU (Approccio 2) - Sisma Vert. negativo]

Base sezione B = 100 cm
 Altezza sezione H = 40,00 cm

Verifiche presso-flessione

N°	X	M	N	N _u	M _u	A _{fi}	A _{fs}	CS
1	0,20	-38,85 (-38,85)	83,92	590,32	-273,26	14,07	14,07	7,03
2	1,40	24,74 (24,74)	74,32	1011,51	336,66	14,07	14,07	13,61
3	2,60	-30,59 (-38,85)	64,73	409,14	-245,56	14,07	14,07	6,32

Verifiche taglio

N°	X	A _{sw}	V	V _{Rd}	V _{Rsd}	V _{Rcd}	FS
1	0,20	0,00	-107,34	187,23	0,00	0,00	1.744
2	1,40	0,00	-1,96	185,97	0,00	0,00	94.807
3	2,60	0,00	91,19	184,71	0,00	0,00	2.026

Verifiche combinazioni SLE

Simbologia adottata ed unità di misura

N°	Indice sezione
X	Ascissa/Ordinata sezione, espresso in m
M	Momento flettente, espresso in kNm
V	Taglio, espresso in kN
N	Sforzo normale, espresso in kN
A_{fi}	Area armatura inferiore, espressa in cmq
A_{fs}	Area armatura superiore, espressa in cmq
s_{fi}	Tensione nell'armatura disposta in corrispondenza del lembo inferiore, espresse in kg/cmq
s_{fs}	Tensione nell'armatura disposta in corrispondenza del lembo superiore, espresse in kg/cmq
s_c	Tensione nel calcestruzzo, espresse in kg/cmq
t_c	Tensione tangenziale nel calcestruzzo, espresse in kg/cmq
A_{sw}	Area armature trasversali nella sezione, espressa in cmq

Verifica sezioni fondazione [Combinazione n° 12 - SLE (Quasi Permanente)]

Base sezione B = 100 cm
Altezza sezione H = 40,00 cm

Verifiche presso-flessione

N°	X	M	N	A_{fi}	A_{fs}	s_{fs}	s_{fi}	s_c
1	0,20	28,62	57,05	8,04	8,04	161,4	776,2	21,2
2	0,76	-9,34	57,05	8,04	10,05	61,9	65,6	5,8
3	1,40	-23,82	57,05	8,04	8,04	590,0	140,7	17,5
4	2,04	-9,34	57,05	8,04	10,05	61,9	65,6	5,8
5	2,60	28,62	57,05	8,04	8,04	161,4	776,1	21,2

Verifiche taglio

N°	X	A_{sw}	V	t_c
1	0,20	2,01	-88,98	-3,05
2	0,76	0,00	-43,05	-1,48
3	1,40	0,00	2,62	0,09
4	2,04	0,00	48,51	1,66
5	2,60	2,01	87,92	3,01

Verifica sezioni traverso [Combinazione n° 12 - SLE (Quasi Permanente)]

Base sezione B = 100 cm
Altezza sezione H = 40,00 cm

Verifiche presso-flessione

N°	X	M	N	A_{fi}	A_{fs}	s_{fs}	s_{fi}	s_c
1	0,20	-22,25	42,50	12,72	12,72	401,4	116,7	13,5
2	0,73	5,78	42,50	12,72	12,72	39,3	19,7	3,3
3	1,40	18,30	42,50	12,72	12,72	99,8	302,9	11,1
4	2,00	8,16	42,50	12,72	12,72	52,4	62,2	4,8
5	2,60	-22,24	42,50	12,72	12,72	401,4	116,7	13,5

Verifiche taglio

N°	X	A_{sw}	V	t_c
1	0,20	0,00	67,57	2,32
2	0,73	0,00	37,54	1,29
3	1,40	0,00	0,00	0,00
4	2,00	0,00	-33,78	-1,16

5 2,60 0,00 -67,57 -2,32

Verifica sezioni piedritto sinistro [Combinazione n° 12 - SLE (Quasi Permanente)]

Base sezione B = 100 cm
Altezza sezione H = 40,00 cm

Verifiche presso-flessione

N°	X	M	N	A _{fi}	A _{fs}	S _{fs}	S _{fi}	S _c
1	0,20	-28,62	91,11	14,07	14,07	355,9	163,1	16,6
2	1,40	4,34	79,34	14,07	14,07	43,3	11,6	3,2
3	2,60	-22,25	67,57	14,07	14,07	286,3	125,5	12,9

Verifiche taglio

N°	X	A _{sw}	V	t _c
1	0,20	0,00	57,11	1,96
2	1,40	0,00	1,17	0,04
3	2,60	0,00	-42,50	-1,46

Verifica sezioni piedritto destro [Combinazione n° 12 - SLE (Quasi Permanente)]

Base sezione B = 100 cm
Altezza sezione H = 40,00 cm

Verifiche presso-flessione

N°	X	M	N	A _{fi}	A _{fs}	S _{fs}	S _{fi}	S _c
1	0,20	-28,62	91,10	14,07	14,07	355,8	163,1	16,6
2	1,40	4,34	79,34	14,07	14,07	43,3	11,6	3,2
3	2,60	-22,24	67,57	14,07	14,07	286,3	125,5	12,9

Verifiche taglio

N°	X	A _{sw}	V	t _c
1	0,20	0,00	-57,11	-1,96
2	1,40	0,00	-1,17	-0,04
3	2,60	0,00	42,50	1,46

Verifica sezioni fondazione [Combinazione n° 13 - SLE (Frequente)]

Base sezione B = 100 cm
Altezza sezione H = 40,00 cm

Verifiche presso-flessione

N°	X	M	N	A _{fi}	A _{fs}	S _{fs}	S _{fi}	S _c
1	0,20	28,62	57,05	8,04	8,04	161,4	776,2	21,2
2	0,76	-9,34	57,05	8,04	10,05	61,9	65,6	5,8
3	1,40	-23,82	57,05	8,04	8,04	590,0	140,7	17,5
4	2,04	-9,34	57,05	8,04	10,05	61,9	65,6	5,8
5	2,60	28,62	57,05	8,04	8,04	161,4	776,1	21,2

Verifiche taglio

N°	X	A _{sw}	V	t _c
1	0,20	2,01	-88,98	-3,05
2	0,76	0,00	-43,05	-1,48

3	1,40	0,00	2,62	0,09
4	2,04	0,00	48,51	1,66
5	2,60	2,01	87,92	3,01

Verifica sezioni traverso [Combinazione n° 13 - SLE (Frequente)]

Base sezione B = 100 cm
 Altezza sezione H = 40,00 cm

Verifiche presso-flessione

N°	X	M	N	A _{fi}	A _{fs}	S _{fs}	S _{fi}	S _c
1	0,20	-22,25	42,50	12,72	12,72	401,4	116,7	13,5
2	0,73	5,78	42,50	12,72	12,72	39,3	19,7	3,3
3	1,40	18,30	42,50	12,72	12,72	99,8	302,9	11,1
4	2,00	8,16	42,50	12,72	12,72	52,4	62,2	4,8
5	2,60	-22,24	42,50	12,72	12,72	401,4	116,7	13,5

Verifiche taglio

N°	X	A _{sw}	V	t _c
1	0,20	0,00	67,57	2,32
2	0,73	0,00	37,54	1,29
3	1,40	0,00	0,00	0,00
4	2,00	0,00	-33,78	-1,16
5	2,60	0,00	-67,57	-2,32

Verifica sezioni piedritto sinistro [Combinazione n° 13 - SLE (Frequente)]

Base sezione B = 100 cm
 Altezza sezione H = 40,00 cm

Verifiche presso-flessione

N°	X	M	N	A _{fi}	A _{fs}	S _{fs}	S _{fi}	S _c
1	0,20	-28,62	91,11	14,07	14,07	355,9	163,1	16,6
2	1,40	4,34	79,34	14,07	14,07	43,3	11,6	3,2
3	2,60	-22,25	67,57	14,07	14,07	286,3	125,5	12,9

Verifiche taglio

N°	X	A _{sw}	V	t _c
1	0,20	0,00	57,11	1,96
2	1,40	0,00	1,17	0,04
3	2,60	0,00	-42,50	-1,46

Verifica sezioni piedritto destro [Combinazione n° 13 - SLE (Frequente)]

Base sezione B = 100 cm
 Altezza sezione H = 40,00 cm

Verifiche presso-flessione

N°	X	M	N	A _{fi}	A _{fs}	S _{fs}	S _{fi}	S _c
1	0,20	-28,62	91,10	14,07	14,07	355,8	163,1	16,6
2	1,40	4,34	79,34	14,07	14,07	43,3	11,6	3,2
3	2,60	-22,24	67,57	14,07	14,07	286,3	125,5	12,9

Verifiche taglio

N°	X	A _{sw}	V	t _c
1	0,20	0,00	-57,11	-1,96
2	1,40	0,00	-1,17	-0,04
3	2,60	0,00	42,50	1,46

Verifica sezioni fondazione [Combinazione n° 14 - SLE (Frequente)]

Base sezione B = 100 cm
 Altezza sezione H = 40,00 cm

Verifiche presso-flessione

N°	X	M	N	A _{fi}	A _{fs}	S _{fs}	S _{fi}	S _c
1	0,20	45,40	98,35	8,04	8,04	261,4	1185,0	33,5
2	0,76	-10,97	98,35	8,04	10,05	20,5	82,0	6,6
3	1,40	-32,57	98,35	8,04	8,04	692,0	204,2	23,6
4	2,04	-10,97	98,35	8,04	10,05	20,5	82,0	6,6
5	2,60	45,40	98,35	8,04	8,04	261,4	1184,9	33,5

Verifiche taglio

N°	X	A _{sw}	V	t _c
1	0,20	2,01	-130,73	-4,48
2	0,76	0,00	-63,88	-2,19
3	1,40	0,00	4,21	0,14
4	2,04	0,00	72,60	2,49
5	2,60	2,01	129,05	4,42

Verifica sezioni traverso [Combinazione n° 14 - SLE (Frequente)]

Base sezione B = 100 cm
 Altezza sezione H = 40,00 cm

Verifiche presso-flessione

N°	X	M	N	A _{fi}	A _{fs}	S _{fs}	S _{fi}	S _c
1	0,20	-39,14	83,96	12,72	12,72	673,1	210,1	23,8
2	0,73	6,71	83,96	12,72	12,72	54,3	4,0	4,2
3	1,40	27,18	83,96	12,72	12,72	157,5	378,1	16,4
4	2,00	10,60	83,96	12,72	12,72	73,1	28,2	6,0
5	2,60	-39,14	83,96	12,72	12,72	673,0	210,1	23,8

Verifiche taglio

N°	X	A _{sw}	V	t _c
1	0,20	0,00	110,54	3,79
2	0,73	0,00	61,41	2,10
3	1,40	0,00	0,00	0,00
4	2,00	0,00	-55,27	-1,89
5	2,60	0,00	-110,54	-3,79

Verifica sezioni piedritto sinistro [Combinazione n° 14 - SLE (Frequente)]

Base sezione B = 100 cm
 Altezza sezione H = 40,00 cm

Verifiche presso-flessione

N°	X	M	N	A _{fi}	A _{fs}	S _{fs}	S _{fi}	S _c
1	0,20	-45,40	134,08	14,07	14,07	595,9	254,7	26,4
2	1,40	12,34	122,31	14,07	14,07	89,3	9,2	7,0
3	2,60	-39,14	110,54	14,07	14,07	529,2	217,5	22,8

Verifiche taglio

N°	X	A _{sw}	V	t _c
1	0,20	0,00	98,45	3,37
2	1,40	0,00	1,13	0,04
3	2,60	0,00	-83,96	-2,88

Verifica sezioni piedritto destro [Combinazione n° 14 - SLE (Frequente)]

Base sezione B = 100 cm

Altezza sezione H = 40,00 cm

Verifiche presso-flessione

N°	X	M	N	A _{fi}	A _{fs}	S _{fs}	S _{fi}	S _c
1	0,20	-45,40	134,08	14,07	14,07	595,9	254,6	26,4
2	1,40	12,35	122,31	14,07	14,07	89,3	9,2	7,0
3	2,60	-39,14	110,54	14,07	14,07	529,2	217,5	22,8

Verifiche taglio

N°	X	A _{sw}	V	t _c
1	0,20	0,00	-98,45	-3,37
2	1,40	0,00	-1,13	-0,04
3	2,60	0,00	83,96	2,88

Verifica sezioni fondazione [Combinazione n° 15 - SLE (Rara)]

Base sezione B = 100 cm

Altezza sezione H = 40,00 cm

Verifiche presso-flessione

N°	X	M	N	A _{fi}	A _{fs}	S _{fs}	S _{fi}	S _c
1	0,20	45,40	98,35	8,04	8,04	261,4	1185,0	33,5
2	0,76	-10,97	98,35	8,04	10,05	20,5	82,0	6,6
3	1,40	-32,57	98,35	8,04	8,04	692,0	204,2	23,6
4	2,04	-10,97	98,35	8,04	10,05	20,5	82,0	6,6
5	2,60	45,40	98,35	8,04	8,04	261,4	1184,9	33,5

Verifiche taglio

N°	X	A _{sw}	V	t _c
1	0,20	2,01	-130,73	-4,48
2	0,76	0,00	-63,88	-2,19
3	1,40	0,00	4,21	0,14
4	2,04	0,00	72,60	2,49
5	2,60	2,01	129,05	4,42

Verifica sezioni traverso [Combinazione n° 15 - SLE (Rara)]

Base sezione B = 100 cm

Altezza sezione H = 40,00 cm

Verifiche presso-flessione

N°	X	M	N	A _{fi}	A _{fs}	S _{fs}	S _{fi}	S _c
1	0,20	-39,14	83,96	12,72	12,72	673,1	210,1	23,8
2	0,73	6,71	83,96	12,72	12,72	54,3	4,0	4,2
3	1,40	27,18	83,96	12,72	12,72	157,5	378,1	16,4
4	2,00	10,60	83,96	12,72	12,72	73,1	28,2	6,0
5	2,60	-39,14	83,96	12,72	12,72	673,0	210,1	23,8

Verifiche taglio

N°	X	A _{sw}	V	t _c
1	0,20	0,00	110,54	3,79
2	0,73	0,00	61,41	2,10
3	1,40	0,00	0,00	0,00
4	2,00	0,00	-55,27	-1,89
5	2,60	0,00	-110,54	-3,79

Verifica sezioni piedritto sinistro [Combinazione n° 15 - SLE (Rara)]

Base sezione B = 100 cm
 Altezza sezione H = 40,00 cm

Verifiche presso-flessione

N°	X	M	N	A _{fi}	A _{fs}	S _{fs}	S _{fi}	S _c
1	0,20	-45,40	134,08	14,07	14,07	595,9	254,7	26,4
2	1,40	12,34	122,31	14,07	14,07	89,3	9,2	7,0
3	2,60	-39,14	110,54	14,07	14,07	529,2	217,5	22,8

Verifiche taglio

N°	X	A _{sw}	V	t _c
1	0,20	0,00	98,45	3,37
2	1,40	0,00	1,13	0,04
3	2,60	0,00	-83,96	-2,88

Verifica sezioni piedritto destro [Combinazione n° 15 - SLE (Rara)]

Base sezione B = 100 cm
 Altezza sezione H = 40,00 cm

Verifiche presso-flessione

N°	X	M	N	A _{fi}	A _{fs}	S _{fs}	S _{fi}	S _c
1	0,20	-45,40	134,08	14,07	14,07	595,9	254,6	26,4
2	1,40	12,35	122,31	14,07	14,07	89,3	9,2	7,0
3	2,60	-39,14	110,54	14,07	14,07	529,2	217,5	22,8

Verifiche taglio

N°	X	A _{sw}	V	t _c
1	0,20	0,00	-98,45	-3,37
2	1,40	0,00	-1,13	-0,04
3	2,60	0,00	83,96	2,88

Verifica sezioni fondazione [Combinazione n° 16 - SLE (Rara)]

Base sezione B = 100 cm
 Altezza sezione H = 40,00 cm

Verifiche presso-flessione

N°	X	M	N	A _{fi}	A _{fs}	S _{fs}	S _{fi}	S _c
1	0,20	51,00	112,13	8,04	8,04	294,8	1321,3	37,6
2	0,76	-11,51	112,13	8,04	10,05	13,3	88,0	7,0
3	1,40	-35,48	112,13	8,04	8,04	726,6	225,1	25,6
4	2,04	-11,52	112,13	8,04	10,05	13,3	88,0	7,0
5	2,60	51,00	112,13	8,04	8,04	294,7	1321,2	37,6

Verifiche taglio

N°	X	A _{sw}	V	t _c
1	0,20	2,01	-144,64	-4,96
2	0,76	0,00	-70,82	-2,43
3	1,40	0,00	4,74	0,16
4	2,04	0,00	80,63	2,76
5	2,60	2,01	142,76	4,89

Verifica sezioni trasverso [Combinazione n° 16 - SLE (Rara)]

Base sezione B = 100 cm
 Altezza sezione H = 40,00 cm

Verifiche presso-flessione

N°	X	M	N	A _{fi}	A _{fs}	S _{fs}	S _{fi}	S _c
1	0,20	-44,78	97,79	12,72	12,72	763,7	241,2	27,2
2	0,73	7,02	97,79	12,72	12,72	60,2	8,1	4,6
3	1,40	30,15	97,79	12,72	12,72	176,5	403,6	18,2
4	2,00	11,42	97,79	12,72	12,72	80,1	22,1	6,5
5	2,60	-44,77	97,79	12,72	12,72	763,6	241,2	27,2

Verifiche taglio

N°	X	A _{sw}	V	t _c
1	0,20	0,00	124,87	4,28
2	0,73	0,00	69,37	2,38
3	1,40	0,00	0,00	0,00
4	2,00	0,00	-62,43	-2,14
5	2,60	0,00	-124,86	-4,28

Verifica sezioni piedritto sinistro [Combinazione n° 16 - SLE (Rara)]

Base sezione B = 100 cm
 Altezza sezione H = 40,00 cm

Verifiche presso-flessione

N°	X	M	N	A _{fi}	A _{fs}	S _{fs}	S _{fi}	S _c
1	0,20	-51,00	148,40	14,07	14,07	676,1	285,2	29,7
2	1,40	15,02	136,64	14,07	14,07	105,6	20,2	8,4
3	2,60	-44,78	124,87	14,07	14,07	610,3	248,2	26,1

Verifiche taglio

N°	X	A _{sw}	V	t _c
1	0,20	0,00	112,25	3,85
2	1,40	0,00	1,11	0,04

3	2,60	0,00	-97,79	-3,35
---	------	------	--------	-------

Verifica sezioni piedritto destro [Combinazione n° 16 - SLE (Rara)]

Base sezione B = 100 cm

Altezza sezione H = 40,00 cm

Verifiche presso-flessione

N°	X	M	N	A _{fi}	A _{fs}	S _{fs}	S _{fi}	S _c
1	0,20	-51,00	148,40	14,07	14,07	676,0	285,1	29,7
2	1,40	15,02	136,63	14,07	14,07	105,6	20,3	8,4
3	2,60	-44,77	124,86	14,07	14,07	610,3	248,1	26,1

Verifiche taglio

N°	X	A _{sw}	V	t _c
1	0,20	0,00	-112,25	-3,85
2	1,40	0,00	-1,11	-0,04
3	2,60	0,00	97,79	3,35

Verifica sezioni fondazione [Combinazione n° 17 - SLE (Quasi Permanente) - Sisma Vert. positivo]

Base sezione B = 100 cm

Altezza sezione H = 40,00 cm

Verifiche presso-flessione

N°	X	M	N	A _{fi}	A _{fs}	S _{fs}	S _{fi}	S _c
1	0,20	34,52	75,83	8,04	8,04	199,5	894,8	25,5
2	0,76	-4,99	76,74	8,04	10,05	8,0	47,2	3,6
3	1,40	-20,81	77,77	8,04	8,04	362,6	137,4	14,7
4	2,04	-6,53	78,80	8,04	10,05	2,0	54,2	4,2
5	2,60	32,57	79,71	8,04	8,04	193,5	797,0	23,9

Verifiche taglio

N°	X	A _{sw}	V	t _c
1	0,20	2,01	-91,60	-3,14
2	0,76	0,00	-45,61	-1,56
3	1,40	0,00	1,43	0,05
4	2,04	0,00	49,57	1,70
5	2,60	2,01	90,88	3,12

Verifica sezioni traverso [Combinazione n° 17 - SLE (Quasi Permanente) - Sisma Vert. positivo]

Base sezione B = 100 cm

Altezza sezione H = 40,00 cm

Verifiche presso-flessione

N°	X	M	N	A _{fi}	A _{fs}	S _{fs}	S _{fi}	S _c
1	0,20	-26,17	63,78	12,72	12,72	422,7	144,2	15,9
2	0,73	2,10	64,65	12,72	12,72	30,3	14,8	2,2
3	1,40	14,58	65,72	12,72	12,72	91,2	138,5	8,6
4	2,00	4,12	66,70	12,72	12,72	38,5	8,0	2,9
5	2,60	-26,91	67,67	12,72	12,72	427,4	149,2	16,4

Verifiche taglio

N°	X	A _{sw}	V	t _c
1	0,20	0,00	68,23	2,34
2	0,73	0,00	37,77	1,29
3	1,40	0,00	-0,31	-0,01
4	2,00	0,00	-34,58	-1,19
5	2,60	0,00	-68,85	-2,36

Verifica sezioni piedritto sinistro [Combinazione n° 17 - SLE (Quasi Permanente) - Sisma Vert. positivo]

Base sezione B = 100 cm

Altezza sezione H = 40,00 cm

Verifiche presso-flessione

N°	X	M	N	A _{fi}	A _{fs}	S _{fs}	S _{fi}	S _c
1	0,20	-34,52	93,71	14,07	14,07	478,4	190,2	20,1
2	1,40	12,69	80,97	14,07	14,07	82,5	59,6	7,1
3	2,60	-26,17	68,23	14,07	14,07	371,5	143,0	15,3

Verifiche taglio

N°	X	A _{sw}	V	t _c
1	0,20	0,00	80,01	2,74
2	1,40	0,00	2,00	0,07
3	2,60	0,00	-63,78	-2,19

Verifica sezioni piedritto destro [Combinazione n° 17 - SLE (Quasi Permanente) - Sisma Vert. positivo]

Base sezione B = 100 cm

Altezza sezione H = 40,00 cm

Verifiche presso-flessione

N°	X	M	N	A _{fi}	A _{fs}	S _{fs}	S _{fi}	S _c
1	0,20	-32,57	94,33	14,07	14,07	433,2	181,9	19,0
2	1,40	11,95	81,59	14,07	14,07	78,6	47,3	6,6
3	2,60	-26,91	68,85	14,07	14,07	386,1	146,5	15,7

Verifiche taglio

N°	X	A _{sw}	V	t _c
1	0,20	0,00	-75,69	-2,59
2	1,40	0,00	-0,52	-0,02
3	2,60	0,00	62,53	2,14

Verifica sezioni fondazione [Combinazione n° 18 - SLE (Quasi Permanente) - Sisma Vert. negativo]

Base sezione B = 100 cm

Altezza sezione H = 40,00 cm

Verifiche presso-flessione

N°	X	M	N	A _{fi}	A _{fs}	S _{fs}	S _{fi}	S _c
1	0,20	33,20	75,35	8,04	8,04	193,4	846,3	24,4
2	0,76	-3,84	76,26	8,04	10,05	12,3	42,6	3,2
3	1,40	-18,72	77,29	8,04	8,04	289,9	126,3	13,0
4	2,04	-5,39	78,32	8,04	10,05	7,1	49,3	3,8
5	2,60	31,23	79,23	8,04	8,04	187,3	748,1	22,9

Verifiche taglio

N°	X	A _{sw}	V	t _c
1	0,20	2,01	-86,01	-2,95
2	0,76	0,00	-42,92	-1,47
3	1,40	0,00	1,14	0,04
4	2,04	0,00	46,28	1,59
5	2,60	2,01	85,39	2,93

Verifica sezioni trasverso [Combinazione n° 18 - SLE (Quasi Permanente) - Sisma Vert. negativo]

Base sezione B = 100 cm

Altezza sezione H = 40,00 cm

Verifiche presso-flessione

N°	X	M	N	A _{fi}	A _{fs}	S _{fs}	S _{fi}	S _c
1	0,20	-25,97	64,25	12,72	12,72	416,0	143,5	15,8
2	0,73	1,50	65,11	12,72	12,72	28,3	17,2	2,0
3	1,40	13,63	66,19	12,72	12,72	86,4	116,2	8,0
4	2,00	3,46	67,16	12,72	12,72	36,2	10,6	2,7
5	2,60	-26,70	68,13	12,72	12,72	420,4	148,5	16,2

Verifiche taglio

N°	X	A _{sw}	V	t _c
1	0,20	0,00	66,29	2,27
2	0,73	0,00	36,69	1,26
3	1,40	0,00	-0,30	-0,01
4	2,00	0,00	-33,60	-1,15
5	2,60	0,00	-66,90	-2,29

Verifica sezioni piedritto sinistro [Combinazione n° 18 - SLE (Quasi Permanente) - Sisma Vert. negativo]

Base sezione B = 100 cm

Altezza sezione H = 40,00 cm

Verifiche presso-flessione

N°	X	M	N	A _{fi}	A _{fs}	S _{fs}	S _{fi}	S _c
1	0,20	-33,20	87,89	14,07	14,07	467,0	182,0	19,3
2	1,40	13,45	77,09	14,07	14,07	85,9	79,7	7,6
3	2,60	-25,97	66,29	14,07	14,07	373,0	141,3	15,1

Verifiche taglio

N°	X	A _{sw}	V	t _c
1	0,20	0,00	79,55	2,73
2	1,40	0,00	1,53	0,05
3	2,60	0,00	-64,25	-2,20

Verifica sezioni piedritto destro [Combinazione n° 18 - SLE (Quasi Permanente) - Sisma Vert. negativo]

Base sezione B = 100 cm

Altezza sezione H = 40,00 cm

Verifiche presso-flessione

N°	X	M	N	A _{fi}	A _{fs}	S _{fs}	S _{fi}	S _c
1	0,20	-31,23	88,50	14,07	14,07	421,4	173,7	18,2
2	1,40	12,69	77,70	14,07	14,07	81,9	65,5	7,1
3	2,60	-26,70	66,90	14,07	14,07	387,5	144,7	15,6

Verifiche taglio

N°	X	A _{sw}	V	t _c
1	0,20	0,00	-75,19	-2,58
2	1,40	0,00	-0,06	0,00
3	2,60	0,00	62,98	2,16

Verifica sezioni fondazione [Combinazione n° 19 - SLE (Quasi Permanente) - Sisma Vert. positivo]

Base sezione B = 100 cm
 Altezza sezione H = 40,00 cm

Verifiche presso-flessione

N°	X	M	N	A _{fi}	A _{fs}	S _{fs}	S _{fi}	S _c
1	0,20	32,57	79,72	8,04	8,04	193,5	797,1	23,9
2	0,76	-6,53	78,80	8,04	10,05	2,0	54,2	4,2
3	1,40	-20,81	77,77	8,04	8,04	362,6	137,4	14,7
4	2,04	-4,99	76,74	8,04	10,05	8,0	47,2	3,6
5	2,60	34,52	75,83	8,04	8,04	199,5	894,7	25,5

Verifiche taglio

N°	X	A _{sw}	V	t _c
1	0,20	2,01	-92,03	-3,15
2	0,76	0,00	-43,68	-1,50
3	1,40	0,00	4,14	0,14
4	2,04	0,00	51,24	1,76
5	2,60	2,01	90,55	3,10

Verifica sezioni trasverso [Combinazione n° 19 - SLE (Quasi Permanente) - Sisma Vert. positivo]

Base sezione B = 100 cm
 Altezza sezione H = 40,00 cm

Verifiche presso-flessione

N°	X	M	N	A _{fi}	A _{fs}	S _{fs}	S _{fi}	S _c
1	0,20	-26,91	67,67	12,72	12,72	427,4	149,2	16,4
2	0,73	1,68	66,80	12,72	12,72	29,6	17,1	2,1
3	1,40	14,58	65,72	12,72	12,72	91,2	138,5	8,6
4	2,00	4,49	64,75	12,72	12,72	39,2	6,0	3,0
5	2,60	-26,17	63,78	12,72	12,72	422,7	144,2	15,9

Verifiche taglio

N°	X	A _{sw}	V	t _c
1	0,20	0,00	68,85	2,36
2	0,73	0,00	38,39	1,32
3	1,40	0,00	0,31	0,01
4	2,00	0,00	-33,96	-1,16
5	2,60	0,00	-68,23	-2,34

Verifica sezioni piedritto sinistro [Combinazione n° 19 - SLE (Quasi Permanente) - Sisma Vert. positivo]

Base sezione B = 100 cm
 Altezza sezione H = 40,00 cm

Verifiche presso-flessione

N°	X	M	N	A _{fi}	A _{fs}	S _{fs}	S _{fi}	S _c
1	0,20	-32,57	94,33	14,07	14,07	433,2	182,0	19,0
2	1,40	11,95	81,59	14,07	14,07	78,6	47,3	6,6
3	2,60	-26,91	68,85	14,07	14,07	386,2	146,5	15,7

Verifiche taglio

N°	X	A _{sw}	V	t _c
1	0,20	0,00	75,69	2,59
2	1,40	0,00	0,52	0,02
3	2,60	0,00	-62,53	-2,14

Verifica sezioni piedritto destro [Combinazione n° 19 - SLE (Quasi Permanente) - Sisma Vert. positivo]

Base sezione B = 100 cm
 Altezza sezione H = 40,00 cm

Verifiche presso-flessione

N°	X	M	N	A _{fi}	A _{fs}	S _{fs}	S _{fi}	S _c
1	0,20	-34,52	93,71	14,07	14,07	478,4	190,2	20,1
2	1,40	12,69	80,97	14,07	14,07	82,5	59,6	7,1
3	2,60	-26,17	68,23	14,07	14,07	371,4	143,0	15,3

Verifiche taglio

N°	X	A _{sw}	V	t _c
1	0,20	0,00	-80,01	-2,74
2	1,40	0,00	-2,00	-0,07
3	2,60	0,00	63,78	2,19

Verifica sezioni fondazione [Combinazione n° 20 - SLE (Quasi Permanente) - Sisma Vert. negativo]

Base sezione B = 100 cm
 Altezza sezione H = 40,00 cm

Verifiche presso-flessione

N°	X	M	N	A _{fi}	A _{fs}	S _{fs}	S _{fi}	S _c
1	0,20	31,23	79,23	8,04	8,04	187,3	748,2	22,9
2	0,76	-5,39	78,32	8,04	10,05	7,1	49,3	3,8
3	1,40	-18,72	77,29	8,04	8,04	289,9	126,3	13,0
4	2,04	-3,84	76,26	8,04	10,05	12,3	42,6	3,2
5	2,60	33,19	75,35	8,04	8,04	193,4	846,3	24,4

Verifiche taglio

N°	X	A _{sw}	V	t _c
1	0,20	2,01	-86,43	-2,96
2	0,76	0,00	-40,98	-1,40
3	1,40	0,00	3,87	0,13
4	2,04	0,00	47,96	1,64
5	2,60	2,01	85,07	2,92

Verifica sezioni traverso [Combinazione n° 20 - SLE (Quasi Permanente) - Sisma Vert. negativo]

Base sezione B = 100 cm
 Altezza sezione H = 40,00 cm

Verifiche presso-flessione

N°	X	M	N	A _{fi}	A _{fs}	S _{fs}	S _{fi}	S _c
1	0,20	-26,70	68,13	12,72	12,72	420,5	148,5	16,2
2	0,73	1,09	67,27	12,72	12,72	27,5	19,4	1,9
3	1,40	13,63	66,19	12,72	12,72	86,4	116,2	8,0
4	2,00	3,82	65,22	12,72	12,72	36,9	8,6	2,8
5	2,60	-25,96	64,25	12,72	12,72	416,0	143,5	15,8

Verifiche taglio

N°	X	A _{sw}	V	t _c
1	0,20	0,00	66,90	2,29
2	0,73	0,00	37,30	1,28
3	1,40	0,00	0,31	0,01
4	2,00	0,00	-32,99	-1,13
5	2,60	0,00	-66,29	-2,27

Verifica sezioni piedritto sinistro [Combinazione n° 20 - SLE (Quasi Permanente) - Sisma Vert. negativo]

Base sezione B = 100 cm
 Altezza sezione H = 40,00 cm

Verifiche presso-flessione

N°	X	M	N	A _{fi}	A _{fs}	S _{fs}	S _{fi}	S _c
1	0,20	-31,23	88,50	14,07	14,07	421,4	173,7	18,2
2	1,40	12,69	77,70	14,07	14,07	81,9	65,5	7,1
3	2,60	-26,70	66,90	14,07	14,07	387,5	144,7	15,6

Verifiche taglio

N°	X	A _{sw}	V	t _c
1	0,20	0,00	75,19	2,58
2	1,40	0,00	0,06	0,00
3	2,60	0,00	-62,98	-2,16

Verifica sezioni piedritto destro [Combinazione n° 20 - SLE (Quasi Permanente) - Sisma Vert. negativo]

Base sezione B = 100 cm
 Altezza sezione H = 40,00 cm

Verifiche presso-flessione

N°	X	M	N	A _{fi}	A _{fs}	S _{fs}	S _{fi}	S _c
1	0,20	-33,19	87,89	14,07	14,07	467,0	182,0	19,3
2	1,40	13,45	77,09	14,07	14,07	85,9	79,7	7,6
3	2,60	-25,96	66,29	14,07	14,07	373,0	141,3	15,1

Verifiche taglio

N°	X	A _{sw}	V	t _c
1	0,20	0,00	-79,55	-2,73
2	1,40	0,00	-1,53	-0,05

3 2,60 0,00 64,25 2,20

Verifica sezioni fondazione [Combinazione n° 21 - SLE (Frequente) - Sisma Vert. positivo]

Base sezione B = 100 cm
Altezza sezione H = 40,00 cm

Verifiche presso-flessione

N°	X	M	N	A _{fi}	A _{fs}	S _{fs}	S _{fi}	S _c
1	0,20	34,52	75,83	8,04	8,04	199,5	894,8	25,5
2	0,76	-4,99	76,74	8,04	10,05	8,0	47,2	3,6
3	1,40	-20,81	77,77	8,04	8,04	362,6	137,4	14,7
4	2,04	-6,53	78,80	8,04	10,05	2,0	54,2	4,2
5	2,60	32,57	79,71	8,04	8,04	193,5	797,0	23,9

Verifiche taglio

N°	X	A _{sw}	V	t _c
1	0,20	2,01	-91,60	-3,14
2	0,76	0,00	-45,61	-1,56
3	1,40	0,00	1,43	0,05
4	2,04	0,00	49,57	1,70
5	2,60	2,01	90,88	3,12

Verifica sezioni traverso [Combinazione n° 21 - SLE (Frequente) - Sisma Vert. positivo]

Base sezione B = 100 cm
Altezza sezione H = 40,00 cm

Verifiche presso-flessione

N°	X	M	N	A _{fi}	A _{fs}	S _{fs}	S _{fi}	S _c
1	0,20	-26,17	63,78	12,72	12,72	422,7	144,2	15,9
2	0,73	2,10	64,65	12,72	12,72	30,3	14,8	2,2
3	1,40	14,58	65,72	12,72	12,72	91,2	138,5	8,6
4	2,00	4,12	66,70	12,72	12,72	38,5	8,0	2,9
5	2,60	-26,91	67,67	12,72	12,72	427,4	149,2	16,4

Verifiche taglio

N°	X	A _{sw}	V	t _c
1	0,20	0,00	68,23	2,34
2	0,73	0,00	37,77	1,29
3	1,40	0,00	-0,31	-0,01
4	2,00	0,00	-34,58	-1,19
5	2,60	0,00	-68,85	-2,36

Verifica sezioni piedritto sinistro [Combinazione n° 21 - SLE (Frequente) - Sisma Vert. positivo]

Base sezione B = 100 cm
Altezza sezione H = 40,00 cm

Verifiche presso-flessione

N°	X	M	N	A _{fi}	A _{fs}	S _{fs}	S _{fi}	S _c
1	0,20	-34,52	93,71	14,07	14,07	478,4	190,2	20,1
2	1,40	12,69	80,97	14,07	14,07	82,5	59,6	7,1
3	2,60	-26,17	68,23	14,07	14,07	371,5	143,0	15,3

Verifiche taglio

N°	X	A _{sw}	V	t _c
1	0,20	0,00	80,01	2,74
2	1,40	0,00	2,00	0,07
3	2,60	0,00	-63,78	-2,19

Verifica sezioni piedritto destro [Combinazione n° 21 - SLE (Frequente) - Sisma Vert. positivo]

Base sezione B = 100 cm
 Altezza sezione H = 40,00 cm

Verifiche presso-flessione

N°	X	M	N	A _{fi}	A _{fs}	S _{fs}	S _{fi}	S _c
1	0,20	-32,57	94,33	14,07	14,07	433,2	181,9	19,0
2	1,40	11,95	81,59	14,07	14,07	78,6	47,3	6,6
3	2,60	-26,91	68,85	14,07	14,07	386,1	146,5	15,7

Verifiche taglio

N°	X	A _{sw}	V	t _c
1	0,20	0,00	-75,69	-2,59
2	1,40	0,00	-0,52	-0,02
3	2,60	0,00	62,53	2,14

Verifica sezioni fondazione [Combinazione n° 22 - SLE (Frequente) - Sisma Vert. negativo]

Base sezione B = 100 cm
 Altezza sezione H = 40,00 cm

Verifiche presso-flessione

N°	X	M	N	A _{fi}	A _{fs}	S _{fs}	S _{fi}	S _c
1	0,20	33,20	75,35	8,04	8,04	193,4	846,3	24,4
2	0,76	-3,84	76,26	8,04	10,05	12,3	42,6	3,2
3	1,40	-18,72	77,29	8,04	8,04	289,9	126,3	13,0
4	2,04	-5,39	78,32	8,04	10,05	7,1	49,3	3,8
5	2,60	31,23	79,23	8,04	8,04	187,3	748,1	22,9

Verifiche taglio

N°	X	A _{sw}	V	t _c
1	0,20	2,01	-86,01	-2,95
2	0,76	0,00	-42,92	-1,47
3	1,40	0,00	1,14	0,04
4	2,04	0,00	46,28	1,59
5	2,60	2,01	85,39	2,93

Verifica sezioni traverso [Combinazione n° 22 - SLE (Frequente) - Sisma Vert. negativo]

Base sezione B = 100 cm
 Altezza sezione H = 40,00 cm

Verifiche presso-flessione

N°	X	M	N	A _{fi}	A _{fs}	S _{fs}	S _{fi}	S _c
1	0,20	-25,97	64,25	12,72	12,72	416,0	143,5	15,8

2	0,73	1,50	65,11	12,72	12,72	28,3	17,2	2,0
3	1,40	13,63	66,19	12,72	12,72	86,4	116,2	8,0
4	2,00	3,46	67,16	12,72	12,72	36,2	10,6	2,7
5	2,60	-26,70	68,13	12,72	12,72	420,4	148,5	16,2

Verifiche taglio

N°	X	A _{sw}	V	t _c
1	0,20	0,00	66,29	2,27
2	0,73	0,00	36,69	1,26
3	1,40	0,00	-0,30	-0,01
4	2,00	0,00	-33,60	-1,15
5	2,60	0,00	-66,90	-2,29

Verifica sezioni piedritto sinistro [Combinazione n° 22 - SLE (Frequente) - Sisma Vert. negativo]

Base sezione B = 100 cm
 Altezza sezione H = 40,00 cm

Verifiche presso-flessione

N°	X	M	N	A _{fi}	A _{fs}	S _{fs}	S _{fi}	S _c
1	0,20	-33,20	87,89	14,07	14,07	467,0	182,0	19,3
2	1,40	13,45	77,09	14,07	14,07	85,9	79,7	7,6
3	2,60	-25,97	66,29	14,07	14,07	373,0	141,3	15,1

Verifiche taglio

N°	X	A _{sw}	V	t _c
1	0,20	0,00	79,55	2,73
2	1,40	0,00	1,53	0,05
3	2,60	0,00	-64,25	-2,20

Verifica sezioni piedritto destro [Combinazione n° 22 - SLE (Frequente) - Sisma Vert. negativo]

Base sezione B = 100 cm
 Altezza sezione H = 40,00 cm

Verifiche presso-flessione

N°	X	M	N	A _{fi}	A _{fs}	S _{fs}	S _{fi}	S _c
1	0,20	-31,23	88,50	14,07	14,07	421,4	173,7	18,2
2	1,40	12,69	77,70	14,07	14,07	81,9	65,5	7,1
3	2,60	-26,70	66,90	14,07	14,07	387,5	144,7	15,6

Verifiche taglio

N°	X	A _{sw}	V	t _c
1	0,20	0,00	-75,19	-2,58
2	1,40	0,00	-0,06	0,00
3	2,60	0,00	62,98	2,16

Verifica sezioni fondazione [Combinazione n° 23 - SLE (Frequente) - Sisma Vert. positivo]

Base sezione B = 100 cm
 Altezza sezione H = 40,00 cm

Verifiche presso-flessione

N°	X	M	N	A _{fi}	A _{fs}	S _{fs}	S _{fi}	S _c
1	0,20	32,57	79,72	8,04	8,04	193,5	797,1	23,9
2	0,76	-6,53	78,80	8,04	10,05	2,0	54,2	4,2
3	1,40	-20,81	77,77	8,04	8,04	362,6	137,4	14,7
4	2,04	-4,99	76,74	8,04	10,05	8,0	47,2	3,6
5	2,60	34,52	75,83	8,04	8,04	199,5	894,7	25,5

Verifiche taglio

N°	X	A _{sw}	V	t _c
1	0,20	2,01	-92,03	-3,15
2	0,76	0,00	-43,68	-1,50
3	1,40	0,00	4,14	0,14
4	2,04	0,00	51,24	1,76
5	2,60	2,01	90,55	3,10

Verifica sezioni trasverso [Combinazione n° 23 - SLE (Frequente) - Sisma Vert. positivo]

Base sezione B = 100 cm
 Altezza sezione H = 40,00 cm

Verifiche presso-flessione

N°	X	M	N	A _{fi}	A _{fs}	S _{fs}	S _{fi}	S _c
1	0,20	-26,91	67,67	12,72	12,72	427,4	149,2	16,4
2	0,73	1,68	66,80	12,72	12,72	29,6	17,1	2,1
3	1,40	14,58	65,72	12,72	12,72	91,2	138,5	8,6
4	2,00	4,49	64,75	12,72	12,72	39,2	6,0	3,0
5	2,60	-26,17	63,78	12,72	12,72	422,7	144,2	15,9

Verifiche taglio

N°	X	A _{sw}	V	t _c
1	0,20	0,00	68,85	2,36
2	0,73	0,00	38,39	1,32
3	1,40	0,00	0,31	0,01
4	2,00	0,00	-33,96	-1,16
5	2,60	0,00	-68,23	-2,34

Verifica sezioni piedritto sinistro [Combinazione n° 23 - SLE (Frequente) - Sisma Vert. positivo]

Base sezione B = 100 cm
 Altezza sezione H = 40,00 cm

Verifiche presso-flessione

N°	X	M	N	A _{fi}	A _{fs}	S _{fs}	S _{fi}	S _c
1	0,20	-32,57	94,33	14,07	14,07	433,2	182,0	19,0
2	1,40	11,95	81,59	14,07	14,07	78,6	47,3	6,6
3	2,60	-26,91	68,85	14,07	14,07	386,2	146,5	15,7

Verifiche taglio

N°	X	A _{sw}	V	t _c
1	0,20	0,00	75,69	2,59
2	1,40	0,00	0,52	0,02
3	2,60	0,00	-62,53	-2,14

Verifica sezioni piedritto destro [Combinazione n° 23 - SLE (Frequente) - Sisma Vert. positivo]

Base sezione B = 100 cm
 Altezza sezione H = 40,00 cm

Verifiche presso-flessione

N°	X	M	N	A _{fi}	A _{fs}	S _{fs}	S _{fi}	S _c
1	0,20	-34,52	93,71	14,07	14,07	478,4	190,2	20,1
2	1,40	12,69	80,97	14,07	14,07	82,5	59,6	7,1
3	2,60	-26,17	68,23	14,07	14,07	371,4	143,0	15,3

Verifiche taglio

N°	X	A _{sw}	V	t _c
1	0,20	0,00	-80,01	-2,74
2	1,40	0,00	-2,00	-0,07
3	2,60	0,00	63,78	2,19

Verifica sezioni fondazione [Combinazione n° 24 - SLE (Frequente) - Sisma Vert. negativo]

Base sezione B = 100 cm
 Altezza sezione H = 40,00 cm

Verifiche presso-flessione

N°	X	M	N	A _{fi}	A _{fs}	S _{fs}	S _{fi}	S _c
1	0,20	31,23	79,23	8,04	8,04	187,3	748,2	22,9
2	0,76	-5,39	78,32	8,04	10,05	7,1	49,3	3,8
3	1,40	-18,72	77,29	8,04	8,04	289,9	126,3	13,0
4	2,04	-3,84	76,26	8,04	10,05	12,3	42,6	3,2
5	2,60	33,19	75,35	8,04	8,04	193,4	846,3	24,4

Verifiche taglio

N°	X	A _{sw}	V	t _c
1	0,20	2,01	-86,43	-2,96
2	0,76	0,00	-40,98	-1,40
3	1,40	0,00	3,87	0,13
4	2,04	0,00	47,96	1,64
5	2,60	2,01	85,07	2,92

Verifica sezioni traverso [Combinazione n° 24 - SLE (Frequente) - Sisma Vert. negativo]

Base sezione B = 100 cm
 Altezza sezione H = 40,00 cm

Verifiche presso-flessione

N°	X	M	N	A _{fi}	A _{fs}	S _{fs}	S _{fi}	S _c
1	0,20	-26,70	68,13	12,72	12,72	420,5	148,5	16,2
2	0,73	1,09	67,27	12,72	12,72	27,5	19,4	1,9
3	1,40	13,63	66,19	12,72	12,72	86,4	116,2	8,0
4	2,00	3,82	65,22	12,72	12,72	36,9	8,6	2,8
5	2,60	-25,96	64,25	12,72	12,72	416,0	143,5	15,8

Verifiche taglio

N°	X	A _{sw}	V	t _c
1	0,20	0,00	66,90	2,29
2	0,73	0,00	37,30	1,28

3	1,40	0,00	0,31	0,01
4	2,00	0,00	-32,99	-1,13
5	2,60	0,00	-66,29	-2,27

Verifica sezioni piedritto sinistro [Combinazione n° 24 - SLE (Frequente) - Sisma Vert. negativo]

Base sezione B = 100 cm
 Altezza sezione H = 40,00 cm

Verifiche presso-flessione

N°	X	M	N	A _{fi}	A _{fs}	S _{fs}	S _{fi}	S _c
1	0,20	-31,23	88,50	14,07	14,07	421,4	173,7	18,2
2	1,40	12,69	77,70	14,07	14,07	81,9	65,5	7,1
3	2,60	-26,70	66,90	14,07	14,07	387,5	144,7	15,6

Verifiche taglio

N°	X	A _{sw}	V	t _c
1	0,20	0,00	75,19	2,58
2	1,40	0,00	0,06	0,00
3	2,60	0,00	-62,98	-2,16

Verifica sezioni piedritto destro [Combinazione n° 24 - SLE (Frequente) - Sisma Vert. negativo]

Base sezione B = 100 cm
 Altezza sezione H = 40,00 cm

Verifiche presso-flessione

N°	X	M	N	A _{fi}	A _{fs}	S _{fs}	S _{fi}	S _c
1	0,20	-33,19	87,89	14,07	14,07	467,0	182,0	19,3
2	1,40	13,45	77,09	14,07	14,07	85,9	79,7	7,6
3	2,60	-25,96	66,29	14,07	14,07	373,0	141,3	15,1

Verifiche taglio

N°	X	A _{sw}	V	t _c
1	0,20	0,00	-79,55	-2,73
2	1,40	0,00	-1,53	-0,05
3	2,60	0,00	64,25	2,20

Verifica sezioni fondazione [Combinazione n° 25 - SLE (Rara) - Sisma Vert. positivo]

Base sezione B = 100 cm
 Altezza sezione H = 40,00 cm

Verifiche presso-flessione

N°	X	M	N	A _{fi}	A _{fs}	S _{fs}	S _{fi}	S _c
1	0,20	34,52	75,83	8,04	8,04	199,5	894,8	25,5
2	0,76	-4,99	76,74	8,04	10,05	8,0	47,2	3,6
3	1,40	-20,81	77,77	8,04	8,04	362,6	137,4	14,7
4	2,04	-6,53	78,80	8,04	10,05	2,0	54,2	4,2
5	2,60	32,57	79,71	8,04	8,04	193,5	797,0	23,9

Verifiche taglio

N°	X	A _{sw}	V	t _c
----	---	-----------------	---	----------------

1	0,20	2,01	-91,60	-3,14
2	0,76	0,00	-45,61	-1,56
3	1,40	0,00	1,43	0,05
4	2,04	0,00	49,57	1,70
5	2,60	2,01	90,88	3,12

Verifica sezioni traverso [Combinazione n° 25 - SLE (Rara) - Sisma Vert. positivo]

Base sezione B = 100 cm
 Altezza sezione H = 40,00 cm

Verifiche presso-flessione

N°	X	M	N	A _{fi}	A _{fs}	S _{fs}	S _{fi}	S _c
1	0,20	-26,17	63,78	12,72	12,72	422,7	144,2	15,9
2	0,73	2,10	64,65	12,72	12,72	30,3	14,8	2,2
3	1,40	14,58	65,72	12,72	12,72	91,2	138,5	8,6
4	2,00	4,12	66,70	12,72	12,72	38,5	8,0	2,9
5	2,60	-26,91	67,67	12,72	12,72	427,4	149,2	16,4

Verifiche taglio

N°	X	A _{sw}	V	t _c
1	0,20	0,00	68,23	2,34
2	0,73	0,00	37,77	1,29
3	1,40	0,00	-0,31	-0,01
4	2,00	0,00	-34,58	-1,19
5	2,60	0,00	-68,85	-2,36

Verifica sezioni piedritto sinistro [Combinazione n° 25 - SLE (Rara) - Sisma Vert. positivo]

Base sezione B = 100 cm
 Altezza sezione H = 40,00 cm

Verifiche presso-flessione

N°	X	M	N	A _{fi}	A _{fs}	S _{fs}	S _{fi}	S _c
1	0,20	-34,52	93,71	14,07	14,07	478,4	190,2	20,1
2	1,40	12,69	80,97	14,07	14,07	82,5	59,6	7,1
3	2,60	-26,17	68,23	14,07	14,07	371,5	143,0	15,3

Verifiche taglio

N°	X	A _{sw}	V	t _c
1	0,20	0,00	80,01	2,74
2	1,40	0,00	2,00	0,07
3	2,60	0,00	-63,78	-2,19

Verifica sezioni piedritto destro [Combinazione n° 25 - SLE (Rara) - Sisma Vert. positivo]

Base sezione B = 100 cm
 Altezza sezione H = 40,00 cm

Verifiche presso-flessione

N°	X	M	N	A _{fi}	A _{fs}	S _{fs}	S _{fi}	S _c
1	0,20	-32,57	94,33	14,07	14,07	433,2	181,9	19,0
2	1,40	11,95	81,59	14,07	14,07	78,6	47,3	6,6
3	2,60	-26,91	68,85	14,07	14,07	386,1	146,5	15,7

Verifiche taglio

N°	X	A _{sw}	V	t _c
1	0,20	0,00	-75,69	-2,59
2	1,40	0,00	-0,52	-0,02
3	2,60	0,00	62,53	2,14

Verifica sezioni fondazione [Combinazione n° 26 - SLE (Rara) - Sisma Vert. negativo]

Base sezione B = 100 cm
 Altezza sezione H = 40,00 cm

Verifiche presso-flessione

N°	X	M	N	A _{fi}	A _{fs}	S _{fs}	S _{fi}	S _c
1	0,20	33,20	75,35	8,04	8,04	193,4	846,3	24,4
2	0,76	-3,84	76,26	8,04	10,05	12,3	42,6	3,2
3	1,40	-18,72	77,29	8,04	8,04	289,9	126,3	13,0
4	2,04	-5,39	78,32	8,04	10,05	7,1	49,3	3,8
5	2,60	31,23	79,23	8,04	8,04	187,3	748,1	22,9

Verifiche taglio

N°	X	A _{sw}	V	t _c
1	0,20	2,01	-86,01	-2,95
2	0,76	0,00	-42,92	-1,47
3	1,40	0,00	1,14	0,04
4	2,04	0,00	46,28	1,59
5	2,60	2,01	85,39	2,93

Verifica sezioni traverso [Combinazione n° 26 - SLE (Rara) - Sisma Vert. negativo]

Base sezione B = 100 cm
 Altezza sezione H = 40,00 cm

Verifiche presso-flessione

N°	X	M	N	A _{fi}	A _{fs}	S _{fs}	S _{fi}	S _c
1	0,20	-25,97	64,25	12,72	12,72	416,0	143,5	15,8
2	0,73	1,50	65,11	12,72	12,72	28,3	17,2	2,0
3	1,40	13,63	66,19	12,72	12,72	86,4	116,2	8,0
4	2,00	3,46	67,16	12,72	12,72	36,2	10,6	2,7
5	2,60	-26,70	68,13	12,72	12,72	420,4	148,5	16,2

Verifiche taglio

N°	X	A _{sw}	V	t _c
1	0,20	0,00	66,29	2,27
2	0,73	0,00	36,69	1,26
3	1,40	0,00	-0,30	-0,01
4	2,00	0,00	-33,60	-1,15
5	2,60	0,00	-66,90	-2,29

Verifica sezioni piedritto sinistro [Combinazione n° 26 - SLE (Rara) - Sisma Vert. negativo]

Base sezione B = 100 cm
 Altezza sezione H = 40,00 cm

Verifiche presso-flessione

N°	X	M	N	A _{fi}	A _{fs}	S _{fs}	S _{fi}	S _c
1	0,20	-33,20	87,89	14,07	14,07	467,0	182,0	19,3
2	1,40	13,45	77,09	14,07	14,07	85,9	79,7	7,6
3	2,60	-25,97	66,29	14,07	14,07	373,0	141,3	15,1

Verifiche taglio

N°	X	A _{sw}	V	t _c
1	0,20	0,00	79,55	2,73
2	1,40	0,00	1,53	0,05
3	2,60	0,00	-64,25	-2,20

Verifica sezioni piedritto destro [Combinazione n° 26 - SLE (Rara) - Sisma Vert. negativo]

Base sezione B = 100 cm
 Altezza sezione H = 40,00 cm

Verifiche presso-flessione

N°	X	M	N	A _{fi}	A _{fs}	S _{fs}	S _{fi}	S _c
1	0,20	-31,23	88,50	14,07	14,07	421,4	173,7	18,2
2	1,40	12,69	77,70	14,07	14,07	81,9	65,5	7,1
3	2,60	-26,70	66,90	14,07	14,07	387,5	144,7	15,6

Verifiche taglio

N°	X	A _{sw}	V	t _c
1	0,20	0,00	-75,19	-2,58
2	1,40	0,00	-0,06	0,00
3	2,60	0,00	62,98	2,16

Verifica sezioni fondazione [Combinazione n° 27 - SLE (Rara) - Sisma Vert. positivo]

Base sezione B = 100 cm
 Altezza sezione H = 40,00 cm

Verifiche presso-flessione

N°	X	M	N	A _{fi}	A _{fs}	S _{fs}	S _{fi}	S _c
1	0,20	32,57	79,72	8,04	8,04	193,5	797,1	23,9
2	0,76	-6,53	78,80	8,04	10,05	2,0	54,2	4,2
3	1,40	-20,81	77,77	8,04	8,04	362,6	137,4	14,7
4	2,04	-4,99	76,74	8,04	10,05	8,0	47,2	3,6
5	2,60	34,52	75,83	8,04	8,04	199,5	894,7	25,5

Verifiche taglio

N°	X	A _{sw}	V	t _c
1	0,20	2,01	-92,03	-3,15
2	0,76	0,00	-43,68	-1,50
3	1,40	0,00	4,14	0,14
4	2,04	0,00	51,24	1,76
5	2,60	2,01	90,55	3,10

Verifica sezioni traverso [Combinazione n° 27 - SLE (Rara) - Sisma Vert. positivo]

Base sezione B = 100 cm
 Altezza sezione H = 40,00 cm

Verifiche presso-flessione

N°	X	M	N	A _{fi}	A _{fs}	S _{fs}	S _{fi}	S _c
1	0,20	-26,91	67,67	12,72	12,72	427,4	149,2	16,4
2	0,73	1,68	66,80	12,72	12,72	29,6	17,1	2,1
3	1,40	14,58	65,72	12,72	12,72	91,2	138,5	8,6
4	2,00	4,49	64,75	12,72	12,72	39,2	6,0	3,0
5	2,60	-26,17	63,78	12,72	12,72	422,7	144,2	15,9

Verifiche taglio

N°	X	A _{sw}	V	t _c
1	0,20	0,00	68,85	2,36
2	0,73	0,00	38,39	1,32
3	1,40	0,00	0,31	0,01
4	2,00	0,00	-33,96	-1,16
5	2,60	0,00	-68,23	-2,34

Verifica sezioni piedritto sinistro [Combinazione n° 27 - SLE (Rara) - Sisma Vert. positivo]

Base sezione B = 100 cm
 Altezza sezione H = 40,00 cm

Verifiche presso-flessione

N°	X	M	N	A _{fi}	A _{fs}	S _{fs}	S _{fi}	S _c
1	0,20	-32,57	94,33	14,07	14,07	433,2	182,0	19,0
2	1,40	11,95	81,59	14,07	14,07	78,6	47,3	6,6
3	2,60	-26,91	68,85	14,07	14,07	386,2	146,5	15,7

Verifiche taglio

N°	X	A _{sw}	V	t _c
1	0,20	0,00	75,69	2,59
2	1,40	0,00	0,52	0,02
3	2,60	0,00	-62,53	-2,14

Verifica sezioni piedritto destro [Combinazione n° 27 - SLE (Rara) - Sisma Vert. positivo]

Base sezione B = 100 cm
 Altezza sezione H = 40,00 cm

Verifiche presso-flessione

N°	X	M	N	A _{fi}	A _{fs}	S _{fs}	S _{fi}	S _c
1	0,20	-34,52	93,71	14,07	14,07	478,4	190,2	20,1
2	1,40	12,69	80,97	14,07	14,07	82,5	59,6	7,1
3	2,60	-26,17	68,23	14,07	14,07	371,4	143,0	15,3

Verifiche taglio

N°	X	A _{sw}	V	t _c
1	0,20	0,00	-80,01	-2,74
2	1,40	0,00	-2,00	-0,07
3	2,60	0,00	63,78	2,19

Verifica sezioni fondazione [Combinazione n° 28 - SLE (Rara) - Sisma Vert. negativo]

Base sezione B = 100 cm
 Altezza sezione H = 40,00 cm

Verifiche presso-flessione

N°	X	M	N	A _{fi}	A _{fs}	S _{fs}	S _{fi}	S _c
1	0,20	31,23	79,23	8,04	8,04	187,3	748,2	22,9
2	0,76	-5,39	78,32	8,04	10,05	7,1	49,3	3,8
3	1,40	-18,72	77,29	8,04	8,04	289,9	126,3	13,0
4	2,04	-3,84	76,26	8,04	10,05	12,3	42,6	3,2
5	2,60	33,19	75,35	8,04	8,04	193,4	846,3	24,4

Verifiche taglio

N°	X	A _{sw}	V	t _c
1	0,20	2,01	-86,43	-2,96
2	0,76	0,00	-40,98	-1,40
3	1,40	0,00	3,87	0,13
4	2,04	0,00	47,96	1,64
5	2,60	2,01	85,07	2,92

Verifica sezioni traverso [Combinazione n° 28 - SLE (Rara) - Sisma Vert. negativo]

Base sezione B = 100 cm
 Altezza sezione H = 40,00 cm

Verifiche presso-flessione

N°	X	M	N	A _{fi}	A _{fs}	S _{fs}	S _{fi}	S _c
1	0,20	-26,70	68,13	12,72	12,72	420,5	148,5	16,2
2	0,73	1,09	67,27	12,72	12,72	27,5	19,4	1,9
3	1,40	13,63	66,19	12,72	12,72	86,4	116,2	8,0
4	2,00	3,82	65,22	12,72	12,72	36,9	8,6	2,8
5	2,60	-25,96	64,25	12,72	12,72	416,0	143,5	15,8

Verifiche taglio

N°	X	A _{sw}	V	t _c
1	0,20	0,00	66,90	2,29
2	0,73	0,00	37,30	1,28
3	1,40	0,00	0,31	0,01
4	2,00	0,00	-32,99	-1,13
5	2,60	0,00	-66,29	-2,27

Verifica sezioni piedritto sinistro [Combinazione n° 28 - SLE (Rara) - Sisma Vert. negativo]

Base sezione B = 100 cm
 Altezza sezione H = 40,00 cm

Verifiche presso-flessione

N°	X	M	N	A _{fi}	A _{fs}	S _{fs}	S _{fi}	S _c
1	0,20	-31,23	88,50	14,07	14,07	421,4	173,7	18,2
2	1,40	12,69	77,70	14,07	14,07	81,9	65,5	7,1
3	2,60	-26,70	66,90	14,07	14,07	387,5	144,7	15,6

Verifiche taglio

N°	X	A _{sw}	V	t _c
----	---	-----------------	---	----------------

1	0,20	0,00	75,19	2,58
2	1,40	0,00	0,06	0,00
3	2,60	0,00	-62,98	-2,16

Verifica sezioni piedritto destro [Combinazione n° 28 - SLE (Rara) - Sisma Vert. negativo]

Base sezione B = 100 cm

Altezza sezione H = 40,00 cm

Verifiche presso-flessione

N°	X	M	N	A _{fi}	A _{fs}	S _{fs}	S _{fi}	S _c
1	0,20	-33,19	87,89	14,07	14,07	467,0	182,0	19,3
2	1,40	13,45	77,09	14,07	14,07	85,9	79,7	7,6
3	2,60	-25,96	66,29	14,07	14,07	373,0	141,3	15,1

Verifiche taglio

N°	X	A _{sw}	V	t _c
1	0,20	0,00	-79,55	-2,73
2	1,40	0,00	-1,53	-0,05
3	2,60	0,00	64,25	2,20

Verifiche fessurazione

Simbologia adottata ed unità di misura

N°	Indice sezione
X_i	Ascissa/Ordinata sezione, espresso in m
M_p	Momento, espresse in kNm
M_n	Momento, espresse in kNm
w_k	Ampiezza fessure, espresse in mm
w_{lim}	Apertura limite fessure, espresse in mm
s	Distanza media tra le fessure, espresse in mm
e_{sm}	Deformazione nelle fessure, espresse in [%]

Verifica fessurazione fondazione [Combinazione n° 12 - SLE (Quasi Permanente)]

N°	X	A_{fi}	A_{fs}	M_p	M_n	M	w	w_{lim}	S_m	e_{sm}
1	0,20	8,04	8,04	58,29	-58,29	28,62	0,00	0,20	0,00	0,00000
2	0,76	8,04	10,05	58,41	-59,05	-9,34	0,00	0,20	0,00	0,00000
3	1,40	8,04	8,04	58,29	-58,29	-23,82	0,00	0,20	0,00	0,00000
4	2,04	8,04	10,05	58,41	-59,05	-9,34	0,00	0,20	0,00	0,00000
5	2,60	8,04	8,04	58,29	-58,29	28,62	0,00	0,20	0,00	0,00000

Verifica fessurazione traverso [Combinazione n° 12 - SLE (Quasi Permanente)]

N°	X	A_{fi}	A_{fs}	M_p	M_n	M	w	w_{lim}	S_m	e_{sm}
1	0,20	12,72	12,72	60,36	-60,36	-22,25	0,00	0,20	0,00	0,00000
2	0,73	12,72	12,72	60,36	-60,36	5,78	0,00	0,20	0,00	0,00000
3	1,40	12,72	12,72	60,36	-60,36	18,30	0,00	0,20	0,00	0,00000
4	2,00	12,72	12,72	60,36	-60,36	8,16	0,00	0,20	0,00	0,00000
5	2,60	12,72	12,72	60,36	-60,36	-22,24	0,00	0,20	0,00	0,00000

Verifica fessurazione piedritto sinistro [Combinazione n° 12 - SLE (Quasi Permanente)]

N°	X	A_{fi}	A_{fs}	M_p	M_n	M	w	w_{lim}	S_m	e_{sm}
1	0,20	14,07	14,07	60,96	-60,96	-28,62	0,00	0,20	0,00	0,00000
2	1,40	14,07	14,07	60,96	-60,96	4,34	0,00	0,20	0,00	0,00000
3	2,60	14,07	14,07	60,96	-60,96	-22,25	0,00	0,20	0,00	0,00000

Verifica fessurazione piedritto destro [Combinazione n° 12 - SLE (Quasi Permanente)]

N°	X	A_{fi}	A_{fs}	M_p	M_n	M	w	w_{lim}	S_m	e_{sm}
1	0,20	14,07	14,07	60,96	-60,96	-28,62	0,00	0,20	0,00	0,00000
2	1,40	14,07	14,07	60,96	-60,96	4,34	0,00	0,20	0,00	0,00000
3	2,60	14,07	14,07	60,96	-60,96	-22,24	0,00	0,20	0,00	0,00000

Verifica fessurazione fondazione [Combinazione n° 13 - SLE (Frequente)]

N°	X	A_{fi}	A_{fs}	M_p	M_n	M	w	w_{lim}	S_m	e_{sm}
1	0,20	8,04	8,04	58,29	-58,29	28,62	0,00	0,30	0,00	0,00000
2	0,76	8,04	10,05	58,41	-59,05	-9,34	0,00	0,30	0,00	0,00000
3	1,40	8,04	8,04	58,29	-58,29	-23,82	0,00	0,30	0,00	0,00000
4	2,04	8,04	10,05	58,41	-59,05	-9,34	0,00	0,30	0,00	0,00000
5	2,60	8,04	8,04	58,29	-58,29	28,62	0,00	0,30	0,00	0,00000

Verifica fessurazione traverso [Combinazione n° 13 - SLE (Frequente)]

N°	X	A _{fi}	A _{fs}	M _p	M _n	M	w	W _{lim}	S _m	e _{sm}
1	0,20	12,72	12,72	60,36	-60,36	-22,25	0,00	0,30	0,00	0,00000
2	0,73	12,72	12,72	60,36	-60,36	5,78	0,00	0,30	0,00	0,00000
3	1,40	12,72	12,72	60,36	-60,36	18,30	0,00	0,30	0,00	0,00000
4	2,00	12,72	12,72	60,36	-60,36	8,16	0,00	0,30	0,00	0,00000
5	2,60	12,72	12,72	60,36	-60,36	-22,24	0,00	0,30	0,00	0,00000

Verifica fessurazione piedritto sinistro [Combinazione n° 13 - SLE (Frequente)]

N°	X	A _{fi}	A _{fs}	M _p	M _n	M	w	W _{lim}	S _m	e _{sm}
1	0,20	14,07	14,07	60,96	-60,96	-28,62	0,00	0,30	0,00	0,00000
2	1,40	14,07	14,07	60,96	-60,96	4,34	0,00	0,30	0,00	0,00000
3	2,60	14,07	14,07	60,96	-60,96	-22,25	0,00	0,30	0,00	0,00000

Verifica fessurazione piedritto destro [Combinazione n° 13 - SLE (Frequente)]

N°	X	A _{fi}	A _{fs}	M _p	M _n	M	w	W _{lim}	S _m	e _{sm}
1	0,20	14,07	14,07	60,96	-60,96	-28,62	0,00	0,30	0,00	0,00000
2	1,40	14,07	14,07	60,96	-60,96	4,34	0,00	0,30	0,00	0,00000
3	2,60	14,07	14,07	60,96	-60,96	-22,24	0,00	0,30	0,00	0,00000

Verifica fessurazione fondazione [Combinazione n° 14 - SLE (Frequente)]

N°	X	A _{fi}	A _{fs}	M _p	M _n	M	w	W _{lim}	S _m	e _{sm}
1	0,20	8,04	8,04	58,29	-58,29	45,40	0,00	0,30	0,00	0,00000
2	0,76	8,04	10,05	58,41	-59,05	-10,97	0,00	0,30	0,00	0,00000
3	1,40	8,04	8,04	58,29	-58,29	-32,57	0,00	0,30	0,00	0,00000
4	2,04	8,04	10,05	58,41	-59,05	-10,97	0,00	0,30	0,00	0,00000
5	2,60	8,04	8,04	58,29	-58,29	45,40	0,00	0,30	0,00	0,00000

Verifica fessurazione traverso [Combinazione n° 14 - SLE (Frequente)]

N°	X	A _{fi}	A _{fs}	M _p	M _n	M	w	W _{lim}	S _m	e _{sm}
1	0,20	12,72	12,72	60,36	-60,36	-39,14	0,00	0,30	0,00	0,00000
2	0,73	12,72	12,72	60,36	-60,36	6,71	0,00	0,30	0,00	0,00000
3	1,40	12,72	12,72	60,36	-60,36	27,18	0,00	0,30	0,00	0,00000
4	2,00	12,72	12,72	60,36	-60,36	10,60	0,00	0,30	0,00	0,00000
5	2,60	12,72	12,72	60,36	-60,36	-39,14	0,00	0,30	0,00	0,00000

Verifica fessurazione piedritto sinistro [Combinazione n° 14 - SLE (Frequente)]

N°	X	A _{fi}	A _{fs}	M _p	M _n	M	w	W _{lim}	S _m	e _{sm}
1	0,20	14,07	14,07	60,96	-60,96	-45,40	0,00	0,30	0,00	0,00000
2	1,40	14,07	14,07	60,96	-60,96	12,34	0,00	0,30	0,00	0,00000
3	2,60	14,07	14,07	60,96	-60,96	-39,14	0,00	0,30	0,00	0,00000

Verifica fessurazione piedritto destro [Combinazione n° 14 - SLE (Frequente)]

N°	X	A _{fi}	A _{fs}	M _p	M _n	M	w	W _{lim}	S _m	e _{sm}
1	0,20	14,07	14,07	60,96	-60,96	-45,40	0,00	0,30	0,00	0,00000
2	1,40	14,07	14,07	60,96	-60,96	12,35	0,00	0,30	0,00	0,00000
3	2,60	14,07	14,07	60,96	-60,96	-39,14	0,00	0,30	0,00	0,00000

Verifica fessurazione fondazione [Combinazione n° 15 - SLE (Rara)]

N°	X	A _{fi}	A _{fs}	M _p	M _n	M	w	W _{lim}	S _m	e _{sm}
1	0,20	8,04	8,04	58,29	-58,29	45,40	0,00	100,00	0,00	0,00000
2	0,76	8,04	10,05	58,41	-59,05	-10,97	0,00	100,00	0,00	0,00000
3	1,40	8,04	8,04	58,29	-58,29	-32,57	0,00	100,00	0,00	0,00000
4	2,04	8,04	10,05	58,41	-59,05	-10,97	0,00	100,00	0,00	0,00000
5	2,60	8,04	8,04	58,29	-58,29	45,40	0,00	100,00	0,00	0,00000

Verifica fessurazione traverso [Combinazione n° 15 - SLE (Rara)]

N°	X	A _{fi}	A _{fs}	M _p	M _n	M	w	W _{lim}	S _m	e _{sm}
1	0,20	12,72	12,72	60,36	-60,36	-39,14	0,00	100,00	0,00	0,00000
2	0,73	12,72	12,72	60,36	-60,36	6,71	0,00	100,00	0,00	0,00000
3	1,40	12,72	12,72	60,36	-60,36	27,18	0,00	100,00	0,00	0,00000
4	2,00	12,72	12,72	60,36	-60,36	10,60	0,00	100,00	0,00	0,00000
5	2,60	12,72	12,72	60,36	-60,36	-39,14	0,00	100,00	0,00	0,00000

Verifica fessurazione piedritto sinistro [Combinazione n° 15 - SLE (Rara)]

N°	X	A _{fi}	A _{fs}	M _p	M _n	M	w	W _{lim}	S _m	e _{sm}
1	0,20	14,07	14,07	60,96	-60,96	-45,40	0,00	100,00	0,00	0,00000
2	1,40	14,07	14,07	60,96	-60,96	12,34	0,00	100,00	0,00	0,00000
3	2,60	14,07	14,07	60,96	-60,96	-39,14	0,00	100,00	0,00	0,00000

Verifica fessurazione piedritto destro [Combinazione n° 15 - SLE (Rara)]

N°	X	A _{fi}	A _{fs}	M _p	M _n	M	w	W _{lim}	S _m	e _{sm}
1	0,20	14,07	14,07	60,96	-60,96	-45,40	0,00	100,00	0,00	0,00000
2	1,40	14,07	14,07	60,96	-60,96	12,35	0,00	100,00	0,00	0,00000
3	2,60	14,07	14,07	60,96	-60,96	-39,14	0,00	100,00	0,00	0,00000

Verifica fessurazione fondazione [Combinazione n° 16 - SLE (Rara)]

N°	X	A _{fi}	A _{fs}	M _p	M _n	M	w	W _{lim}	S _m	e _{sm}
1	0,20	8,04	8,04	58,29	-58,29	51,00	0,00	100,00	0,00	0,00000
2	0,76	8,04	10,05	58,41	-59,05	-11,51	0,00	100,00	0,00	0,00000
3	1,40	8,04	8,04	58,29	-58,29	-35,48	0,00	100,00	0,00	0,00000
4	2,04	8,04	10,05	58,41	-59,05	-11,52	0,00	100,00	0,00	0,00000
5	2,60	8,04	8,04	58,29	-58,29	51,00	0,00	100,00	0,00	0,00000

Verifica fessurazione traverso [Combinazione n° 16 - SLE (Rara)]

N°	X	A _{fi}	A _{fs}	M _p	M _n	M	w	W _{lim}	S _m	e _{sm}
1	0,20	12,72	12,72	60,36	-60,36	-44,78	0,00	100,00	0,00	0,00000
2	0,73	12,72	12,72	60,36	-60,36	7,02	0,00	100,00	0,00	0,00000
3	1,40	12,72	12,72	60,36	-60,36	30,15	0,00	100,00	0,00	0,00000
4	2,00	12,72	12,72	60,36	-60,36	11,42	0,00	100,00	0,00	0,00000
5	2,60	12,72	12,72	60,36	-60,36	-44,77	0,00	100,00	0,00	0,00000

Verifica fessurazione piedritto sinistro [Combinazione n° 16 - SLE (Rara)]

N°	X	A _{fi}	A _{fs}	M _p	M _n	M	w	W _{lim}	S _m	e _{sm}
1	0,20	14,07	14,07	60,96	-60,96	-51,00	0,00	100,00	0,00	0,00000
2	1,40	14,07	14,07	60,96	-60,96	15,02	0,00	100,00	0,00	0,00000
3	2,60	14,07	14,07	60,96	-60,96	-44,78	0,00	100,00	0,00	0,00000

Verifica fessurazione piedritto destro [Combinazione n° 16 - SLE (Rara)]

N°	X	A _{fi}	A _{fs}	M _p	M _n	M	w	W _{lim}	S _m	e _{sm}
1	0,20	14,07	14,07	60,96	-60,96	-51,00	0,00	100,00	0,00	0,00000
2	1,40	14,07	14,07	60,96	-60,96	15,02	0,00	100,00	0,00	0,00000
3	2,60	14,07	14,07	60,96	-60,96	-44,77	0,00	100,00	0,00	0,00000

Verifica fessurazione fondazione [Combinazione n° 17 - SLE (Quasi Permanente) - Sisma Vert. positivo]

N°	X	A _{fi}	A _{fs}	M _p	M _n	M	w	W _{lim}	S _m	e _{sm}
1	0,20	8,04	8,04	58,29	-58,29	34,52	0,00	0,20	0,00	0,00000
2	0,76	8,04	10,05	58,41	-59,05	-4,99	0,00	0,20	0,00	0,00000
3	1,40	8,04	8,04	58,29	-58,29	-20,81	0,00	0,20	0,00	0,00000
4	2,04	8,04	10,05	58,41	-59,05	-6,53	0,00	0,20	0,00	0,00000
5	2,60	8,04	8,04	58,29	-58,29	32,57	0,00	0,20	0,00	0,00000

Verifica fessurazione traverso [Combinazione n° 17 - SLE (Quasi Permanente) - Sisma Vert. positivo]

N°	X	A _{fi}	A _{fs}	M _p	M _n	M	w	W _{lim}	S _m	e _{sm}
1	0,20	12,72	12,72	60,36	-60,36	-26,17	0,00	0,20	0,00	0,00000
2	0,73	12,72	12,72	60,36	-60,36	2,10	0,00	0,20	0,00	0,00000
3	1,40	12,72	12,72	60,36	-60,36	14,58	0,00	0,20	0,00	0,00000
4	2,00	12,72	12,72	60,36	-60,36	4,12	0,00	0,20	0,00	0,00000
5	2,60	12,72	12,72	60,36	-60,36	-26,91	0,00	0,20	0,00	0,00000

Verifica fessurazione piedritto sinistro [Combinazione n° 17 - SLE (Quasi Permanente) - Sisma Vert. positivo]

N°	X	A _{fi}	A _{fs}	M _p	M _n	M	w	W _{lim}	S _m	e _{sm}
1	0,20	14,07	14,07	60,96	-60,96	-34,52	0,00	0,20	0,00	0,00000
2	1,40	14,07	14,07	60,96	-60,96	12,69	0,00	0,20	0,00	0,00000
3	2,60	14,07	14,07	60,96	-60,96	-26,17	0,00	0,20	0,00	0,00000

Verifica fessurazione piedritto destro [Combinazione n° 17 - SLE (Quasi Permanente) - Sisma Vert. positivo]

N°	X	A _{fi}	A _{fs}	M _p	M _n	M	w	W _{lim}	S _m	e _{sm}
----	---	-----------------	-----------------	----------------	----------------	---	---	------------------	----------------	-----------------

1	0,20	14,07	14,07	60,96	-60,96	-32,57	0,00	0,20	0,00	0,00000
2	1,40	14,07	14,07	60,96	-60,96	11,95	0,00	0,20	0,00	0,00000
3	2,60	14,07	14,07	60,96	-60,96	-26,91	0,00	0,20	0,00	0,00000

Verifica fessurazione fondazione [Combinazione n° 18 - SLE (Quasi Permanente) - Sisma Vert. negativo]

N°	X	A _{fi}	A _{fs}	M _p	M _n	M	w	W _{lim}	S _m	e _{sm}
1	0,20	8,04	8,04	58,29	-58,29	33,20	0,00	0,20	0,00	0,00000
2	0,76	8,04	10,05	58,41	-59,05	-3,84	0,00	0,20	0,00	0,00000
3	1,40	8,04	8,04	58,29	-58,29	-18,72	0,00	0,20	0,00	0,00000
4	2,04	8,04	10,05	58,41	-59,05	-5,39	0,00	0,20	0,00	0,00000
5	2,60	8,04	8,04	58,29	-58,29	31,23	0,00	0,20	0,00	0,00000

Verifica fessurazione traverso [Combinazione n° 18 - SLE (Quasi Permanente) - Sisma Vert. negativo]

N°	X	A _{fi}	A _{fs}	M _p	M _n	M	w	W _{lim}	S _m	e _{sm}
1	0,20	12,72	12,72	60,36	-60,36	-25,97	0,00	0,20	0,00	0,00000
2	0,73	12,72	12,72	60,36	-60,36	1,50	0,00	0,20	0,00	0,00000
3	1,40	12,72	12,72	60,36	-60,36	13,63	0,00	0,20	0,00	0,00000
4	2,00	12,72	12,72	60,36	-60,36	3,46	0,00	0,20	0,00	0,00000
5	2,60	12,72	12,72	60,36	-60,36	-26,70	0,00	0,20	0,00	0,00000

Verifica fessurazione piedritto sinistro [Combinazione n° 18 - SLE (Quasi Permanente) - Sisma Vert. negativo]

N°	X	A _{fi}	A _{fs}	M _p	M _n	M	w	W _{lim}	S _m	e _{sm}
1	0,20	14,07	14,07	60,96	-60,96	-33,20	0,00	0,20	0,00	0,00000
2	1,40	14,07	14,07	60,96	-60,96	13,45	0,00	0,20	0,00	0,00000
3	2,60	14,07	14,07	60,96	-60,96	-25,97	0,00	0,20	0,00	0,00000

Verifica fessurazione piedritto destro [Combinazione n° 18 - SLE (Quasi Permanente) - Sisma Vert. negativo]

N°	X	A _{fi}	A _{fs}	M _p	M _n	M	w	W _{lim}	S _m	e _{sm}
1	0,20	14,07	14,07	60,96	-60,96	-31,23	0,00	0,20	0,00	0,00000
2	1,40	14,07	14,07	60,96	-60,96	12,69	0,00	0,20	0,00	0,00000
3	2,60	14,07	14,07	60,96	-60,96	-26,70	0,00	0,20	0,00	0,00000

Verifica fessurazione fondazione [Combinazione n° 19 - SLE (Quasi Permanente) - Sisma Vert. positivo]

N°	X	A _{fi}	A _{fs}	M _p	M _n	M	w	W _{lim}	S _m	e _{sm}
1	0,20	8,04	8,04	58,29	-58,29	32,57	0,00	0,20	0,00	0,00000
2	0,76	8,04	10,05	58,41	-59,05	-6,53	0,00	0,20	0,00	0,00000
3	1,40	8,04	8,04	58,29	-58,29	-20,81	0,00	0,20	0,00	0,00000
4	2,04	8,04	10,05	58,41	-59,05	-4,99	0,00	0,20	0,00	0,00000
5	2,60	8,04	8,04	58,29	-58,29	34,52	0,00	0,20	0,00	0,00000

Verifica fessurazione traverso [Combinazione n° 19 - SLE (Quasi Permanente) - Sisma Vert. positivo]

N°	X	A _{fi}	A _{fs}	M _p	M _n	M	w	W _{lim}	S _m	e _{sm}
1	0,20	12,72	12,72	60,36	-60,36	-26,91	0,00	0,20	0,00	0,00000
2	0,73	12,72	12,72	60,36	-60,36	1,68	0,00	0,20	0,00	0,00000

3	1,40	12,72	12,72	60,36	-60,36	14,58	0,00	0,20	0,00	0,00000
4	2,00	12,72	12,72	60,36	-60,36	4,49	0,00	0,20	0,00	0,00000
5	2,60	12,72	12,72	60,36	-60,36	-26,17	0,00	0,20	0,00	0,00000

Verifica fessurazione piedritto sinistro [Combinazione n° 19 - SLE (Quasi Permanente) - Sisma Vert. positivo]

N°	X	A _{fi}	A _{fs}	M _p	M _n	M	w	W _{lim}	S _m	e _{sm}
1	0,20	14,07	14,07	60,96	-60,96	-32,57	0,00	0,20	0,00	0,00000
2	1,40	14,07	14,07	60,96	-60,96	11,95	0,00	0,20	0,00	0,00000
3	2,60	14,07	14,07	60,96	-60,96	-26,91	0,00	0,20	0,00	0,00000

Verifica fessurazione piedritto destro [Combinazione n° 19 - SLE (Quasi Permanente) - Sisma Vert. positivo]

N°	X	A _{fi}	A _{fs}	M _p	M _n	M	w	W _{lim}	S _m	e _{sm}
1	0,20	14,07	14,07	60,96	-60,96	-34,52	0,00	0,20	0,00	0,00000
2	1,40	14,07	14,07	60,96	-60,96	12,69	0,00	0,20	0,00	0,00000
3	2,60	14,07	14,07	60,96	-60,96	-26,17	0,00	0,20	0,00	0,00000

Verifica fessurazione fondazione [Combinazione n° 20 - SLE (Quasi Permanente) - Sisma Vert. negativo]

N°	X	A _{fi}	A _{fs}	M _p	M _n	M	w	W _{lim}	S _m	e _{sm}
1	0,20	8,04	8,04	58,29	-58,29	31,23	0,00	0,20	0,00	0,00000
2	0,76	8,04	10,05	58,41	-59,05	-5,39	0,00	0,20	0,00	0,00000
3	1,40	8,04	8,04	58,29	-58,29	-18,72	0,00	0,20	0,00	0,00000
4	2,04	8,04	10,05	58,41	-59,05	-3,84	0,00	0,20	0,00	0,00000
5	2,60	8,04	8,04	58,29	-58,29	33,19	0,00	0,20	0,00	0,00000

Verifica fessurazione traverso [Combinazione n° 20 - SLE (Quasi Permanente) - Sisma Vert. negativo]

N°	X	A _{fi}	A _{fs}	M _p	M _n	M	w	W _{lim}	S _m	e _{sm}
1	0,20	12,72	12,72	60,36	-60,36	-26,70	0,00	0,20	0,00	0,00000
2	0,73	12,72	12,72	60,36	-60,36	1,09	0,00	0,20	0,00	0,00000
3	1,40	12,72	12,72	60,36	-60,36	13,63	0,00	0,20	0,00	0,00000
4	2,00	12,72	12,72	60,36	-60,36	3,82	0,00	0,20	0,00	0,00000
5	2,60	12,72	12,72	60,36	-60,36	-25,96	0,00	0,20	0,00	0,00000

Verifica fessurazione piedritto sinistro [Combinazione n° 20 - SLE (Quasi Permanente) - Sisma Vert. negativo]

N°	X	A _{fi}	A _{fs}	M _p	M _n	M	w	W _{lim}	S _m	e _{sm}
1	0,20	14,07	14,07	60,96	-60,96	-31,23	0,00	0,20	0,00	0,00000
2	1,40	14,07	14,07	60,96	-60,96	12,69	0,00	0,20	0,00	0,00000
3	2,60	14,07	14,07	60,96	-60,96	-26,70	0,00	0,20	0,00	0,00000

Verifica fessurazione piedritto destro [Combinazione n° 20 - SLE (Quasi Permanente) - Sisma Vert. negativo]

N°	X	A _{fi}	A _{fs}	M _p	M _n	M	w	W _{lim}	S _m	e _{sm}
1	0,20	14,07	14,07	60,96	-60,96	-33,19	0,00	0,20	0,00	0,00000
2	1,40	14,07	14,07	60,96	-60,96	13,45	0,00	0,20	0,00	0,00000
3	2,60	14,07	14,07	60,96	-60,96	-25,96	0,00	0,20	0,00	0,00000

Verifica fessurazione fondazione [Combinazione n° 21 - SLE (Frequente) - Sisma Vert. positivo]

N°	X	A _{fi}	A _{fs}	M _p	M _n	M	w	W _{lim}	S _m	e _{sm}
1	0,20	8,04	8,04	58,29	-58,29	34,52	0,00	0,30	0,00	0,00000
2	0,76	8,04	10,05	58,41	-59,05	-4,99	0,00	0,30	0,00	0,00000
3	1,40	8,04	8,04	58,29	-58,29	-20,81	0,00	0,30	0,00	0,00000
4	2,04	8,04	10,05	58,41	-59,05	-6,53	0,00	0,30	0,00	0,00000
5	2,60	8,04	8,04	58,29	-58,29	32,57	0,00	0,30	0,00	0,00000

Verifica fessurazione traverso [Combinazione n° 21 - SLE (Frequente) - Sisma Vert. positivo]

N°	X	A _{fi}	A _{fs}	M _p	M _n	M	w	W _{lim}	S _m	e _{sm}
1	0,20	12,72	12,72	60,36	-60,36	-26,17	0,00	0,30	0,00	0,00000
2	0,73	12,72	12,72	60,36	-60,36	2,10	0,00	0,30	0,00	0,00000
3	1,40	12,72	12,72	60,36	-60,36	14,58	0,00	0,30	0,00	0,00000
4	2,00	12,72	12,72	60,36	-60,36	4,12	0,00	0,30	0,00	0,00000
5	2,60	12,72	12,72	60,36	-60,36	-26,91	0,00	0,30	0,00	0,00000

Verifica fessurazione piedritto sinistro [Combinazione n° 21 - SLE (Frequente) - Sisma Vert. positivo]

N°	X	A _{fi}	A _{fs}	M _p	M _n	M	w	W _{lim}	S _m	e _{sm}
1	0,20	14,07	14,07	60,96	-60,96	-34,52	0,00	0,30	0,00	0,00000
2	1,40	14,07	14,07	60,96	-60,96	12,69	0,00	0,30	0,00	0,00000
3	2,60	14,07	14,07	60,96	-60,96	-26,17	0,00	0,30	0,00	0,00000

Verifica fessurazione piedritto destro [Combinazione n° 21 - SLE (Frequente) - Sisma Vert. positivo]

N°	X	A _{fi}	A _{fs}	M _p	M _n	M	w	W _{lim}	S _m	e _{sm}
1	0,20	14,07	14,07	60,96	-60,96	-32,57	0,00	0,30	0,00	0,00000
2	1,40	14,07	14,07	60,96	-60,96	11,95	0,00	0,30	0,00	0,00000
3	2,60	14,07	14,07	60,96	-60,96	-26,91	0,00	0,30	0,00	0,00000

Verifica fessurazione fondazione [Combinazione n° 22 - SLE (Frequente) - Sisma Vert. negativo]

N°	X	A _{fi}	A _{fs}	M _p	M _n	M	w	W _{lim}	S _m	e _{sm}
1	0,20	8,04	8,04	58,29	-58,29	33,20	0,00	0,30	0,00	0,00000
2	0,76	8,04	10,05	58,41	-59,05	-3,84	0,00	0,30	0,00	0,00000
3	1,40	8,04	8,04	58,29	-58,29	-18,72	0,00	0,30	0,00	0,00000
4	2,04	8,04	10,05	58,41	-59,05	-5,39	0,00	0,30	0,00	0,00000
5	2,60	8,04	8,04	58,29	-58,29	31,23	0,00	0,30	0,00	0,00000

Verifica fessurazione traverso [Combinazione n° 22 - SLE (Frequente) - Sisma Vert. negativo]

N°	X	A _{fi}	A _{fs}	M _p	M _n	M	w	W _{lim}	S _m	e _{sm}
1	0,20	12,72	12,72	60,36	-60,36	-25,97	0,00	0,30	0,00	0,00000
2	0,73	12,72	12,72	60,36	-60,36	1,50	0,00	0,30	0,00	0,00000
3	1,40	12,72	12,72	60,36	-60,36	13,63	0,00	0,30	0,00	0,00000
4	2,00	12,72	12,72	60,36	-60,36	3,46	0,00	0,30	0,00	0,00000
5	2,60	12,72	12,72	60,36	-60,36	-26,70	0,00	0,30	0,00	0,00000

Verifica fessurazione piedritto sinistro [Combinazione n° 22 - SLE (Frequente) - Sisma Vert. negativo]

N°	X	A _{fi}	A _{fs}	M _p	M _n	M	w	W _{lim}	S _m	E _{sm}
1	0,20	14,07	14,07	60,96	-60,96	-33,20	0,00	0,30	0,00	0,00000
2	1,40	14,07	14,07	60,96	-60,96	13,45	0,00	0,30	0,00	0,00000
3	2,60	14,07	14,07	60,96	-60,96	-25,97	0,00	0,30	0,00	0,00000

Verifica fessurazione piedritto destro [Combinazione n° 22 - SLE (Frequente) - Sisma Vert. negativo]

N°	X	A _{fi}	A _{fs}	M _p	M _n	M	w	W _{lim}	S _m	E _{sm}
1	0,20	14,07	14,07	60,96	-60,96	-31,23	0,00	0,30	0,00	0,00000
2	1,40	14,07	14,07	60,96	-60,96	12,69	0,00	0,30	0,00	0,00000
3	2,60	14,07	14,07	60,96	-60,96	-26,70	0,00	0,30	0,00	0,00000

Verifica fessurazione fondazione [Combinazione n° 23 - SLE (Frequente) - Sisma Vert. positivo]

N°	X	A _{fi}	A _{fs}	M _p	M _n	M	w	W _{lim}	S _m	E _{sm}
1	0,20	8,04	8,04	58,29	-58,29	32,57	0,00	0,30	0,00	0,00000
2	0,76	8,04	10,05	58,41	-59,05	-6,53	0,00	0,30	0,00	0,00000
3	1,40	8,04	8,04	58,29	-58,29	-20,81	0,00	0,30	0,00	0,00000
4	2,04	8,04	10,05	58,41	-59,05	-4,99	0,00	0,30	0,00	0,00000
5	2,60	8,04	8,04	58,29	-58,29	34,52	0,00	0,30	0,00	0,00000

Verifica fessurazione traverso [Combinazione n° 23 - SLE (Frequente) - Sisma Vert. positivo]

N°	X	A _{fi}	A _{fs}	M _p	M _n	M	w	W _{lim}	S _m	E _{sm}
1	0,20	12,72	12,72	60,36	-60,36	-26,91	0,00	0,30	0,00	0,00000
2	0,73	12,72	12,72	60,36	-60,36	1,68	0,00	0,30	0,00	0,00000
3	1,40	12,72	12,72	60,36	-60,36	14,58	0,00	0,30	0,00	0,00000
4	2,00	12,72	12,72	60,36	-60,36	4,49	0,00	0,30	0,00	0,00000
5	2,60	12,72	12,72	60,36	-60,36	-26,17	0,00	0,30	0,00	0,00000

Verifica fessurazione piedritto sinistro [Combinazione n° 23 - SLE (Frequente) - Sisma Vert. positivo]

N°	X	A _{fi}	A _{fs}	M _p	M _n	M	w	W _{lim}	S _m	E _{sm}
1	0,20	14,07	14,07	60,96	-60,96	-32,57	0,00	0,30	0,00	0,00000
2	1,40	14,07	14,07	60,96	-60,96	11,95	0,00	0,30	0,00	0,00000
3	2,60	14,07	14,07	60,96	-60,96	-26,91	0,00	0,30	0,00	0,00000

Verifica fessurazione piedritto destro [Combinazione n° 23 - SLE (Frequente) - Sisma Vert. positivo]

N°	X	A _{fi}	A _{fs}	M _p	M _n	M	w	W _{lim}	S _m	E _{sm}
1	0,20	14,07	14,07	60,96	-60,96	-34,52	0,00	0,30	0,00	0,00000
2	1,40	14,07	14,07	60,96	-60,96	12,69	0,00	0,30	0,00	0,00000
3	2,60	14,07	14,07	60,96	-60,96	-26,17	0,00	0,30	0,00	0,00000

Verifica fessurazione fondazione [Combinazione n° 24 - SLE (Frequente) - Sisma Vert. negativo]

N°	X	A _{fi}	A _{fs}	M _p	M _n	M	w	W _{lim}	S _m	E _{sm}
1	0,20	8,04	8,04	58,29	-58,29	31,23	0,00	0,30	0,00	0,00000
2	0,76	8,04	10,05	58,41	-59,05	-5,39	0,00	0,30	0,00	0,00000
3	1,40	8,04	8,04	58,29	-58,29	-18,72	0,00	0,30	0,00	0,00000
4	2,04	8,04	10,05	58,41	-59,05	-3,84	0,00	0,30	0,00	0,00000
5	2,60	8,04	8,04	58,29	-58,29	33,19	0,00	0,30	0,00	0,00000

Verifica fessurazione traverso [Combinazione n° 24 - SLE (Frequente) - Sisma Vert. negativo]

N°	X	A _{fi}	A _{fs}	M _p	M _n	M	w	W _{lim}	S _m	E _{sm}
1	0,20	12,72	12,72	60,36	-60,36	-26,70	0,00	0,30	0,00	0,00000
2	0,73	12,72	12,72	60,36	-60,36	1,09	0,00	0,30	0,00	0,00000
3	1,40	12,72	12,72	60,36	-60,36	13,63	0,00	0,30	0,00	0,00000
4	2,00	12,72	12,72	60,36	-60,36	3,82	0,00	0,30	0,00	0,00000
5	2,60	12,72	12,72	60,36	-60,36	-25,96	0,00	0,30	0,00	0,00000

Verifica fessurazione piedritto sinistro [Combinazione n° 24 - SLE (Frequente) - Sisma Vert. negativo]

N°	X	A _{fi}	A _{fs}	M _p	M _n	M	w	W _{lim}	S _m	E _{sm}
1	0,20	14,07	14,07	60,96	-60,96	-31,23	0,00	0,30	0,00	0,00000
2	1,40	14,07	14,07	60,96	-60,96	12,69	0,00	0,30	0,00	0,00000
3	2,60	14,07	14,07	60,96	-60,96	-26,70	0,00	0,30	0,00	0,00000

Verifica fessurazione piedritto destro [Combinazione n° 24 - SLE (Frequente) - Sisma Vert. negativo]

N°	X	A _{fi}	A _{fs}	M _p	M _n	M	w	W _{lim}	S _m	E _{sm}
1	0,20	14,07	14,07	60,96	-60,96	-33,19	0,00	0,30	0,00	0,00000
2	1,40	14,07	14,07	60,96	-60,96	13,45	0,00	0,30	0,00	0,00000
3	2,60	14,07	14,07	60,96	-60,96	-25,96	0,00	0,30	0,00	0,00000

Verifica fessurazione fondazione [Combinazione n° 25 - SLE (Rara) - Sisma Vert. positivo]

N°	X	A _{fi}	A _{fs}	M _p	M _n	M	w	W _{lim}	S _m	E _{sm}
1	0,20	8,04	8,04	58,29	-58,29	34,52	0,00	100,00	0,00	0,00000
2	0,76	8,04	10,05	58,41	-59,05	-4,99	0,00	100,00	0,00	0,00000
3	1,40	8,04	8,04	58,29	-58,29	-20,81	0,00	100,00	0,00	0,00000
4	2,04	8,04	10,05	58,41	-59,05	-6,53	0,00	100,00	0,00	0,00000
5	2,60	8,04	8,04	58,29	-58,29	32,57	0,00	100,00	0,00	0,00000

Verifica fessurazione traverso [Combinazione n° 25 - SLE (Rara) - Sisma Vert. positivo]

N°	X	A _{fi}	A _{fs}	M _p	M _n	M	w	W _{lim}	S _m	E _{sm}
1	0,20	12,72	12,72	60,36	-60,36	-26,17	0,00	100,00	0,00	0,00000
2	0,73	12,72	12,72	60,36	-60,36	2,10	0,00	100,00	0,00	0,00000
3	1,40	12,72	12,72	60,36	-60,36	14,58	0,00	100,00	0,00	0,00000
4	2,00	12,72	12,72	60,36	-60,36	4,12	0,00	100,00	0,00	0,00000
5	2,60	12,72	12,72	60,36	-60,36	-26,91	0,00	100,00	0,00	0,00000

Verifica fessurazione piedritto sinistro [Combinazione n° 25 - SLE (Rara) - Sisma Vert. positivo]

N°	X	A _{fi}	A _{fs}	M _p	M _n	M	w	W _{lim}	S _m	e _{sm}
1	0,20	14,07	14,07	60,96	-60,96	-34,52	0,00	100,00	0,00	0,00000
2	1,40	14,07	14,07	60,96	-60,96	12,69	0,00	100,00	0,00	0,00000
3	2,60	14,07	14,07	60,96	-60,96	-26,17	0,00	100,00	0,00	0,00000

Verifica fessurazione piedritto destro [Combinazione n° 25 - SLE (Rara) - Sisma Vert. positivo]

N°	X	A _{fi}	A _{fs}	M _p	M _n	M	w	W _{lim}	S _m	e _{sm}
1	0,20	14,07	14,07	60,96	-60,96	-32,57	0,00	100,00	0,00	0,00000
2	1,40	14,07	14,07	60,96	-60,96	11,95	0,00	100,00	0,00	0,00000
3	2,60	14,07	14,07	60,96	-60,96	-26,91	0,00	100,00	0,00	0,00000

Verifica fessurazione fondazione [Combinazione n° 26 - SLE (Rara) - Sisma Vert. negativo]

N°	X	A _{fi}	A _{fs}	M _p	M _n	M	w	W _{lim}	S _m	e _{sm}
1	0,20	8,04	8,04	58,29	-58,29	33,20	0,00	100,00	0,00	0,00000
2	0,76	8,04	10,05	58,41	-59,05	-3,84	0,00	100,00	0,00	0,00000
3	1,40	8,04	8,04	58,29	-58,29	-18,72	0,00	100,00	0,00	0,00000
4	2,04	8,04	10,05	58,41	-59,05	-5,39	0,00	100,00	0,00	0,00000
5	2,60	8,04	8,04	58,29	-58,29	31,23	0,00	100,00	0,00	0,00000

Verifica fessurazione traverso [Combinazione n° 26 - SLE (Rara) - Sisma Vert. negativo]

N°	X	A _{fi}	A _{fs}	M _p	M _n	M	w	W _{lim}	S _m	e _{sm}
1	0,20	12,72	12,72	60,36	-60,36	-25,97	0,00	100,00	0,00	0,00000
2	0,73	12,72	12,72	60,36	-60,36	1,50	0,00	100,00	0,00	0,00000
3	1,40	12,72	12,72	60,36	-60,36	13,63	0,00	100,00	0,00	0,00000
4	2,00	12,72	12,72	60,36	-60,36	3,46	0,00	100,00	0,00	0,00000
5	2,60	12,72	12,72	60,36	-60,36	-26,70	0,00	100,00	0,00	0,00000

Verifica fessurazione piedritto sinistro [Combinazione n° 26 - SLE (Rara) - Sisma Vert. negativo]

N°	X	A _{fi}	A _{fs}	M _p	M _n	M	w	W _{lim}	S _m	e _{sm}
1	0,20	14,07	14,07	60,96	-60,96	-33,20	0,00	100,00	0,00	0,00000
2	1,40	14,07	14,07	60,96	-60,96	13,45	0,00	100,00	0,00	0,00000
3	2,60	14,07	14,07	60,96	-60,96	-25,97	0,00	100,00	0,00	0,00000

Verifica fessurazione piedritto destro [Combinazione n° 26 - SLE (Rara) - Sisma Vert. negativo]

N°	X	A _{fi}	A _{fs}	M _p	M _n	M	w	W _{lim}	S _m	e _{sm}
1	0,20	14,07	14,07	60,96	-60,96	-31,23	0,00	100,00	0,00	0,00000
2	1,40	14,07	14,07	60,96	-60,96	12,69	0,00	100,00	0,00	0,00000
3	2,60	14,07	14,07	60,96	-60,96	-26,70	0,00	100,00	0,00	0,00000

Verifica fessurazione fondazione [Combinazione n° 27 - SLE (Rara) - Sisma Vert. positivo]

N°	X	A _{fi}	A _{fs}	M _p	M _n	M	w	W _{lim}	S _m	e _{sm}
1	0,20	8,04	8,04	58,29	-58,29	32,57	0,00	100,00	0,00	0,00000
2	0,76	8,04	10,05	58,41	-59,05	-6,53	0,00	100,00	0,00	0,00000
3	1,40	8,04	8,04	58,29	-58,29	-20,81	0,00	100,00	0,00	0,00000

4	2,04	8,04	10,05	58,41	-59,05	-4,99	0,00	100,00	0,00	0,00000
5	2,60	8,04	8,04	58,29	-58,29	34,52	0,00	100,00	0,00	0,00000

Verifica fessurazione traverso [Combinazione n° 27 - SLE (Rara) - Sisma Vert. positivo]

N°	X	A _{fi}	A _{fs}	M _p	M _n	M	w	W _{lim}	S _m	e _{sm}
1	0,20	12,72	12,72	60,36	-60,36	-26,91	0,00	100,00	0,00	0,00000
2	0,73	12,72	12,72	60,36	-60,36	1,68	0,00	100,00	0,00	0,00000
3	1,40	12,72	12,72	60,36	-60,36	14,58	0,00	100,00	0,00	0,00000
4	2,00	12,72	12,72	60,36	-60,36	4,49	0,00	100,00	0,00	0,00000
5	2,60	12,72	12,72	60,36	-60,36	-26,17	0,00	100,00	0,00	0,00000

Verifica fessurazione piedritto sinistro [Combinazione n° 27 - SLE (Rara) - Sisma Vert. positivo]

N°	X	A _{fi}	A _{fs}	M _p	M _n	M	w	W _{lim}	S _m	e _{sm}
1	0,20	14,07	14,07	60,96	-60,96	-32,57	0,00	100,00	0,00	0,00000
2	1,40	14,07	14,07	60,96	-60,96	11,95	0,00	100,00	0,00	0,00000
3	2,60	14,07	14,07	60,96	-60,96	-26,91	0,00	100,00	0,00	0,00000

Verifica fessurazione piedritto destro [Combinazione n° 27 - SLE (Rara) - Sisma Vert. positivo]

N°	X	A _{fi}	A _{fs}	M _p	M _n	M	w	W _{lim}	S _m	e _{sm}
1	0,20	14,07	14,07	60,96	-60,96	-34,52	0,00	100,00	0,00	0,00000
2	1,40	14,07	14,07	60,96	-60,96	12,69	0,00	100,00	0,00	0,00000
3	2,60	14,07	14,07	60,96	-60,96	-26,17	0,00	100,00	0,00	0,00000

Verifica fessurazione fondazione [Combinazione n° 28 - SLE (Rara) - Sisma Vert. negativo]

N°	X	A _{fi}	A _{fs}	M _p	M _n	M	w	W _{lim}	S _m	e _{sm}
1	0,20	8,04	8,04	58,29	-58,29	31,23	0,00	100,00	0,00	0,00000
2	0,76	8,04	10,05	58,41	-59,05	-5,39	0,00	100,00	0,00	0,00000
3	1,40	8,04	8,04	58,29	-58,29	-18,72	0,00	100,00	0,00	0,00000
4	2,04	8,04	10,05	58,41	-59,05	-3,84	0,00	100,00	0,00	0,00000
5	2,60	8,04	8,04	58,29	-58,29	33,19	0,00	100,00	0,00	0,00000

Verifica fessurazione traverso [Combinazione n° 28 - SLE (Rara) - Sisma Vert. negativo]

N°	X	A _{fi}	A _{fs}	M _p	M _n	M	w	W _{lim}	S _m	e _{sm}
1	0,20	12,72	12,72	60,36	-60,36	-26,70	0,00	100,00	0,00	0,00000
2	0,73	12,72	12,72	60,36	-60,36	1,09	0,00	100,00	0,00	0,00000
3	1,40	12,72	12,72	60,36	-60,36	13,63	0,00	100,00	0,00	0,00000
4	2,00	12,72	12,72	60,36	-60,36	3,82	0,00	100,00	0,00	0,00000
5	2,60	12,72	12,72	60,36	-60,36	-25,96	0,00	100,00	0,00	0,00000

Verifica fessurazione piedritto sinistro [Combinazione n° 28 - SLE (Rara) - Sisma Vert. negativo]

N°	X	A _{fi}	A _{fs}	M _p	M _n	M	w	W _{lim}	S _m	e _{sm}
1	0,20	14,07	14,07	60,96	-60,96	-31,23	0,00	100,00	0,00	0,00000
2	1,40	14,07	14,07	60,96	-60,96	12,69	0,00	100,00	0,00	0,00000
3	2,60	14,07	14,07	60,96	-60,96	-26,70	0,00	100,00	0,00	0,00000

Verifica fessurazione piedritto destro [Combinazione n° 28 - SLE (Rara) - Sisma Vert. negativo]

N°	X	A_{fi}	A_{fs}	M_p	M_n	M	w	W_{lim}	S_m	e_{sm}
1	0,20	14,07	14,07	60,96	-60,96	-33,19	0,00	100,00	0,00	0,00000
2	1,40	14,07	14,07	60,96	-60,96	13,45	0,00	100,00	0,00	0,00000
3	2,60	14,07	14,07	60,96	-60,96	-25,96	0,00	100,00	0,00	0,00000

Inviluppo spostamenti nodali

Inviluppo spostamenti fondazione

X [m]	u _{Xmin} [cm]	u _{Xmax} [cm]	u _{Ymin} [cm]	u _{Ymax} [cm]
0,20	-0,1010	0,1029	0,0482	0,1574
0,76	-0,1014	0,1024	0,0508	0,1505
1,40	-0,1019	0,1019	0,0529	0,1457
2,04	-0,1024	0,1014	0,0508	0,1505
2,50	-0,1029	0,1010	0,0482	0,1574

Inviluppo spostamenti traverso

X [m]	u _{Xmin} [cm]	u _{Xmax} [cm]	u _{Ymin} [cm]	u _{Ymax} [cm]
0,20	-0,1196	0,1214	0,0495	0,1607
0,73	-0,1200	0,1210	0,0523	0,1660
1,40	-0,1205	0,1205	0,0566	0,1705
2,00	-0,1210	0,1201	0,0527	0,1668
2,60	-0,1214	0,1196	0,0495	0,1607

Inviluppo spostamenti piedritto sinistro

Y [m]	u _{Xmin} [cm]	u _{Xmax} [cm]	u _{Ymin} [cm]	u _{Ymax} [cm]
0,20	-0,1010	0,1029	0,0482	0,1574
1,40	-0,1048	0,1187	0,0489	0,1591
2,60	-0,1196	0,1214	0,0495	0,1607

Inviluppo spostamenti piedritto destro

Y [m]	u _{Xmin} [cm]	u _{Xmax} [cm]	u _{Ymin} [cm]	u _{Ymax} [cm]
0,20	-0,1029	0,1010	0,0482	0,1574
1,40	-0,1187	0,1048	0,0489	0,1591
2,60	-0,1214	0,1196	0,0495	0,1607

Inviluppo sollecitazioni nodali

Inviluppo sollecitazioni fondazione

X [m]	M _{min} [kNm]	M _{max} [kNm]	V _{min} [kN]	V _{max} [kN]	N _{min} [kN]	N _{max} [kN]
0,20	-68,00	-28,62	-193,91	-78,34	57,05	148,49
0,76	-4,34	15,70	-94,61	-36,27	57,05	148,49
1,40	11,56	47,77	-0,70	8,11	57,05	148,49
2,04	-4,34	15,70	43,53	108,03	57,05	148,49
2,60	-67,99	-28,62	77,20	191,34	57,05	148,49

Inviluppo sollecitazioni traverso

X [m]	M _{min} [kNm]	M _{max} [kNm]	V _{min} [kN]	V _{max} [kN]	N _{min} [kN]	N _{max} [kN]
0,20	-60,13	-22,25	61,41	168,46	40,05	130,89
0,73	-5,61	10,48	33,87	93,59	40,05	130,89
1,40	6,25	40,95	-0,68	0,68	40,05	130,89
2,00	-3,39	15,68	-84,23	-30,42	40,05	130,89
2,60	-60,13	-22,24	-168,46	-61,41	40,05	130,89

Inviluppo sollecitazioni piedritto sinistro

Y [m]	M _{min} [kNm]	M _{max} [kNm]	V _{min} [kN]	V _{max} [kN]	N _{min} [kN]	N _{max} [kN]
0,20	-68,00	-28,62	57,11	148,64	80,61	199,06
1,40	-0,58	26,40	-2,05	3,15	71,01	183,76
2,60	-60,13	-22,25	-130,89	-40,05	61,41	168,46

Inviluppo sollecitazioni piedritto destro

Y [m]	M _{min} [kNm]	M _{max} [kNm]	V _{min} [kN]	V _{max} [kN]	N _{min} [kN]	N _{max} [kN]
0,20	-67,99	-28,62	-148,64	-57,11	80,60	199,05
1,40	-0,57	26,40	-3,15	2,05	71,01	183,75
2,60	-60,13	-22,24	40,05	130,89	61,41	168,46

Inviluppo pressioni terreno

Inviluppo pressioni sul terreno di fondazione

X [m]	S _{tmin} [kg/cmq]	S _{tmax} [kg/cmq]
0,20	0,48	1,57
0,76	0,51	1,51
1,40	0,53	1,46
2,04	0,51	1,51
2,60	0,48	1,57

Inviluppo verifiche stato limite ultimo (SLU)

Verifica sezioni fondazione (Inviluppo)

Base sezione B = 100 cm
 Altezza sezione H = 40,00 cm

X	A _{fi}	A _{fs}	CS
0,20	8,04	8,04	2,43
0,76	8,04	10,05	5,57
1,40	8,04	8,04	4,25
2,04	8,04	10,05	5,21
2,60	8,04	8,04	2,43

X	V _{Rd}	V _{Rsd}	V _{Rcd}	A _{sw}
0,20	0,00	204,45	1470,63	2,01
0,76	173,53	0,00	0,00	0,00
1,40	173,53	0,00	0,00	0,00
2,04	173,53	0,00	0,00	0,00
2,60	0,00	204,45	1470,63	2,01

Verifica sezioni traverso (Inviluppo)

Base sezione B = 100 cm
 Altezza sezione H = 40,00 cm

X	A _{fi}	A _{fs}	CS
0,20	12,72	12,72	4,16

0,73	12,72	12,72	8,54
1,40	12,72	12,72	7,92
2,00	12,72	12,72	7,92
2,60	12,72	12,72	4,16

X	V _{Rd}	V _{Rsd}	V _{Rcd}	A _{sw}
0,20	175,65	0,00	0,00	0,00
0,73	175,65	0,00	0,00	0,00
1,40	175,65	0,00	0,00	0,00
2,00	175,65	0,00	0,00	0,00
2,60	175,65	0,00	0,00	0,00

Verifica sezioni piedritto sinistro (Inviluppo)

Base sezione B = 100 cm
 Altezza sezione H = 40,00 cm

Y	A _{fi}	A _{fs}	CS
0,20	14,07	14,07	4,86
1,40	14,07	14,07	11,77
2,60	14,07	14,07	4,33

Y	V _{Rd}	V _{Rsd}	V _{Rcd}	A _{sw}
0,20	191,61	0,00	0,00	0,00
1,40	189,60	0,00	0,00	0,00
2,60	187,59	0,00	0,00	0,00

Verifica sezioni piedritto destro (Inviluppo)

Base sezione B = 100 cm
 Altezza sezione H = 40,00 cm

Y	A _{fi}	A _{fs}	CS
0,20	14,07	14,07	4,86
1,40	14,07	14,07	11,77
2,60	14,07	14,07	4,33

Y	V _{Rd}	V _{Rsd}	V _{Rcd}	A _{sw}
0,20	191,61	0,00	0,00	0,00
1,40	189,60	0,00	0,00	0,00
2,60	187,59	0,00	0,00	0,00

Inviluppo verifiche stato limite esercizio (SLE)

Verifica sezioni fondazione (Inviluppo)

Base sezione B = 100 cm
 Altezza sezione H = 40,00 cm

X	A _{fi}	A _{fs}	S _c	S _{fi}	S _{fs}
0,20	8,04	8,04	37,61	1321,32	294,75
0,76	8,04	10,05	6,99	88,02	61,90

1,40	8,04	8,04	25,58	225,06	726,65
2,04	8,04	10,05	6,99	88,03	61,91
2,60	8,04	8,04	37,60	1321,20	294,74

X	t _c	A _{sw}
0,20	-5,0	2,01
0,76	-2,4	0,00
1,40	0,2	0,00
2,04	2,8	0,00
2,60	4,9	2,01

Verifica sezioni traverso (Inviluppo)

Base sezione B = 100 cm

Altezza sezione H = 40,00 cm

X	A _{fi}	A _{fs}	S _c	S _{fi}	S _{fs}
0,20	12,72	12,72	27,24	241,18	763,67
0,73	12,72	12,72	4,59	19,72	60,15
1,40	12,72	12,72	18,21	403,65	176,47
2,00	12,72	12,72	6,48	62,16	80,11
2,60	12,72	12,72	27,24	241,17	763,59

X	t _c	A _{sw}
0,20	4,3	0,00
0,73	2,4	0,00
1,40	0,0	0,00
2,00	-2,1	0,00
2,60	-4,3	0,00

Verifica sezioni piedritto sinistro (Inviluppo)

Base sezione B = 100 cm

Altezza sezione H = 40,00 cm

Y	A _{fi}	A _{fs}	S _c	S _{fi}	S _{fs}
0,20	14,07	14,07	29,69	285,16	676,11
1,40	14,07	14,07	8,44	79,69	105,59
2,60	14,07	14,07	26,08	248,16	610,31

Y	t _c	A _{sw}
0,20	3,8	0,00
1,40	0,1	0,00
2,60	-3,4	0,00

Verifica sezioni piedritto destro (Inviluppo)

Base sezione B = 100 cm

Altezza sezione H = 40,00 cm

Y	A _{fi}	A _{fs}	S _c	S _{fi}	S _{fs}
0,20	14,07	14,07	29,69	285,15	676,05
1,40	14,07	14,07	8,44	79,72	105,61

2,60	14,07	14,07	26,08	248,14	610,25
------	-------	-------	-------	--------	--------

Y	fc	A_{sw}
0,20	-3,8	0,00
1,40	-0,1	0,00
2,60	3,4	0,00

Verifiche geotecniche

*Simbologia adottata**IC* Indice della combinazione*N_c, N_q, N_g* Fattori di capacità portante*N_c, N_q, N_g* Fattori di capacità portante corretti per effetto forma, inclinazione del carico, affondamento, etc.*qu* Portanza ultima del terreno, espressa in [kg/cmq]*Q_U* Portanza ultima del terreno, espressa in [kN]/m*Q_Y* Carico verticale al piano di posa, espressa in [kN]/m*FS* Fattore di sicurezza a carico limite

IC	N_c	N_q	N_g	N'_c	N'_q	N'_g	qu	Q_U	Q_Y	FS
1	50,59	37,75	40,05	71,68	47,47	40,05	414,00	113681,24	265,13	428,78
2	50,59	37,75	40,05	71,68	47,47	40,05	392,77	107850,47	315,83	341,48
3	50,59	37,75	40,05	71,68	47,47	40,05	392,77	107850,47	354,51	304,22
4	50,59	37,75	40,05	49,28	33,03	23,92	276,87	76025,32	216,30	351,49
5	50,59	37,75	40,05	48,59	32,58	23,46	271,65	74591,89	181,54	410,88
6	50,59	37,75	40,05	52,72	35,25	26,26	280,95	77147,07	161,73	477,01
7	50,59	37,75	40,05	52,05	34,82	25,80	275,31	75597,16	126,98	595,36
8	50,59	37,75	40,05	49,28	33,03	23,92	276,87	76025,22	216,30	351,49
9	50,59	37,75	40,05	48,59	32,58	23,46	271,65	74591,62	181,54	410,88
10	50,59	37,75	40,05	52,72	35,25	26,26	280,95	77146,86	161,73	477,00
11	50,59	37,75	40,05	52,05	34,82	25,80	275,31	75596,67	126,98	595,36

Schema Strutturale

Area ed Inerzia elementi

Destinazione	Area [cmq]	Inerzia [cm⁴]
Fondazione	4000,00	533333,33
Piedritto sinistro	4000,00	533333,33
Piedritto destro	4000,00	533333,33
Traverso	4000,00	533333,33

Simbologia adottata ed unità di misura

N	indice elemento
N_i	indice nodo iniziale elemento
N_j	indice nodo finale elemento
(X_i, Y_i)	coordinate nodo iniziale, espresse in cm
(X_j, Y_j)	coordinate nodo finale, espresse in cm
$Dest$	appartenenza elemento

N	N_i	N_j	X_i	Y_i	X_j	Y_j	Dest
1	1	2	20,00	20,00	26,67	20,00	Fond
2	2	3	26,67	20,00	33,33	20,00	Fond
3	3	4	33,33	20,00	40,00	20,00	Fond
4	4	5	40,00	20,00	49,09	20,00	Fond
5	5	6	49,09	20,00	58,18	20,00	Fond
6	6	7	58,18	20,00	67,27	20,00	Fond
7	7	8	67,27	20,00	76,36	20,00	Fond
8	8	9	76,36	20,00	85,45	20,00	Fond
9	9	10	85,45	20,00	94,55	20,00	Fond
10	10	11	94,55	20,00	103,64	20,00	Fond
11	11	12	103,64	20,00	112,73	20,00	Fond
12	12	13	112,73	20,00	121,82	20,00	Fond
13	13	14	121,82	20,00	130,91	20,00	Fond
14	14	15	130,91	20,00	140,00	20,00	Fond
15	15	16	140,00	20,00	149,09	20,00	Fond
16	16	17	149,09	20,00	158,18	20,00	Fond
17	17	18	158,18	20,00	167,27	20,00	Fond
18	18	19	167,27	20,00	176,36	20,00	Fond
19	19	20	176,36	20,00	185,45	20,00	Fond
20	20	21	185,45	20,00	194,55	20,00	Fond
21	21	22	194,55	20,00	203,64	20,00	Fond
22	22	23	203,64	20,00	212,73	20,00	Fond
23	23	24	212,73	20,00	221,82	20,00	Fond
24	24	25	221,82	20,00	230,91	20,00	Fond
25	25	26	230,91	20,00	240,00	20,00	Fond
26	26	27	240,00	20,00	250,00	20,00	Fond
27	27	28	250,00	20,00	260,00	20,00	Fond
28	1	59	20,00	20,00	20,00	26,67	PiedL
29	59	60	20,00	26,67	20,00	33,33	PiedL
30	60	61	20,00	33,33	20,00	40,00	PiedL
31	61	62	20,00	40,00	20,00	49,09	PiedL
32	62	63	20,00	49,09	20,00	58,18	PiedL
33	63	64	20,00	58,18	20,00	67,27	PiedL
34	64	65	20,00	67,27	20,00	76,36	PiedL
35	65	66	20,00	76,36	20,00	85,45	PiedL
36	66	67	20,00	85,45	20,00	94,55	PiedL
37	67	68	20,00	94,55	20,00	103,64	PiedL
38	68	69	20,00	103,64	20,00	112,73	PiedL
39	69	70	20,00	112,73	20,00	121,82	PiedL
40	70	71	20,00	121,82	20,00	130,91	PiedL

41	71	72	20,00	130,91	20,00	140,00	PiedL
42	72	73	20,00	140,00	20,00	147,50	PiedL
43	73	74	20,00	147,50	20,00	155,00	PiedL
44	74	75	20,00	155,00	20,00	162,50	PiedL
45	75	76	20,00	162,50	20,00	170,00	PiedL
46	76	77	20,00	170,00	20,00	180,00	PiedL
47	77	78	20,00	180,00	20,00	190,00	PiedL
48	78	79	20,00	190,00	20,00	200,00	PiedL
49	79	80	20,00	200,00	20,00	210,00	PiedL
50	80	81	20,00	210,00	20,00	220,00	PiedL
51	81	82	20,00	220,00	20,00	230,00	PiedL
52	82	83	20,00	230,00	20,00	240,00	PiedL
53	83	84	20,00	240,00	20,00	250,00	PiedL
54	84	163	20,00	250,00	20,00	260,00	PiedL
55	28	111	260,00	20,00	260,00	26,67	PiedR
56	111	112	260,00	26,67	260,00	33,33	PiedR
57	112	113	260,00	33,33	260,00	40,00	PiedR
58	113	114	260,00	40,00	260,00	49,09	PiedR
59	114	115	260,00	49,09	260,00	58,18	PiedR
60	115	116	260,00	58,18	260,00	67,27	PiedR
61	116	117	260,00	67,27	260,00	76,36	PiedR
62	117	118	260,00	76,36	260,00	85,45	PiedR
63	118	119	260,00	85,45	260,00	94,55	PiedR
64	119	120	260,00	94,55	260,00	103,64	PiedR
65	120	121	260,00	103,64	260,00	112,73	PiedR
66	121	122	260,00	112,73	260,00	121,82	PiedR
67	122	123	260,00	121,82	260,00	130,91	PiedR
68	123	124	260,00	130,91	260,00	140,00	PiedR
69	124	125	260,00	140,00	260,00	147,50	PiedR
70	125	126	260,00	147,50	260,00	155,00	PiedR
71	126	127	260,00	155,00	260,00	162,50	PiedR
72	127	128	260,00	162,50	260,00	170,00	PiedR
73	128	129	260,00	170,00	260,00	180,00	PiedR
74	129	130	260,00	180,00	260,00	190,00	PiedR
75	130	131	260,00	190,00	260,00	200,00	PiedR
76	131	132	260,00	200,00	260,00	210,00	PiedR
77	132	133	260,00	210,00	260,00	220,00	PiedR
78	133	134	260,00	220,00	260,00	230,00	PiedR
79	134	135	260,00	230,00	260,00	240,00	PiedR
80	135	136	260,00	240,00	260,00	250,00	PiedR
81	136	176	260,00	250,00	260,00	260,00	PiedR
82	163	164	20,00	260,00	40,00	260,00	Trav
83	164	165	40,00	260,00	56,67	260,00	Trav
84	165	166	56,67	260,00	73,33	260,00	Trav
85	166	167	73,33	260,00	90,00	260,00	Trav
86	167	168	90,00	260,00	106,67	260,00	Trav
87	168	169	106,67	260,00	123,33	260,00	Trav
88	169	170	123,33	260,00	140,00	260,00	Trav
89	170	171	140,00	260,00	160,00	260,00	Trav
90	171	172	160,00	260,00	180,00	260,00	Trav
91	172	173	180,00	260,00	200,00	260,00	Trav
92	173	174	200,00	260,00	220,00	260,00	Trav
93	174	175	220,00	260,00	240,00	260,00	Trav
94	175	176	240,00	260,00	260,00	260,00	Trav
95	1	29	20,00	20,00	20,00	-80,00	MollaF
96	2	30	26,67	20,00	26,67	-80,00	MollaF
97	3	31	33,33	20,00	33,33	-80,00	MollaF
98	4	32	40,00	20,00	40,00	-80,00	MollaF
99	5	33	49,09	20,00	49,09	-80,00	MollaF
100	6	34	58,18	20,00	58,18	-80,00	MollaF
101	7	35	67,27	20,00	67,27	-80,00	MollaF
102	8	36	76,36	20,00	76,36	-80,00	MollaF

103	9	37	85,45	20,00	85,45	-80,00	MollaF
104	10	38	94,55	20,00	94,55	-80,00	MollaF
105	11	39	103,64	20,00	103,64	-80,00	MollaF
106	12	40	112,73	20,00	112,73	-80,00	MollaF
107	13	41	121,82	20,00	121,82	-80,00	MollaF
108	14	42	130,91	20,00	130,91	-80,00	MollaF
109	15	43	140,00	20,00	140,00	-80,00	MollaF
110	16	44	149,09	20,00	149,09	-80,00	MollaF
111	17	45	158,18	20,00	158,18	-80,00	MollaF
112	18	46	167,27	20,00	167,27	-80,00	MollaF
113	19	47	176,36	20,00	176,36	-80,00	MollaF
114	20	48	185,45	20,00	185,45	-80,00	MollaF
115	21	49	194,55	20,00	194,55	-80,00	MollaF
116	22	50	203,64	20,00	203,64	-80,00	MollaF
117	23	51	212,73	20,00	212,73	-80,00	MollaF
118	24	52	221,82	20,00	221,82	-80,00	MollaF
119	25	53	230,91	20,00	230,91	-80,00	MollaF
120	26	54	240,00	20,00	240,00	-80,00	MollaF
121	27	55	250,00	20,00	250,00	-80,00	MollaF
122	28	56	260,00	20,00	260,00	-80,00	MollaF
123	1	57	20,00	20,00	-80,00	20,00	MollaPL
124	59	85	20,00	26,67	-80,00	26,67	MollaPL
125	60	86	20,00	33,33	-80,00	33,33	MollaPL
126	61	87	20,00	40,00	-80,00	40,00	MollaPL
127	62	88	20,00	49,09	-80,00	49,09	MollaPL
128	63	89	20,00	58,18	-80,00	58,18	MollaPL
129	64	90	20,00	67,27	-80,00	67,27	MollaPL
130	65	91	20,00	76,36	-80,00	76,36	MollaPL
131	66	92	20,00	85,45	-80,00	85,45	MollaPL
132	67	93	20,00	94,55	-80,00	94,55	MollaPL
133	68	94	20,00	103,64	-80,00	103,64	MollaPL
134	69	95	20,00	112,73	-80,00	112,73	MollaPL
135	70	96	20,00	121,82	-80,00	121,82	MollaPL
136	71	97	20,00	130,91	-80,00	130,91	MollaPL
137	72	98	20,00	140,00	-80,00	140,00	MollaPL
138	73	99	20,00	147,50	-80,00	147,50	MollaPL
139	74	100	20,00	155,00	-80,00	155,00	MollaPL
140	75	101	20,00	162,50	-80,00	162,50	MollaPL
141	76	102	20,00	170,00	-80,00	170,00	MollaPL
142	77	103	20,00	180,00	-80,00	180,00	MollaPL
143	78	104	20,00	190,00	-80,00	190,00	MollaPL
144	79	105	20,00	200,00	-80,00	200,00	MollaPL
145	80	106	20,00	210,00	-80,00	210,00	MollaPL
146	81	107	20,00	220,00	-80,00	220,00	MollaPL
147	82	108	20,00	230,00	-80,00	230,00	MollaPL
148	83	109	20,00	240,00	-80,00	240,00	MollaPL
149	84	110	20,00	250,00	-80,00	250,00	MollaPL
150	163	177	20,00	260,00	-80,00	260,00	MollaPL
151	28	58	260,00	20,00	360,00	20,00	MollaPR
152	111	137	260,00	26,67	360,00	26,67	MollaPR
153	112	138	260,00	33,33	360,00	33,33	MollaPR
154	113	139	260,00	40,00	360,00	40,00	MollaPR
155	114	140	260,00	49,09	360,00	49,09	MollaPR
156	115	141	260,00	58,18	360,00	58,18	MollaPR
157	116	142	260,00	67,27	360,00	67,27	MollaPR
158	117	143	260,00	76,36	360,00	76,36	MollaPR
159	118	144	260,00	85,45	360,00	85,45	MollaPR
160	119	145	260,00	94,55	360,00	94,55	MollaPR
161	120	146	260,00	103,64	360,00	103,64	MollaPR
162	121	147	260,00	112,73	360,00	112,73	MollaPR
163	122	148	260,00	121,82	360,00	121,82	MollaPR
164	123	149	260,00	130,91	360,00	130,91	MollaPR

165	124	150	260,00	140,00	360,00	140,00	MollaPR
166	125	151	260,00	147,50	360,00	147,50	MollaPR
167	126	152	260,00	155,00	360,00	155,00	MollaPR
168	127	153	260,00	162,50	360,00	162,50	MollaPR
169	128	154	260,00	170,00	360,00	170,00	MollaPR
170	129	155	260,00	180,00	360,00	180,00	MollaPR
171	130	156	260,00	190,00	360,00	190,00	MollaPR
172	131	157	260,00	200,00	360,00	200,00	MollaPR
173	132	158	260,00	210,00	360,00	210,00	MollaPR
174	133	159	260,00	220,00	360,00	220,00	MollaPR
175	134	160	260,00	230,00	360,00	230,00	MollaPR
176	135	161	260,00	240,00	360,00	240,00	MollaPR
177	136	162	260,00	250,00	360,00	250,00	MollaPR
178	176	178	260,00	260,00	360,00	260,00	MollaPR

ALLEGATO 2: SCATOLARE 2,50x2,50

Geometria scatolare

Descrizione: Scatolare semplice

Altezza esterna	3,50	[m]
Larghezza esterna	3,50	[m]
Lunghezza mensola di fondazione sinistra	0,00	[m]
Lunghezza mensola di fondazione destra	0,00	[m]
Spessore piedritto sinistro	0,50	[m]
Spessore piedritto destro	0,50	[m]
Spessore fondazione	0,50	[m]
Spessore trasverso	0,50	[m]

Caratteristiche strati terreno

Strato di ricoprimento

Descrizione	Terreno di ricoprimento	
Spessore dello strato	2,00	[m]
Peso di volume	19,0000	[kN/mc]
Peso di volume saturo	20,0000	[kN/mc]
Angolo di attrito	35,00	[°]
Coesione	0,00	[kg/cm ²]

Strato di rinfianco

Descrizione	Terreno di rinfianco	
Peso di volume	19,0000	[kN/mc]
Peso di volume saturo	20,0000	[kN/mc]
Angolo di attrito	35,00	[°]
Angolo di attrito terreno struttura	23,00	[°]
Coesione	0,00	[kg/cm ²]
Costante di Winkler	5,00	[kg/cm ² /cm]

Strato di base

Descrizione	Terreno di base	
Peso di volume	20,0000	[kN/mc]
Peso di volume saturo	21,0000	[kN/mc]
Angolo di attrito	36,00	[°]
Angolo di attrito terreno struttura	24,00	[°]
Coesione	5,00	[kg/cm ²]
Costante di Winkler	10,00	[kg/cm ² /cm]
Tensione limite	5,00	[kg/cm ²]

Falda

Quota falda (rispetto al piano di posa)	4,50	[m]
---	------	-----

Caratteristiche materiali utilizzati

Materiale calcestruzzo

R _{ck} calcestruzzo	407,88	[kg/cm ²]
Peso specifico calcestruzzo	24,5170	[kN/mc]
Modulo elastico E	338021,17	[kg/cm ²]
Tensione di snervamento acciaio	4588,65	[kg/cm ²]
Coeff. omogeneizzazione cls teso/compresso (n')	0,50	
Coeff. omogeneizzazione acciaio/cls (n)	15,00	

Coefficiente dilatazione termica 0,0000120

Condizioni di carico

Convenzioni adottate

Origine in corrispondenza dello spigolo inferiore sinistro della struttura
 Carichi verticali positivi se diretti verso il basso
 Carichi orizzontali positivi se diretti verso destra
 Coppie concentrate positive se antiorarie
 Ascisse X (espresse in m) positive verso destra
 Ordinate Y (espresse in m) positive verso l'alto
 Carichi concentrati espressi in kN
 Coppie concentrate espressi in kNm
 Carichi distribuiti espressi in kN/m

Simbologia adottata e unità di misura

Forze concentrate

X ascissa del punto di applicazione dei carichi verticali concentrati
 Y ordinata del punto di applicazione dei carichi orizzontali concentrati
 F_y componente Y del carico concentrato
 F_x componente X del carico concentrato
 M momento

Forze distribuite

X_i, X_f ascisse del punto iniziale e finale per carichi distribuiti verticali
 Y_i, Y_f ordinate del punto iniziale e finale per carichi distribuiti orizzontali
 V_{ni} componente normale del carico distribuito nel punto iniziale
 V_{nf} componente normale del carico distribuito nel punto finale
 V_{ti} componente tangenziale del carico distribuito nel punto iniziale
 V_{tf} componente tangenziale del carico distribuito nel punto finale
 D_{te} variazione termica lembo esterno espressa in gradi centigradi
 D_{ti} variazione termica lembo interno espressa in gradi centigradi

Condizione di carico n°1 (Peso Proprio)

Condizione di carico n°2 (Spinta terreno sinistra)

Condizione di carico n°3 (Spinta terreno destra)

Condizione di carico n°4 (Sisma da sinistra)

Condizione di carico n°5 (Sisma da destra)

Condizione di carico n°6 (Spinta falda)

Condizione di carico n° 7 (Pavimentazione stradale)

Distr	Terreno	$X_i = -3,50$	$X_f = 7,50$	$V_{ni} = 17,36$	$V_{nf} = 17,36$		
-------	---------	---------------	--------------	------------------	------------------	--	--

Condizione di carico n° 8 (CARICO IDROSTATICO liquido int.)

Distr	Fondaz.	$X_i = 0,50$	$X_f = 3,00$	$V_{ni} = 19,42$	$V_{nf} = 19,42$	$V_{ti} = 0,00$	$V_{tf} = 0,00$
Distr	Pied_S	$Y_i = 0,50$	$Y_f = 2,30$	$V_{ni} = -19,42$	$V_{nf} = 0,00$	$V_{ti} = 0,00$	$V_{tf} = 0,00$
Distr	Pied_D	$Y_i = 0,50$	$Y_f = 2,30$	$V_{ni} = 19,42$	$V_{nf} = 0,00$	$V_{ti} = 0,00$	$V_{tf} = 0,00$

Condizione di carico n° 9 (Traffico stradale)

Distr	Terreno	$X_i = 0,00$	$X_f = 3,50$	$V_{ni} = 87,13$	$V_{nf} = 87,13$		
Distr	Pied_S	$Y_i = 0,00$	$Y_f = 3,50$	$V_{ni} = 23,40$	$V_{nf} = 23,40$	$V_{ti} = 0,00$	$V_{tf} = 0,00$
Distr	Pied_D	$Y_i = 0,00$	$Y_f = 3,50$	$V_{ni} = -23,40$	$V_{nf} = -23,40$	$V_{ti} = 0,00$	$V_{tf} = 0,00$

Verifica materiali:**Stato Limite Ultimo**

Coefficiente di sicurezza calcestruzzo g_c	1.50
Fattore riduzione da resistenza cubica a cilindrica	0.83
Fattore di riduzione per carichi di lungo periodo	0.85
Coefficiente di sicurezza acciaio	1.15
Coefficiente di sicurezza per la sezione	1.00

Verifica Taglio - Metodo dell'inclinazione variabile del traliccio

$$V_{Rd} = [0.18 * k * (100.0 * r_1 * f_{ck})^{1/3} / g_c + 0.15 * s_{cp}] * b_w * d > (v_{min} + 0.15 * s_{cp}) * b_w * d$$

$$V_{Rsd} = 0.9 * d * A_{sw} / s * f_{yd} * (ctg\alpha + ctg\theta) * \sin\alpha$$

$$V_{Rcd} = 0.9 * d * b_w * a_c * f_{cd} * (ctg(\theta) + ctg(\alpha)) / (1.0 + ctg\theta^2)$$

con:

d	altezza utile sezione [mm]
b_w	larghezza minima sezione [mm]
s_{cp}	tensione media di compressione [N/mm ²]
r_1	rapporto geometrico di armatura
A_{sw}	area armatura trasversale [mm ²]
s	interasse tra due armature trasversali consecutive [mm]
a_c	coefficiente maggiorativo, funzione di f_{cd} e s_{cp}

$$f_{cd} = 0.5 * f_{cd}$$

$$k = 1 + (200/d)^{1/2}$$

$$v_{min} = 0.035 * k^{3/2} * f_{ck}^{1/2}$$

Stato Limite di EsercizioCriteri di scelta per verifiche tensioni di esercizio:

Ambiente moderatamente aggressivo

Limite tensioni di compressione nel calcestruzzo (comb. rare) 0.60 f_{ck} Limite tensioni di compressione nel calcestruzzo (comb. quasi perm.) 0.45 f_{ck} Limite tensioni di trazione nell'acciaio (comb. rare) 0.80 f_{yk} Criteri verifiche a fessurazione:

Armatura poco sensibile

Apertura limite fessure espresse in [mm]

Apertura limite fessure $w_1=0,20 w_2=0,30 w_3=0,40$

Metodo di calcolo aperture delle fessure:

- NTC 2018 - C4.1.2.2.4.5

Resistenza a trazione per **Flessione**Verifiche secondo :

Norme Tecniche 2018 - Approccio 2

Copriferro sezioni 5,00 [cm]

Descrizione combinazioni di carico

Simbologia adottata

g	Coefficiente di partecipazione della condizione
Y	Coefficiente di combinazione della condizione
C	Coefficiente totale di partecipazione della condizione

Norme Tecniche 2018

Simbologia adottata

g_{G1sfav}	Coefficiente parziale sfavorevole sulle azioni permanenti
g_{G1fav}	Coefficiente parziale favorevole sulle azioni permanenti

g_{G2sfav}	Coefficiente parziale sfavorevole sulle azioni permanenti non strutturali
g_{G2fav}	Coefficiente parziale favorevole sulle azioni permanenti non strutturali
g_Q	Coefficiente parziale sulle azioni variabili
g_{tanf}	Coefficiente parziale di riduzione dell'angolo di attrito drenato
$g_{c'}$	Coefficiente parziale di riduzione della coesione drenata
g_{cu}	Coefficiente parziale di riduzione della coesione non drenata
g_{qu}	Coefficiente parziale di riduzione del carico ultimo

Coefficienti di partecipazione combinazioni statiche

Coefficienti parziali per le azioni o per l'effetto delle azioni:

<i>Carichi</i>	<i>Effetto</i>		<i>A1</i>	<i>A2</i>
Permanenti	Favorevole	g_{G1fav}	1,00	1,00
Permanenti	Sfavorevole	g_{G1sfav}	1,30	1,00
Permanenti non strutturali	Favorevole	g_{G2fav}	0,80	0,80
Permanenti non strutturali	Sfavorevole	g_{G2sfav}	1,50	1,30
Variabili	Favorevole	g_{Qifav}	0,00	0,00
Variabili	Sfavorevole	g_{Qisfav}	1,50	1,30
Variabili da traffico	Favorevole	g_{Qfav}	0,00	0,00
Variabili da traffico	Sfavorevole	g_{Qsfav}	1,35	1,15
Termici	Favorevole	g_{efav}	0,00	0,00
Termici	Sfavorevole	g_{esfav}	1,20	1,20

Coefficienti parziali per i parametri geotecnici del terreno:

<i>Parametri</i>			<i>M1</i>	<i>M2</i>
Tangente dell'angolo di attrito		g_{tanf}	1,00	1,25
Coesione efficace		$g_{c'}$	1,00	1,25
Resistenza non drenata		g_{cu}	1,00	1,40
Resistenza a compressione uniassiale		g_{qu}	1,00	1,60
Peso dell'unità di volume		g_g	1,00	1,00

Coefficienti di partecipazione combinazioni sismiche

Coefficienti parziali per le azioni o per l'effetto delle azioni:

<i>Carichi</i>	<i>Effetto</i>		<i>A1</i>	<i>A2</i>
Permanenti	Favorevole	g_{G1fav}	1,00	1,00
Permanenti	Sfavorevole	g_{G1sfav}	1,00	1,00
Permanenti	Favorevole	g_{G2fav}	0,00	0,00
Permanenti	Sfavorevole	g_{G2sfav}	1,00	1,00
Variabili	Favorevole	g_{Qifav}	0,00	0,00
Variabili	Sfavorevole	g_{Qisfav}	1,00	1,00
Variabili da traffico	Favorevole	g_{Qfav}	0,00	0,00
Variabili da traffico	Sfavorevole	g_{Qsfav}	1,00	1,00
Termici	Favorevole	g_{efav}	0,00	0,00
Termici	Sfavorevole	g_{esfav}	1,00	1,00

Coefficienti parziali per i parametri geotecnici del terreno:

<i>Parametri</i>			<i>M1</i>	<i>M2</i>
Tangente dell'angolo di attrito		g_{tanf}	1,00	1,00
Coesione efficace		$g_{c'}$	1,00	1,00
Resistenza non drenata		g_{cu}	1,00	1,00
Resistenza a compressione uniassiale		g_{qu}	1,00	1,00
Peso dell'unità di volume		g_g	1,00	1,00

Combinazione n° 1 SLU (Approccio 2)

	Effetto	g	Y	C
Peso Proprio	Sfavorevole	1.30	1.00	1.30
Spinta terreno sinistra	Sfavorevole	1.30	1.00	1.30

Spinta terreno destra	Sfavorevole	1.30	1.00	1.30
Pavimentazione stradale	Sfavorevole	1.50	1.00	1.50

Combinazione n° 2 SLU (Approccio 2)

	Effetto	g	Y	C
Peso Proprio	Sfavorevole	1.30	1.00	1.30
Spinta terreno sinistra	Sfavorevole	1.30	1.00	1.30
Spinta terreno destra	Sfavorevole	1.30	1.00	1.30
Pavimentazione stradale	Sfavorevole	1.50	1.00	1.50
Spinta falda	Sfavorevole	1.50	1.00	1.50
CARICO IDROSTATICO liquido int.	Sfavorevole	1.50	1.00	1.50
Traffico stradale	Sfavorevole	1.35	0.75	1.01

Combinazione n° 3 SLU (Approccio 2)

	Effetto	g	Y	C
Peso Proprio	Sfavorevole	1.30	1.00	1.30
Spinta terreno sinistra	Sfavorevole	1.30	1.00	1.30
Spinta terreno destra	Sfavorevole	1.30	1.00	1.30
Pavimentazione stradale	Sfavorevole	1.50	1.00	1.50
Spinta falda	Sfavorevole	1.50	1.00	1.50
CARICO IDROSTATICO liquido int.	Sfavorevole	1.50	1.00	1.50
Traffico stradale	Sfavorevole	1.35	1.00	1.35

Combinazione n° 4 SLU (Approccio 2) - Sisma Vert. positivo

	Effetto	g	Y	C
Peso Proprio	Sfavorevole	1.00	1.00	1.00
Spinta terreno sinistra	Sfavorevole	1.00	1.00	1.00
Spinta terreno destra	Sfavorevole	1.00	1.00	1.00
Pavimentazione stradale	Sfavorevole	1.00	1.00	1.00
Sisma da sinistra	Sfavorevole	1.00	1.00	1.00

Combinazione n° 5 SLU (Approccio 2) - Sisma Vert. negativo

	Effetto	g	Y	C
Peso Proprio	Sfavorevole	1.00	1.00	1.00
Spinta terreno sinistra	Sfavorevole	1.00	1.00	1.00
Spinta terreno destra	Sfavorevole	1.00	1.00	1.00
Pavimentazione stradale	Sfavorevole	1.00	1.00	1.00
Sisma da sinistra	Sfavorevole	1.00	1.00	1.00

Combinazione n° 6 SLU (Approccio 2) - Sisma Vert. positivo

	Effetto	g	Y	C
Peso Proprio	Sfavorevole	1.00	1.00	1.00
Spinta terreno sinistra	Sfavorevole	1.00	1.00	1.00
Spinta terreno destra	Sfavorevole	1.00	1.00	1.00
Pavimentazione stradale	Sfavorevole	1.00	1.00	1.00
Spinta falda	Sfavorevole	1.00	1.00	1.00
CARICO IDROSTATICO liquido int.	Sfavorevole	1.00	1.00	1.00
Sisma da sinistra	Sfavorevole	1.00	1.00	1.00

Combinazione n° 7 SLU (Approccio 2) - Sisma Vert. negativo

	Effetto	g	Y	C
Peso Proprio	Sfavorevole	1.00	1.00	1.00
Spinta terreno sinistra	Sfavorevole	1.00	1.00	1.00
Spinta terreno destra	Sfavorevole	1.00	1.00	1.00
Pavimentazione stradale	Sfavorevole	1.00	1.00	1.00
Spinta falda	Sfavorevole	1.00	1.00	1.00

CARICO IDROSTATICO liquido int.Sfavorevole	1.00	1.00	1.00
Sisma da sinistra Sfavorevole	1.00	1.00	1.00

Combinazione n° 8 SLU (Approccio 2) - Sisma Vert. positivo

	Effetto	g	Y	C
Peso Proprio	Sfavorevole	1.00	1.00	1.00
Spinta terreno sinistra	Sfavorevole	1.00	1.00	1.00
Spinta terreno destra	Sfavorevole	1.00	1.00	1.00
Pavimentazione stradale	Sfavorevole	1.00	1.00	1.00
Sisma da destra	Sfavorevole	1.00	1.00	1.00

Combinazione n° 9 SLU (Approccio 2) - Sisma Vert. negativo

	Effetto	g	Y	C
Peso Proprio	Sfavorevole	1.00	1.00	1.00
Spinta terreno sinistra	Sfavorevole	1.00	1.00	1.00
Spinta terreno destra	Sfavorevole	1.00	1.00	1.00
Pavimentazione stradale	Sfavorevole	1.00	1.00	1.00
Sisma da destra	Sfavorevole	1.00	1.00	1.00

Combinazione n° 10 SLU (Approccio 2) - Sisma Vert. positivo

	Effetto	g	Y	C
Peso Proprio	Sfavorevole	1.00	1.00	1.00
Spinta terreno sinistra	Sfavorevole	1.00	1.00	1.00
Spinta terreno destra	Sfavorevole	1.00	1.00	1.00
Pavimentazione stradale	Sfavorevole	1.00	1.00	1.00
Spinta falda	Sfavorevole	1.00	1.00	1.00
CARICO IDROSTATICO liquido int.Sfavorevole	1.00	1.00	1.00	
Sisma da destra	Sfavorevole	1.00	1.00	1.00

Combinazione n° 11 SLU (Approccio 2) - Sisma Vert. negativo

	Effetto	g	Y	C
Peso Proprio	Sfavorevole	1.00	1.00	1.00
Spinta terreno sinistra	Sfavorevole	1.00	1.00	1.00
Spinta terreno destra	Sfavorevole	1.00	1.00	1.00
Pavimentazione stradale	Sfavorevole	1.00	1.00	1.00
Spinta falda	Sfavorevole	1.00	1.00	1.00
CARICO IDROSTATICO liquido int.Sfavorevole	1.00	1.00	1.00	
Sisma da destra	Sfavorevole	1.00	1.00	1.00

Combinazione n° 12 SLE (Quasi Permanente)

	Effetto	g	Y	C
Peso Proprio	Sfavorevole	1.00	1.00	1.00
Spinta terreno sinistra	Sfavorevole	1.00	1.00	1.00
Spinta terreno destra	Sfavorevole	1.00	1.00	1.00
Pavimentazione stradale	Sfavorevole	1.00	1.00	1.00
Spinta falda	Sfavorevole	1.00	1.00	1.00
CARICO IDROSTATICO liquido int.Sfavorevole	1.00	1.00	1.00	

Combinazione n° 13 SLE (Frequente)

	Effetto	g	Y	C
Peso Proprio	Sfavorevole	1.00	1.00	1.00
Spinta terreno sinistra	Sfavorevole	1.00	1.00	1.00
Spinta terreno destra	Sfavorevole	1.00	1.00	1.00
Pavimentazione stradale	Sfavorevole	1.00	1.00	1.00
Spinta falda	Sfavorevole	1.00	1.00	1.00
CARICO IDROSTATICO liquido int.Sfavorevole	1.00	1.00	1.00	

Combinazione n° 14 SLE (Frequente)

	Effetto	g	Y	C
Peso Proprio	Sfavorevole	1.00	1.00	1.00
Spinta terreno sinistra	Sfavorevole	1.00	1.00	1.00
Spinta terreno destra	Sfavorevole	1.00	1.00	1.00
Pavimentazione stradale	Sfavorevole	1.00	1.00	1.00
Traffico stradale	Sfavorevole	1.00	0.75	0.75
Spinta falda	Sfavorevole	1.00	1.00	1.00
CARICO IDROSTATICO liquido int.	Sfavorevole	1.00	1.00	1.00

Combinazione n° 15 SLE (Rara)

	Effetto	g	Y	C
Peso Proprio	Sfavorevole	1.00	1.00	1.00
Spinta terreno sinistra	Sfavorevole	1.00	1.00	1.00
Spinta terreno destra	Sfavorevole	1.00	1.00	1.00
Pavimentazione stradale	Sfavorevole	1.00	1.00	1.00
Spinta falda	Sfavorevole	1.00	1.00	1.00
CARICO IDROSTATICO liquido int.	Sfavorevole	1.00	1.00	1.00
Traffico stradale	Sfavorevole	1.00	0.75	0.75

Combinazione n° 16 SLE (Rara)

	Effetto	g	Y	C
Peso Proprio	Sfavorevole	1.00	1.00	1.00
Spinta terreno sinistra	Sfavorevole	1.00	1.00	1.00
Spinta terreno destra	Sfavorevole	1.00	1.00	1.00
Pavimentazione stradale	Sfavorevole	1.00	1.00	1.00
Traffico stradale	Sfavorevole	1.00	1.00	1.00
Spinta falda	Sfavorevole	1.00	1.00	1.00
CARICO IDROSTATICO liquido int.	Sfavorevole	1.00	1.00	1.00

Combinazione n° 17 SLE (Quasi Permanente) - Sisma Vert. positivo

	Effetto	g	Y	C
Peso Proprio	Sfavorevole	1.00	1.00	1.00
Spinta terreno sinistra	Sfavorevole	1.00	1.00	1.00
Spinta terreno destra	Sfavorevole	1.00	1.00	1.00
Pavimentazione stradale	Sfavorevole	1.00	1.00	1.00
Spinta falda	Sfavorevole	1.00	1.00	1.00
CARICO IDROSTATICO liquido int.	Sfavorevole	1.00	1.00	1.00
Sisma da sinistra	Sfavorevole	1.00	1.00	1.00

Combinazione n° 18 SLE (Quasi Permanente) - Sisma Vert. negativo

	Effetto	g	Y	C
Peso Proprio	Sfavorevole	1.00	1.00	1.00
Spinta terreno sinistra	Sfavorevole	1.00	1.00	1.00
Spinta terreno destra	Sfavorevole	1.00	1.00	1.00
Pavimentazione stradale	Sfavorevole	1.00	1.00	1.00
Spinta falda	Sfavorevole	1.00	1.00	1.00
CARICO IDROSTATICO liquido int.	Sfavorevole	1.00	1.00	1.00
Sisma da sinistra	Sfavorevole	1.00	1.00	1.00

Combinazione n° 19 SLE (Quasi Permanente) - Sisma Vert. positivo

	Effetto	g	Y	C
Peso Proprio	Sfavorevole	1.00	1.00	1.00
Spinta terreno sinistra	Sfavorevole	1.00	1.00	1.00
Spinta terreno destra	Sfavorevole	1.00	1.00	1.00

Pavimentazione stradale	Sfavorevole	1.00	1.00	1.00
Spinta falda	Sfavorevole	1.00	1.00	1.00
CARICO IDROSTATICO liquido int.	Sfavorevole	1.00	1.00	1.00
Sisma da destra	Sfavorevole	1.00	1.00	1.00

Combinazione n° 20 SLE (Quasi Permanente) - Sisma Vert. negativo

	Effetto	g	Y	C
Peso Proprio	Sfavorevole	1.00	1.00	1.00
Spinta terreno sinistra	Sfavorevole	1.00	1.00	1.00
Spinta terreno destra	Sfavorevole	1.00	1.00	1.00
Pavimentazione stradale	Sfavorevole	1.00	1.00	1.00
Spinta falda	Sfavorevole	1.00	1.00	1.00
CARICO IDROSTATICO liquido int.	Sfavorevole	1.00	1.00	1.00
Sisma da destra	Sfavorevole	1.00	1.00	1.00

Combinazione n° 21 SLE (Frequente) - Sisma Vert. positivo

	Effetto	g	Y	C
Peso Proprio	Sfavorevole	1.00	1.00	1.00
Spinta terreno sinistra	Sfavorevole	1.00	1.00	1.00
Spinta terreno destra	Sfavorevole	1.00	1.00	1.00
Pavimentazione stradale	Sfavorevole	1.00	1.00	1.00
Spinta falda	Sfavorevole	1.00	1.00	1.00
CARICO IDROSTATICO liquido int.	Sfavorevole	1.00	1.00	1.00
Sisma da sinistra	Sfavorevole	1.00	1.00	1.00

Combinazione n° 22 SLE (Frequente) - Sisma Vert. negativo

	Effetto	g	Y	C
Peso Proprio	Sfavorevole	1.00	1.00	1.00
Spinta terreno sinistra	Sfavorevole	1.00	1.00	1.00
Spinta terreno destra	Sfavorevole	1.00	1.00	1.00
Pavimentazione stradale	Sfavorevole	1.00	1.00	1.00
Spinta falda	Sfavorevole	1.00	1.00	1.00
CARICO IDROSTATICO liquido int.	Sfavorevole	1.00	1.00	1.00
Sisma da sinistra	Sfavorevole	1.00	1.00	1.00

Combinazione n° 23 SLE (Frequente) - Sisma Vert. positivo

	Effetto	g	Y	C
Peso Proprio	Sfavorevole	1.00	1.00	1.00
Spinta terreno sinistra	Sfavorevole	1.00	1.00	1.00
Spinta terreno destra	Sfavorevole	1.00	1.00	1.00
Pavimentazione stradale	Sfavorevole	1.00	1.00	1.00
Spinta falda	Sfavorevole	1.00	1.00	1.00
CARICO IDROSTATICO liquido int.	Sfavorevole	1.00	1.00	1.00
Sisma da destra	Sfavorevole	1.00	1.00	1.00

Combinazione n° 24 SLE (Frequente) - Sisma Vert. negativo

	Effetto	g	Y	C
Peso Proprio	Sfavorevole	1.00	1.00	1.00
Spinta terreno sinistra	Sfavorevole	1.00	1.00	1.00
Spinta terreno destra	Sfavorevole	1.00	1.00	1.00
Pavimentazione stradale	Sfavorevole	1.00	1.00	1.00
Spinta falda	Sfavorevole	1.00	1.00	1.00
CARICO IDROSTATICO liquido int.	Sfavorevole	1.00	1.00	1.00
Sisma da destra	Sfavorevole	1.00	1.00	1.00

Combinazione n° 25 SLE (Rara) - Sisma Vert. positivo

	Effetto	g	Y	C
Peso Proprio	Sfavorevole	1.00	1.00	1.00
Spinta terreno sinistra	Sfavorevole	1.00	1.00	1.00
Spinta terreno destra	Sfavorevole	1.00	1.00	1.00
Pavimentazione stradale	Sfavorevole	1.00	1.00	1.00
Spinta falda	Sfavorevole	1.00	1.00	1.00
CARICO IDROSTATICO liquido int.	Sfavorevole	1.00	1.00	1.00
Sisma da sinistra	Sfavorevole	1.00	1.00	1.00

Combinazione n° 26 SLE (Rara) - Sisma Vert. negativo

	Effetto	g	Y	C
Peso Proprio	Sfavorevole	1.00	1.00	1.00
Spinta terreno sinistra	Sfavorevole	1.00	1.00	1.00
Spinta terreno destra	Sfavorevole	1.00	1.00	1.00
Pavimentazione stradale	Sfavorevole	1.00	1.00	1.00
Spinta falda	Sfavorevole	1.00	1.00	1.00
CARICO IDROSTATICO liquido int.	Sfavorevole	1.00	1.00	1.00
Sisma da sinistra	Sfavorevole	1.00	1.00	1.00

Combinazione n° 27 SLE (Rara) - Sisma Vert. positivo

	Effetto	g	Y	C
Peso Proprio	Sfavorevole	1.00	1.00	1.00
Spinta terreno sinistra	Sfavorevole	1.00	1.00	1.00
Spinta terreno destra	Sfavorevole	1.00	1.00	1.00
Pavimentazione stradale	Sfavorevole	1.00	1.00	1.00
Spinta falda	Sfavorevole	1.00	1.00	1.00
CARICO IDROSTATICO liquido int.	Sfavorevole	1.00	1.00	1.00
Sisma da destra	Sfavorevole	1.00	1.00	1.00

Combinazione n° 28 SLE (Rara) - Sisma Vert. negativo

	Effetto	g	Y	C
Peso Proprio	Sfavorevole	1.00	1.00	1.00
Spinta terreno sinistra	Sfavorevole	1.00	1.00	1.00
Spinta terreno destra	Sfavorevole	1.00	1.00	1.00
Pavimentazione stradale	Sfavorevole	1.00	1.00	1.00
Spinta falda	Sfavorevole	1.00	1.00	1.00
CARICO IDROSTATICO liquido int.	Sfavorevole	1.00	1.00	1.00
Sisma da destra	Sfavorevole	1.00	1.00	1.00

Analisi della spinta e verifiche

Simbologia adottata ed unità di misura

Origine in corrispondenza dello spigolo inferiore sinistro della struttura

Le forze orizzontali sono considerate positive se agenti verso destra

Le forze verticali sono considerate positive se agenti verso il basso

X ascisse (espresse in m) positive verso destra

Y ordinate (espresse in m) positive verso l'alto

M momento espresso in kNm

V taglio espresso in kN

SN sforzo normale espresso in kN

ux spostamento direzione X espresso in cm

uy spostamento direzione Y espresso in cm

s_t pressione sul terreno espressa in kg/cmq

Tipo di analisi

Pressione in calotta

Teoria di Terzaghi

I carichi applicati sul terreno sono stati diffusi secondo **valore 30.00**

Metodo di calcolo della portanza

Hansen

Spinta sui piedritti

a Riposo [combinazione 1]
 a Riposo [combinazione 2]
 a Riposo [combinazione 3]
 a Riposo [combinazione 4]
 a Riposo [combinazione 5]
 a Riposo [combinazione 6]
 a Riposo [combinazione 7]
 a Riposo [combinazione 8]
 a Riposo [combinazione 9]
 a Riposo [combinazione 10]
 a Riposo [combinazione 11]
 a Riposo [combinazione 12]
 a Riposo [combinazione 13]
 a Riposo [combinazione 14]
 a Riposo [combinazione 15]
 a Riposo [combinazione 16]
 a Riposo [combinazione 17]
 a Riposo [combinazione 18]
 a Riposo [combinazione 19]
 a Riposo [combinazione 20]
 a Riposo [combinazione 21]
 a Riposo [combinazione 22]
 a Riposo [combinazione 23]
 a Riposo [combinazione 24]
 a Riposo [combinazione 25]
 a Riposo [combinazione 26]
 a Riposo [combinazione 27]
 a Riposo [combinazione 28]

Sisma**Identificazione del sito**

Latitudine 46.266591
 Longitudine 12.299962
 Comune Longarone
 Provincia Belluno
 Regione Veneto

Punti di interpolazione del reticolo

8975 - 8974 - 9196 - 9197

Tipo di opera

Tipo di costruzione Opera di importanza strategica
 Vita nominale 100 anni
 Classe d'uso IV - Opere strategiche ed industrie molto
 pericolose
 Vita di riferimento 200 anni

Combinazioni SLU

Accelerazione al suolo $a_g =$ 3.42 [m/s²]
 Coefficiente di amplificazione per tipo di sottosuolo (S) 1.06
 Coefficiente di amplificazione topografica (St) 1.00
 Coefficiente riduzione (b_m) 1.00
 Rapporto intensità sismica verticale/orizzontale 0.50
 Coefficiente di intensità sismica orizzontale (per cento) $k_h = (a_g/g * b_m * St * S_s) = 36.92$
 Coefficiente di intensità sismica verticale (per cento) $k_v = 0.50 * k_h = 18.46$

Combinazioni SLE

Accelerazione al suolo $a_g =$ 1.35 [m/s²]
 Coefficiente di amplificazione per tipo di sottosuolo (S) 1.20

Coefficiente di amplificazione topografica (St)	1.00
Coefficiente riduzione (b_m)	1.00
Rapporto intensità sismica verticale/orizzontale	0.50
Coefficiente di intensità sismica orizzontale (per cento)	$k_h=(a_g/g*b_m*St*Ss) = 16.51$
Coefficiente di intensità sismica verticale (per cento)	$k_v=0.50 * k_h = 8.25$
Forma diagramma incremento sismico	Rettangolare
Spinta sismica	Wood
Angolo diffusione sovraccarico	30,00 [°]

Coefficienti di spinta

N°combinazione	Statico	Sismico
1	0,426	0,000
2	0,426	0,000
3	0,426	0,000
4	0,426	1,009
5	0,426	1,009
6	0,426	1,009
7	0,426	1,009
8	0,426	1,009
9	0,426	1,009
10	0,426	1,009
11	0,426	1,009
12	0,426	0,000
13	0,426	0,000
14	0,426	0,000
15	0,426	0,000
16	0,426	0,000
17	0,426	0,601
18	0,426	0,601
19	0,426	0,601
20	0,426	0,601
21	0,426	0,601
22	0,426	0,601
23	0,426	0,601
24	0,426	0,601
25	0,426	0,601
26	0,426	0,601
27	0,426	0,601
28	0,426	0,601

Discretizzazione strutturale

Numero elementi fondazione	32
Numero elementi trasverso	18
Numero elementi piedritto sinistro	32
Numero elementi piedritto destro	32
Numero molle fondazione	33
Numero molle piedritto sinistro	33
Numero molle piedritto destro	33

Analisi della combinazione n° 1

Pressione in calotta(solo peso terreno) 4167,19 [kg/mq]

Carichi verticali in calotta

Xi	Xj	Q[kg/mq]
-14,65	-4,65	4167,19
-4,65	8,65	6361,51
8,65	18,65	4167,19

Spinte sui piedritti

Piedritto sinistro Pressione sup. 2712,70 [kg/mq] Pressione inf. 6471,75 [kg/mq]
 Piedritto destro Pressione sup. 2712,70 [kg/mq] Pressione inf. 6471,75 [kg/mq]

Analisi della combinazione n° 2

Pressione in calotta(solo peso terreno) 3201,41 [kg/mq]

Carichi verticali in calotta

Xi	Xj	Q[kg/mq]
-14,65	-4,65	3201,41
-4,65	-1,15	5395,73
-1,15	4,65	10815,38
4,65	8,65	5395,73
8,65	18,65	3201,41

Spinte sui piedritti

Piedritto sinistro Pressione sup. 4009,64 [kg/mq] Pressione inf. 6026,31 [kg/mq]
 Piedritto destro Pressione sup. 4009,64 [kg/mq] Pressione inf. 6026,31 [kg/mq]

Falda

Pressione in calotta 1300[kg/mq]
 Spinta 122,71[kN]
 Sottospinta 5850[kg/mq]

Analisi della combinazione n° 3

Pressione in calotta(solo peso terreno) 3201,41 [kg/mq]

Carichi verticali in calotta

Xi	Xj	Q[kg/mq]
-14,65	-4,65	3201,41
-4,65	-1,15	5395,73
-1,15	4,65	12621,94
4,65	8,65	5395,73
8,65	18,65	3201,41

Spinte sui piedritti

Piedritto sinistro Pressione sup. 4579,23 [kg/mq] Pressione inf. 6595,90 [kg/mq]
 Piedritto destro Pressione sup. 4579,23 [kg/mq] Pressione inf. 6595,90 [kg/mq]

Falda

Pressione in calotta 1300[kg/mq]
 Spinta 122,71[kN]
 Sottospinta 5850[kg/mq]

Analisi della combinazione n° 4

Pressione in calotta(solo peso terreno) 3205,53 [kg/mq]

Carichi verticali in calotta

Xi	Xj	Q[kg/mq]
-14,65	-4,65	3205,53
-4,65	8,65	4668,41
8,65	18,65	3205,53

Spinte sui piedritti

Piedritto sinistro Pressione sup. 1990,72 [kg/mq] Pressione inf. 4882,30 [kg/mq]
 Piedritto destro Pressione sup. 1990,72 [kg/mq] Pressione inf. 4882,30 [kg/mq]

Spinte sismiche sui piedritti

Piedritto sinistro Pressione sup. 5951,22 [kg/mq] Pressione inf. 5951,22 [kg/mq]

Analisi della combinazione n° 5

Pressione in calotta(solo peso terreno) 3205,53 [kg/mq]

Carichi verticali in calotta

Xi	Xj	Q[kg/mq]
-14,65	-4,65	3205,53
-4,65	8,65	4668,41
8,65	18,65	3205,53

Spinte sui piedritti

Piedritto sinistro Pressione sup. 1990,72 [kg/mq] Pressione inf. 4882,30 [kg/mq]
 Piedritto destro Pressione sup. 1990,72 [kg/mq] Pressione inf. 4882,30 [kg/mq]

Spinte sismiche sui piedritti

Piedritto sinistro Pressione sup. 5951,22 [kg/mq] Pressione inf. 5951,22 [kg/mq]

Analisi della combinazione n° 6

Pressione in calotta(solo peso terreno) 2462,62 [kg/mq]

Carichi verticali in calotta

Xi	Xj	Q[kg/mq]
-14,65	-4,65	2462,62
-4,65	8,65	3925,50
8,65	18,65	2462,62

Spinte sui piedritti

Piedritto sinistro Pressione sup. 1673,93 [kg/mq] Pressione inf. 3225,21 [kg/mq]
 Piedritto destro Pressione sup. 1673,93 [kg/mq] Pressione inf. 3225,21 [kg/mq]

Spinte sismiche sui piedritti

Piedritto sinistro Pressione sup. 4241,87 [kg/mq] Pressione inf. 4241,87 [kg/mq]

Falda

Pressione in calotta 1000[kg/mq]
 Spinta 94,39[kN]
 Sottospinta 4500[kg/mq]

Analisi della combinazione n° 7

Pressione in calotta(solo peso terreno) 2462,62 [kg/mq]

Carichi verticali in calotta

Xi	Xj	Q[kg/mq]
-14,65	-4,65	2462,62
-4,65	8,65	3925,50
8,65	18,65	2462,62

Spinte sui piedritti

Piedritto sinistro Pressione sup. 1673,93 [kg/mq] Pressione inf. 3225,21 [kg/mq]
 Piedritto destro Pressione sup. 1673,93 [kg/mq] Pressione inf. 3225,21 [kg/mq]

Spinte sismiche sui piedritti

Piedritto sinistro Pressione sup. 4241,87 [kg/mq] Pressione inf. 4241,87 [kg/mq]

Falda

Pressione in calotta 1000[kg/mq]
 Spinta 94,39[kN]
 Sottospinta 4500[kg/mq]

Analisi della combinazione n° 8

Pressione in calotta(solo peso terreno) 3205,53 [kg/mq]

Carichi verticali in calotta

Xi	Xj	Q[kg/mq]
-14,65	-4,65	3205,53
-4,65	8,65	4668,41
8,65	18,65	3205,53

Spinte sui piedritti

Piedritto sinistro	Pressione sup. 1990,72 [kg/mq]	Pressione inf. 4882,30 [kg/mq]
Piedritto destro	Pressione sup. 1990,72 [kg/mq]	Pressione inf. 4882,30 [kg/mq]

Spinte sismiche sui piedritti

Piedritto destro	Pressione sup. 5951,22 [kg/mq]	Pressione inf. 5951,22 [kg/mq]
------------------	--------------------------------	--------------------------------

Analisi della combinazione n° 9

Pressione in calotta(solo peso terreno) 3205,53 [kg/mq]

Carichi verticali in calotta

Xi	Xj	Q[kg/mq]
-14,65	-4,65	3205,53
-4,65	8,65	4668,41
8,65	18,65	3205,53

Spinte sui piedritti

Piedritto sinistro	Pressione sup. 1990,72 [kg/mq]	Pressione inf. 4882,30 [kg/mq]
Piedritto destro	Pressione sup. 1990,72 [kg/mq]	Pressione inf. 4882,30 [kg/mq]

Spinte sismiche sui piedritti

Piedritto destro	Pressione sup. 5951,22 [kg/mq]	Pressione inf. 5951,22 [kg/mq]
------------------	--------------------------------	--------------------------------

Analisi della combinazione n° 10

Pressione in calotta(solo peso terreno) 2462,62 [kg/mq]

Carichi verticali in calotta

Xi	Xj	Q[kg/mq]
-14,65	-4,65	2462,62
-4,65	8,65	3925,50
8,65	18,65	2462,62

Spinte sui piedritti

Piedritto sinistro	Pressione sup. 1673,93 [kg/mq]	Pressione inf. 3225,21 [kg/mq]
Piedritto destro	Pressione sup. 1673,93 [kg/mq]	Pressione inf. 3225,21 [kg/mq]

Spinte sismiche sui piedritti

Piedritto destro Pressione sup. 4241,87 [kg/mq] Pressione inf. 4241,87 [kg/mq]

Falda

Pressione in calotta 1000[kg/mq]
 Spinta 94,39[kN]
 Sottospinta 4500[kg/mq]

Analisi della combinazione n° 11

Pressione in calotta(solo peso terreno) 2462,62 [kg/mq]

Carichi verticali in calotta

Xi	Xj	Q[kg/mq]
-14,65	-4,65	2462,62
-4,65	8,65	3925,50
8,65	18,65	2462,62

Spinte sui piedritti

Piedritto sinistro Pressione sup. 1673,93 [kg/mq] Pressione inf. 3225,21 [kg/mq]
 Piedritto destro Pressione sup. 1673,93 [kg/mq] Pressione inf. 3225,21 [kg/mq]

Spinte sismiche sui piedritti

Piedritto destro Pressione sup. 4241,87 [kg/mq] Pressione inf. 4241,87 [kg/mq]

Falda

Pressione in calotta 1000[kg/mq]
 Spinta 94,39[kN]
 Sottospinta 4500[kg/mq]

Analisi della combinazione n° 12

Pressione in calotta(solo peso terreno) 2462,62 [kg/mq]

Carichi verticali in calotta

Xi	Xj	Q[kg/mq]
-14,65	-4,65	2462,62
-4,65	8,65	3925,50
8,65	18,65	2462,62

Spinte sui piedritti

Piedritto sinistro Pressione sup. 1673,93 [kg/mq] Pressione inf. 3225,21 [kg/mq]
 Piedritto destro Pressione sup. 1673,93 [kg/mq] Pressione inf. 3225,21 [kg/mq]

Falda

Pressione in calotta	1000[kg/mq]
Spinta	94,39[kN]
Sottospinta	4500[kg/mq]

Analisi della combinazione n° 13

Pressione in calotta(solo peso terreno)	2462,62 [kg/mq]
---	-----------------

Carichi verticali in calotta

Xi	Xj	Q[kg/mq]
-14,65	-4,65	2462,62
-4,65	8,65	3925,50
8,65	18,65	2462,62

Spinte sui piedritti

Piedritto sinistro	Pressione sup. 1673,93 [kg/mq]	Pressione inf. 3225,21 [kg/mq]
Piedritto destro	Pressione sup. 1673,93 [kg/mq]	Pressione inf. 3225,21 [kg/mq]

Falda

Pressione in calotta	1000[kg/mq]
Spinta	94,39[kN]
Sottospinta	4500[kg/mq]

Analisi della combinazione n° 14

Pressione in calotta(solo peso terreno)	2462,62 [kg/mq]
---	-----------------

Carichi verticali in calotta

Xi	Xj	Q[kg/mq]
-14,65	-4,65	2462,62
-4,65	-1,15	3925,50
-1,15	4,65	7940,06
4,65	8,65	3925,50
8,65	18,65	2462,62

Spinte sui piedritti

Piedritto sinistro	Pressione sup. 2939,68 [kg/mq]	Pressione inf. 4490,97 [kg/mq]
Piedritto destro	Pressione sup. 2939,68 [kg/mq]	Pressione inf. 4490,97 [kg/mq]

Falda

Pressione in calotta	1000[kg/mq]
Spinta	94,39[kN]
Sottospinta	4500[kg/mq]

Analisi della combinazione n° 15

Pressione in calotta(solo peso terreno) 2462,62 [kg/mq]

Carichi verticali in calotta

Xi	Xj	Q[kg/mq]
-14,65	-4,65	2462,62
-4,65	-1,15	3925,50
-1,15	4,65	7940,06
4,65	8,65	3925,50
8,65	18,65	2462,62

Spinte sui piedritti

Piedritto sinistro Pressione sup. 2939,68 [kg/mq] Pressione inf. 4490,97 [kg/mq]
 Piedritto destro Pressione sup. 2939,68 [kg/mq] Pressione inf. 4490,97 [kg/mq]

Falda

Pressione in calotta 1000[kg/mq]
 Spinta 94,39[kN]
 Sottospinta 4500[kg/mq]

Analisi della combinazione n° 16

Pressione in calotta(solo peso terreno) 2462,62 [kg/mq]

Carichi verticali in calotta

Xi	Xj	Q[kg/mq]
-14,65	-4,65	2462,62
-4,65	-1,15	3925,50
-1,15	4,65	9278,25
4,65	8,65	3925,50
8,65	18,65	2462,62

Spinte sui piedritti

Piedritto sinistro Pressione sup. 3361,60 [kg/mq] Pressione inf. 4912,89 [kg/mq]
 Piedritto destro Pressione sup. 3361,60 [kg/mq] Pressione inf. 4912,89 [kg/mq]

Falda

Pressione in calotta 1000[kg/mq]
 Spinta 94,39[kN]
 Sottospinta 4500[kg/mq]

Analisi della combinazione n° 17

Pressione in calotta(solo peso terreno) 2462,62 [kg/mq]

Carichi verticali in calotta

Xi	Xj	Q[kg/mq]
-14,65	-4,65	2462,62
-4,65	8,65	3925,50
8,65	18,65	2462,62

Spinte sui piedritti

Piedritto sinistro Pressione sup. 1673,93 [kg/mq] Pressione inf. 3225,21 [kg/mq]
 Piedritto destro Pressione sup. 1673,93 [kg/mq] Pressione inf. 3225,21 [kg/mq]

Spinte sismiche sui piedritti

Piedritto sinistro Pressione sup. 1896,56 [kg/mq] Pressione inf. 1896,56 [kg/mq]

Falda

Pressione in calotta 1000[kg/mq]
 Spinta 94,39[kN]
 Sottospinta 4500[kg/mq]

Analisi della combinazione n° 18

Pressione in calotta(solo peso terreno) 2462,62 [kg/mq]

Carichi verticali in calotta

Xi	Xj	Q[kg/mq]
-14,65	-4,65	2462,62
-4,65	8,65	3925,50
8,65	18,65	2462,62

Spinte sui piedritti

Piedritto sinistro Pressione sup. 1673,93 [kg/mq] Pressione inf. 3225,21 [kg/mq]
 Piedritto destro Pressione sup. 1673,93 [kg/mq] Pressione inf. 3225,21 [kg/mq]

Spinte sismiche sui piedritti

Piedritto sinistro Pressione sup. 1896,56 [kg/mq] Pressione inf. 1896,56 [kg/mq]

Falda

Pressione in calotta 1000[kg/mq]
 Spinta 94,39[kN]
 Sottospinta 4500[kg/mq]

Analisi della combinazione n° 19

Pressione in calotta(solo peso terreno) 2462,62 [kg/mq]

Carichi verticali in calotta

Xi	Xj	Q[kg/mq]
-14,65	-4,65	2462,62
-4,65	8,65	3925,50
8,65	18,65	2462,62

Spinte sui piedritti

Piedritto sinistro Pressione sup. 1673,93 [kg/mq] Pressione inf. 3225,21 [kg/mq]
 Piedritto destro Pressione sup. 1673,93 [kg/mq] Pressione inf. 3225,21 [kg/mq]

Spinte sismiche sui piedritti

Piedritto destro Pressione sup. 1896,56 [kg/mq] Pressione inf. 1896,56 [kg/mq]

Falda

Pressione in calotta 1000[kg/mq]
 Spinta 94,39[kN]
 Sottospinta 4500[kg/mq]

Analisi della combinazione n° 20

Pressione in calotta(solo peso terreno) 2462,62 [kg/mq]

Carichi verticali in calotta

Xi	Xj	Q[kg/mq]
-14,65	-4,65	2462,62
-4,65	8,65	3925,50
8,65	18,65	2462,62

Spinte sui piedritti

Piedritto sinistro Pressione sup. 1673,93 [kg/mq] Pressione inf. 3225,21 [kg/mq]
 Piedritto destro Pressione sup. 1673,93 [kg/mq] Pressione inf. 3225,21 [kg/mq]

Spinte sismiche sui piedritti

Piedritto destro Pressione sup. 1896,56 [kg/mq] Pressione inf. 1896,56 [kg/mq]

Falda

Pressione in calotta 1000[kg/mq]

Spinta	94,39[kN]
Sottospinta	4500[kg/mq]

Analisi della combinazione n° 21

Pressione in calotta(solo peso terreno) 2462,62 [kg/mq]

Carichi verticali in calotta

Xi	Xj	Q[kg/mq]
-14,65	-4,65	2462,62
-4,65	8,65	3925,50
8,65	18,65	2462,62

Spinte sui piedritti

Piedritto sinistro	Pressione sup. 1673,93 [kg/mq]	Pressione inf. 3225,21 [kg/mq]
Piedritto destro	Pressione sup. 1673,93 [kg/mq]	Pressione inf. 3225,21 [kg/mq]

Spinte sismiche sui piedritti

Piedritto sinistro	Pressione sup. 1896,56 [kg/mq]	Pressione inf. 1896,56 [kg/mq]
--------------------	--------------------------------	--------------------------------

Falda

Pressione in calotta	1000[kg/mq]
Spinta	94,39[kN]
Sottospinta	4500[kg/mq]

Analisi della combinazione n° 22

Pressione in calotta(solo peso terreno) 2462,62 [kg/mq]

Carichi verticali in calotta

Xi	Xj	Q[kg/mq]
-14,65	-4,65	2462,62
-4,65	8,65	3925,50
8,65	18,65	2462,62

Spinte sui piedritti

Piedritto sinistro	Pressione sup. 1673,93 [kg/mq]	Pressione inf. 3225,21 [kg/mq]
Piedritto destro	Pressione sup. 1673,93 [kg/mq]	Pressione inf. 3225,21 [kg/mq]

Spinte sismiche sui piedritti

Piedritto sinistro	Pressione sup. 1896,56 [kg/mq]	Pressione inf. 1896,56 [kg/mq]
--------------------	--------------------------------	--------------------------------

Falda

Pressione in calotta	1000[kg/mq]
Spinta	94,39[kN]
Sottospinta	4500[kg/mq]

Analisi della combinazione n° 23

Pressione in calotta(solo peso terreno) 2462,62 [kg/mq]

Carichi verticali in calotta

Xi	Xj	Q[kg/mq]
-14,65	-4,65	2462,62
-4,65	8,65	3925,50
8,65	18,65	2462,62

Spinte sui piedritti

Piedritto sinistro	Pressione sup. 1673,93 [kg/mq]	Pressione inf. 3225,21 [kg/mq]
Piedritto destro	Pressione sup. 1673,93 [kg/mq]	Pressione inf. 3225,21 [kg/mq]

Spinte sismiche sui piedritti

Piedritto destro	Pressione sup. 1896,56 [kg/mq]	Pressione inf. 1896,56 [kg/mq]
------------------	--------------------------------	--------------------------------

Falda

Pressione in calotta	1000[kg/mq]
Spinta	94,39[kN]
Sottospinta	4500[kg/mq]

Analisi della combinazione n° 24

Pressione in calotta(solo peso terreno) 2462,62 [kg/mq]

Carichi verticali in calotta

Xi	Xj	Q[kg/mq]
-14,65	-4,65	2462,62
-4,65	8,65	3925,50
8,65	18,65	2462,62

Spinte sui piedritti

Piedritto sinistro	Pressione sup. 1673,93 [kg/mq]	Pressione inf. 3225,21 [kg/mq]
Piedritto destro	Pressione sup. 1673,93 [kg/mq]	Pressione inf. 3225,21 [kg/mq]

Spinte sismiche sui piedritti

Piedritto destro	Pressione sup. 1896,56 [kg/mq]	Pressione inf. 1896,56 [kg/mq]
------------------	--------------------------------	--------------------------------

Falda

Pressione in calotta	1000[kg/mq]
Spinta	94,39[kN]
Sottospinta	4500[kg/mq]

Analisi della combinazione n° 25

Pressione in calotta(solo peso terreno) 2462,62 [kg/mq]

Carichi verticali in calotta

Xi	Xj	Q[kg/mq]
-14,65	-4,65	2462,62
-4,65	8,65	3925,50
8,65	18,65	2462,62

Spinte sui piedritti

Piedritto sinistro	Pressione sup. 1673,93 [kg/mq]	Pressione inf. 3225,21 [kg/mq]
Piedritto destro	Pressione sup. 1673,93 [kg/mq]	Pressione inf. 3225,21 [kg/mq]

Spinte sismiche sui piedritti

Piedritto sinistro	Pressione sup. 1896,56 [kg/mq]	Pressione inf. 1896,56 [kg/mq]
--------------------	--------------------------------	--------------------------------

Falda

Pressione in calotta	1000[kg/mq]
Spinta	94,39[kN]
Sottospinta	4500[kg/mq]

Analisi della combinazione n° 26

Pressione in calotta(solo peso terreno) 2462,62 [kg/mq]

Carichi verticali in calotta

Xi	Xj	Q[kg/mq]
-14,65	-4,65	2462,62
-4,65	8,65	3925,50
8,65	18,65	2462,62

Spinte sui piedritti

Piedritto sinistro	Pressione sup. 1673,93 [kg/mq]	Pressione inf. 3225,21 [kg/mq]
Piedritto destro	Pressione sup. 1673,93 [kg/mq]	Pressione inf. 3225,21 [kg/mq]

Spinte sismiche sui piedritti

Piedritto sinistro Pressione sup. 1896,56 [kg/mq] Pressione inf. 1896,56 [kg/mq]

Falda

Pressione in calotta 1000[kg/mq]
 Spinta 94,39[kN]
 Sottospinta 4500[kg/mq]

Analisi della combinazione n° 27

Pressione in calotta(solo peso terreno) 2462,62 [kg/mq]

Carichi verticali in calotta

Xi	Xj	Q[kg/mq]
-14,65	-4,65	2462,62
-4,65	8,65	3925,50
8,65	18,65	2462,62

Spinte sui piedritti

Piedritto sinistro Pressione sup. 1673,93 [kg/mq] Pressione inf. 3225,21 [kg/mq]
 Piedritto destro Pressione sup. 1673,93 [kg/mq] Pressione inf. 3225,21 [kg/mq]

Spinte sismiche sui piedritti

Piedritto destro Pressione sup. 1896,56 [kg/mq] Pressione inf. 1896,56 [kg/mq]

Falda

Pressione in calotta 1000[kg/mq]
 Spinta 94,39[kN]
 Sottospinta 4500[kg/mq]

Analisi della combinazione n° 28

Pressione in calotta(solo peso terreno) 2462,62 [kg/mq]

Carichi verticali in calotta

Xi	Xj	Q[kg/mq]
-14,65	-4,65	2462,62
-4,65	8,65	3925,50
8,65	18,65	2462,62

Spinte sui piedritti

Piedritto sinistro Pressione sup. 1673,93 [kg/mq] Pressione inf. 3225,21 [kg/mq]
Piedritto destro Pressione sup. 1673,93 [kg/mq] Pressione inf. 3225,21 [kg/mq]

Spinte sismiche sui piedritti

Piedritto destro Pressione sup. 1896,56 [kg/mq] Pressione inf. 1896,56 [kg/mq]

Falda

Pressione in calotta 1000[kg/mq]
Spinta 94,39[kN]
Sottospinta 4500[kg/mq]

Spostamenti

Spostamenti fondazione (Combinazione n° 1)

X [m]	u _x [cm]	u _y [cm]
0,25	0,001	0,136
0,98	0,000	0,128
1,75	0,000	0,123
2,52	0,000	0,128
3,25	-0,001	0,136

Spostamenti traverso (Combinazione n° 1)

X [m]	u _x [cm]	u _y [cm]
0,25	0,000	0,139
1,04	0,000	0,146
1,75	0,000	0,149
2,46	0,000	0,146
3,25	0,000	0,139

Spostamenti piedritto sinistro (Combinazione n° 1)

Y [m]	u _x [cm]	u _y [cm]
0,25	0,001	0,136
1,75	-0,002	0,138
3,25	0,000	0,139

Spostamenti piedritto destro (Combinazione n° 1)

Y [m]	u _x [cm]	u _y [cm]
0,25	-0,001	0,136
1,75	0,002	0,138
3,25	0,000	0,139

Spostamenti fondazione (Combinazione n° 2)

X [m]	u _x [cm]	u _y [cm]
0,25	0,001	0,162
0,98	0,001	0,152
1,75	0,000	0,146
2,52	-0,001	0,152
3,25	-0,001	0,162

Spostamenti traverso (Combinazione n° 2)

X [m]	u _x [cm]	u _y [cm]
0,25	0,001	0,166
1,04	0,001	0,175
1,75	0,000	0,180
2,46	-0,001	0,175
3,25	-0,001	0,166

Spostamenti piedritto sinistro (Combinazione n° 2)

Y [m]	u _x [cm]	u _y [cm]
0,25	0,001	0,162

1,75	0,001	0,164
3,25	0,001	0,166

Spostamenti piedritto destro (Combinazione n° 2)

Y [m]	u _x [cm]	u _y [cm]
0,25	-0,001	0,162
1,75	-0,001	0,164
3,25	-0,001	0,166

Spostamenti fondazione (Combinazione n° 3)

X [m]	u _x [cm]	u _y [cm]
0,25	0,002	0,181
0,98	0,001	0,170
1,75	0,000	0,163
2,52	-0,001	0,170
3,25	-0,002	0,181

Spostamenti traverso (Combinazione n° 3)

X [m]	u _x [cm]	u _y [cm]
0,25	0,001	0,186
1,04	0,001	0,196
1,75	0,000	0,201
2,46	-0,001	0,196
3,25	-0,001	0,186

Spostamenti piedritto sinistro (Combinazione n° 3)

Y [m]	u _x [cm]	u _y [cm]
0,25	0,002	0,181
1,75	0,002	0,183
3,25	0,001	0,186

Spostamenti piedritto destro (Combinazione n° 3)

Y [m]	u _x [cm]	u _y [cm]
0,25	-0,002	0,181
1,75	-0,002	0,183
3,25	-0,001	0,186

Spostamenti fondazione (Combinazione n° 4)

X [m]	u _x [cm]	u _y [cm]
0,25	0,119	0,098
0,98	0,118	0,101
1,75	0,118	0,104
2,52	0,117	0,111
3,25	0,116	0,117

Spostamenti traverso (Combinazione n° 4)

X [m]	u _x [cm]	u _y [cm]
0,25	0,141	0,100
1,04	0,140	0,105
1,75	0,140	0,111
2,46	0,139	0,114

3,25	0,138	0,119
------	-------	-------

Spostamenti piedritto sinistro (Combinazione n° 4)

Y [m]	u _x [cm]	u _y [cm]
0,25	0,119	0,098
1,75	0,138	0,099
3,25	0,141	0,100

Spostamenti piedritto destro (Combinazione n° 4)

Y [m]	u _x [cm]	u _y [cm]
0,25	0,116	0,117
1,75	0,120	0,118
3,25	0,138	0,119

Spostamenti fondazione (Combinazione n° 5)

X [m]	u _x [cm]	u _y [cm]
0,25	0,120	0,079
0,98	0,119	0,083
1,75	0,118	0,086
2,52	0,118	0,092
3,25	0,117	0,097

Spostamenti traverso (Combinazione n° 5)

X [m]	u _x [cm]	u _y [cm]
0,25	0,141	0,080
1,04	0,141	0,084
1,75	0,140	0,089
2,46	0,140	0,093
3,25	0,139	0,099

Spostamenti piedritto sinistro (Combinazione n° 5)

Y [m]	u _x [cm]	u _y [cm]
0,25	0,120	0,079
1,75	0,140	0,080
3,25	0,141	0,080

Spostamenti piedritto destro (Combinazione n° 5)

Y [m]	u _x [cm]	u _y [cm]
0,25	0,117	0,097
1,75	0,119	0,098
3,25	0,139	0,099

Spostamenti fondazione (Combinazione n° 6)

X [m]	u _x [cm]	u _y [cm]
0,25	0,094	0,075
0,98	0,093	0,076
1,75	0,092	0,078
2,52	0,092	0,084
3,25	0,091	0,090

Spostamenti trasverso (Combinazione n° 6)

X [m]	u _x [cm]	u _y [cm]
0,25	0,111	0,077
1,04	0,110	0,081
1,75	0,110	0,086
2,46	0,109	0,088
3,25	0,108	0,092

Spostamenti piedritto sinistro (Combinazione n° 6)

Y [m]	u _x [cm]	u _y [cm]
0,25	0,094	0,075
1,75	0,110	0,076
3,25	0,111	0,077

Spostamenti piedritto destro (Combinazione n° 6)

Y [m]	u _x [cm]	u _y [cm]
0,25	0,091	0,090
1,75	0,093	0,091
3,25	0,108	0,092

Spostamenti fondazione (Combinazione n° 7)

X [m]	u _x [cm]	u _y [cm]
0,25	0,094	0,055
0,98	0,094	0,058
1,75	0,093	0,060
2,52	0,092	0,065
3,25	0,092	0,070

Spostamenti trasverso (Combinazione n° 7)

X [m]	u _x [cm]	u _y [cm]
0,25	0,111	0,057
1,04	0,111	0,061
1,75	0,110	0,065
2,46	0,110	0,068
3,25	0,109	0,072

Spostamenti piedritto sinistro (Combinazione n° 7)

Y [m]	u _x [cm]	u _y [cm]
0,25	0,094	0,055
1,75	0,111	0,056
3,25	0,111	0,057

Spostamenti piedritto destro (Combinazione n° 7)

Y [m]	u _x [cm]	u _y [cm]
0,25	0,092	0,070
1,75	0,093	0,071
3,25	0,109	0,072

Spostamenti fondazione (Combinazione n° 8)

X [m]	u _x [cm]	u _y [cm]
0,25	-0,116	0,117
0,98	-0,117	0,111
1,75	-0,118	0,104
2,52	-0,118	0,101
3,25	-0,119	0,098

Spostamenti traverso (Combinazione n° 8)

X [m]	u _x [cm]	u _y [cm]
0,25	-0,138	0,119
1,04	-0,139	0,114
1,75	-0,140	0,111
2,46	-0,140	0,105
3,25	-0,141	0,100

Spostamenti piedritto sinistro (Combinazione n° 8)

Y [m]	u _x [cm]	u _y [cm]
0,25	-0,116	0,117
1,75	-0,120	0,118
3,25	-0,138	0,119

Spostamenti piedritto destro (Combinazione n° 8)

Y [m]	u _x [cm]	u _y [cm]
0,25	-0,119	0,098
1,75	-0,138	0,099
3,25	-0,141	0,100

Spostamenti fondazione (Combinazione n° 9)

X [m]	u _x [cm]	u _y [cm]
0,25	-0,117	0,097
0,98	-0,118	0,092
1,75	-0,118	0,086
2,52	-0,119	0,083
3,25	-0,120	0,079

Spostamenti traverso (Combinazione n° 9)

X [m]	u _x [cm]	u _y [cm]
0,25	-0,139	0,099
1,04	-0,140	0,093
1,75	-0,140	0,089
2,46	-0,141	0,084
3,25	-0,141	0,080

Spostamenti piedritto sinistro (Combinazione n° 9)

Y [m]	u _x [cm]	u _y [cm]
0,25	-0,117	0,097
1,75	-0,119	0,098
3,25	-0,139	0,099

Spostamenti piedritto destro (Combinazione n° 9)

Y [m]	u _x [cm]	u _y [cm]
0,25	-0,120	0,079
1,75	-0,140	0,080
3,25	-0,141	0,080

Spostamenti fondazione (Combinazione n° 10)

X [m]	u _x [cm]	u _y [cm]
0,25	-0,091	0,090
0,98	-0,092	0,084
1,75	-0,092	0,078
2,52	-0,093	0,076
3,25	-0,094	0,075

Spostamenti traverso (Combinazione n° 10)

X [m]	u _x [cm]	u _y [cm]
0,25	-0,108	0,092
1,04	-0,109	0,088
1,75	-0,110	0,086
2,46	-0,110	0,081
3,25	-0,111	0,077

Spostamenti piedritto sinistro (Combinazione n° 10)

Y [m]	u _x [cm]	u _y [cm]
0,25	-0,091	0,090
1,75	-0,093	0,091
3,25	-0,108	0,092

Spostamenti piedritto destro (Combinazione n° 10)

Y [m]	u _x [cm]	u _y [cm]
0,25	-0,094	0,075
1,75	-0,110	0,076
3,25	-0,111	0,077

Spostamenti fondazione (Combinazione n° 11)

X [m]	u _x [cm]	u _y [cm]
0,25	-0,092	0,070
0,98	-0,092	0,065
1,75	-0,093	0,060
2,52	-0,094	0,058
3,25	-0,094	0,055

Spostamenti traverso (Combinazione n° 11)

X [m]	u _x [cm]	u _y [cm]
0,25	-0,109	0,072
1,04	-0,110	0,068
1,75	-0,110	0,065
2,46	-0,111	0,061
3,25	-0,111	0,057

Spostamenti piedritto sinistro (Combinazione n° 11)

Y [m]	u _x [cm]	u _y [cm]
0,25	-0,092	0,070
1,75	-0,093	0,071
3,25	-0,109	0,072

Spostamenti piedritto destro (Combinazione n° 11)

Y [m]	u _x [cm]	u _y [cm]
0,25	-0,094	0,055
1,75	-0,111	0,056
3,25	-0,111	0,057

Spostamenti fondazione (Combinazione n° 12)

X [m]	u _x [cm]	u _y [cm]
0,25	0,001	0,076
0,98	0,000	0,070
1,75	0,000	0,067
2,52	0,000	0,070
3,25	-0,001	0,076

Spostamenti traverso (Combinazione n° 12)

X [m]	u _x [cm]	u _y [cm]
0,25	0,001	0,078
1,04	0,000	0,082
1,75	0,000	0,084
2,46	0,000	0,082
3,25	-0,001	0,078

Spostamenti piedritto sinistro (Combinazione n° 12)

Y [m]	u _x [cm]	u _y [cm]
0,25	0,001	0,076
1,75	0,000	0,077
3,25	0,001	0,078

Spostamenti piedritto destro (Combinazione n° 12)

Y [m]	u _x [cm]	u _y [cm]
0,25	-0,001	0,076
1,75	0,000	0,077
3,25	-0,001	0,078

Spostamenti fondazione (Combinazione n° 13)

X [m]	u _x [cm]	u _y [cm]
0,25	0,001	0,076
0,98	0,000	0,070
1,75	0,000	0,067
2,52	0,000	0,070
3,25	-0,001	0,076

Spostamenti traverso (Combinazione n° 13)

X [m]	u _x [cm]	u _y [cm]
0,25	0,001	0,078
1,04	0,000	0,082
1,75	0,000	0,084
2,46	0,000	0,082
3,25	-0,001	0,078

Spostamenti piedritto sinistro (Combinazione n° 13)

Y [m]	u _x [cm]	u _y [cm]
0,25	0,001	0,076
1,75	0,000	0,077
3,25	0,001	0,078

Spostamenti piedritto destro (Combinazione n° 13)

Y [m]	u _x [cm]	u _y [cm]
0,25	-0,001	0,076
1,75	0,000	0,077
3,25	-0,001	0,078

Spostamenti fondazione (Combinazione n° 14)

X [m]	u _x [cm]	u _y [cm]
0,25	0,001	0,118
0,98	0,001	0,110
1,75	0,000	0,106
2,52	-0,001	0,110
3,25	-0,001	0,118

Spostamenti traverso (Combinazione n° 14)

X [m]	u _x [cm]	u _y [cm]
0,25	0,001	0,121
1,04	0,000	0,128
1,75	0,000	0,131
2,46	0,000	0,128
3,25	-0,001	0,121

Spostamenti piedritto sinistro (Combinazione n° 14)

Y [m]	u _x [cm]	u _y [cm]
0,25	0,001	0,118
1,75	0,001	0,120
3,25	0,001	0,121

Spostamenti piedritto destro (Combinazione n° 14)

Y [m]	u _x [cm]	u _y [cm]
0,25	-0,001	0,118
1,75	-0,001	0,120
3,25	-0,001	0,121

Spostamenti fondazione (Combinazione n° 15)

X [m]	u _x [cm]	u _y [cm]
-------	---------------------	---------------------

0,25	0,001	0,118
0,98	0,001	0,110
1,75	0,000	0,106
2,52	-0,001	0,110
3,25	-0,001	0,118

Spostamenti trasverso (Combinazione n° 15)

X [m]	u _x [cm]	u _y [cm]
0,25	0,001	0,121
1,04	0,000	0,128
1,75	0,000	0,131
2,46	0,000	0,128
3,25	-0,001	0,121

Spostamenti piedritto sinistro (Combinazione n° 15)

Y [m]	u _x [cm]	u _y [cm]
0,25	0,001	0,118
1,75	0,001	0,120
3,25	0,001	0,121

Spostamenti piedritto destro (Combinazione n° 15)

Y [m]	u _x [cm]	u _y [cm]
0,25	-0,001	0,118
1,75	-0,001	0,120
3,25	-0,001	0,121

Spostamenti fondazione (Combinazione n° 16)

X [m]	u _x [cm]	u _y [cm]
0,25	0,001	0,132
0,98	0,001	0,124
1,75	0,000	0,119
2,52	-0,001	0,124
3,25	-0,001	0,132

Spostamenti trasverso (Combinazione n° 16)

X [m]	u _x [cm]	u _y [cm]
0,25	0,001	0,135
1,04	0,001	0,143
1,75	0,000	0,147
2,46	-0,001	0,143
3,25	-0,001	0,135

Spostamenti piedritto sinistro (Combinazione n° 16)

Y [m]	u _x [cm]	u _y [cm]
0,25	0,001	0,132
1,75	0,002	0,134
3,25	0,001	0,135

Spostamenti piedritto destro (Combinazione n° 16)

Y [m]	u _x [cm]	u _y [cm]
-------	---------------------	---------------------

0,25	-0,001	0,132
1,75	-0,002	0,134
3,25	-0,001	0,135

Spostamenti fondazione (Combinazione n° 17)

X [m]	u _x [cm]	u _y [cm]
0,25	0,042	0,075
0,98	0,042	0,073
1,75	0,041	0,072
2,52	0,041	0,076
3,25	0,040	0,082

Spostamenti traverso (Combinazione n° 17)

X [m]	u _x [cm]	u _y [cm]
0,25	0,050	0,077
1,04	0,049	0,082
1,75	0,049	0,085
2,46	0,049	0,085
3,25	0,048	0,084

Spostamenti piedritto sinistro (Combinazione n° 17)

Y [m]	u _x [cm]	u _y [cm]
0,25	0,042	0,075
1,75	0,049	0,076
3,25	0,050	0,077

Spostamenti piedritto destro (Combinazione n° 17)

Y [m]	u _x [cm]	u _y [cm]
0,25	0,040	0,082
1,75	0,042	0,083
3,25	0,048	0,084

Spostamenti fondazione (Combinazione n° 18)

X [m]	u _x [cm]	u _y [cm]
0,25	0,042	0,067
0,98	0,042	0,065
1,75	0,042	0,064
2,52	0,041	0,068
3,25	0,041	0,073

Spostamenti traverso (Combinazione n° 18)

X [m]	u _x [cm]	u _y [cm]
0,25	0,050	0,068
1,04	0,050	0,072
1,75	0,049	0,076
2,46	0,049	0,076
3,25	0,048	0,075

Spostamenti piedritto sinistro (Combinazione n° 18)

Y [m]	u _x [cm]	u _y [cm]
0,25	0,042	0,067
1,75	0,050	0,068
3,25	0,050	0,068

Spostamenti piedritto destro (Combinazione n° 18)

Y [m]	u _x [cm]	u _y [cm]
0,25	0,041	0,073
1,75	0,041	0,074
3,25	0,048	0,075

Spostamenti fondazione (Combinazione n° 19)

X [m]	u _x [cm]	u _y [cm]
0,25	-0,040	0,082
0,98	-0,041	0,076
1,75	-0,041	0,072
2,52	-0,042	0,073
3,25	-0,042	0,075

Spostamenti traverso (Combinazione n° 19)

X [m]	u _x [cm]	u _y [cm]
0,25	-0,048	0,084
1,04	-0,049	0,085
1,75	-0,049	0,085
2,46	-0,049	0,082
3,25	-0,050	0,077

Spostamenti piedritto sinistro (Combinazione n° 19)

Y [m]	u _x [cm]	u _y [cm]
0,25	-0,040	0,082
1,75	-0,042	0,083
3,25	-0,048	0,084

Spostamenti piedritto destro (Combinazione n° 19)

Y [m]	u _x [cm]	u _y [cm]
0,25	-0,042	0,075
1,75	-0,049	0,076
3,25	-0,050	0,077

Spostamenti fondazione (Combinazione n° 20)

X [m]	u _x [cm]	u _y [cm]
0,25	-0,041	0,073
0,98	-0,041	0,068
1,75	-0,042	0,064
2,52	-0,042	0,065
3,25	-0,042	0,067

Spostamenti traverso (Combinazione n° 20)

X [m]	u _x [cm]	u _y [cm]
0,25	-0,048	0,075
1,04	-0,049	0,076

1,75	-0,049	0,076
2,46	-0,050	0,072
3,25	-0,050	0,068

Spostamenti piedritto sinistro (Combinazione n° 20)

Y [m]	u _x [cm]	u _y [cm]
0,25	-0,041	0,073
1,75	-0,041	0,074
3,25	-0,048	0,075

Spostamenti piedritto destro (Combinazione n° 20)

Y [m]	u _x [cm]	u _y [cm]
0,25	-0,042	0,067
1,75	-0,050	0,068
3,25	-0,050	0,068

Spostamenti fondazione (Combinazione n° 21)

X [m]	u _x [cm]	u _y [cm]
0,25	0,042	0,075
0,98	0,042	0,073
1,75	0,041	0,072
2,52	0,041	0,076
3,25	0,040	0,082

Spostamenti traverso (Combinazione n° 21)

X [m]	u _x [cm]	u _y [cm]
0,25	0,050	0,077
1,04	0,049	0,082
1,75	0,049	0,085
2,46	0,049	0,085
3,25	0,048	0,084

Spostamenti piedritto sinistro (Combinazione n° 21)

Y [m]	u _x [cm]	u _y [cm]
0,25	0,042	0,075
1,75	0,049	0,076
3,25	0,050	0,077

Spostamenti piedritto destro (Combinazione n° 21)

Y [m]	u _x [cm]	u _y [cm]
0,25	0,040	0,082
1,75	0,042	0,083
3,25	0,048	0,084

Spostamenti fondazione (Combinazione n° 22)

X [m]	u _x [cm]	u _y [cm]
0,25	0,042	0,067
0,98	0,042	0,065
1,75	0,042	0,064

2,52	0,041	0,068
3,25	0,041	0,073

Spostamenti trasverso (Combinazione n° 22)

X [m]	u _x [cm]	u _y [cm]
0,25	0,050	0,068
1,04	0,050	0,072
1,75	0,049	0,076
2,46	0,049	0,076
3,25	0,048	0,075

Spostamenti piedritto sinistro (Combinazione n° 22)

Y [m]	u _x [cm]	u _y [cm]
0,25	0,042	0,067
1,75	0,050	0,068
3,25	0,050	0,068

Spostamenti piedritto destro (Combinazione n° 22)

Y [m]	u _x [cm]	u _y [cm]
0,25	0,041	0,073
1,75	0,041	0,074
3,25	0,048	0,075

Spostamenti fondazione (Combinazione n° 23)

X [m]	u _x [cm]	u _y [cm]
0,25	-0,040	0,082
0,98	-0,041	0,076
1,75	-0,041	0,072
2,52	-0,042	0,073
3,25	-0,042	0,075

Spostamenti trasverso (Combinazione n° 23)

X [m]	u _x [cm]	u _y [cm]
0,25	-0,048	0,084
1,04	-0,049	0,085
1,75	-0,049	0,085
2,46	-0,049	0,082
3,25	-0,050	0,077

Spostamenti piedritto sinistro (Combinazione n° 23)

Y [m]	u _x [cm]	u _y [cm]
0,25	-0,040	0,082
1,75	-0,042	0,083
3,25	-0,048	0,084

Spostamenti piedritto destro (Combinazione n° 23)

Y [m]	u _x [cm]	u _y [cm]
0,25	-0,042	0,075
1,75	-0,049	0,076
3,25	-0,050	0,077

Spostamenti fondazione (Combinazione n° 24)

X [m]	u _x [cm]	u _y [cm]
0,25	-0,041	0,073
0,98	-0,041	0,068
1,75	-0,042	0,064
2,52	-0,042	0,065
3,25	-0,042	0,067

Spostamenti traverso (Combinazione n° 24)

X [m]	u _x [cm]	u _y [cm]
0,25	-0,048	0,075
1,04	-0,049	0,076
1,75	-0,049	0,076
2,46	-0,050	0,072
3,25	-0,050	0,068

Spostamenti piedritto sinistro (Combinazione n° 24)

Y [m]	u _x [cm]	u _y [cm]
0,25	-0,041	0,073
1,75	-0,041	0,074
3,25	-0,048	0,075

Spostamenti piedritto destro (Combinazione n° 24)

Y [m]	u _x [cm]	u _y [cm]
0,25	-0,042	0,067
1,75	-0,050	0,068
3,25	-0,050	0,068

Spostamenti fondazione (Combinazione n° 25)

X [m]	u _x [cm]	u _y [cm]
0,25	0,042	0,075
0,98	0,042	0,073
1,75	0,041	0,072
2,52	0,041	0,076
3,25	0,040	0,082

Spostamenti traverso (Combinazione n° 25)

X [m]	u _x [cm]	u _y [cm]
0,25	0,050	0,077
1,04	0,049	0,082
1,75	0,049	0,085
2,46	0,049	0,085
3,25	0,048	0,084

Spostamenti piedritto sinistro (Combinazione n° 25)

Y [m]	u _x [cm]	u _y [cm]
0,25	0,042	0,075
1,75	0,049	0,076

3,25	0,050	0,077
------	-------	-------

Spostamenti piedritto destro (Combinazione n° 25)

Y [m]	u _x [cm]	u _y [cm]
0,25	0,040	0,082
1,75	0,042	0,083
3,25	0,048	0,084

Spostamenti fondazione (Combinazione n° 26)

X [m]	u _x [cm]	u _y [cm]
0,25	0,042	0,067
0,98	0,042	0,065
1,75	0,042	0,064
2,52	0,041	0,068
3,25	0,041	0,073

Spostamenti traverso (Combinazione n° 26)

X [m]	u _x [cm]	u _y [cm]
0,25	0,050	0,068
1,04	0,050	0,072
1,75	0,049	0,076
2,46	0,049	0,076
3,25	0,048	0,075

Spostamenti piedritto sinistro (Combinazione n° 26)

Y [m]	u _x [cm]	u _y [cm]
0,25	0,042	0,067
1,75	0,050	0,068
3,25	0,050	0,068

Spostamenti piedritto destro (Combinazione n° 26)

Y [m]	u _x [cm]	u _y [cm]
0,25	0,041	0,073
1,75	0,041	0,074
3,25	0,048	0,075

Spostamenti fondazione (Combinazione n° 27)

X [m]	u _x [cm]	u _y [cm]
0,25	-0,040	0,082
0,98	-0,041	0,076
1,75	-0,041	0,072
2,52	-0,042	0,073
3,25	-0,042	0,075

Spostamenti traverso (Combinazione n° 27)

X [m]	u _x [cm]	u _y [cm]
0,25	-0,048	0,084
1,04	-0,049	0,085
1,75	-0,049	0,085
2,46	-0,049	0,082
3,25	-0,050	0,077

Spostamenti piedritto sinistro (Combinazione n° 27)

Y [m]	u _x [cm]	u _y [cm]
0,25	-0,040	0,082
1,75	-0,042	0,083
3,25	-0,048	0,084

Spostamenti piedritto destro (Combinazione n° 27)

Y [m]	u _x [cm]	u _y [cm]
0,25	-0,042	0,075
1,75	-0,049	0,076
3,25	-0,050	0,077

Spostamenti fondazione (Combinazione n° 28)

X [m]	u _x [cm]	u _y [cm]
0,25	-0,041	0,073
0,98	-0,041	0,068
1,75	-0,042	0,064
2,52	-0,042	0,065
3,25	-0,042	0,067

Spostamenti traverso (Combinazione n° 28)

X [m]	u _x [cm]	u _y [cm]
0,25	-0,048	0,075
1,04	-0,049	0,076
1,75	-0,049	0,076
2,46	-0,050	0,072
3,25	-0,050	0,068

Spostamenti piedritto sinistro (Combinazione n° 28)

Y [m]	u _x [cm]	u _y [cm]
0,25	-0,041	0,073
1,75	-0,041	0,074
3,25	-0,048	0,075

Spostamenti piedritto destro (Combinazione n° 28)

Y [m]	u _x [cm]	u _y [cm]
0,25	-0,042	0,067
1,75	-0,050	0,068
3,25	-0,050	0,068

Sollecitazioni

Sollecitazioni fondazione (Combinazione n° 1)

X [m]	M [kNm]	V [kN]	N [kN]
0,25	-61,1101	-159,7150	82,5606
0,98	28,8774	-76,0108	82,5606
1,75	60,1963	5,8170	82,5606
2,52	28,8774	88,0884	82,5606
3,25	-61,1101	159,7150	82,5606

Sollecitazioni traverso (Combinazione n° 1)

X [m]	M [kNm]	V [kN]	N [kN]
0,25	-43,3859	117,4832	55,0240
1,04	24,7463	55,9444	55,0240
1,75	44,7265	0,0000	55,0240
2,46	24,7463	-55,9444	55,0240
3,25	-43,3859	-117,4832	55,0240

Sollecitazioni piedritto sinistro (Combinazione n° 1)

Y [m]	M [kNm]	V [kN]	N [kN]
0,25	-61,1101	82,6675	165,2913
1,75	-0,4036	1,8722	141,3873
3,25	-43,3859	-55,0240	117,4832

Sollecitazioni piedritto destro (Combinazione n° 1)

Y [m]	M [kNm]	V [kN]	N [kN]
0,25	-61,1101	-82,6675	165,2913
1,75	-0,4036	-1,8722	141,3873
3,25	-43,3859	55,0240	117,4832

Sollecitazioni fondazione (Combinazione n° 2)

X [m]	M [kNm]	V [kN]	N [kN]
0,25	-99,7205	-243,3108	161,7681
0,98	33,5781	-113,8149	161,7681
1,75	79,7927	6,8673	161,7681
2,52	33,5781	128,1314	161,7681
3,25	-99,7205	243,3108	161,7681

Sollecitazioni traverso (Combinazione n° 2)

X [m]	M [kNm]	V [kN]	N [kN]
0,25	-84,7549	202,1239	135,7556
1,04	32,4632	96,2495	135,7556
1,75	66,8381	0,0000	135,7556
2,46	32,4632	-96,2495	135,7556
3,25	-84,7549	-202,1239	135,7556

Sollecitazioni piedritto sinistro (Combinazione n° 2)

Y [m]	M [kNm]	V [kN]	N [kN]
0,25	-99,7205	161,9775	249,9321

1,75	18,5388	3,0591	226,0280
3,25	-84,7549	-135,7556	202,1239

Sollecitazioni piedritto destro (Combinazione n° 2)

Y [m]	M [kNm]	V [kN]	N [kN]
0,25	-99,7205	-161,9775	249,9321
1,75	18,5388	-3,0591	226,0280
3,25	-84,7549	135,7556	202,1239

Sollecitazioni fondazione (Combinazione n° 3)

X [m]	M [kNm]	V [kN]	N [kN]
0,25	-111,3038	-269,1108	181,8987
0,98	36,5178	-126,2581	181,8987
1,75	87,8137	7,6880	181,8987
2,52	36,5178	142,2738	181,8987
3,25	-111,3038	269,1108	181,8987

Sollecitazioni traverso (Combinazione n° 3)

X [m]	M [kNm]	V [kN]	N [kN]
0,25	-96,4747	228,6987	156,0196
1,04	36,1550	108,9041	156,0196
1,75	75,0493	0,0000	156,0196
2,46	36,1550	-108,9041	156,0196
3,25	-96,4747	-228,6987	156,0196

Sollecitazioni piedritto sinistro (Combinazione n° 3)

Y [m]	M [kNm]	V [kN]	N [kN]
0,25	-111,3038	182,1342	276,5068
1,75	22,0488	3,0179	252,6028
3,25	-96,4747	-156,0196	228,6987

Sollecitazioni piedritto destro (Combinazione n° 3)

Y [m]	M [kNm]	V [kN]	N [kN]
0,25	-111,3038	-182,1342	276,5068
1,75	22,0488	-3,0179	252,6028
3,25	-96,4747	156,0196	228,6987

Sollecitazioni fondazione (Combinazione n° 4)

X [m]	M [kNm]	V [kN]	N [kN]
0,25	-76,3410	-129,0815	141,6944
0,98	-1,3401	-67,0285	145,0014
1,75	28,6056	-0,8407	148,4825
2,52	6,6405	68,9232	151,9635
3,25	-65,6310	130,1448	155,2705

Sollecitazioni traverso (Combinazione n° 4)

X [m]	M [kNm]	V [kN]	N [kN]
0,25	-53,0746	89,5374	131,0757
1,04	-1,3378	42,1562	134,6314
1,75	13,3902	-0,9177	137,8638
2,46	-2,6488	-43,9915	141,0962

3,25	-55,8275	-91,3727	144,6518
------	----------	----------	----------

Sollecitazioni piedritto sinistro (Combinazione n° 4)

Y [m]	M [kNm]	V [kN]	N [kN]
0,25	-76,3410	158,7142	133,1009
1,75	43,9625	4,7159	111,3192
3,25	-53,0746	-131,0757	89,5374

Sollecitazioni piedritto destro (Combinazione n° 4)

Y [m]	M [kNm]	V [kN]	N [kN]
0,25	-65,6310	-138,6351	134,9363
1,75	39,2520	1,1525	113,1545
3,25	-55,8275	124,4679	91,3727

Sollecitazioni fondazione (Combinazione n° 5)

X [m]	M [kNm]	V [kN]	N [kN]
0,25	-70,5849	-109,5483	139,9966
0,98	-6,5965	-57,9168	143,3036
1,75	19,5620	-1,7069	146,7846
2,52	1,4361	58,0173	150,2657
3,25	-59,7830	110,5668	153,5727

Sollecitazioni traverso (Combinazione n° 5)

X [m]	M [kNm]	V [kN]	N [kN]
0,25	-52,1864	82,7709	132,6984
1,04	-4,3694	38,9453	136,2540
1,75	9,2196	-0,8961	139,4864
2,46	-5,6495	-40,7375	142,7188
3,25	-54,8748	-84,5631	146,2744

Sollecitazioni piedritto sinistro (Combinazione n° 5)

Y [m]	M [kNm]	V [kN]	N [kN]
0,25	-70,5849	157,0916	112,7584
1,75	47,2846	3,0933	97,7646
3,25	-52,1864	-132,6984	82,7709

Sollecitazioni piedritto destro (Combinazione n° 5)

Y [m]	M [kNm]	V [kN]	N [kN]
0,25	-59,7830	-136,8576	114,5506
1,75	42,4740	2,7496	99,5569
3,25	-54,8748	126,0072	84,5631

Sollecitazioni fondazione (Combinazione n° 6)

X [m]	M [kNm]	V [kN]	N [kN]
0,25	-72,8137	-133,6641	137,1163
0,98	1,5944	-66,3425	140,4233
1,75	30,1662	-0,5062	143,9043
2,52	7,3431	68,2138	147,3854
3,25	-65,4356	135,2137	150,6924

Sollecitazioni trasverso (Combinazione n° 6)

X [m]	M [kNm]	V [kN]	N [kN]
0,25	-52,5526	93,1588	123,3687
1,04	1,2513	43,7966	126,9244
1,75	16,5079	-1,0781	130,1568
2,46	-0,2889	-45,9529	133,3892
3,25	-55,7870	-95,3150	136,9448

Sollecitazioni piedritto sinistro (Combinazione n° 6)

Y [m]	M [kNm]	V [kN]	N [kN]
0,25	-72,8137	150,5150	136,7223
1,75	39,4450	4,7629	114,9406
3,25	-52,5526	-123,3687	93,1588

Sollecitazioni piedritto destro (Combinazione n° 6)

Y [m]	M [kNm]	V [kN]	N [kN]
0,25	-65,4356	-137,6662	138,8786
1,75	36,7853	-0,1612	117,0968
3,25	-55,7870	121,1217	95,3150

Sollecitazioni fondazione (Combinazione n° 7)

X [m]	M [kNm]	V [kN]	N [kN]
0,25	-67,0576	-114,1308	135,4184
0,98	-3,6619	-57,2307	138,7254
1,75	21,1225	-1,3724	142,2065
2,52	2,1387	57,3080	145,6875
3,25	-59,5876	115,6356	148,9945

Sollecitazioni trasverso (Combinazione n° 7)

X [m]	M [kNm]	V [kN]	N [kN]
0,25	-51,6645	86,3923	124,9914
1,04	-1,7802	40,5857	128,5470
1,75	12,3373	-1,0566	131,7794
2,46	-3,2896	-42,6989	135,0118
3,25	-54,8342	-88,5055	138,5674

Sollecitazioni piedritto sinistro (Combinazione n° 7)

Y [m]	M [kNm]	V [kN]	N [kN]
0,25	-67,0576	148,8924	116,3798
1,75	42,7671	3,1403	101,3860
3,25	-51,6645	-124,9914	86,3923

Sollecitazioni piedritto destro (Combinazione n° 7)

Y [m]	M [kNm]	V [kN]	N [kN]
0,25	-59,5876	-135,8887	118,4930
1,75	40,0073	1,4359	103,4992
3,25	-54,8342	122,6609	88,5055

Sollecitazioni fondazione (Combinazione n° 8)

X [m]	M [kNm]	V [kN]	N [kN]
0,25	-65,6310	-130,1448	155,2705
0,98	6,6405	-58,5031	151,9635
1,75	28,6056	10,6369	148,4825
2,52	-1,3401	76,5922	145,0014
3,25	-76,3410	129,0815	141,6944

Sollecitazioni traverso (Combinazione n° 8)

X [m]	M [kNm]	V [kN]	N [kN]
0,25	-55,8275	91,3727	144,6518
1,04	-2,6488	43,9915	141,0962
1,75	13,3902	0,9177	137,8638
2,46	-1,3378	-42,1562	134,6314
3,25	-53,0746	-89,5374	131,0757

Sollecitazioni piedritto sinistro (Combinazione n° 8)

Y [m]	M [kNm]	V [kN]	N [kN]
0,25	-65,6310	138,6351	134,9363
1,75	39,2520	-1,1525	113,1545
3,25	-55,8275	-124,4679	91,3727

Sollecitazioni piedritto destro (Combinazione n° 8)

Y [m]	M [kNm]	V [kN]	N [kN]
0,25	-76,3410	-158,7142	133,1009
1,75	43,9625	-4,7159	111,3192
3,25	-53,0746	131,0757	89,5374

Sollecitazioni fondazione (Combinazione n° 9)

X [m]	M [kNm]	V [kN]	N [kN]
0,25	-59,7830	-110,5668	153,5727
0,98	1,4361	-49,3272	150,2657
1,75	19,5620	9,8403	146,7846
2,52	-6,5965	65,7489	143,3036
3,25	-70,5849	109,5483	139,9966

Sollecitazioni traverso (Combinazione n° 9)

X [m]	M [kNm]	V [kN]	N [kN]
0,25	-54,8748	84,5631	146,2744
1,04	-5,6495	40,7375	142,7188
1,75	9,2196	0,8961	139,4864
2,46	-4,3694	-38,9453	136,2540
3,25	-52,1864	-82,7709	132,6984

Sollecitazioni piedritto sinistro (Combinazione n° 9)

Y [m]	M [kNm]	V [kN]	N [kN]
0,25	-59,7830	136,8576	114,5506
1,75	42,4740	-2,7496	99,5569
3,25	-54,8748	-126,0072	84,5631

Sollecitazioni piedritto destro (Combinazione n° 9)

Y [m]	M [kNm]	V [kN]	N [kN]
0,25	-70,5849	-157,0916	112,7584
1,75	47,2846	-3,0933	97,7646
3,25	-52,1864	132,6984	82,7709

Sollecitazioni fondazione (Combinazione n° 10)

X [m]	M [kNm]	V [kN]	N [kN]
0,25	-65,4356	-135,2137	150,6924
0,98	7,3431	-60,3326	147,3854
1,75	30,1662	7,8402	143,9043
2,52	1,5944	73,5467	140,4233
3,25	-72,8137	133,6641	137,1163

Sollecitazioni traverso (Combinazione n° 10)

X [m]	M [kNm]	V [kN]	N [kN]
0,25	-55,7870	95,3150	136,9448
1,04	-0,2889	45,9529	133,3892
1,75	16,5079	1,0781	130,1568
2,46	1,2513	-43,7966	126,9244
3,25	-52,5526	-93,1588	123,3687

Sollecitazioni piedritto sinistro (Combinazione n° 10)

Y [m]	M [kNm]	V [kN]	N [kN]
0,25	-65,4356	137,6662	138,8786
1,75	36,7853	0,1612	117,0968
3,25	-55,7870	-121,1217	95,3150

Sollecitazioni piedritto destro (Combinazione n° 10)

Y [m]	M [kNm]	V [kN]	N [kN]
0,25	-72,8137	-150,5150	136,7223
1,75	39,4450	-4,7629	114,9406
3,25	-52,5526	123,3687	93,1588

Sollecitazioni fondazione (Combinazione n° 11)

X [m]	M [kNm]	V [kN]	N [kN]
0,25	-59,5876	-115,6356	148,9945
0,98	2,1387	-51,1567	145,6875
1,75	21,1225	7,0436	142,2065
2,52	-3,6619	62,7035	138,7254
3,25	-67,0576	114,1308	135,4184

Sollecitazioni traverso (Combinazione n° 11)

X [m]	M [kNm]	V [kN]	N [kN]
0,25	-54,8342	88,5055	138,5674
1,04	-3,2896	42,6989	135,0118
1,75	12,3373	1,0566	131,7794
2,46	-1,7802	-40,5857	128,5470
3,25	-51,6645	-86,3923	124,9914

Sollecitazioni piedritto sinistro (Combinazione n° 11)

Y [m]	M [kNm]	V [kN]	N [kN]
0,25	-59,5876	135,8887	118,4930
1,75	40,0073	-1,4359	103,4992
3,25	-54,8342	-122,6609	88,5055

Sollecitazioni piedritto destro (Combinazione n° 11)

Y [m]	M [kNm]	V [kN]	N [kN]
0,25	-67,0576	-148,8924	116,3798
1,75	42,7671	-3,1403	101,3860
3,25	-51,6645	124,9914	86,3923

Sollecitazioni fondazione (Combinazione n° 12)

X [m]	M [kNm]	V [kN]	N [kN]
0,25	-49,4399	-124,5181	78,6531
0,98	18,1095	-57,8160	78,6531
1,75	41,4604	3,1693	78,6531
2,52	18,1095	64,4578	78,6531
3,25	-49,4399	124,5181	78,6531

Sollecitazioni trasverso (Combinazione n° 12)

X [m]	M [kNm]	V [kN]	N [kN]
0,25	-37,2528	90,8429	56,9482
1,04	15,4299	43,2585	56,9482
1,75	30,8793	0,0000	56,9482
2,46	15,4299	-43,2585	56,9482
3,25	-37,2528	-90,8429	56,9482

Sollecitazioni piedritto sinistro (Combinazione n° 12)

Y [m]	M [kNm]	V [kN]	N [kN]
0,25	-49,4399	78,7549	127,6184
1,75	6,9508	2,0532	109,2307
3,25	-37,2528	-56,9482	90,8429

Sollecitazioni piedritto destro (Combinazione n° 12)

Y [m]	M [kNm]	V [kN]	N [kN]
0,25	-49,4399	-78,7549	127,6184
1,75	6,9508	-2,0532	109,2307
3,25	-37,2528	56,9482	90,8429

Sollecitazioni fondazione (Combinazione n° 13)

X [m]	M [kNm]	V [kN]	N [kN]
0,25	-49,4399	-124,5181	78,6531
0,98	18,1095	-57,8160	78,6531
1,75	41,4604	3,1693	78,6531
2,52	18,1095	64,4578	78,6531
3,25	-49,4399	124,5181	78,6531

Sollecitazioni trasverso (Combinazione n° 13)

X [m]	M [kNm]	V [kN]	N [kN]
0,25	-37,2528	90,8429	56,9482
1,04	15,4299	43,2585	56,9482
1,75	30,8793	0,0000	56,9482
2,46	15,4299	-43,2585	56,9482
3,25	-37,2528	-90,8429	56,9482

Sollecitazioni piedritto sinistro (Combinazione n° 13)

Y [m]	M [kNm]	V [kN]	N [kN]
0,25	-49,4399	78,7549	127,6184
1,75	6,9508	2,0532	109,2307
3,25	-37,2528	-56,9482	90,8429

Sollecitazioni piedritto destro (Combinazione n° 13)

Y [m]	M [kNm]	V [kN]	N [kN]
0,25	-49,4399	-78,7549	127,6184
1,75	6,9508	-2,0532	109,2307
3,25	-37,2528	56,9482	90,8429

Sollecitazioni fondazione (Combinazione n° 14)

X [m]	M [kNm]	V [kN]	N [kN]
0,25	-75,1648	-181,8512	123,3286
0,98	24,6574	-85,4666	123,3286
1,75	59,2997	4,9928	123,3286
2,52	24,6574	95,8843	123,3286
3,25	-75,1648	181,8512	123,3286

Sollecitazioni traverso (Combinazione n° 14)

X [m]	M [kNm]	V [kN]	N [kN]
0,25	-63,2820	149,8979	101,9206
1,04	23,6486	71,3800	101,9206
1,75	49,1415	0,0000	101,9206
2,46	23,6486	-71,3800	101,9206
3,25	-63,2820	-149,8979	101,9206

Sollecitazioni piedritto sinistro (Combinazione n° 14)

Y [m]	M [kNm]	V [kN]	N [kN]
0,25	-75,1648	123,4882	186,6735
1,75	14,7251	1,9688	168,2857
3,25	-63,2820	-101,9206	149,8979

Sollecitazioni piedritto destro (Combinazione n° 14)

Y [m]	M [kNm]	V [kN]	N [kN]
0,25	-75,1648	-123,4882	186,6735
1,75	14,7251	-1,9688	168,2857
3,25	-63,2820	101,9206	149,8979

Sollecitazioni fondazione (Combinazione n° 15)

X [m]	M [kNm]	V [kN]	N [kN]
-------	---------	--------	--------

0,25	-75,1648	-181,8512	123,3286
0,98	24,6574	-85,4666	123,3286
1,75	59,2997	4,9928	123,3286
2,52	24,6574	95,8843	123,3286
3,25	-75,1648	181,8512	123,3286

Sollecitazioni trasverso (Combinazione n° 15)

X [m]	M [kNm]	V [kN]	N [kN]
0,25	-63,2820	149,8979	101,9206
1,04	23,6486	71,3800	101,9206
1,75	49,1415	0,0000	101,9206
2,46	23,6486	-71,3800	101,9206
3,25	-63,2820	-149,8979	101,9206

Sollecitazioni piedritto sinistro (Combinazione n° 15)

Y [m]	M [kNm]	V [kN]	N [kN]
0,25	-75,1648	123,4882	186,6735
1,75	14,7251	1,9688	168,2857
3,25	-63,2820	-101,9206	149,8979

Sollecitazioni piedritto destro (Combinazione n° 15)

Y [m]	M [kNm]	V [kN]	N [kN]
0,25	-75,1648	-123,4882	186,6735
1,75	14,7251	-1,9688	168,2857
3,25	-63,2820	101,9206	149,8979

Sollecitazioni fondazione (Combinazione n° 16)

X [m]	M [kNm]	V [kN]	N [kN]
0,25	-83,7467	-200,9623	138,2491
0,98	26,8333	-94,6839	138,2491
1,75	65,2397	5,6007	138,2491
2,52	26,8333	106,3602	138,2491
3,25	-83,7467	200,9623	138,2491

Sollecitazioni trasverso (Combinazione n° 16)

X [m]	M [kNm]	V [kN]	N [kN]
0,25	-71,9643	169,5829	116,9342
1,04	26,3822	80,7538	116,9342
1,75	55,2229	0,0000	116,9342
2,46	26,3822	-80,7538	116,9342
3,25	-71,9643	-169,5829	116,9342

Sollecitazioni piedritto sinistro (Combinazione n° 16)

Y [m]	M [kNm]	V [kN]	N [kN]
0,25	-83,7467	138,4280	206,3585
1,75	17,3270	1,9367	187,9707
3,25	-71,9643	-116,9342	169,5829

Sollecitazioni piedritto destro (Combinazione n° 16)

Y [m]	M [kNm]	V [kN]	N [kN]
-------	---------	--------	--------

0,25	-83,7467	-138,4280	206,3585
1,75	17,3270	-1,9367	187,9707
3,25	-71,9643	116,9342	169,5829

Sollecitazioni fondazione (Combinazione n° 17)

X [m]	M [kNm]	V [kN]	N [kN]
0,25	-59,8857	-128,5976	104,7412
0,98	10,7286	-61,6338	106,2197
1,75	36,4207	1,5146	107,7761
2,52	13,3133	66,1317	109,3325
3,25	-56,5750	129,3097	110,8111

Sollecitazioni trasverso (Combinazione n° 17)

X [m]	M [kNm]	V [kN]	N [kN]
0,25	-44,0687	91,8675	86,5970
1,04	9,1068	43,4882	88,1867
1,75	24,4622	-0,4929	89,6319
2,46	8,4026	-44,4740	91,0771
3,25	-45,5474	-92,8533	92,6669

Sollecitazioni piedritto sinistro (Combinazione n° 17)

Y [m]	M [kNm]	V [kN]	N [kN]
0,25	-59,8857	110,7806	131,6779
1,75	21,4611	3,2816	111,7727
3,25	-44,0687	-86,5970	91,8675

Sollecitazioni piedritto destro (Combinazione n° 17)

Y [m]	M [kNm]	V [kN]	N [kN]
0,25	-56,5750	-105,0507	132,6638
1,75	20,2735	-1,2022	112,7585
3,25	-45,5474	85,6307	92,8533

Sollecitazioni fondazione (Combinazione n° 18)

X [m]	M [kNm]	V [kN]	N [kN]
0,25	-57,3122	-119,8642	103,9820
0,98	8,3785	-57,5599	105,4606
1,75	32,3773	1,1274	107,0170
2,52	10,9864	61,2556	108,5734
3,25	-53,9604	120,5563	110,0520

Sollecitazioni trasverso (Combinazione n° 18)

X [m]	M [kNm]	V [kN]	N [kN]
0,25	-43,6716	88,8421	87,3225
1,04	7,7514	42,0526	88,9122
1,75	22,5976	-0,4833	90,3574
2,46	7,0610	-43,0192	91,8026
3,25	-45,1214	-89,8087	93,3924

Sollecitazioni piedritto sinistro (Combinazione n° 18)

Y [m]	M [kNm]	V [kN]	N [kN]
0,25	-57,3122	110,0551	122,5827
1,75	22,9464	2,5561	105,7124
3,25	-43,6716	-87,3225	88,8421

Sollecitazioni piedritto destro (Combinazione n° 18)

Y [m]	M [kNm]	V [kN]	N [kN]
0,25	-53,9604	-104,2559	123,5493
1,75	21,7141	-0,4882	106,6790
3,25	-45,1214	86,3189	89,8087

Sollecitazioni fondazione (Combinazione n° 19)

X [m]	M [kNm]	V [kN]	N [kN]
0,25	-56,5750	-129,3097	110,8111
0,98	13,3133	-58,9343	109,3325
1,75	36,4207	5,2689	107,7761
2,52	10,7286	68,5257	106,2197
3,25	-59,8857	128,5976	104,7412

Sollecitazioni traverso (Combinazione n° 19)

X [m]	M [kNm]	V [kN]	N [kN]
0,25	-45,5474	92,8533	92,6669
1,04	8,4026	44,4740	91,0771
1,75	24,4622	0,4929	89,6319
2,46	9,1068	-43,4882	88,1867
3,25	-44,0687	-91,8675	86,5970

Sollecitazioni piedritto sinistro (Combinazione n° 19)

Y [m]	M [kNm]	V [kN]	N [kN]
0,25	-56,5750	105,0507	132,6638
1,75	20,2735	1,2022	112,7585
3,25	-45,5474	-85,6307	92,8533

Sollecitazioni piedritto destro (Combinazione n° 19)

Y [m]	M [kNm]	V [kN]	N [kN]
0,25	-59,8857	-110,7806	131,6779
1,75	21,4611	-3,2816	111,7727
3,25	-44,0687	86,5970	91,8675

Sollecitazioni fondazione (Combinazione n° 20)

X [m]	M [kNm]	V [kN]	N [kN]
0,25	-53,9604	-120,5563	110,0520
0,98	10,9864	-54,8317	108,5734
1,75	32,3773	4,9127	107,0170
2,52	8,3785	63,6776	105,4606
3,25	-57,3122	119,8642	103,9820

Sollecitazioni traverso (Combinazione n° 20)

X [m]	M [kNm]	V [kN]	N [kN]
0,25	-45,1214	89,8087	93,3924
1,04	7,0610	43,0192	91,8026

1,75	22,5976	0,4833	90,3574
2,46	7,7514	-42,0526	88,9122
3,25	-43,6716	-88,8421	87,3225

Sollecitazioni piedritto sinistro (Combinazione n° 20)

Y [m]	M [kNm]	V [kN]	N [kN]
0,25	-53,9604	104,2559	123,5493
1,75	21,7141	0,4882	106,6790
3,25	-45,1214	-86,3189	89,8087

Sollecitazioni piedritto destro (Combinazione n° 20)

Y [m]	M [kNm]	V [kN]	N [kN]
0,25	-57,3122	-110,0551	122,5827
1,75	22,9464	-2,5561	105,7124
3,25	-43,6716	87,3225	88,8421

Sollecitazioni fondazione (Combinazione n° 21)

X [m]	M [kNm]	V [kN]	N [kN]
0,25	-59,8857	-128,5976	104,7412
0,98	10,7286	-61,6338	106,2197
1,75	36,4207	1,5146	107,7761
2,52	13,3133	66,1317	109,3325
3,25	-56,5750	129,3097	110,8111

Sollecitazioni traverso (Combinazione n° 21)

X [m]	M [kNm]	V [kN]	N [kN]
0,25	-44,0687	91,8675	86,5970
1,04	9,1068	43,4882	88,1867
1,75	24,4622	-0,4929	89,6319
2,46	8,4026	-44,4740	91,0771
3,25	-45,5474	-92,8533	92,6669

Sollecitazioni piedritto sinistro (Combinazione n° 21)

Y [m]	M [kNm]	V [kN]	N [kN]
0,25	-59,8857	110,7806	131,6779
1,75	21,4611	3,2816	111,7727
3,25	-44,0687	-86,5970	91,8675

Sollecitazioni piedritto destro (Combinazione n° 21)

Y [m]	M [kNm]	V [kN]	N [kN]
0,25	-56,5750	-105,0507	132,6638
1,75	20,2735	-1,2022	112,7585
3,25	-45,5474	85,6307	92,8533

Sollecitazioni fondazione (Combinazione n° 22)

X [m]	M [kNm]	V [kN]	N [kN]
0,25	-57,3122	-119,8642	103,9820
0,98	8,3785	-57,5599	105,4606
1,75	32,3773	1,1274	107,0170

2,52	10,9864	61,2556	108,5734
3,25	-53,9604	120,5563	110,0520

Sollecitazioni trasverso (Combinazione n° 22)

X [m]	M [kNm]	V [kN]	N [kN]
0,25	-43,6716	88,8421	87,3225
1,04	7,7514	42,0526	88,9122
1,75	22,5976	-0,4833	90,3574
2,46	7,0610	-43,0192	91,8026
3,25	-45,1214	-89,8087	93,3924

Sollecitazioni piedritto sinistro (Combinazione n° 22)

Y [m]	M [kNm]	V [kN]	N [kN]
0,25	-57,3122	110,0551	122,5827
1,75	22,9464	2,5561	105,7124
3,25	-43,6716	-87,3225	88,8421

Sollecitazioni piedritto destro (Combinazione n° 22)

Y [m]	M [kNm]	V [kN]	N [kN]
0,25	-53,9604	-104,2559	123,5493
1,75	21,7141	-0,4882	106,6790
3,25	-45,1214	86,3189	89,8087

Sollecitazioni fondazione (Combinazione n° 23)

X [m]	M [kNm]	V [kN]	N [kN]
0,25	-56,5750	-129,3097	110,8111
0,98	13,3133	-58,9343	109,3325
1,75	36,4207	5,2689	107,7761
2,52	10,7286	68,5257	106,2197
3,25	-59,8857	128,5976	104,7412

Sollecitazioni trasverso (Combinazione n° 23)

X [m]	M [kNm]	V [kN]	N [kN]
0,25	-45,5474	92,8533	92,6669
1,04	8,4026	44,4740	91,0771
1,75	24,4622	0,4929	89,6319
2,46	9,1068	-43,4882	88,1867
3,25	-44,0687	-91,8675	86,5970

Sollecitazioni piedritto sinistro (Combinazione n° 23)

Y [m]	M [kNm]	V [kN]	N [kN]
0,25	-56,5750	105,0507	132,6638
1,75	20,2735	1,2022	112,7585
3,25	-45,5474	-85,6307	92,8533

Sollecitazioni piedritto destro (Combinazione n° 23)

Y [m]	M [kNm]	V [kN]	N [kN]
0,25	-59,8857	-110,7806	131,6779
1,75	21,4611	-3,2816	111,7727
3,25	-44,0687	86,5970	91,8675

Sollecitazioni fondazione (Combinazione n° 24)

X [m]	M [kNm]	V [kN]	N [kN]
0,25	-53,9604	-120,5563	110,0520
0,98	10,9864	-54,8317	108,5734
1,75	32,3773	4,9127	107,0170
2,52	8,3785	63,6776	105,4606
3,25	-57,3122	119,8642	103,9820

Sollecitazioni traverso (Combinazione n° 24)

X [m]	M [kNm]	V [kN]	N [kN]
0,25	-45,1214	89,8087	93,3924
1,04	7,0610	43,0192	91,8026
1,75	22,5976	0,4833	90,3574
2,46	7,7514	-42,0526	88,9122
3,25	-43,6716	-88,8421	87,3225

Sollecitazioni piedritto sinistro (Combinazione n° 24)

Y [m]	M [kNm]	V [kN]	N [kN]
0,25	-53,9604	104,2559	123,5493
1,75	21,7141	0,4882	106,6790
3,25	-45,1214	-86,3189	89,8087

Sollecitazioni piedritto destro (Combinazione n° 24)

Y [m]	M [kNm]	V [kN]	N [kN]
0,25	-57,3122	-110,0551	122,5827
1,75	22,9464	-2,5561	105,7124
3,25	-43,6716	87,3225	88,8421

Sollecitazioni fondazione (Combinazione n° 25)

X [m]	M [kNm]	V [kN]	N [kN]
0,25	-59,8857	-128,5976	104,7412
0,98	10,7286	-61,6338	106,2197
1,75	36,4207	1,5146	107,7761
2,52	13,3133	66,1317	109,3325
3,25	-56,5750	129,3097	110,8111

Sollecitazioni traverso (Combinazione n° 25)

X [m]	M [kNm]	V [kN]	N [kN]
0,25	-44,0687	91,8675	86,5970
1,04	9,1068	43,4882	88,1867
1,75	24,4622	-0,4929	89,6319
2,46	8,4026	-44,4740	91,0771
3,25	-45,5474	-92,8533	92,6669

Sollecitazioni piedritto sinistro (Combinazione n° 25)

Y [m]	M [kNm]	V [kN]	N [kN]
0,25	-59,8857	110,7806	131,6779
1,75	21,4611	3,2816	111,7727

3,25	-44,0687	-86,5970	91,8675
------	----------	----------	---------

Sollecitazioni piedritto destro (Combinazione n° 25)

Y [m]	M [kNm]	V [kN]	N [kN]
0,25	-56,5750	-105,0507	132,6638
1,75	20,2735	-1,2022	112,7585
3,25	-45,5474	85,6307	92,8533

Sollecitazioni fondazione (Combinazione n° 26)

X [m]	M [kNm]	V [kN]	N [kN]
0,25	-57,3122	-119,8642	103,9820
0,98	8,3785	-57,5599	105,4606
1,75	32,3773	1,1274	107,0170
2,52	10,9864	61,2556	108,5734
3,25	-53,9604	120,5563	110,0520

Sollecitazioni traverso (Combinazione n° 26)

X [m]	M [kNm]	V [kN]	N [kN]
0,25	-43,6716	88,8421	87,3225
1,04	7,7514	42,0526	88,9122
1,75	22,5976	-0,4833	90,3574
2,46	7,0610	-43,0192	91,8026
3,25	-45,1214	-89,8087	93,3924

Sollecitazioni piedritto sinistro (Combinazione n° 26)

Y [m]	M [kNm]	V [kN]	N [kN]
0,25	-57,3122	110,0551	122,5827
1,75	22,9464	2,5561	105,7124
3,25	-43,6716	-87,3225	88,8421

Sollecitazioni piedritto destro (Combinazione n° 26)

Y [m]	M [kNm]	V [kN]	N [kN]
0,25	-53,9604	-104,2559	123,5493
1,75	21,7141	-0,4882	106,6790
3,25	-45,1214	86,3189	89,8087

Sollecitazioni fondazione (Combinazione n° 27)

X [m]	M [kNm]	V [kN]	N [kN]
0,25	-56,5750	-129,3097	110,8111
0,98	13,3133	-58,9343	109,3325
1,75	36,4207	5,2689	107,7761
2,52	10,7286	68,5257	106,2197
3,25	-59,8857	128,5976	104,7412

Sollecitazioni traverso (Combinazione n° 27)

X [m]	M [kNm]	V [kN]	N [kN]
0,25	-45,5474	92,8533	92,6669
1,04	8,4026	44,4740	91,0771
1,75	24,4622	0,4929	89,6319
2,46	9,1068	-43,4882	88,1867
3,25	-44,0687	-91,8675	86,5970

Sollecitazioni piedritto sinistro (Combinazione n° 27)

Y [m]	M [kNm]	V [kN]	N [kN]
0,25	-56,5750	105,0507	132,6638
1,75	20,2735	1,2022	112,7585
3,25	-45,5474	-85,6307	92,8533

Sollecitazioni piedritto destro (Combinazione n° 27)

Y [m]	M [kNm]	V [kN]	N [kN]
0,25	-59,8857	-110,7806	131,6779
1,75	21,4611	-3,2816	111,7727
3,25	-44,0687	86,5970	91,8675

Sollecitazioni fondazione (Combinazione n° 28)

X [m]	M [kNm]	V [kN]	N [kN]
0,25	-53,9604	-120,5563	110,0520
0,98	10,9864	-54,8317	108,5734
1,75	32,3773	4,9127	107,0170
2,52	8,3785	63,6776	105,4606
3,25	-57,3122	119,8642	103,9820

Sollecitazioni traverso (Combinazione n° 28)

X [m]	M [kNm]	V [kN]	N [kN]
0,25	-45,1214	89,8087	93,3924
1,04	7,0610	43,0192	91,8026
1,75	22,5976	0,4833	90,3574
2,46	7,7514	-42,0526	88,9122
3,25	-43,6716	-88,8421	87,3225

Sollecitazioni piedritto sinistro (Combinazione n° 28)

Y [m]	M [kNm]	V [kN]	N [kN]
0,25	-53,9604	104,2559	123,5493
1,75	21,7141	0,4882	106,6790
3,25	-45,1214	-86,3189	89,8087

Sollecitazioni piedritto destro (Combinazione n° 28)

Y [m]	M [kNm]	V [kN]	N [kN]
0,25	-57,3122	-110,0551	122,5827
1,75	22,9464	-2,5561	105,7124
3,25	-43,6716	87,3225	88,8421

Pressioni terreno

Pressioni sul terreno di fondazione (Combinazione n° 1)

X [m]	s _t [kg/cmq]
0,25	1,36
0,98	1,28
1,75	1,23
2,52	1,28
3,25	1,36

Pressioni sul terreno di fondazione (Combinazione n° 2)

X [m]	s _t [kg/cmq]
0,25	1,62
0,98	1,52
1,75	1,46
2,52	1,52
3,25	1,62

Pressioni sul terreno di fondazione (Combinazione n° 3)

X [m]	s _t [kg/cmq]
0,25	1,81
0,98	1,70
1,75	1,63
2,52	1,70
3,25	1,81

Pressioni sul terreno di fondazione (Combinazione n° 4)

X [m]	s _t [kg/cmq]
0,25	0,98
0,98	1,01
1,75	1,04
2,52	1,11
3,25	1,17

Pressioni sul terreno di fondazione (Combinazione n° 5)

X [m]	s _t [kg/cmq]
0,25	0,79
0,98	0,83
1,75	0,86
2,52	0,92
3,25	0,97

Pressioni sul terreno di fondazione (Combinazione n° 6)

X [m]	s _t [kg/cmq]
0,25	0,75
0,98	0,76
1,75	0,78
2,52	0,84
3,25	0,90

Pressioni sul terreno di fondazione (Combinazione n° 7)

X [m]	s _t [kg/cmq]
0,25	0,55
0,98	0,58
1,75	0,60

2,52	0,65
3,25	0,70

Pressioni sul terreno di fondazione (Combinazione n° 8)

X [m]	st [kg/cmq]
0,25	1,17
0,98	1,11
1,75	1,04
2,52	1,01
3,25	0,98

Pressioni sul terreno di fondazione (Combinazione n° 9)

X [m]	st [kg/cmq]
0,25	0,97
0,98	0,92
1,75	0,86
2,52	0,83
3,25	0,79

Pressioni sul terreno di fondazione (Combinazione n° 10)

X [m]	st [kg/cmq]
0,25	0,90
0,98	0,84
1,75	0,78
2,52	0,76
3,25	0,75

Pressioni sul terreno di fondazione (Combinazione n° 11)

X [m]	st [kg/cmq]
0,25	0,70
0,98	0,65
1,75	0,60
2,52	0,58
3,25	0,55

Pressioni sul terreno di fondazione (Combinazione n° 12)

X [m]	st [kg/cmq]
0,25	0,76
0,98	0,70
1,75	0,67
2,52	0,70
3,25	0,76

Pressioni sul terreno di fondazione (Combinazione n° 13)

X [m]	st [kg/cmq]
0,25	0,76
0,98	0,70
1,75	0,67
2,52	0,70
3,25	0,76

Pressioni sul terreno di fondazione (Combinazione n° 14)

X [m]	st [kg/cmq]
0,25	1,18
0,98	1,10

1,75	1,06
2,52	1,10
3,25	1,18

Pressioni sul terreno di fondazione (Combinazione n° 15)

X [m]	s _t [kg/cmq]
0,25	1,18
0,98	1,10
1,75	1,06
2,52	1,10
3,25	1,18

Pressioni sul terreno di fondazione (Combinazione n° 16)

X [m]	s _t [kg/cmq]
0,25	1,32
0,98	1,24
1,75	1,19
2,52	1,24
3,25	1,32

Pressioni sul terreno di fondazione (Combinazione n° 17)

X [m]	s _t [kg/cmq]
0,25	0,75
0,98	0,73
1,75	0,72
2,52	0,76
3,25	0,82

Pressioni sul terreno di fondazione (Combinazione n° 18)

X [m]	s _t [kg/cmq]
0,25	0,67
0,98	0,65
1,75	0,64
2,52	0,68
3,25	0,73

Pressioni sul terreno di fondazione (Combinazione n° 19)

X [m]	s _t [kg/cmq]
0,25	0,82
0,98	0,76
1,75	0,72
2,52	0,73
3,25	0,75

Pressioni sul terreno di fondazione (Combinazione n° 20)

X [m]	s _t [kg/cmq]
0,25	0,73
0,98	0,68
1,75	0,64
2,52	0,65
3,25	0,67

Pressioni sul terreno di fondazione (Combinazione n° 21)

X [m]	s _t [kg/cmq]
0,25	0,75

0,98	0,73
1,75	0,72
2,52	0,76
3,25	0,82

Pressioni sul terreno di fondazione (Combinazione n° 22)

X [m]	s _t [kg/cmq]
0,25	0,67
0,98	0,65
1,75	0,64
2,52	0,68
3,25	0,73

Pressioni sul terreno di fondazione (Combinazione n° 23)

X [m]	s _t [kg/cmq]
0,25	0,82
0,98	0,76
1,75	0,72
2,52	0,73
3,25	0,75

Pressioni sul terreno di fondazione (Combinazione n° 24)

X [m]	s _t [kg/cmq]
0,25	0,73
0,98	0,68
1,75	0,64
2,52	0,65
3,25	0,67

Pressioni sul terreno di fondazione (Combinazione n° 25)

X [m]	s _t [kg/cmq]
0,25	0,75
0,98	0,73
1,75	0,72
2,52	0,76
3,25	0,82

Pressioni sul terreno di fondazione (Combinazione n° 26)

X [m]	s _t [kg/cmq]
0,25	0,67
0,98	0,65
1,75	0,64
2,52	0,68
3,25	0,73

Pressioni sul terreno di fondazione (Combinazione n° 27)

X [m]	s _t [kg/cmq]
0,25	0,82
0,98	0,76
1,75	0,72
2,52	0,73
3,25	0,75

Pressioni sul terreno di fondazione (Combinazione n° 28)

X [m]	s _t [kg/cmq]
-------	-------------------------

0,25	0,73
0,98	0,68
1,75	0,64
2,52	0,65
3,25	0,67

Verifiche combinazioni SLU

Simbologia adottata ed unità di misura

N°	Indice sezione
X	Ascissa/Ordinata sezione, espresso in cm
M	Momento flettente, espresso in kNm
V	Taglio, espresso in kN
N	Sforzo normale, espresso in kN
N_u	Sforzo normale ultimo, espressa in kN
M_u	Momento ultimo, espressa in kNm
A_{fi}	Area armatura inferiore, espressa in cmq
A_{fs}	Area armatura superiore, espressa in cmq
CS	Coeff. di sicurezza sezione
V_{Rd}	Aliquota taglio assorbita dal calcestruzzo in elementi senza armature trasversali, espressa in kN
V_{Rcd}	Aliquota taglio assorbita dal calcestruzzo in elementi con armature trasversali, espressa in kN
V_{Rsd}	Aliquota taglio assorbita armature trasversali, espressa in kN
A_{sw}	Area armature trasversali nella sezione, espressa in cmq

Verifica sezioni fondazione [Combinazione n° 1 - SLU (Approccio 2)]

Base sezione B = 100 cm
Altezza sezione H = 50,00 cm

Verifiche presso-flessione

N°	X	M	N	N_u	M_u	A_{fi}	A_{fs}	CS
1	0,25	61,11 (61,11)	82,56	437,35	323,72	14,07	10,05	5,30
2	0,98	-28,88 (-59,66)	82,56	452,00	-326,64	10,05	14,07	5,47
3	1,75	-60,20 (-60,20)	82,56	325,76	-237,51	10,05	10,05	3,95
4	2,52	-28,88 (-60,20)	82,56	446,48	-325,54	10,05	14,07	5,41
5	3,25	61,11 (61,11)	82,56	437,35	323,72	14,07	10,05	5,30

Verifiche taglio

N°	X	A_{sw}	V	V_{Rd}	V_{Rsd}	V_{Rcd}	FS
1	0,25	4,02	-159,72	0,00	394,30	1892,84	2.469
2	0,98	0,00	-76,01	208,46	0,00	0,00	2.743
3	1,75	0,00	5,82	208,46	0,00	0,00	35.837
4	2,52	0,00	88,09	208,46	0,00	0,00	2.366
5	3,25	4,02	159,72	0,00	394,30	1892,84	2.469

Verifica sezioni traverso [Combinazione n° 1 - SLU (Approccio 2)]

Base sezione B = 100 cm
Altezza sezione H = 50,00 cm

Verifiche presso-flessione

N°	X	M	N	N_u	M_u	A_{fi}	A_{fs}	CS
1	0,25	-43,39 (-43,39)	55,02	434,35	-342,48	15,27	15,27	7,89
2	1,04	24,75 (44,73)	55,02	481,98	391,78	17,81	15,27	8,76
3	1,75	44,73 (44,73)	55,02	417,09	339,03	15,27	15,27	7,58
4	2,46	24,75 (44,73)	55,02	481,98	391,78	17,81	15,27	8,76
5	3,25	-43,39 (-43,39)	55,02	434,35	-342,48	15,27	15,27	7,89

Verifiche taglio

N°	X	A_{sw}	V	V_{Rd}	V_{Rsd}	V_{Rcd}	FS
1	0,25	2,54	117,48	0,00	249,52	1887,46	2.124
2	1,04	0,00	55,94	210,64	0,00	0,00	3.765

3	1,75	0,00	0,00	210,64	0,00	0,00	100,000
4	2,46	0,00	-55,94	210,64	0,00	0,00	3,765
5	3,25	2,54	-117,48	0,00	249,52	1887,46	2,124

Verifica sezioni piedritto sinistro [Combinazione n° 1 - SLU (Approccio 2)]

Base sezione B = 100 cm
 Altezza sezione H = 50,00 cm

Verifiche presso-flessione

N°	X	M	N	N _u	M _u	A _{fi}	A _{fs}	CS
1	0,25	-61,11 (-61,11)	165,29	1532,40	-566,54	16,08	16,08	9,27
2	1,75	-0,40 (-1,16)	141,39	8691,14	-71,42	16,08	16,08	61,47
3	3,25	-43,39 (-61,11)	117,48	837,52	-435,65	16,08	16,08	7,13

Verifiche taglio

N°	X	A _{sw}	V	V _{Rd}	V _{Rsd}	V _{Rcd}	FS
1	0,25	0,00	82,67	229,08	0,00	0,00	2,771
2	1,75	0,00	1,87	225,86	0,00	0,00	120,638
3	3,25	0,00	-55,02	222,63	0,00	0,00	4,046

Verifica sezioni piedritto destro [Combinazione n° 1 - SLU (Approccio 2)]

Base sezione B = 100 cm
 Altezza sezione H = 50,00 cm

Verifiche presso-flessione

N°	X	M	N	N _u	M _u	A _{fi}	A _{fs}	CS
1	0,25	-61,11 (-61,11)	165,29	1532,40	-566,54	16,08	16,08	9,27
2	1,75	-0,40 (-1,16)	141,39	8691,14	-71,42	16,08	16,08	61,47
3	3,25	-43,39 (-61,11)	117,48	837,52	-435,65	16,08	16,08	7,13

Verifiche taglio

N°	X	A _{sw}	V	V _{Rd}	V _{Rsd}	V _{Rcd}	FS
1	0,25	0,00	-82,67	229,08	0,00	0,00	2,771
2	1,75	0,00	-1,87	225,86	0,00	0,00	120,638
3	3,25	0,00	55,02	222,63	0,00	0,00	4,046

Verifica sezioni fondazione [Combinazione n° 2 - SLU (Approccio 2)]

Base sezione B = 100 cm
 Altezza sezione H = 50,00 cm

Verifiche presso-flessione

N°	X	M	N	N _u	M _u	A _{fi}	A _{fs}	CS
1	0,25	99,72 (99,72)	161,77	567,03	349,54	14,07	10,05	3,51
2	0,98	-33,58 (-79,67)	161,77	806,54	-397,23	10,05	14,07	4,99
3	1,75	-79,79 (-79,79)	161,77	591,26	-291,64	10,05	10,05	3,66
4	2,52	-33,58 (-79,79)	161,77	804,51	-396,83	10,05	14,07	4,97
5	3,25	99,72 (99,72)	161,77	567,03	349,54	14,07	10,05	3,51

Verifiche taglio

N°	X	A _{sw}	V	V _{Rd}	V _{Rsd}	V _{Rcd}	FS
----	---	-----------------	---	-----------------	------------------	------------------	----

1	0,25	4,02	-243,31	0,00	394,30	1908,33		1.621
2	0,98	0,00	-113,81	219,15	0,00	0,00		1.926
3	1,75	0,00	6,87	219,15	0,00	0,00		31.913
4	2,52	0,00	128,13	219,15	0,00	0,00		1.710
5	3,25	4,02	243,31	0,00	394,30	1908,33		1.621

Verifica sezioni traverso [Combinazione n° 2 - SLU (Approccio 2)]

Base sezione B = 100 cm
Altezza sezione H = 50,00 cm

Verifiche presso-flessione

N°	X	M	N	N _u	M _u	A _{fi}	A _{fs}	CS
1	0,25	-84,75 (-84,75)	135,76	602,23	-375,99	15,27	15,27	4,44
2	1,04	32,46 (66,84)	135,76	1005,26	494,93	17,81	15,27	7,40
3	1,75	66,84 (66,84)	135,76	873,73	430,17	15,27	15,27	6,44
4	2,46	32,46 (66,84)	135,76	1005,26	494,93	17,81	15,27	7,40
5	3,25	-84,75 (-84,75)	135,76	602,23	-375,99	15,27	15,27	4,44

Verifiche taglio

N°	X	A _{sw}	V	V _{Rd}	V _{Rsd}	V _{Rcd}	FS
1	0,25	2,54	202,12	0,00	249,52	1903,24	1.234
2	1,04	0,00	96,25	221,53	0,00	0,00	2.302
3	1,75	0,00	0,00	221,53	0,00	0,00	100.000
4	2,46	0,00	-96,25	221,53	0,00	0,00	2.302
5	3,25	2,54	-202,12	0,00	249,52	1903,24	1.234

Verifica sezioni piedritto sinistro [Combinazione n° 2 - SLU (Approccio 2)]

Base sezione B = 100 cm
Altezza sezione H = 50,00 cm

Verifiche presso-flessione

N°	X	M	N	N _u	M _u	A _{fi}	A _{fs}	CS
1	0,25	-99,72 (-99,72)	249,93	1328,90	-530,22	16,08	16,08	5,32
2	1,75	18,54 (18,54)	226,03	7206,24	591,06	16,08	16,08	31,88
3	3,25	-84,75 (-99,72)	202,12	913,78	-450,83	16,08	16,08	4,52

Verifiche taglio

N°	X	A _{sw}	V	V _{Rd}	V _{Rsd}	V _{Rcd}	FS
1	0,25	0,00	161,98	240,51	0,00	0,00	1.485
2	1,75	0,00	3,06	237,28	0,00	0,00	77.565
3	3,25	0,00	-135,76	234,05	0,00	0,00	1.724

Verifica sezioni piedritto destro [Combinazione n° 2 - SLU (Approccio 2)]

Base sezione B = 100 cm
Altezza sezione H = 50,00 cm

Verifiche presso-flessione

N°	X	M	N	N _u	M _u	A _{fi}	A _{fs}	CS
1	0,25	-99,72 (-99,72)	249,93	1328,90	-530,22	16,08	16,08	5,32
2	1,75	18,54 (18,54)	226,03	7206,24	591,06	16,08	16,08	31,88
3	3,25	-84,75 (-99,72)	202,12	913,78	-450,83	16,08	16,08	4,52

Verifiche taglio

N°	X	A _{sw}	V	V _{Rd}	V _{Rsd}	V _{Rcd}	FS
1	0,25	0,00	-161,98	240,51	0,00	0,00	1.485
2	1,75	0,00	-3,06	237,28	0,00	0,00	77.565
3	3,25	0,00	135,76	234,05	0,00	0,00	1.724

Verifica sezioni fondazione [Combinazione n° 3 - SLU (Approccio 2)]

Base sezione B = 100 cm

Altezza sezione H = 50,00 cm

Verifiche presso-flessione

N°	X	M	N	N _u	M _u	A _{fi}	A _{fs}	CS
1	0,25	111,30 (111,30)	181,90	573,27	350,78	14,07	10,05	3,15
2	0,98	-36,52 (-87,65)	181,90	836,89	-403,27	10,05	14,07	4,60
3	1,75	-87,81 (-87,81)	181,90	613,51	-296,18	10,05	10,05	3,37
4	2,52	-36,52 (-87,81)	181,90	834,27	-402,75	10,05	14,07	4,59
5	3,25	111,30 (111,30)	181,90	573,27	350,78	14,07	10,05	3,15

Verifiche taglio

N°	X	A _{sw}	V	V _{Rd}	V _{Rsd}	V _{Rcd}	FS
1	0,25	4,02	-269,11	0,00	394,30	1912,26	1.465
2	0,98	0,00	-126,26	221,87	0,00	0,00	1.757
3	1,75	0,00	7,69	221,87	0,00	0,00	28.860
4	2,52	0,00	142,27	221,87	0,00	0,00	1.559
5	3,25	4,02	269,11	0,00	394,30	1912,26	1.465

Verifica sezioni traverso [Combinazione n° 3 - SLU (Approccio 2)]

Base sezione B = 100 cm

Altezza sezione H = 50,00 cm

Verifiche presso-flessione

N°	X	M	N	N _u	M _u	A _{fi}	A _{fs}	CS
1	0,25	-96,47 (-96,47)	156,02	610,82	-377,70	15,27	15,27	3,92
2	1,04	36,16 (75,05)	156,02	1045,33	502,83	17,81	15,27	6,70
3	1,75	75,05 (75,05)	156,02	908,86	437,19	15,27	15,27	5,83
4	2,46	36,16 (75,05)	156,02	1045,33	502,83	17,81	15,27	6,70
5	3,25	-96,47 (-96,47)	156,02	610,82	-377,70	15,27	15,27	3,92

Verifiche taglio

N°	X	A _{sw}	V	V _{Rd}	V _{Rsd}	V _{Rcd}	FS
1	0,25	2,54	228,70	0,00	249,52	1907,20	1.091
2	1,04	0,00	108,90	224,27	0,00	0,00	2.059
3	1,75	0,00	0,00	224,27	0,00	0,00	100.000
4	2,46	0,00	-108,90	224,27	0,00	0,00	2.059
5	3,25	2,54	-228,70	0,00	249,52	1907,20	1.091

Verifica sezioni piedritto sinistro [Combinazione n° 3 - SLU (Approccio 2)]

Base sezione B = 100 cm

Altezza sezione H = 50,00 cm

Verifiche presso-flessione

N°	X	M	N	N _u	M _u	A _{fi}	A _{fs}	CS
1	0,25	-111,30 (-111,30)	276,51	1307,87	-526,46	16,08	16,08	4,73
2	1,75	22,05 (22,05)	252,60	7031,04	613,71	16,08	16,08	27,83
3	3,25	-96,47 (-111,30)	228,70	935,00	-455,05	16,08	16,08	4,09

Verifiche taglio

N°	X	A _{sw}	V	V _{Rd}	V _{Rsd}	V _{Rcd}	FS
1	0,25	0,00	182,13	244,10	0,00	0,00	1.340
2	1,75	0,00	3,02	240,87	0,00	0,00	79.815
3	3,25	0,00	-156,02	237,64	0,00	0,00	1.523

Verifica sezioni piedritto destro [Combinazione n° 3 - SLU (Approccio 2)]

Base sezione B = 100 cm

Altezza sezione H = 50,00 cm

Verifiche presso-flessione

N°	X	M	N	N _u	M _u	A _{fi}	A _{fs}	CS
1	0,25	-111,30 (-111,30)	276,51	1307,87	-526,46	16,08	16,08	4,73
2	1,75	22,05 (22,05)	252,60	7031,04	613,71	16,08	16,08	27,83
3	3,25	-96,47 (-111,30)	228,70	935,00	-455,05	16,08	16,08	4,09

Verifiche taglio

N°	X	A _{sw}	V	V _{Rd}	V _{Rsd}	V _{Rcd}	FS
1	0,25	0,00	-182,13	244,10	0,00	0,00	1.340
2	1,75	0,00	-3,02	240,87	0,00	0,00	79.815
3	3,25	0,00	156,02	237,64	0,00	0,00	1.523

Verifica sezioni fondazione [Combinazione n° 4 - SLU (Approccio 2) - Sisma Vert. positivo]

Base sezione B = 100 cm

Altezza sezione H = 50,00 cm

Verifiche presso-flessione

N°	X	M	N	N _u	M _u	A _{fi}	A _{fs}	CS
1	0,25	76,34 (76,34)	141,69	696,69	375,36	14,07	10,05	4,92
2	0,98	1,34 (28,49)	145,00	3719,19	730,67	10,05	14,07	25,65
3	1,75	-28,61 (-28,75)	148,48	3629,53	-702,86	10,05	10,05	24,44
4	2,52	-6,64 (-28,75)	151,96	3987,98	-754,58	10,05	14,07	26,24
5	3,25	65,63 (76,34)	155,27	808,88	397,70	14,07	10,05	5,21

Verifiche taglio

N°	X	A _{sw}	V	V _{Rd}	V _{Rsd}	V _{Rcd}	FS
1	0,25	4,02	-129,08	0,00	394,30	1904,40	3.055
2	0,98	0,00	-67,03	216,89	0,00	0,00	3.236
3	1,75	0,00	-0,84	217,36	0,00	0,00	258.547
4	2,52	0,00	68,92	217,83	0,00	0,00	3.160
5	3,25	4,02	130,14	0,00	394,30	1907,06	3.030

Verifica sezioni traverso [Combinazione n° 4 - SLU (Approccio 2) - Sisma Vert. positivo]

Base sezione B = 100 cm
 Altezza sezione H = 50,00 cm

Verifiche presso-flessione

N°	X	M	N	N _u	M _u	A _{fi}	A _{fs}	CS
1	0,25	-53,07 (-55,83)	131,08	1130,15	-481,35	15,27	15,27	8,62
2	1,04	-1,34 (-18,41)	134,63	5601,01	-765,95	17,81	15,27	41,60
3	1,75	13,39 (13,39)	137,86	6644,28	645,34	15,27	15,27	48,19
4	2,46	-2,65 (-20,47)	141,10	5386,34	-781,26	17,81	15,27	38,17
5	3,25	-55,83 (-55,83)	144,65	1351,53	-521,62	15,27	15,27	9,34

Verifiche taglio

N°	X	A _{sw}	V	V _{Rd}	V _{Rsd}	V _{Rcd}	FS
1	0,25	2,54	89,54	0,00	249,52	1902,33	2.787
2	1,04	0,00	42,16	221,38	0,00	0,00	5.251
3	1,75	0,00	-0,92	221,82	0,00	0,00	241.722
4	2,46	0,00	-43,99	222,26	0,00	0,00	5.052
5	3,25	2,54	-91,37	0,00	249,52	1904,98	2.731

Verifica sezioni piedritto sinistro [Combinazione n° 4 - SLU (Approccio 2) - Sisma Vert. positivo]

Base sezione B = 100 cm
 Altezza sezione H = 50,00 cm

Verifiche presso-flessione

N°	X	M	N	N _u	M _u	A _{fi}	A _{fs}	CS
1	0,25	-76,34 (-76,34)	133,10	718,11	-411,88	16,08	16,08	5,40
2	1,75	43,96 (43,99)	111,32	1352,30	534,40	16,08	16,08	12,15
3	3,25	-53,07 (-76,34)	89,54	411,49	-350,84	16,08	16,08	4,60

Verifiche taglio

N°	X	A _{sw}	V	V _{Rd}	V _{Rsd}	V _{Rcd}	FS
1	0,25	0,00	158,71	224,74	0,00	0,00	1.416
2	1,75	0,00	4,72	221,80	0,00	0,00	47.031
3	3,25	0,00	-131,08	218,86	0,00	0,00	1.670

Verifica sezioni piedritto destro [Combinazione n° 4 - SLU (Approccio 2) - Sisma Vert. positivo]

Base sezione B = 100 cm
 Altezza sezione H = 50,00 cm

Verifiche presso-flessione

N°	X	M	N	N _u	M _u	A _{fi}	A _{fs}	CS
1	0,25	-65,63 (-65,63)	134,94	935,97	-455,24	16,08	16,08	6,94
2	1,75	39,25 (39,25)	113,15	1740,10	603,62	16,08	16,08	15,38
3	3,25	-55,83 (-65,63)	91,37	517,95	-372,03	16,08	16,08	5,67

Verifiche taglio

N°	X	A _{sw}	V	V _{Rd}	V _{Rsd}	V _{Rcd}	FS
1	0,25	0,00	-138,64	224,98	0,00	0,00	1.623
2	1,75	0,00	1,15	222,04	0,00	0,00	192.657
3	3,25	0,00	124,47	219,10	0,00	0,00	1.760

Verifica sezioni fondazione [Combinazione n° 5 - SLU (Approccio 2) - Sisma Vert. negativo]

Base sezione B = 100 cm
 Altezza sezione H = 50,00 cm

Verifiche presso-flessione

N°	X	M	N	N _u	M _u	A _{fi}	A _{fs}	CS
1	0,25	70,58 (70,58)	140,00	775,67	391,08	14,07	10,05	5,54
2	0,98	6,60 (30,05)	143,30	3393,98	711,77	10,05	14,07	23,68
3	1,75	-19,56 (-19,77)	146,78	5168,55	-696,22	10,05	10,05	35,21
4	2,52	-1,44 (-19,77)	150,27	5321,07	-700,16	10,05	14,07	35,41
5	3,25	59,78 (70,58)	153,57	908,38	417,51	14,07	10,05	5,92

Verifiche taglio

N°	X	A _{sw}	V	V _{Rd}	V _{Rsd}	V _{Rcd}	FS
1	0,25	4,02	-109,55	0,00	394,30	1904,07	3.599
2	0,98	0,00	-57,92	216,66	0,00	0,00	3.741
3	1,75	0,00	-1,71	217,13	0,00	0,00	127.210
4	2,52	0,00	58,02	217,60	0,00	0,00	3.751
5	3,25	4,02	110,57	0,00	394,30	1906,73	3.566

Verifica sezioni traverso [Combinazione n° 5 - SLU (Approccio 2) - Sisma Vert. negativo]

Base sezione B = 100 cm
 Altezza sezione H = 50,00 cm

Verifiche presso-flessione

N°	X	M	N	N _u	M _u	A _{fi}	A _{fs}	CS
1	0,25	-52,19 (-54,87)	132,70	1192,68	-493,21	15,27	15,27	8,99
2	1,04	-4,37 (-20,14)	136,25	5317,93	-786,14	17,81	15,27	39,03
3	1,75	9,22 (9,22)	139,49	7723,11	510,47	15,27	15,27	55,37
4	2,46	-5,65 (-22,15)	142,72	5136,05	-797,05	17,81	15,27	35,99
5	3,25	-54,87 (-54,87)	146,27	1425,85	-534,91	15,27	15,27	9,75

Verifiche taglio

N°	X	A _{sw}	V	V _{Rd}	V _{Rsd}	V _{Rcd}	FS
1	0,25	2,54	82,77	0,00	249,52	1902,64	3.015
2	1,04	0,00	38,95	221,60	0,00	0,00	5.690
3	1,75	0,00	-0,90	222,04	0,00	0,00	247.780
4	2,46	0,00	-40,74	222,47	0,00	0,00	5.461
5	3,25	2,54	-84,56	0,00	249,52	1905,30	2.951

Verifica sezioni piedritto sinistro [Combinazione n° 5 - SLU (Approccio 2) - Sisma Vert. negativo]

Base sezione B = 100 cm
 Altezza sezione H = 50,00 cm

Verifiche presso-flessione

N°	X	M	N	N _u	M _u	A _{fi}	A _{fs}	CS
1	0,25	-70,58 (-70,58)	112,76	629,92	-394,32	16,08	16,08	5,59
2	1,75	47,28 (47,28)	97,76	944,94	457,03	16,08	16,08	9,67
3	3,25	-52,19 (-70,58)	82,77	411,39	-350,82	16,08	16,08	4,97

Verifiche taglio

N°	X	A _{sw}	V	V _{Rd}	V _{Rsd}	V _{Rcd}	FS
----	---	-----------------	---	-----------------	------------------	------------------	----

1	0,25	0,00	157,09	221,99	0,00	0,00	1.413
2	1,75	0,00	3,09	219,97	0,00	0,00	71.111
3	3,25	0,00	-132,70	217,94	0,00	0,00	1.642

Verifica sezioni piedritto destro [Combinazione n° 5 - SLU (Approccio 2) - Sisma Vert. negativo]

Base sezione B = 100 cm
 Altezza sezione H = 50,00 cm

Verifiche presso-flessione

N°	X	M	N	N _u	M _u	A _{fi}	A _{fs}	CS
1	0,25	-59,78 (-59,78)	114,55	833,03	-434,75	16,08	16,08	7,27
2	1,75	42,47 (42,47)	99,56	1180,86	503,79	16,08	16,08	11,86
3	3,25	-54,87 (-59,78)	84,56	529,49	-374,33	16,08	16,08	6,26

Verifiche taglio

N°	X	A _{sw}	V	V _{Rd}	V _{Rsd}	V _{Rcd}	FS
1	0,25	0,00	-136,86	222,23	0,00	0,00	1.624
2	1,75	0,00	2,75	220,21	0,00	0,00	80.087
3	3,25	0,00	126,01	218,18	0,00	0,00	1.732

Verifica sezioni fondazione [Combinazione n° 6 - SLU (Approccio 2) - Sisma Vert. positivo]

Base sezione B = 100 cm
 Altezza sezione H = 50,00 cm

Verifiche presso-flessione

N°	X	M	N	N _u	M _u	A _{fi}	A _{fs}	CS
1	0,25	72,81 (72,81)	137,12	712,93	378,59	14,07	10,05	5,20
2	0,98	-1,59 (-28,46)	140,42	3666,93	-743,27	10,05	14,07	26,11
3	1,75	-30,17 (-30,17)	143,90	3242,56	-679,76	10,05	10,05	22,53
4	2,52	-7,34 (-30,17)	147,39	3622,34	-741,44	10,05	14,07	24,58
5	3,25	65,44 (72,81)	150,69	833,00	402,50	14,07	10,05	5,53

Verifiche taglio

N°	X	A _{sw}	V	V _{Rd}	V _{Rsd}	V _{Rcd}	FS
1	0,25	4,02	-133,66	0,00	394,30	1903,51	2.950
2	0,98	0,00	-66,34	216,27	0,00	0,00	3.260
3	1,75	0,00	-0,51	216,74	0,00	0,00	428.142
4	2,52	0,00	68,21	217,21	0,00	0,00	3.184
5	3,25	4,02	135,21	0,00	394,30	1906,16	2.916

Verifica sezioni traverso [Combinazione n° 6 - SLU (Approccio 2) - Sisma Vert. positivo]

Base sezione B = 100 cm
 Altezza sezione H = 50,00 cm

Verifiche presso-flessione

N°	X	M	N	N _u	M _u	A _{fi}	A _{fs}	CS
1	0,25	-52,55 (-55,79)	123,37	1012,58	-457,89	15,27	15,27	8,21
2	1,04	1,25 (16,51)	126,92	5680,97	738,87	17,81	15,27	44,76
3	1,75	16,51 (16,51)	130,16	5744,02	728,52	15,27	15,27	44,13
4	2,46	-0,29 (-18,90)	133,39	5471,19	-775,21	17,81	15,27	41,02
5	3,25	-55,79 (-55,79)	136,94	1224,84	-498,96	15,27	15,27	8,94

Verifiche taglio

N°	X	A _{sw}	V	V _{Rd}	V _{Rsd}	V _{Rcd}	FS
1	0,25	2,54	93,16	0,00	249,52	1900,82	2.678
2	1,04	0,00	43,80	220,34	0,00	0,00	5.031
3	1,75	0,00	-1,08	220,78	0,00	0,00	204.779
4	2,46	0,00	-45,95	221,21	0,00	0,00	4.814
5	3,25	2,54	-95,32	0,00	249,52	1903,47	2.618

Verifica sezioni piedritto sinistro [Combinazione n° 6 - SLU (Approccio 2) - Sisma Vert. positivo]

Base sezione B = 100 cm
 Altezza sezione H = 50,00 cm

Verifiche presso-flessione

N°	X	M	N	N _u	M _u	A _{fi}	A _{fs}	CS
1	0,25	-72,81 (-72,81)	136,72	806,37	-429,44	16,08	16,08	5,90
2	1,75	39,45 (39,50)	114,94	1770,82	608,54	16,08	16,08	15,41
3	3,25	-52,55 (-72,81)	93,16	461,64	-360,82	16,08	16,08	4,96

Verifiche taglio

N°	X	A _{sw}	V	V _{Rd}	V _{Rsd}	V _{Rcd}	FS
1	0,25	0,00	150,51	225,23	0,00	0,00	1.496
2	1,75	0,00	4,76	222,28	0,00	0,00	46.670
3	3,25	0,00	-123,37	219,34	0,00	0,00	1.778

Verifica sezioni piedritto destro [Combinazione n° 6 - SLU (Approccio 2) - Sisma Vert. positivo]

Base sezione B = 100 cm
 Altezza sezione H = 50,00 cm

Verifiche presso-flessione

N°	X	M	N	N _u	M _u	A _{fi}	A _{fs}	CS
1	0,25	-65,44 (-65,44)	138,88	988,30	-465,66	16,08	16,08	7,12
2	1,75	36,79 (36,79)	117,10	2067,69	649,55	16,08	16,08	17,66
3	3,25	-55,79 (-65,44)	95,32	551,70	-378,75	16,08	16,08	5,79

Verifiche taglio

N°	X	A _{sw}	V	V _{Rd}	V _{Rsd}	V _{Rcd}	FS
1	0,25	0,00	-137,67	225,52	0,00	0,00	1.638
2	1,75	0,00	-0,16	222,58	0,00	0,00	1380.985
3	3,25	0,00	121,12	219,64	0,00	0,00	1.813

Verifica sezioni fondazione [Combinazione n° 7 - SLU (Approccio 2) - Sisma Vert. negativo]

Base sezione B = 100 cm
 Altezza sezione H = 50,00 cm

Verifiche presso-flessione

N°	X	M	N	N _u	M _u	A _{fi}	A _{fs}	CS
1	0,25	67,06 (67,06)	135,42	799,25	395,78	14,07	10,05	5,90
2	0,98	3,66 (26,84)	138,73	3801,06	735,42	10,05	14,07	27,40
3	1,75	-21,12 (-21,19)	142,21	4794,45	-714,29	10,05	10,05	33,71

4	2,52	-2,14 (-21,19)	145,69	4973,15	-723,21	10,05	14,07	34,14
5	3,25	59,59 (67,06)	148,99	942,96	424,39	14,07	10,05	6,33

Verifiche taglio

N°	X	A _{sw}	V	V _{Rd}	V _{Rsd}	V _{Rcd}	FS
1	0,25	4,02	-114,13	0,00	394,30	1903,18	3.455
2	0,98	0,00	-57,23	216,04	0,00	0,00	3.775
3	1,75	0,00	-1,37	216,51	0,00	0,00	157.761
4	2,52	0,00	57,31	216,98	0,00	0,00	3.786
5	3,25	4,02	115,64	0,00	394,30	1905,83	3.410

Verifica sezioni traverso [Combinazione n° 7 - SLU (Approccio 2) - Sisma Vert. negativo]

Base sezione B = 100 cm

Altezza sezione H = 50,00 cm

Verifiche presso-flessione

N°	X	M	N	N _u	M _u	A _{fi}	A _{fs}	CS
1	0,25	-51,66 (-54,83)	124,99	1069,72	-469,29	15,27	15,27	8,56
2	1,04	-1,78 (-18,22)	128,55	5470,44	-775,26	17,81	15,27	42,56
3	1,75	12,34 (12,34)	131,78	6760,29	632,91	15,27	15,27	51,30
4	2,46	-3,29 (-20,58)	135,01	5202,81	-793,17	17,81	15,27	38,54
5	3,25	-54,83 (-54,83)	138,57	1290,61	-510,72	15,27	15,27	9,31

Verifiche taglio

N°	X	A _{sw}	V	V _{Rd}	V _{Rsd}	V _{Rcd}	FS
1	0,25	2,54	86,39	0,00	249,52	1901,14	2.888
2	1,04	0,00	40,59	220,56	0,00	0,00	5.434
3	1,75	0,00	-1,06	221,00	0,00	0,00	209.163
4	2,46	0,00	-42,70	221,43	0,00	0,00	5.186
5	3,25	2,54	-88,51	0,00	249,52	1903,79	2.819

Verifica sezioni piedritto sinistro [Combinazione n° 7 - SLU (Approccio 2) - Sisma Vert. negativo]

Base sezione B = 100 cm

Altezza sezione H = 50,00 cm

Verifiche presso-flessione

N°	X	M	N	N _u	M _u	A _{fi}	A _{fs}	CS
1	0,25	-67,06 (-67,06)	116,38	713,08	-410,87	16,08	16,08	6,13
2	1,75	42,77 (42,77)	101,39	1204,19	507,96	16,08	16,08	11,88
3	3,25	-51,66 (-67,06)	86,39	465,97	-361,69	16,08	16,08	5,39

Verifiche taglio

N°	X	A _{sw}	V	V _{Rd}	V _{Rsd}	V _{Rcd}	FS
1	0,25	0,00	148,89	222,48	0,00	0,00	1.494
2	1,75	0,00	3,14	220,46	0,00	0,00	70.202
3	3,25	0,00	-124,99	218,43	0,00	0,00	1.748

Verifica sezioni piedritto destro [Combinazione n° 7 - SLU (Approccio 2) - Sisma Vert. negativo]

Base sezione B = 100 cm

Altezza sezione H = 50,00 cm

Verifiche presso-flessione

N°	X	M	N	N _u	M _u	A _{fi}	A _{fs}	CS
1	0,25	-59,59 (-59,59)	118,49	885,16	-445,13	16,08	16,08	7,47
2	1,75	40,01 (40,01)	103,50	1408,38	544,41	16,08	16,08	13,61
3	3,25	-54,83 (-59,59)	88,51	567,12	-381,82	16,08	16,08	6,41

Verifiche taglio

N°	X	A _{sw}	V	V _{Rd}	V _{Rsd}	V _{Rcd}	FS
1	0,25	0,00	-135,89	222,76	0,00	0,00	1.639
2	1,75	0,00	1,44	220,74	0,00	0,00	153.728
3	3,25	0,00	122,66	218,72	0,00	0,00	1.783

Verifica sezioni fondazione [Combinazione n° 8 - SLU (Approccio 2) - Sisma Vert. positivo]

Base sezione B = 100 cm

Altezza sezione H = 50,00 cm

Verifiche presso-flessione

N°	X	M	N	N _u	M _u	A _{fi}	A _{fs}	CS
1	0,25	65,63 (76,34)	155,27	808,88	397,70	14,07	10,05	5,21
2	0,98	-6,64 (-28,75)	151,96	3987,98	-754,58	10,05	14,07	26,24
3	1,75	-28,61 (-28,75)	148,48	3629,53	-702,86	10,05	10,05	24,44
4	2,52	1,34 (32,36)	145,00	3055,13	681,81	10,05	14,07	21,07
5	3,25	76,34 (76,34)	141,69	696,69	375,36	14,07	10,05	4,92

Verifiche taglio

N°	X	A _{sw}	V	V _{Rd}	V _{Rsd}	V _{Rcd}	FS
1	0,25	4,02	-130,14	0,00	394,30	1907,06	3.030
2	0,98	0,00	-58,50	217,83	0,00	0,00	3.723
3	1,75	0,00	10,64	217,36	0,00	0,00	20.435
4	2,52	0,00	76,59	216,89	0,00	0,00	2.832
5	3,25	4,02	129,08	0,00	394,30	1904,40	3.055

Verifica sezioni trasverso [Combinazione n° 8 - SLU (Approccio 2) - Sisma Vert. positivo]

Base sezione B = 100 cm

Altezza sezione H = 50,00 cm

Verifiche presso-flessione

N°	X	M	N	N _u	M _u	A _{fi}	A _{fs}	CS
1	0,25	-55,83 (-55,83)	144,65	1351,53	-521,62	15,27	15,27	9,34
2	1,04	-2,65 (-20,47)	141,10	5386,34	-781,26	17,81	15,27	38,17
3	1,75	13,39 (13,39)	137,86	6644,28	645,34	15,27	15,27	48,19
4	2,46	-1,34 (-18,41)	134,63	5601,01	-765,95	17,81	15,27	41,60
5	3,25	-53,07 (-55,83)	131,08	1130,15	-481,35	15,27	15,27	8,62

Verifiche taglio

N°	X	A _{sw}	V	V _{Rd}	V _{Rsd}	V _{Rcd}	FS
1	0,25	2,54	91,37	0,00	249,52	1904,98	2.731
2	1,04	0,00	43,99	222,26	0,00	0,00	5.052
3	1,75	0,00	0,92	221,82	0,00	0,00	241.722
4	2,46	0,00	-42,16	221,38	0,00	0,00	5.251
5	3,25	2,54	-89,54	0,00	249,52	1902,33	2.787

Verifica sezioni piedritto sinistro [Combinazione n° 8 - SLU (Approccio 2) - Sisma Vert. positivo]

Base sezione B = 100 cm
 Altezza sezione H = 50,00 cm

Verifiche presso-flessione

N°	X	M	N	N _u	M _u	A _{fi}	A _{fs}	CS
1	0,25	-65,63 (-65,63)	134,94	935,97	-455,24	16,08	16,08	6,94
2	1,75	39,25 (39,25)	113,15	1740,10	603,62	16,08	16,08	15,38
3	3,25	-55,83 (-65,63)	91,37	517,95	-372,03	16,08	16,08	5,67

Verifiche taglio

N°	X	A _{sw}	V	V _{Rd}	V _{Rsd}	V _{Rcd}	FS
1	0,25	0,00	138,64	224,98	0,00	0,00	1.623
2	1,75	0,00	-1,15	222,04	0,00	0,00	192.657
3	3,25	0,00	-124,47	219,10	0,00	0,00	1.760

Verifica sezioni piedritto destro [Combinazione n° 8 - SLU (Approccio 2) - Sisma Vert. positivo]

Base sezione B = 100 cm
 Altezza sezione H = 50,00 cm

Verifiche presso-flessione

N°	X	M	N	N _u	M _u	A _{fi}	A _{fs}	CS
1	0,25	-76,34 (-76,34)	133,10	718,11	-411,88	16,08	16,08	5,40
2	1,75	43,96 (43,99)	111,32	1352,30	534,40	16,08	16,08	12,15
3	3,25	-53,07 (-76,34)	89,54	411,49	-350,84	16,08	16,08	4,60

Verifiche taglio

N°	X	A _{sw}	V	V _{Rd}	V _{Rsd}	V _{Rcd}	FS
1	0,25	0,00	-158,71	224,74	0,00	0,00	1.416
2	1,75	0,00	-4,72	221,80	0,00	0,00	47.031
3	3,25	0,00	131,08	218,86	0,00	0,00	1.670

Verifica sezioni fondazione [Combinazione n° 9 - SLU (Approccio 2) - Sisma Vert. negativo]

Base sezione B = 100 cm
 Altezza sezione H = 50,00 cm

Verifiche presso-flessione

N°	X	M	N	N _u	M _u	A _{fi}	A _{fs}	CS
1	0,25	59,78 (70,58)	153,57	908,38	417,51	14,07	10,05	5,92
2	0,98	-1,44 (-19,77)	150,27	5321,07	-700,16	10,05	14,07	35,41
3	1,75	-19,56 (-19,77)	146,78	5168,55	-696,22	10,05	10,05	35,21
4	2,52	6,60 (33,22)	143,30	2869,57	665,31	10,05	14,07	20,02
5	3,25	70,58 (70,58)	140,00	775,67	391,08	14,07	10,05	5,54

Verifiche taglio

N°	X	A _{sw}	V	V _{Rd}	V _{Rsd}	V _{Rcd}	FS
1	0,25	4,02	-110,57	0,00	394,30	1906,73	3.566
2	0,98	0,00	-49,33	217,60	0,00	0,00	4.411
3	1,75	0,00	9,84	217,13	0,00	0,00	22.066
4	2,52	0,00	65,75	216,66	0,00	0,00	3.295

5	3,25	4,02	109,55	0,00	394,30	1904,07	3.599
---	------	------	--------	------	--------	---------	-------

Verifica sezioni traverso [Combinazione n° 9 - SLU (Approccio 2) - Sisma Vert. negativo]

Base sezione B = 100 cm
 Altezza sezione H = 50,00 cm

Verifiche presso-flessione

N°	X	M	N	N _u	M _u	A _{fi}	A _{fs}	CS
1	0,25	-54,87 (-54,87)	146,27	1425,85	-534,91	15,27	15,27	9,75
2	1,04	-5,65 (-22,15)	142,72	5136,05	-797,05	17,81	15,27	35,99
3	1,75	9,22 (9,22)	139,49	7723,11	510,47	15,27	15,27	55,37
4	2,46	-4,37 (-20,14)	136,25	5317,93	-786,14	17,81	15,27	39,03
5	3,25	-52,19 (-54,87)	132,70	1192,68	-493,21	15,27	15,27	8,99

Verifiche taglio

N°	X	A _{sw}	V	V _{Rd}	V _{Rsd}	V _{Rcd}	FS
1	0,25	2,54	84,56	0,00	249,52	1905,30	2.951
2	1,04	0,00	40,74	222,47	0,00	0,00	5.461
3	1,75	0,00	0,90	222,04	0,00	0,00	247.780
4	2,46	0,00	-38,95	221,60	0,00	0,00	5.690
5	3,25	2,54	-82,77	0,00	249,52	1902,64	3.015

Verifica sezioni piedritto sinistro [Combinazione n° 9 - SLU (Approccio 2) - Sisma Vert. negativo]

Base sezione B = 100 cm
 Altezza sezione H = 50,00 cm

Verifiche presso-flessione

N°	X	M	N	N _u	M _u	A _{fi}	A _{fs}	CS
1	0,25	-59,78 (-59,78)	114,55	833,03	-434,75	16,08	16,08	7,27
2	1,75	42,47 (42,47)	99,56	1180,86	503,79	16,08	16,08	11,86
3	3,25	-54,87 (-59,78)	84,56	529,49	-374,33	16,08	16,08	6,26

Verifiche taglio

N°	X	A _{sw}	V	V _{Rd}	V _{Rsd}	V _{Rcd}	FS
1	0,25	0,00	136,86	222,23	0,00	0,00	1.624
2	1,75	0,00	-2,75	220,21	0,00	0,00	80.087
3	3,25	0,00	-126,01	218,18	0,00	0,00	1.732

Verifica sezioni piedritto destro [Combinazione n° 9 - SLU (Approccio 2) - Sisma Vert. negativo]

Base sezione B = 100 cm
 Altezza sezione H = 50,00 cm

Verifiche presso-flessione

N°	X	M	N	N _u	M _u	A _{fi}	A _{fs}	CS
1	0,25	-70,58 (-70,58)	112,76	629,92	-394,32	16,08	16,08	5,59
2	1,75	47,28 (47,28)	97,76	944,94	457,03	16,08	16,08	9,67
3	3,25	-52,19 (-70,58)	82,77	411,39	-350,82	16,08	16,08	4,97

Verifiche taglio

N°	X	A _{sw}	V	V _{Rd}	V _{Rsd}	V _{Rcd}	FS
----	---	-----------------	---	-----------------	------------------	------------------	----

1	0,25	0,00	-157,09	221,99	0,00	0,00	1.413
2	1,75	0,00	-3,09	219,97	0,00	0,00	71.111
3	3,25	0,00	132,70	217,94	0,00	0,00	1.642

Verifica sezioni fondazione [Combinazione n° 10 - SLU (Approccio 2) - Sisma Vert. positivo]

Base sezione B = 100 cm

Altezza sezione H = 50,00 cm

Verifiche presso-flessione

N°	X	M	N	N _u	M _u	A _{fi}	A _{fs}	CS
1	0,25	65,44 (72,81)	150,69	833,00	402,50	14,07	10,05	5,53
2	0,98	-7,34 (-30,17)	147,39	3622,34	-741,44	10,05	14,07	24,58
3	1,75	-30,17 (-30,17)	143,90	3242,56	-679,76	10,05	10,05	22,53
4	2,52	-1,59 (-30,17)	140,42	3410,96	-732,79	10,05	14,07	24,29
5	3,25	72,81 (72,81)	137,12	712,93	378,59	14,07	10,05	5,20

Verifiche taglio

N°	X	A _{sw}	V	V _{Rd}	V _{Rsd}	V _{Rcd}	FS
1	0,25	4,02	-135,21	0,00	394,30	1906,16	2.916
2	0,98	0,00	-60,33	217,21	0,00	0,00	3.600
3	1,75	0,00	7,84	216,74	0,00	0,00	27.645
4	2,52	0,00	73,55	216,27	0,00	0,00	2.941
5	3,25	4,02	133,66	0,00	394,30	1903,51	2.950

Verifica sezioni traverso [Combinazione n° 10 - SLU (Approccio 2) - Sisma Vert. positivo]

Base sezione B = 100 cm

Altezza sezione H = 50,00 cm

Verifiche presso-flessione

N°	X	M	N	N _u	M _u	A _{fi}	A _{fs}	CS
1	0,25	-55,79 (-55,79)	136,94	1224,84	-498,96	15,27	15,27	8,94
2	1,04	-0,29 (-18,90)	133,39	5471,19	-775,21	17,81	15,27	41,02
3	1,75	16,51 (16,51)	130,16	5744,02	728,52	15,27	15,27	44,13
4	2,46	1,25 (16,51)	126,92	5680,97	738,87	17,81	15,27	44,76
5	3,25	-52,55 (-55,79)	123,37	1012,58	-457,89	15,27	15,27	8,21

Verifiche taglio

N°	X	A _{sw}	V	V _{Rd}	V _{Rsd}	V _{Rcd}	FS
1	0,25	2,54	95,32	0,00	249,52	1903,47	2.618
2	1,04	0,00	45,95	221,21	0,00	0,00	4.814
3	1,75	0,00	1,08	220,78	0,00	0,00	204.779
4	2,46	0,00	-43,80	220,34	0,00	0,00	5.031
5	3,25	2,54	-93,16	0,00	249,52	1900,82	2.678

Verifica sezioni piedritto sinistro [Combinazione n° 10 - SLU (Approccio 2) - Sisma Vert. positivo]

Base sezione B = 100 cm

Altezza sezione H = 50,00 cm

Verifiche presso-flessione

N°	X	M	N	N _u	M _u	A _{fi}	A _{fs}	CS
1	0,25	-65,44 (-65,44)	138,88	988,30	-465,66	16,08	16,08	7,12

2	1,75	36,79 (36,79)	117,10	2067,69	649,55	16,08	16,08	17,66
3	3,25	-55,79 (-65,44)	95,32	551,70	-378,75	16,08	16,08	5,79

Verifiche taglio

N°	X	A _{sw}	V	V _{Rd}	V _{Rsd}	V _{Rcd}	FS
1	0,25	0,00	137,67	225,52	0,00	0,00	1.638
2	1,75	0,00	0,16	222,58	0,00	0,00	1380.985
3	3,25	0,00	-121,12	219,64	0,00	0,00	1.813

Verifica sezioni piedritto destro [Combinazione n° 10 - SLU (Approccio 2) - Sisma Vert. positivo]

Base sezione B = 100 cm
 Altezza sezione H = 50,00 cm

Verifiche presso-flessione

N°	X	M	N	N _u	M _u	A _{fi}	A _{fs}	CS
1	0,25	-72,81 (-72,81)	136,72	806,37	-429,44	16,08	16,08	5,90
2	1,75	39,45 (39,50)	114,94	1770,82	608,54	16,08	16,08	15,41
3	3,25	-52,55 (-72,81)	93,16	461,64	-360,82	16,08	16,08	4,96

Verifiche taglio

N°	X	A _{sw}	V	V _{Rd}	V _{Rsd}	V _{Rcd}	FS
1	0,25	0,00	-150,51	225,23	0,00	0,00	1.496
2	1,75	0,00	-4,76	222,28	0,00	0,00	46.670
3	3,25	0,00	123,37	219,34	0,00	0,00	1.778

Verifica sezioni fondazione [Combinazione n° 11 - SLU (Approccio 2) - Sisma Vert. negativo]

Base sezione B = 100 cm
 Altezza sezione H = 50,00 cm

Verifiche presso-flessione

N°	X	M	N	N _u	M _u	A _{fi}	A _{fs}	CS
1	0,25	59,59 (67,06)	148,99	942,96	424,39	14,07	10,05	6,33
2	0,98	-2,14 (-21,19)	145,69	4973,15	-723,21	10,05	14,07	34,14
3	1,75	-21,12 (-21,19)	142,21	4794,45	-714,29	10,05	10,05	33,71
4	2,52	3,66 (29,06)	138,73	3399,77	712,10	10,05	14,07	24,51
5	3,25	67,06 (67,06)	135,42	799,25	395,78	14,07	10,05	5,90

Verifiche taglio

N°	X	A _{sw}	V	V _{Rd}	V _{Rsd}	V _{Rcd}	FS
1	0,25	4,02	-115,64	0,00	394,30	1905,83	3.410
2	0,98	0,00	-51,16	216,98	0,00	0,00	4.242
3	1,75	0,00	7,04	216,51	0,00	0,00	30.739
4	2,52	0,00	62,70	216,04	0,00	0,00	3.445
5	3,25	4,02	114,13	0,00	394,30	1903,18	3.455

Verifica sezioni traverso [Combinazione n° 11 - SLU (Approccio 2) - Sisma Vert. negativo]

Base sezione B = 100 cm
 Altezza sezione H = 50,00 cm

Verifiche presso-flessione

N°	X	M	N	N _u	M _u	A _{fi}	A _{fs}	CS
1	0,25	-54,83 (-54,83)	138,57	1290,61	-510,72	15,27	15,27	9,31
2	1,04	-3,29 (-20,58)	135,01	5202,81	-793,17	17,81	15,27	38,54
3	1,75	12,34 (12,34)	131,78	6760,29	632,91	15,27	15,27	51,30
4	2,46	-1,78 (-18,22)	128,55	5470,44	-775,26	17,81	15,27	42,56
5	3,25	-51,66 (-54,83)	124,99	1069,72	-469,29	15,27	15,27	8,56

Verifiche taglio

N°	X	A _{sw}	V	V _{Rd}	V _{Rsd}	V _{Rcd}	FS
1	0,25	2,54	88,51	0,00	249,52	1903,79	2.819
2	1,04	0,00	42,70	221,43	0,00	0,00	5.186
3	1,75	0,00	1,06	221,00	0,00	0,00	209.163
4	2,46	0,00	-40,59	220,56	0,00	0,00	5.434
5	3,25	2,54	-86,39	0,00	249,52	1901,14	2.888

Verifica sezioni piedritto sinistro [Combinazione n° 11 - SLU (Approccio 2) - Sisma Vert. negativo]

Base sezione B = 100 cm
 Altezza sezione H = 50,00 cm

Verifiche presso-flessione

N°	X	M	N	N _u	M _u	A _{fi}	A _{fs}	CS
1	0,25	-59,59 (-59,59)	118,49	885,16	-445,13	16,08	16,08	7,47
2	1,75	40,01 (40,01)	103,50	1408,38	544,41	16,08	16,08	13,61
3	3,25	-54,83 (-59,59)	88,51	567,12	-381,82	16,08	16,08	6,41

Verifiche taglio

N°	X	A _{sw}	V	V _{Rd}	V _{Rsd}	V _{Rcd}	FS
1	0,25	0,00	135,89	222,76	0,00	0,00	1.639
2	1,75	0,00	-1,44	220,74	0,00	0,00	153.728
3	3,25	0,00	-122,66	218,72	0,00	0,00	1.783

Verifica sezioni piedritto destro [Combinazione n° 11 - SLU (Approccio 2) - Sisma Vert. negativo]

Base sezione B = 100 cm
 Altezza sezione H = 50,00 cm

Verifiche presso-flessione

N°	X	M	N	N _u	M _u	A _{fi}	A _{fs}	CS
1	0,25	-67,06 (-67,06)	116,38	713,08	-410,87	16,08	16,08	6,13
2	1,75	42,77 (42,77)	101,39	1204,19	507,96	16,08	16,08	11,88
3	3,25	-51,66 (-67,06)	86,39	465,97	-361,69	16,08	16,08	5,39

Verifiche taglio

N°	X	A _{sw}	V	V _{Rd}	V _{Rsd}	V _{Rcd}	FS
1	0,25	0,00	-148,89	222,48	0,00	0,00	1.494
2	1,75	0,00	-3,14	220,46	0,00	0,00	70.202
3	3,25	0,00	124,99	218,43	0,00	0,00	1.748

Verifiche combinazioni SLE

Simbologia adottata ed unità di misura

N°	Indice sezione
X	Ascissa/Ordinata sezione, espresso in m
M	Momento flettente, espresso in kNm
V	Taglio, espresso in kN
N	Sforzo normale, espresso in kN
A_{fi}	Area armatura inferiore, espressa in cmq
A_{fs}	Area armatura superiore, espressa in cmq
s_{fi}	Tensione nell'armatura disposta in corrispondenza del lembo inferiore, espresse in kg/cmq
s_{fs}	Tensione nell'armatura disposta in corrispondenza del lembo superiore, espresse in kg/cmq
s_c	Tensione nel calcestruzzo, espresse in kg/cmq
t_c	Tensione tangenziale nel calcestruzzo, espresse in kg/cmq
A_{sw}	Area armature trasversali nella sezione, espressa in cmq

Verifica sezioni fondazione [Combinazione n° 12 - SLE (Quasi Permanente)]

Base sezione B = 100 cm
Altezza sezione H = 50,00 cm

Verifiche presso-flessione

N°	X	M	N	A_{fi}	A_{fs}	s_{fs}	s_{fi}	s_c
1	0,25	49,44	78,65	14,07	10,05	196,4	608,5	19,8
2	0,98	-18,11	78,65	10,05	14,07	89,4	82,9	7,0
3	1,75	-41,46	78,65	10,05	10,05	638,4	176,3	18,5
4	2,52	-18,11	78,65	10,05	14,07	89,4	82,9	7,0
5	3,25	49,44	78,65	14,07	10,05	196,4	608,5	19,8

Verifiche taglio

N°	X	A_{sw}	V	t_c
1	0,25	4,02	-124,52	-3,32
2	0,98	0,00	-57,82	-1,54
3	1,75	0,00	3,17	0,08
4	2,52	0,00	64,46	1,72
5	3,25	4,02	124,52	3,32

Verifica sezioni traverso [Combinazione n° 12 - SLE (Quasi Permanente)]

Base sezione B = 100 cm
Altezza sezione H = 50,00 cm

Verifiche presso-flessione

N°	X	M	N	A_{fi}	A_{fs}	s_{fs}	s_{fi}	s_c
1	0,25	-37,25	56,95	15,27	15,27	430,3	138,2	13,9
2	1,04	15,43	56,95	17,81	15,27	64,4	80,6	5,5
3	1,75	30,88	56,95	15,27	15,27	117,9	328,2	11,6
4	2,46	15,43	56,95	17,81	15,27	64,4	80,6	5,5
5	3,25	-37,25	56,95	15,27	15,27	430,3	138,2	13,9

Verifiche taglio

N°	X	A_{sw}	V	t_c
1	0,25	2,54	90,84	2,42
2	1,04	0,00	43,26	1,15
3	1,75	0,00	0,00	0,00
4	2,46	0,00	-43,26	-1,15

5 3,25 2,54 -90,84 -2,42

Verifica sezioni piedritto sinistro [Combinazione n° 12 - SLE (Quasi Permanente)]

Base sezione B = 100 cm
Altezza sezione H = 50,00 cm

Verifiche presso-flessione

N°	X	M	N	A _{fi}	A _{fs}	S _{fs}	S _{fi}	S _c
1	0,25	-49,44	127,62	16,08	16,08	405,1	196,6	18,1
2	1,75	6,95	109,23	16,08	16,08	47,7	13,3	3,5
3	3,25	-37,25	90,84	16,08	16,08	318,7	146,7	13,7

Verifiche taglio

N°	X	A _{sw}	V	t _c
1	0,25	0,00	78,75	2,10
2	1,75	0,00	2,05	0,05
3	3,25	0,00	-56,95	-1,52

Verifica sezioni piedritto destro [Combinazione n° 12 - SLE (Quasi Permanente)]

Base sezione B = 100 cm
Altezza sezione H = 50,00 cm

Verifiche presso-flessione

N°	X	M	N	A _{fi}	A _{fs}	S _{fs}	S _{fi}	S _c
1	0,25	-49,44	127,62	16,08	16,08	405,1	196,6	18,1
2	1,75	6,95	109,23	16,08	16,08	47,7	13,3	3,5
3	3,25	-37,25	90,84	16,08	16,08	318,7	146,7	13,7

Verifiche taglio

N°	X	A _{sw}	V	t _c
1	0,25	0,00	-78,75	-2,10
2	1,75	0,00	-2,05	-0,05
3	3,25	0,00	56,95	1,52

Verifica sezioni fondazione [Combinazione n° 13 - SLE (Frequente)]

Base sezione B = 100 cm
Altezza sezione H = 50,00 cm

Verifiche presso-flessione

N°	X	M	N	A _{fi}	A _{fs}	S _{fs}	S _{fi}	S _c
1	0,25	49,44	78,65	14,07	10,05	196,4	608,5	19,8
2	0,98	-18,11	78,65	10,05	14,07	89,4	82,9	7,0
3	1,75	-41,46	78,65	10,05	10,05	638,4	176,3	18,5
4	2,52	-18,11	78,65	10,05	14,07	89,4	82,9	7,0
5	3,25	49,44	78,65	14,07	10,05	196,4	608,5	19,8

Verifiche taglio

N°	X	A _{sw}	V	t _c
1	0,25	4,02	-124,52	-3,32
2	0,98	0,00	-57,82	-1,54

3	1,75	0,00	3,17	0,08
4	2,52	0,00	64,46	1,72
5	3,25	4,02	124,52	3,32

Verifica sezioni traverso [Combinazione n° 13 - SLE (Frequente)]

Base sezione B = 100 cm

Altezza sezione H = 50,00 cm

Verifiche presso-flessione

N°	X	M	N	A _{fi}	A _{fs}	S _{fs}	S _{fi}	S _c
1	0,25	-37,25	56,95	15,27	15,27	430,3	138,2	13,9
2	1,04	15,43	56,95	17,81	15,27	64,4	80,6	5,5
3	1,75	30,88	56,95	15,27	15,27	117,9	328,2	11,6
4	2,46	15,43	56,95	17,81	15,27	64,4	80,6	5,5
5	3,25	-37,25	56,95	15,27	15,27	430,3	138,2	13,9

Verifiche taglio

N°	X	A _{sw}	V	t _c
1	0,25	2,54	90,84	2,42
2	1,04	0,00	43,26	1,15
3	1,75	0,00	0,00	0,00
4	2,46	0,00	-43,26	-1,15
5	3,25	2,54	-90,84	-2,42

Verifica sezioni piedritto sinistro [Combinazione n° 13 - SLE (Frequente)]

Base sezione B = 100 cm

Altezza sezione H = 50,00 cm

Verifiche presso-flessione

N°	X	M	N	A _{fi}	A _{fs}	S _{fs}	S _{fi}	S _c
1	0,25	-49,44	127,62	16,08	16,08	405,1	196,6	18,1
2	1,75	6,95	109,23	16,08	16,08	47,7	13,3	3,5
3	3,25	-37,25	90,84	16,08	16,08	318,7	146,7	13,7

Verifiche taglio

N°	X	A _{sw}	V	t _c
1	0,25	0,00	78,75	2,10
2	1,75	0,00	2,05	0,05
3	3,25	0,00	-56,95	-1,52

Verifica sezioni piedritto destro [Combinazione n° 13 - SLE (Frequente)]

Base sezione B = 100 cm

Altezza sezione H = 50,00 cm

Verifiche presso-flessione

N°	X	M	N	A _{fi}	A _{fs}	S _{fs}	S _{fi}	S _c
1	0,25	-49,44	127,62	16,08	16,08	405,1	196,6	18,1
2	1,75	6,95	109,23	16,08	16,08	47,7	13,3	3,5
3	3,25	-37,25	90,84	16,08	16,08	318,7	146,7	13,7

Verifiche taglio

N°	X	A _{sw}	V	t _c
1	0,25	0,00	-78,75	-2,10
2	1,75	0,00	-2,05	-0,05
3	3,25	0,00	56,95	1,52

Verifica sezioni fondazione [Combinazione n° 14 - SLE (Frequente)]

Base sezione B = 100 cm
 Altezza sezione H = 50,00 cm

Verifiche presso-flessione

N°	X	M	N	A _{fi}	A _{fs}	S _{fs}	S _{fi}	S _c
1	0,25	75,16	123,33	14,07	10,05	299,9	913,2	30,1
2	0,98	-24,66	123,33	10,05	14,07	91,7	114,5	9,3
3	1,75	-59,30	123,33	10,05	10,05	865,0	256,3	26,4
4	2,52	-24,66	123,33	10,05	14,07	91,7	114,5	9,3
5	3,25	75,16	123,33	14,07	10,05	299,9	913,2	30,1

Verifiche taglio

N°	X	A _{sw}	V	t _c
1	0,25	4,02	-181,85	-4,85
2	0,98	0,00	-85,47	-2,28
3	1,75	0,00	4,99	0,13
4	2,52	0,00	95,88	2,56
5	3,25	4,02	181,85	4,85

Verifica sezioni traverso [Combinazione n° 14 - SLE (Frequente)]

Base sezione B = 100 cm
 Altezza sezione H = 50,00 cm

Verifiche presso-flessione

N°	X	M	N	A _{fi}	A _{fs}	S _{fs}	S _{fi}	S _c
1	0,25	-63,28	101,92	15,27	15,27	715,6	236,6	23,7
2	1,04	23,65	101,92	17,81	15,27	100,8	97,8	8,4
3	1,75	49,14	101,92	15,27	15,27	191,3	490,2	18,4
4	2,46	23,65	101,92	17,81	15,27	100,8	97,8	8,4
5	3,25	-63,28	101,92	15,27	15,27	715,6	236,6	23,7

Verifiche taglio

N°	X	A _{sw}	V	t _c
1	0,25	2,54	149,90	4,00
2	1,04	0,00	71,38	1,90
3	1,75	0,00	0,00	0,00
4	2,46	0,00	-71,38	-1,90
5	3,25	2,54	-149,90	-4,00

Verifica sezioni piedritto sinistro [Combinazione n° 14 - SLE (Frequente)]

Base sezione B = 100 cm
 Altezza sezione H = 50,00 cm

Verifiche presso-flessione

N°	X	M	N	A _{fi}	A _{fs}	S _{fs}	S _{fi}	S _c
1	0,25	-75,16	186,67	16,08	16,08	634,5	297,0	27,6
2	1,75	14,73	168,29	16,08	16,08	83,4	10,5	6,2
3	3,25	-63,28	149,90	16,08	16,08	552,8	248,1	23,2

Verifiche taglio

N°	X	A _{sw}	V	t _c
1	0,25	0,00	123,49	3,29
2	1,75	0,00	1,97	0,05
3	3,25	0,00	-101,92	-2,72

Verifica sezioni piedritto destro [Combinazione n° 14 - SLE (Frequente)]

Base sezione B = 100 cm
 Altezza sezione H = 50,00 cm

Verifiche presso-flessione

N°	X	M	N	A _{fi}	A _{fs}	S _{fs}	S _{fi}	S _c
1	0,25	-75,16	186,67	16,08	16,08	634,5	297,0	27,6
2	1,75	14,73	168,29	16,08	16,08	83,4	10,5	6,2
3	3,25	-63,28	149,90	16,08	16,08	552,8	248,1	23,2

Verifiche taglio

N°	X	A _{sw}	V	t _c
1	0,25	0,00	-123,49	-3,29
2	1,75	0,00	-1,97	-0,05
3	3,25	0,00	101,92	2,72

Verifica sezioni fondazione [Combinazione n° 15 - SLE (Rara)]

Base sezione B = 100 cm
 Altezza sezione H = 50,00 cm

Verifiche presso-flessione

N°	X	M	N	A _{fi}	A _{fs}	S _{fs}	S _{fi}	S _c
1	0,25	75,16	123,33	14,07	10,05	299,9	913,2	30,1
2	0,98	-24,66	123,33	10,05	14,07	91,7	114,5	9,3
3	1,75	-59,30	123,33	10,05	10,05	865,0	256,3	26,4
4	2,52	-24,66	123,33	10,05	14,07	91,7	114,5	9,3
5	3,25	75,16	123,33	14,07	10,05	299,9	913,2	30,1

Verifiche taglio

N°	X	A _{sw}	V	t _c
1	0,25	4,02	-181,85	-4,85
2	0,98	0,00	-85,47	-2,28
3	1,75	0,00	4,99	0,13
4	2,52	0,00	95,88	2,56
5	3,25	4,02	181,85	4,85

Verifica sezioni traverso [Combinazione n° 15 - SLE (Rara)]

Base sezione B = 100 cm
 Altezza sezione H = 50,00 cm

Verifiche presso-flessione

N°	X	M	N	A _{fi}	A _{fs}	S _{fs}	S _{fi}	S _c
1	0,25	-63,28	101,92	15,27	15,27	715,6	236,6	23,7
2	1,04	23,65	101,92	17,81	15,27	100,8	97,8	8,4
3	1,75	49,14	101,92	15,27	15,27	191,3	490,2	18,4
4	2,46	23,65	101,92	17,81	15,27	100,8	97,8	8,4
5	3,25	-63,28	101,92	15,27	15,27	715,6	236,6	23,7

Verifiche taglio

N°	X	A _{sw}	V	t _c
1	0,25	2,54	149,90	4,00
2	1,04	0,00	71,38	1,90
3	1,75	0,00	0,00	0,00
4	2,46	0,00	-71,38	-1,90
5	3,25	2,54	-149,90	-4,00

Verifica sezioni piedritto sinistro [Combinazione n° 15 - SLE (Rara)]

Base sezione B = 100 cm

Altezza sezione H = 50,00 cm

Verifiche presso-flessione

N°	X	M	N	A _{fi}	A _{fs}	S _{fs}	S _{fi}	S _c
1	0,25	-75,16	186,67	16,08	16,08	634,5	297,0	27,6
2	1,75	14,73	168,29	16,08	16,08	83,4	10,5	6,2
3	3,25	-63,28	149,90	16,08	16,08	552,8	248,1	23,2

Verifiche taglio

N°	X	A _{sw}	V	t _c
1	0,25	0,00	123,49	3,29
2	1,75	0,00	1,97	0,05
3	3,25	0,00	-101,92	-2,72

Verifica sezioni piedritto destro [Combinazione n° 15 - SLE (Rara)]

Base sezione B = 100 cm

Altezza sezione H = 50,00 cm

Verifiche presso-flessione

N°	X	M	N	A _{fi}	A _{fs}	S _{fs}	S _{fi}	S _c
1	0,25	-75,16	186,67	16,08	16,08	634,5	297,0	27,6
2	1,75	14,73	168,29	16,08	16,08	83,4	10,5	6,2
3	3,25	-63,28	149,90	16,08	16,08	552,8	248,1	23,2

Verifiche taglio

N°	X	A _{sw}	V	t _c
1	0,25	0,00	-123,49	-3,29
2	1,75	0,00	-1,97	-0,05
3	3,25	0,00	101,92	2,72

Verifica sezioni fondazione [Combinazione n° 16 - SLE (Rara)]

Base sezione B = 100 cm
 Altezza sezione H = 50,00 cm

Verifiche presso-flessione

N°	X	M	N	A _{fi}	A _{fs}	S _{fs}	S _{fi}	S _c
1	0,25	83,75	138,25	14,07	10,05	334,5	1014,8	33,5
2	0,98	-26,83	138,25	10,05	14,07	93,3	124,9	10,1
3	1,75	-65,24	138,25	10,05	10,05	940,4	282,9	29,1
4	2,52	-26,83	138,25	10,05	14,07	93,3	124,9	10,1
5	3,25	83,75	138,25	14,07	10,05	334,5	1014,8	33,5

Verifiche taglio

N°	X	A _{sw}	V	t _c
1	0,25	4,02	-200,96	-5,36
2	0,98	0,00	-94,68	-2,52
3	1,75	0,00	5,60	0,15
4	2,52	0,00	106,36	2,84
5	3,25	4,02	200,96	5,36

Verifica sezioni trasverso [Combinazione n° 16 - SLE (Rara)]

Base sezione B = 100 cm
 Altezza sezione H = 50,00 cm

Verifiche presso-flessione

N°	X	M	N	A _{fi}	A _{fs}	S _{fs}	S _{fi}	S _c
1	0,25	-71,96	116,93	15,27	15,27	810,8	269,4	27,0
2	1,04	26,38	116,93	17,81	15,27	112,9	103,9	9,3
3	1,75	55,22	116,93	15,27	15,27	215,7	544,1	20,7
4	2,46	26,38	116,93	17,81	15,27	112,9	103,9	9,3
5	3,25	-71,96	116,93	15,27	15,27	810,8	269,4	27,0

Verifiche taglio

N°	X	A _{sw}	V	t _c
1	0,25	2,54	169,58	4,52
2	1,04	0,00	80,75	2,15
3	1,75	0,00	0,00	0,00
4	2,46	0,00	-80,75	-2,15
5	3,25	2,54	-169,58	-4,52

Verifica sezioni piedritto sinistro [Combinazione n° 16 - SLE (Rara)]

Base sezione B = 100 cm
 Altezza sezione H = 50,00 cm

Verifiche presso-flessione

N°	X	M	N	A _{fi}	A _{fs}	S _{fs}	S _{fi}	S _c
1	0,25	-83,75	206,36	16,08	16,08	711,0	330,4	30,7
2	1,75	17,33	187,97	16,08	16,08	95,4	9,5	7,1
3	3,25	-71,96	169,58	16,08	16,08	630,9	281,9	26,4

Verifiche taglio

N°	X	A _{sw}	V	t _c
1	0,25	0,00	138,43	3,69
2	1,75	0,00	1,94	0,05

3	3,25	0,00	-116,93	-3,12
---	------	------	---------	-------

Verifica sezioni piedritto destro [Combinazione n° 16 - SLE (Rara)]

Base sezione B = 100 cm

Altezza sezione H = 50,00 cm

Verifiche presso-flessione

N°	X	M	N	A _{fi}	A _{fs}	S _{fs}	S _{fi}	S _c
1	0,25	-83,75	206,36	16,08	16,08	711,0	330,4	30,7
2	1,75	17,33	187,97	16,08	16,08	95,4	9,5	7,1
3	3,25	-71,96	169,58	16,08	16,08	630,9	281,9	26,4

Verifiche taglio

N°	X	A _{sw}	V	t _c
1	0,25	0,00	-138,43	-3,69
2	1,75	0,00	-1,94	-0,05
3	3,25	0,00	116,93	3,12

Verifica sezioni fondazione [Combinazione n° 17 - SLE (Quasi Permanente) - Sisma Vert. positivo]

Base sezione B = 100 cm

Altezza sezione H = 50,00 cm

Verifiche presso-flessione

N°	X	M	N	A _{fi}	A _{fs}	S _{fs}	S _{fi}	S _c
1	0,25	59,89	104,74	14,07	10,05	241,3	707,2	24,0
2	0,98	-10,73	106,22	10,05	14,07	1,7	59,1	4,4
3	1,75	-36,42	107,78	10,05	10,05	397,1	166,7	15,8
4	2,52	-13,31	109,33	10,05	14,07	7,6	68,0	5,2
5	3,25	56,58	110,81	14,07	10,05	232,1	631,3	22,7

Verifiche taglio

N°	X	A _{sw}	V	t _c
1	0,25	4,02	-128,60	-3,43
2	0,98	0,00	-61,63	-1,64
3	1,75	0,00	1,51	0,04
4	2,52	0,00	66,13	1,76
5	3,25	4,02	129,31	3,45

Verifica sezioni traverso [Combinazione n° 17 - SLE (Quasi Permanente) - Sisma Vert. positivo]

Base sezione B = 100 cm

Altezza sezione H = 50,00 cm

Verifiche presso-flessione

N°	X	M	N	A _{fi}	A _{fs}	S _{fs}	S _{fi}	S _c
1	0,25	-44,07	86,60	15,27	15,27	453,2	170,1	16,5
2	1,04	9,11	88,19	17,81	15,27	47,6	1,5	3,6
3	1,75	24,46	89,63	15,27	15,27	103,9	144,9	9,0
4	2,46	8,40	91,08	17,81	15,27	46,5	4,4	3,5
5	3,25	-45,55	92,67	15,27	15,27	459,4	176,8	17,1

Verifiche taglio

N°	X	A _{sw}	V	t _c
1	0,25	2,54	91,87	2,45
2	1,04	0,00	43,49	1,16
3	1,75	0,00	-0,49	-0,01
4	2,46	0,00	-44,47	-1,19
5	3,25	2,54	-92,85	-2,48

Verifica sezioni piedritto sinistro [Combinazione n° 17 - SLE (Quasi Permanente) - Sisma Vert. positivo]

Base sezione B = 100 cm
 Altezza sezione H = 50,00 cm

Verifiche presso-flessione

N°	X	M	N	A _{fi}	A _{fs}	S _{fs}	S _{fi}	S _c
1	0,25	-59,89	131,68	16,08	16,08	549,7	232,0	22,0
2	1,75	21,46	111,77	16,08	16,08	93,9	63,9	7,6
3	3,25	-44,07	91,87	16,08	16,08	417,8	169,2	16,2

Verifiche taglio

N°	X	A _{sw}	V	t _c
1	0,25	0,00	110,78	2,95
2	1,75	0,00	3,28	0,09
3	3,25	0,00	-86,60	-2,31

Verifica sezioni piedritto destro [Combinazione n° 17 - SLE (Quasi Permanente) - Sisma Vert. positivo]

Base sezione B = 100 cm
 Altezza sezione H = 50,00 cm

Verifiche presso-flessione

N°	X	M	N	A _{fi}	A _{fs}	S _{fs}	S _{fi}	S _c
1	0,25	-56,58	132,66	16,08	16,08	497,7	221,4	20,8
2	1,75	20,27	112,76	16,08	16,08	89,5	51,1	7,1
3	3,25	-45,55	92,85	16,08	16,08	437,4	174,3	16,7

Verifiche taglio

N°	X	A _{sw}	V	t _c
1	0,25	0,00	-105,05	-2,80
2	1,75	0,00	-1,20	-0,03
3	3,25	0,00	85,63	2,28

Verifica sezioni fondazione [Combinazione n° 18 - SLE (Quasi Permanente) - Sisma Vert. negativo]

Base sezione B = 100 cm
 Altezza sezione H = 50,00 cm

Verifiche presso-flessione

N°	X	M	N	A _{fi}	A _{fs}	S _{fs}	S _{fi}	S _c
1	0,25	57,31	103,98	14,07	10,05	232,3	665,1	23,0
2	0,98	-8,38	105,46	10,05	14,07	8,1	52,6	3,9
3	1,75	-32,38	107,02	10,05	10,05	310,1	150,4	13,9
4	2,52	-10,99	108,57	10,05	14,07	1,7	60,5	4,5
5	3,25	53,96	110,05	14,07	10,05	222,8	588,7	21,6

Verifiche taglio

N°	X	A _{sw}	V	t _c
1	0,25	4,02	-119,86	-3,20
2	0,98	0,00	-57,56	-1,53
3	1,75	0,00	1,13	0,03
4	2,52	0,00	61,26	1,63
5	3,25	4,02	120,56	3,21

Verifica sezioni traverso [Combinazione n° 18 - SLE (Quasi Permanente) - Sisma Vert. negativo]

Base sezione B = 100 cm

Altezza sezione H = 50,00 cm

Verifiche presso-flessione

N°	X	M	N	A _{fi}	A _{fs}	S _{fs}	S _{fi}	S _c
1	0,25	-43,67	87,32	15,27	15,27	444,8	169,0	16,4
2	1,04	7,75	88,91	17,81	15,27	44,3	5,5	3,3
3	1,75	22,60	90,36	15,27	15,27	97,0	117,6	8,3
4	2,46	7,06	91,80	17,81	15,27	43,4	7,9	3,2
5	3,25	-45,12	93,39	15,27	15,27	450,6	175,6	16,9

Verifiche taglio

N°	X	A _{sw}	V	t _c
1	0,25	2,54	88,84	2,37
2	1,04	0,00	42,05	1,12
3	1,75	0,00	-0,48	-0,01
4	2,46	0,00	-43,02	-1,15
5	3,25	2,54	-89,81	-2,39

Verifica sezioni piedritto sinistro [Combinazione n° 18 - SLE (Quasi Permanente) - Sisma Vert. negativo]

Base sezione B = 100 cm

Altezza sezione H = 50,00 cm

Verifiche presso-flessione

N°	X	M	N	A _{fi}	A _{fs}	S _{fs}	S _{fi}	S _c
1	0,25	-57,31	122,58	16,08	16,08	535,1	221,0	21,0
2	1,75	22,95	105,71	16,08	16,08	98,9	89,3	8,2
3	3,25	-43,67	88,84	16,08	16,08	419,9	167,0	16,0

Verifiche taglio

N°	X	A _{sw}	V	t _c
1	0,25	0,00	110,06	2,93
2	1,75	0,00	2,56	0,07
3	3,25	0,00	-87,32	-2,33

Verifica sezioni piedritto destro [Combinazione n° 18 - SLE (Quasi Permanente) - Sisma Vert. negativo]

Base sezione B = 100 cm

Altezza sezione H = 50,00 cm

Verifiche presso-flessione

N°	X	M	N	A _{fi}	A _{fs}	S _{fs}	S _{fi}	S _c
1	0,25	-53,96	123,55	16,08	16,08	482,5	210,4	19,8
2	1,75	21,71	106,68	16,08	16,08	94,4	73,9	7,7
3	3,25	-45,12	89,81	16,08	16,08	439,2	172,0	16,6

Verifiche taglio

N°	X	A _{sw}	V	t _c
1	0,25	0,00	-104,26	-2,78
2	1,75	0,00	-0,49	-0,01
3	3,25	0,00	86,32	2,30

Verifica sezioni fondazione [Combinazione n° 19 - SLE (Quasi Permanente) - Sisma Vert. positivo]

Base sezione B = 100 cm

Altezza sezione H = 50,00 cm

Verifiche presso-flessione

N°	X	M	N	A _{fi}	A _{fs}	S _{fs}	S _{fi}	S _c
1	0,25	56,58	110,81	14,07	10,05	232,1	631,3	22,7
2	0,98	-13,31	109,33	10,05	14,07	7,6	68,0	5,2
3	1,75	-36,42	107,78	10,05	10,05	397,1	166,7	15,8
4	2,52	-10,73	106,22	10,05	14,07	1,7	59,1	4,4
5	3,25	59,89	104,74	14,07	10,05	241,3	707,2	24,0

Verifiche taglio

N°	X	A _{sw}	V	t _c
1	0,25	4,02	-129,31	-3,45
2	0,98	0,00	-58,93	-1,57
3	1,75	0,00	5,27	0,14
4	2,52	0,00	68,53	1,83
5	3,25	4,02	128,60	3,43

Verifica sezioni traverso [Combinazione n° 19 - SLE (Quasi Permanente) - Sisma Vert. positivo]

Base sezione B = 100 cm

Altezza sezione H = 50,00 cm

Verifiche presso-flessione

N°	X	M	N	A _{fi}	A _{fs}	S _{fs}	S _{fi}	S _c
1	0,25	-45,55	92,67	15,27	15,27	459,4	176,8	17,1
2	1,04	8,40	91,08	17,81	15,27	46,5	4,4	3,5
3	1,75	24,46	89,63	15,27	15,27	103,9	144,9	9,0
4	2,46	9,11	88,19	17,81	15,27	47,6	1,5	3,6
5	3,25	-44,07	86,60	15,27	15,27	453,2	170,1	16,5

Verifiche taglio

N°	X	A _{sw}	V	t _c
1	0,25	2,54	92,85	2,48
2	1,04	0,00	44,47	1,19
3	1,75	0,00	0,49	0,01
4	2,46	0,00	-43,49	-1,16
5	3,25	2,54	-91,87	-2,45

Verifica sezioni piedritto sinistro [Combinazione n° 19 - SLE (Quasi Permanente) - Sisma Vert. positivo]

Base sezione B = 100 cm
 Altezza sezione H = 50,00 cm

Verifiche presso-flessione

N°	X	M	N	A _{fi}	A _{fs}	S _{fs}	S _{fi}	S _c
1	0,25	-56,58	132,66	16,08	16,08	497,7	221,4	20,8
2	1,75	20,27	112,76	16,08	16,08	89,5	51,1	7,1
3	3,25	-45,55	92,85	16,08	16,08	437,4	174,3	16,7

Verifiche taglio

N°	X	A _{sw}	V	t _c
1	0,25	0,00	105,05	2,80
2	1,75	0,00	1,20	0,03
3	3,25	0,00	-85,63	-2,28

Verifica sezioni piedritto destro [Combinazione n° 19 - SLE (Quasi Permanente) - Sisma Vert. positivo]

Base sezione B = 100 cm
 Altezza sezione H = 50,00 cm

Verifiche presso-flessione

N°	X	M	N	A _{fi}	A _{fs}	S _{fs}	S _{fi}	S _c
1	0,25	-59,89	131,68	16,08	16,08	549,7	232,0	22,0
2	1,75	21,46	111,77	16,08	16,08	93,9	63,9	7,6
3	3,25	-44,07	91,87	16,08	16,08	417,8	169,2	16,2

Verifiche taglio

N°	X	A _{sw}	V	t _c
1	0,25	0,00	-110,78	-2,95
2	1,75	0,00	-3,28	-0,09
3	3,25	0,00	86,60	2,31

Verifica sezioni fondazione [Combinazione n° 20 - SLE (Quasi Permanente) - Sisma Vert. negativo]

Base sezione B = 100 cm
 Altezza sezione H = 50,00 cm

Verifiche presso-flessione

N°	X	M	N	A _{fi}	A _{fs}	S _{fs}	S _{fi}	S _c
1	0,25	53,96	110,05	14,07	10,05	222,8	588,7	21,6
2	0,98	-10,99	108,57	10,05	14,07	1,7	60,5	4,5
3	1,75	-32,38	107,02	10,05	10,05	310,1	150,4	13,9
4	2,52	-8,38	105,46	10,05	14,07	8,1	52,6	3,9
5	3,25	57,31	103,98	14,07	10,05	232,3	665,1	23,0

Verifiche taglio

N°	X	A _{sw}	V	t _c
1	0,25	4,02	-120,56	-3,21
2	0,98	0,00	-54,83	-1,46
3	1,75	0,00	4,91	0,13
4	2,52	0,00	63,68	1,70
5	3,25	4,02	119,86	3,20

Verifica sezioni traverso [Combinazione n° 20 - SLE (Quasi Permanente) - Sisma Vert. negativo]

Base sezione B = 100 cm
 Altezza sezione H = 50,00 cm

Verifiche presso-flessione

N°	X	M	N	A _{fi}	A _{fs}	S _{fs}	S _{fi}	S _c
1	0,25	-45,12	93,39	15,27	15,27	450,6	175,6	16,9
2	1,04	7,06	91,80	17,81	15,27	43,4	7,9	3,2
3	1,75	22,60	90,36	15,27	15,27	97,0	117,6	8,3
4	2,46	7,75	88,91	17,81	15,27	44,3	5,5	3,3
5	3,25	-43,67	87,32	15,27	15,27	444,8	169,0	16,4

Verifiche taglio

N°	X	A _{sw}	V	t _c
1	0,25	2,54	89,81	2,39
2	1,04	0,00	43,02	1,15
3	1,75	0,00	0,48	0,01
4	2,46	0,00	-42,05	-1,12
5	3,25	2,54	-88,84	-2,37

Verifica sezioni piedritto sinistro [Combinazione n° 20 - SLE (Quasi Permanente) - Sisma Vert. negativo]

Base sezione B = 100 cm
 Altezza sezione H = 50,00 cm

Verifiche presso-flessione

N°	X	M	N	A _{fi}	A _{fs}	S _{fs}	S _{fi}	S _c
1	0,25	-53,96	123,55	16,08	16,08	482,5	210,4	19,8
2	1,75	21,71	106,68	16,08	16,08	94,4	73,9	7,7
3	3,25	-45,12	89,81	16,08	16,08	439,2	172,0	16,6

Verifiche taglio

N°	X	A _{sw}	V	t _c
1	0,25	0,00	104,26	2,78
2	1,75	0,00	0,49	0,01
3	3,25	0,00	-86,32	-2,30

Verifica sezioni piedritto destro [Combinazione n° 20 - SLE (Quasi Permanente) - Sisma Vert. negativo]

Base sezione B = 100 cm
 Altezza sezione H = 50,00 cm

Verifiche presso-flessione

N°	X	M	N	A _{fi}	A _{fs}	S _{fs}	S _{fi}	S _c
1	0,25	-57,31	122,58	16,08	16,08	535,1	221,0	21,0
2	1,75	22,95	105,71	16,08	16,08	98,9	89,3	8,2
3	3,25	-43,67	88,84	16,08	16,08	419,9	167,0	16,0

Verifiche taglio

N°	X	A _{sw}	V	t _c
1	0,25	0,00	-110,06	-2,93
2	1,75	0,00	-2,56	-0,07

3 3,25 0,00 87,32 2,33

Verifica sezioni fondazione [Combinazione n° 21 - SLE (Frequente) - Sisma Vert. positivo]

Base sezione B = 100 cm
Altezza sezione H = 50,00 cm

Verifiche presso-flessione

N°	X	M	N	A _{fi}	A _{fs}	S _{fs}	S _{fi}	S _c
1	0,25	59,89	104,74	14,07	10,05	241,3	707,2	24,0
2	0,98	-10,73	106,22	10,05	14,07	1,7	59,1	4,4
3	1,75	-36,42	107,78	10,05	10,05	397,1	166,7	15,8
4	2,52	-13,31	109,33	10,05	14,07	7,6	68,0	5,2
5	3,25	56,58	110,81	14,07	10,05	232,1	631,3	22,7

Verifiche taglio

N°	X	A _{sw}	V	t _c
1	0,25	4,02	-128,60	-3,43
2	0,98	0,00	-61,63	-1,64
3	1,75	0,00	1,51	0,04
4	2,52	0,00	66,13	1,76
5	3,25	4,02	129,31	3,45

Verifica sezioni traverso [Combinazione n° 21 - SLE (Frequente) - Sisma Vert. positivo]

Base sezione B = 100 cm
Altezza sezione H = 50,00 cm

Verifiche presso-flessione

N°	X	M	N	A _{fi}	A _{fs}	S _{fs}	S _{fi}	S _c
1	0,25	-44,07	86,60	15,27	15,27	453,2	170,1	16,5
2	1,04	9,11	88,19	17,81	15,27	47,6	1,5	3,6
3	1,75	24,46	89,63	15,27	15,27	103,9	144,9	9,0
4	2,46	8,40	91,08	17,81	15,27	46,5	4,4	3,5
5	3,25	-45,55	92,67	15,27	15,27	459,4	176,8	17,1

Verifiche taglio

N°	X	A _{sw}	V	t _c
1	0,25	2,54	91,87	2,45
2	1,04	0,00	43,49	1,16
3	1,75	0,00	-0,49	-0,01
4	2,46	0,00	-44,47	-1,19
5	3,25	2,54	-92,85	-2,48

Verifica sezioni piedritto sinistro [Combinazione n° 21 - SLE (Frequente) - Sisma Vert. positivo]

Base sezione B = 100 cm
Altezza sezione H = 50,00 cm

Verifiche presso-flessione

N°	X	M	N	A _{fi}	A _{fs}	S _{fs}	S _{fi}	S _c
1	0,25	-59,89	131,68	16,08	16,08	549,7	232,0	22,0
2	1,75	21,46	111,77	16,08	16,08	93,9	63,9	7,6
3	3,25	-44,07	91,87	16,08	16,08	417,8	169,2	16,2

Verifiche taglio

N°	X	A _{sw}	V	t _c
1	0,25	0,00	110,78	2,95
2	1,75	0,00	3,28	0,09
3	3,25	0,00	-86,60	-2,31

Verifica sezioni piedritto destro [Combinazione n° 21 - SLE (Frequente) - Sisma Vert. positivo]

Base sezione B = 100 cm
 Altezza sezione H = 50,00 cm

Verifiche presso-flessione

N°	X	M	N	A _{fi}	A _{fs}	S _{fs}	S _{fi}	S _c
1	0,25	-56,58	132,66	16,08	16,08	497,7	221,4	20,8
2	1,75	20,27	112,76	16,08	16,08	89,5	51,1	7,1
3	3,25	-45,55	92,85	16,08	16,08	437,4	174,3	16,7

Verifiche taglio

N°	X	A _{sw}	V	t _c
1	0,25	0,00	-105,05	-2,80
2	1,75	0,00	-1,20	-0,03
3	3,25	0,00	85,63	2,28

Verifica sezioni fondazione [Combinazione n° 22 - SLE (Frequente) - Sisma Vert. negativo]

Base sezione B = 100 cm
 Altezza sezione H = 50,00 cm

Verifiche presso-flessione

N°	X	M	N	A _{fi}	A _{fs}	S _{fs}	S _{fi}	S _c
1	0,25	57,31	103,98	14,07	10,05	232,3	665,1	23,0
2	0,98	-8,38	105,46	10,05	14,07	8,1	52,6	3,9
3	1,75	-32,38	107,02	10,05	10,05	310,1	150,4	13,9
4	2,52	-10,99	108,57	10,05	14,07	1,7	60,5	4,5
5	3,25	53,96	110,05	14,07	10,05	222,8	588,7	21,6

Verifiche taglio

N°	X	A _{sw}	V	t _c
1	0,25	4,02	-119,86	-3,20
2	0,98	0,00	-57,56	-1,53
3	1,75	0,00	1,13	0,03
4	2,52	0,00	61,26	1,63
5	3,25	4,02	120,56	3,21

Verifica sezioni traverso [Combinazione n° 22 - SLE (Frequente) - Sisma Vert. negativo]

Base sezione B = 100 cm
 Altezza sezione H = 50,00 cm

Verifiche presso-flessione

N°	X	M	N	A _{fi}	A _{fs}	S _{fs}	S _{fi}	S _c
1	0,25	-43,67	87,32	15,27	15,27	444,8	169,0	16,4

2	1,04	7,75	88,91	17,81	15,27	44,3	5,5	3,3
3	1,75	22,60	90,36	15,27	15,27	97,0	117,6	8,3
4	2,46	7,06	91,80	17,81	15,27	43,4	7,9	3,2
5	3,25	-45,12	93,39	15,27	15,27	450,6	175,6	16,9

Verifiche taglio

N°	X	A _{sw}	V	t _c
1	0,25	2,54	88,84	2,37
2	1,04	0,00	42,05	1,12
3	1,75	0,00	-0,48	-0,01
4	2,46	0,00	-43,02	-1,15
5	3,25	2,54	-89,81	-2,39

Verifica sezioni piedritto sinistro [Combinazione n° 22 - SLE (Frequente) - Sisma Vert. negativo]

Base sezione B = 100 cm
Altezza sezione H = 50,00 cm

Verifiche presso-flessione

N°	X	M	N	A _{fi}	A _{fs}	S _{fs}	S _{fi}	S _c
1	0,25	-57,31	122,58	16,08	16,08	535,1	221,0	21,0
2	1,75	22,95	105,71	16,08	16,08	98,9	89,3	8,2
3	3,25	-43,67	88,84	16,08	16,08	419,9	167,0	16,0

Verifiche taglio

N°	X	A _{sw}	V	t _c
1	0,25	0,00	110,06	2,93
2	1,75	0,00	2,56	0,07
3	3,25	0,00	-87,32	-2,33

Verifica sezioni piedritto destro [Combinazione n° 22 - SLE (Frequente) - Sisma Vert. negativo]

Base sezione B = 100 cm
Altezza sezione H = 50,00 cm

Verifiche presso-flessione

N°	X	M	N	A _{fi}	A _{fs}	S _{fs}	S _{fi}	S _c
1	0,25	-53,96	123,55	16,08	16,08	482,5	210,4	19,8
2	1,75	21,71	106,68	16,08	16,08	94,4	73,9	7,7
3	3,25	-45,12	89,81	16,08	16,08	439,2	172,0	16,6

Verifiche taglio

N°	X	A _{sw}	V	t _c
1	0,25	0,00	-104,26	-2,78
2	1,75	0,00	-0,49	-0,01
3	3,25	0,00	86,32	2,30

Verifica sezioni fondazione [Combinazione n° 23 - SLE (Frequente) - Sisma Vert. positivo]

Base sezione B = 100 cm
Altezza sezione H = 50,00 cm

Verifiche presso-flessione

N°	X	M	N	A _{fi}	A _{fs}	S _{fs}	S _{fi}	S _c
1	0,25	56,58	110,81	14,07	10,05	232,1	631,3	22,7
2	0,98	-13,31	109,33	10,05	14,07	7,6	68,0	5,2
3	1,75	-36,42	107,78	10,05	10,05	397,1	166,7	15,8
4	2,52	-10,73	106,22	10,05	14,07	1,7	59,1	4,4
5	3,25	59,89	104,74	14,07	10,05	241,3	707,2	24,0

Verifiche taglio

N°	X	A _{sw}	V	t _c
1	0,25	4,02	-129,31	-3,45
2	0,98	0,00	-58,93	-1,57
3	1,75	0,00	5,27	0,14
4	2,52	0,00	68,53	1,83
5	3,25	4,02	128,60	3,43

Verifica sezioni trasverso [Combinazione n° 23 - SLE (Frequente) - Sisma Vert. positivo]

Base sezione B = 100 cm
 Altezza sezione H = 50,00 cm

Verifiche presso-flessione

N°	X	M	N	A _{fi}	A _{fs}	S _{fs}	S _{fi}	S _c
1	0,25	-45,55	92,67	15,27	15,27	459,4	176,8	17,1
2	1,04	8,40	91,08	17,81	15,27	46,5	4,4	3,5
3	1,75	24,46	89,63	15,27	15,27	103,9	144,9	9,0
4	2,46	9,11	88,19	17,81	15,27	47,6	1,5	3,6
5	3,25	-44,07	86,60	15,27	15,27	453,2	170,1	16,5

Verifiche taglio

N°	X	A _{sw}	V	t _c
1	0,25	2,54	92,85	2,48
2	1,04	0,00	44,47	1,19
3	1,75	0,00	0,49	0,01
4	2,46	0,00	-43,49	-1,16
5	3,25	2,54	-91,87	-2,45

Verifica sezioni piedritto sinistro [Combinazione n° 23 - SLE (Frequente) - Sisma Vert. positivo]

Base sezione B = 100 cm
 Altezza sezione H = 50,00 cm

Verifiche presso-flessione

N°	X	M	N	A _{fi}	A _{fs}	S _{fs}	S _{fi}	S _c
1	0,25	-56,58	132,66	16,08	16,08	497,7	221,4	20,8
2	1,75	20,27	112,76	16,08	16,08	89,5	51,1	7,1
3	3,25	-45,55	92,85	16,08	16,08	437,4	174,3	16,7

Verifiche taglio

N°	X	A _{sw}	V	t _c
1	0,25	0,00	105,05	2,80
2	1,75	0,00	1,20	0,03
3	3,25	0,00	-85,63	-2,28

Verifica sezioni piedritto destro [Combinazione n° 23 - SLE (Frequente) - Sisma Vert. positivo]

Base sezione B = 100 cm
 Altezza sezione H = 50,00 cm

Verifiche presso-flessione

N°	X	M	N	A _{fi}	A _{fs}	S _{fs}	S _{fi}	S _c
1	0,25	-59,89	131,68	16,08	16,08	549,7	232,0	22,0
2	1,75	21,46	111,77	16,08	16,08	93,9	63,9	7,6
3	3,25	-44,07	91,87	16,08	16,08	417,8	169,2	16,2

Verifiche taglio

N°	X	A _{sw}	V	t _c
1	0,25	0,00	-110,78	-2,95
2	1,75	0,00	-3,28	-0,09
3	3,25	0,00	86,60	2,31

Verifica sezioni fondazione [Combinazione n° 24 - SLE (Frequente) - Sisma Vert. negativo]

Base sezione B = 100 cm
 Altezza sezione H = 50,00 cm

Verifiche presso-flessione

N°	X	M	N	A _{fi}	A _{fs}	S _{fs}	S _{fi}	S _c
1	0,25	53,96	110,05	14,07	10,05	222,8	588,7	21,6
2	0,98	-10,99	108,57	10,05	14,07	1,7	60,5	4,5
3	1,75	-32,38	107,02	10,05	10,05	310,1	150,4	13,9
4	2,52	-8,38	105,46	10,05	14,07	8,1	52,6	3,9
5	3,25	57,31	103,98	14,07	10,05	232,3	665,1	23,0

Verifiche taglio

N°	X	A _{sw}	V	t _c
1	0,25	4,02	-120,56	-3,21
2	0,98	0,00	-54,83	-1,46
3	1,75	0,00	4,91	0,13
4	2,52	0,00	63,68	1,70
5	3,25	4,02	119,86	3,20

Verifica sezioni traverso [Combinazione n° 24 - SLE (Frequente) - Sisma Vert. negativo]

Base sezione B = 100 cm
 Altezza sezione H = 50,00 cm

Verifiche presso-flessione

N°	X	M	N	A _{fi}	A _{fs}	S _{fs}	S _{fi}	S _c
1	0,25	-45,12	93,39	15,27	15,27	450,6	175,6	16,9
2	1,04	7,06	91,80	17,81	15,27	43,4	7,9	3,2
3	1,75	22,60	90,36	15,27	15,27	97,0	117,6	8,3
4	2,46	7,75	88,91	17,81	15,27	44,3	5,5	3,3
5	3,25	-43,67	87,32	15,27	15,27	444,8	169,0	16,4

Verifiche taglio

N°	X	A _{sw}	V	t _c
1	0,25	2,54	89,81	2,39
2	1,04	0,00	43,02	1,15

3	1,75	0,00	0,48	0,01
4	2,46	0,00	-42,05	-1,12
5	3,25	2,54	-88,84	-2,37

Verifica sezioni piedritto sinistro [Combinazione n° 24 - SLE (Frequente) - Sisma Vert. negativo]

Base sezione B = 100 cm

Altezza sezione H = 50,00 cm

Verifiche presso-flessione

N°	X	M	N	A _{fi}	A _{fs}	S _{fs}	S _{fi}	S _c
1	0,25	-53,96	123,55	16,08	16,08	482,5	210,4	19,8
2	1,75	21,71	106,68	16,08	16,08	94,4	73,9	7,7
3	3,25	-45,12	89,81	16,08	16,08	439,2	172,0	16,6

Verifiche taglio

N°	X	A _{sw}	V	t _c
1	0,25	0,00	104,26	2,78
2	1,75	0,00	0,49	0,01
3	3,25	0,00	-86,32	-2,30

Verifica sezioni piedritto destro [Combinazione n° 24 - SLE (Frequente) - Sisma Vert. negativo]

Base sezione B = 100 cm

Altezza sezione H = 50,00 cm

Verifiche presso-flessione

N°	X	M	N	A _{fi}	A _{fs}	S _{fs}	S _{fi}	S _c
1	0,25	-57,31	122,58	16,08	16,08	535,1	221,0	21,0
2	1,75	22,95	105,71	16,08	16,08	98,9	89,3	8,2
3	3,25	-43,67	88,84	16,08	16,08	419,9	167,0	16,0

Verifiche taglio

N°	X	A _{sw}	V	t _c
1	0,25	0,00	-110,06	-2,93
2	1,75	0,00	-2,56	-0,07
3	3,25	0,00	87,32	2,33

Verifica sezioni fondazione [Combinazione n° 25 - SLE (Rara) - Sisma Vert. positivo]

Base sezione B = 100 cm

Altezza sezione H = 50,00 cm

Verifiche presso-flessione

N°	X	M	N	A _{fi}	A _{fs}	S _{fs}	S _{fi}	S _c
1	0,25	59,89	104,74	14,07	10,05	241,3	707,2	24,0
2	0,98	-10,73	106,22	10,05	14,07	1,7	59,1	4,4
3	1,75	-36,42	107,78	10,05	10,05	397,1	166,7	15,8
4	2,52	-13,31	109,33	10,05	14,07	7,6	68,0	5,2
5	3,25	56,58	110,81	14,07	10,05	232,1	631,3	22,7

Verifiche taglio

N°	X	A _{sw}	V	t _c
----	---	-----------------	---	----------------

1	0,25	4,02	-128,60	-3,43
2	0,98	0,00	-61,63	-1,64
3	1,75	0,00	1,51	0,04
4	2,52	0,00	66,13	1,76
5	3,25	4,02	129,31	3,45

Verifica sezioni traverso [Combinazione n° 25 - SLE (Rara) - Sisma Vert. positivo]

Base sezione B = 100 cm
 Altezza sezione H = 50,00 cm

Verifiche presso-flessione

N°	X	M	N	A _{fi}	A _{fs}	S _{fs}	S _{fi}	S _c
1	0,25	-44,07	86,60	15,27	15,27	453,2	170,1	16,5
2	1,04	9,11	88,19	17,81	15,27	47,6	1,5	3,6
3	1,75	24,46	89,63	15,27	15,27	103,9	144,9	9,0
4	2,46	8,40	91,08	17,81	15,27	46,5	4,4	3,5
5	3,25	-45,55	92,67	15,27	15,27	459,4	176,8	17,1

Verifiche taglio

N°	X	A _{sw}	V	t _c
1	0,25	2,54	91,87	2,45
2	1,04	0,00	43,49	1,16
3	1,75	0,00	-0,49	-0,01
4	2,46	0,00	-44,47	-1,19
5	3,25	2,54	-92,85	-2,48

Verifica sezioni piedritto sinistro [Combinazione n° 25 - SLE (Rara) - Sisma Vert. positivo]

Base sezione B = 100 cm
 Altezza sezione H = 50,00 cm

Verifiche presso-flessione

N°	X	M	N	A _{fi}	A _{fs}	S _{fs}	S _{fi}	S _c
1	0,25	-59,89	131,68	16,08	16,08	549,7	232,0	22,0
2	1,75	21,46	111,77	16,08	16,08	93,9	63,9	7,6
3	3,25	-44,07	91,87	16,08	16,08	417,8	169,2	16,2

Verifiche taglio

N°	X	A _{sw}	V	t _c
1	0,25	0,00	110,78	2,95
2	1,75	0,00	3,28	0,09
3	3,25	0,00	-86,60	-2,31

Verifica sezioni piedritto destro [Combinazione n° 25 - SLE (Rara) - Sisma Vert. positivo]

Base sezione B = 100 cm
 Altezza sezione H = 50,00 cm

Verifiche presso-flessione

N°	X	M	N	A _{fi}	A _{fs}	S _{fs}	S _{fi}	S _c
1	0,25	-56,58	132,66	16,08	16,08	497,7	221,4	20,8
2	1,75	20,27	112,76	16,08	16,08	89,5	51,1	7,1
3	3,25	-45,55	92,85	16,08	16,08	437,4	174,3	16,7

Verifiche taglio

N°	X	A _{sw}	V	t _c
1	0,25	0,00	-105,05	-2,80
2	1,75	0,00	-1,20	-0,03
3	3,25	0,00	85,63	2,28

Verifica sezioni fondazione [Combinazione n° 26 - SLE (Rara) - Sisma Vert. negativo]

Base sezione B = 100 cm

Altezza sezione H = 50,00 cm

Verifiche presso-flessione

N°	X	M	N	A _{fi}	A _{fs}	S _{fs}	S _{fi}	S _c
1	0,25	57,31	103,98	14,07	10,05	232,3	665,1	23,0
2	0,98	-8,38	105,46	10,05	14,07	8,1	52,6	3,9
3	1,75	-32,38	107,02	10,05	10,05	310,1	150,4	13,9
4	2,52	-10,99	108,57	10,05	14,07	1,7	60,5	4,5
5	3,25	53,96	110,05	14,07	10,05	222,8	588,7	21,6

Verifiche taglio

N°	X	A _{sw}	V	t _c
1	0,25	4,02	-119,86	-3,20
2	0,98	0,00	-57,56	-1,53
3	1,75	0,00	1,13	0,03
4	2,52	0,00	61,26	1,63
5	3,25	4,02	120,56	3,21

Verifica sezioni traverso [Combinazione n° 26 - SLE (Rara) - Sisma Vert. negativo]

Base sezione B = 100 cm

Altezza sezione H = 50,00 cm

Verifiche presso-flessione

N°	X	M	N	A _{fi}	A _{fs}	S _{fs}	S _{fi}	S _c
1	0,25	-43,67	87,32	15,27	15,27	444,8	169,0	16,4
2	1,04	7,75	88,91	17,81	15,27	44,3	5,5	3,3
3	1,75	22,60	90,36	15,27	15,27	97,0	117,6	8,3
4	2,46	7,06	91,80	17,81	15,27	43,4	7,9	3,2
5	3,25	-45,12	93,39	15,27	15,27	450,6	175,6	16,9

Verifiche taglio

N°	X	A _{sw}	V	t _c
1	0,25	2,54	88,84	2,37
2	1,04	0,00	42,05	1,12
3	1,75	0,00	-0,48	-0,01
4	2,46	0,00	-43,02	-1,15
5	3,25	2,54	-89,81	-2,39

Verifica sezioni piedritto sinistro [Combinazione n° 26 - SLE (Rara) - Sisma Vert. negativo]

Base sezione B = 100 cm

Altezza sezione H = 50,00 cm

Verifiche presso-flessione

N°	X	M	N	A _{fi}	A _{fs}	S _{fs}	S _{fi}	S _c
1	0,25	-57,31	122,58	16,08	16,08	535,1	221,0	21,0
2	1,75	22,95	105,71	16,08	16,08	98,9	89,3	8,2
3	3,25	-43,67	88,84	16,08	16,08	419,9	167,0	16,0

Verifiche taglio

N°	X	A _{sw}	V	t _c
1	0,25	0,00	110,06	2,93
2	1,75	0,00	2,56	0,07
3	3,25	0,00	-87,32	-2,33

Verifica sezioni piedritto destro [Combinazione n° 26 - SLE (Rara) - Sisma Vert. negativo]

Base sezione B = 100 cm

Altezza sezione H = 50,00 cm

Verifiche presso-flessione

N°	X	M	N	A _{fi}	A _{fs}	S _{fs}	S _{fi}	S _c
1	0,25	-53,96	123,55	16,08	16,08	482,5	210,4	19,8
2	1,75	21,71	106,68	16,08	16,08	94,4	73,9	7,7
3	3,25	-45,12	89,81	16,08	16,08	439,2	172,0	16,6

Verifiche taglio

N°	X	A _{sw}	V	t _c
1	0,25	0,00	-104,26	-2,78
2	1,75	0,00	-0,49	-0,01
3	3,25	0,00	86,32	2,30

Verifica sezioni fondazione [Combinazione n° 27 - SLE (Rara) - Sisma Vert. positivo]

Base sezione B = 100 cm

Altezza sezione H = 50,00 cm

Verifiche presso-flessione

N°	X	M	N	A _{fi}	A _{fs}	S _{fs}	S _{fi}	S _c
1	0,25	56,58	110,81	14,07	10,05	232,1	631,3	22,7
2	0,98	-13,31	109,33	10,05	14,07	7,6	68,0	5,2
3	1,75	-36,42	107,78	10,05	10,05	397,1	166,7	15,8
4	2,52	-10,73	106,22	10,05	14,07	1,7	59,1	4,4
5	3,25	59,89	104,74	14,07	10,05	241,3	707,2	24,0

Verifiche taglio

N°	X	A _{sw}	V	t _c
1	0,25	4,02	-129,31	-3,45
2	0,98	0,00	-58,93	-1,57
3	1,75	0,00	5,27	0,14
4	2,52	0,00	68,53	1,83
5	3,25	4,02	128,60	3,43

Verifica sezioni traverso [Combinazione n° 27 - SLE (Rara) - Sisma Vert. positivo]

Base sezione B = 100 cm
 Altezza sezione H = 50,00 cm

Verifiche presso-flessione

N°	X	M	N	A _{fi}	A _{fs}	S _{fs}	S _{fi}	S _c
1	0,25	-45,55	92,67	15,27	15,27	459,4	176,8	17,1
2	1,04	8,40	91,08	17,81	15,27	46,5	4,4	3,5
3	1,75	24,46	89,63	15,27	15,27	103,9	144,9	9,0
4	2,46	9,11	88,19	17,81	15,27	47,6	1,5	3,6
5	3,25	-44,07	86,60	15,27	15,27	453,2	170,1	16,5

Verifiche taglio

N°	X	A _{sw}	V	t _c
1	0,25	2,54	92,85	2,48
2	1,04	0,00	44,47	1,19
3	1,75	0,00	0,49	0,01
4	2,46	0,00	-43,49	-1,16
5	3,25	2,54	-91,87	-2,45

Verifica sezioni piedritto sinistro [Combinazione n° 27 - SLE (Rara) - Sisma Vert. positivo]

Base sezione B = 100 cm
 Altezza sezione H = 50,00 cm

Verifiche presso-flessione

N°	X	M	N	A _{fi}	A _{fs}	S _{fs}	S _{fi}	S _c
1	0,25	-56,58	132,66	16,08	16,08	497,7	221,4	20,8
2	1,75	20,27	112,76	16,08	16,08	89,5	51,1	7,1
3	3,25	-45,55	92,85	16,08	16,08	437,4	174,3	16,7

Verifiche taglio

N°	X	A _{sw}	V	t _c
1	0,25	0,00	105,05	2,80
2	1,75	0,00	1,20	0,03
3	3,25	0,00	-85,63	-2,28

Verifica sezioni piedritto destro [Combinazione n° 27 - SLE (Rara) - Sisma Vert. positivo]

Base sezione B = 100 cm
 Altezza sezione H = 50,00 cm

Verifiche presso-flessione

N°	X	M	N	A _{fi}	A _{fs}	S _{fs}	S _{fi}	S _c
1	0,25	-59,89	131,68	16,08	16,08	549,7	232,0	22,0
2	1,75	21,46	111,77	16,08	16,08	93,9	63,9	7,6
3	3,25	-44,07	91,87	16,08	16,08	417,8	169,2	16,2

Verifiche taglio

N°	X	A _{sw}	V	t _c
1	0,25	0,00	-110,78	-2,95
2	1,75	0,00	-3,28	-0,09
3	3,25	0,00	86,60	2,31

Verifica sezioni fondazione [Combinazione n° 28 - SLE (Rara) - Sisma Vert. negativo]

Base sezione B = 100 cm
 Altezza sezione H = 50,00 cm

Verifiche presso-flessione

N°	X	M	N	A _{fi}	A _{fs}	S _{fs}	S _{fi}	S _c
1	0,25	53,96	110,05	14,07	10,05	222,8	588,7	21,6
2	0,98	-10,99	108,57	10,05	14,07	1,7	60,5	4,5
3	1,75	-32,38	107,02	10,05	10,05	310,1	150,4	13,9
4	2,52	-8,38	105,46	10,05	14,07	8,1	52,6	3,9
5	3,25	57,31	103,98	14,07	10,05	232,3	665,1	23,0

Verifiche taglio

N°	X	A _{sw}	V	t _c
1	0,25	4,02	-120,56	-3,21
2	0,98	0,00	-54,83	-1,46
3	1,75	0,00	4,91	0,13
4	2,52	0,00	63,68	1,70
5	3,25	4,02	119,86	3,20

Verifica sezioni traverso [Combinazione n° 28 - SLE (Rara) - Sisma Vert. negativo]

Base sezione B = 100 cm
 Altezza sezione H = 50,00 cm

Verifiche presso-flessione

N°	X	M	N	A _{fi}	A _{fs}	S _{fs}	S _{fi}	S _c
1	0,25	-45,12	93,39	15,27	15,27	450,6	175,6	16,9
2	1,04	7,06	91,80	17,81	15,27	43,4	7,9	3,2
3	1,75	22,60	90,36	15,27	15,27	97,0	117,6	8,3
4	2,46	7,75	88,91	17,81	15,27	44,3	5,5	3,3
5	3,25	-43,67	87,32	15,27	15,27	444,8	169,0	16,4

Verifiche taglio

N°	X	A _{sw}	V	t _c
1	0,25	2,54	89,81	2,39
2	1,04	0,00	43,02	1,15
3	1,75	0,00	0,48	0,01
4	2,46	0,00	-42,05	-1,12
5	3,25	2,54	-88,84	-2,37

Verifica sezioni piedritto sinistro [Combinazione n° 28 - SLE (Rara) - Sisma Vert. negativo]

Base sezione B = 100 cm
 Altezza sezione H = 50,00 cm

Verifiche presso-flessione

N°	X	M	N	A _{fi}	A _{fs}	S _{fs}	S _{fi}	S _c
1	0,25	-53,96	123,55	16,08	16,08	482,5	210,4	19,8
2	1,75	21,71	106,68	16,08	16,08	94,4	73,9	7,7
3	3,25	-45,12	89,81	16,08	16,08	439,2	172,0	16,6

Verifiche taglio

N°	X	A _{sw}	V	t _c
----	---	-----------------	---	----------------

1	0,25	0,00	104,26	2,78
2	1,75	0,00	0,49	0,01
3	3,25	0,00	-86,32	-2,30

Verifica sezioni piedritto destro [Combinazione n° 28 - SLE (Rara) - Sisma Vert. negativo]

Base sezione B = 100 cm

Altezza sezione H = 50,00 cm

Verifiche presso-flessione

N°	X	M	N	A _{fi}	A _{fs}	S _{fs}	S _{fi}	S _c
1	0,25	-57,31	122,58	16,08	16,08	535,1	221,0	21,0
2	1,75	22,95	105,71	16,08	16,08	98,9	89,3	8,2
3	3,25	-43,67	88,84	16,08	16,08	419,9	167,0	16,0

Verifiche taglio

N°	X	A _{sw}	V	t _c
1	0,25	0,00	-110,06	-2,93
2	1,75	0,00	-2,56	-0,07
3	3,25	0,00	87,32	2,33

Verifiche fessurazione

Simbologia adottata ed unità di misura

N°	Indice sezione
X_i	Ascissa/Ordinata sezione, espresso in m
M_p	Momento, espresse in kNm
M_n	Momento, espresse in kNm
w_k	Ampiezza fessure, espresse in mm
w_{lim}	Apertura limite fessure, espresse in mm
s	Distanza media tra le fessure, espresse in mm
e_{sm}	Deformazione nelle fessure, espresse in [%]

Verifica fessurazione fondazione [Combinazione n° 12 - SLE (Quasi Permanente)]

N°	X	A_{fi}	A_{fs}	M_p	M_n	M	w	w_{lim}	S_m	e_{sm}
1	0,25	14,07	10,05	93,86	-92,13	49,44	0,00	0,20	0,00	0,00000
2	0,98	10,05	14,07	92,13	-93,86	-18,11	0,00	0,20	0,00	0,00000
3	1,75	10,05	10,05	91,75	-91,75	-41,46	0,00	0,20	0,00	0,00000
4	2,52	10,05	14,07	92,13	-93,86	-18,11	0,00	0,20	0,00	0,00000
5	3,25	14,07	10,05	93,86	-92,13	49,44	0,00	0,20	0,00	0,00000

Verifica fessurazione traverso [Combinazione n° 12 - SLE (Quasi Permanente)]

N°	X	A_{fi}	A_{fs}	M_p	M_n	M	w	w_{lim}	S_m	e_{sm}
1	0,25	15,27	15,27	94,99	-94,99	-37,25	0,00	0,20	0,00	0,00000
2	1,04	17,81	15,27	96,33	-95,23	15,43	0,00	0,20	0,00	0,00000
3	1,75	15,27	15,27	94,99	-94,99	30,88	0,00	0,20	0,00	0,00000
4	2,46	17,81	15,27	96,33	-95,23	15,43	0,00	0,20	0,00	0,00000
5	3,25	15,27	15,27	94,99	-94,99	-37,25	0,00	0,20	0,00	0,00000

Verifica fessurazione piedritto sinistro [Combinazione n° 12 - SLE (Quasi Permanente)]

N°	X	A_{fi}	A_{fs}	M_p	M_n	M	w	w_{lim}	S_m	e_{sm}
1	0,25	16,08	16,08	95,50	-95,50	-49,44	0,00	0,20	0,00	0,00000
2	1,75	16,08	16,08	95,50	-95,50	6,95	0,00	0,20	0,00	0,00000
3	3,25	16,08	16,08	95,50	-95,50	-37,25	0,00	0,20	0,00	0,00000

Verifica fessurazione piedritto destro [Combinazione n° 12 - SLE (Quasi Permanente)]

N°	X	A_{fi}	A_{fs}	M_p	M_n	M	w	w_{lim}	S_m	e_{sm}
1	0,25	16,08	16,08	95,50	-95,50	-49,44	0,00	0,20	0,00	0,00000
2	1,75	16,08	16,08	95,50	-95,50	6,95	0,00	0,20	0,00	0,00000
3	3,25	16,08	16,08	95,50	-95,50	-37,25	0,00	0,20	0,00	0,00000

Verifica fessurazione fondazione [Combinazione n° 13 - SLE (Frequente)]

N°	X	A_{fi}	A_{fs}	M_p	M_n	M	w	w_{lim}	S_m	e_{sm}
1	0,25	14,07	10,05	93,86	-92,13	49,44	0,00	0,30	0,00	0,00000
2	0,98	10,05	14,07	92,13	-93,86	-18,11	0,00	0,30	0,00	0,00000
3	1,75	10,05	10,05	91,75	-91,75	-41,46	0,00	0,30	0,00	0,00000
4	2,52	10,05	14,07	92,13	-93,86	-18,11	0,00	0,30	0,00	0,00000
5	3,25	14,07	10,05	93,86	-92,13	49,44	0,00	0,30	0,00	0,00000

Verifica fessurazione traverso [Combinazione n° 13 - SLE (Frequente)]

N°	X	A _{fi}	A _{fs}	M _p	M _n	M	w	W _{lim}	S _m	e _{sm}
1	0,25	15,27	15,27	94,99	-94,99	-37,25	0,00	0,30	0,00	0,00000
2	1,04	17,81	15,27	96,33	-95,23	15,43	0,00	0,30	0,00	0,00000
3	1,75	15,27	15,27	94,99	-94,99	30,88	0,00	0,30	0,00	0,00000
4	2,46	17,81	15,27	96,33	-95,23	15,43	0,00	0,30	0,00	0,00000
5	3,25	15,27	15,27	94,99	-94,99	-37,25	0,00	0,30	0,00	0,00000

Verifica fessurazione piedritto sinistro [Combinazione n° 13 - SLE (Frequente)]

N°	X	A _{fi}	A _{fs}	M _p	M _n	M	w	W _{lim}	S _m	e _{sm}
1	0,25	16,08	16,08	95,50	-95,50	-49,44	0,00	0,30	0,00	0,00000
2	1,75	16,08	16,08	95,50	-95,50	6,95	0,00	0,30	0,00	0,00000
3	3,25	16,08	16,08	95,50	-95,50	-37,25	0,00	0,30	0,00	0,00000

Verifica fessurazione piedritto destro [Combinazione n° 13 - SLE (Frequente)]

N°	X	A _{fi}	A _{fs}	M _p	M _n	M	w	W _{lim}	S _m	e _{sm}
1	0,25	16,08	16,08	95,50	-95,50	-49,44	0,00	0,30	0,00	0,00000
2	1,75	16,08	16,08	95,50	-95,50	6,95	0,00	0,30	0,00	0,00000
3	3,25	16,08	16,08	95,50	-95,50	-37,25	0,00	0,30	0,00	0,00000

Verifica fessurazione fondazione [Combinazione n° 14 - SLE (Frequente)]

N°	X	A _{fi}	A _{fs}	M _p	M _n	M	w	W _{lim}	S _m	e _{sm}
1	0,25	14,07	10,05	93,86	-92,13	75,16	0,00	0,30	0,00	0,00000
2	0,98	10,05	14,07	92,13	-93,86	-24,66	0,00	0,30	0,00	0,00000
3	1,75	10,05	10,05	91,75	-91,75	-59,30	0,00	0,30	0,00	0,00000
4	2,52	10,05	14,07	92,13	-93,86	-24,66	0,00	0,30	0,00	0,00000
5	3,25	14,07	10,05	93,86	-92,13	75,16	0,00	0,30	0,00	0,00000

Verifica fessurazione traverso [Combinazione n° 14 - SLE (Frequente)]

N°	X	A _{fi}	A _{fs}	M _p	M _n	M	w	W _{lim}	S _m	e _{sm}
1	0,25	15,27	15,27	94,99	-94,99	-63,28	0,00	0,30	0,00	0,00000
2	1,04	17,81	15,27	96,33	-95,23	23,65	0,00	0,30	0,00	0,00000
3	1,75	15,27	15,27	94,99	-94,99	49,14	0,00	0,30	0,00	0,00000
4	2,46	17,81	15,27	96,33	-95,23	23,65	0,00	0,30	0,00	0,00000
5	3,25	15,27	15,27	94,99	-94,99	-63,28	0,00	0,30	0,00	0,00000

Verifica fessurazione piedritto sinistro [Combinazione n° 14 - SLE (Frequente)]

N°	X	A _{fi}	A _{fs}	M _p	M _n	M	w	W _{lim}	S _m	e _{sm}
1	0,25	16,08	16,08	95,50	-95,50	-75,16	0,00	0,30	0,00	0,00000
2	1,75	16,08	16,08	95,50	-95,50	14,73	0,00	0,30	0,00	0,00000
3	3,25	16,08	16,08	95,50	-95,50	-63,28	0,00	0,30	0,00	0,00000

Verifica fessurazione piedritto destro [Combinazione n° 14 - SLE (Frequente)]

N°	X	A _{fi}	A _{fs}	M _p	M _n	M	w	W _{lim}	S _m	e _{sm}
1	0,25	16,08	16,08	95,50	-95,50	-75,16	0,00	0,30	0,00	0,00000
2	1,75	16,08	16,08	95,50	-95,50	14,73	0,00	0,30	0,00	0,00000
3	3,25	16,08	16,08	95,50	-95,50	-63,28	0,00	0,30	0,00	0,00000

Verifica fessurazione fondazione [Combinazione n° 15 - SLE (Rara)]

N°	X	A _{fi}	A _{fs}	M _p	M _n	M	w	W _{lim}	S _m	e _{sm}
1	0,25	14,07	10,05	93,86	-92,13	75,16	0,00	100,00	0,00	0,00000
2	0,98	10,05	14,07	92,13	-93,86	-24,66	0,00	100,00	0,00	0,00000
3	1,75	10,05	10,05	91,75	-91,75	-59,30	0,00	100,00	0,00	0,00000
4	2,52	10,05	14,07	92,13	-93,86	-24,66	0,00	100,00	0,00	0,00000
5	3,25	14,07	10,05	93,86	-92,13	75,16	0,00	100,00	0,00	0,00000

Verifica fessurazione traverso [Combinazione n° 15 - SLE (Rara)]

N°	X	A _{fi}	A _{fs}	M _p	M _n	M	w	W _{lim}	S _m	e _{sm}
1	0,25	15,27	15,27	94,99	-94,99	-63,28	0,00	100,00	0,00	0,00000
2	1,04	17,81	15,27	96,33	-95,23	23,65	0,00	100,00	0,00	0,00000
3	1,75	15,27	15,27	94,99	-94,99	49,14	0,00	100,00	0,00	0,00000
4	2,46	17,81	15,27	96,33	-95,23	23,65	0,00	100,00	0,00	0,00000
5	3,25	15,27	15,27	94,99	-94,99	-63,28	0,00	100,00	0,00	0,00000

Verifica fessurazione piedritto sinistro [Combinazione n° 15 - SLE (Rara)]

N°	X	A _{fi}	A _{fs}	M _p	M _n	M	w	W _{lim}	S _m	e _{sm}
1	0,25	16,08	16,08	95,50	-95,50	-75,16	0,00	100,00	0,00	0,00000
2	1,75	16,08	16,08	95,50	-95,50	14,73	0,00	100,00	0,00	0,00000
3	3,25	16,08	16,08	95,50	-95,50	-63,28	0,00	100,00	0,00	0,00000

Verifica fessurazione piedritto destro [Combinazione n° 15 - SLE (Rara)]

N°	X	A _{fi}	A _{fs}	M _p	M _n	M	w	W _{lim}	S _m	e _{sm}
1	0,25	16,08	16,08	95,50	-95,50	-75,16	0,00	100,00	0,00	0,00000
2	1,75	16,08	16,08	95,50	-95,50	14,73	0,00	100,00	0,00	0,00000
3	3,25	16,08	16,08	95,50	-95,50	-63,28	0,00	100,00	0,00	0,00000

Verifica fessurazione fondazione [Combinazione n° 16 - SLE (Rara)]

N°	X	A _{fi}	A _{fs}	M _p	M _n	M	w	W _{lim}	S _m	e _{sm}
1	0,25	14,07	10,05	93,86	-92,13	83,75	0,00	100,00	0,00	0,00000
2	0,98	10,05	14,07	92,13	-93,86	-26,83	0,00	100,00	0,00	0,00000
3	1,75	10,05	10,05	91,75	-91,75	-65,24	0,00	100,00	0,00	0,00000
4	2,52	10,05	14,07	92,13	-93,86	-26,83	0,00	100,00	0,00	0,00000
5	3,25	14,07	10,05	93,86	-92,13	83,75	0,00	100,00	0,00	0,00000

Verifica fessurazione traverso [Combinazione n° 16 - SLE (Rara)]

N°	X	A _{fi}	A _{fs}	M _p	M _n	M	w	W _{lim}	S _m	e _{sm}
1	0,25	15,27	15,27	94,99	-94,99	-71,96	0,00	100,00	0,00	0,00000
2	1,04	17,81	15,27	96,33	-95,23	26,38	0,00	100,00	0,00	0,00000
3	1,75	15,27	15,27	94,99	-94,99	55,22	0,00	100,00	0,00	0,00000
4	2,46	17,81	15,27	96,33	-95,23	26,38	0,00	100,00	0,00	0,00000
5	3,25	15,27	15,27	94,99	-94,99	-71,96	0,00	100,00	0,00	0,00000

Verifica fessurazione piedritto sinistro [Combinazione n° 16 - SLE (Rara)]

N°	X	A _{fi}	A _{fs}	M _p	M _n	M	w	W _{lim}	S _m	e _{sm}
1	0,25	16,08	16,08	95,50	-95,50	-83,75	0,00	100,00	0,00	0,00000
2	1,75	16,08	16,08	95,50	-95,50	17,33	0,00	100,00	0,00	0,00000
3	3,25	16,08	16,08	95,50	-95,50	-71,96	0,00	100,00	0,00	0,00000

Verifica fessurazione piedritto destro [Combinazione n° 16 - SLE (Rara)]

N°	X	A _{fi}	A _{fs}	M _p	M _n	M	w	W _{lim}	S _m	e _{sm}
1	0,25	16,08	16,08	95,50	-95,50	-83,75	0,00	100,00	0,00	0,00000
2	1,75	16,08	16,08	95,50	-95,50	17,33	0,00	100,00	0,00	0,00000
3	3,25	16,08	16,08	95,50	-95,50	-71,96	0,00	100,00	0,00	0,00000

Verifica fessurazione fondazione [Combinazione n° 17 - SLE (Quasi Permanente) - Sisma Vert. positivo]

N°	X	A _{fi}	A _{fs}	M _p	M _n	M	w	W _{lim}	S _m	e _{sm}
1	0,25	14,07	10,05	93,86	-92,13	59,89	0,00	0,20	0,00	0,00000
2	0,98	10,05	14,07	92,13	-93,86	-10,73	0,00	0,20	0,00	0,00000
3	1,75	10,05	10,05	91,75	-91,75	-36,42	0,00	0,20	0,00	0,00000
4	2,52	10,05	14,07	92,13	-93,86	-13,31	0,00	0,20	0,00	0,00000
5	3,25	14,07	10,05	93,86	-92,13	56,58	0,00	0,20	0,00	0,00000

Verifica fessurazione traverso [Combinazione n° 17 - SLE (Quasi Permanente) - Sisma Vert. positivo]

N°	X	A _{fi}	A _{fs}	M _p	M _n	M	w	W _{lim}	S _m	e _{sm}
1	0,25	15,27	15,27	94,99	-94,99	-44,07	0,00	0,20	0,00	0,00000
2	1,04	17,81	15,27	96,33	-95,23	9,11	0,00	0,20	0,00	0,00000
3	1,75	15,27	15,27	94,99	-94,99	24,46	0,00	0,20	0,00	0,00000
4	2,46	17,81	15,27	96,33	-95,23	8,40	0,00	0,20	0,00	0,00000
5	3,25	15,27	15,27	94,99	-94,99	-45,55	0,00	0,20	0,00	0,00000

Verifica fessurazione piedritto sinistro [Combinazione n° 17 - SLE (Quasi Permanente) - Sisma Vert. positivo]

N°	X	A _{fi}	A _{fs}	M _p	M _n	M	w	W _{lim}	S _m	e _{sm}
1	0,25	16,08	16,08	95,50	-95,50	-59,89	0,00	0,20	0,00	0,00000
2	1,75	16,08	16,08	95,50	-95,50	21,46	0,00	0,20	0,00	0,00000
3	3,25	16,08	16,08	95,50	-95,50	-44,07	0,00	0,20	0,00	0,00000

Verifica fessurazione piedritto destro [Combinazione n° 17 - SLE (Quasi Permanente) - Sisma Vert. positivo]

N°	X	A _{fi}	A _{fs}	M _p	M _n	M	w	W _{lim}	S _m	e _{sm}
----	---	-----------------	-----------------	----------------	----------------	---	---	------------------	----------------	-----------------

1	0,25	16,08	16,08	95,50	-95,50	-56,58	0,00	0,20	0,00	0,00000
2	1,75	16,08	16,08	95,50	-95,50	20,27	0,00	0,20	0,00	0,00000
3	3,25	16,08	16,08	95,50	-95,50	-45,55	0,00	0,20	0,00	0,00000

Verifica fessurazione fondazione [Combinazione n° 18 - SLE (Quasi Permanente) - Sisma Vert. negativo]

N°	X	A _{fi}	A _{fs}	M _p	M _n	M	w	W _{lim}	S _m	e _{sm}
1	0,25	14,07	10,05	93,86	-92,13	57,31	0,00	0,20	0,00	0,00000
2	0,98	10,05	14,07	92,13	-93,86	-8,38	0,00	0,20	0,00	0,00000
3	1,75	10,05	10,05	91,75	-91,75	-32,38	0,00	0,20	0,00	0,00000
4	2,52	10,05	14,07	92,13	-93,86	-10,99	0,00	0,20	0,00	0,00000
5	3,25	14,07	10,05	93,86	-92,13	53,96	0,00	0,20	0,00	0,00000

Verifica fessurazione traverso [Combinazione n° 18 - SLE (Quasi Permanente) - Sisma Vert. negativo]

N°	X	A _{fi}	A _{fs}	M _p	M _n	M	w	W _{lim}	S _m	e _{sm}
1	0,25	15,27	15,27	94,99	-94,99	-43,67	0,00	0,20	0,00	0,00000
2	1,04	17,81	15,27	96,33	-95,23	7,75	0,00	0,20	0,00	0,00000
3	1,75	15,27	15,27	94,99	-94,99	22,60	0,00	0,20	0,00	0,00000
4	2,46	17,81	15,27	96,33	-95,23	7,06	0,00	0,20	0,00	0,00000
5	3,25	15,27	15,27	94,99	-94,99	-45,12	0,00	0,20	0,00	0,00000

Verifica fessurazione piedritto sinistro [Combinazione n° 18 - SLE (Quasi Permanente) - Sisma Vert. negativo]

N°	X	A _{fi}	A _{fs}	M _p	M _n	M	w	W _{lim}	S _m	e _{sm}
1	0,25	16,08	16,08	95,50	-95,50	-57,31	0,00	0,20	0,00	0,00000
2	1,75	16,08	16,08	95,50	-95,50	22,95	0,00	0,20	0,00	0,00000
3	3,25	16,08	16,08	95,50	-95,50	-43,67	0,00	0,20	0,00	0,00000

Verifica fessurazione piedritto destro [Combinazione n° 18 - SLE (Quasi Permanente) - Sisma Vert. negativo]

N°	X	A _{fi}	A _{fs}	M _p	M _n	M	w	W _{lim}	S _m	e _{sm}
1	0,25	16,08	16,08	95,50	-95,50	-53,96	0,00	0,20	0,00	0,00000
2	1,75	16,08	16,08	95,50	-95,50	21,71	0,00	0,20	0,00	0,00000
3	3,25	16,08	16,08	95,50	-95,50	-45,12	0,00	0,20	0,00	0,00000

Verifica fessurazione fondazione [Combinazione n° 19 - SLE (Quasi Permanente) - Sisma Vert. positivo]

N°	X	A _{fi}	A _{fs}	M _p	M _n	M	w	W _{lim}	S _m	e _{sm}
1	0,25	14,07	10,05	93,86	-92,13	56,58	0,00	0,20	0,00	0,00000
2	0,98	10,05	14,07	92,13	-93,86	-13,31	0,00	0,20	0,00	0,00000
3	1,75	10,05	10,05	91,75	-91,75	-36,42	0,00	0,20	0,00	0,00000
4	2,52	10,05	14,07	92,13	-93,86	-10,73	0,00	0,20	0,00	0,00000
5	3,25	14,07	10,05	93,86	-92,13	59,89	0,00	0,20	0,00	0,00000

Verifica fessurazione traverso [Combinazione n° 19 - SLE (Quasi Permanente) - Sisma Vert. positivo]

N°	X	A _{fi}	A _{fs}	M _p	M _n	M	w	W _{lim}	S _m	e _{sm}
1	0,25	15,27	15,27	94,99	-94,99	-45,55	0,00	0,20	0,00	0,00000
2	1,04	17,81	15,27	96,33	-95,23	8,40	0,00	0,20	0,00	0,00000

3	1,75	15,27	15,27	94,99	-94,99	24,46	0,00	0,20	0,00	0,00000
4	2,46	17,81	15,27	96,33	-95,23	9,11	0,00	0,20	0,00	0,00000
5	3,25	15,27	15,27	94,99	-94,99	-44,07	0,00	0,20	0,00	0,00000

Verifica fessurazione piedritto sinistro [Combinazione n° 19 - SLE (Quasi Permanente) - Sisma Vert. positivo]

N°	X	A _{fi}	A _{fs}	M _p	M _n	M	w	W _{lim}	S _m	e _{sm}
1	0,25	16,08	16,08	95,50	-95,50	-56,58	0,00	0,20	0,00	0,00000
2	1,75	16,08	16,08	95,50	-95,50	20,27	0,00	0,20	0,00	0,00000
3	3,25	16,08	16,08	95,50	-95,50	-45,55	0,00	0,20	0,00	0,00000

Verifica fessurazione piedritto destro [Combinazione n° 19 - SLE (Quasi Permanente) - Sisma Vert. positivo]

N°	X	A _{fi}	A _{fs}	M _p	M _n	M	w	W _{lim}	S _m	e _{sm}
1	0,25	16,08	16,08	95,50	-95,50	-59,89	0,00	0,20	0,00	0,00000
2	1,75	16,08	16,08	95,50	-95,50	21,46	0,00	0,20	0,00	0,00000
3	3,25	16,08	16,08	95,50	-95,50	-44,07	0,00	0,20	0,00	0,00000

Verifica fessurazione fondazione [Combinazione n° 20 - SLE (Quasi Permanente) - Sisma Vert. negativo]

N°	X	A _{fi}	A _{fs}	M _p	M _n	M	w	W _{lim}	S _m	e _{sm}
1	0,25	14,07	10,05	93,86	-92,13	53,96	0,00	0,20	0,00	0,00000
2	0,98	10,05	14,07	92,13	-93,86	-10,99	0,00	0,20	0,00	0,00000
3	1,75	10,05	10,05	91,75	-91,75	-32,38	0,00	0,20	0,00	0,00000
4	2,52	10,05	14,07	92,13	-93,86	-8,38	0,00	0,20	0,00	0,00000
5	3,25	14,07	10,05	93,86	-92,13	57,31	0,00	0,20	0,00	0,00000

Verifica fessurazione traverso [Combinazione n° 20 - SLE (Quasi Permanente) - Sisma Vert. negativo]

N°	X	A _{fi}	A _{fs}	M _p	M _n	M	w	W _{lim}	S _m	e _{sm}
1	0,25	15,27	15,27	94,99	-94,99	-45,12	0,00	0,20	0,00	0,00000
2	1,04	17,81	15,27	96,33	-95,23	7,06	0,00	0,20	0,00	0,00000
3	1,75	15,27	15,27	94,99	-94,99	22,60	0,00	0,20	0,00	0,00000
4	2,46	17,81	15,27	96,33	-95,23	7,75	0,00	0,20	0,00	0,00000
5	3,25	15,27	15,27	94,99	-94,99	-43,67	0,00	0,20	0,00	0,00000

Verifica fessurazione piedritto sinistro [Combinazione n° 20 - SLE (Quasi Permanente) - Sisma Vert. negativo]

N°	X	A _{fi}	A _{fs}	M _p	M _n	M	w	W _{lim}	S _m	e _{sm}
1	0,25	16,08	16,08	95,50	-95,50	-53,96	0,00	0,20	0,00	0,00000
2	1,75	16,08	16,08	95,50	-95,50	21,71	0,00	0,20	0,00	0,00000
3	3,25	16,08	16,08	95,50	-95,50	-45,12	0,00	0,20	0,00	0,00000

Verifica fessurazione piedritto destro [Combinazione n° 20 - SLE (Quasi Permanente) - Sisma Vert. negativo]

N°	X	A _{fi}	A _{fs}	M _p	M _n	M	w	W _{lim}	S _m	e _{sm}
1	0,25	16,08	16,08	95,50	-95,50	-57,31	0,00	0,20	0,00	0,00000
2	1,75	16,08	16,08	95,50	-95,50	22,95	0,00	0,20	0,00	0,00000
3	3,25	16,08	16,08	95,50	-95,50	-43,67	0,00	0,20	0,00	0,00000

Verifica fessurazione fondazione [Combinazione n° 21 - SLE (Frequente) - Sisma Vert. positivo]

N°	X	A _{fi}	A _{fs}	M _p	M _n	M	w	W _{lim}	S _m	e _{sm}
1	0,25	14,07	10,05	93,86	-92,13	59,89	0,00	0,30	0,00	0,00000
2	0,98	10,05	14,07	92,13	-93,86	-10,73	0,00	0,30	0,00	0,00000
3	1,75	10,05	10,05	91,75	-91,75	-36,42	0,00	0,30	0,00	0,00000
4	2,52	10,05	14,07	92,13	-93,86	-13,31	0,00	0,30	0,00	0,00000
5	3,25	14,07	10,05	93,86	-92,13	56,58	0,00	0,30	0,00	0,00000

Verifica fessurazione traverso [Combinazione n° 21 - SLE (Frequente) - Sisma Vert. positivo]

N°	X	A _{fi}	A _{fs}	M _p	M _n	M	w	W _{lim}	S _m	e _{sm}
1	0,25	15,27	15,27	94,99	-94,99	-44,07	0,00	0,30	0,00	0,00000
2	1,04	17,81	15,27	96,33	-95,23	9,11	0,00	0,30	0,00	0,00000
3	1,75	15,27	15,27	94,99	-94,99	24,46	0,00	0,30	0,00	0,00000
4	2,46	17,81	15,27	96,33	-95,23	8,40	0,00	0,30	0,00	0,00000
5	3,25	15,27	15,27	94,99	-94,99	-45,55	0,00	0,30	0,00	0,00000

Verifica fessurazione piedritto sinistro [Combinazione n° 21 - SLE (Frequente) - Sisma Vert. positivo]

N°	X	A _{fi}	A _{fs}	M _p	M _n	M	w	W _{lim}	S _m	e _{sm}
1	0,25	16,08	16,08	95,50	-95,50	-59,89	0,00	0,30	0,00	0,00000
2	1,75	16,08	16,08	95,50	-95,50	21,46	0,00	0,30	0,00	0,00000
3	3,25	16,08	16,08	95,50	-95,50	-44,07	0,00	0,30	0,00	0,00000

Verifica fessurazione piedritto destro [Combinazione n° 21 - SLE (Frequente) - Sisma Vert. positivo]

N°	X	A _{fi}	A _{fs}	M _p	M _n	M	w	W _{lim}	S _m	e _{sm}
1	0,25	16,08	16,08	95,50	-95,50	-56,58	0,00	0,30	0,00	0,00000
2	1,75	16,08	16,08	95,50	-95,50	20,27	0,00	0,30	0,00	0,00000
3	3,25	16,08	16,08	95,50	-95,50	-45,55	0,00	0,30	0,00	0,00000

Verifica fessurazione fondazione [Combinazione n° 22 - SLE (Frequente) - Sisma Vert. negativo]

N°	X	A _{fi}	A _{fs}	M _p	M _n	M	w	W _{lim}	S _m	e _{sm}
1	0,25	14,07	10,05	93,86	-92,13	57,31	0,00	0,30	0,00	0,00000
2	0,98	10,05	14,07	92,13	-93,86	-8,38	0,00	0,30	0,00	0,00000
3	1,75	10,05	10,05	91,75	-91,75	-32,38	0,00	0,30	0,00	0,00000
4	2,52	10,05	14,07	92,13	-93,86	-10,99	0,00	0,30	0,00	0,00000
5	3,25	14,07	10,05	93,86	-92,13	53,96	0,00	0,30	0,00	0,00000

Verifica fessurazione traverso [Combinazione n° 22 - SLE (Frequente) - Sisma Vert. negativo]

N°	X	A _{fi}	A _{fs}	M _p	M _n	M	w	W _{lim}	S _m	e _{sm}
1	0,25	15,27	15,27	94,99	-94,99	-43,67	0,00	0,30	0,00	0,00000
2	1,04	17,81	15,27	96,33	-95,23	7,75	0,00	0,30	0,00	0,00000
3	1,75	15,27	15,27	94,99	-94,99	22,60	0,00	0,30	0,00	0,00000
4	2,46	17,81	15,27	96,33	-95,23	7,06	0,00	0,30	0,00	0,00000
5	3,25	15,27	15,27	94,99	-94,99	-45,12	0,00	0,30	0,00	0,00000

Verifica fessurazione piedritto sinistro [Combinazione n° 22 - SLE (Frequente) - Sisma Vert. negativo]

N°	X	A _{fi}	A _{fs}	M _p	M _n	M	w	W _{lim}	S _m	E _{sm}
1	0,25	16,08	16,08	95,50	-95,50	-57,31	0,00	0,30	0,00	0,00000
2	1,75	16,08	16,08	95,50	-95,50	22,95	0,00	0,30	0,00	0,00000
3	3,25	16,08	16,08	95,50	-95,50	-43,67	0,00	0,30	0,00	0,00000

Verifica fessurazione piedritto destro [Combinazione n° 22 - SLE (Frequente) - Sisma Vert. negativo]

N°	X	A _{fi}	A _{fs}	M _p	M _n	M	w	W _{lim}	S _m	E _{sm}
1	0,25	16,08	16,08	95,50	-95,50	-53,96	0,00	0,30	0,00	0,00000
2	1,75	16,08	16,08	95,50	-95,50	21,71	0,00	0,30	0,00	0,00000
3	3,25	16,08	16,08	95,50	-95,50	-45,12	0,00	0,30	0,00	0,00000

Verifica fessurazione fondazione [Combinazione n° 23 - SLE (Frequente) - Sisma Vert. positivo]

N°	X	A _{fi}	A _{fs}	M _p	M _n	M	w	W _{lim}	S _m	E _{sm}
1	0,25	14,07	10,05	93,86	-92,13	56,58	0,00	0,30	0,00	0,00000
2	0,98	10,05	14,07	92,13	-93,86	-13,31	0,00	0,30	0,00	0,00000
3	1,75	10,05	10,05	91,75	-91,75	-36,42	0,00	0,30	0,00	0,00000
4	2,52	10,05	14,07	92,13	-93,86	-10,73	0,00	0,30	0,00	0,00000
5	3,25	14,07	10,05	93,86	-92,13	59,89	0,00	0,30	0,00	0,00000

Verifica fessurazione traverso [Combinazione n° 23 - SLE (Frequente) - Sisma Vert. positivo]

N°	X	A _{fi}	A _{fs}	M _p	M _n	M	w	W _{lim}	S _m	E _{sm}
1	0,25	15,27	15,27	94,99	-94,99	-45,55	0,00	0,30	0,00	0,00000
2	1,04	17,81	15,27	96,33	-95,23	8,40	0,00	0,30	0,00	0,00000
3	1,75	15,27	15,27	94,99	-94,99	24,46	0,00	0,30	0,00	0,00000
4	2,46	17,81	15,27	96,33	-95,23	9,11	0,00	0,30	0,00	0,00000
5	3,25	15,27	15,27	94,99	-94,99	-44,07	0,00	0,30	0,00	0,00000

Verifica fessurazione piedritto sinistro [Combinazione n° 23 - SLE (Frequente) - Sisma Vert. positivo]

N°	X	A _{fi}	A _{fs}	M _p	M _n	M	w	W _{lim}	S _m	E _{sm}
1	0,25	16,08	16,08	95,50	-95,50	-56,58	0,00	0,30	0,00	0,00000
2	1,75	16,08	16,08	95,50	-95,50	20,27	0,00	0,30	0,00	0,00000
3	3,25	16,08	16,08	95,50	-95,50	-45,55	0,00	0,30	0,00	0,00000

Verifica fessurazione piedritto destro [Combinazione n° 23 - SLE (Frequente) - Sisma Vert. positivo]

N°	X	A _{fi}	A _{fs}	M _p	M _n	M	w	W _{lim}	S _m	E _{sm}
1	0,25	16,08	16,08	95,50	-95,50	-59,89	0,00	0,30	0,00	0,00000
2	1,75	16,08	16,08	95,50	-95,50	21,46	0,00	0,30	0,00	0,00000
3	3,25	16,08	16,08	95,50	-95,50	-44,07	0,00	0,30	0,00	0,00000

Verifica fessurazione fondazione [Combinazione n° 24 - SLE (Frequente) - Sisma Vert. negativo]

N°	X	A _{fi}	A _{fs}	M _p	M _n	M	w	W _{lim}	S _m	E _{sm}
1	0,25	14,07	10,05	93,86	-92,13	53,96	0,00	0,30	0,00	0,00000
2	0,98	10,05	14,07	92,13	-93,86	-10,99	0,00	0,30	0,00	0,00000
3	1,75	10,05	10,05	91,75	-91,75	-32,38	0,00	0,30	0,00	0,00000
4	2,52	10,05	14,07	92,13	-93,86	-8,38	0,00	0,30	0,00	0,00000
5	3,25	14,07	10,05	93,86	-92,13	57,31	0,00	0,30	0,00	0,00000

Verifica fessurazione traverso [Combinazione n° 24 - SLE (Frequente) - Sisma Vert. negativo]

N°	X	A _{fi}	A _{fs}	M _p	M _n	M	w	W _{lim}	S _m	E _{sm}
1	0,25	15,27	15,27	94,99	-94,99	-45,12	0,00	0,30	0,00	0,00000
2	1,04	17,81	15,27	96,33	-95,23	7,06	0,00	0,30	0,00	0,00000
3	1,75	15,27	15,27	94,99	-94,99	22,60	0,00	0,30	0,00	0,00000
4	2,46	17,81	15,27	96,33	-95,23	7,75	0,00	0,30	0,00	0,00000
5	3,25	15,27	15,27	94,99	-94,99	-43,67	0,00	0,30	0,00	0,00000

Verifica fessurazione piedritto sinistro [Combinazione n° 24 - SLE (Frequente) - Sisma Vert. negativo]

N°	X	A _{fi}	A _{fs}	M _p	M _n	M	w	W _{lim}	S _m	E _{sm}
1	0,25	16,08	16,08	95,50	-95,50	-53,96	0,00	0,30	0,00	0,00000
2	1,75	16,08	16,08	95,50	-95,50	21,71	0,00	0,30	0,00	0,00000
3	3,25	16,08	16,08	95,50	-95,50	-45,12	0,00	0,30	0,00	0,00000

Verifica fessurazione piedritto destro [Combinazione n° 24 - SLE (Frequente) - Sisma Vert. negativo]

N°	X	A _{fi}	A _{fs}	M _p	M _n	M	w	W _{lim}	S _m	E _{sm}
1	0,25	16,08	16,08	95,50	-95,50	-57,31	0,00	0,30	0,00	0,00000
2	1,75	16,08	16,08	95,50	-95,50	22,95	0,00	0,30	0,00	0,00000
3	3,25	16,08	16,08	95,50	-95,50	-43,67	0,00	0,30	0,00	0,00000

Verifica fessurazione fondazione [Combinazione n° 25 - SLE (Rara) - Sisma Vert. positivo]

N°	X	A _{fi}	A _{fs}	M _p	M _n	M	w	W _{lim}	S _m	E _{sm}
1	0,25	14,07	10,05	93,86	-92,13	59,89	0,00	100,00	0,00	0,00000
2	0,98	10,05	14,07	92,13	-93,86	-10,73	0,00	100,00	0,00	0,00000
3	1,75	10,05	10,05	91,75	-91,75	-36,42	0,00	100,00	0,00	0,00000
4	2,52	10,05	14,07	92,13	-93,86	-13,31	0,00	100,00	0,00	0,00000
5	3,25	14,07	10,05	93,86	-92,13	56,58	0,00	100,00	0,00	0,00000

Verifica fessurazione traverso [Combinazione n° 25 - SLE (Rara) - Sisma Vert. positivo]

N°	X	A _{fi}	A _{fs}	M _p	M _n	M	w	W _{lim}	S _m	E _{sm}
1	0,25	15,27	15,27	94,99	-94,99	-44,07	0,00	100,00	0,00	0,00000
2	1,04	17,81	15,27	96,33	-95,23	9,11	0,00	100,00	0,00	0,00000
3	1,75	15,27	15,27	94,99	-94,99	24,46	0,00	100,00	0,00	0,00000
4	2,46	17,81	15,27	96,33	-95,23	8,40	0,00	100,00	0,00	0,00000
5	3,25	15,27	15,27	94,99	-94,99	-45,55	0,00	100,00	0,00	0,00000

Verifica fessurazione piedritto sinistro [Combinazione n° 25 - SLE (Rara) - Sisma Vert. positivo]

N°	X	A _{fi}	A _{fs}	M _p	M _n	M	w	W _{lim}	S _m	e _{sm}
1	0,25	16,08	16,08	95,50	-95,50	-59,89	0,00	100,00	0,00	0,00000
2	1,75	16,08	16,08	95,50	-95,50	21,46	0,00	100,00	0,00	0,00000
3	3,25	16,08	16,08	95,50	-95,50	-44,07	0,00	100,00	0,00	0,00000

Verifica fessurazione piedritto destro [Combinazione n° 25 - SLE (Rara) - Sisma Vert. positivo]

N°	X	A _{fi}	A _{fs}	M _p	M _n	M	w	W _{lim}	S _m	e _{sm}
1	0,25	16,08	16,08	95,50	-95,50	-56,58	0,00	100,00	0,00	0,00000
2	1,75	16,08	16,08	95,50	-95,50	20,27	0,00	100,00	0,00	0,00000
3	3,25	16,08	16,08	95,50	-95,50	-45,55	0,00	100,00	0,00	0,00000

Verifica fessurazione fondazione [Combinazione n° 26 - SLE (Rara) - Sisma Vert. negativo]

N°	X	A _{fi}	A _{fs}	M _p	M _n	M	w	W _{lim}	S _m	e _{sm}
1	0,25	14,07	10,05	93,86	-92,13	57,31	0,00	100,00	0,00	0,00000
2	0,98	10,05	14,07	92,13	-93,86	-8,38	0,00	100,00	0,00	0,00000
3	1,75	10,05	10,05	91,75	-91,75	-32,38	0,00	100,00	0,00	0,00000
4	2,52	10,05	14,07	92,13	-93,86	-10,99	0,00	100,00	0,00	0,00000
5	3,25	14,07	10,05	93,86	-92,13	53,96	0,00	100,00	0,00	0,00000

Verifica fessurazione traverso [Combinazione n° 26 - SLE (Rara) - Sisma Vert. negativo]

N°	X	A _{fi}	A _{fs}	M _p	M _n	M	w	W _{lim}	S _m	e _{sm}
1	0,25	15,27	15,27	94,99	-94,99	-43,67	0,00	100,00	0,00	0,00000
2	1,04	17,81	15,27	96,33	-95,23	7,75	0,00	100,00	0,00	0,00000
3	1,75	15,27	15,27	94,99	-94,99	22,60	0,00	100,00	0,00	0,00000
4	2,46	17,81	15,27	96,33	-95,23	7,06	0,00	100,00	0,00	0,00000
5	3,25	15,27	15,27	94,99	-94,99	-45,12	0,00	100,00	0,00	0,00000

Verifica fessurazione piedritto sinistro [Combinazione n° 26 - SLE (Rara) - Sisma Vert. negativo]

N°	X	A _{fi}	A _{fs}	M _p	M _n	M	w	W _{lim}	S _m	e _{sm}
1	0,25	16,08	16,08	95,50	-95,50	-57,31	0,00	100,00	0,00	0,00000
2	1,75	16,08	16,08	95,50	-95,50	22,95	0,00	100,00	0,00	0,00000
3	3,25	16,08	16,08	95,50	-95,50	-43,67	0,00	100,00	0,00	0,00000

Verifica fessurazione piedritto destro [Combinazione n° 26 - SLE (Rara) - Sisma Vert. negativo]

N°	X	A _{fi}	A _{fs}	M _p	M _n	M	w	W _{lim}	S _m	e _{sm}
1	0,25	16,08	16,08	95,50	-95,50	-53,96	0,00	100,00	0,00	0,00000
2	1,75	16,08	16,08	95,50	-95,50	21,71	0,00	100,00	0,00	0,00000
3	3,25	16,08	16,08	95,50	-95,50	-45,12	0,00	100,00	0,00	0,00000

Verifica fessurazione fondazione [Combinazione n° 27 - SLE (Rara) - Sisma Vert. positivo]

N°	X	A _{fi}	A _{fs}	M _p	M _n	M	w	W _{lim}	S _m	e _{sm}
1	0,25	14,07	10,05	93,86	-92,13	56,58	0,00	100,00	0,00	0,00000
2	0,98	10,05	14,07	92,13	-93,86	-13,31	0,00	100,00	0,00	0,00000
3	1,75	10,05	10,05	91,75	-91,75	-36,42	0,00	100,00	0,00	0,00000

4	2,52	10,05	14,07	92,13	-93,86	-10,73	0,00	100,00	0,00	0,00000
5	3,25	14,07	10,05	93,86	-92,13	59,89	0,00	100,00	0,00	0,00000

Verifica fessurazione traverso [Combinazione n° 27 - SLE (Rara) - Sisma Vert. positivo]

N°	X	A _{fi}	A _{fs}	M _p	M _n	M	w	W _{lim}	S _m	e _{sm}
1	0,25	15,27	15,27	94,99	-94,99	-45,55	0,00	100,00	0,00	0,00000
2	1,04	17,81	15,27	96,33	-95,23	8,40	0,00	100,00	0,00	0,00000
3	1,75	15,27	15,27	94,99	-94,99	24,46	0,00	100,00	0,00	0,00000
4	2,46	17,81	15,27	96,33	-95,23	9,11	0,00	100,00	0,00	0,00000
5	3,25	15,27	15,27	94,99	-94,99	-44,07	0,00	100,00	0,00	0,00000

Verifica fessurazione piedritto sinistro [Combinazione n° 27 - SLE (Rara) - Sisma Vert. positivo]

N°	X	A _{fi}	A _{fs}	M _p	M _n	M	w	W _{lim}	S _m	e _{sm}
1	0,25	16,08	16,08	95,50	-95,50	-56,58	0,00	100,00	0,00	0,00000
2	1,75	16,08	16,08	95,50	-95,50	20,27	0,00	100,00	0,00	0,00000
3	3,25	16,08	16,08	95,50	-95,50	-45,55	0,00	100,00	0,00	0,00000

Verifica fessurazione piedritto destro [Combinazione n° 27 - SLE (Rara) - Sisma Vert. positivo]

N°	X	A _{fi}	A _{fs}	M _p	M _n	M	w	W _{lim}	S _m	e _{sm}
1	0,25	16,08	16,08	95,50	-95,50	-59,89	0,00	100,00	0,00	0,00000
2	1,75	16,08	16,08	95,50	-95,50	21,46	0,00	100,00	0,00	0,00000
3	3,25	16,08	16,08	95,50	-95,50	-44,07	0,00	100,00	0,00	0,00000

Verifica fessurazione fondazione [Combinazione n° 28 - SLE (Rara) - Sisma Vert. negativo]

N°	X	A _{fi}	A _{fs}	M _p	M _n	M	w	W _{lim}	S _m	e _{sm}
1	0,25	14,07	10,05	93,86	-92,13	53,96	0,00	100,00	0,00	0,00000
2	0,98	10,05	14,07	92,13	-93,86	-10,99	0,00	100,00	0,00	0,00000
3	1,75	10,05	10,05	91,75	-91,75	-32,38	0,00	100,00	0,00	0,00000
4	2,52	10,05	14,07	92,13	-93,86	-8,38	0,00	100,00	0,00	0,00000
5	3,25	14,07	10,05	93,86	-92,13	57,31	0,00	100,00	0,00	0,00000

Verifica fessurazione traverso [Combinazione n° 28 - SLE (Rara) - Sisma Vert. negativo]

N°	X	A _{fi}	A _{fs}	M _p	M _n	M	w	W _{lim}	S _m	e _{sm}
1	0,25	15,27	15,27	94,99	-94,99	-45,12	0,00	100,00	0,00	0,00000
2	1,04	17,81	15,27	96,33	-95,23	7,06	0,00	100,00	0,00	0,00000
3	1,75	15,27	15,27	94,99	-94,99	22,60	0,00	100,00	0,00	0,00000
4	2,46	17,81	15,27	96,33	-95,23	7,75	0,00	100,00	0,00	0,00000
5	3,25	15,27	15,27	94,99	-94,99	-43,67	0,00	100,00	0,00	0,00000

Verifica fessurazione piedritto sinistro [Combinazione n° 28 - SLE (Rara) - Sisma Vert. negativo]

N°	X	A _{fi}	A _{fs}	M _p	M _n	M	w	W _{lim}	S _m	e _{sm}
1	0,25	16,08	16,08	95,50	-95,50	-53,96	0,00	100,00	0,00	0,00000
2	1,75	16,08	16,08	95,50	-95,50	21,71	0,00	100,00	0,00	0,00000
3	3,25	16,08	16,08	95,50	-95,50	-45,12	0,00	100,00	0,00	0,00000

Verifica fessurazione piedritto destro [Combinazione n° 28 - SLE (Rara) - Sisma Vert. negativo]

N°	X	A_{fi}	A_{fs}	M_p	M_n	M	w	W_{lim}	S_m	e_{sm}
1	0,25	16,08	16,08	95,50	-95,50	-57,31	0,00	100,00	0,00	0,00000
2	1,75	16,08	16,08	95,50	-95,50	22,95	0,00	100,00	0,00	0,00000
3	3,25	16,08	16,08	95,50	-95,50	-43,67	0,00	100,00	0,00	0,00000

Inviluppo spostamenti nodali

Inviluppo spostamenti fondazione

X [m]	u _{Xmin} [cm]	u _{Xmax} [cm]	u _{Ymin} [cm]	u _{Ymax} [cm]
0,25	-0,1169	0,1195	0,0550	0,1810
0,98	-0,1175	0,1189	0,0580	0,1698
1,75	-0,1182	0,1182	0,0601	0,1631
2,52	-0,1189	0,1175	0,0580	0,1698
3,17	-0,1195	0,1169	0,0550	0,1810

Inviluppo spostamenti traverso

X [m]	u _{Xmin} [cm]	u _{Xmax} [cm]	u _{Ymin} [cm]	u _{Ymax} [cm]
0,25	-0,1389	0,1415	0,0569	0,1856
1,04	-0,1396	0,1408	0,0606	0,1956
1,75	-0,1402	0,1402	0,0648	0,2007
2,46	-0,1408	0,1396	0,0606	0,1956
3,25	-0,1415	0,1389	0,0569	0,1856

Inviluppo spostamenti piedritto sinistro

Y [m]	u _{Xmin} [cm]	u _{Xmax} [cm]	u _{Ymin} [cm]	u _{Ymax} [cm]
0,25	-0,1169	0,1195	0,0550	0,1810
1,75	-0,1200	0,1400	0,0560	0,1834
3,25	-0,1389	0,1415	0,0569	0,1856

Inviluppo spostamenti piedritto destro

Y [m]	u _{Xmin} [cm]	u _{Xmax} [cm]	u _{Ymin} [cm]	u _{Ymax} [cm]
0,25	-0,1195	0,1169	0,0550	0,1810
1,75	-0,1400	0,1200	0,0560	0,1834
3,25	-0,1415	0,1389	0,0569	0,1856

Inviluppo sollecitazioni nodali

Inviluppo sollecitazioni fondazione

X [m]	M _{min} [kNm]	M _{max} [kNm]	V _{min} [kN]	V _{max} [kN]	N _{min} [kN]	N _{max} [kN]
0,25	-111,30	-49,44	-269,11	-109,55	78,65	181,90
0,98	-6,60	36,52	-126,26	-49,33	78,65	181,90
1,75	19,56	87,81	-1,71	10,64	78,65	181,90
2,52	-6,60	36,52	57,31	142,27	78,65	181,90
3,25	-111,30	-49,44	109,55	269,11	78,65	181,90

Inviluppo sollecitazioni traverso

X [m]	M _{min} [kNm]	M _{max} [kNm]	V _{min} [kN]	V _{max} [kN]	N _{min} [kN]	N _{max} [kN]
0,25	-96,47	-37,25	82,77	228,70	55,02	156,02
1,04	-5,65	36,16	38,95	108,90	55,02	156,02
1,75	9,22	75,05	-1,08	1,08	55,02	156,02
2,46	-5,65	36,16	-108,90	-38,95	55,02	156,02
3,25	-96,47	-37,25	-228,70	-82,77	55,02	156,02

Inviluppo sollecitazioni piedritto sinistro

Y [m]	M _{min} [kNm]	M _{max} [kNm]	V _{min} [kN]	V _{max} [kN]	N _{min} [kN]	N _{max} [kN]
0,25	-111,30	-49,44	78,75	182,13	112,76	276,51
1,75	-0,40	47,28	-2,75	4,76	97,76	252,60
3,25	-96,47	-37,25	-156,02	-55,02	82,77	228,70

Inviluppo sollecitazioni piedritto destro

Y [m]	M _{min} [kNm]	M _{max} [kNm]	V _{min} [kN]	V _{max} [kN]	N _{min} [kN]	N _{max} [kN]
0,25	-111,30	-49,44	-182,13	-78,75	112,76	276,51
1,75	-0,40	47,28	-4,76	2,75	97,76	252,60
3,25	-96,47	-37,25	55,02	156,02	82,77	228,70

Inviluppo pressioni terreno

Inviluppo pressioni sul terreno di fondazione

X [m]	S _{tmin} [kg/cmq]	S _{tmax} [kg/cmq]
0,25	0,55	1,81
0,98	0,58	1,70
1,75	0,60	1,63
2,52	0,58	1,70
3,25	0,55	1,81

Inviluppo verifiche stato limite ultimo (SLU)

Verifica sezioni fondazione (Inviluppo)

Base sezione B = 100 cm
 Altezza sezione H = 50,00 cm

X	A _{fi}	A _{fs}	CS
0,25	14,07	10,05	3,15
0,98	10,05	14,07	4,60
1,75	10,05	10,05	3,37
2,52	10,05	14,07	4,59
3,25	14,07	10,05	3,15

X	V _{Rd}	V _{Rsd}	V _{Rcd}	A _{sw}
0,25	0,00	394,30	1892,84	4,02
0,98	208,46	0,00	0,00	0,00
1,75	208,46	0,00	0,00	0,00
2,52	208,46	0,00	0,00	0,00
3,25	0,00	394,30	1892,84	4,02

Verifica sezioni traverso (Inviluppo)

Base sezione B = 100 cm
 Altezza sezione H = 50,00 cm

X	A _{fi}	A _{fs}	CS
0,25	15,27	15,27	3,92

1,04	17,81	15,27	6,70
1,75	15,27	15,27	5,83
2,46	17,81	15,27	6,70
3,25	15,27	15,27	3,92

X	V _{Rd}	V _{Rsd}	V _{Rcd}	A _{sw}
0,25	0,00	249,52	1887,46	2,54
1,04	210,64	0,00	0,00	0,00
1,75	210,64	0,00	0,00	0,00
2,46	210,64	0,00	0,00	0,00
3,25	0,00	249,52	1887,46	2,54

Verifica sezioni piedritto sinistro (Inviluppo)

Base sezione B = 100 cm
 Altezza sezione H = 50,00 cm

Y	A _{fi}	A _{fs}	CS
0,25	16,08	16,08	4,73
1,75	16,08	16,08	9,67
3,25	16,08	16,08	4,09

Y	V _{Rd}	V _{Rsd}	V _{Rcd}	A _{sw}
0,25	229,08	0,00	0,00	0,00
1,75	225,86	0,00	0,00	0,00
3,25	222,63	0,00	0,00	0,00

Verifica sezioni piedritto destro (Inviluppo)

Base sezione B = 100 cm
 Altezza sezione H = 50,00 cm

Y	A _{fi}	A _{fs}	CS
0,25	16,08	16,08	4,73
1,75	16,08	16,08	9,67
3,25	16,08	16,08	4,09

Y	V _{Rd}	V _{Rsd}	V _{Rcd}	A _{sw}
0,25	229,08	0,00	0,00	0,00
1,75	225,86	0,00	0,00	0,00
3,25	222,63	0,00	0,00	0,00

Inviluppo verifiche stato limite esercizio (SLE)

Verifica sezioni fondazione (Inviluppo)

Base sezione B = 100 cm
 Altezza sezione H = 50,00 cm

X	A _{fi}	A _{fs}	S _c	S _{fi}	S _{fs}
0,25	14,07	10,05	33,54	1014,83	334,50
0,98	10,05	14,07	10,15	124,93	93,31

1,75	10,05	10,05	29,06	282,95	940,36
2,52	10,05	14,07	10,15	124,93	93,31
3,25	14,07	10,05	33,54	1014,83	334,50

X	t _c	A _{sw}
0,25	-5,4	4,02
0,98	-2,5	0,00
1,75	0,1	0,00
2,52	2,8	0,00
3,25	5,4	4,02

Verifica sezioni traverso (Inviluppo)

Base sezione B = 100 cm

Altezza sezione H = 50,00 cm

X	A _{fi}	A _{fs}	S _c	S _{fi}	S _{fs}
0,25	15,27	15,27	26,96	269,41	810,81
1,04	17,81	15,27	9,33	103,91	112,88
1,75	15,27	15,27	20,71	544,08	215,70
2,46	17,81	15,27	9,33	103,91	112,88
3,25	15,27	15,27	26,96	269,41	810,81

X	t _c	A _{sw}
0,25	4,5	2,54
1,04	2,2	0,00
1,75	0,0	0,00
2,46	-2,2	0,00
3,25	-4,5	2,54

Verifica sezioni piedritto sinistro (Inviluppo)

Base sezione B = 100 cm

Altezza sezione H = 50,00 cm

Y	A _{fi}	A _{fs}	S _c	S _{fi}	S _{fs}
0,25	16,08	16,08	30,71	330,45	711,05
1,75	16,08	16,08	8,16	89,28	98,94
3,25	16,08	16,08	26,40	281,90	630,93

Y	t _c	A _{sw}
0,25	3,7	0,00
1,75	0,1	0,00
3,25	-3,1	0,00

Verifica sezioni piedritto destro (Inviluppo)

Base sezione B = 100 cm

Altezza sezione H = 50,00 cm

Y	A _{fi}	A _{fs}	S _c	S _{fi}	S _{fs}
0,25	16,08	16,08	30,71	330,45	711,05
1,75	16,08	16,08	8,16	89,28	98,94

3,25	16,08	16,08	26,40	281,90	630,93
------	-------	-------	-------	--------	--------

Y	f_c	A_{sw}
0,25	-3,7	0,00
1,75	-0,1	0,00
3,25	3,1	0,00

Verifiche geotecniche

*Simbologia adottata**IC* Indice della combinazione*N_c, N_q, N_g* Fattori di capacità portante*N_c, N_q, N_g* Fattori di capacità portante corretti per effetto forma, inclinazione del carico, affondamento, etc.*q_u* Portanza ultima del terreno, espressa in [kg/cmq]*Q_U* Portanza ultima del terreno, espressa in [kN]/m*Q_Y* Carico verticale al piano di posa, espressa in [kN]/m*FS* Fattore di sicurezza a carico limite

IC	N_c	N_q	N_g	N'_c	N'_q	N'_g	q_u	Q_U	Q_Y	FS
1	50,59	37,75	40,05	70,90	47,11	40,05	419,01	143819,01	378,39	380,08
2	50,59	37,75	40,05	70,90	47,11	40,05	393,67	135123,70	448,38	301,36
3	50,59	37,75	40,05	70,90	47,11	40,05	393,67	135123,70	501,53	269,42
4	50,59	37,75	40,05	46,50	31,33	22,40	267,11	91682,34	311,60	294,23
5	50,59	37,75	40,05	45,62	30,76	21,81	260,60	89446,31	257,30	347,64
6	50,59	37,75	40,05	50,22	33,74	24,93	271,24	93098,24	235,32	395,63
7	50,59	37,75	40,05	49,36	33,18	24,34	264,44	90764,20	181,01	501,43
8	50,59	37,75	40,05	46,50	31,33	22,40	267,11	91682,34	311,60	294,23
9	50,59	37,75	40,05	45,62	30,76	21,81	260,60	89446,31	257,30	347,64
10	50,59	37,75	40,05	50,22	33,74	24,93	271,24	93098,24	235,32	395,63
11	50,59	37,75	40,05	49,36	33,18	24,34	264,44	90764,20	181,01	501,43

Schema Strutturale

Area ed Inerzia elementi

Destinazione	Area [cmq]	Inerzia [cm⁴]
Fondazione	5000,00	1041666,67
Piedritto sinistro	5000,00	1041666,67
Piedritto destro	5000,00	1041666,67
Traverso	5000,00	1041666,67

Simbologia adottata ed unità di misura

N	indice elemento
N_i	indice nodo iniziale elemento
N_j	indice nodo finale elemento
(X_i, Y_i)	coordinate nodo iniziale, espresse in cm
(X_j, Y_j)	coordinate nodo finale, espresse in cm
$Dest$	appartenenza elemento

N	N_i	N_j	X_i	Y_i	X_j	Y_j	$Dest$
1	1	2	25,00	25,00	33,33	25,00	Fond
2	2	3	33,33	25,00	41,67	25,00	Fond
3	3	4	41,67	25,00	50,00	25,00	Fond
4	4	5	50,00	25,00	59,62	25,00	Fond
5	5	6	59,62	25,00	69,23	25,00	Fond
6	6	7	69,23	25,00	78,85	25,00	Fond
7	7	8	78,85	25,00	88,46	25,00	Fond
8	8	9	88,46	25,00	98,08	25,00	Fond
9	9	10	98,08	25,00	107,69	25,00	Fond
10	10	11	107,69	25,00	117,31	25,00	Fond
11	11	12	117,31	25,00	126,92	25,00	Fond
12	12	13	126,92	25,00	136,54	25,00	Fond
13	13	14	136,54	25,00	146,15	25,00	Fond
14	14	15	146,15	25,00	155,77	25,00	Fond
15	15	16	155,77	25,00	165,38	25,00	Fond
16	16	17	165,38	25,00	175,00	25,00	Fond
17	17	18	175,00	25,00	184,62	25,00	Fond
18	18	19	184,62	25,00	194,23	25,00	Fond
19	19	20	194,23	25,00	203,85	25,00	Fond
20	20	21	203,85	25,00	213,46	25,00	Fond
21	21	22	213,46	25,00	223,08	25,00	Fond
22	22	23	223,08	25,00	232,69	25,00	Fond
23	23	24	232,69	25,00	242,31	25,00	Fond
24	24	25	242,31	25,00	251,92	25,00	Fond
25	25	26	251,92	25,00	261,54	25,00	Fond
26	26	27	261,54	25,00	271,15	25,00	Fond
27	27	28	271,15	25,00	280,77	25,00	Fond
28	28	29	280,77	25,00	290,38	25,00	Fond
29	29	30	290,38	25,00	300,00	25,00	Fond
30	30	31	300,00	25,00	308,33	25,00	Fond
31	31	32	308,33	25,00	316,67	25,00	Fond
32	32	33	316,67	25,00	325,00	25,00	Fond
33	1	69	25,00	25,00	25,00	33,33	PiedL
34	69	70	25,00	33,33	25,00	41,67	PiedL
35	70	71	25,00	41,67	25,00	50,00	PiedL
36	71	72	25,00	50,00	25,00	59,62	PiedL
37	72	73	25,00	59,62	25,00	69,23	PiedL
38	73	74	25,00	69,23	25,00	78,85	PiedL
39	74	75	25,00	78,85	25,00	88,46	PiedL
40	75	76	25,00	88,46	25,00	98,08	PiedL

41	76	77	25,00	98,08	25,00	107,69	PiedL
42	77	78	25,00	107,69	25,00	117,31	PiedL
43	78	79	25,00	117,31	25,00	126,92	PiedL
44	79	80	25,00	126,92	25,00	136,54	PiedL
45	80	81	25,00	136,54	25,00	146,15	PiedL
46	81	82	25,00	146,15	25,00	155,77	PiedL
47	82	83	25,00	155,77	25,00	165,38	PiedL
48	83	84	25,00	165,38	25,00	175,00	PiedL
49	84	85	25,00	175,00	25,00	184,17	PiedL
50	85	86	25,00	184,17	25,00	193,33	PiedL
51	86	87	25,00	193,33	25,00	202,50	PiedL
52	87	88	25,00	202,50	25,00	211,67	PiedL
53	88	89	25,00	211,67	25,00	220,83	PiedL
54	89	90	25,00	220,83	25,00	230,00	PiedL
55	90	91	25,00	230,00	25,00	239,50	PiedL
56	91	92	25,00	239,50	25,00	249,00	PiedL
57	92	93	25,00	249,00	25,00	258,50	PiedL
58	93	94	25,00	258,50	25,00	268,00	PiedL
59	94	95	25,00	268,00	25,00	277,50	PiedL
60	95	96	25,00	277,50	25,00	287,00	PiedL
61	96	97	25,00	287,00	25,00	296,50	PiedL
62	97	98	25,00	296,50	25,00	306,00	PiedL
63	98	99	25,00	306,00	25,00	315,50	PiedL
64	99	193	25,00	315,50	25,00	325,00	PiedL
65	33	131	325,00	25,00	325,00	33,33	PiedR
66	131	132	325,00	33,33	325,00	41,67	PiedR
67	132	133	325,00	41,67	325,00	50,00	PiedR
68	133	134	325,00	50,00	325,00	59,62	PiedR
69	134	135	325,00	59,62	325,00	69,23	PiedR
70	135	136	325,00	69,23	325,00	78,85	PiedR
71	136	137	325,00	78,85	325,00	88,46	PiedR
72	137	138	325,00	88,46	325,00	98,08	PiedR
73	138	139	325,00	98,08	325,00	107,69	PiedR
74	139	140	325,00	107,69	325,00	117,31	PiedR
75	140	141	325,00	117,31	325,00	126,92	PiedR
76	141	142	325,00	126,92	325,00	136,54	PiedR
77	142	143	325,00	136,54	325,00	146,15	PiedR
78	143	144	325,00	146,15	325,00	155,77	PiedR
79	144	145	325,00	155,77	325,00	165,38	PiedR
80	145	146	325,00	165,38	325,00	175,00	PiedR
81	146	147	325,00	175,00	325,00	184,17	PiedR
82	147	148	325,00	184,17	325,00	193,33	PiedR
83	148	149	325,00	193,33	325,00	202,50	PiedR
84	149	150	325,00	202,50	325,00	211,67	PiedR
85	150	151	325,00	211,67	325,00	220,83	PiedR
86	151	152	325,00	220,83	325,00	230,00	PiedR
87	152	153	325,00	230,00	325,00	239,50	PiedR
88	153	154	325,00	239,50	325,00	249,00	PiedR
89	154	155	325,00	249,00	325,00	258,50	PiedR
90	155	156	325,00	258,50	325,00	268,00	PiedR
91	156	157	325,00	268,00	325,00	277,50	PiedR
92	157	158	325,00	277,50	325,00	287,00	PiedR
93	158	159	325,00	287,00	325,00	296,50	PiedR
94	159	160	325,00	296,50	325,00	306,00	PiedR
95	160	161	325,00	306,00	325,00	315,50	PiedR
96	161	211	325,00	315,50	325,00	325,00	PiedR
97	193	194	25,00	325,00	37,50	325,00	Trav
98	194	195	37,50	325,00	50,00	325,00	Trav
99	195	196	50,00	325,00	67,86	325,00	Trav
100	196	197	67,86	325,00	85,71	325,00	Trav
101	197	198	85,71	325,00	103,57	325,00	Trav
102	198	199	103,57	325,00	121,43	325,00	Trav

103	199	200	121,43	325,00	139,29	325,00	Trav
104	200	201	139,29	325,00	157,14	325,00	Trav
105	201	202	157,14	325,00	175,00	325,00	Trav
106	202	203	175,00	325,00	192,86	325,00	Trav
107	203	204	192,86	325,00	210,71	325,00	Trav
108	204	205	210,71	325,00	228,57	325,00	Trav
109	205	206	228,57	325,00	246,43	325,00	Trav
110	206	207	246,43	325,00	264,29	325,00	Trav
111	207	208	264,29	325,00	282,14	325,00	Trav
112	208	209	282,14	325,00	300,00	325,00	Trav
113	209	210	300,00	325,00	312,50	325,00	Trav
114	210	211	312,50	325,00	325,00	325,00	Trav
115	1	34	25,00	25,00	25,00	-75,00	MollaF
116	2	35	33,33	25,00	33,33	-75,00	MollaF
117	3	36	41,67	25,00	41,67	-75,00	MollaF
118	4	37	50,00	25,00	50,00	-75,00	MollaF
119	5	38	59,62	25,00	59,62	-75,00	MollaF
120	6	39	69,23	25,00	69,23	-75,00	MollaF
121	7	40	78,85	25,00	78,85	-75,00	MollaF
122	8	41	88,46	25,00	88,46	-75,00	MollaF
123	9	42	98,08	25,00	98,08	-75,00	MollaF
124	10	43	107,69	25,00	107,69	-75,00	MollaF
125	11	44	117,31	25,00	117,31	-75,00	MollaF
126	12	45	126,92	25,00	126,92	-75,00	MollaF
127	13	46	136,54	25,00	136,54	-75,00	MollaF
128	14	47	146,15	25,00	146,15	-75,00	MollaF
129	15	48	155,77	25,00	155,77	-75,00	MollaF
130	16	49	165,38	25,00	165,38	-75,00	MollaF
131	17	50	175,00	25,00	175,00	-75,00	MollaF
132	18	51	184,62	25,00	184,62	-75,00	MollaF
133	19	52	194,23	25,00	194,23	-75,00	MollaF
134	20	53	203,85	25,00	203,85	-75,00	MollaF
135	21	54	213,46	25,00	213,46	-75,00	MollaF
136	22	55	223,08	25,00	223,08	-75,00	MollaF
137	23	56	232,69	25,00	232,69	-75,00	MollaF
138	24	57	242,31	25,00	242,31	-75,00	MollaF
139	25	58	251,92	25,00	251,92	-75,00	MollaF
140	26	59	261,54	25,00	261,54	-75,00	MollaF
141	27	60	271,15	25,00	271,15	-75,00	MollaF
142	28	61	280,77	25,00	280,77	-75,00	MollaF
143	29	62	290,38	25,00	290,38	-75,00	MollaF
144	30	63	300,00	25,00	300,00	-75,00	MollaF
145	31	64	308,33	25,00	308,33	-75,00	MollaF
146	32	65	316,67	25,00	316,67	-75,00	MollaF
147	33	66	325,00	25,00	325,00	-75,00	MollaF
148	1	67	25,00	25,00	-75,00	25,00	MollaPL
149	69	100	25,00	33,33	-75,00	33,33	MollaPL
150	70	101	25,00	41,67	-75,00	41,67	MollaPL
151	71	102	25,00	50,00	-75,00	50,00	MollaPL
152	72	103	25,00	59,62	-75,00	59,62	MollaPL
153	73	104	25,00	69,23	-75,00	69,23	MollaPL
154	74	105	25,00	78,85	-75,00	78,85	MollaPL
155	75	106	25,00	88,46	-75,00	88,46	MollaPL
156	76	107	25,00	98,08	-75,00	98,08	MollaPL
157	77	108	25,00	107,69	-75,00	107,69	MollaPL
158	78	109	25,00	117,31	-75,00	117,31	MollaPL
159	79	110	25,00	126,92	-75,00	126,92	MollaPL
160	80	111	25,00	136,54	-75,00	136,54	MollaPL
161	81	112	25,00	146,15	-75,00	146,15	MollaPL
162	82	113	25,00	155,77	-75,00	155,77	MollaPL
163	83	114	25,00	165,38	-75,00	165,38	MollaPL
164	84	115	25,00	175,00	-75,00	175,00	MollaPL

165	85	116	25,00	184,17	-75,00	184,17	MollaPL
166	86	117	25,00	193,33	-75,00	193,33	MollaPL
167	87	118	25,00	202,50	-75,00	202,50	MollaPL
168	88	119	25,00	211,67	-75,00	211,67	MollaPL
169	89	120	25,00	220,83	-75,00	220,83	MollaPL
170	90	121	25,00	230,00	-75,00	230,00	MollaPL
171	91	122	25,00	239,50	-75,00	239,50	MollaPL
172	92	123	25,00	249,00	-75,00	249,00	MollaPL
173	93	124	25,00	258,50	-75,00	258,50	MollaPL
174	94	125	25,00	268,00	-75,00	268,00	MollaPL
175	95	126	25,00	277,50	-75,00	277,50	MollaPL
176	96	127	25,00	287,00	-75,00	287,00	MollaPL
177	97	128	25,00	296,50	-75,00	296,50	MollaPL
178	98	129	25,00	306,00	-75,00	306,00	MollaPL
179	99	130	25,00	315,50	-75,00	315,50	MollaPL
180	193	212	25,00	325,00	-75,00	325,00	MollaPL
181	33	68	325,00	25,00	425,00	25,00	MollaPR
182	131	162	325,00	33,33	425,00	33,33	MollaPR
183	132	163	325,00	41,67	425,00	41,67	MollaPR
184	133	164	325,00	50,00	425,00	50,00	MollaPR
185	134	165	325,00	59,62	425,00	59,62	MollaPR
186	135	166	325,00	69,23	425,00	69,23	MollaPR
187	136	167	325,00	78,85	425,00	78,85	MollaPR
188	137	168	325,00	88,46	425,00	88,46	MollaPR
189	138	169	325,00	98,08	425,00	98,08	MollaPR
190	139	170	325,00	107,69	425,00	107,69	MollaPR
191	140	171	325,00	117,31	425,00	117,31	MollaPR
192	141	172	325,00	126,92	425,00	126,92	MollaPR
193	142	173	325,00	136,54	425,00	136,54	MollaPR
194	143	174	325,00	146,15	425,00	146,15	MollaPR
195	144	175	325,00	155,77	425,00	155,77	MollaPR
196	145	176	325,00	165,38	425,00	165,38	MollaPR
197	146	177	325,00	175,00	425,00	175,00	MollaPR
198	147	178	325,00	184,17	425,00	184,17	MollaPR
199	148	179	325,00	193,33	425,00	193,33	MollaPR
200	149	180	325,00	202,50	425,00	202,50	MollaPR
201	150	181	325,00	211,67	425,00	211,67	MollaPR
202	151	182	325,00	220,83	425,00	220,83	MollaPR
203	152	183	325,00	230,00	425,00	230,00	MollaPR
204	153	184	325,00	239,50	425,00	239,50	MollaPR
205	154	185	325,00	249,00	425,00	249,00	MollaPR
206	155	186	325,00	258,50	425,00	258,50	MollaPR
207	156	187	325,00	268,00	425,00	268,00	MollaPR
208	157	188	325,00	277,50	425,00	277,50	MollaPR
209	158	189	325,00	287,00	425,00	287,00	MollaPR
210	159	190	325,00	296,50	425,00	296,50	MollaPR
211	160	191	325,00	306,00	425,00	306,00	MollaPR
212	161	192	325,00	315,50	425,00	315,50	MollaPR
213	211	213	325,00	325,00	425,00	325,00	MollaPR

ALLEGATO 3: SCATOLARE 5,00x3,00**Geometria scatolare**

Descrizione:	Scatolare semplice	
Altezza esterna	4,20	[m]
Larghezza esterna	6,20	[m]
Lunghezza mensola di fondazione sinistra	0,00	[m]
Lunghezza mensola di fondazione destra	0,00	[m]
Spessore piedritto sinistro	0,60	[m]
Spessore piedritto destro	0,60	[m]
Spessore fondazione	0,60	[m]
Spessore trasverso	0,60	[m]

Caratteristiche strati terrenoStrato di ricoprimento

Descrizione	Terreno di ricoprimento	
Spessore dello strato	2,00	[m]
Peso di volume	19,0000	[kN/mc]
Peso di volume saturo	20,0000	[kN/mc]
Angolo di attrito	35,00	[°]
Coesione	0,00	[kg/cm ²]

Strato di rinfiacco

Descrizione	Terreno di rinfiacco	
Peso di volume	19,0000	[kN/mc]
Peso di volume saturo	20,0000	[kN/mc]
Angolo di attrito	35,00	[°]
Angolo di attrito terreno struttura	23,00	[°]
Coesione	0,00	[kg/cm ²]
Costante di Winkler	5,00	[kg/cm ² /cm]

Strato di base

Descrizione	Terreno di base	
Peso di volume	20,0000	[kN/mc]
Peso di volume saturo	21,0000	[kN/mc]
Angolo di attrito	36,00	[°]
Angolo di attrito terreno struttura	24,00	[°]
Coesione	5,00	[kg/cm ²]
Costante di Winkler	10,00	[kg/cm ² /cm]
Tensione limite	5,00	[kg/cm ²]

Falda

Quota falda (rispetto al piano di posa)	5,20	[m]
---	------	-----

Caratteristiche materiali utilizzatiMateriale calcestruzzo

R _{ck} calcestruzzo	407,88	[kg/cm ²]
Peso specifico calcestruzzo	24,5170	[kN/mc]
Modulo elastico E	338021,17	[kg/cm ²]
Tensione di snervamento acciaio	4588,65	[kg/cm ²]

Coeff. omogeneizzazione cls teso/compresso (n')	0,50
Coeff. omogeneizzazione acciaio/cls (n)	15,00
Coefficiente dilatazione termica	0,0000120

Condizioni di carico

Convenzioni adottate

Origine in corrispondenza dello spigolo inferiore sinistro della struttura
 Carichi verticali positivi se diretti verso il basso
 Carichi orizzontali positivi se diretti verso destra
 Coppie concentrate positive se antiorarie
 Ascisse X (espresse in m) positive verso destra
 Ordinate Y (espresse in m) positive verso l'alto
 Carichi concentrati espressi in kN
 Coppie concentrate espressi in kNm
 Carichi distribuiti espressi in kN/m

Simbologia adottata e unità di misura

Forze concentrate

X ascissa del punto di applicazione dei carichi verticali concentrati
 Y ordinata del punto di applicazione dei carichi orizzontali concentrati
 F_y componente Y del carico concentrato
 F_x componente X del carico concentrato
 M momento

Forze distribuite

X_i, X_f ascisse del punto iniziale e finale per carichi distribuiti verticali
 Y_i, Y_f ordinate del punto iniziale e finale per carichi distribuiti orizzontali
 V_{ni} componente normale del carico distribuito nel punto iniziale
 V_{nf} componente normale del carico distribuito nel punto finale
 V_{ti} componente tangenziale del carico distribuito nel punto iniziale
 V_{tf} componente tangenziale del carico distribuito nel punto finale
 D_{te} variazione termica lembo esterno espressa in gradi centigradi
 D_{ti} variazione termica lembo interno espressa in gradi centigradi

Condizione di carico n°1 (Peso Proprio)

Condizione di carico n°2 (Spinta terreno sinistra)

Condizione di carico n°3 (Spinta terreno destra)

Condizione di carico n°4 (Sisma da sinistra)

Condizione di carico n°5 (Sisma da destra)

Condizione di carico n°6 (Spinta falda)

Condizione di carico n° 7 (Pavimentazione stradale)

Distr	Terreno	$X_i = -4,20$	$X_f = 10,40$	$V_{ni} = 17,36$	$V_{nf} = 17,36$		
-------	---------	---------------	---------------	------------------	------------------	--	--

Condizione di carico n° 8 (CARICO IDROSTATICO liquido int.)

Distr	Fondaz.	$X_i = 0,60$	$X_f = 5,60$	$V_{ni} = 24,80$	$V_{nf} = 24,80$	$V_{ti} = 0,00$	$V_{tf} = 0,00$
Distr	Pied_S	$Y_i = 0,60$	$Y_f = 2,90$	$V_{ni} = -24,80$	$V_{nf} = 0,00$	$V_{ti} = 0,00$	$V_{tf} = 0,00$
Distr	Pied_D	$Y_i = 0,60$	$Y_f = 2,90$	$V_{ni} = 24,80$	$V_{nf} = 0,00$	$V_{ti} = 0,00$	$V_{tf} = 0,00$

Condizione di carico n° 9 (Traffico stradale pos.1)

Distr	Terreno	$X_i = 0,00$	$X_f = 6,20$	$V_{ni} = 9,00$	$V_{nf} = 9,00$		
Distr	Terreno	$X_i = 0,60$	$X_f = 1,80$	$V_{ni} = 78,13$	$V_{nf} = 78,13$		
Distr	Pied_S	$Y_i = 0,00$	$Y_f = 4,20$	$V_{ni} = 23,40$	$V_{nf} = 23,40$	$V_{ti} = 0,00$	$V_{tf} = 0,00$
Distr	Pied_D	$Y_i = 0,00$	$Y_f = 4,20$	$V_{ni} = -23,40$	$V_{nf} = -23,40$	$V_{ti} = 0,00$	$V_{tf} = 0,00$

Condizione di carico n° 10 (Traffico stradale pos.2)

Distr	Terreno	$X_i=0,00$	$X_f=6,20$	$V_{ni}=9,00$	$V_{nf}=9,00$		
Distr	Terreno	$X_i=2,50$	$X_f=3,70$	$V_{ni}=78,13$	$V_{nf}=78,13$		
Distr	Pied_S	$Y_i=0,00$	$Y_f=4,20$	$V_{ni}=23,40$	$V_{nf}=23,40$	$V_{ti}=0,00$	$V_{tf}=0,00$
Distr	Pied_D	$Y_i=0,00$	$Y_f=4,20$	$V_{ni}=-23,40$	$V_{nf}=-23,40$	$V_{ti}=0,00$	$V_{tf}=0,00$

Condizione di carico n° 11 (Traffico stradale pos.3)

Distr	Terreno	$X_i=0,00$	$X_f=6,20$	$V_{ni}=9,00$	$V_{nf}=9,00$		
Distr	Terreno	$X_i=4,40$	$X_f=5,60$	$V_{ni}=78,13$	$V_{nf}=78,13$		
Distr	Pied_S	$Y_i=0,00$	$Y_f=4,20$	$V_{ni}=23,40$	$V_{nf}=23,40$	$V_{ti}=0,00$	$V_{tf}=0,00$
Distr	Pied_D	$Y_i=0,00$	$Y_f=4,20$	$V_{ni}=-23,40$	$V_{nf}=-23,40$	$V_{ti}=0,00$	$V_{tf}=0,00$

Impostazioni di progettoVerifica materiali:**Stato Limite Ultimo**

Coefficiente di sicurezza calcestruzzo g_c	1.50
Fattore riduzione da resistenza cubica a cilindrica	0.83
Fattore di riduzione per carichi di lungo periodo	0.85
Coefficiente di sicurezza acciaio	1.15
Coefficiente di sicurezza per la sezione	1.00

Verifica Taglio - Metodo dell'inclinazione variabile del traliccio

$$V_{Rd}=[0.18*k*(100.0*r_l*f_{ck})^{1/3}/g_c+0.15*s_{cp}]*b_w*d>(v_{min}+0.15*s_{cp})*b_w*d$$

$$V_{Rsd}=0.9*d*A_{sw}/s*f_{yd}*(ctg\alpha+ctg\beta)*s_{ina}$$

$$V_{Rcd}=0.9*d*b_w*a_c*f_{cd}'*(ctg(\beta)+ctg(\alpha))/(1.0+ctg\beta^2)$$

con:

d	altezza utile sezione [mm]
b_w	larghezza minima sezione [mm]
s_{cp}	tensione media di compressione [N/mm ²]
r_l	rapporto geometrico di armatura
A_{sw}	area armatura trasversale [mm ²]
s	interasse tra due armature trasversali consecutive [mm]
a_c	coefficiente maggiorativo, funzione di f_{cd} e s_{cp}

$$f_{cd}'=0.5*f_{cd}$$

$$k=1+(200/d)^{1/2}$$

$$v_{min}=0.035*k^{3/2}*f_{ck}^{1/2}$$

Stato Limite di EsercizioCriteri di scelta per verifiche tensioni di esercizio:

Ambiente moderatamente aggressivo

Limite tensioni di compressione nel calcestruzzo (comb. rare) 0.60 f_{ck} Limite tensioni di compressione nel calcestruzzo (comb. quasi perm.) 0.45 f_{ck} Limite tensioni di trazione nell'acciaio (comb. rare) 0.80 f_{yk} Criteri verifiche a fessurazione:

Armatura poco sensibile

Apertura limite fessure espresse in [mm]

Apertura limite fessure $w_1=0,20 w_2=0,30 w_3=0,40$

Metodo di calcolo aperture delle fessure:

- NTC 2018 - C4.1.2.2.4.5

Resistenza a trazione per **Flessione**

Verifiche secondo :

Norme Tecniche 2018 - Approccio 2

Copriferro sezioni 5,00 [cm]**Descrizione combinazioni di carico***Simbologia adottata*

g Coefficiente di partecipazione della condizione
 Y Coefficiente di combinazione della condizione
 C Coefficiente totale di partecipazione della condizione

Norme Tecniche 2018

Simbologia adottata

g_{G1sfav} Coefficiente parziale sfavorevole sulle azioni permanenti
 g_{G1fav} Coefficiente parziale favorevole sulle azioni permanenti
 g_{G2sfav} Coefficiente parziale sfavorevole sulle azioni permanenti non strutturali
 g_{G2fav} Coefficiente parziale favorevole sulle azioni permanenti non strutturali
 g_Q Coefficiente parziale sulle azioni variabili
 g_{tanf} Coefficiente parziale di riduzione dell'angolo di attrito drenato
 g_{c'} Coefficiente parziale di riduzione della coesione drenata
 g_{cu} Coefficiente parziale di riduzione della coesione non drenata
 g_{qu} Coefficiente parziale di riduzione del carico ultimo

Coefficienti di partecipazione combinazioni staticheCoefficienti parziali per le azioni o per l'effetto delle azioni:

<i>Carichi</i>	<i>Effetto</i>		<i>A1</i>	<i>A2</i>
Permanenti	Favorevole	g _{G1fav}	1,00	1,00
Permanenti	Sfavorevole	g _{G1sfav}	1,30	1,00
Permanenti non strutturali	Favorevole	g _{G2fav}	0,80	0,80
Permanenti non strutturali	Sfavorevole	g _{G2sfav}	1,50	1,30
Variabili	Favorevole	g _{Qifav}	0,00	0,00
Variabili	Sfavorevole	g _{Qisfav}	1,50	1,30
Variabili da traffico	Favorevole	g _{Qfav}	0,00	0,00
Variabili da traffico	Sfavorevole	g _{Qsfav}	1,35	1,15
Termici	Favorevole	g _{efav}	0,00	0,00
Termici	Sfavorevole	g _{esfav}	1,20	1,20

Coefficienti parziali per i parametri geotecnici del terreno:

<i>Parametri</i>			<i>M1</i>	<i>M2</i>
Tangente dell'angolo di attrito		g _{tanf}	1,00	1,25
Coesione efficace		g _{c'}	1,00	1,25
Resistenza non drenata		g _{cu}	1,00	1,40
Resistenza a compressione uniassiale		g _{qu}	1,00	1,60
Peso dell'unità di volume		g _g	1,00	1,00

Coefficienti di partecipazione combinazioni sismicheCoefficienti parziali per le azioni o per l'effetto delle azioni:

<i>Carichi</i>	<i>Effetto</i>		<i>A1</i>	<i>A2</i>
Permanenti	Favorevole	g _{G1fav}	1,00	1,00
Permanenti	Sfavorevole	g _{G1sfav}	1,00	1,00
Permanenti	Favorevole	g _{G2fav}	0,00	0,00
Permanenti	Sfavorevole	g _{G2sfav}	1,00	1,00
Variabili	Favorevole	g _{Qifav}	0,00	0,00
Variabili	Sfavorevole	g _{Qisfav}	1,00	1,00
Variabili da traffico	Favorevole	g _{Qfav}	0,00	0,00

Variabili da traffico	Sfavorevole	g_{Qsfav}	1,00	1,00
Termici	Favorevole	g_{efav}	0,00	0,00
Termici	Sfavorevole	g_{esfav}	1,00	1,00

Coefficienti parziali per i parametri geotecnici del terreno:

<i>Parametri</i>			<i>M1</i>	<i>M2</i>
Tangente dell'angolo di attrito		g_{tanf}	1,00	1,00
Coesione efficace		$g_{c'}$	1,00	1,00
Resistenza non drenata		g_{cu}	1,00	1,00
Resistenza a compressione uniassiale		g_{qu}	1,00	1,00
Peso dell'unità di volume		g_g	1,00	1,00

Combinazione n° 1 SLU (Approccio 2)

	Effetto	g	Y	C
Peso Proprio	Sfavorevole	1.30	1.00	1.30
Spinta terreno sinistra	Sfavorevole	1.30	1.00	1.30
Spinta terreno destra	Sfavorevole	1.30	1.00	1.30
Pavimentazione stradale	Sfavorevole	1.50	1.00	1.50

Combinazione n° 2 SLU (Approccio 2)

	Effetto	g	Y	C
Peso Proprio	Sfavorevole	1.30	1.00	1.30
Spinta terreno sinistra	Sfavorevole	1.30	1.00	1.30
Spinta terreno destra	Sfavorevole	1.30	1.00	1.30
Pavimentazione stradale	Sfavorevole	1.50	1.00	1.50
Spinta falda	Sfavorevole	1.50	1.00	1.50
CARICO IDROSTATICO liquido int.	Sfavorevole	1.50	1.00	1.50
Traffico stradale pos.1	Sfavorevole	1.35	0.75	1.01
Traffico stradale pos.2	Sfavorevole	1.35	0.75	1.01
Traffico stradale pos.3	Sfavorevole	1.35	0.75	1.01

Combinazione n° 3 SLU (Approccio 2)

	Effetto	g	Y	C
Peso Proprio	Sfavorevole	1.30	1.00	1.30
Spinta terreno sinistra	Sfavorevole	1.30	1.00	1.30
Spinta terreno destra	Sfavorevole	1.30	1.00	1.30
Pavimentazione stradale	Sfavorevole	1.50	1.00	1.50
Spinta falda	Sfavorevole	1.50	1.00	1.50
CARICO IDROSTATICO liquido int.	Sfavorevole	1.50	1.00	1.50
Traffico stradale pos.1	Sfavorevole	1.35	1.00	1.35
Traffico stradale pos.2	Sfavorevole	1.35	0.75	1.01
Traffico stradale pos.3	Sfavorevole	1.35	0.75	1.01

Combinazione n° 4 SLU (Approccio 2)

	Effetto	g	Y	C
Peso Proprio	Sfavorevole	1.30	1.00	1.30
Spinta terreno sinistra	Sfavorevole	1.30	1.00	1.30
Spinta terreno destra	Sfavorevole	1.30	1.00	1.30
Pavimentazione stradale	Sfavorevole	1.50	1.00	1.50
Spinta falda	Sfavorevole	1.50	1.00	1.50
CARICO IDROSTATICO liquido int.	Sfavorevole	1.50	1.00	1.50
Traffico stradale pos.1	Sfavorevole	1.35	0.75	1.01
Traffico stradale pos.2	Sfavorevole	1.35	1.00	1.35
Traffico stradale pos.3	Sfavorevole	1.35	0.75	1.01

Combinazione n° 5 SLU (Approccio 2)

	Effetto	g	Y	C
Peso Proprio	Sfavorevole	1.30	1.00	1.30
Spinta terreno sinistra	Sfavorevole	1.30	1.00	1.30
Spinta terreno destra	Sfavorevole	1.30	1.00	1.30
Pavimentazione stradale	Sfavorevole	1.50	1.00	1.50
Spinta falda	Sfavorevole	1.50	1.00	1.50
CARICO IDROSTATICO liquido int.	Sfavorevole	1.50	1.00	1.50
Traffico stradale pos.1	Sfavorevole	1.35	0.75	1.01
Traffico stradale pos.2	Sfavorevole	1.35	0.75	1.01
Traffico stradale pos.3	Sfavorevole	1.35	1.00	1.35

Combinazione n° 6 SLU (Approccio 2) - Sisma Vert. positivo

	Effetto	g	Y	C
Peso Proprio	Sfavorevole	1.00	1.00	1.00
Spinta terreno sinistra	Sfavorevole	1.00	1.00	1.00
Spinta terreno destra	Sfavorevole	1.00	1.00	1.00
Pavimentazione stradale	Sfavorevole	1.00	1.00	1.00
Sisma da sinistra	Sfavorevole	1.00	1.00	1.00

Combinazione n° 7 SLU (Approccio 2) - Sisma Vert. negativo

	Effetto	g	Y	C
Peso Proprio	Sfavorevole	1.00	1.00	1.00
Spinta terreno sinistra	Sfavorevole	1.00	1.00	1.00
Spinta terreno destra	Sfavorevole	1.00	1.00	1.00
Pavimentazione stradale	Sfavorevole	1.00	1.00	1.00
Sisma da sinistra	Sfavorevole	1.00	1.00	1.00

Combinazione n° 8 SLU (Approccio 2) - Sisma Vert. positivo

	Effetto	g	Y	C
Peso Proprio	Sfavorevole	1.00	1.00	1.00
Spinta terreno sinistra	Sfavorevole	1.00	1.00	1.00
Spinta terreno destra	Sfavorevole	1.00	1.00	1.00
Pavimentazione stradale	Sfavorevole	1.00	1.00	1.00
Spinta falda	Sfavorevole	1.00	1.00	1.00
CARICO IDROSTATICO liquido int.	Sfavorevole	1.00	1.00	1.00
Sisma da sinistra	Sfavorevole	1.00	1.00	1.00

Combinazione n° 9 SLU (Approccio 2) - Sisma Vert. negativo

	Effetto	g	Y	C
Peso Proprio	Sfavorevole	1.00	1.00	1.00
Spinta terreno sinistra	Sfavorevole	1.00	1.00	1.00
Spinta terreno destra	Sfavorevole	1.00	1.00	1.00
Pavimentazione stradale	Sfavorevole	1.00	1.00	1.00
Spinta falda	Sfavorevole	1.00	1.00	1.00
CARICO IDROSTATICO liquido int.	Sfavorevole	1.00	1.00	1.00
Sisma da sinistra	Sfavorevole	1.00	1.00	1.00

Combinazione n° 10 SLU (Approccio 2) - Sisma Vert. positivo

	Effetto	g	Y	C
Peso Proprio	Sfavorevole	1.00	1.00	1.00
Spinta terreno sinistra	Sfavorevole	1.00	1.00	1.00
Spinta terreno destra	Sfavorevole	1.00	1.00	1.00
Pavimentazione stradale	Sfavorevole	1.00	1.00	1.00
Sisma da destra	Sfavorevole	1.00	1.00	1.00

Combinazione n° 11 SLU (Approccio 2) - Sisma Vert. negativo

	Effetto	g	Y	C
Peso Proprio	Sfavorevole	1.00	1.00	1.00
Spinta terreno sinistra	Sfavorevole	1.00	1.00	1.00
Spinta terreno destra	Sfavorevole	1.00	1.00	1.00
Pavimentazione stradale	Sfavorevole	1.00	1.00	1.00
Sisma da destra	Sfavorevole	1.00	1.00	1.00

Combinazione n° 12 SLU (Approccio 2) - Sisma Vert. positivo

	Effetto	g	Y	C
Peso Proprio	Sfavorevole	1.00	1.00	1.00
Spinta terreno sinistra	Sfavorevole	1.00	1.00	1.00
Spinta terreno destra	Sfavorevole	1.00	1.00	1.00
Pavimentazione stradale	Sfavorevole	1.00	1.00	1.00
Spinta falda	Sfavorevole	1.00	1.00	1.00
CARICO IDROSTATICO liquido int.	Sfavorevole	1.00	1.00	1.00
Sisma da destra	Sfavorevole	1.00	1.00	1.00

Combinazione n° 13 SLU (Approccio 2) - Sisma Vert. negativo

	Effetto	g	Y	C
Peso Proprio	Sfavorevole	1.00	1.00	1.00
Spinta terreno sinistra	Sfavorevole	1.00	1.00	1.00
Spinta terreno destra	Sfavorevole	1.00	1.00	1.00
Pavimentazione stradale	Sfavorevole	1.00	1.00	1.00
Spinta falda	Sfavorevole	1.00	1.00	1.00
CARICO IDROSTATICO liquido int.	Sfavorevole	1.00	1.00	1.00
Sisma da destra	Sfavorevole	1.00	1.00	1.00

Combinazione n° 14 SLE (Quasi Permanente)

	Effetto	g	Y	C
Peso Proprio	Sfavorevole	1.00	1.00	1.00
Spinta terreno sinistra	Sfavorevole	1.00	1.00	1.00
Spinta terreno destra	Sfavorevole	1.00	1.00	1.00
Pavimentazione stradale	Sfavorevole	1.00	1.00	1.00
Spinta falda	Sfavorevole	1.00	1.00	1.00
CARICO IDROSTATICO liquido int.	Sfavorevole	1.00	1.00	1.00

Combinazione n° 15 SLE (Frequente)

	Effetto	g	Y	C
Peso Proprio	Sfavorevole	1.00	1.00	1.00
Spinta terreno sinistra	Sfavorevole	1.00	1.00	1.00
Spinta terreno destra	Sfavorevole	1.00	1.00	1.00
Pavimentazione stradale	Sfavorevole	1.00	1.00	1.00
Spinta falda	Sfavorevole	1.00	1.00	1.00
CARICO IDROSTATICO liquido int.	Sfavorevole	1.00	1.00	1.00

Combinazione n° 16 SLE (Frequente)

	Effetto	g	Y	C
Peso Proprio	Sfavorevole	1.00	1.00	1.00
Spinta terreno sinistra	Sfavorevole	1.00	1.00	1.00
Spinta terreno destra	Sfavorevole	1.00	1.00	1.00
Pavimentazione stradale	Sfavorevole	1.00	1.00	1.00
Traffico stradale pos.1	Sfavorevole	1.00	0.75	0.75
Spinta falda	Sfavorevole	1.00	1.00	1.00
CARICO IDROSTATICO liquido int.	Sfavorevole	1.00	1.00	1.00

Combinazione n° 17 SLE (Frequente)

	Effetto	g	Y	C
Peso Proprio	Sfavorevole	1.00	1.00	1.00
Spinta terreno sinistra	Sfavorevole	1.00	1.00	1.00
Spinta terreno destra	Sfavorevole	1.00	1.00	1.00
Pavimentazione stradale	Sfavorevole	1.00	1.00	1.00
Traffico stradale pos.2	Sfavorevole	1.00	0.75	0.75
Spinta falda	Sfavorevole	1.00	1.00	1.00
CARICO IDROSTATICO liquido int.	Sfavorevole	1.00	1.00	1.00

Combinazione n° 18 SLE (Frequente)

	Effetto	g	Y	C
Peso Proprio	Sfavorevole	1.00	1.00	1.00
Spinta terreno sinistra	Sfavorevole	1.00	1.00	1.00
Spinta terreno destra	Sfavorevole	1.00	1.00	1.00
Pavimentazione stradale	Sfavorevole	1.00	1.00	1.00
Traffico stradale pos.3	Sfavorevole	1.00	0.75	0.75
Spinta falda	Sfavorevole	1.00	1.00	1.00
CARICO IDROSTATICO liquido int.	Sfavorevole	1.00	1.00	1.00

Combinazione n° 19 SLE (Rara)

	Effetto	g	Y	C
Peso Proprio	Sfavorevole	1.00	1.00	1.00
Spinta terreno sinistra	Sfavorevole	1.00	1.00	1.00
Spinta terreno destra	Sfavorevole	1.00	1.00	1.00
Pavimentazione stradale	Sfavorevole	1.00	1.00	1.00
Spinta falda	Sfavorevole	1.00	1.00	1.00
CARICO IDROSTATICO liquido int.	Sfavorevole	1.00	1.00	1.00
Traffico stradale pos.1	Sfavorevole	1.00	0.75	0.75
Traffico stradale pos.2	Sfavorevole	1.00	0.75	0.75
Traffico stradale pos.3	Sfavorevole	1.00	0.75	0.75

Combinazione n° 20 SLE (Rara)

	Effetto	g	Y	C
Peso Proprio	Sfavorevole	1.00	1.00	1.00
Spinta terreno sinistra	Sfavorevole	1.00	1.00	1.00
Spinta terreno destra	Sfavorevole	1.00	1.00	1.00
Pavimentazione stradale	Sfavorevole	1.00	1.00	1.00
Traffico stradale pos.1	Sfavorevole	1.00	1.00	1.00
Spinta falda	Sfavorevole	1.00	1.00	1.00
CARICO IDROSTATICO liquido int.	Sfavorevole	1.00	1.00	1.00
Traffico stradale pos.2	Sfavorevole	1.00	0.75	0.75
Traffico stradale pos.3	Sfavorevole	1.00	0.75	0.75

Combinazione n° 21 SLE (Rara)

	Effetto	g	Y	C
Peso Proprio	Sfavorevole	1.00	1.00	1.00
Spinta terreno sinistra	Sfavorevole	1.00	1.00	1.00
Spinta terreno destra	Sfavorevole	1.00	1.00	1.00
Pavimentazione stradale	Sfavorevole	1.00	1.00	1.00
Traffico stradale pos.2	Sfavorevole	1.00	1.00	1.00
Spinta falda	Sfavorevole	1.00	1.00	1.00
CARICO IDROSTATICO liquido int.	Sfavorevole	1.00	1.00	1.00
Traffico stradale pos.1	Sfavorevole	1.00	0.75	0.75
Traffico stradale pos.3	Sfavorevole	1.00	0.75	0.75

Combinazione n° 22 SLE (Rara)

	Effetto	g	Y	C
Peso Proprio	Sfavorevole	1.00	1.00	1.00
Spinta terreno sinistra	Sfavorevole	1.00	1.00	1.00
Spinta terreno destra	Sfavorevole	1.00	1.00	1.00
Pavimentazione stradale	Sfavorevole	1.00	1.00	1.00
Traffico stradale pos.3	Sfavorevole	1.00	1.00	1.00
Spinta falda	Sfavorevole	1.00	1.00	1.00
CARICO IDROSTATICO liquido int.	Sfavorevole	1.00	1.00	1.00
Traffico stradale pos.1	Sfavorevole	1.00	0.75	0.75
Traffico stradale pos.2	Sfavorevole	1.00	0.75	0.75

Combinazione n° 23 SLE (Quasi Permanente) - Sisma Vert. positivo

	Effetto	g	Y	C
Peso Proprio	Sfavorevole	1.00	1.00	1.00
Spinta terreno sinistra	Sfavorevole	1.00	1.00	1.00
Spinta terreno destra	Sfavorevole	1.00	1.00	1.00
Pavimentazione stradale	Sfavorevole	1.00	1.00	1.00
Spinta falda	Sfavorevole	1.00	1.00	1.00
CARICO IDROSTATICO liquido int.	Sfavorevole	1.00	1.00	1.00
Sisma da sinistra	Sfavorevole	1.00	1.00	1.00

Combinazione n° 24 SLE (Quasi Permanente) - Sisma Vert. negativo

	Effetto	g	Y	C
Peso Proprio	Sfavorevole	1.00	1.00	1.00
Spinta terreno sinistra	Sfavorevole	1.00	1.00	1.00
Spinta terreno destra	Sfavorevole	1.00	1.00	1.00
Pavimentazione stradale	Sfavorevole	1.00	1.00	1.00
Spinta falda	Sfavorevole	1.00	1.00	1.00
CARICO IDROSTATICO liquido int.	Sfavorevole	1.00	1.00	1.00
Sisma da sinistra	Sfavorevole	1.00	1.00	1.00

Combinazione n° 25 SLE (Quasi Permanente) - Sisma Vert. positivo

	Effetto	g	Y	C
Peso Proprio	Sfavorevole	1.00	1.00	1.00
Spinta terreno sinistra	Sfavorevole	1.00	1.00	1.00
Spinta terreno destra	Sfavorevole	1.00	1.00	1.00
Pavimentazione stradale	Sfavorevole	1.00	1.00	1.00
Spinta falda	Sfavorevole	1.00	1.00	1.00
CARICO IDROSTATICO liquido int.	Sfavorevole	1.00	1.00	1.00
Sisma da destra	Sfavorevole	1.00	1.00	1.00

Combinazione n° 26 SLE (Quasi Permanente) - Sisma Vert. negativo

	Effetto	g	Y	C
Peso Proprio	Sfavorevole	1.00	1.00	1.00
Spinta terreno sinistra	Sfavorevole	1.00	1.00	1.00
Spinta terreno destra	Sfavorevole	1.00	1.00	1.00
Pavimentazione stradale	Sfavorevole	1.00	1.00	1.00
Spinta falda	Sfavorevole	1.00	1.00	1.00
CARICO IDROSTATICO liquido int.	Sfavorevole	1.00	1.00	1.00
Sisma da destra	Sfavorevole	1.00	1.00	1.00

Combinazione n° 27 SLE (Frequente) - Sisma Vert. positivo

	Effetto	g	Y	C
Peso Proprio	Sfavorevole	1.00	1.00	1.00
Spinta terreno sinistra	Sfavorevole	1.00	1.00	1.00
Spinta terreno destra	Sfavorevole	1.00	1.00	1.00

Pavimentazione stradale	Sfavorevole	1.00	1.00	1.00
Spinta falda	Sfavorevole	1.00	1.00	1.00
CARICO IDROSTATICO liquido int.	Sfavorevole	1.00	1.00	1.00
Sisma da sinistra	Sfavorevole	1.00	1.00	1.00

Combinazione n° 28 SLE (Frequente) - Sisma Vert. negativo

	Effetto	g	Y	C
Peso Proprio	Sfavorevole	1.00	1.00	1.00
Spinta terreno sinistra	Sfavorevole	1.00	1.00	1.00
Spinta terreno destra	Sfavorevole	1.00	1.00	1.00
Pavimentazione stradale	Sfavorevole	1.00	1.00	1.00
Spinta falda	Sfavorevole	1.00	1.00	1.00
CARICO IDROSTATICO liquido int.	Sfavorevole	1.00	1.00	1.00
Sisma da sinistra	Sfavorevole	1.00	1.00	1.00

Combinazione n° 29 SLE (Frequente) - Sisma Vert. positivo

	Effetto	g	Y	C
Peso Proprio	Sfavorevole	1.00	1.00	1.00
Spinta terreno sinistra	Sfavorevole	1.00	1.00	1.00
Spinta terreno destra	Sfavorevole	1.00	1.00	1.00
Pavimentazione stradale	Sfavorevole	1.00	1.00	1.00
Spinta falda	Sfavorevole	1.00	1.00	1.00
CARICO IDROSTATICO liquido int.	Sfavorevole	1.00	1.00	1.00
Sisma da destra	Sfavorevole	1.00	1.00	1.00

Combinazione n° 30 SLE (Frequente) - Sisma Vert. negativo

	Effetto	g	Y	C
Peso Proprio	Sfavorevole	1.00	1.00	1.00
Spinta terreno sinistra	Sfavorevole	1.00	1.00	1.00
Spinta terreno destra	Sfavorevole	1.00	1.00	1.00
Pavimentazione stradale	Sfavorevole	1.00	1.00	1.00
Spinta falda	Sfavorevole	1.00	1.00	1.00
CARICO IDROSTATICO liquido int.	Sfavorevole	1.00	1.00	1.00
Sisma da destra	Sfavorevole	1.00	1.00	1.00

Combinazione n° 31 SLE (Rara) - Sisma Vert. positivo

	Effetto	g	Y	C
Peso Proprio	Sfavorevole	1.00	1.00	1.00
Spinta terreno sinistra	Sfavorevole	1.00	1.00	1.00
Spinta terreno destra	Sfavorevole	1.00	1.00	1.00
Pavimentazione stradale	Sfavorevole	1.00	1.00	1.00
Spinta falda	Sfavorevole	1.00	1.00	1.00
CARICO IDROSTATICO liquido int.	Sfavorevole	1.00	1.00	1.00
Sisma da sinistra	Sfavorevole	1.00	1.00	1.00

Combinazione n° 32 SLE (Rara) - Sisma Vert. negativo

	Effetto	g	Y	C
Peso Proprio	Sfavorevole	1.00	1.00	1.00
Spinta terreno sinistra	Sfavorevole	1.00	1.00	1.00
Spinta terreno destra	Sfavorevole	1.00	1.00	1.00
Pavimentazione stradale	Sfavorevole	1.00	1.00	1.00
Spinta falda	Sfavorevole	1.00	1.00	1.00
CARICO IDROSTATICO liquido int.	Sfavorevole	1.00	1.00	1.00
Sisma da sinistra	Sfavorevole	1.00	1.00	1.00

Combinazione n° 33 SLE (Rara) - Sisma Vert. positivo

	Effetto	g	Y	C
Peso Proprio	Sfavorevole	1.00	1.00	1.00
Spinta terreno sinistra	Sfavorevole	1.00	1.00	1.00
Spinta terreno destra	Sfavorevole	1.00	1.00	1.00
Pavimentazione stradale	Sfavorevole	1.00	1.00	1.00
Spinta falda	Sfavorevole	1.00	1.00	1.00
CARICO IDROSTATICO liquido int.	Sfavorevole	1.00	1.00	1.00
Sisma da destra	Sfavorevole	1.00	1.00	1.00

Combinazione n° 34 SLE (Rara) - Sisma Vert. negativo

	Effetto	g	Y	C
Peso Proprio	Sfavorevole	1.00	1.00	1.00
Spinta terreno sinistra	Sfavorevole	1.00	1.00	1.00
Spinta terreno destra	Sfavorevole	1.00	1.00	1.00
Pavimentazione stradale	Sfavorevole	1.00	1.00	1.00
Spinta falda	Sfavorevole	1.00	1.00	1.00
CARICO IDROSTATICO liquido int.	Sfavorevole	1.00	1.00	1.00
Sisma da destra	Sfavorevole	1.00	1.00	1.00

Analisi della spinta e verifiche*Simbologia adottata ed unità di misura*

Origine in corrispondenza dello spigolo inferiore sinistro della struttura

Le forze orizzontali sono considerate positive se agenti verso destra

Le forze verticali sono considerate positive se agenti verso il basso

X ascisse (espresse in m) positive verso destra

Y ordinate (espresse in m) positive verso l'alto

M momento espresso in kNm

V taglio espresso in kN

SN sforzo normale espresso in kN

ux spostamento direzione X espresso in cm

uy spostamento direzione Y espresso in cm

s_t pressione sul terreno espressa in kg/cmq

Tipo di analisi

Pressione in calotta

I carichi applicati sul terreno sono stati diffusi secondo **valore 30.00**

Metodo di calcolo della portanza

Teoria di Terzaghi

Hansen

Spinta sui piedritti

a Riposo [combinazione 1]
 a Riposo [combinazione 2]
 a Riposo [combinazione 3]
 a Riposo [combinazione 4]
 a Riposo [combinazione 5]
 a Riposo [combinazione 6]
 a Riposo [combinazione 7]
 a Riposo [combinazione 8]
 a Riposo [combinazione 9]
 a Riposo [combinazione 10]
 a Riposo [combinazione 11]
 a Riposo [combinazione 12]
 a Riposo [combinazione 13]
 a Riposo [combinazione 14]
 a Riposo [combinazione 15]
 a Riposo [combinazione 16]
 a Riposo [combinazione 17]
 a Riposo [combinazione 18]
 a Riposo [combinazione 19]
 a Riposo [combinazione 20]
 a Riposo [combinazione 21]
 a Riposo [combinazione 22]
 a Riposo [combinazione 23]
 a Riposo [combinazione 24]
 a Riposo [combinazione 25]
 a Riposo [combinazione 26]
 a Riposo [combinazione 27]
 a Riposo [combinazione 28]
 a Riposo [combinazione 29]
 a Riposo [combinazione 30]
 a Riposo [combinazione 31]
 a Riposo [combinazione 32]
 a Riposo [combinazione 33]
 a Riposo [combinazione 34]

Sisma**Identificazione del sito**

Latitudine

46.266591

Longitudine

12.299962

Comune

Longarone

Provincia	Belluno
Regione	Veneto
Punti di interpolazione del reticolo	8975 - 8974 - 9196 - 9197
Tipo di opera	
Tipo di costruzione	Opera di importanza strategica
Vita nominale	100 anni
Classe d'uso pericolose	IV - Opere strategiche ed industrie molto
Vita di riferimento	200 anni
Combinazioni SLU	
Accelerazione al suolo $a_g =$	3.42 [m/s ²]
Coefficiente di amplificazione per tipo di sottosuolo (S)	1.06
Coefficiente di amplificazione topografica (St)	1.00
Coefficiente riduzione (b_m)	1.00
Rapporto intensità sismica verticale/orizzontale	0.50
Coefficiente di intensità sismica orizzontale (percento)	$k_h=(a_g/g*b_m*St*Ss) = 36.92$
Coefficiente di intensità sismica verticale (percento)	$k_v=0.50 * k_h = 18.46$
Combinazioni SLE	
Accelerazione al suolo $a_g =$	1.35 [m/s ²]
Coefficiente di amplificazione per tipo di sottosuolo (S)	1.20
Coefficiente di amplificazione topografica (St)	1.00
Coefficiente riduzione (b_m)	1.00
Rapporto intensità sismica verticale/orizzontale	0.50
Coefficiente di intensità sismica orizzontale (percento)	$k_h=(a_g/g*b_m*St*Ss) = 16.51$
Coefficiente di intensità sismica verticale (percento)	$k_v=0.50 * k_h = 8.25$
Forma diagramma incremento sismico	Rettangolare
Spinta sismica	Wood
Angolo diffusione sovraccarico	30,00 [°]

Coefficienti di spinta

N°combinazione	Statico	Sismico
1	0,426	0,000
2	0,426	0,000
3	0,426	0,000
4	0,426	0,000
5	0,426	0,000
6	0,426	1,009
7	0,426	1,009
8	0,426	1,009
9	0,426	1,009
10	0,426	1,009
11	0,426	1,009
12	0,426	1,009
13	0,426	1,009
14	0,426	0,000
15	0,426	0,000
16	0,426	0,000
17	0,426	0,000
18	0,426	0,000
19	0,426	0,000
20	0,426	0,000
21	0,426	0,000
22	0,426	0,000
23	0,426	0,601

24	0,426	0,601
25	0,426	0,601
26	0,426	0,601
27	0,426	0,601
28	0,426	0,601
29	0,426	0,601
30	0,426	0,601
31	0,426	0,601
32	0,426	0,601
33	0,426	0,601
34	0,426	0,601

Discretizzazione strutturale

Numero elementi fondazione	60
Numero elementi traverso	32
Numero elementi piedritto sinistro	40
Numero elementi piedritto destro	40
Numero molle fondazione	61
Numero molle piedritto sinistro	41
Numero molle piedritto destro	41

Analisi della combinazione n° 1

Pressione in calotta(solo peso terreno) 0,442531 [kg/cmq]

Carichi verticali in calotta

Xi	Xj	Q[kg/cmq]
-15,35	-5,35	0,442531
-5,35	11,55	0,671771
11,55	21,55	0,442531

Spinte sui piedritti

Piedritto sinistro Pressione sup. 0,286459 [kg/cmq] Pressione inf. 0,737545 [kg/cmq]
 Piedritto destro Pressione sup. 0,286459 [kg/cmq] Pressione inf. 0,737545 [kg/cmq]

Analisi della combinazione n° 2

Pressione in calotta(solo peso terreno) 0,339971 [kg/cmq]

Carichi verticali in calotta

Xi	Xj	Q[kg/cmq]
-15,35	-5,35	0,339971
-5,35	-1,15	0,569211
-1,15	-0,55	0,772317
-0,55	1,35	1,048142
1,35	2,95	1,323967
2,95	3,25	1,048142
3,25	4,85	1,323967
4,85	6,75	1,048142
6,75	7,35	0,772317
7,35	11,55	0,569211
11,55	21,55	0,339971

Spinte sui piedritti

Piedritto sinistro Pressione sup. 0,330904 [kg/cmq] Pressione inf. 0,572904 [kg/cmq]
 Piedritto destro Pressione sup. 0,330904 [kg/cmq] Pressione inf. 0,572904 [kg/cmq]

Falda

Pressione in calotta 0,1300[kg/cmq]
 Spinta 165,99[kN]
 Sottospinta 0,6760[kg/cmq]

Analisi della combinazione n° 3

Pressione in calotta(solo peso terreno) 0,339971 [kg/cmq]

Carichi verticali in calotta

Xi	Xj	Q[kg/cmq]
-15,35	-5,35	0,339971
-5,35	-1,15	0,569211
-1,15	-0,55	0,794884
-0,55	1,35	1,162651

1,35	2,95	1,438476
2,95	3,25	1,070709
3,25	4,85	1,346534
4,85	6,75	1,070709
6,75	7,35	0,794884
7,35	11,55	0,569211
11,55	21,55	0,339971

Spinte sui piedritti

Piedritto sinistro Pressione sup. 0,348438 [kg/cmq] Pressione inf. 0,590438 [kg/cmq]
 Piedritto destro Pressione sup. 0,336833 [kg/cmq] Pressione inf. 0,578834 [kg/cmq]

Falda

Pressione in calotta 0,1300[kg/cmq]
 Spinta 165,99[kN]
 Sottospinta 0,6760[kg/cmq]

Analisi della combinazione n° 4

Pressione in calotta(solo peso terreno) 0,339971 [kg/cmq]

Carichi verticali in calotta

Xi	Xj	Q[kg/cmq]
-15,35	-5,35	0,339971
-5,35	-1,15	0,569211
-1,15	-0,55	0,794884
-0,55	1,35	1,070709
1,35	2,95	1,438476
2,95	3,25	1,162651
3,25	4,85	1,438476
4,85	6,75	1,070709
6,75	7,35	0,794884
7,35	11,55	0,569211
11,55	21,55	0,339971

Spinte sui piedritti

Piedritto sinistro Pressione sup. 0,336833 [kg/cmq] Pressione inf. 0,578834 [kg/cmq]
 Piedritto destro Pressione sup. 0,336833 [kg/cmq] Pressione inf. 0,578834 [kg/cmq]

Falda

Pressione in calotta 0,1300[kg/cmq]
 Spinta 165,99[kN]
 Sottospinta 0,6760[kg/cmq]

Analisi della combinazione n° 5

Pressione in calotta(solo peso terreno) 0,339971 [kg/cmq]

Carichi verticali in calotta

Xi	Xj	Q[kg/cmq]
----	----	-----------

-15,35	-5,35	0,339971
-5,35	-1,15	0,569211
-1,15	-0,55	0,794884
-0,55	1,35	1,070709
1,35	2,95	1,346534
2,95	3,25	1,070709
3,25	4,85	1,438476
4,85	6,75	1,162651
6,75	7,35	0,794884
7,35	11,55	0,569211
11,55	21,55	0,339971

Spinte sui piedritti

Piedritto sinistro Pressione sup. 0,336833 [kg/cmq] Pressione inf. 0,578834 [kg/cmq]
 Piedritto destro Pressione sup. 0,348438 [kg/cmq] Pressione inf. 0,590438 [kg/cmq]

Falda

Pressione in calotta 0,1300[kg/cmq]
 Spinta 165,99[kN]
 Sottospinta 0,6760[kg/cmq]

Analisi della combinazione n° 6

Pressione in calotta(solo peso terreno) 0,340409 [kg/cmq]

Carichi verticali in calotta

Xi	Xj	Q[kg/cmq]
-15,35	-5,35	0,340409
-5,35	11,55	0,493235
11,55	21,55	0,340409

Spinte sui piedritti

Piedritto sinistro Pressione sup. 0,210327 [kg/cmq] Pressione inf. 0,557317 [kg/cmq]
 Piedritto destro Pressione sup. 0,210327 [kg/cmq] Pressione inf. 0,557317 [kg/cmq]

Spinte sismiche sui piedritti

Piedritto sinistro Pressione sup. 0,664617 [kg/cmq] Pressione inf. 0,664617 [kg/cmq]

Analisi della combinazione n° 7

Pressione in calotta(solo peso terreno) 0,340409 [kg/cmq]

Carichi verticali in calotta

Xi	Xj	Q[kg/cmq]
-15,35	-5,35	0,340409
-5,35	11,55	0,493235
11,55	21,55	0,340409

Spinte sui piedritti

Piedritto sinistro Pressione sup. 0,210327 [kg/cmq] Pressione inf. 0,557317 [kg/cmq]
 Piedritto destro Pressione sup. 0,210327 [kg/cmq] Pressione inf. 0,557317 [kg/cmq]

Spinte sismiche sui piedritti

Piedritto sinistro Pressione sup. 0,664617 [kg/cmq] Pressione inf. 0,664617 [kg/cmq]

Analisi della combinazione n° 8

Pressione in calotta(solo peso terreno) 0,261516 [kg/cmq]

Carichi verticali in calotta

Xi	Xj	Q[kg/cmq]
-15,35	-5,35	0,261516
-5,35	11,55	0,414343
11,55	21,55	0,261516

Spinte sui piedritti

Piedritto sinistro Pressione sup. 0,176685 [kg/cmq] Pressione inf. 0,362840 [kg/cmq]
 Piedritto destro Pressione sup. 0,176685 [kg/cmq] Pressione inf. 0,362840 [kg/cmq]

Spinte sismiche sui piedritti

Piedritto sinistro Pressione sup. 0,467105 [kg/cmq] Pressione inf. 0,467105 [kg/cmq]

Falda

Pressione in calotta	0,1000[kg/cmq]
Spinta	127,68[kN]
Sottospinta	0,5200[kg/cmq]

Analisi della combinazione n° 9

Pressione in calotta(solo peso terreno) 0,261516 [kg/cmq]

Carichi verticali in calotta

Xi	Xj	Q[kg/cmq]
-15,35	-5,35	0,261516
-5,35	11,55	0,414343
11,55	21,55	0,261516

Spinte sui piedritti

Piedritto sinistro Pressione sup. 0,176685 [kg/cmq] Pressione inf. 0,362840 [kg/cmq]
 Piedritto destro Pressione sup. 0,176685 [kg/cmq] Pressione inf. 0,362840 [kg/cmq]

Spinte sismiche sui piedritti

Piedritto sinistro Pressione sup. 0,467105 [kg/cmq] Pressione inf. 0,467105 [kg/cmq]

Falda

Pressione in calotta	0,1000[kg/cmq]
Spinta	127,68[kN]
Sottospinta	0,5200[kg/cmq]

Analisi della combinazione n° 10

Pressione in calotta(solo peso terreno) 0,340409 [kg/cmq]

Carichi verticali in calotta

Xi	Xj	Q[kg/cmq]
-15,35	-5,35	0,340409
-5,35	11,55	0,493235
11,55	21,55	0,340409

Spinte sui piedritti

Piedritto sinistro Pressione sup. 0,210327 [kg/cmq] Pressione inf. 0,557317 [kg/cmq]
 Piedritto destro Pressione sup. 0,210327 [kg/cmq] Pressione inf. 0,557317 [kg/cmq]

Spinte sismiche sui piedritti

Piedritto destro Pressione sup. 0,664617 [kg/cmq] Pressione inf. 0,664617 [kg/cmq]

Analisi della combinazione n° 11

Pressione in calotta(solo peso terreno) 0,340409 [kg/cmq]

Carichi verticali in calotta

Xi	Xj	Q[kg/cmq]
-15,35	-5,35	0,340409
-5,35	11,55	0,493235
11,55	21,55	0,340409

Spinte sui piedritti

Piedritto sinistro Pressione sup. 0,210327 [kg/cmq] Pressione inf. 0,557317 [kg/cmq]
 Piedritto destro Pressione sup. 0,210327 [kg/cmq] Pressione inf. 0,557317 [kg/cmq]

Spinte sismiche sui piedritti

Piedritto destro Pressione sup. 0,664617 [kg/cmq] Pressione inf. 0,664617 [kg/cmq]

Analisi della combinazione n° 12

Pressione in calotta(solo peso terreno) 0,261516 [kg/cmq]

Carichi verticali in calotta

Xi	Xj	Q[kg/cmq]
-15,35	-5,35	0,261516

-5,35	11,55	0,414343
11,55	21,55	0,261516

Spinte sui piedritti

Piedritto sinistro Pressione sup. 0,176685 [kg/cmq] Pressione inf. 0,362840 [kg/cmq]
 Piedritto destro Pressione sup. 0,176685 [kg/cmq] Pressione inf. 0,362840 [kg/cmq]

Spinte sismiche sui piedritti

Piedritto destro Pressione sup. 0,467105 [kg/cmq] Pressione inf. 0,467105 [kg/cmq]

Falda

Pressione in calotta 0,1000[kg/cmq]
 Spinta 127,68[kN]
 Sottospinta 0,5200[kg/cmq]

Analisi della combinazione n° 13

Pressione in calotta(solo peso terreno) 0,261516 [kg/cmq]

Carichi verticali in calotta

Xi	Xj	Q[kg/cmq]
-15,35	-5,35	0,261516
-5,35	11,55	0,414343
11,55	21,55	0,261516

Spinte sui piedritti

Piedritto sinistro Pressione sup. 0,176685 [kg/cmq] Pressione inf. 0,362840 [kg/cmq]
 Piedritto destro Pressione sup. 0,176685 [kg/cmq] Pressione inf. 0,362840 [kg/cmq]

Spinte sismiche sui piedritti

Piedritto destro Pressione sup. 0,467105 [kg/cmq] Pressione inf. 0,467105 [kg/cmq]

Falda

Pressione in calotta 0,1000[kg/cmq]
 Spinta 127,68[kN]
 Sottospinta 0,5200[kg/cmq]

Analisi della combinazione n° 14

Pressione in calotta(solo peso terreno) 0,261516 [kg/cmq]

Carichi verticali in calotta

Xi	Xj	Q[kg/cmq]
-15,35	-5,35	0,261516
-5,35	11,55	0,414343
11,55	21,55	0,261516

Spinte sui piedritti

Piedritto sinistro Pressione sup. 0,176685 [kg/cmq] Pressione inf. 0,362840 [kg/cmq]
 Piedritto destro Pressione sup. 0,176685 [kg/cmq] Pressione inf. 0,362840 [kg/cmq]

Falda

Pressione in calotta 0,1000[kg/cmq]
 Spinta 127,68[kN]
 Sottospinta 0,5200[kg/cmq]

Analisi della combinazione n° 15

Pressione in calotta(solo peso terreno) 0,261516 [kg/cmq]

Carichi verticali in calotta

Xi	Xj	Q[kg/cmq]
-15,35	-5,35	0,261516
-5,35	11,55	0,414343
11,55	21,55	0,261516

Spinte sui piedritti

Piedritto sinistro Pressione sup. 0,176685 [kg/cmq] Pressione inf. 0,362840 [kg/cmq]
 Piedritto destro Pressione sup. 0,176685 [kg/cmq] Pressione inf. 0,362840 [kg/cmq]

Falda

Pressione in calotta 0,1000[kg/cmq]
 Spinta 127,68[kN]
 Sottospinta 0,5200[kg/cmq]

Analisi della combinazione n° 16

Pressione in calotta(solo peso terreno) 0,261516 [kg/cmq]

Carichi verticali in calotta

Xi	Xj	Q[kg/cmq]
-15,35	-5,35	0,261516
-5,35	-1,15	0,414343
-1,15	-0,55	0,464492
-0,55	2,95	0,668807
2,95	7,35	0,464492
7,35	11,55	0,414343
11,55	21,55	0,261516

Spinte sui piedritti

Piedritto sinistro Pressione sup. 0,215650 [kg/cmq] Pressione inf. 0,401804 [kg/cmq]
 Piedritto destro Pressione sup. 0,189862 [kg/cmq] Pressione inf. 0,376016 [kg/cmq]

Falda

Pressione in calotta 0,1000[kg/cmq]
 Spinta 127,68[kN]
 Sottospinta 0,5200[kg/cmq]

Analisi della combinazione n° 17

Pressione in calotta(solo peso terreno) 0,261516 [kg/cmq]

Carichi verticali in calotta

Xi	Xj	Q[kg/cmq]
-15,35	-5,35	0,261516
-5,35	-1,15	0,414343
-1,15	1,35	0,464492
1,35	4,85	0,668807
4,85	7,35	0,464492
7,35	11,55	0,414343
11,55	21,55	0,261516

Spinte sui piedritti

Piedritto sinistro Pressione sup. 0,189862 [kg/cmq] Pressione inf. 0,376016 [kg/cmq]
 Piedritto destro Pressione sup. 0,189862 [kg/cmq] Pressione inf. 0,376016 [kg/cmq]

Falda

Pressione in calotta 0,1000[kg/cmq]
 Spinta 127,68[kN]
 Sottospinta 0,5200[kg/cmq]

Analisi della combinazione n° 18

Pressione in calotta(solo peso terreno) 0,261516 [kg/cmq]

Carichi verticali in calotta

Xi	Xj	Q[kg/cmq]
-15,35	-5,35	0,261516
-5,35	-1,15	0,414343
-1,15	3,25	0,464492
3,25	6,75	0,668807
6,75	7,35	0,464492
7,35	11,55	0,414343
11,55	21,55	0,261516

Spinte sui piedritti

Piedritto sinistro Pressione sup. 0,189862 [kg/cmq] Pressione inf. 0,376016 [kg/cmq]
 Piedritto destro Pressione sup. 0,215650 [kg/cmq] Pressione inf. 0,401804 [kg/cmq]

Falda

Pressione in calotta 0,1000[kg/cmq]
 Spinta 127,68[kN]
 Sottospinta 0,5200[kg/cmq]

Analisi della combinazione n° 19

Pressione in calotta(solo peso terreno) 0,261516 [kg/cmq]

Carichi verticali in calotta

Xi	Xj	Q[kg/cmq]
-15,35	-5,35	0,261516
-5,35	-1,15	0,414343
-1,15	-0,55	0,564792
-0,55	1,35	0,769107
1,35	2,95	0,973421
2,95	3,25	0,769107
3,25	4,85	0,973421
4,85	6,75	0,769107
6,75	7,35	0,564792
7,35	11,55	0,414343
11,55	21,55	0,261516

Spinte sui piedritti

Piedritto sinistro Pressione sup. 0,242003 [kg/cmq] Pressione inf. 0,428157 [kg/cmq]
 Piedritto destro Pressione sup. 0,242003 [kg/cmq] Pressione inf. 0,428157 [kg/cmq]

Falda

Pressione in calotta 0,1000[kg/cmq]
 Spinta 127,68[kN]
 Sottospinta 0,5200[kg/cmq]

Analisi della combinazione n° 20

Pressione in calotta(solo peso terreno) 0,261516 [kg/cmq]

Carichi verticali in calotta

Xi	Xj	Q[kg/cmq]
-15,35	-5,35	0,261516
-5,35	-1,15	0,414343
-1,15	-0,55	0,581508

-0,55	1,35	0,853928
1,35	2,95	1,058243
2,95	3,25	0,785823
3,25	4,85	0,990138
4,85	6,75	0,785823
6,75	7,35	0,581508
7,35	11,55	0,414343
11,55	21,55	0,261516

Spinte sui piedritti

Piedritto sinistro Pressione sup. 0,254991 [kg/cmq] Pressione inf. 0,441146 [kg/cmq]
 Piedritto destro Pressione sup. 0,246395 [kg/cmq] Pressione inf. 0,432550 [kg/cmq]

Falda

Pressione in calotta 0,1000[kg/cmq]
 Spinta 127,68[kN]
 Sottospinta 0,5200[kg/cmq]

Analisi della combinazione n° 21

Pressione in calotta(solo peso terreno) 0,261516 [kg/cmq]

Carichi verticali in calotta

Xi	Xj	Q[kg/cmq]
-15,35	-5,35	0,261516
-5,35	-1,15	0,414343
-1,15	-0,55	0,581508
-0,55	1,35	0,785823
1,35	2,95	1,058243
2,95	3,25	0,853928
3,25	4,85	1,058243
4,85	6,75	0,785823
6,75	7,35	0,581508
7,35	11,55	0,414343
11,55	21,55	0,261516

Spinte sui piedritti

Piedritto sinistro Pressione sup. 0,246395 [kg/cmq] Pressione inf. 0,432550 [kg/cmq]
 Piedritto destro Pressione sup. 0,246395 [kg/cmq] Pressione inf. 0,432550 [kg/cmq]

Falda

Pressione in calotta 0,1000[kg/cmq]
 Spinta 127,68[kN]
 Sottospinta 0,5200[kg/cmq]

Analisi della combinazione n° 22

Pressione in calotta(solo peso terreno) 0,261516 [kg/cmq]

Carichi verticali in calotta

Xi	Xj	Q[kg/cmq]
-15,35	-5,35	0,261516
-5,35	-1,15	0,414343
-1,15	-0,55	0,581508
-0,55	1,35	0,785823
1,35	2,95	0,990138
2,95	3,25	0,785823
3,25	4,85	1,058243
4,85	6,75	0,853928
6,75	7,35	0,581508
7,35	11,55	0,414343
11,55	21,55	0,261516

Spinte sui piedritti

Piedritto sinistro Pressione sup. 0,246395 [kg/cmq] Pressione inf. 0,432550 [kg/cmq]
 Piedritto destro Pressione sup. 0,254991 [kg/cmq] Pressione inf. 0,441146 [kg/cmq]

Falda

Pressione in calotta 0,1000[kg/cmq]
 Spinta 127,68[kN]
 Sottospinta 0,5200[kg/cmq]

Analisi della combinazione n° 23

Pressione in calotta(solo peso terreno) 0,261516 [kg/cmq]

Carichi verticali in calotta

Xi	Xj	Q[kg/cmq]
-15,35	-5,35	0,261516
-5,35	11,55	0,414343
11,55	21,55	0,261516

Spinte sui piedritti

Piedritto sinistro Pressione sup. 0,176685 [kg/cmq] Pressione inf. 0,362840 [kg/cmq]
 Piedritto destro Pressione sup. 0,176685 [kg/cmq] Pressione inf. 0,362840 [kg/cmq]

Spinte sismiche sui piedritti

Piedritto sinistro Pressione sup. 0,208845 [kg/cmq] Pressione inf. 0,208845 [kg/cmq]

Falda

Pressione in calotta 0,1000[kg/cmq]
 Spinta 127,68[kN]
 Sottospinta 0,5200[kg/cmq]

Analisi della combinazione n° 24

Pressione in calotta(solo peso terreno) 0,261516 [kg/cmq]

Carichi verticali in calotta

Xi	Xj	Q[kg/cmq]
-15,35	-5,35	0,261516
-5,35	11,55	0,414343
11,55	21,55	0,261516

Spinte sui piedritti

Piedritto sinistro Pressione sup. 0,176685 [kg/cmq] Pressione inf. 0,362840 [kg/cmq]
 Piedritto destro Pressione sup. 0,176685 [kg/cmq] Pressione inf. 0,362840 [kg/cmq]

Spinte sismiche sui piedritti

Piedritto sinistro Pressione sup. 0,208845 [kg/cmq] Pressione inf. 0,208845 [kg/cmq]

Falda

Pressione in calotta	0,1000[kg/cmq]
Spinta	127,68[kN]
Sottospinta	0,5200[kg/cmq]

Analisi della combinazione n° 25

Pressione in calotta(solo peso terreno) 0,261516 [kg/cmq]

Carichi verticali in calotta

Xi	Xj	Q[kg/cmq]
-15,35	-5,35	0,261516
-5,35	11,55	0,414343
11,55	21,55	0,261516

Spinte sui piedritti

Piedritto sinistro Pressione sup. 0,176685 [kg/cmq] Pressione inf. 0,362840 [kg/cmq]
 Piedritto destro Pressione sup. 0,176685 [kg/cmq] Pressione inf. 0,362840 [kg/cmq]

Spinte sismiche sui piedritti

Piedritto destro Pressione sup. 0,208845 [kg/cmq] Pressione inf. 0,208845 [kg/cmq]

Falda

Pressione in calotta	0,1000[kg/cmq]
----------------------	----------------

Spinta	127,68[kN]
Sottospinta	0,5200[kg/cm ²]

Analisi della combinazione n° 26

Pressione in calotta(solo peso terreno) 0,261516 [kg/cm²]

Carichi verticali in calotta

Xi	Xj	Q[kg/cm ²]
-15,35	-5,35	0,261516
-5,35	11,55	0,414343
11,55	21,55	0,261516

Spinte sui piedritti

Piedritto sinistro Pressione sup. 0,176685 [kg/cm²] Pressione inf. 0,362840 [kg/cm²]
 Piedritto destro Pressione sup. 0,176685 [kg/cm²] Pressione inf. 0,362840 [kg/cm²]

Spinte sismiche sui piedritti

Piedritto destro Pressione sup. 0,208845 [kg/cm²] Pressione inf. 0,208845 [kg/cm²]

Falda

Pressione in calotta	0,1000[kg/cm ²]
Spinta	127,68[kN]
Sottospinta	0,5200[kg/cm ²]

Analisi della combinazione n° 27

Pressione in calotta(solo peso terreno) 0,261516 [kg/cm²]

Carichi verticali in calotta

Xi	Xj	Q[kg/cm ²]
-15,35	-5,35	0,261516
-5,35	11,55	0,414343
11,55	21,55	0,261516

Spinte sui piedritti

Piedritto sinistro Pressione sup. 0,176685 [kg/cm²] Pressione inf. 0,362840 [kg/cm²]
 Piedritto destro Pressione sup. 0,176685 [kg/cm²] Pressione inf. 0,362840 [kg/cm²]

Spinte sismiche sui piedritti

Piedritto sinistro Pressione sup. 0,208845 [kg/cm²] Pressione inf. 0,208845 [kg/cm²]

Falda

Pressione in calotta	0,1000[kg/cmq]
Spinta	127,68[kN]
Sottospinta	0,5200[kg/cmq]

Analisi della combinazione n° 28

Pressione in calotta(solo peso terreno) 0,261516 [kg/cmq]

Carichi verticali in calotta

Xi	Xj	Q[kg/cmq]
-15,35	-5,35	0,261516
-5,35	11,55	0,414343
11,55	21,55	0,261516

Spinte sui piedritti

Piedritto sinistro Pressione sup. 0,176685 [kg/cmq] Pressione inf. 0,362840 [kg/cmq]
 Piedritto destro Pressione sup. 0,176685 [kg/cmq] Pressione inf. 0,362840 [kg/cmq]

Spinte sismiche sui piedritti

Piedritto sinistro Pressione sup. 0,208845 [kg/cmq] Pressione inf. 0,208845 [kg/cmq]

Falda

Pressione in calotta	0,1000[kg/cmq]
Spinta	127,68[kN]
Sottospinta	0,5200[kg/cmq]

Analisi della combinazione n° 29

Pressione in calotta(solo peso terreno) 0,261516 [kg/cmq]

Carichi verticali in calotta

Xi	Xj	Q[kg/cmq]
-15,35	-5,35	0,261516
-5,35	11,55	0,414343
11,55	21,55	0,261516

Spinte sui piedritti

Piedritto sinistro Pressione sup. 0,176685 [kg/cmq] Pressione inf. 0,362840 [kg/cmq]
 Piedritto destro Pressione sup. 0,176685 [kg/cmq] Pressione inf. 0,362840 [kg/cmq]

Spinte sismiche sui piedritti

Piedritto destro Pressione sup. 0,208845 [kg/cmq] Pressione inf. 0,208845 [kg/cmq]

Falda

Pressione in calotta	0,1000[kg/cmq]
Spinta	127,68[kN]
Sottospinta	0,5200[kg/cmq]

Analisi della combinazione n° 30

Pressione in calotta(solo peso terreno) 0,261516 [kg/cmq]

Carichi verticali in calotta

Xi	Xj	Q[kg/cmq]
-15,35	-5,35	0,261516
-5,35	11,55	0,414343
11,55	21,55	0,261516

Spinte sui piedritti

Piedritto sinistro Pressione sup. 0,176685 [kg/cmq] Pressione inf. 0,362840 [kg/cmq]
 Piedritto destro Pressione sup. 0,176685 [kg/cmq] Pressione inf. 0,362840 [kg/cmq]

Spinte sismiche sui piedritti

Piedritto destro Pressione sup. 0,208845 [kg/cmq] Pressione inf. 0,208845 [kg/cmq]

Falda

Pressione in calotta	0,1000[kg/cmq]
Spinta	127,68[kN]
Sottospinta	0,5200[kg/cmq]

Analisi della combinazione n° 31

Pressione in calotta(solo peso terreno) 0,261516 [kg/cmq]

Carichi verticali in calotta

Xi	Xj	Q[kg/cmq]
-15,35	-5,35	0,261516
-5,35	11,55	0,414343
11,55	21,55	0,261516

Spinte sui piedritti

Piedritto sinistro Pressione sup. 0,176685 [kg/cmq] Pressione inf. 0,362840 [kg/cmq]
 Piedritto destro Pressione sup. 0,176685 [kg/cmq] Pressione inf. 0,362840 [kg/cmq]

Spinte sismiche sui piedritti

Piedritto sinistro Pressione sup. 0,208845 [kg/cmq] Pressione inf. 0,208845 [kg/cmq]

Falda

Pressione in calotta 0,1000[kg/cmq]
 Spinta 127,68[kN]
 Sottospinta 0,5200[kg/cmq]

Analisi della combinazione n° 32

Pressione in calotta(solo peso terreno) 0,261516 [kg/cmq]

Carichi verticali in calotta

Xi	Xj	Q[kg/cmq]
-15,35	-5,35	0,261516
-5,35	11,55	0,414343
11,55	21,55	0,261516

Spinte sui piedritti

Piedritto sinistro Pressione sup. 0,176685 [kg/cmq] Pressione inf. 0,362840 [kg/cmq]
 Piedritto destro Pressione sup. 0,176685 [kg/cmq] Pressione inf. 0,362840 [kg/cmq]

Spinte sismiche sui piedritti

Piedritto sinistro Pressione sup. 0,208845 [kg/cmq] Pressione inf. 0,208845 [kg/cmq]

Falda

Pressione in calotta 0,1000[kg/cmq]
 Spinta 127,68[kN]
 Sottospinta 0,5200[kg/cmq]

Analisi della combinazione n° 33

Pressione in calotta(solo peso terreno) 0,261516 [kg/cmq]

Carichi verticali in calotta

Xi	Xj	Q[kg/cmq]
-15,35	-5,35	0,261516
-5,35	11,55	0,414343
11,55	21,55	0,261516

Spinte sui piedritti

Piedritto sinistro Pressione sup. 0,176685 [kg/cmq] Pressione inf. 0,362840 [kg/cmq]
 Piedritto destro Pressione sup. 0,176685 [kg/cmq] Pressione inf. 0,362840 [kg/cmq]

Spinte sismiche sui piedritti

Piedritto destro Pressione sup. 0,208845 [kg/cmq] Pressione inf. 0,208845 [kg/cmq]

Falda

Pressione in calotta 0,1000[kg/cmq]
 Spinta 127,68[kN]
 Sottospinta 0,5200[kg/cmq]

Analisi della combinazione n° 34

Pressione in calotta(solo peso terreno) 0,261516 [kg/cmq]

Carichi verticali in calotta

Xi	Xj	Q[kg/cmq]
-15,35	-5,35	0,261516
-5,35	11,55	0,414343
11,55	21,55	0,261516

Spinte sui piedritti

Piedritto sinistro Pressione sup. 0,176685 [kg/cmq] Pressione inf. 0,362840 [kg/cmq]
 Piedritto destro Pressione sup. 0,176685 [kg/cmq] Pressione inf. 0,362840 [kg/cmq]

Spinte sismiche sui piedritti

Piedritto destro Pressione sup. 0,208845 [kg/cmq] Pressione inf. 0,208845 [kg/cmq]

Falda

Pressione in calotta 0,1000[kg/cmq]
 Spinta 127,68[kN]
 Sottospinta 0,5200[kg/cmq]

Spostamenti**Spostamenti fondazione (Combinazione n° 1)**

X [m]	u _x [cm]	u _y [cm]
0,30	0,002	0,183
1,66	0,001	0,128
3,10	0,000	0,098
4,54	-0,001	0,128
5,90	-0,002	0,183

Spostamenti traverso (Combinazione n° 1)

X [m]	u _x [cm]	u _y [cm]
0,30	0,001	0,188
1,70	0,001	0,241
3,10	0,000	0,268
4,50	-0,001	0,241
5,90	-0,001	0,188

Spostamenti piedritto sinistro (Combinazione n° 1)

Y [m]	u _x [cm]	u _y [cm]
0,30	0,002	0,183
2,10	-0,023	0,186
3,90	0,001	0,188

Spostamenti piedritto destro (Combinazione n° 1)

Y [m]	u _x [cm]	u _y [cm]
0,30	-0,002	0,183
2,10	0,023	0,186
3,90	-0,001	0,188

Spostamenti fondazione (Combinazione n° 2)

X [m]	u _x [cm]	u _y [cm]
0,30	0,004	0,238
1,66	0,002	0,159
3,10	0,000	0,115
4,54	-0,002	0,159
5,90	-0,004	0,238

Spostamenti traverso (Combinazione n° 2)

X [m]	u _x [cm]	u _y [cm]
0,30	0,004	0,246
1,70	0,002	0,331
3,10	0,000	0,376
4,50	-0,002	0,331
5,90	-0,004	0,246

Spostamenti piedritto sinistro (Combinazione n° 2)

Y [m]	u _x [cm]	u _y [cm]
0,30	0,004	0,238

2,10	-0,025	0,242
3,90	0,004	0,246

Spostamenti piedritto destro (Combinazione n° 2)

Y [m]	u _x [cm]	u _y [cm]
0,30	-0,004	0,238
2,10	0,025	0,242
3,90	-0,004	0,246

Spostamenti fondazione (Combinazione n° 3)

X [m]	u _x [cm]	u _y [cm]
0,30	0,008	0,253
1,66	0,006	0,168
3,10	0,004	0,120
4,54	0,002	0,163
5,90	-0,001	0,242

Spostamenti traverso (Combinazione n° 3)

X [m]	u _x [cm]	u _y [cm]
0,30	0,002	0,261
1,70	0,000	0,346
3,10	-0,002	0,389
4,50	-0,003	0,339
5,90	-0,005	0,250

Spostamenti piedritto sinistro (Combinazione n° 3)

Y [m]	u _x [cm]	u _y [cm]
0,30	0,008	0,253
2,10	-0,024	0,257
3,90	0,002	0,261

Spostamenti piedritto destro (Combinazione n° 3)

Y [m]	u _x [cm]	u _y [cm]
0,30	-0,001	0,242
2,10	0,026	0,246
3,90	-0,005	0,250

Spostamenti fondazione (Combinazione n° 4)

X [m]	u _x [cm]	u _y [cm]
0,30	0,004	0,250
1,66	0,002	0,167
3,10	0,000	0,121
4,54	-0,002	0,167
5,90	-0,004	0,250

Spostamenti traverso (Combinazione n° 4)

X [m]	u _x [cm]	u _y [cm]
0,30	0,004	0,258
1,70	0,002	0,348
3,10	0,000	0,395
4,50	-0,002	0,348

5,90	-0,004	0,258
------	--------	-------

Spostamenti piedritto sinistro (Combinazione n° 4)

Y [m]	u _x [cm]	u _y [cm]
0,30	0,004	0,250
2,10	-0,026	0,254
3,90	0,004	0,258

Spostamenti piedritto destro (Combinazione n° 4)

Y [m]	u _x [cm]	u _y [cm]
0,30	-0,004	0,250
2,10	0,026	0,254
3,90	-0,004	0,258

Spostamenti fondazione (Combinazione n° 5)

X [m]	u _x [cm]	u _y [cm]
0,30	0,001	0,242
1,66	-0,002	0,163
3,10	-0,004	0,120
4,54	-0,006	0,168
5,90	-0,008	0,253

Spostamenti traverso (Combinazione n° 5)

X [m]	u _x [cm]	u _y [cm]
0,30	0,005	0,250
1,70	0,003	0,339
3,10	0,002	0,389
4,50	0,000	0,346
5,90	-0,002	0,261

Spostamenti piedritto sinistro (Combinazione n° 5)

Y [m]	u _x [cm]	u _y [cm]
0,30	0,001	0,242
2,10	-0,026	0,246
3,90	0,005	0,250

Spostamenti piedritto destro (Combinazione n° 5)

Y [m]	u _x [cm]	u _y [cm]
0,30	-0,008	0,253
2,10	0,024	0,257
3,90	-0,002	0,261

Spostamenti fondazione (Combinazione n° 6)

X [m]	u _x [cm]	u _y [cm]
0,30	0,145	0,133
1,66	0,143	0,103
3,10	0,142	0,085
4,54	0,140	0,108
5,90	0,139	0,146

Spostamenti traverso (Combinazione n° 6)

X [m]	u _x [cm]	u _y [cm]
0,30	0,161	0,136
1,70	0,160	0,169
3,10	0,158	0,189
4,50	0,157	0,175
5,90	0,156	0,150

Spostamenti piedritto sinistro (Combinazione n° 6)

Y [m]	u _x [cm]	u _y [cm]
0,30	0,145	0,133
2,10	0,149	0,135
3,90	0,161	0,136

Spostamenti piedritto destro (Combinazione n° 6)

Y [m]	u _x [cm]	u _y [cm]
0,30	0,139	0,146
2,10	0,152	0,148
3,90	0,156	0,150

Spostamenti fondazione (Combinazione n° 7)

X [m]	u _x [cm]	u _y [cm]
0,30	0,146	0,108
1,66	0,145	0,086
3,10	0,144	0,071
4,54	0,142	0,091
5,90	0,141	0,122

Spostamenti traverso (Combinazione n° 7)

X [m]	u _x [cm]	u _y [cm]
0,30	0,163	0,111
1,70	0,162	0,140
3,10	0,160	0,157
4,50	0,159	0,145
5,90	0,157	0,125

Spostamenti piedritto sinistro (Combinazione n° 7)

Y [m]	u _x [cm]	u _y [cm]
0,30	0,146	0,108
2,10	0,154	0,110
3,90	0,163	0,111

Spostamenti piedritto destro (Combinazione n° 7)

Y [m]	u _x [cm]	u _y [cm]
0,30	0,141	0,122
2,10	0,150	0,124
3,90	0,157	0,125

Spostamenti fondazione (Combinazione n° 8)

X [m]	u _x [cm]	u _y [cm]
0,30	0,114	0,108
1,66	0,113	0,076
3,10	0,111	0,058
4,54	0,110	0,081
5,90	0,108	0,119

Spostamenti traverso (Combinazione n° 8)

X [m]	u _x [cm]	u _y [cm]
0,30	0,126	0,112
1,70	0,125	0,147
3,10	0,124	0,167
4,50	0,123	0,151
5,90	0,121	0,123

Spostamenti piedritto sinistro (Combinazione n° 8)

Y [m]	u _x [cm]	u _y [cm]
0,30	0,114	0,108
2,10	0,113	0,110
3,90	0,126	0,112

Spostamenti piedritto destro (Combinazione n° 8)

Y [m]	u _x [cm]	u _y [cm]
0,30	0,108	0,119
2,10	0,121	0,121
3,90	0,121	0,123

Spostamenti fondazione (Combinazione n° 9)

X [m]	u _x [cm]	u _y [cm]
0,30	0,116	0,083
1,66	0,114	0,059
3,10	0,113	0,044
4,54	0,112	0,063
5,90	0,110	0,094

Spostamenti traverso (Combinazione n° 9)

X [m]	u _x [cm]	u _y [cm]
0,30	0,128	0,087
1,70	0,127	0,117
3,10	0,126	0,135
4,50	0,125	0,121
5,90	0,123	0,098

Spostamenti piedritto sinistro (Combinazione n° 9)

Y [m]	u _x [cm]	u _y [cm]
0,30	0,116	0,083
2,10	0,119	0,085
3,90	0,128	0,087

Spostamenti piedritto destro (Combinazione n° 9)

Y [m]	u _x [cm]	u _y [cm]
0,30	0,110	0,094
2,10	0,120	0,096
3,90	0,123	0,098

Spostamenti fondazione (Combinazione n° 10)

X [m]	u _x [cm]	u _y [cm]
0,30	-0,139	0,146
1,66	-0,140	0,108
3,10	-0,142	0,085
4,54	-0,143	0,103
5,90	-0,145	0,133

Spostamenti traverso (Combinazione n° 10)

X [m]	u _x [cm]	u _y [cm]
0,30	-0,156	0,150
1,70	-0,157	0,175
3,10	-0,158	0,189
4,50	-0,160	0,169
5,90	-0,161	0,136

Spostamenti piedritto sinistro (Combinazione n° 10)

Y [m]	u _x [cm]	u _y [cm]
0,30	-0,139	0,146
2,10	-0,152	0,148
3,90	-0,156	0,150

Spostamenti piedritto destro (Combinazione n° 10)

Y [m]	u _x [cm]	u _y [cm]
0,30	-0,145	0,133
2,10	-0,149	0,135
3,90	-0,161	0,136

Spostamenti fondazione (Combinazione n° 11)

X [m]	u _x [cm]	u _y [cm]
0,30	-0,141	0,122
1,66	-0,142	0,091
3,10	-0,144	0,071
4,54	-0,145	0,086
5,90	-0,146	0,108

Spostamenti traverso (Combinazione n° 11)

X [m]	u _x [cm]	u _y [cm]
0,30	-0,157	0,125
1,70	-0,159	0,145
3,10	-0,160	0,157
4,50	-0,162	0,140
5,90	-0,163	0,111

Spostamenti piedritto sinistro (Combinazione n° 11)

Y [m]	u _x [cm]	u _y [cm]
0,30	-0,141	0,122
2,10	-0,150	0,124
3,90	-0,157	0,125

Spostamenti piedritto destro (Combinazione n° 11)

Y [m]	u _x [cm]	u _y [cm]
0,30	-0,146	0,108
2,10	-0,154	0,110
3,90	-0,163	0,111

Spostamenti fondazione (Combinazione n° 12)

X [m]	u _x [cm]	u _y [cm]
0,30	-0,108	0,119
1,66	-0,110	0,081
3,10	-0,111	0,058
4,54	-0,113	0,076
5,90	-0,114	0,108

Spostamenti traverso (Combinazione n° 12)

X [m]	u _x [cm]	u _y [cm]
0,30	-0,121	0,123
1,70	-0,123	0,151
3,10	-0,124	0,167
4,50	-0,125	0,147
5,90	-0,126	0,112

Spostamenti piedritto sinistro (Combinazione n° 12)

Y [m]	u _x [cm]	u _y [cm]
0,30	-0,108	0,119
2,10	-0,121	0,121
3,90	-0,121	0,123

Spostamenti piedritto destro (Combinazione n° 12)

Y [m]	u _x [cm]	u _y [cm]
0,30	-0,114	0,108
2,10	-0,113	0,110
3,90	-0,126	0,112

Spostamenti fondazione (Combinazione n° 13)

X [m]	u _x [cm]	u _y [cm]
0,30	-0,110	0,094
1,66	-0,112	0,063
3,10	-0,113	0,044
4,54	-0,114	0,059
5,90	-0,116	0,083

Spostamenti traverso (Combinazione n° 13)

X [m]	u _x [cm]	u _y [cm]
0,30	-0,123	0,098
1,70	-0,125	0,121
3,10	-0,126	0,135
4,50	-0,127	0,117
5,90	-0,128	0,087

Spostamenti piedritto sinistro (Combinazione n° 13)

Y [m]	u _x [cm]	u _y [cm]
0,30	-0,110	0,094
2,10	-0,120	0,096
3,90	-0,123	0,098

Spostamenti piedritto destro (Combinazione n° 13)

Y [m]	u _x [cm]	u _y [cm]
0,30	-0,116	0,083
2,10	-0,119	0,085
3,90	-0,128	0,087

Spostamenti fondazione (Combinazione n° 14)

X [m]	u _x [cm]	u _y [cm]
0,30	0,002	0,109
1,66	0,001	0,069
3,10	0,000	0,047
4,54	-0,001	0,069
5,90	-0,002	0,109

Spostamenti traverso (Combinazione n° 14)

X [m]	u _x [cm]	u _y [cm]
0,30	0,001	0,113
1,70	0,001	0,151
3,10	0,000	0,171
4,50	-0,001	0,151
5,90	-0,001	0,113

Spostamenti piedritto sinistro (Combinazione n° 14)

Y [m]	u _x [cm]	u _y [cm]
0,30	0,002	0,109
2,10	-0,015	0,111
3,90	0,001	0,113

Spostamenti piedritto destro (Combinazione n° 14)

Y [m]	u _x [cm]	u _y [cm]
0,30	-0,002	0,109
2,10	0,015	0,111
3,90	-0,001	0,113

Spostamenti fondazione (Combinazione n° 15)

X [m]	u _x [cm]	u _y [cm]
-------	---------------------	---------------------

0,30	0,002	0,109
1,66	0,001	0,069
3,10	0,000	0,047
4,54	-0,001	0,069
5,90	-0,002	0,109

Spostamenti trasverso (Combinazione n° 15)

X [m]	u _x [cm]	u _y [cm]
0,30	0,001	0,113
1,70	0,001	0,151
3,10	0,000	0,171
4,50	-0,001	0,151
5,90	-0,001	0,113

Spostamenti piedritto sinistro (Combinazione n° 15)

Y [m]	u _x [cm]	u _y [cm]
0,30	0,002	0,109
2,10	-0,015	0,111
3,90	0,001	0,113

Spostamenti piedritto destro (Combinazione n° 15)

Y [m]	u _x [cm]	u _y [cm]
0,30	-0,002	0,109
2,10	0,015	0,111
3,90	-0,001	0,113

Spostamenti fondazione (Combinazione n° 16)

X [m]	u _x [cm]	u _y [cm]
0,30	0,010	0,141
1,66	0,009	0,089
3,10	0,008	0,058
4,54	0,007	0,077
5,90	0,006	0,116

Spostamenti trasverso (Combinazione n° 16)

X [m]	u _x [cm]	u _y [cm]
0,30	-0,002	0,146
1,70	-0,002	0,186
3,10	-0,003	0,201
4,50	-0,004	0,170
5,90	-0,005	0,120

Spostamenti piedritto sinistro (Combinazione n° 16)

Y [m]	u _x [cm]	u _y [cm]
0,30	0,010	0,141
2,10	-0,013	0,144
3,90	-0,002	0,146

Spostamenti piedritto destro (Combinazione n° 16)

Y [m]	u _x [cm]	u _y [cm]
-------	---------------------	---------------------

0,30	0,006	0,116
2,10	0,017	0,118
3,90	-0,005	0,120

Spostamenti fondazione (Combinazione n° 17)

X [m]	u _x [cm]	u _y [cm]
0,30	0,002	0,134
1,66	0,001	0,086
3,10	0,000	0,060
4,54	-0,001	0,086
5,90	-0,002	0,134

Spostamenti traverso (Combinazione n° 17)

X [m]	u _x [cm]	u _y [cm]
0,30	0,002	0,139
1,70	0,001	0,189
3,10	0,000	0,215
4,50	-0,001	0,189
5,90	-0,002	0,139

Spostamenti piedritto sinistro (Combinazione n° 17)

Y [m]	u _x [cm]	u _y [cm]
0,30	0,002	0,134
2,10	-0,017	0,136
3,90	0,002	0,139

Spostamenti piedritto destro (Combinazione n° 17)

Y [m]	u _x [cm]	u _y [cm]
0,30	-0,002	0,134
2,10	0,017	0,136
3,90	-0,002	0,139

Spostamenti fondazione (Combinazione n° 18)

X [m]	u _x [cm]	u _y [cm]
0,30	-0,006	0,116
1,66	-0,007	0,077
3,10	-0,008	0,058
4,54	-0,009	0,089
5,90	-0,010	0,141

Spostamenti traverso (Combinazione n° 18)

X [m]	u _x [cm]	u _y [cm]
0,30	0,005	0,120
1,70	0,004	0,170
3,10	0,003	0,201
4,50	0,002	0,186
5,90	0,002	0,146

Spostamenti piedritto sinistro (Combinazione n° 18)

Y [m]	u _x [cm]	u _y [cm]
0,30	-0,006	0,116
2,10	-0,017	0,118
3,90	0,005	0,120

Spostamenti piedritto destro (Combinazione n° 18)

Y [m]	u _x [cm]	u _y [cm]
0,30	-0,010	0,141
2,10	0,013	0,144
3,90	0,002	0,146

Spostamenti fondazione (Combinazione n° 19)

X [m]	u _x [cm]	u _y [cm]
0,30	0,003	0,174
1,66	0,002	0,115
3,10	0,000	0,082
4,54	-0,002	0,115
5,90	-0,003	0,174

Spostamenti traverso (Combinazione n° 19)

X [m]	u _x [cm]	u _y [cm]
0,30	0,003	0,180
1,70	0,001	0,242
3,10	0,000	0,275
4,50	-0,001	0,242
5,90	-0,003	0,180

Spostamenti piedritto sinistro (Combinazione n° 19)

Y [m]	u _x [cm]	u _y [cm]
0,30	0,003	0,174
2,10	-0,018	0,177
3,90	0,003	0,180

Spostamenti piedritto destro (Combinazione n° 19)

Y [m]	u _x [cm]	u _y [cm]
0,30	-0,003	0,174
2,10	0,018	0,177
3,90	-0,003	0,180

Spostamenti fondazione (Combinazione n° 20)

X [m]	u _x [cm]	u _y [cm]
0,30	0,006	0,185
1,66	0,004	0,122
3,10	0,003	0,086
4,54	0,001	0,118
5,90	0,000	0,176

Spostamenti traverso (Combinazione n° 20)

X [m]	u _x [cm]	u _y [cm]
0,30	0,002	0,191
1,70	0,000	0,254

3,10	-0,001	0,285
4,50	-0,003	0,249
5,90	-0,004	0,182

Spostamenti piedritto sinistro (Combinazione n° 20)

Y [m]	u _x [cm]	u _y [cm]
0,30	0,006	0,185
2,10	-0,017	0,188
3,90	0,002	0,191

Spostamenti piedritto destro (Combinazione n° 20)

Y [m]	u _x [cm]	u _y [cm]
0,30	0,000	0,176
2,10	0,019	0,179
3,90	-0,004	0,182

Spostamenti fondazione (Combinazione n° 21)

X [m]	u _x [cm]	u _y [cm]
0,30	0,003	0,182
1,66	0,002	0,121
3,10	0,000	0,086
4,54	-0,002	0,121
5,90	-0,003	0,182

Spostamenti traverso (Combinazione n° 21)

X [m]	u _x [cm]	u _y [cm]
0,30	0,003	0,189
1,70	0,001	0,255
3,10	0,000	0,290
4,50	-0,001	0,255
5,90	-0,003	0,189

Spostamenti piedritto sinistro (Combinazione n° 21)

Y [m]	u _x [cm]	u _y [cm]
0,30	0,003	0,182
2,10	-0,019	0,185
3,90	0,003	0,189

Spostamenti piedritto destro (Combinazione n° 21)

Y [m]	u _x [cm]	u _y [cm]
0,30	-0,003	0,182
2,10	0,019	0,185
3,90	-0,003	0,189

Spostamenti fondazione (Combinazione n° 22)

X [m]	u _x [cm]	u _y [cm]
0,30	0,000	0,176
1,66	-0,001	0,118
3,10	-0,003	0,086

4,54	-0,004	0,122
5,90	-0,006	0,185

Spostamenti traverso (Combinazione n° 22)

X [m]	u _x [cm]	u _y [cm]
0,30	0,004	0,182
1,70	0,003	0,249
3,10	0,001	0,285
4,50	0,000	0,254
5,90	-0,002	0,191

Spostamenti piedritto sinistro (Combinazione n° 22)

Y [m]	u _x [cm]	u _y [cm]
0,30	0,000	0,176
2,10	-0,019	0,179
3,90	0,004	0,182

Spostamenti piedritto destro (Combinazione n° 22)

Y [m]	u _x [cm]	u _y [cm]
0,30	-0,006	0,185
2,10	0,017	0,188
3,90	-0,002	0,191

Spostamenti fondazione (Combinazione n° 23)

X [m]	u _x [cm]	u _y [cm]
0,30	0,047	0,109
1,66	0,046	0,072
3,10	0,045	0,052
4,54	0,044	0,074
5,90	0,043	0,113

Spostamenti traverso (Combinazione n° 23)

X [m]	u _x [cm]	u _y [cm]
0,30	0,052	0,113
1,70	0,051	0,150
3,10	0,051	0,170
4,50	0,050	0,152
5,90	0,049	0,117

Spostamenti piedritto sinistro (Combinazione n° 23)

Y [m]	u _x [cm]	u _y [cm]
0,30	0,047	0,109
2,10	0,037	0,111
3,90	0,052	0,113

Spostamenti piedritto destro (Combinazione n° 23)

Y [m]	u _x [cm]	u _y [cm]
0,30	0,043	0,113
2,10	0,058	0,116
3,90	0,049	0,117

Spostamenti fondazione (Combinazione n° 24)

X [m]	u _x [cm]	u _y [cm]
0,30	0,048	0,098
1,66	0,047	0,064
3,10	0,046	0,045
4,54	0,045	0,066
5,90	0,044	0,102

Spostamenti traverso (Combinazione n° 24)

X [m]	u _x [cm]	u _y [cm]
0,30	0,053	0,102
1,70	0,052	0,137
3,10	0,051	0,156
4,50	0,051	0,139
5,90	0,050	0,106

Spostamenti piedritto sinistro (Combinazione n° 24)

Y [m]	u _x [cm]	u _y [cm]
0,30	0,048	0,098
2,10	0,039	0,100
3,90	0,053	0,102

Spostamenti piedritto destro (Combinazione n° 24)

Y [m]	u _x [cm]	u _y [cm]
0,30	0,044	0,102
2,10	0,058	0,104
3,90	0,050	0,106

Spostamenti fondazione (Combinazione n° 25)

X [m]	u _x [cm]	u _y [cm]
0,30	-0,043	0,113
1,66	-0,044	0,074
3,10	-0,045	0,052
4,54	-0,046	0,072
5,90	-0,047	0,109

Spostamenti traverso (Combinazione n° 25)

X [m]	u _x [cm]	u _y [cm]
0,30	-0,049	0,117
1,70	-0,050	0,152
3,10	-0,051	0,170
4,50	-0,051	0,150
5,90	-0,052	0,113

Spostamenti piedritto sinistro (Combinazione n° 25)

Y [m]	u _x [cm]	u _y [cm]
0,30	-0,043	0,113
2,10	-0,058	0,116

3,90	-0,049	0,117
------	--------	-------

Spostamenti piedritto destro (Combinazione n° 25)

Y [m]	u _x [cm]	u _y [cm]
0,30	-0,047	0,109
2,10	-0,037	0,111
3,90	-0,052	0,113

Spostamenti fondazione (Combinazione n° 26)

X [m]	u _x [cm]	u _y [cm]
0,30	-0,044	0,102
1,66	-0,045	0,066
3,10	-0,046	0,045
4,54	-0,047	0,064
5,90	-0,048	0,098

Spostamenti traverso (Combinazione n° 26)

X [m]	u _x [cm]	u _y [cm]
0,30	-0,050	0,106
1,70	-0,051	0,139
3,10	-0,051	0,156
4,50	-0,052	0,137
5,90	-0,053	0,102

Spostamenti piedritto sinistro (Combinazione n° 26)

Y [m]	u _x [cm]	u _y [cm]
0,30	-0,044	0,102
2,10	-0,058	0,104
3,90	-0,050	0,106

Spostamenti piedritto destro (Combinazione n° 26)

Y [m]	u _x [cm]	u _y [cm]
0,30	-0,048	0,098
2,10	-0,039	0,100
3,90	-0,053	0,102

Spostamenti fondazione (Combinazione n° 27)

X [m]	u _x [cm]	u _y [cm]
0,30	0,047	0,109
1,66	0,046	0,072
3,10	0,045	0,052
4,54	0,044	0,074
5,90	0,043	0,113

Spostamenti traverso (Combinazione n° 27)

X [m]	u _x [cm]	u _y [cm]
0,30	0,052	0,113
1,70	0,051	0,150
3,10	0,051	0,170
4,50	0,050	0,152
5,90	0,049	0,117

Spostamenti piedritto sinistro (Combinazione n° 27)

Y [m]	u _x [cm]	u _y [cm]
0,30	0,047	0,109
2,10	0,037	0,111
3,90	0,052	0,113

Spostamenti piedritto destro (Combinazione n° 27)

Y [m]	u _x [cm]	u _y [cm]
0,30	0,043	0,113
2,10	0,058	0,116
3,90	0,049	0,117

Spostamenti fondazione (Combinazione n° 28)

X [m]	u _x [cm]	u _y [cm]
0,30	0,048	0,098
1,66	0,047	0,064
3,10	0,046	0,045
4,54	0,045	0,066
5,90	0,044	0,102

Spostamenti traverso (Combinazione n° 28)

X [m]	u _x [cm]	u _y [cm]
0,30	0,053	0,102
1,70	0,052	0,137
3,10	0,051	0,156
4,50	0,051	0,139
5,90	0,050	0,106

Spostamenti piedritto sinistro (Combinazione n° 28)

Y [m]	u _x [cm]	u _y [cm]
0,30	0,048	0,098
2,10	0,039	0,100
3,90	0,053	0,102

Spostamenti piedritto destro (Combinazione n° 28)

Y [m]	u _x [cm]	u _y [cm]
0,30	0,044	0,102
2,10	0,058	0,104
3,90	0,050	0,106

Spostamenti fondazione (Combinazione n° 29)

X [m]	u _x [cm]	u _y [cm]
0,30	-0,043	0,113
1,66	-0,044	0,074
3,10	-0,045	0,052
4,54	-0,046	0,072
5,90	-0,047	0,109

Spostamenti traverso (Combinazione n° 29)

X [m]	u _x [cm]	u _y [cm]
0,30	-0,049	0,117
1,70	-0,050	0,152
3,10	-0,051	0,170
4,50	-0,051	0,150
5,90	-0,052	0,113

Spostamenti piedritto sinistro (Combinazione n° 29)

Y [m]	u _x [cm]	u _y [cm]
0,30	-0,043	0,113
2,10	-0,058	0,116
3,90	-0,049	0,117

Spostamenti piedritto destro (Combinazione n° 29)

Y [m]	u _x [cm]	u _y [cm]
0,30	-0,047	0,109
2,10	-0,037	0,111
3,90	-0,052	0,113

Spostamenti fondazione (Combinazione n° 30)

X [m]	u _x [cm]	u _y [cm]
0,30	-0,044	0,102
1,66	-0,045	0,066
3,10	-0,046	0,045
4,54	-0,047	0,064
5,90	-0,048	0,098

Spostamenti traverso (Combinazione n° 30)

X [m]	u _x [cm]	u _y [cm]
0,30	-0,050	0,106
1,70	-0,051	0,139
3,10	-0,051	0,156
4,50	-0,052	0,137
5,90	-0,053	0,102

Spostamenti piedritto sinistro (Combinazione n° 30)

Y [m]	u _x [cm]	u _y [cm]
0,30	-0,044	0,102
2,10	-0,058	0,104
3,90	-0,050	0,106

Spostamenti piedritto destro (Combinazione n° 30)

Y [m]	u _x [cm]	u _y [cm]
0,30	-0,048	0,098
2,10	-0,039	0,100
3,90	-0,053	0,102

Spostamenti fondazione (Combinazione n° 31)

X [m]	u _x [cm]	u _y [cm]
0,30	0,047	0,109
1,66	0,046	0,072
3,10	0,045	0,052
4,54	0,044	0,074
5,90	0,043	0,113

Spostamenti trasverso (Combinazione n° 31)

X [m]	u _x [cm]	u _y [cm]
0,30	0,052	0,113
1,70	0,051	0,150
3,10	0,051	0,170
4,50	0,050	0,152
5,90	0,049	0,117

Spostamenti piedritto sinistro (Combinazione n° 31)

Y [m]	u _x [cm]	u _y [cm]
0,30	0,047	0,109
2,10	0,037	0,111
3,90	0,052	0,113

Spostamenti piedritto destro (Combinazione n° 31)

Y [m]	u _x [cm]	u _y [cm]
0,30	0,043	0,113
2,10	0,058	0,116
3,90	0,049	0,117

Spostamenti fondazione (Combinazione n° 32)

X [m]	u _x [cm]	u _y [cm]
0,30	0,048	0,098
1,66	0,047	0,064
3,10	0,046	0,045
4,54	0,045	0,066
5,90	0,044	0,102

Spostamenti trasverso (Combinazione n° 32)

X [m]	u _x [cm]	u _y [cm]
0,30	0,053	0,102
1,70	0,052	0,137
3,10	0,051	0,156
4,50	0,051	0,139
5,90	0,050	0,106

Spostamenti piedritto sinistro (Combinazione n° 32)

Y [m]	u _x [cm]	u _y [cm]
0,30	0,048	0,098
2,10	0,039	0,100
3,90	0,053	0,102

Spostamenti piedritto destro (Combinazione n° 32)

Y [m]	u _x [cm]	u _y [cm]
0,30	0,044	0,102
2,10	0,058	0,104
3,90	0,050	0,106

Spostamenti fondazione (Combinazione n° 33)

X [m]	u _x [cm]	u _y [cm]
0,30	-0,043	0,113
1,66	-0,044	0,074
3,10	-0,045	0,052
4,54	-0,046	0,072
5,90	-0,047	0,109

Spostamenti traverso (Combinazione n° 33)

X [m]	u _x [cm]	u _y [cm]
0,30	-0,049	0,117
1,70	-0,050	0,152
3,10	-0,051	0,170
4,50	-0,051	0,150
5,90	-0,052	0,113

Spostamenti piedritto sinistro (Combinazione n° 33)

Y [m]	u _x [cm]	u _y [cm]
0,30	-0,043	0,113
2,10	-0,058	0,116
3,90	-0,049	0,117

Spostamenti piedritto destro (Combinazione n° 33)

Y [m]	u _x [cm]	u _y [cm]
0,30	-0,047	0,109
2,10	-0,037	0,111
3,90	-0,052	0,113

Spostamenti fondazione (Combinazione n° 34)

X [m]	u _x [cm]	u _y [cm]
0,30	-0,044	0,102
1,66	-0,045	0,066
3,10	-0,046	0,045
4,54	-0,047	0,064
5,90	-0,048	0,098

Spostamenti traverso (Combinazione n° 34)

X [m]	u _x [cm]	u _y [cm]
0,30	-0,050	0,106
1,70	-0,051	0,139
3,10	-0,051	0,156
4,50	-0,052	0,137
5,90	-0,053	0,102

Spostamenti piedritto sinistro (Combinazione n° 34)

Y [m]	u_x [cm]	u_y [cm]
0,30	-0,044	0,102
2,10	-0,058	0,104
3,90	-0,050	0,106

Spostamenti piedritto destro (Combinazione n° 34)

Y [m]	u_x [cm]	u_y [cm]
0,30	-0,048	0,098
2,10	-0,039	0,100
3,90	-0,053	0,102

Sollecitazioni**Sollecitazioni fondazione (Combinazione n° 1)**

X [m]	M [kNm]	V [kN]	N [kN]
0,30	-184,3423	-300,1095	122,9107
1,66	100,2832	-119,1963	122,9107
3,10	185,3692	4,6069	122,9107
4,54	100,2832	131,2314	122,9107
5,90	-184,3423	300,1095	122,9107

Sollecitazioni traverso (Combinazione n° 1)

X [m]	M [kNm]	V [kN]	N [kN]
0,30	-156,2883	238,0071	84,8401
1,70	93,9691	118,7533	84,8401
3,10	176,9216	0,0000	84,8401
4,50	93,9691	-118,7533	84,8401
5,90	-156,2883	-238,0071	84,8401

Sollecitazioni piedritto sinistro (Combinazione n° 1)

Y [m]	M [kNm]	V [kN]	N [kN]
0,30	-184,3423	123,1971	306,8508
2,10	-73,5919	1,5650	272,4289
3,90	-156,2883	-84,8401	238,0071

Sollecitazioni piedritto destro (Combinazione n° 1)

Y [m]	M [kNm]	V [kN]	N [kN]
0,30	-184,3423	-123,1971	306,8508
2,10	-73,5919	-1,5650	272,4289
3,90	-156,2883	84,8401	238,0071

Sollecitazioni fondazione (Combinazione n° 2)

X [m]	M [kNm]	V [kN]	N [kN]
0,30	-309,2836	-480,6685	282,4648
1,66	139,5313	-191,1168	282,4648
3,10	275,0685	5,4222	282,4648
4,54	139,5313	206,1225	282,4648
5,90	-309,2836	480,6685	282,4648

Sollecitazioni traverso (Combinazione n° 2)

X [m]	M [kNm]	V [kN]	N [kN]
0,30	-309,9536	420,5855	261,3238
1,70	145,8506	221,9890	261,3238
3,10	298,4562	0,0000	261,3238
4,50	145,8506	-221,9890	261,3238
5,90	-309,9536	-420,5855	261,3238

Sollecitazioni piedritto sinistro (Combinazione n° 2)

Y [m]	M [kNm]	V [kN]	N [kN]
0,30	-309,2836	283,1229	489,4293

2,10	-63,3986	-3,1088	455,0074
3,90	-309,9536	-261,3238	420,5855

Sollecitazioni piedritto destro (Combinazione n° 2)

Y [m]	M [kNm]	V [kN]	N [kN]
0,30	-309,2836	-283,1229	489,4293
2,10	-63,3986	3,1088	455,0074
3,90	-309,9536	261,3238	420,5855

Sollecitazioni fondazione (Combinazione n° 3)

X [m]	M [kNm]	V [kN]	N [kN]
0,30	-325,4276	-504,4547	298,6129
1,66	144,7287	-199,0042	298,6129
3,10	284,5104	7,0710	298,6129
4,54	142,4976	213,5617	298,6129
5,90	-319,4523	492,5552	298,6129

Sollecitazioni traverso (Combinazione n° 3)

X [m]	M [kNm]	V [kN]	N [kN]
0,30	-323,6789	444,9079	278,0030
1,70	155,1969	230,5568	278,0030
3,10	308,9085	-5,8106	278,0030
4,50	146,0253	-230,8915	278,0030
5,90	-324,4466	-432,5929	278,0030

Sollecitazioni piedritto sinistro (Combinazione n° 3)

Y [m]	M [kNm]	V [kN]	N [kN]
0,30	-325,4276	299,9196	513,7517
2,10	-63,2955	-2,0593	479,3298
3,90	-323,6789	-278,0027	444,9079

Sollecitazioni piedritto destro (Combinazione n° 3)

Y [m]	M [kNm]	V [kN]	N [kN]
0,30	-319,4523	-298,6975	501,4367
2,10	-61,2258	4,6882	467,0148
3,90	-324,4466	278,0033	432,5929

Sollecitazioni fondazione (Combinazione n° 4)

X [m]	M [kNm]	V [kN]	N [kN]
0,30	-323,6335	-502,2684	296,8626
1,66	145,7992	-199,9250	296,8626
3,10	287,6034	5,6953	296,8626
4,54	145,7992	215,6664	296,8626
5,90	-323,6335	502,2684	296,8626

Sollecitazioni traverso (Combinazione n° 4)

X [m]	M [kNm]	V [kN]	N [kN]
0,30	-329,6507	442,6036	278,7689
1,70	154,2891	237,6775	278,7689
3,10	317,8535	0,0000	278,7689
4,50	154,2891	-237,6775	278,7689

5,90	-329,6507	-442,6036	278,7689
------	-----------	-----------	----------

Sollecitazioni piedritto sinistro (Combinazione n° 4)

Y [m]	M [kNm]	V [kN]	N [kN]
0,30	-323,6335	297,5542	511,4474
2,10	-65,9211	-4,5971	477,0255
3,90	-329,6507	-278,7689	442,6036

Sollecitazioni piedritto destro (Combinazione n° 4)

Y [m]	M [kNm]	V [kN]	N [kN]
0,30	-323,6335	-297,5542	511,4474
2,10	-65,9211	4,5971	477,0255
3,90	-329,6507	278,7689	442,6036

Sollecitazioni fondazione (Combinazione n° 5)

X [m]	M [kNm]	V [kN]	N [kN]
0,30	-319,4523	-492,5552	298,6129
1,66	142,4976	-198,2080	298,6129
3,10	284,5104	4,2441	298,6129
4,54	144,7287	214,8852	298,6129
5,90	-325,4276	504,4547	298,6129

Sollecitazioni traverso (Combinazione n° 5)

X [m]	M [kNm]	V [kN]	N [kN]
0,30	-324,4466	432,5929	278,0030
1,70	146,0253	230,8915	278,0030
3,10	308,9085	5,8106	278,0030
4,50	155,1969	-230,5568	278,0030
5,90	-323,6789	-444,9079	278,0030

Sollecitazioni piedritto sinistro (Combinazione n° 5)

Y [m]	M [kNm]	V [kN]	N [kN]
0,30	-319,4523	298,6975	501,4367
2,10	-61,2258	-4,6882	467,0148
3,90	-324,4466	-278,0033	432,5929

Sollecitazioni piedritto destro (Combinazione n° 5)

Y [m]	M [kNm]	V [kN]	N [kN]
0,30	-325,4276	-299,9196	513,7517
2,10	-63,2955	2,0593	479,3298
3,90	-323,6789	278,0027	444,9079

Sollecitazioni fondazione (Combinazione n° 6)

X [m]	M [kNm]	V [kN]	N [kN]
0,30	-185,5248	-239,4412	192,7996
1,66	49,8132	-104,3034	200,1725
3,10	129,0284	-0,9947	208,0048
4,54	62,7709	107,5699	215,8371
5,90	-170,2836	244,2190	223,2100

Sollecitazioni trasverso (Combinazione n° 6)

X [m]	M [kNm]	V [kN]	N [kN]
0,30	-138,2127	181,5876	172,9624
1,70	51,7930	89,2795	180,5809
3,10	112,3122	-2,6413	188,1676
4,50	44,4130	-94,5620	195,7542
5,90	-153,0037	-186,8701	203,3728

Sollecitazioni piedritto sinistro (Combinazione n° 6)

Y [m]	M [kNm]	V [kN]	N [kN]
0,30	-185,5248	216,7468	244,3191
2,10	13,4983	8,7601	212,9534
3,90	-138,2127	-172,9624	181,5876

Sollecitazioni piedritto destro (Combinazione n° 6)

Y [m]	M [kNm]	V [kN]	N [kN]
0,30	-170,2836	-200,2320	249,6016
2,10	11,2599	1,7154	218,2359
3,90	-153,0037	177,0238	186,8701

Sollecitazioni fondazione (Combinazione n° 7)

X [m]	M [kNm]	V [kN]	N [kN]
0,30	-166,7585	-205,6332	189,2874
1,66	36,7589	-91,3642	196,6602
3,10	106,7391	-1,7511	204,4925
4,54	49,9756	92,7922	212,3249
5,90	-151,0810	210,3370	219,6977

Sollecitazioni trasverso (Combinazione n° 7)

X [m]	M [kNm]	V [kN]	N [kN]
0,30	-131,0761	166,4169	176,1928
1,70	42,9901	81,7273	183,8114
3,10	98,2580	-2,6068	191,3980
4,50	35,7064	-86,9409	198,9846
5,90	-145,6742	-171,6305	206,6032

Sollecitazioni piedritto sinistro (Combinazione n° 7)

Y [m]	M [kNm]	V [kN]	N [kN]
0,30	-166,7585	213,5164	209,5988
2,10	26,4498	5,5296	188,0078
3,90	-131,0761	-176,1928	166,4169

Sollecitazioni piedritto destro (Combinazione n° 7)

Y [m]	M [kNm]	V [kN]	N [kN]
0,30	-151,0810	-196,4216	214,8124
2,10	23,7026	4,9204	193,2215
3,90	-145,6742	179,9409	171,6305

Sollecitazioni fondazione (Combinazione n° 8)

X [m]	M [kNm]	V [kN]	N [kN]
0,30	-178,1696	-246,2064	181,6560
1,66	55,0388	-102,9239	189,0288
3,10	131,1028	-0,7969	196,8612
4,54	63,9098	106,0174	204,6935
5,90	-168,8873	250,9612	212,0664

Sollecitazioni traverso (Combinazione n° 8)

X [m]	M [kNm]	V [kN]	N [kN]
0,30	-139,6095	187,4526	160,1288
1,70	56,5873	92,2404	167,7474
3,10	119,2231	-2,5722	175,3340
4,50	49,4003	-97,3848	182,9206
5,90	-154,0138	-192,5970	190,5392

Sollecitazioni piedritto sinistro (Combinazione n° 8)

Y [m]	M [kNm]	V [kN]	N [kN]
0,30	-178,1696	200,4994	250,1841
2,10	1,9325	8,0626	218,8183
3,90	-139,6095	-160,1288	187,4526

Sollecitazioni piedritto destro (Combinazione n° 8)

Y [m]	M [kNm]	V [kN]	N [kN]
0,30	-168,8873	-194,1402	255,3285
2,10	3,7198	0,2463	223,9628
3,90	-154,0138	169,9679	192,5970

Sollecitazioni fondazione (Combinazione n° 9)

X [m]	M [kNm]	V [kN]	N [kN]
0,30	-159,4033	-212,3984	178,1437
1,66	41,9844	-89,9847	185,5166
3,10	108,8136	-1,5533	193,3489
4,54	51,1145	91,2397	201,1813
5,90	-149,6847	217,0792	208,5541

Sollecitazioni traverso (Combinazione n° 9)

X [m]	M [kNm]	V [kN]	N [kN]
0,30	-132,4729	172,2818	163,3593
1,70	47,7845	84,6882	170,9779
3,10	105,1688	-2,5378	178,5645
4,50	40,6937	-89,7637	186,1511
5,90	-146,6843	-177,3573	193,7697

Sollecitazioni piedritto sinistro (Combinazione n° 9)

Y [m]	M [kNm]	V [kN]	N [kN]
0,30	-159,4033	197,2689	215,4638
2,10	14,8840	4,8321	193,8728
3,90	-132,4729	-163,3593	172,2818

Sollecitazioni piedritto destro (Combinazione n° 9)

Y [m]	M [kNm]	V [kN]	N [kN]
0,30	-149,6847	-190,3298	220,5393
2,10	16,1624	3,4513	198,9483
3,90	-146,6843	172,8850	177,3573

Sollecitazioni fondazione (Combinazione n° 10)

X [m]	M [kNm]	V [kN]	N [kN]
0,30	-170,2836	-244,2190	223,2100
1,66	62,7709	-97,3420	215,8371
3,10	129,0284	9,0552	208,0048
4,54	49,8132	114,0495	200,1725
5,90	-185,5248	239,4412	192,7996

Sollecitazioni traverso (Combinazione n° 10)

X [m]	M [kNm]	V [kN]	N [kN]
0,30	-153,0037	186,8701	203,3728
1,70	44,4130	94,5620	195,7542
3,10	112,3122	2,6413	188,1676
4,50	51,7930	-89,2795	180,5809
5,90	-138,2127	-181,5876	172,9624

Sollecitazioni piedritto sinistro (Combinazione n° 10)

Y [m]	M [kNm]	V [kN]	N [kN]
0,30	-170,2836	200,2320	249,6016
2,10	11,2599	-1,7154	218,2359
3,90	-153,0037	-177,0238	186,8701

Sollecitazioni piedritto destro (Combinazione n° 10)

Y [m]	M [kNm]	V [kN]	N [kN]
0,30	-185,5248	-216,7468	244,3191
2,10	13,4983	-8,7601	212,9534
3,90	-138,2127	172,9624	181,5876

Sollecitazioni fondazione (Combinazione n° 11)

X [m]	M [kNm]	V [kN]	N [kN]
0,30	-151,0810	-210,3370	219,6977
1,66	49,9756	-84,2331	212,3249
3,10	106,7391	8,4829	204,4925
4,54	36,7589	99,4386	196,6602
5,90	-166,7585	205,6332	189,2874

Sollecitazioni traverso (Combinazione n° 11)

X [m]	M [kNm]	V [kN]	N [kN]
0,30	-145,6742	171,6305	206,6032
1,70	35,7064	86,9409	198,9846
3,10	98,2580	2,6068	191,3980
4,50	42,9901	-81,7273	183,8114
5,90	-131,0761	-166,4169	176,1928

Sollecitazioni piedritto sinistro (Combinazione n° 11)

Y [m]	M [kNm]	V [kN]	N [kN]
0,30	-151,0810	196,4216	214,8124
2,10	23,7026	-4,9204	193,2215
3,90	-145,6742	-179,9409	171,6305

Sollecitazioni piedritto destro (Combinazione n° 11)

Y [m]	M [kNm]	V [kN]	N [kN]
0,30	-166,7585	-213,5164	209,5988
2,10	26,4498	-5,5296	188,0078
3,90	-131,0761	176,1928	166,4169

Sollecitazioni fondazione (Combinazione n° 12)

X [m]	M [kNm]	V [kN]	N [kN]
0,30	-168,8873	-250,9612	212,0664
1,66	63,9098	-98,4253	204,6935
3,10	131,1028	6,2303	196,8612
4,54	55,0388	110,1267	189,0288
5,90	-178,1696	246,2064	181,6560

Sollecitazioni trasverso (Combinazione n° 12)

X [m]	M [kNm]	V [kN]	N [kN]
0,30	-154,0138	192,5970	190,5392
1,70	49,4003	97,3848	182,9206
3,10	119,2231	2,5722	175,3340
4,50	56,5873	-92,2404	167,7474
5,90	-139,6095	-187,4526	160,1288

Sollecitazioni piedritto sinistro (Combinazione n° 12)

Y [m]	M [kNm]	V [kN]	N [kN]
0,30	-168,8873	194,1402	255,3285
2,10	3,7198	-0,2463	223,9628
3,90	-154,0138	-169,9679	192,5970

Sollecitazioni piedritto destro (Combinazione n° 12)

Y [m]	M [kNm]	V [kN]	N [kN]
0,30	-178,1696	-200,4994	250,1841
2,10	1,9325	-8,0626	218,8183
3,90	-139,6095	160,1288	187,4526

Sollecitazioni fondazione (Combinazione n° 13)

X [m]	M [kNm]	V [kN]	N [kN]
0,30	-149,6847	-217,0792	208,5541
1,66	51,1145	-85,3164	201,1813
3,10	108,8136	5,6580	193,3489
4,54	41,9844	95,5158	185,5166
5,90	-159,4033	212,3984	178,1437

Sollecitazioni trasverso (Combinazione n° 13)

X [m]	M [kNm]	V [kN]	N [kN]
0,30	-146,6843	177,3573	193,7697
1,70	40,6937	89,7637	186,1511
3,10	105,1688	2,5378	178,5645
4,50	47,7845	-84,6882	170,9779
5,90	-132,4729	-172,2818	163,3593

Sollecitazioni piedritto sinistro (Combinazione n° 13)

Y [m]	M [kNm]	V [kN]	N [kN]
0,30	-149,6847	190,3298	220,5393
2,10	16,1624	-3,4513	198,9483
3,90	-146,6843	-172,8850	177,3573

Sollecitazioni piedritto destro (Combinazione n° 13)

Y [m]	M [kNm]	V [kN]	N [kN]
0,30	-159,4033	-197,2689	215,4638
2,10	14,8840	-4,8321	193,8728
3,90	-132,4729	163,3593	172,2818

Sollecitazioni fondazione (Combinazione n° 14)

X [m]	M [kNm]	V [kN]	N [kN]
0,30	-141,6466	-231,3796	111,0644
1,66	71,5187	-90,3819	111,0644
3,10	135,2386	2,2142	111,0644
4,54	71,5187	96,8644	111,0644
5,90	-141,6466	231,3796	111,0644

Sollecitazioni traverso (Combinazione n° 14)

X [m]	M [kNm]	V [kN]	N [kN]
0,30	-123,9670	182,4222	82,5477
1,70	67,8446	91,0193	82,5477
3,10	131,4241	0,0000	82,5477
4,50	67,8446	-91,0193	82,5477
5,90	-123,9670	-182,4222	82,5477

Sollecitazioni piedritto sinistro (Combinazione n° 14)

Y [m]	M [kNm]	V [kN]	N [kN]
0,30	-141,6466	111,3232	235,3789
2,10	-44,9930	1,9177	208,9006
3,90	-123,9670	-82,5477	182,4222

Sollecitazioni piedritto destro (Combinazione n° 14)

Y [m]	M [kNm]	V [kN]	N [kN]
0,30	-141,6466	-111,3232	235,3789
2,10	-44,9930	-1,9177	208,9006
3,90	-123,9670	82,5477	182,4222

Sollecitazioni fondazione (Combinazione n° 15)

X [m]	M [kNm]	V [kN]	N [kN]
-------	---------	--------	--------

0,30	-141,6466	-231,3796	111,0644
1,66	71,5187	-90,3819	111,0644
3,10	135,2386	2,2142	111,0644
4,54	71,5187	96,8644	111,0644
5,90	-141,6466	231,3796	111,0644

Sollecitazioni trasverso (Combinazione n° 15)

X [m]	M [kNm]	V [kN]	N [kN]
0,30	-123,9670	182,4222	82,5477
1,70	67,8446	91,0193	82,5477
3,10	131,4241	0,0000	82,5477
4,50	67,8446	-91,0193	82,5477
5,90	-123,9670	-182,4222	82,5477

Sollecitazioni piedritto sinistro (Combinazione n° 15)

Y [m]	M [kNm]	V [kN]	N [kN]
0,30	-141,6466	111,3232	235,3789
2,10	-44,9930	1,9177	208,9006
3,90	-123,9670	-82,5477	182,4222

Sollecitazioni piedritto destro (Combinazione n° 15)

Y [m]	M [kNm]	V [kN]	N [kN]
0,30	-141,6466	-111,3232	235,3789
2,10	-44,9930	-1,9177	208,9006
3,90	-123,9670	82,5477	182,4222

Sollecitazioni fondazione (Combinazione n° 16)

X [m]	M [kNm]	V [kN]	N [kN]
0,30	-177,5036	-284,2187	147,1729
1,66	83,0689	-107,9014	147,1729
3,10	156,2118	5,8846	147,1729
4,54	78,0886	113,4087	147,1729
5,90	-164,2880	257,8142	147,1729

Sollecitazioni trasverso (Combinazione n° 16)

X [m]	M [kNm]	V [kN]	N [kN]
0,30	-154,4174	236,4522	119,7482
1,70	88,6365	110,0390	119,7482
3,10	154,6462	-12,9322	119,7482
4,50	68,2001	-110,8224	119,7482
5,90	-156,2340	-209,1251	119,7482

Sollecitazioni piedritto sinistro (Combinazione n° 16)

Y [m]	M [kNm]	V [kN]	N [kN]
0,30	-177,5036	148,9007	289,4089
2,10	-44,8137	4,2344	262,9306
3,90	-154,4174	-119,4834	236,4522

Sollecitazioni piedritto destro (Combinazione n° 16)

Y [m]	M [kNm]	V [kN]	N [kN]
-------	---------	--------	--------

0,30	-164,2880	-146,1308	262,0818
2,10	-40,0897	1,6000	235,6034
3,90	-156,2340	119,7483	209,1251

Sollecitazioni fondazione (Combinazione n° 17)

X [m]	M [kNm]	V [kN]	N [kN]
0,30	-173,5352	-279,3795	143,0554
1,66	85,4474	-109,9558	143,0554
3,10	163,0939	2,8212	143,0554
4,54	85,4474	118,0730	143,0554
5,90	-173,5352	279,3795	143,0554

Sollecitazioni trasverso (Combinazione n° 17)

X [m]	M [kNm]	V [kN]	N [kN]
0,30	-167,7382	231,3513	121,3147
1,70	86,5967	125,8826	121,3147
3,10	174,5292	0,0000	121,3147
4,50	86,5967	-125,8826	121,3147
5,90	-167,7382	-231,3513	121,3147

Sollecitazioni piedritto sinistro (Combinazione n° 17)

Y [m]	M [kNm]	V [kN]	N [kN]
0,30	-173,5352	143,3887	284,3081
2,10	-50,5986	-1,3895	257,8297
3,90	-167,7382	-121,3147	231,3513

Sollecitazioni piedritto destro (Combinazione n° 17)

Y [m]	M [kNm]	V [kN]	N [kN]
0,30	-173,5352	-143,3887	284,3081
2,10	-50,5986	1,3895	257,8297
3,90	-167,7382	121,3147	231,3513

Sollecitazioni fondazione (Combinazione n° 18)

X [m]	M [kNm]	V [kN]	N [kN]
0,30	-164,2880	-257,8142	147,1729
1,66	78,0886	-106,1525	147,1729
3,10	156,2118	-0,4100	147,1729
4,54	83,0689	116,3285	147,1729
5,90	-177,5036	284,2187	147,1729

Sollecitazioni trasverso (Combinazione n° 18)

X [m]	M [kNm]	V [kN]	N [kN]
0,30	-156,2340	209,1251	119,7482
1,70	68,2001	110,8224	119,7482
3,10	154,6462	12,9322	119,7482
4,50	88,6365	-110,0390	119,7482
5,90	-154,4174	-236,4522	119,7482

Sollecitazioni piedritto sinistro (Combinazione n° 18)

Y [m]	M [kNm]	V [kN]	N [kN]
0,30	-164,2880	146,1308	262,0818
2,10	-40,0897	-1,6000	235,6034
3,90	-156,2340	-119,7483	209,1251

Sollecitazioni piedritto destro (Combinazione n° 18)

Y [m]	M [kNm]	V [kN]	N [kN]
0,30	-177,5036	-148,9007	289,4089
2,10	-44,8137	-4,2344	262,9306
3,90	-154,4174	119,4834	236,4522

Sollecitazioni fondazione (Combinazione n° 19)

X [m]	M [kNm]	V [kN]	N [kN]
0,30	-231,9986	-358,6527	214,5077
1,66	103,5964	-143,2400	214,5077
3,10	205,0642	3,8671	214,5077
4,54	103,5964	154,0754	214,5077
5,90	-231,9986	358,6527	214,5077

Sollecitazioni traverso (Combinazione n° 19)

X [m]	M [kNm]	V [kN]	N [kN]
0,30	-230,4385	312,0842	195,3022
1,70	107,7615	164,7054	195,3022
3,10	220,9907	0,0000	195,3022
4,50	107,7615	-164,7054	195,3022
5,90	-230,4385	-312,0842	195,3022

Sollecitazioni piedritto sinistro (Combinazione n° 19)

Y [m]	M [kNm]	V [kN]	N [kN]
0,30	-231,9986	215,0074	365,0410
2,10	-45,5515	-2,5624	338,5626
3,90	-230,4385	-195,3022	312,0842

Sollecitazioni piedritto destro (Combinazione n° 19)

Y [m]	M [kNm]	V [kN]	N [kN]
0,30	-231,9986	-215,0074	365,0410
2,10	-45,5515	2,5624	338,5626
3,90	-230,4385	195,3022	312,0842

Sollecitazioni fondazione (Combinazione n° 20)

X [m]	M [kNm]	V [kN]	N [kN]
0,30	-243,9551	-376,2727	226,4694
1,66	107,4480	-149,0817	226,4694
3,10	212,0582	5,0897	226,4694
4,54	105,7920	159,5868	226,4694
5,90	-239,5330	367,4571	226,4694

Sollecitazioni traverso (Combinazione n° 20)

X [m]	M [kNm]	V [kN]	N [kN]
0,30	-240,6071	330,1014	207,6581
1,70	114,6837	171,0525	207,6581

3,10	228,7330	-4,3035	207,6581
4,50	107,8917	-171,2992	207,6581
5,90	-241,1723	-320,9780	207,6581

Sollecitazioni piedritto sinistro (Combinazione n° 20)

Y [m]	M [kNm]	V [kN]	N [kN]
0,30	-243,9551	227,4502	383,0582
2,10	-45,4755	-1,7859	356,5798
3,90	-240,6071	-207,6579	330,1014

Sollecitazioni piedritto destro (Combinazione n° 20)

Y [m]	M [kNm]	V [kN]	N [kN]
0,30	-239,5330	-226,5439	373,9347
2,10	-43,9414	3,7316	347,4564
3,90	-241,1723	207,6583	320,9780

Sollecitazioni fondazione (Combinazione n° 21)

X [m]	M [kNm]	V [kN]	N [kN]
0,30	-242,6281	-374,6527	225,1727
1,66	108,2393	-149,7647	225,1727
3,10	214,3493	4,0694	225,1727
4,54	108,2393	161,1450	225,1727
5,90	-242,6281	374,6527	225,1727

Sollecitazioni traverso (Combinazione n° 21)

X [m]	M [kNm]	V [kN]	N [kN]
0,30	-245,0289	328,3939	208,2245
1,70	114,0122	176,3265	208,2245
3,10	235,3590	0,0000	208,2245
4,50	114,0122	-176,3265	208,2245
5,90	-245,0289	-328,3939	208,2245

Sollecitazioni piedritto sinistro (Combinazione n° 21)

Y [m]	M [kNm]	V [kN]	N [kN]
0,30	-242,6281	225,6973	381,3507
2,10	-47,4200	-3,6649	354,8723
3,90	-245,0289	-208,2246	328,3939

Sollecitazioni piedritto destro (Combinazione n° 21)

Y [m]	M [kNm]	V [kN]	N [kN]
0,30	-242,6281	-225,6973	381,3507
2,10	-47,4200	3,6649	354,8723
3,90	-245,0289	208,2246	328,3939

Sollecitazioni fondazione (Combinazione n° 22)

X [m]	M [kNm]	V [kN]	N [kN]
0,30	-239,5330	-367,4571	226,4694
1,66	105,7920	-148,4937	226,4694
3,10	212,0582	2,9931	226,4694

4,54	107,4480	160,5655	226,4694
5,90	-243,9551	376,2727	226,4694

Sollecitazioni trasverso (Combinazione n° 22)

X [m]	M [kNm]	V [kN]	N [kN]
0,30	-241,1723	320,9780	207,6581
1,70	107,8917	171,2992	207,6581
3,10	228,7330	4,3035	207,6581
4,50	114,6837	-171,0525	207,6581
5,90	-240,6071	-330,1014	207,6581

Sollecitazioni piedritto sinistro (Combinazione n° 22)

Y [m]	M [kNm]	V [kN]	N [kN]
0,30	-239,5330	226,5439	373,9347
2,10	-43,9414	-3,7316	347,4564
3,90	-241,1723	-207,6583	320,9780

Sollecitazioni piedritto destro (Combinazione n° 22)

Y [m]	M [kNm]	V [kN]	N [kN]
0,30	-243,9551	-227,4502	383,0582
2,10	-45,4755	1,7859	356,5798
3,90	-240,6071	207,6579	330,1014

Sollecitazioni fondazione (Combinazione n° 23)

X [m]	M [kNm]	V [kN]	N [kN]
0,30	-156,0737	-237,9039	138,3207
1,66	65,5881	-95,5306	141,6171
3,10	134,2680	1,1255	145,1190
4,54	68,8071	100,9715	148,6209
5,90	-153,1541	240,2071	151,9173

Sollecitazioni trasverso (Combinazione n° 23)

X [m]	M [kNm]	V [kN]	N [kN]
0,30	-129,6302	184,5904	112,5014
1,70	64,0286	91,4844	115,9077
3,10	127,0732	-1,2309	119,2997
4,50	60,5893	-93,9462	122,6917
5,90	-136,5232	-187,0522	126,0980

Sollecitazioni piedritto sinistro (Combinazione n° 23)

Y [m]	M [kNm]	V [kN]	N [kN]
0,30	-156,0737	146,1405	241,9175
2,10	-27,9237	4,6969	213,2540
3,90	-129,6302	-112,5014	184,5904

Sollecitazioni piedritto destro (Combinazione n° 23)

Y [m]	M [kNm]	V [kN]	N [kN]
0,30	-153,1541	-144,7737	244,3793
2,10	-25,7675	-1,0621	215,7158
3,90	-136,5232	117,8325	187,0522

Sollecitazioni fondazione (Combinazione n° 24)

X [m]	M [kNm]	V [kN]	N [kN]
0,30	-147,6832	-222,7882	136,7504
1,66	59,7514	-89,7454	140,0468
3,10	124,3023	0,7873	143,5487
4,54	63,0862	94,3643	147,0505
5,90	-144,5685	225,0584	150,3470

Sollecitazioni traverso (Combinazione n° 24)

X [m]	M [kNm]	V [kN]	N [kN]
0,30	-126,4394	177,8075	113,9457
1,70	60,0928	88,1078	117,3521
3,10	120,7895	-1,2155	120,7441
4,50	56,6966	-90,5388	124,1361
5,90	-133,2461	-180,2385	127,5424

Sollecitazioni piedritto sinistro (Combinazione n° 24)

Y [m]	M [kNm]	V [kN]	N [kN]
0,30	-147,6832	144,6961	226,3940
2,10	-22,1331	3,2525	202,1007
3,90	-126,4394	-113,9457	177,8075

Sollecitazioni piedritto destro (Combinazione n° 24)

Y [m]	M [kNm]	V [kN]	N [kN]
0,30	-144,5685	-143,0701	228,8249
2,10	-20,2043	0,3709	204,5317
3,90	-133,2461	119,1368	180,2385

Sollecitazioni fondazione (Combinazione n° 25)

X [m]	M [kNm]	V [kN]	N [kN]
0,30	-153,1541	-240,2071	151,9173
1,66	68,8071	-94,0023	148,6209
3,10	134,2680	3,7326	145,1190
4,54	65,5881	102,3354	141,6171
5,90	-156,0737	237,9039	138,3207

Sollecitazioni traverso (Combinazione n° 25)

X [m]	M [kNm]	V [kN]	N [kN]
0,30	-136,5232	187,0522	126,0980
1,70	60,5893	93,9462	122,6917
3,10	127,0732	1,2309	119,2997
4,50	64,0286	-91,4844	115,9077
5,90	-129,6302	-184,5904	112,5014

Sollecitazioni piedritto sinistro (Combinazione n° 25)

Y [m]	M [kNm]	V [kN]	N [kN]
0,30	-153,1541	144,7737	244,3793
2,10	-25,7675	1,0621	215,7158

3,90 -136,5232 -117,8325 187,0522

Sollecitazioni piedritto destro (Combinazione n° 25)

Y [m]	M [kNm]	V [kN]	N [kN]
0,30	-156,0737	-146,1405	241,9175
2,10	-27,9237	-4,6969	213,2540
3,90	-129,6302	112,5014	184,5904

Sollecitazioni fondazione (Combinazione n° 26)

X [m]	M [kNm]	V [kN]	N [kN]
0,30	-144,5685	-225,0584	150,3470
1,66	63,0862	-88,1412	147,0505
3,10	124,3023	3,4768	143,5487
4,54	59,7514	95,8028	140,0468
5,90	-147,6832	222,7882	136,7504

Sollecitazioni traverso (Combinazione n° 26)

X [m]	M [kNm]	V [kN]	N [kN]
0,30	-133,2461	180,2385	127,5424
1,70	56,6966	90,5388	124,1361
3,10	120,7895	1,2155	120,7441
4,50	60,0928	-88,1078	117,3521
5,90	-126,4394	-177,8075	113,9457

Sollecitazioni piedritto sinistro (Combinazione n° 26)

Y [m]	M [kNm]	V [kN]	N [kN]
0,30	-144,5685	143,0701	228,8249
2,10	-20,2043	-0,3709	204,5317
3,90	-133,2461	-119,1368	180,2385

Sollecitazioni piedritto destro (Combinazione n° 26)

Y [m]	M [kNm]	V [kN]	N [kN]
0,30	-147,6832	-144,6961	226,3940
2,10	-22,1331	-3,2525	202,1007
3,90	-126,4394	113,9457	177,8075

Sollecitazioni fondazione (Combinazione n° 27)

X [m]	M [kNm]	V [kN]	N [kN]
0,30	-156,0737	-237,9039	138,3207
1,66	65,5881	-95,5306	141,6171
3,10	134,2680	1,1255	145,1190
4,54	68,8071	100,9715	148,6209
5,90	-153,1541	240,2071	151,9173

Sollecitazioni traverso (Combinazione n° 27)

X [m]	M [kNm]	V [kN]	N [kN]
0,30	-129,6302	184,5904	112,5014
1,70	64,0286	91,4844	115,9077
3,10	127,0732	-1,2309	119,2997
4,50	60,5893	-93,9462	122,6917
5,90	-136,5232	-187,0522	126,0980

Sollecitazioni piedritto sinistro (Combinazione n° 27)

Y [m]	M [kNm]	V [kN]	N [kN]
0,30	-156,0737	146,1405	241,9175
2,10	-27,9237	4,6969	213,2540
3,90	-129,6302	-112,5014	184,5904

Sollecitazioni piedritto destro (Combinazione n° 27)

Y [m]	M [kNm]	V [kN]	N [kN]
0,30	-153,1541	-144,7737	244,3793
2,10	-25,7675	-1,0621	215,7158
3,90	-136,5232	117,8325	187,0522

Sollecitazioni fondazione (Combinazione n° 28)

X [m]	M [kNm]	V [kN]	N [kN]
0,30	-147,6832	-222,7882	136,7504
1,66	59,7514	-89,7454	140,0468
3,10	124,3023	0,7873	143,5487
4,54	63,0862	94,3643	147,0505
5,90	-144,5685	225,0584	150,3470

Sollecitazioni traverso (Combinazione n° 28)

X [m]	M [kNm]	V [kN]	N [kN]
0,30	-126,4394	177,8075	113,9457
1,70	60,0928	88,1078	117,3521
3,10	120,7895	-1,2155	120,7441
4,50	56,6966	-90,5388	124,1361
5,90	-133,2461	-180,2385	127,5424

Sollecitazioni piedritto sinistro (Combinazione n° 28)

Y [m]	M [kNm]	V [kN]	N [kN]
0,30	-147,6832	144,6961	226,3940
2,10	-22,1331	3,2525	202,1007
3,90	-126,4394	-113,9457	177,8075

Sollecitazioni piedritto destro (Combinazione n° 28)

Y [m]	M [kNm]	V [kN]	N [kN]
0,30	-144,5685	-143,0701	228,8249
2,10	-20,2043	0,3709	204,5317
3,90	-133,2461	119,1368	180,2385

Sollecitazioni fondazione (Combinazione n° 29)

X [m]	M [kNm]	V [kN]	N [kN]
0,30	-153,1541	-240,2071	151,9173
1,66	68,8071	-94,0023	148,6209
3,10	134,2680	3,7326	145,1190
4,54	65,5881	102,3354	141,6171
5,90	-156,0737	237,9039	138,3207

Sollecitazioni trasverso (Combinazione n° 29)

X [m]	M [kNm]	V [kN]	N [kN]
0,30	-136,5232	187,0522	126,0980
1,70	60,5893	93,9462	122,6917
3,10	127,0732	1,2309	119,2997
4,50	64,0286	-91,4844	115,9077
5,90	-129,6302	-184,5904	112,5014

Sollecitazioni piedritto sinistro (Combinazione n° 29)

Y [m]	M [kNm]	V [kN]	N [kN]
0,30	-153,1541	144,7737	244,3793
2,10	-25,7675	1,0621	215,7158
3,90	-136,5232	-117,8325	187,0522

Sollecitazioni piedritto destro (Combinazione n° 29)

Y [m]	M [kNm]	V [kN]	N [kN]
0,30	-156,0737	-146,1405	241,9175
2,10	-27,9237	-4,6969	213,2540
3,90	-129,6302	112,5014	184,5904

Sollecitazioni fondazione (Combinazione n° 30)

X [m]	M [kNm]	V [kN]	N [kN]
0,30	-144,5685	-225,0584	150,3470
1,66	63,0862	-88,1412	147,0505
3,10	124,3023	3,4768	143,5487
4,54	59,7514	95,8028	140,0468
5,90	-147,6832	222,7882	136,7504

Sollecitazioni trasverso (Combinazione n° 30)

X [m]	M [kNm]	V [kN]	N [kN]
0,30	-133,2461	180,2385	127,5424
1,70	56,6966	90,5388	124,1361
3,10	120,7895	1,2155	120,7441
4,50	60,0928	-88,1078	117,3521
5,90	-126,4394	-177,8075	113,9457

Sollecitazioni piedritto sinistro (Combinazione n° 30)

Y [m]	M [kNm]	V [kN]	N [kN]
0,30	-144,5685	143,0701	228,8249
2,10	-20,2043	-0,3709	204,5317
3,90	-133,2461	-119,1368	180,2385

Sollecitazioni piedritto destro (Combinazione n° 30)

Y [m]	M [kNm]	V [kN]	N [kN]
0,30	-147,6832	-144,6961	226,3940
2,10	-22,1331	-3,2525	202,1007
3,90	-126,4394	113,9457	177,8075

Sollecitazioni fondazione (Combinazione n° 31)

X [m]	M [kNm]	V [kN]	N [kN]
0,30	-156,0737	-237,9039	138,3207
1,66	65,5881	-95,5306	141,6171
3,10	134,2680	1,1255	145,1190
4,54	68,8071	100,9715	148,6209
5,90	-153,1541	240,2071	151,9173

Sollecitazioni traverso (Combinazione n° 31)

X [m]	M [kNm]	V [kN]	N [kN]
0,30	-129,6302	184,5904	112,5014
1,70	64,0286	91,4844	115,9077
3,10	127,0732	-1,2309	119,2997
4,50	60,5893	-93,9462	122,6917
5,90	-136,5232	-187,0522	126,0980

Sollecitazioni piedritto sinistro (Combinazione n° 31)

Y [m]	M [kNm]	V [kN]	N [kN]
0,30	-156,0737	146,1405	241,9175
2,10	-27,9237	4,6969	213,2540
3,90	-129,6302	-112,5014	184,5904

Sollecitazioni piedritto destro (Combinazione n° 31)

Y [m]	M [kNm]	V [kN]	N [kN]
0,30	-153,1541	-144,7737	244,3793
2,10	-25,7675	-1,0621	215,7158
3,90	-136,5232	117,8325	187,0522

Sollecitazioni fondazione (Combinazione n° 32)

X [m]	M [kNm]	V [kN]	N [kN]
0,30	-147,6832	-222,7882	136,7504
1,66	59,7514	-89,7454	140,0468
3,10	124,3023	0,7873	143,5487
4,54	63,0862	94,3643	147,0505
5,90	-144,5685	225,0584	150,3470

Sollecitazioni traverso (Combinazione n° 32)

X [m]	M [kNm]	V [kN]	N [kN]
0,30	-126,4394	177,8075	113,9457
1,70	60,0928	88,1078	117,3521
3,10	120,7895	-1,2155	120,7441
4,50	56,6966	-90,5388	124,1361
5,90	-133,2461	-180,2385	127,5424

Sollecitazioni piedritto sinistro (Combinazione n° 32)

Y [m]	M [kNm]	V [kN]	N [kN]
0,30	-147,6832	144,6961	226,3940
2,10	-22,1331	3,2525	202,1007
3,90	-126,4394	-113,9457	177,8075

Sollecitazioni piedritto destro (Combinazione n° 32)

Y [m]	M [kNm]	V [kN]	N [kN]
0,30	-144,5685	-143,0701	228,8249
2,10	-20,2043	0,3709	204,5317
3,90	-133,2461	119,1368	180,2385

Sollecitazioni fondazione (Combinazione n° 33)

X [m]	M [kNm]	V [kN]	N [kN]
0,30	-153,1541	-240,2071	151,9173
1,66	68,8071	-94,0023	148,6209
3,10	134,2680	3,7326	145,1190
4,54	65,5881	102,3354	141,6171
5,90	-156,0737	237,9039	138,3207

Sollecitazioni traverso (Combinazione n° 33)

X [m]	M [kNm]	V [kN]	N [kN]
0,30	-136,5232	187,0522	126,0980
1,70	60,5893	93,9462	122,6917
3,10	127,0732	1,2309	119,2997
4,50	64,0286	-91,4844	115,9077
5,90	-129,6302	-184,5904	112,5014

Sollecitazioni piedritto sinistro (Combinazione n° 33)

Y [m]	M [kNm]	V [kN]	N [kN]
0,30	-153,1541	144,7737	244,3793
2,10	-25,7675	1,0621	215,7158
3,90	-136,5232	-117,8325	187,0522

Sollecitazioni piedritto destro (Combinazione n° 33)

Y [m]	M [kNm]	V [kN]	N [kN]
0,30	-156,0737	-146,1405	241,9175
2,10	-27,9237	-4,6969	213,2540
3,90	-129,6302	112,5014	184,5904

Sollecitazioni fondazione (Combinazione n° 34)

X [m]	M [kNm]	V [kN]	N [kN]
0,30	-144,5685	-225,0584	150,3470
1,66	63,0862	-88,1412	147,0505
3,10	124,3023	3,4768	143,5487
4,54	59,7514	95,8028	140,0468
5,90	-147,6832	222,7882	136,7504

Sollecitazioni traverso (Combinazione n° 34)

X [m]	M [kNm]	V [kN]	N [kN]
0,30	-133,2461	180,2385	127,5424
1,70	56,6966	90,5388	124,1361
3,10	120,7895	1,2155	120,7441
4,50	60,0928	-88,1078	117,3521
5,90	-126,4394	-177,8075	113,9457

Sollecitazioni piedritto sinistro (Combinazione n° 34)

Y [m]	M [kNm]	V [kN]	N [kN]
0,30	-144,5685	143,0701	228,8249
2,10	-20,2043	-0,3709	204,5317
3,90	-133,2461	-119,1368	180,2385

Sollecitazioni piedritto destro (Combinazione n° 34)

Y [m]	M [kNm]	V [kN]	N [kN]
0,30	-147,6832	-144,6961	226,3940
2,10	-22,1331	-3,2525	202,1007
3,90	-126,4394	113,9457	177,8075

Pressioni terreno**Pressioni sul terreno di fondazione (Combinazione n° 1)**

X [m]	s _t [kg/cmq]
0,30	1,83
1,66	1,28
3,10	0,98
4,54	1,28
5,90	1,83

Pressioni sul terreno di fondazione (Combinazione n° 2)

X [m]	s _t [kg/cmq]
0,30	2,38
1,66	1,59
3,10	1,15
4,54	1,59
5,90	2,38

Pressioni sul terreno di fondazione (Combinazione n° 3)

X [m]	s _t [kg/cmq]
0,30	2,53
1,66	1,68
3,10	1,20
4,54	1,63
5,90	2,42

Pressioni sul terreno di fondazione (Combinazione n° 4)

X [m]	s _t [kg/cmq]
0,30	2,50
1,66	1,67
3,10	1,21
4,54	1,67
5,90	2,50

Pressioni sul terreno di fondazione (Combinazione n° 5)

X [m]	s _t [kg/cmq]
0,30	2,42
1,66	1,63
3,10	1,20
4,54	1,68
5,90	2,53

Pressioni sul terreno di fondazione (Combinazione n° 6)

X [m]	s _t [kg/cmq]
0,30	1,33
1,66	1,03
3,10	0,85
4,54	1,08
5,90	1,46

Pressioni sul terreno di fondazione (Combinazione n° 7)

X [m]	s _t [kg/cmq]
0,30	1,08
1,66	0,86
3,10	0,71

4,54	0,91
5,90	1,22

Pressioni sul terreno di fondazione (Combinazione n° 8)

X [m]	st [kg/cmq]
0,30	1,08
1,66	0,76
3,10	0,58
4,54	0,81
5,90	1,19

Pressioni sul terreno di fondazione (Combinazione n° 9)

X [m]	st [kg/cmq]
0,30	0,83
1,66	0,59
3,10	0,44
4,54	0,63
5,90	0,94

Pressioni sul terreno di fondazione (Combinazione n° 10)

X [m]	st [kg/cmq]
0,30	1,46
1,66	1,08
3,10	0,85
4,54	1,03
5,90	1,33

Pressioni sul terreno di fondazione (Combinazione n° 11)

X [m]	st [kg/cmq]
0,30	1,22
1,66	0,91
3,10	0,71
4,54	0,86
5,90	1,08

Pressioni sul terreno di fondazione (Combinazione n° 12)

X [m]	st [kg/cmq]
0,30	1,19
1,66	0,81
3,10	0,58
4,54	0,76
5,90	1,08

Pressioni sul terreno di fondazione (Combinazione n° 13)

X [m]	st [kg/cmq]
0,30	0,94
1,66	0,63
3,10	0,44
4,54	0,59
5,90	0,83

Pressioni sul terreno di fondazione (Combinazione n° 14)

X [m]	st [kg/cmq]
0,30	1,09
1,66	0,69

3,10	0,47
4,54	0,69
5,90	1,09

Pressioni sul terreno di fondazione (Combinazione n° 15)

X [m]	s _t [kg/cmq]
0,30	1,09
1,66	0,69
3,10	0,47
4,54	0,69
5,90	1,09

Pressioni sul terreno di fondazione (Combinazione n° 16)

X [m]	s _t [kg/cmq]
0,30	1,41
1,66	0,89
3,10	0,58
4,54	0,77
5,90	1,16

Pressioni sul terreno di fondazione (Combinazione n° 17)

X [m]	s _t [kg/cmq]
0,30	1,34
1,66	0,86
3,10	0,60
4,54	0,86
5,90	1,34

Pressioni sul terreno di fondazione (Combinazione n° 18)

X [m]	s _t [kg/cmq]
0,30	1,16
1,66	0,77
3,10	0,58
4,54	0,89
5,90	1,41

Pressioni sul terreno di fondazione (Combinazione n° 19)

X [m]	s _t [kg/cmq]
0,30	1,74
1,66	1,15
3,10	0,82
4,54	1,15
5,90	1,74

Pressioni sul terreno di fondazione (Combinazione n° 20)

X [m]	s _t [kg/cmq]
0,30	1,85
1,66	1,22
3,10	0,86
4,54	1,18
5,90	1,76

Pressioni sul terreno di fondazione (Combinazione n° 21)

X [m]	s _t [kg/cmq]
0,30	1,82

1,66	1,21
3,10	0,86
4,54	1,21
5,90	1,82

Pressioni sul terreno di fondazione (Combinazione n° 22)

X [m]	s _t [kg/cmq]
0,30	1,76
1,66	1,18
3,10	0,86
4,54	1,22
5,90	1,85

Pressioni sul terreno di fondazione (Combinazione n° 23)

X [m]	s _t [kg/cmq]
0,30	1,09
1,66	0,72
3,10	0,52
4,54	0,74
5,90	1,13

Pressioni sul terreno di fondazione (Combinazione n° 24)

X [m]	s _t [kg/cmq]
0,30	0,98
1,66	0,64
3,10	0,45
4,54	0,66
5,90	1,02

Pressioni sul terreno di fondazione (Combinazione n° 25)

X [m]	s _t [kg/cmq]
0,30	1,13
1,66	0,74
3,10	0,52
4,54	0,72
5,90	1,09

Pressioni sul terreno di fondazione (Combinazione n° 26)

X [m]	s _t [kg/cmq]
0,30	1,02
1,66	0,66
3,10	0,45
4,54	0,64
5,90	0,98

Pressioni sul terreno di fondazione (Combinazione n° 27)

X [m]	s _t [kg/cmq]
0,30	1,09
1,66	0,72
3,10	0,52
4,54	0,74
5,90	1,13

Pressioni sul terreno di fondazione (Combinazione n° 28)

X [m]	s _t [kg/cmq]
-------	-------------------------

0,30	0,98
1,66	0,64
3,10	0,45
4,54	0,66
5,90	1,02

Pressioni sul terreno di fondazione (Combinazione n° 29)

X [m]	s _t [kg/cmq]
0,30	1,13
1,66	0,74
3,10	0,52
4,54	0,72
5,90	1,09

Pressioni sul terreno di fondazione (Combinazione n° 30)

X [m]	s _t [kg/cmq]
0,30	1,02
1,66	0,66
3,10	0,45
4,54	0,64
5,90	0,98

Pressioni sul terreno di fondazione (Combinazione n° 31)

X [m]	s _t [kg/cmq]
0,30	1,09
1,66	0,72
3,10	0,52
4,54	0,74
5,90	1,13

Pressioni sul terreno di fondazione (Combinazione n° 32)

X [m]	s _t [kg/cmq]
0,30	0,98
1,66	0,64
3,10	0,45
4,54	0,66
5,90	1,02

Pressioni sul terreno di fondazione (Combinazione n° 33)

X [m]	s _t [kg/cmq]
0,30	1,13
1,66	0,74
3,10	0,52
4,54	0,72
5,90	1,09

Pressioni sul terreno di fondazione (Combinazione n° 34)

X [m]	s _t [kg/cmq]
0,30	1,02
1,66	0,66
3,10	0,45
4,54	0,64
5,90	0,98

Verifiche combinazioni SLU

Simbologia adottata ed unità di misura

N°	Indice sezione
X	Ascissa/Ordinata sezione, espresso in cm
M	Momento flettente, espresso in kNm
V	Taglio, espresso in kN
N	Sforzo normale, espresso in kN
N_u	Sforzo normale ultimo, espressa in kN
M_u	Momento ultimo, espressa in kNm
A_{fi}	Area armatura inferiore, espressa in cmq
A_{fs}	Area armatura superiore, espressa in cmq
CS	Coeff. di sicurezza sezione
V_{Rd}	Aliquota taglio assorbita dal calcestruzzo in elementi senza armature trasversali, espressa in kN
V_{Rcd}	Aliquota taglio assorbita dal calcestruzzo in elementi con armature trasversali, espressa in kN
V_{Rsd}	Aliquota taglio assorbita armature trasversali, espressa in kN
A_{sw}	Area armature trasversali nella sezione, espressa in cmq

Verifica sezioni fondazione [Combinazione n° 1 - SLU (Approccio 2)]

Base sezione $B = 100$ cm
 Altezza sezione $H = 60,00$ cm

Verifiche presso-flessione

N°	X	M	N	N_u	M_u	A_{fi}	A_{fs}	CS
1	0,30	184,34 (184,34)	122,91	496,06	743,99	31,42	12,57	4,04
2	1,66	-100,28 (-159,29)	122,91	366,32	-474,73	15,71	18,85	2,98
3	3,10	-185,37 (-185,37)	122,91	206,55	-311,51	15,71	12,57	1,68
4	4,54	-100,28 (-165,24)	122,91	350,20	-470,82	15,71	18,85	2,85
5	5,90	184,34 (184,34)	122,91	496,06	743,99	31,42	12,57	4,04

Verifiche taglio

N°	X	A_{sw}	V	V_{Rd}	V_{Rsd}	V_{Rcd}	FS
1	0,30	6,28	-300,11	0,00	602,40	2318,22	2.007
2	1,66	3,14	-119,20	0,00	301,20	2318,22	2.527
3	3,10	0,00	4,61	244,38	0,00	0,00	53.047
4	4,54	3,14	131,23	0,00	301,20	2318,22	2.295
5	5,90	6,28	300,11	0,00	602,40	2318,22	2.007

Verifica sezioni traverso [Combinazione n° 1 - SLU (Approccio 2)]

Base sezione $B = 100$ cm
 Altezza sezione $H = 60,00$ cm

Verifiche presso-flessione

N°	X	M	N	N_u	M_u	A_{fi}	A_{fs}	CS
1	0,30	-156,29 (-156,29)	84,84	430,18	-792,45	18,85	34,56	5,07
2	1,70	93,97 (152,75)	84,84	326,63	588,09	25,13	18,85	3,85
3	3,10	176,92 (176,92)	84,84	209,47	436,82	18,85	18,85	2,47
4	4,50	93,97 (152,75)	84,84	326,63	588,09	25,13	18,85	3,85
5	5,90	-156,29 (-156,29)	84,84	430,18	-792,45	18,85	34,56	5,07

Verifiche taglio

N°	X	A_{sw}	V	V_{Rd}	V_{Rsd}	V_{Rcd}	FS
1	0,30	6,28	238,01	0,00	602,40	2310,64	2.531
2	1,70	3,14	118,75	0,00	301,20	2310,64	2.536

3	3,10	0,00	0,00	251,35	0,00	0,00	100,000
4	4,50	3,14	-118,75	0,00	301,20	2310,64	2.536
5	5,90	6,28	-238,01	0,00	602,40	2310,64	2.531

Verifica sezioni piedritto sinistro [Combinazione n° 1 - SLU (Approccio 2)]

Base sezione B = 100 cm

Altezza sezione H = 60,00 cm

Verifiche presso-flessione

N°	X	M	N	N _u	M _u	A _{fi}	A _{fs}	CS
1	0,30	-184,34 (-184,34)	306,85	1081,58	-649,77	18,85	18,85	3,52
2	2,10	-73,59 (-74,37)	272,43	4202,46	-1147,17	18,85	18,85	15,43
3	3,90	-156,29 (-184,34)	238,01	727,20	-563,24	18,85	18,85	3,06

Verifiche taglio

N°	X	A _{sw}	V	V _{Rd}	V _{Rsd}	V _{Rcd}	FS
1	0,30	0,00	123,20	281,87	0,00	0,00	2.288
2	2,10	0,00	1,57	277,14	0,00	0,00	177.086
3	3,90	0,00	-84,84	272,41	0,00	0,00	3.211

Verifica sezioni piedritto destro [Combinazione n° 1 - SLU (Approccio 2)]

Base sezione B = 100 cm

Altezza sezione H = 60,00 cm

Verifiche presso-flessione

N°	X	M	N	N _u	M _u	A _{fi}	A _{fs}	CS
1	0,30	-184,34 (-184,34)	306,85	1081,58	-649,77	18,85	18,85	3,52
2	2,10	-73,59 (-74,37)	272,43	4202,46	-1147,17	18,85	18,85	15,43
3	3,90	-156,29 (-184,34)	238,01	727,20	-563,24	18,85	18,85	3,06

Verifiche taglio

N°	X	A _{sw}	V	V _{Rd}	V _{Rsd}	V _{Rcd}	FS
1	0,30	0,00	-123,20	281,87	0,00	0,00	2.288
2	2,10	0,00	-1,57	277,14	0,00	0,00	177.086
3	3,90	0,00	84,84	272,41	0,00	0,00	3.211

Verifica sezioni fondazione [Combinazione n° 2 - SLU (Approccio 2)]

Base sezione B = 100 cm

Altezza sezione H = 60,00 cm

Verifiche presso-flessione

N°	X	M	N	N _u	M _u	A _{fi}	A _{fs}	CS
1	0,30	309,28 (309,28)	282,46	726,33	795,29	31,42	12,57	2,57
2	1,66	-139,53 (-234,13)	282,46	658,15	-545,54	15,71	18,85	2,33
3	3,10	-275,07 (-275,07)	282,46	358,82	-349,43	15,71	12,57	1,27
4	4,54	-139,53 (-241,56)	282,46	629,89	-538,68	15,71	18,85	2,23
5	5,90	309,28 (309,28)	282,46	726,33	795,29	31,42	12,57	2,57

Verifiche taglio

N°	X	A _{sw}	V	V _{Rd}	V _{Rsd}	V _{Rcd}	FS
----	---	-----------------	---	-----------------	------------------	------------------	----

1	0,30	6,28	-480,67	0,00	602,40	2349,99	1.253
2	1,66	3,14	-191,12	0,00	301,20	2349,99	1.576
3	3,10	0,00	5,42	266,32	0,00	0,00	49.117
4	4,54	3,14	206,12	0,00	301,20	2349,99	1.461
5	5,90	6,28	480,67	0,00	602,40	2349,99	1.253

Verifica sezioni traverso [Combinazione n° 2 - SLU (Approccio 2)]

Base sezione B = 100 cm
Altezza sezione H = 60,00 cm

Verifiche presso-flessione

N°	X	M	N	N _u	M _u	A _{fi}	A _{fs}	CS
1	0,30	-309,95 (-309,95)	261,32	724,40	-859,20	18,85	34,56	2,77
2	1,70	145,85 (255,74)	261,32	689,24	674,50	25,13	18,85	2,64
3	3,10	298,46 (298,46)	261,32	429,52	490,55	18,85	18,85	1,64
4	4,50	145,85 (255,74)	261,32	689,24	674,50	25,13	18,85	2,64
5	5,90	-309,95 (-309,95)	261,32	724,40	-859,20	18,85	34,56	2,77

Verifiche taglio

N°	X	A _{sw}	V	V _{Rd}	V _{Rsd}	V _{Rcd}	FS
1	0,30	6,28	420,59	0,00	602,40	2345,78	1.432
2	1,70	3,14	221,99	0,00	301,20	2345,78	1.357
3	3,10	0,00	0,00	275,61	0,00	0,00	100.000
4	4,50	3,14	-221,99	0,00	301,20	2345,78	1.357
5	5,90	6,28	-420,59	0,00	602,40	2345,78	1.432

Verifica sezioni piedritto sinistro [Combinazione n° 2 - SLU (Approccio 2)]

Base sezione B = 100 cm
Altezza sezione H = 60,00 cm

Verifiche presso-flessione

N°	X	M	N	N _u	M _u	A _{fi}	A _{fs}	CS
1	0,30	-309,28 (-309,95)	489,43	991,13	-627,68	18,85	18,85	2,03
2	2,10	-63,40 (-64,94)	455,01	7253,74	-1035,23	18,85	18,85	15,94
3	3,90	-309,95 (-309,95)	420,59	782,64	-576,77	18,85	18,85	1,86

Verifiche taglio

N°	X	A _{sw}	V	V _{Rd}	V _{Rsd}	V _{Rcd}	FS
1	0,30	0,00	283,12	306,98	0,00	0,00	1.084
2	2,10	0,00	-3,11	302,25	0,00	0,00	97.222
3	3,90	0,00	-261,32	297,51	0,00	0,00	1.138

Verifica sezioni piedritto destro [Combinazione n° 2 - SLU (Approccio 2)]

Base sezione B = 100 cm
Altezza sezione H = 60,00 cm

Verifiche presso-flessione

N°	X	M	N	N _u	M _u	A _{fi}	A _{fs}	CS
1	0,30	-309,28 (-309,95)	489,43	991,13	-627,68	18,85	18,85	2,03
2	2,10	-63,40 (-64,94)	455,01	7253,74	-1035,23	18,85	18,85	15,94
3	3,90	-309,95 (-309,95)	420,59	782,64	-576,77	18,85	18,85	1,86

Verifiche taglio

N°	X	A _{sw}	V	V _{Rd}	V _{Rsd}	V _{Rcd}	FS
1	0,30	0,00	-283,12	306,98	0,00	0,00	1.084
2	2,10	0,00	3,11	302,25	0,00	0,00	97.222
3	3,90	0,00	261,32	297,51	0,00	0,00	1.138

Verifica sezioni fondazione [Combinazione n° 3 - SLU (Approccio 2)]

Base sezione B = 100 cm

Altezza sezione H = 60,00 cm

Verifiche presso-flessione

N°	X	M	N	N _u	M _u	A _{fi}	A _{fs}	CS
1	0,30	325,43 (325,43)	298,61	730,64	796,25	31,42	12,57	2,45
2	1,66	-144,73 (-243,24)	298,61	674,66	-549,54	15,71	18,85	2,26
3	3,10	-284,51 (-284,51)	298,61	369,55	-352,10	15,71	12,57	1,24
4	4,54	-142,50 (-248,21)	298,61	655,56	-544,91	15,71	18,85	2,20
5	5,90	319,45 (325,43)	298,61	730,64	796,25	31,42	12,57	2,45

Verifiche taglio

N°	X	A _{sw}	V	V _{Rd}	V _{Rsd}	V _{Rcd}	FS
1	0,30	6,28	-504,45	0,00	602,40	2353,21	1.194
2	1,66	3,14	-199,00	0,00	301,20	2353,21	1.514
3	3,10	0,00	7,07	268,54	0,00	0,00	37.978
4	4,54	3,14	213,56	0,00	301,20	2353,21	1.410
5	5,90	6,28	492,56	0,00	602,40	2353,21	1.223

Verifica sezioni traverso [Combinazione n° 3 - SLU (Approccio 2)]

Base sezione B = 100 cm

Altezza sezione H = 60,00 cm

Verifiche presso-flessione

N°	X	M	N	N _u	M _u	A _{fi}	A _{fs}	CS
1	0,30	-323,68 (-324,45)	278,00	739,06	-862,52	18,85	34,56	2,66
2	1,70	155,20 (269,32)	278,00	698,53	676,71	25,13	18,85	2,51
3	3,10	308,91 (308,91)	278,00	444,84	494,29	18,85	18,85	1,60
4	4,50	146,03 (260,32)	278,00	730,94	684,44	25,13	18,85	2,63
5	5,90	-324,45 (-324,45)	278,00	739,06	-862,52	18,85	34,56	2,66

Verifiche taglio

N°	X	A _{sw}	V	V _{Rd}	V _{Rsd}	V _{Rcd}	FS
1	0,30	6,28	444,91	0,00	602,40	2349,10	1.354
2	1,70	3,14	230,56	0,00	301,20	2349,10	1.306
3	3,10	0,00	-5,81	277,91	0,00	0,00	47.827
4	4,50	3,14	-230,89	0,00	301,20	2349,10	1.305
5	5,90	6,28	-432,59	0,00	602,40	2349,10	1.393

Verifica sezioni piedritto sinistro [Combinazione n° 3 - SLU (Approccio 2)]

Base sezione B = 100 cm

Altezza sezione H = 60,00 cm

Verifiche presso-flessione

N°	X	M	N	N _u	M _u	A _{fi}	A _{fs}	CS
1	0,30	-325,43 (-325,43)	513,75	990,78	-627,60	18,85	18,85	1,93
2	2,10	-63,30 (-64,31)	479,33	7506,80	-1007,24	18,85	18,85	15,66
3	3,90	-323,68 (-325,43)	444,91	791,49	-578,93	18,85	18,85	1,78

Verifiche taglio

N°	X	A _{sw}	V	V _{Rd}	V _{Rsd}	V _{Rcd}	FS
1	0,30	0,00	299,92	310,32	0,00	0,00	1.035
2	2,10	0,00	-2,06	305,59	0,00	0,00	148.393
3	3,90	0,00	-278,00	300,86	0,00	0,00	1.082

Verifica sezioni piedritto destro [Combinazione n° 3 - SLU (Approccio 2)]

Base sezione B = 100 cm

Altezza sezione H = 60,00 cm

Verifiche presso-flessione

N°	X	M	N	N _u	M _u	A _{fi}	A _{fs}	CS
1	0,30	-319,45 (-324,45)	501,44	957,33	-619,43	18,85	18,85	1,91
2	2,10	-61,23 (-63,55)	467,01	7449,20	-1013,61	18,85	18,85	15,95
3	3,90	-324,45 (-324,45)	432,59	762,45	-571,84	18,85	18,85	1,76

Verifiche taglio

N°	X	A _{sw}	V	V _{Rd}	V _{Rsd}	V _{Rcd}	FS
1	0,30	0,00	-298,70	308,63	0,00	0,00	1.033
2	2,10	0,00	4,69	303,90	0,00	0,00	64.821
3	3,90	0,00	278,00	299,16	0,00	0,00	1.076

Verifica sezioni fondazione [Combinazione n° 4 - SLU (Approccio 2)]

Base sezione B = 100 cm

Altezza sezione H = 60,00 cm

Verifiche presso-flessione

N°	X	M	N	N _u	M _u	A _{fi}	A _{fs}	CS
1	0,30	323,63 (323,63)	296,86	730,32	796,18	31,42	12,57	2,46
2	1,66	-145,80 (-244,76)	296,86	663,13	-546,74	15,71	18,85	2,23
3	3,10	-287,60 (-287,60)	296,86	361,32	-350,05	15,71	12,57	1,22
4	4,54	-145,80 (-252,55)	296,86	634,50	-539,80	15,71	18,85	2,14
5	5,90	323,63 (323,63)	296,86	730,32	796,18	31,42	12,57	2,46

Verifiche taglio

N°	X	A _{sw}	V	V _{Rd}	V _{Rsd}	V _{Rcd}	FS
1	0,30	6,28	-502,27	0,00	602,40	2352,86	1.199
2	1,66	3,14	-199,93	0,00	301,20	2352,86	1.507
3	3,10	0,00	5,70	268,30	0,00	0,00	47.109
4	4,54	3,14	215,67	0,00	301,20	2352,86	1.397
5	5,90	6,28	502,27	0,00	602,40	2352,86	1.199

Verifica sezioni trasverso [Combinazione n° 4 - SLU (Approccio 2)]

Base sezione B = 100 cm
 Altezza sezione H = 60,00 cm

Verifiche presso-flessione

N°	X	M	N	N _u	M _u	A _{fi}	A _{fs}	CS
1	0,30	-329,65 (-329,65)	278,77	727,10	-859,81	18,85	34,56	2,61
2	1,70	154,29 (271,94)	278,77	692,15	675,20	25,13	18,85	2,48
3	3,10	317,85 (317,85)	278,77	430,42	490,77	18,85	18,85	1,54
4	4,50	154,29 (271,94)	278,77	692,15	675,20	25,13	18,85	2,48
5	5,90	-329,65 (-329,65)	278,77	727,10	-859,81	18,85	34,56	2,61

Verifiche taglio

N°	X	A _{sw}	V	V _{Rd}	V _{Rsd}	V _{Rcd}	FS
1	0,30	6,28	442,60	0,00	602,40	2349,26	1.361
2	1,70	3,14	237,68	0,00	301,20	2349,26	1.267
3	3,10	0,00	0,00	278,01	0,00	0,00	100.000
4	4,50	3,14	-237,68	0,00	301,20	2349,26	1.267
5	5,90	6,28	-442,60	0,00	602,40	2349,26	1.361

Verifica sezioni piedritto sinistro [Combinazione n° 4 - SLU (Approccio 2)]

Base sezione B = 100 cm
 Altezza sezione H = 60,00 cm

Verifiche presso-flessione

N°	X	M	N	N _u	M _u	A _{fi}	A _{fs}	CS
1	0,30	-323,63 (-329,65)	511,45	963,29	-620,88	18,85	18,85	1,88
2	2,10	-65,92 (-68,20)	477,03	7246,74	-1036,01	18,85	18,85	15,19
3	3,90	-329,65 (-329,65)	442,60	770,38	-573,78	18,85	18,85	1,74

Verifiche taglio

N°	X	A _{sw}	V	V _{Rd}	V _{Rsd}	V _{Rcd}	FS
1	0,30	0,00	297,55	310,01	0,00	0,00	1.042
2	2,10	0,00	-4,60	305,27	0,00	0,00	66.406
3	3,90	0,00	-278,77	300,54	0,00	0,00	1.078

Verifica sezioni piedritto destro [Combinazione n° 4 - SLU (Approccio 2)]

Base sezione B = 100 cm
 Altezza sezione H = 60,00 cm

Verifiche presso-flessione

N°	X	M	N	N _u	M _u	A _{fi}	A _{fs}	CS
1	0,30	-323,63 (-329,65)	511,45	963,29	-620,88	18,85	18,85	1,88
2	2,10	-65,92 (-68,20)	477,03	7246,74	-1036,01	18,85	18,85	15,19
3	3,90	-329,65 (-329,65)	442,60	770,38	-573,78	18,85	18,85	1,74

Verifiche taglio

N°	X	A _{sw}	V	V _{Rd}	V _{Rsd}	V _{Rcd}	FS
1	0,30	0,00	-297,55	310,01	0,00	0,00	1.042
2	2,10	0,00	4,60	305,27	0,00	0,00	66.406
3	3,90	0,00	278,77	300,54	0,00	0,00	1.078

Verifica sezioni fondazione [Combinazione n° 5 - SLU (Approccio 2)]

Base sezione B = 100 cm
 Altezza sezione H = 60,00 cm

Verifiche presso-flessione

N°	X	M	N	N _u	M _u	A _{fi}	A _{fs}	CS
1	0,30	319,45 (325,43)	298,61	730,64	796,25	31,42	12,57	2,45
2	1,66	-142,50 (-240,61)	298,61	685,19	-552,10	15,71	18,85	2,29
3	3,10	-284,51 (-284,51)	298,61	369,55	-352,10	15,71	12,57	1,24
4	4,54	-144,73 (-251,10)	298,61	644,97	-542,34	15,71	18,85	2,16
5	5,90	325,43 (325,43)	298,61	730,64	796,25	31,42	12,57	2,45

Verifiche taglio

N°	X	A _{sw}	V	V _{Rd}	V _{Rsd}	V _{Rcd}	FS
1	0,30	6,28	-492,56	0,00	602,40	2353,21	1.223
2	1,66	3,14	-198,21	0,00	301,20	2353,21	1.520
3	3,10	0,00	4,24	268,54	0,00	0,00	63.275
4	4,54	3,14	214,89	0,00	301,20	2353,21	1.402
5	5,90	6,28	504,45	0,00	602,40	2353,21	1.194

Verifica sezioni traverso [Combinazione n° 5 - SLU (Approccio 2)]

Base sezione B = 100 cm
 Altezza sezione H = 60,00 cm

Verifiche presso-flessione

N°	X	M	N	N _u	M _u	A _{fi}	A _{fs}	CS
1	0,30	-324,45 (-324,45)	278,00	739,06	-862,52	18,85	34,56	2,66
2	1,70	146,03 (260,32)	278,00	730,94	684,44	25,13	18,85	2,63
3	3,10	308,91 (308,91)	278,00	444,84	494,29	18,85	18,85	1,60
4	4,50	155,20 (269,32)	278,00	698,53	676,71	25,13	18,85	2,51
5	5,90	-323,68 (-324,45)	278,00	739,06	-862,52	18,85	34,56	2,66

Verifiche taglio

N°	X	A _{sw}	V	V _{Rd}	V _{Rsd}	V _{Rcd}	FS
1	0,30	6,28	432,59	0,00	602,40	2349,10	1.393
2	1,70	3,14	230,89	0,00	301,20	2349,10	1.305
3	3,10	0,00	5,81	277,91	0,00	0,00	47.827
4	4,50	3,14	-230,56	0,00	301,20	2349,10	1.306
5	5,90	6,28	-444,91	0,00	602,40	2349,10	1.354

Verifica sezioni piedritto sinistro [Combinazione n° 5 - SLU (Approccio 2)]

Base sezione B = 100 cm
 Altezza sezione H = 60,00 cm

Verifiche presso-flessione

N°	X	M	N	N _u	M _u	A _{fi}	A _{fs}	CS
1	0,30	-319,45 (-324,45)	501,44	957,33	-619,43	18,85	18,85	1,91
2	2,10	-61,23 (-63,55)	467,01	7449,20	-1013,61	18,85	18,85	15,95
3	3,90	-324,45 (-324,45)	432,59	762,45	-571,84	18,85	18,85	1,76

Verifiche taglio

N°	X	A _{sw}	V	V _{Rd}	V _{Rsd}	V _{Rcd}	FS
----	---	-----------------	---	-----------------	------------------	------------------	----

1	0,30	0,00	298,70	308,63	0,00	0,00	1.033
2	2,10	0,00	-4,69	303,90	0,00	0,00	64.821
3	3,90	0,00	-278,00	299,16	0,00	0,00	1.076

Verifica sezioni piedritto destro [Combinazione n° 5 - SLU (Approccio 2)]

Base sezione B = 100 cm

Altezza sezione H = 60,00 cm

Verifiche presso-flessione

N°	X	M	N	N _u	M _u	A _{fi}	A _{fs}	CS
1	0,30	-325,43 (-325,43)	513,75	990,78	-627,60	18,85	18,85	1,93
2	2,10	-63,30 (-64,31)	479,33	7506,80	-1007,24	18,85	18,85	15,66
3	3,90	-323,68 (-325,43)	444,91	791,49	-578,93	18,85	18,85	1,78

Verifiche taglio

N°	X	A _{sw}	V	V _{Rd}	V _{Rsd}	V _{Rcd}	FS
1	0,30	0,00	-299,92	310,32	0,00	0,00	1.035
2	2,10	0,00	2,06	305,59	0,00	0,00	148.393
3	3,90	0,00	278,00	300,86	0,00	0,00	1.082

Verifica sezioni fondazione [Combinazione n° 6 - SLU (Approccio 2) - Sisma Vert. positivo]

Base sezione B = 100 cm

Altezza sezione H = 60,00 cm

Verifiche presso-flessione

N°	X	M	N	N _u	M _u	A _{fi}	A _{fs}	CS
1	0,30	185,52 (185,52)	192,80	856,65	824,33	31,42	12,57	4,44
2	1,66	-49,81 (-101,44)	200,17	1451,91	-735,80	15,71	18,85	7,25
3	3,10	-129,03 (-129,20)	208,00	698,85	-434,10	15,71	12,57	3,36
4	4,54	-62,77 (-116,02)	215,84	1308,45	-703,33	15,71	18,85	6,06
5	5,90	170,28 (185,52)	223,21	1041,25	865,45	31,42	12,57	4,66

Verifiche taglio

N°	X	A _{sw}	V	V _{Rd}	V _{Rsd}	V _{Rcd}	FS
1	0,30	6,28	-239,44	0,00	602,40	2332,14	2.516
2	1,66	3,14	-104,30	0,00	301,20	2333,61	2.888
3	3,10	0,00	-0,99	256,08	0,00	0,00	257.444
4	4,54	3,14	107,57	0,00	301,20	2336,73	2.800
5	5,90	6,28	244,22	0,00	602,40	2338,19	2.467

Verifica sezioni traverso [Combinazione n° 6 - SLU (Approccio 2) - Sisma Vert. positivo]

Base sezione B = 100 cm

Altezza sezione H = 60,00 cm

Verifiche presso-flessione

N°	X	M	N	N _u	M _u	A _{fi}	A _{fs}	CS
1	0,30	-138,21 (-153,00)	172,96	1056,43	-934,52	18,85	34,56	6,11
2	1,70	51,79 (95,99)	180,58	1701,35	904,34	25,13	18,85	9,42
3	3,10	112,31 (112,31)	188,17	1093,49	652,67	18,85	18,85	5,81
4	4,50	44,41 (91,22)	195,75	2114,22	985,22	25,13	18,85	10,80
5	5,90	-153,00 (-153,00)	203,37	1322,36	-994,85	18,85	34,56	6,50

Verifiche taglio

N°	X	A _{sw}	V	V _{Rd}	V _{Rsd}	V _{Rcd}	FS
1	0,30	6,28	181,59	0,00	602,40	2328,19	3.317
2	1,70	3,14	89,28	0,00	301,20	2329,70	3.374
3	3,10	0,00	-2,64	265,55	0,00	0,00	100.541
4	4,50	3,14	-94,56	0,00	301,20	2332,73	3.185
5	5,90	6,28	-186,87	0,00	602,40	2334,24	3.224

Verifica sezioni piedritto sinistro [Combinazione n° 6 - SLU (Approccio 2) - Sisma Vert. positivo]

Base sezione B = 100 cm

Altezza sezione H = 60,00 cm

Verifiche presso-flessione

N°	X	M	N	N _u	M _u	A _{fi}	A _{fs}	CS
1	0,30	-185,52 (-185,52)	244,32	748,61	-568,46	18,85	18,85	3,06
2	2,10	13,50 (13,85)	212,95	9821,29	638,79	18,85	18,85	46,12
3	3,90	-138,21 (-185,52)	181,59	496,04	-506,79	18,85	18,85	2,73

Verifiche taglio

N°	X	A _{sw}	V	V _{Rd}	V _{Rsd}	V _{Rcd}	FS
1	0,30	0,00	216,75	273,28	0,00	0,00	1.261
2	2,10	0,00	8,76	268,96	0,00	0,00	30.703
3	3,90	0,00	-172,96	264,65	0,00	0,00	1.530

Verifica sezioni piedritto destro [Combinazione n° 6 - SLU (Approccio 2) - Sisma Vert. positivo]

Base sezione B = 100 cm

Altezza sezione H = 60,00 cm

Verifiche presso-flessione

N°	X	M	N	N _u	M _u	A _{fi}	A _{fs}	CS
1	0,30	-170,28 (-170,28)	249,60	880,43	-600,65	18,85	18,85	3,53
2	2,10	11,26 (11,26)	218,24	9955,35	513,65	18,85	18,85	45,62
3	3,90	-153,00 (-170,28)	186,87	578,16	-526,84	18,85	18,85	3,09

Verifiche taglio

N°	X	A _{sw}	V	V _{Rd}	V _{Rsd}	V _{Rcd}	FS
1	0,30	0,00	-200,23	274,00	0,00	0,00	1.368
2	2,10	0,00	1,72	269,69	0,00	0,00	157.216
3	3,90	0,00	177,02	265,38	0,00	0,00	1.499

Verifica sezioni fondazione [Combinazione n° 7 - SLU (Approccio 2) - Sisma Vert. negativo]

Base sezione B = 100 cm

Altezza sezione H = 60,00 cm

Verifiche presso-flessione

N°	X	M	N	N _u	M _u	A _{fi}	A _{fs}	CS
1	0,30	166,76 (166,76)	189,29	962,45	847,90	31,42	12,57	5,08
2	1,66	-36,76 (-81,98)	196,66	2076,94	-865,84	15,71	18,85	10,56
3	3,10	-106,74 (-106,96)	204,49	949,00	-496,39	15,71	12,57	4,64

4	4,54	-49,98 (-95,91)	212,32	1780,16	-804,10	15,71	18,85	8,38
5	5,90	151,08 (166,76)	219,70	1181,31	896,66	31,42	12,57	5,38

Verifiche taglio

N°	X	A _{sw}	V	V _{Rd}	V _{Rsd}	V _{Rcd}	FS
1	0,30	6,28	-205,63	0,00	602,40	2331,44	2,929
2	1,66	3,14	-91,36	0,00	301,20	2332,91	3,297
3	3,10	0,00	-1,75	255,60	0,00	0,00	145,963
4	4,54	3,14	92,79	0,00	301,20	2336,03	3,246
5	5,90	6,28	210,34	0,00	602,40	2337,49	2,864

Verifica sezioni trasverso [Combinazione n° 7 - SLU (Approccio 2) - Sisma Vert. negativo]

Base sezione B = 100 cm

Altezza sezione H = 60,00 cm

Verifiche presso-flessione

N°	X	M	N	N _u	M _u	A _{fi}	A _{fs}	CS
1	0,30	-131,08 (-145,67)	176,19	1158,24	-957,62	18,85	34,56	6,57
2	1,70	42,99 (83,45)	183,81	2203,24	1000,21	25,13	18,85	11,99
3	3,10	98,26 (98,26)	191,40	1429,56	733,89	18,85	18,85	7,47
4	4,50	35,71 (78,74)	198,98	2724,56	1078,16	25,13	18,85	13,69
5	5,90	-145,67 (-145,67)	206,60	1452,98	-1024,48	18,85	34,56	7,03

Verifiche taglio

N°	X	A _{sw}	V	V _{Rd}	V _{Rsd}	V _{Rcd}	FS
1	0,30	6,28	166,42	0,00	602,40	2328,83	3,620
2	1,70	3,14	81,73	0,00	301,20	2330,35	3,685
3	3,10	0,00	-2,61	266,00	0,00	0,00	102,040
4	4,50	3,14	-86,94	0,00	301,20	2333,37	3,464
5	5,90	6,28	-171,63	0,00	602,40	2334,89	3,510

Verifica sezioni piedritto sinistro [Combinazione n° 7 - SLU (Approccio 2) - Sisma Vert. negativo]

Base sezione B = 100 cm

Altezza sezione H = 60,00 cm

Verifiche presso-flessione

N°	X	M	N	N _u	M _u	A _{fi}	A _{fs}	CS
1	0,30	-166,76 (-166,76)	209,60	699,40	-556,45	18,85	18,85	3,34
2	2,10	26,45 (26,52)	188,01	7302,32	1029,86	18,85	18,85	38,84
3	3,90	-131,08 (-166,76)	166,42	508,88	-509,93	18,85	18,85	3,06

Verifiche taglio

N°	X	A _{sw}	V	V _{Rd}	V _{Rsd}	V _{Rcd}	FS
1	0,30	0,00	213,52	268,50	0,00	0,00	1,258
2	2,10	0,00	5,53	265,53	0,00	0,00	48,020
3	3,90	0,00	-176,19	262,56	0,00	0,00	1,490

Verifica sezioni piedritto destro [Combinazione n° 7 - SLU (Approccio 2) - Sisma Vert. negativo]

Base sezione B = 100 cm

Altezza sezione H = 60,00 cm

Verifiche presso-flessione

N°	X	M	N	N _u	M _u	A _{fi}	A _{fs}	CS
1	0,30	-151,08 (-151,08)	214,81	839,98	-590,77	18,85	18,85	3,91
2	2,10	23,70 (23,70)	193,22	7862,14	964,45	18,85	18,85	40,69
3	3,90	-145,67 (-151,08)	171,63	606,31	-533,72	18,85	18,85	3,53

Verifiche taglio

N°	X	A _{sw}	V	V _{Rd}	V _{Rsd}	V _{Rcd}	FS
1	0,30	0,00	-196,42	269,22	0,00	0,00	1.371
2	2,10	0,00	4,92	266,25	0,00	0,00	54.112
3	3,90	0,00	179,94	263,28	0,00	0,00	1.463

Verifica sezioni fondazione [Combinazione n° 8 - SLU (Approccio 2) - Sisma Vert. positivo]

Base sezione B = 100 cm

Altezza sezione H = 60,00 cm

Verifiche presso-flessione

N°	X	M	N	N _u	M _u	A _{fi}	A _{fs}	CS
1	0,30	178,17 (178,17)	181,66	835,70	819,66	31,42	12,57	4,60
2	1,66	-55,04 (-105,99)	189,03	1213,16	-680,20	15,71	18,85	6,42
3	3,10	-131,10 (-131,14)	196,86	623,48	-415,33	15,71	12,57	3,17
4	4,54	-63,91 (-116,39)	204,69	1183,72	-673,06	15,71	18,85	5,78
5	5,90	168,89 (178,17)	212,07	1026,09	862,08	31,42	12,57	4,84

Verifiche taglio

N°	X	A _{sw}	V	V _{Rd}	V _{Rsd}	V _{Rcd}	FS
1	0,30	6,28	-246,21	0,00	602,40	2329,92	2.447
2	1,66	3,14	-102,92	0,00	301,20	2331,39	2.926
3	3,10	0,00	-0,80	254,55	0,00	0,00	319.421
4	4,54	3,14	106,02	0,00	301,20	2334,51	2.841
5	5,90	6,28	250,96	0,00	602,40	2335,97	2.400

Verifica sezioni trasverso [Combinazione n° 8 - SLU (Approccio 2) - Sisma Vert. positivo]

Base sezione B = 100 cm

Altezza sezione H = 60,00 cm

Verifiche presso-flessione

N°	X	M	N	N _u	M _u	A _{fi}	A _{fs}	CS
1	0,30	-139,61 (-154,01)	160,13	945,45	-909,35	18,85	34,56	5,90
2	1,70	56,59 (102,25)	167,75	1374,53	837,81	25,13	18,85	8,19
3	3,10	119,22 (119,22)	175,33	884,97	601,76	18,85	18,85	5,05
4	4,50	49,40 (97,61)	182,92	1691,00	902,31	25,13	18,85	9,24
5	5,90	-154,01 (-154,01)	190,54	1195,06	-965,97	18,85	34,56	6,27

Verifiche taglio

N°	X	A _{sw}	V	V _{Rd}	V _{Rsd}	V _{Rcd}	FS
1	0,30	6,28	187,45	0,00	602,40	2325,63	3.214
2	1,70	3,14	92,24	0,00	301,20	2327,15	3.265
3	3,10	0,00	-2,57	263,79	0,00	0,00	102.554
4	4,50	3,14	-97,38	0,00	301,20	2330,17	3.093
5	5,90	6,28	-192,60	0,00	602,40	2331,69	3.128

Verifica sezioni piedritto sinistro [Combinazione n° 8 - SLU (Approccio 2) - Sisma Vert. positivo]

Base sezione B = 100 cm
 Altezza sezione H = 60,00 cm

Verifiche presso-flessione

N°	X	M	N	N _u	M _u	A _{fi}	A _{fs}	CS
1	0,30	-178,17 (-178,17)	250,18	824,12	-586,90	18,85	18,85	3,29
2	2,10	1,93 (2,26)	218,82	10390,78	107,17	18,85	18,85	47,49
3	3,90	-139,61 (-178,17)	187,45	546,04	-519,00	18,85	18,85	2,91

Verifiche taglio

N°	X	A _{sw}	V	V _{Rd}	V _{Rsd}	V _{Rcd}	FS
1	0,30	0,00	200,50	274,08	0,00	0,00	1.367
2	2,10	0,00	8,06	269,77	0,00	0,00	33.459
3	3,90	0,00	-160,13	265,46	0,00	0,00	1.658

Verifica sezioni piedritto destro [Combinazione n° 8 - SLU (Approccio 2) - Sisma Vert. positivo]

Base sezione B = 100 cm
 Altezza sezione H = 60,00 cm

Verifiche presso-flessione

N°	X	M	N	N _u	M _u	A _{fi}	A _{fs}	CS
1	0,30	-168,89 (-168,89)	255,33	924,26	-611,35	18,85	18,85	3,62
2	2,10	3,72 (3,72)	223,96	10321,93	171,44	18,85	18,85	46,09
3	3,90	-154,01 (-168,89)	192,60	609,54	-534,51	18,85	18,85	3,16

Verifiche taglio

N°	X	A _{sw}	V	V _{Rd}	V _{Rsd}	V _{Rcd}	FS
1	0,30	0,00	-194,14	274,79	0,00	0,00	1.415
2	2,10	0,00	0,25	270,48	0,00	0,00	1098.195
3	3,90	0,00	169,97	266,16	0,00	0,00	1.566

Verifica sezioni fondazione [Combinazione n° 9 - SLU (Approccio 2) - Sisma Vert. negativo]

Base sezione B = 100 cm
 Altezza sezione H = 60,00 cm

Verifiche presso-flessione

N°	X	M	N	N _u	M _u	A _{fi}	A _{fs}	CS
1	0,30	159,40 (159,40)	178,14	942,65	843,49	31,42	12,57	5,29
2	1,66	-41,98 (-86,53)	185,52	1678,81	-783,01	15,71	18,85	9,05
3	3,10	-108,81 (-108,90)	193,35	827,73	-466,19	15,71	12,57	4,28
4	4,54	-51,11 (-96,28)	201,18	1603,38	-767,32	15,71	18,85	7,97
5	5,90	149,68 (159,40)	208,55	1169,77	894,09	31,42	12,57	5,61

Verifiche taglio

N°	X	A _{sw}	V	V _{Rd}	V _{Rsd}	V _{Rcd}	FS
1	0,30	6,28	-212,40	0,00	602,40	2329,22	2.836
2	1,66	3,14	-89,98	0,00	301,20	2330,69	3.347
3	3,10	0,00	-1,55	254,07	0,00	0,00	163.564
4	4,54	3,14	91,24	0,00	301,20	2333,81	3.301

5	5,90	6,28	217,08	0,00	602,40	2335,27	2.775
---	------	------	--------	------	--------	---------	-------

Verifica sezioni trasverso [Combinazione n° 9 - SLU (Approccio 2) - Sisma Vert. negativo]

Base sezione B = 100 cm
Altezza sezione H = 60,00 cm

Verifiche presso-flessione

N°	X	M	N	N _u	M _u	A _{fi}	A _{fs}	CS
1	0,30	-132,47 (-146,68)	163,36	1035,46	-929,77	18,85	34,56	6,34
2	1,70	47,78 (89,71)	170,98	1736,97	911,32	25,13	18,85	10,16
3	3,10	105,17 (105,17)	178,56	1118,56	658,79	18,85	18,85	6,26
4	4,50	40,69 (85,13)	186,15	2179,42	996,65	25,13	18,85	11,71
5	5,90	-146,68 (-146,68)	193,77	1310,70	-992,21	18,85	34,56	6,76

Verifiche taglio

N°	X	A _{sw}	V	V _{Rd}	V _{Rsd}	V _{Rcd}	FS
1	0,30	6,28	172,28	0,00	602,40	2326,27	3.497
2	1,70	3,14	84,69	0,00	301,20	2327,79	3.557
3	3,10	0,00	-2,54	264,23	0,00	0,00	104.121
4	4,50	3,14	-89,76	0,00	301,20	2330,81	3.355
5	5,90	6,28	-177,36	0,00	602,40	2332,33	3.397

Verifica sezioni piedritto sinistro [Combinazione n° 9 - SLU (Approccio 2) - Sisma Vert. negativo]

Base sezione B = 100 cm
Altezza sezione H = 60,00 cm

Verifiche presso-flessione

N°	X	M	N	N _u	M _u	A _{fi}	A _{fs}	CS
1	0,30	-159,40 (-159,40)	215,46	778,13	-575,67	18,85	18,85	3,61
2	2,10	14,88 (14,92)	193,87	9418,45	724,88	18,85	18,85	48,58
3	3,90	-132,47 (-159,40)	172,28	566,27	-523,94	18,85	18,85	3,29

Verifiche taglio

N°	X	A _{sw}	V	V _{Rd}	V _{Rsd}	V _{Rcd}	FS
1	0,30	0,00	197,27	269,31	0,00	0,00	1.365
2	2,10	0,00	4,83	266,34	0,00	0,00	55.118
3	3,90	0,00	-163,36	263,37	0,00	0,00	1.612

Verifica sezioni piedritto destro [Combinazione n° 9 - SLU (Approccio 2) - Sisma Vert. negativo]

Base sezione B = 100 cm
Altezza sezione H = 60,00 cm

Verifiche presso-flessione

N°	X	M	N	N _u	M _u	A _{fi}	A _{fs}	CS
1	0,30	-149,68 (-149,68)	220,54	887,53	-602,38	18,85	18,85	4,02
2	2,10	16,16 (16,16)	198,95	9266,50	752,80	18,85	18,85	46,58
3	3,90	-146,68 (-149,68)	177,36	643,00	-542,68	18,85	18,85	3,63

Verifiche taglio

N°	X	A _{sw}	V	V _{Rd}	V _{Rsd}	V _{Rcd}	FS
----	---	-----------------	---	-----------------	------------------	------------------	----

1	0,30	0,00	-190,33	270,01	0,00	0,00	1.419
2	2,10	0,00	3,45	267,04	0,00	0,00	77.374
3	3,90	0,00	172,88	264,07	0,00	0,00	1.527

Verifica sezioni fondazione [Combinazione n° 10 - SLU (Approccio 2) - Sisma Vert. positivo]

Base sezione B = 100 cm

Altezza sezione H = 60,00 cm

Verifiche presso-flessione

N°	X	M	N	N _u	M _u	A _{fi}	A _{fs}	CS
1	0,30	170,28 (185,52)	223,21	1041,25	865,45	31,42	12,57	4,66
2	1,66	-62,77 (-110,96)	215,84	1417,33	-728,60	15,71	18,85	6,57
3	3,10	-129,03 (-129,20)	208,00	698,85	-434,10	15,71	12,57	3,36
4	4,54	-49,81 (-106,27)	200,17	1338,61	-710,64	15,71	18,85	6,69
5	5,90	185,52 (185,52)	192,80	856,65	824,33	31,42	12,57	4,44

Verifiche taglio

N°	X	A _{sw}	V	V _{Rd}	V _{Rsd}	V _{Rcd}	FS
1	0,30	6,28	-244,22	0,00	602,40	2338,19	2.467
2	1,66	3,14	-97,34	0,00	301,20	2336,73	3.094
3	3,10	0,00	9,06	256,08	0,00	0,00	28.280
4	4,54	3,14	114,05	0,00	301,20	2333,61	2.641
5	5,90	6,28	239,44	0,00	602,40	2332,14	2.516

Verifica sezioni traverso [Combinazione n° 10 - SLU (Approccio 2) - Sisma Vert. positivo]

Base sezione B = 100 cm

Altezza sezione H = 60,00 cm

Verifiche presso-flessione

N°	X	M	N	N _u	M _u	A _{fi}	A _{fs}	CS
1	0,30	-153,00 (-153,00)	203,37	1322,36	-994,85	18,85	34,56	6,50
2	1,70	44,41 (91,22)	195,75	2114,22	985,22	25,13	18,85	10,80
3	3,10	112,31 (112,31)	188,17	1093,49	652,67	18,85	18,85	5,81
4	4,50	51,79 (95,99)	180,58	1701,35	904,34	25,13	18,85	9,42
5	5,90	-138,21 (-153,00)	172,96	1056,43	-934,52	18,85	34,56	6,11

Verifiche taglio

N°	X	A _{sw}	V	V _{Rd}	V _{Rsd}	V _{Rcd}	FS
1	0,30	6,28	186,87	0,00	602,40	2334,24	3.224
2	1,70	3,14	94,56	0,00	301,20	2332,73	3.185
3	3,10	0,00	2,64	265,55	0,00	0,00	100.541
4	4,50	3,14	-89,28	0,00	301,20	2329,70	3.374
5	5,90	6,28	-181,59	0,00	602,40	2328,19	3.317

Verifica sezioni piedritto sinistro [Combinazione n° 10 - SLU (Approccio 2) - Sisma Vert. positivo]

Base sezione B = 100 cm

Altezza sezione H = 60,00 cm

Verifiche presso-flessione

N°	X	M	N	N _u	M _u	A _{fi}	A _{fs}	CS
1	0,30	-170,28 (-170,28)	249,60	880,43	-600,65	18,85	18,85	3,53

2	2,10	11,26 (11,26)	218,24	9955,35	513,65	18,85	18,85	45,62
3	3,90	-153,00 (-170,28)	186,87	578,16	-526,84	18,85	18,85	3,09

Verifiche taglio

N°	X	A _{sw}	V	V _{Rd}	V _{Rsd}	V _{Rcd}	FS
1	0,30	0,00	200,23	274,00	0,00	0,00	1.368
2	2,10	0,00	-1,72	269,69	0,00	0,00	157.216
3	3,90	0,00	-177,02	265,38	0,00	0,00	1.499

Verifica sezioni piedritto destro [Combinazione n° 10 - SLU (Approccio 2) - Sisma Vert. positivo]

Base sezione B = 100 cm

Altezza sezione H = 60,00 cm

Verifiche presso-flessione

N°	X	M	N	N _u	M _u	A _{fi}	A _{fs}	CS
1	0,30	-185,52 (-185,52)	244,32	748,61	-568,46	18,85	18,85	3,06
2	2,10	13,50 (13,85)	212,95	9821,29	638,79	18,85	18,85	46,12
3	3,90	-138,21 (-185,52)	181,59	496,04	-506,79	18,85	18,85	2,73

Verifiche taglio

N°	X	A _{sw}	V	V _{Rd}	V _{Rsd}	V _{Rcd}	FS
1	0,30	0,00	-216,75	273,28	0,00	0,00	1.261
2	2,10	0,00	-8,76	268,96	0,00	0,00	30.703
3	3,90	0,00	172,96	264,65	0,00	0,00	1.530

Verifica sezioni fondazione [Combinazione n° 11 - SLU (Approccio 2) - Sisma Vert. negativo]

Base sezione B = 100 cm

Altezza sezione H = 60,00 cm

Verifiche presso-flessione

N°	X	M	N	N _u	M _u	A _{fi}	A _{fs}	CS
1	0,30	151,08 (166,76)	219,70	1181,31	896,66	31,42	12,57	5,38
2	1,66	-49,98 (-91,67)	212,32	1938,98	-837,15	15,71	18,85	9,13
3	3,10	-106,74 (-106,96)	204,49	949,00	-496,39	15,71	12,57	4,64
4	4,54	-36,76 (-85,98)	196,66	1892,80	-827,54	15,71	18,85	9,62
5	5,90	166,76 (166,76)	189,29	962,45	847,90	31,42	12,57	5,08

Verifiche taglio

N°	X	A _{sw}	V	V _{Rd}	V _{Rsd}	V _{Rcd}	FS
1	0,30	6,28	-210,34	0,00	602,40	2337,49	2.864
2	1,66	3,14	-84,23	0,00	301,20	2336,03	3.576
3	3,10	0,00	8,48	255,60	0,00	0,00	30.131
4	4,54	3,14	99,44	0,00	301,20	2332,91	3.029
5	5,90	6,28	205,63	0,00	602,40	2331,44	2.929

Verifica sezioni traverso [Combinazione n° 11 - SLU (Approccio 2) - Sisma Vert. negativo]

Base sezione B = 100 cm

Altezza sezione H = 60,00 cm

Verifiche presso-flessione

N°	X	M	N	N _u	M _u	A _{fi}	A _{fs}	CS
1	0,30	-145,67 (-145,67)	206,60	1452,98	-1024,48	18,85	34,56	7,03
2	1,70	35,71 (78,74)	198,98	2724,56	1078,16	25,13	18,85	13,69
3	3,10	98,26 (98,26)	191,40	1429,56	733,89	18,85	18,85	7,47
4	4,50	42,99 (83,45)	183,81	2203,24	1000,21	25,13	18,85	11,99
5	5,90	-131,08 (-145,67)	176,19	1158,24	-957,62	18,85	34,56	6,57

Verifiche taglio

N°	X	A _{sw}	V	V _{Rd}	V _{Rsd}	V _{Rcd}	FS
1	0,30	6,28	171,63	0,00	602,40	2334,89	3.510
2	1,70	3,14	86,94	0,00	301,20	2333,37	3.464
3	3,10	0,00	2,61	266,00	0,00	0,00	102.040
4	4,50	3,14	-81,73	0,00	301,20	2330,35	3.685
5	5,90	6,28	-166,42	0,00	602,40	2328,83	3.620

Verifica sezioni piedritto sinistro [Combinazione n° 11 - SLU (Approccio 2) - Sisma Vert. negativo]

Base sezione B = 100 cm
 Altezza sezione H = 60,00 cm

Verifiche presso-flessione

N°	X	M	N	N _u	M _u	A _{fi}	A _{fs}	CS
1	0,30	-151,08 (-151,08)	214,81	839,98	-590,77	18,85	18,85	3,91
2	2,10	23,70 (23,70)	193,22	7862,14	964,45	18,85	18,85	40,69
3	3,90	-145,67 (-151,08)	171,63	606,31	-533,72	18,85	18,85	3,53

Verifiche taglio

N°	X	A _{sw}	V	V _{Rd}	V _{Rsd}	V _{Rcd}	FS
1	0,30	0,00	196,42	269,22	0,00	0,00	1.371
2	2,10	0,00	-4,92	266,25	0,00	0,00	54.112
3	3,90	0,00	-179,94	263,28	0,00	0,00	1.463

Verifica sezioni piedritto destro [Combinazione n° 11 - SLU (Approccio 2) - Sisma Vert. negativo]

Base sezione B = 100 cm
 Altezza sezione H = 60,00 cm

Verifiche presso-flessione

N°	X	M	N	N _u	M _u	A _{fi}	A _{fs}	CS
1	0,30	-166,76 (-166,76)	209,60	699,40	-556,45	18,85	18,85	3,34
2	2,10	26,45 (26,52)	188,01	7302,32	1029,86	18,85	18,85	38,84
3	3,90	-131,08 (-166,76)	166,42	508,88	-509,93	18,85	18,85	3,06

Verifiche taglio

N°	X	A _{sw}	V	V _{Rd}	V _{Rsd}	V _{Rcd}	FS
1	0,30	0,00	-213,52	268,50	0,00	0,00	1.258
2	2,10	0,00	-5,53	265,53	0,00	0,00	48.020
3	3,90	0,00	176,19	262,56	0,00	0,00	1.490

Verifica sezioni fondazione [Combinazione n° 12 - SLU (Approccio 2) - Sisma Vert. positivo]

Base sezione B = 100 cm
 Altezza sezione H = 60,00 cm

Verifiche presso-flessione

N°	X	M	N	N _u	M _u	A _{fi}	A _{fs}	CS
1	0,30	168,89 (178,17)	212,07	1026,09	862,08	31,42	12,57	4,84
2	1,66	-63,91 (-112,63)	204,69	1254,37	-690,20	15,71	18,85	6,13
3	3,10	-131,10 (-131,14)	196,86	623,48	-415,33	15,71	12,57	3,17
4	4,54	-55,04 (-109,55)	189,03	1145,24	-663,73	15,71	18,85	6,06
5	5,90	178,17 (178,17)	181,66	835,70	819,66	31,42	12,57	4,60

Verifiche taglio

N°	X	A _{sw}	V	V _{Rd}	V _{Rsd}	V _{Rcd}	FS
1	0,30	6,28	-250,96	0,00	602,40	2335,97	2.400
2	1,66	3,14	-98,43	0,00	301,20	2334,51	3.060
3	3,10	0,00	6,23	254,55	0,00	0,00	40.857
4	4,54	3,14	110,13	0,00	301,20	2331,39	2.735
5	5,90	6,28	246,21	0,00	602,40	2329,92	2.447

Verifica sezioni trasverso [Combinazione n° 12 - SLU (Approccio 2) - Sisma Vert. positivo]

Base sezione B = 100 cm

Altezza sezione H = 60,00 cm

Verifiche presso-flessione

N°	X	M	N	N _u	M _u	A _{fi}	A _{fs}	CS
1	0,30	-154,01 (-154,01)	190,54	1195,06	-965,97	18,85	34,56	6,27
2	1,70	49,40 (97,61)	182,92	1691,00	902,31	25,13	18,85	9,24
3	3,10	119,22 (119,22)	175,33	884,97	601,76	18,85	18,85	5,05
4	4,50	56,59 (102,25)	167,75	1374,53	837,81	25,13	18,85	8,19
5	5,90	-139,61 (-154,01)	160,13	945,45	-909,35	18,85	34,56	5,90

Verifiche taglio

N°	X	A _{sw}	V	V _{Rd}	V _{Rsd}	V _{Rcd}	FS
1	0,30	6,28	192,60	0,00	602,40	2331,69	3.128
2	1,70	3,14	97,38	0,00	301,20	2330,17	3.093
3	3,10	0,00	2,57	263,79	0,00	0,00	102.554
4	4,50	3,14	-92,24	0,00	301,20	2327,15	3.265
5	5,90	6,28	-187,45	0,00	602,40	2325,63	3.214

Verifica sezioni piedritto sinistro [Combinazione n° 12 - SLU (Approccio 2) - Sisma Vert. positivo]

Base sezione B = 100 cm

Altezza sezione H = 60,00 cm

Verifiche presso-flessione

N°	X	M	N	N _u	M _u	A _{fi}	A _{fs}	CS
1	0,30	-168,89 (-168,89)	255,33	924,26	-611,35	18,85	18,85	3,62
2	2,10	3,72 (3,72)	223,96	10321,93	171,44	18,85	18,85	46,09
3	3,90	-154,01 (-168,89)	192,60	609,54	-534,51	18,85	18,85	3,16

Verifiche taglio

N°	X	A _{sw}	V	V _{Rd}	V _{Rsd}	V _{Rcd}	FS
1	0,30	0,00	194,14	274,79	0,00	0,00	1.415
2	2,10	0,00	-0,25	270,48	0,00	0,00	1098.195
3	3,90	0,00	-169,97	266,16	0,00	0,00	1.566

Verifica sezioni piedritto destro [Combinazione n° 12 - SLU (Approccio 2) - Sisma Vert. positivo]

Base sezione B = 100 cm
 Altezza sezione H = 60,00 cm

Verifiche presso-flessione

N°	X	M	N	N _u	M _u	A _{fi}	A _{fs}	CS
1	0,30	-178,17 (-178,17)	250,18	824,12	-586,90	18,85	18,85	3,29
2	2,10	1,93 (2,26)	218,82	10390,78	107,17	18,85	18,85	47,49
3	3,90	-139,61 (-178,17)	187,45	546,04	-519,00	18,85	18,85	2,91

Verifiche taglio

N°	X	A _{sw}	V	V _{Rd}	V _{Rsd}	V _{Rcd}	FS
1	0,30	0,00	-200,50	274,08	0,00	0,00	1.367
2	2,10	0,00	-8,06	269,77	0,00	0,00	33.459
3	3,90	0,00	160,13	265,46	0,00	0,00	1.658

Verifica sezioni fondazione [Combinazione n° 13 - SLU (Approccio 2) - Sisma Vert. negativo]

Base sezione B = 100 cm
 Altezza sezione H = 60,00 cm

Verifiche presso-flessione

N°	X	M	N	N _u	M _u	A _{fi}	A _{fs}	CS
1	0,30	149,68 (159,40)	208,55	1169,77	894,09	31,42	12,57	5,61
2	1,66	-51,11 (-93,35)	201,18	1694,69	-786,32	15,71	18,85	8,42
3	3,10	-108,81 (-108,90)	193,35	827,73	-466,19	15,71	12,57	4,28
4	4,54	-41,98 (-89,26)	185,52	1588,08	-764,14	15,71	18,85	8,56
5	5,90	159,40 (159,40)	178,14	942,65	843,49	31,42	12,57	5,29

Verifiche taglio

N°	X	A _{sw}	V	V _{Rd}	V _{Rsd}	V _{Rcd}	FS
1	0,30	6,28	-217,08	0,00	602,40	2335,27	2.775
2	1,66	3,14	-85,32	0,00	301,20	2333,81	3.530
3	3,10	0,00	5,66	254,07	0,00	0,00	44.904
4	4,54	3,14	95,52	0,00	301,20	2330,69	3.153
5	5,90	6,28	212,40	0,00	602,40	2329,22	2.836

Verifica sezioni traverso [Combinazione n° 13 - SLU (Approccio 2) - Sisma Vert. negativo]

Base sezione B = 100 cm
 Altezza sezione H = 60,00 cm

Verifiche presso-flessione

N°	X	M	N	N _u	M _u	A _{fi}	A _{fs}	CS
1	0,30	-146,68 (-146,68)	193,77	1310,70	-992,21	18,85	34,56	6,76
2	1,70	40,69 (85,13)	186,15	2179,42	996,65	25,13	18,85	11,71
3	3,10	105,17 (105,17)	178,56	1118,56	658,79	18,85	18,85	6,26
4	4,50	47,78 (89,71)	170,98	1736,97	911,32	25,13	18,85	10,16
5	5,90	-132,47 (-146,68)	163,36	1035,46	-929,77	18,85	34,56	6,34

Verifiche taglio

N°	X	A _{sw}	V	V _{Rd}	V _{Rsd}	V _{Rcd}	FS
----	---	-----------------	---	-----------------	------------------	------------------	----

1	0,30	6,28	177,36	0,00	602,40	2332,33	3.397
2	1,70	3,14	89,76	0,00	301,20	2330,81	3.355
3	3,10	0,00	2,54	264,23	0,00	0,00	104.121
4	4,50	3,14	-84,69	0,00	301,20	2327,79	3.557
5	5,90	6,28	-172,28	0,00	602,40	2326,27	3.497

Verifica sezioni piedritto sinistro [Combinazione n° 13 - SLU (Approccio 2) - Sisma Vert. negativo]

Base sezione B = 100 cm
Altezza sezione H = 60,00 cm

Verifiche presso-flessione

N°	X	M	N	N _u	M _u	A _{fi}	A _{fs}	CS
1	0,30	-149,68 (-149,68)	220,54	887,53	-602,38	18,85	18,85	4,02
2	2,10	16,16 (16,16)	198,95	9266,50	752,80	18,85	18,85	46,58
3	3,90	-146,68 (-149,68)	177,36	643,00	-542,68	18,85	18,85	3,63

Verifiche taglio

N°	X	A _{sw}	V	V _{Rd}	V _{Rsd}	V _{Rcd}	FS
1	0,30	0,00	190,33	270,01	0,00	0,00	1.419
2	2,10	0,00	-3,45	267,04	0,00	0,00	77.374
3	3,90	0,00	-172,88	264,07	0,00	0,00	1.527

Verifica sezioni piedritto destro [Combinazione n° 13 - SLU (Approccio 2) - Sisma Vert. negativo]

Base sezione B = 100 cm
Altezza sezione H = 60,00 cm

Verifiche presso-flessione

N°	X	M	N	N _u	M _u	A _{fi}	A _{fs}	CS
1	0,30	-159,40 (-159,40)	215,46	778,13	-575,67	18,85	18,85	3,61
2	2,10	14,88 (14,92)	193,87	9418,45	724,88	18,85	18,85	48,58
3	3,90	-132,47 (-159,40)	172,28	566,27	-523,94	18,85	18,85	3,29

Verifiche taglio

N°	X	A _{sw}	V	V _{Rd}	V _{Rsd}	V _{Rcd}	FS
1	0,30	0,00	-197,27	269,31	0,00	0,00	1.365
2	2,10	0,00	-4,83	266,34	0,00	0,00	55.118
3	3,90	0,00	163,36	263,37	0,00	0,00	1.612

Verifiche combinazioni SLE

Simbologia adottata ed unità di misura

N°	Indice sezione
X	Ascissa/Ordinata sezione, espresso in m
M	Momento flettente, espresso in kNm
V	Taglio, espresso in kN
N	Sforzo normale, espresso in kN
A_{fi}	Area armatura inferiore, espressa in cmq
A_{fs}	Area armatura superiore, espressa in cmq
s_{fi}	Tensione nell'armatura disposta in corrispondenza del lembo inferiore, espresse in kg/cmq
s_{fs}	Tensione nell'armatura disposta in corrispondenza del lembo superiore, espresse in kg/cmq
s_c	Tensione nel calcestruzzo, espresse in kg/cmq
t_c	Tensione tangenziale nel calcestruzzo, espresse in kg/cmq
A_{sw}	Area armature trasversali nella sezione, espressa in cmq

Verifica sezioni fondazione [Combinazione n° 14 - SLE (Quasi Permanente)]

Base sezione $B = 100$ cm
 Altezza sezione $H = 60,00$ cm

Verifiche presso-flessione

N°	X	M	N	A_{fi}	A_{fs}	s_{fs}	s_{fi}	s_c
1	0,30	141,65	111,06	31,42	12,57	347,1	775,6	30,6
2	1,66	-71,52	111,06	15,71	18,85	500,6	202,0	18,2
3	3,10	-135,24	111,06	15,71	12,57	1728,5	375,1	39,0
4	4,54	-71,52	111,06	15,71	18,85	500,6	202,0	18,2
5	5,90	141,65	111,06	31,42	12,57	347,1	775,6	30,6

Verifiche taglio

N°	X	A_{sw}	V	t_c
1	0,30	6,28	-231,38	-5,05
2	1,66	3,14	-90,38	-1,97
3	3,10	0,00	2,21	0,05
4	4,54	3,14	96,86	2,11
5	5,90	6,28	231,38	5,05

Verifica sezioni traverso [Combinazione n° 14 - SLE (Quasi Permanente)]

Base sezione $B = 100$ cm
 Altezza sezione $H = 60,00$ cm

Verifiche presso-flessione

N°	X	M	N	A_{fi}	A_{fs}	s_{fs}	s_{fi}	s_c
1	0,30	-123,97	82,55	18,85	34,56	635,4	279,7	24,8
2	1,70	67,84	82,55	25,13	18,85	172,3	403,2	15,3
3	3,10	131,42	82,55	18,85	18,85	325,9	1204,4	31,9
4	4,50	67,84	82,55	25,13	18,85	172,3	403,2	15,3
5	5,90	-123,97	82,55	18,85	34,56	635,4	279,7	24,8

Verifiche taglio

N°	X	A_{sw}	V	t_c
1	0,30	6,28	182,42	3,98
2	1,70	3,14	91,02	1,99
3	3,10	0,00	0,00	0,00
4	4,50	3,14	-91,02	-1,99

5 5,90 6,28 -182,42 -3,98

Verifica sezioni piedritto sinistro [Combinazione n° 14 - SLE (Quasi Permanente)]

Base sezione B = 100 cm
Altezza sezione H = 60,00 cm

Verifiche presso-flessione

N°	X	M	N	A _{fi}	A _{fs}	S _{fs}	S _{fi}	S _c
1	0,30	-141,65	235,38	18,85	18,85	952,3	393,5	35,2
2	2,10	-44,99	208,90	18,85	18,85	78,8	141,0	10,9
3	3,90	-123,97	182,42	18,85	18,85	886,9	338,7	30,8

Verifiche taglio

N°	X	A _{sw}	V	t _c
1	0,30	0,00	111,32	2,43
2	2,10	0,00	1,92	0,04
3	3,90	0,00	-82,55	-1,80

Verifica sezioni piedritto destro [Combinazione n° 14 - SLE (Quasi Permanente)]

Base sezione B = 100 cm
Altezza sezione H = 60,00 cm

Verifiche presso-flessione

N°	X	M	N	A _{fi}	A _{fs}	S _{fs}	S _{fi}	S _c
1	0,30	-141,65	235,38	18,85	18,85	952,3	393,5	35,2
2	2,10	-44,99	208,90	18,85	18,85	78,8	141,0	10,9
3	3,90	-123,97	182,42	18,85	18,85	886,9	338,7	30,8

Verifiche taglio

N°	X	A _{sw}	V	t _c
1	0,30	0,00	-111,32	-2,43
2	2,10	0,00	-1,92	-0,04
3	3,90	0,00	82,55	1,80

Verifica sezioni fondazione [Combinazione n° 15 - SLE (Frequente)]

Base sezione B = 100 cm
Altezza sezione H = 60,00 cm

Verifiche presso-flessione

N°	X	M	N	A _{fi}	A _{fs}	S _{fs}	S _{fi}	S _c
1	0,30	141,65	111,06	31,42	12,57	347,1	775,6	30,6
2	1,66	-71,52	111,06	15,71	18,85	500,6	202,0	18,2
3	3,10	-135,24	111,06	15,71	12,57	1728,5	375,1	39,0
4	4,54	-71,52	111,06	15,71	18,85	500,6	202,0	18,2
5	5,90	141,65	111,06	31,42	12,57	347,1	775,6	30,6

Verifiche taglio

N°	X	A _{sw}	V	t _c
1	0,30	6,28	-231,38	-5,05
2	1,66	3,14	-90,38	-1,97

3	3,10	0,00	2,21	0,05
4	4,54	3,14	96,86	2,11
5	5,90	6,28	231,38	5,05

Verifica sezioni traverso [Combinazione n° 15 - SLE (Frequente)]

Base sezione B = 100 cm

Altezza sezione H = 60,00 cm

Verifiche presso-flessione

N°	X	M	N	A _{fi}	A _{fs}	S _{fs}	S _{fi}	S _c
1	0,30	-123,97	82,55	18,85	34,56	635,4	279,7	24,8
2	1,70	67,84	82,55	25,13	18,85	172,3	403,2	15,3
3	3,10	131,42	82,55	18,85	18,85	325,9	1204,4	31,9
4	4,50	67,84	82,55	25,13	18,85	172,3	403,2	15,3
5	5,90	-123,97	82,55	18,85	34,56	635,4	279,7	24,8

Verifiche taglio

N°	X	A _{sw}	V	t _c
1	0,30	6,28	182,42	3,98
2	1,70	3,14	91,02	1,99
3	3,10	0,00	0,00	0,00
4	4,50	3,14	-91,02	-1,99
5	5,90	6,28	-182,42	-3,98

Verifica sezioni piedritto sinistro [Combinazione n° 15 - SLE (Frequente)]

Base sezione B = 100 cm

Altezza sezione H = 60,00 cm

Verifiche presso-flessione

N°	X	M	N	A _{fi}	A _{fs}	S _{fs}	S _{fi}	S _c
1	0,30	-141,65	235,38	18,85	18,85	952,3	393,5	35,2
2	2,10	-44,99	208,90	18,85	18,85	78,8	141,0	10,9
3	3,90	-123,97	182,42	18,85	18,85	886,9	338,7	30,8

Verifiche taglio

N°	X	A _{sw}	V	t _c
1	0,30	0,00	111,32	2,43
2	2,10	0,00	1,92	0,04
3	3,90	0,00	-82,55	-1,80

Verifica sezioni piedritto destro [Combinazione n° 15 - SLE (Frequente)]

Base sezione B = 100 cm

Altezza sezione H = 60,00 cm

Verifiche presso-flessione

N°	X	M	N	A _{fi}	A _{fs}	S _{fs}	S _{fi}	S _c
1	0,30	-141,65	235,38	18,85	18,85	952,3	393,5	35,2
2	2,10	-44,99	208,90	18,85	18,85	78,8	141,0	10,9
3	3,90	-123,97	182,42	18,85	18,85	886,9	338,7	30,8

Verifiche taglio

N°	X	A _{sw}	V	t _c
1	0,30	0,00	-111,32	-2,43
2	2,10	0,00	-1,92	-0,04
3	3,90	0,00	82,55	1,80

Verifica sezioni fondazione [Combinazione n° 16 - SLE (Frequente)]

Base sezione B = 100 cm
 Altezza sezione H = 60,00 cm

Verifiche presso-flessione

N°	X	M	N	A _{fi}	A _{fs}	S _{fs}	S _{fi}	S _c
1	0,30	177,50	147,17	31,42	12,57	437,3	960,9	38,5
2	1,66	-83,07	147,17	15,71	18,85	541,0	238,8	21,1
3	3,10	-156,21	147,17	15,71	12,57	1926,2	440,5	45,1
4	4,54	-78,09	147,17	15,71	18,85	489,3	226,4	19,9
5	5,90	164,29	147,17	31,42	12,57	407,9	874,4	35,7

Verifiche taglio

N°	X	A _{sw}	V	t _c
1	0,30	6,28	-284,22	-6,20
2	1,66	3,14	-107,90	-2,35
3	3,10	0,00	5,88	0,13
4	4,54	3,14	113,41	2,47
5	5,90	6,28	257,81	5,62

Verifica sezioni traverso [Combinazione n° 16 - SLE (Frequente)]

Base sezione B = 100 cm
 Altezza sezione H = 60,00 cm

Verifiche presso-flessione

N°	X	M	N	A _{fi}	A _{fs}	S _{fs}	S _{fi}	S _c
1	0,30	-154,42	119,75	18,85	34,56	770,1	353,3	31,0
2	1,70	88,64	119,75	25,13	18,85	228,2	506,6	20,1
3	3,10	154,65	119,75	18,85	18,85	391,1	1361,8	37,8
4	4,50	68,20	119,75	25,13	18,85	182,0	344,2	15,6
5	5,90	-156,23	119,75	18,85	34,56	781,0	357,0	31,4

Verifiche taglio

N°	X	A _{sw}	V	t _c
1	0,30	6,28	236,45	5,16
2	1,70	3,14	110,04	2,40
3	3,10	0,00	-12,93	-0,28
4	4,50	3,14	-110,82	-2,42
5	5,90	6,28	-209,13	-4,56

Verifica sezioni piedritto sinistro [Combinazione n° 16 - SLE (Frequente)]

Base sezione B = 100 cm
 Altezza sezione H = 60,00 cm

Verifiche presso-flessione

N°	X	M	N	A _{fi}	A _{fs}	S _{fs}	S _{fi}	S _c
1	0,30	-177,50	289,41	18,85	18,85	1205,8	491,8	44,1
2	2,10	-44,81	262,93	18,85	18,85	36,5	146,5	11,0
3	3,90	-154,42	236,45	18,85	18,85	1083,7	424,2	38,3

Verifiche taglio

N°	X	A _{sw}	V	t _c
1	0,30	0,00	148,90	3,25
2	2,10	0,00	4,23	0,09
3	3,90	0,00	-119,48	-2,61

Verifica sezioni piedritto destro [Combinazione n° 16 - SLE (Frequente)]

Base sezione B = 100 cm
 Altezza sezione H = 60,00 cm

Verifiche presso-flessione

N°	X	M	N	A _{fi}	A _{fs}	S _{fs}	S _{fi}	S _c
1	0,30	-164,29	262,08	18,85	18,85	1129,1	453,8	40,8
2	2,10	-40,09	235,60	18,85	18,85	32,4	131,1	9,8
3	3,90	-156,23	209,13	18,85	18,85	1165,7	421,5	38,7

Verifiche taglio

N°	X	A _{sw}	V	t _c
1	0,30	0,00	-146,13	-3,19
2	2,10	0,00	1,60	0,03
3	3,90	0,00	119,75	2,61

Verifica sezioni fondazione [Combinazione n° 17 - SLE (Frequente)]

Base sezione B = 100 cm
 Altezza sezione H = 60,00 cm

Verifiche presso-flessione

N°	X	M	N	A _{fi}	A _{fs}	S _{fs}	S _{fi}	S _c
1	0,30	173,54	143,06	31,42	12,57	427,3	940,6	37,6
2	1,66	-85,45	143,06	15,71	18,85	574,9	243,8	21,7
3	3,10	-163,09	143,06	15,71	12,57	2050,5	455,9	47,1
4	4,54	-85,45	143,06	15,71	18,85	574,9	243,8	21,7
5	5,90	173,54	143,06	31,42	12,57	427,3	940,6	37,6

Verifiche taglio

N°	X	A _{sw}	V	t _c
1	0,30	6,28	-279,38	-6,09
2	1,66	3,14	-109,96	-2,40
3	3,10	0,00	2,82	0,06
4	4,54	3,14	118,07	2,58
5	5,90	6,28	279,38	6,09

Verifica sezioni traverso [Combinazione n° 17 - SLE (Frequente)]

Base sezione B = 100 cm
 Altezza sezione H = 60,00 cm

Verifiche presso-flessione

N°	X	M	N	A _{fi}	A _{fs}	S _{fs}	S _{fi}	S _c
1	0,30	-167,74	121,31	18,85	34,56	847,6	381,3	33,6
2	1,70	86,60	121,31	25,13	18,85	224,0	487,6	19,7
3	3,10	174,53	121,31	18,85	18,85	436,8	1570,6	42,5
4	4,50	86,60	121,31	25,13	18,85	224,0	487,6	19,7
5	5,90	-167,74	121,31	18,85	34,56	847,6	381,3	33,6

Verifiche taglio

N°	X	A _{sw}	V	t _c
1	0,30	6,28	231,35	5,05
2	1,70	3,14	125,88	2,75
3	3,10	0,00	0,00	0,00
4	4,50	3,14	-125,88	-2,75
5	5,90	6,28	-231,35	-5,05

Verifica sezioni piedritto sinistro [Combinazione n° 17 - SLE (Frequente)]

Base sezione B = 100 cm

Altezza sezione H = 60,00 cm

Verifiche presso-flessione

N°	X	M	N	A _{fi}	A _{fs}	S _{fs}	S _{fi}	S _c
1	0,30	-173,54	284,31	18,85	18,85	1175,8	481,1	43,1
2	2,10	-50,60	257,83	18,85	18,85	68,1	160,7	12,2
3	3,90	-167,74	231,35	18,85	18,85	1235,7	454,3	41,6

Verifiche taglio

N°	X	A _{sw}	V	t _c
1	0,30	0,00	143,39	3,13
2	2,10	0,00	-1,39	-0,03
3	3,90	0,00	-121,31	-2,65

Verifica sezioni piedritto destro [Combinazione n° 17 - SLE (Frequente)]

Base sezione B = 100 cm

Altezza sezione H = 60,00 cm

Verifiche presso-flessione

N°	X	M	N	A _{fi}	A _{fs}	S _{fs}	S _{fi}	S _c
1	0,30	-173,54	284,31	18,85	18,85	1175,8	481,1	43,1
2	2,10	-50,60	257,83	18,85	18,85	68,1	160,7	12,2
3	3,90	-167,74	231,35	18,85	18,85	1235,7	454,3	41,6

Verifiche taglio

N°	X	A _{sw}	V	t _c
1	0,30	0,00	-143,39	-3,13
2	2,10	0,00	1,39	0,03
3	3,90	0,00	121,31	2,65

Verifica sezioni fondazione [Combinazione n° 18 - SLE (Frequente)]

Base sezione B = 100 cm
Altezza sezione H = 60,00 cm

Verifiche presso-flessione

N°	X	M	N	A _{fi}	A _{fs}	S _{fs}	S _{fi}	S _c
1	0,30	164,29	147,17	31,42	12,57	407,9	874,4	35,7
2	1,66	-78,09	147,17	15,71	18,85	489,3	226,4	19,9
3	3,10	-156,21	147,17	15,71	12,57	1926,2	440,5	45,1
4	4,54	-83,07	147,17	15,71	18,85	541,0	238,8	21,1
5	5,90	177,50	147,17	31,42	12,57	437,3	960,9	38,5

Verifiche taglio

N°	X	A _{sw}	V	t _c
1	0,30	6,28	-257,81	-5,62
2	1,66	3,14	-106,15	-2,32
3	3,10	0,00	-0,41	-0,01
4	4,54	3,14	116,33	2,54
5	5,90	6,28	284,22	6,20

Verifica sezioni trasverso [Combinazione n° 18 - SLE (Frequente)]

Base sezione B = 100 cm
Altezza sezione H = 60,00 cm

Verifiche presso-flessione

N°	X	M	N	A _{fi}	A _{fs}	S _{fs}	S _{fi}	S _c
1	0,30	-156,23	119,75	18,85	34,56	781,0	357,0	31,4
2	1,70	68,20	119,75	25,13	18,85	182,0	344,2	15,6
3	3,10	154,65	119,75	18,85	18,85	391,1	1361,8	37,8
4	4,50	88,64	119,75	25,13	18,85	228,2	506,6	20,1
5	5,90	-154,42	119,75	18,85	34,56	770,1	353,3	31,0

Verifiche taglio

N°	X	A _{sw}	V	t _c
1	0,30	6,28	209,13	4,56
2	1,70	3,14	110,82	2,42
3	3,10	0,00	12,93	0,28
4	4,50	3,14	-110,04	-2,40
5	5,90	6,28	-236,45	-5,16

Verifica sezioni piedritto sinistro [Combinazione n° 18 - SLE (Frequente)]

Base sezione B = 100 cm
Altezza sezione H = 60,00 cm

Verifiche presso-flessione

N°	X	M	N	A _{fi}	A _{fs}	S _{fs}	S _{fi}	S _c
1	0,30	-164,29	262,08	18,85	18,85	1129,1	453,8	40,8
2	2,10	-40,09	235,60	18,85	18,85	32,4	131,1	9,8
3	3,90	-156,23	209,13	18,85	18,85	1165,7	421,5	38,7

Verifiche taglio

N°	X	A _{sw}	V	t _c
1	0,30	0,00	146,13	3,19
2	2,10	0,00	-1,60	-0,03

3	3,90	0,00	-119,75	-2,61
---	------	------	---------	-------

Verifica sezioni piedritto destro [Combinazione n° 18 - SLE (Frequente)]

Base sezione B = 100 cm

Altezza sezione H = 60,00 cm

Verifiche presso-flessione

N°	X	M	N	A _{fi}	A _{fs}	S _{fs}	S _{fi}	S _c
1	0,30	-177,50	289,41	18,85	18,85	1205,8	491,8	44,1
2	2,10	-44,81	262,93	18,85	18,85	36,5	146,5	11,0
3	3,90	-154,42	236,45	18,85	18,85	1083,7	424,2	38,3

Verifiche taglio

N°	X	A _{sw}	V	t _c
1	0,30	0,00	-148,90	-3,25
2	2,10	0,00	-4,23	-0,09
3	3,90	0,00	119,48	2,61

Verifica sezioni fondazione [Combinazione n° 19 - SLE (Rara)]

Base sezione B = 100 cm

Altezza sezione H = 60,00 cm

Verifiche presso-flessione

N°	X	M	N	A _{fi}	A _{fs}	S _{fs}	S _{fi}	S _c
1	0,30	232,00	214,51	31,42	12,57	577,8	1225,8	50,5
2	1,66	-103,60	214,51	15,71	18,85	608,0	304,1	26,4
3	3,10	-205,06	214,51	15,71	12,57	2449,7	586,1	59,3
4	4,54	-103,60	214,51	15,71	18,85	608,0	304,1	26,4
5	5,90	232,00	214,51	31,42	12,57	577,8	1225,8	50,5

Verifiche taglio

N°	X	A _{sw}	V	t _c
1	0,30	6,28	-358,65	-7,82
2	1,66	3,14	-143,24	-3,12
3	3,10	0,00	3,87	0,08
4	4,54	3,14	154,08	3,36
5	5,90	6,28	358,65	7,82

Verifica sezioni traverso [Combinazione n° 19 - SLE (Rara)]

Base sezione B = 100 cm

Altezza sezione H = 60,00 cm

Verifiche presso-flessione

N°	X	M	N	A _{fi}	A _{fs}	S _{fs}	S _{fi}	S _c
1	0,30	-230,44	195,30	18,85	34,56	1128,5	531,8	46,5
2	1,70	107,76	195,30	25,13	18,85	288,8	534,1	24,7
3	3,10	220,99	195,30	18,85	18,85	566,8	1887,3	54,1
4	4,50	107,76	195,30	25,13	18,85	288,8	534,1	24,7
5	5,90	-230,44	195,30	18,85	34,56	1128,5	531,8	46,5

Verifiche taglio

N°	X	A _{sw}	V	t _c
1	0,30	6,28	312,08	6,81
2	1,70	3,14	164,71	3,59
3	3,10	0,00	0,00	0,00
4	4,50	3,14	-164,71	-3,59
5	5,90	6,28	-312,08	-6,81

Verifica sezioni piedritto sinistro [Combinazione n° 19 - SLE (Rara)]

Base sezione B = 100 cm

Altezza sezione H = 60,00 cm

Verifiche presso-flessione

N°	X	M	N	A _{fi}	A _{fs}	S _{fs}	S _{fi}	S _c
1	0,30	-232,00	365,04	18,85	18,85	1605,9	639,7	57,6
2	2,10	-45,55	338,56	18,85	18,85	5,5	161,0	11,8
3	3,90	-230,44	312,08	18,85	18,85	1710,9	622,7	57,1

Verifiche taglio

N°	X	A _{sw}	V	t _c
1	0,30	0,00	215,01	4,69
2	2,10	0,00	-2,56	-0,06
3	3,90	0,00	-195,30	-4,26

Verifica sezioni piedritto destro [Combinazione n° 19 - SLE (Rara)]

Base sezione B = 100 cm

Altezza sezione H = 60,00 cm

Verifiche presso-flessione

N°	X	M	N	A _{fi}	A _{fs}	S _{fs}	S _{fi}	S _c
1	0,30	-232,00	365,04	18,85	18,85	1605,9	639,7	57,6
2	2,10	-45,55	338,56	18,85	18,85	5,5	161,0	11,8
3	3,90	-230,44	312,08	18,85	18,85	1710,9	622,7	57,1

Verifiche taglio

N°	X	A _{sw}	V	t _c
1	0,30	0,00	-215,01	-4,69
2	2,10	0,00	2,56	0,06
3	3,90	0,00	195,30	4,26

Verifica sezioni fondazione [Combinazione n° 20 - SLE (Rara)]

Base sezione B = 100 cm

Altezza sezione H = 60,00 cm

Verifiche presso-flessione

N°	X	M	N	A _{fi}	A _{fs}	S _{fs}	S _{fi}	S _c
1	0,30	243,96	226,47	31,42	12,57	607,9	1287,7	53,2
2	1,66	-107,45	226,47	15,71	18,85	622,2	316,2	27,3
3	3,10	-212,06	226,47	15,71	12,57	2516,1	607,7	61,3
4	4,54	-105,79	226,47	15,71	18,85	605,4	311,9	26,9
5	5,90	239,53	226,47	31,42	12,57	598,0	1258,8	52,2

Verifiche taglio

N°	X	A _{sw}	V	t _c
1	0,30	6,28	-376,27	-8,21
2	1,66	3,14	-149,08	-3,25
3	3,10	0,00	5,09	0,11
4	4,54	3,14	159,59	3,48
5	5,90	6,28	367,46	8,01

Verifica sezioni trasverso [Combinazione n° 20 - SLE (Rara)]

Base sezione B = 100 cm

Altezza sezione H = 60,00 cm

Verifiche presso-flessione

N°	X	M	N	A _{fi}	A _{fs}	S _{fs}	S _{fi}	S _c
1	0,30	-240,61	207,66	18,85	34,56	1173,7	556,3	48,6
2	1,70	114,68	207,66	25,13	18,85	307,3	568,7	26,3
3	3,10	228,73	207,66	18,85	18,85	588,4	1940,1	56,1
4	4,50	107,89	207,66	25,13	18,85	291,7	515,5	24,8
5	5,90	-241,17	207,66	18,85	34,56	1177,0	557,5	48,7

Verifiche taglio

N°	X	A _{sw}	V	t _c
1	0,30	6,28	330,10	7,20
2	1,70	3,14	171,05	3,73
3	3,10	0,00	-4,30	-0,09
4	4,50	3,14	-171,30	-3,74
5	5,90	6,28	-320,98	-7,00

Verifica sezioni piedritto sinistro [Combinazione n° 20 - SLE (Rara)]

Base sezione B = 100 cm

Altezza sezione H = 60,00 cm

Verifiche presso-flessione

N°	X	M	N	A _{fi}	A _{fs}	S _{fs}	S _{fi}	S _c
1	0,30	-243,96	383,06	18,85	18,85	1690,5	672,5	60,6
2	2,10	-45,48	356,58	18,85	18,85	0,5	164,5	12,1
3	3,90	-240,61	330,10	18,85	18,85	1776,6	651,3	59,6

Verifiche taglio

N°	X	A _{sw}	V	t _c
1	0,30	0,00	227,45	4,96
2	2,10	0,00	-1,79	-0,04
3	3,90	0,00	-207,66	-4,53

Verifica sezioni piedritto destro [Combinazione n° 20 - SLE (Rara)]

Base sezione B = 100 cm

Altezza sezione H = 60,00 cm

Verifiche presso-flessione

N°	X	M	N	A _{fi}	A _{fs}	S _{fs}	S _{fi}	S _c
1	0,30	-239,53	373,93	18,85	18,85	1664,8	659,7	59,5
2	2,10	-43,94	347,46	18,85	18,85	1,3	159,6	11,7
3	3,90	-241,17	320,98	18,85	18,85	1803,7	650,2	59,7

Verifiche taglio

N°	X	A _{sw}	V	t _c
1	0,30	0,00	-226,54	-4,94
2	2,10	0,00	3,73	0,08
3	3,90	0,00	207,66	4,53

Verifica sezioni fondazione [Combinazione n° 21 - SLE (Rara)]

Base sezione B = 100 cm

Altezza sezione H = 60,00 cm

Verifiche presso-flessione

N°	X	M	N	A _{fi}	A _{fs}	S _{fs}	S _{fi}	S _c
1	0,30	242,63	225,17	31,42	12,57	604,5	1280,8	52,9
2	1,66	-108,24	225,17	15,71	18,85	633,0	317,9	27,5
3	3,10	-214,35	225,17	15,71	12,57	2557,1	612,9	62,0
4	4,54	-108,24	225,17	15,71	18,85	633,0	317,9	27,5
5	5,90	242,63	225,17	31,42	12,57	604,5	1280,8	52,9

Verifiche taglio

N°	X	A _{sw}	V	t _c
1	0,30	6,28	-374,65	-8,17
2	1,66	3,14	-149,76	-3,27
3	3,10	0,00	4,07	0,09
4	4,54	3,14	161,14	3,51
5	5,90	6,28	374,65	8,17

Verifica sezioni traverso [Combinazione n° 21 - SLE (Rara)]

Base sezione B = 100 cm

Altezza sezione H = 60,00 cm

Verifiche presso-flessione

N°	X	M	N	A _{fi}	A _{fs}	S _{fs}	S _{fi}	S _c
1	0,30	-245,03	208,22	18,85	34,56	1199,3	565,7	49,5
2	1,70	114,01	208,22	25,13	18,85	305,9	562,5	26,2
3	3,10	235,36	208,22	18,85	18,85	603,8	2009,4	57,7
4	4,50	114,01	208,22	25,13	18,85	305,9	562,5	26,2
5	5,90	-245,03	208,22	18,85	34,56	1199,3	565,7	49,5

Verifiche taglio

N°	X	A _{sw}	V	t _c
1	0,30	6,28	328,39	7,16
2	1,70	3,14	176,33	3,85
3	3,10	0,00	0,00	0,00
4	4,50	3,14	-176,33	-3,85
5	5,90	6,28	-328,39	-7,16

Verifica sezioni piedritto sinistro [Combinazione n° 21 - SLE (Rara)]

Base sezione B = 100 cm
 Altezza sezione H = 60,00 cm

Verifiche presso-flessione

N°	X	M	N	A _{fi}	A _{fs}	S _{fs}	S _{fi}	S _c
1	0,30	-242,63	381,35	18,85	18,85	1680,4	668,9	60,3
2	2,10	-47,42	354,87	18,85	18,85	4,9	168,1	12,4
3	3,90	-245,03	328,39	18,85	18,85	1827,2	661,2	60,7

Verifiche taglio

N°	X	A _{sw}	V	t _c
1	0,30	0,00	225,70	4,92
2	2,10	0,00	-3,66	-0,08
3	3,90	0,00	-208,22	-4,54

Verifica sezioni piedritto destro [Combinazione n° 21 - SLE (Rara)]

Base sezione B = 100 cm
 Altezza sezione H = 60,00 cm

Verifiche presso-flessione

N°	X	M	N	A _{fi}	A _{fs}	S _{fs}	S _{fi}	S _c
1	0,30	-242,63	381,35	18,85	18,85	1680,4	668,9	60,3
2	2,10	-47,42	354,87	18,85	18,85	4,9	168,1	12,4
3	3,90	-245,03	328,39	18,85	18,85	1827,2	661,2	60,7

Verifiche taglio

N°	X	A _{sw}	V	t _c
1	0,30	0,00	-225,70	-4,92
2	2,10	0,00	3,66	0,08
3	3,90	0,00	208,22	4,54

Verifica sezioni fondazione [Combinazione n° 22 - SLE (Rara)]

Base sezione B = 100 cm
 Altezza sezione H = 60,00 cm

Verifiche presso-flessione

N°	X	M	N	A _{fi}	A _{fs}	S _{fs}	S _{fi}	S _c
1	0,30	239,53	226,47	31,42	12,57	598,0	1258,8	52,2
2	1,66	-105,79	226,47	15,71	18,85	605,4	311,9	26,9
3	3,10	-212,06	226,47	15,71	12,57	2516,1	607,7	61,3
4	4,54	-107,45	226,47	15,71	18,85	622,2	316,2	27,3
5	5,90	243,96	226,47	31,42	12,57	607,9	1287,7	53,2

Verifiche taglio

N°	X	A _{sw}	V	t _c
1	0,30	6,28	-367,46	-8,01
2	1,66	3,14	-148,49	-3,24
3	3,10	0,00	2,99	0,07
4	4,54	3,14	160,57	3,50
5	5,90	6,28	376,27	8,21

Verifica sezioni trasverso [Combinazione n° 22 - SLE (Rara)]

Base sezione B = 100 cm
 Altezza sezione H = 60,00 cm

Verifiche presso-flessione

N°	X	M	N	A _{fi}	A _{fs}	S _{fs}	S _{fi}	S _c
1	0,30	-241,17	207,66	18,85	34,56	1177,0	557,5	48,7
2	1,70	107,89	207,66	25,13	18,85	291,7	515,5	24,8
3	3,10	228,73	207,66	18,85	18,85	588,4	1940,1	56,1
4	4,50	114,68	207,66	25,13	18,85	307,3	568,7	26,3
5	5,90	-240,61	207,66	18,85	34,56	1173,7	556,3	48,6

Verifiche taglio

N°	X	A _{sw}	V	t _c
1	0,30	6,28	320,98	7,00
2	1,70	3,14	171,30	3,74
3	3,10	0,00	4,30	0,09
4	4,50	3,14	-171,05	-3,73
5	5,90	6,28	-330,10	-7,20

Verifica sezioni piedritto sinistro [Combinazione n° 22 - SLE (Rara)]

Base sezione B = 100 cm
 Altezza sezione H = 60,00 cm

Verifiche presso-flessione

N°	X	M	N	A _{fi}	A _{fs}	S _{fs}	S _{fi}	S _c
1	0,30	-239,53	373,93	18,85	18,85	1664,8	659,7	59,5
2	2,10	-43,94	347,46	18,85	18,85	1,3	159,6	11,7
3	3,90	-241,17	320,98	18,85	18,85	1803,7	650,2	59,7

Verifiche taglio

N°	X	A _{sw}	V	t _c
1	0,30	0,00	226,54	4,94
2	2,10	0,00	-3,73	-0,08
3	3,90	0,00	-207,66	-4,53

Verifica sezioni piedritto destro [Combinazione n° 22 - SLE (Rara)]

Base sezione B = 100 cm
 Altezza sezione H = 60,00 cm

Verifiche presso-flessione

N°	X	M	N	A _{fi}	A _{fs}	S _{fs}	S _{fi}	S _c
1	0,30	-243,96	383,06	18,85	18,85	1690,5	672,5	60,6
2	2,10	-45,48	356,58	18,85	18,85	0,5	164,5	12,1
3	3,90	-240,61	330,10	18,85	18,85	1776,6	651,3	59,6

Verifiche taglio

N°	X	A _{sw}	V	t _c
1	0,30	0,00	-227,45	-4,96
2	2,10	0,00	1,79	0,04

3 3,90 0,00 207,66 4,53

Verifica sezioni fondazione [Combinazione n° 23 - SLE (Quasi Permanente) - Sisma Vert. positivo]

Base sezione B = 100 cm
Altezza sezione H = 60,00 cm

Verifiche presso-flessione

N°	X	M	N	A _{fi}	A _{fs}	S _{fs}	S _{fi}	S _c
1	0,30	156,07	138,32	31,42	12,57	387,0	832,8	33,9
2	1,66	-65,59	141,62	15,71	18,85	372,8	193,6	16,7
3	3,10	-134,27	145,12	15,71	12,57	1586,8	385,4	38,8
4	4,54	-68,81	148,62	15,71	18,85	391,0	203,1	17,5
5	5,90	153,15	151,92	31,42	12,57	384,3	795,3	33,5

Verifiche taglio

N°	X	A _{sw}	V	t _c
1	0,30	6,28	-237,90	-5,19
2	1,66	3,14	-95,53	-2,08
3	3,10	0,00	1,13	0,02
4	4,54	3,14	100,97	2,20
5	5,90	6,28	240,21	5,24

Verifica sezioni traverso [Combinazione n° 23 - SLE (Quasi Permanente) - Sisma Vert. positivo]

Base sezione B = 100 cm
Altezza sezione H = 60,00 cm

Verifiche presso-flessione

N°	X	M	N	A _{fi}	A _{fs}	S _{fs}	S _{fi}	S _c
1	0,30	-129,63	112,50	18,85	34,56	631,6	299,9	26,2
2	1,70	64,03	115,91	25,13	18,85	171,6	317,6	14,7
3	3,10	127,07	119,30	18,85	18,85	328,1	1068,3	31,2
4	4,50	60,59	122,69	25,13	18,85	165,0	280,0	14,0
5	5,90	-136,52	126,10	18,85	34,56	655,7	317,9	27,7

Verifiche taglio

N°	X	A _{sw}	V	t _c
1	0,30	6,28	184,59	4,03
2	1,70	3,14	91,48	2,00
3	3,10	0,00	-1,23	-0,03
4	4,50	3,14	-93,95	-2,05
5	5,90	6,28	-187,05	-4,08

Verifica sezioni piedritto sinistro [Combinazione n° 23 - SLE (Quasi Permanente) - Sisma Vert. positivo]

Base sezione B = 100 cm
Altezza sezione H = 60,00 cm

Verifiche presso-flessione

N°	X	M	N	A _{fi}	A _{fs}	S _{fs}	S _{fi}	S _c
1	0,30	-156,07	241,92	18,85	18,85	1088,6	429,5	38,8
2	2,10	-27,92	213,25	18,85	18,85	1,5	99,8	7,3
3	3,90	-129,63	184,59	18,85	18,85	941,6	352,6	32,1

Verifiche taglio

N°	X	A _{sw}	V	t _c
1	0,30	0,00	146,14	3,19
2	2,10	0,00	4,70	0,10
3	3,90	0,00	-112,50	-2,45

Verifica sezioni piedritto destro [Combinazione n° 23 - SLE (Quasi Permanente) - Sisma Vert. positivo]

Base sezione B = 100 cm
 Altezza sezione H = 60,00 cm

Verifiche presso-flessione

N°	X	M	N	A _{fi}	A _{fs}	S _{fs}	S _{fi}	S _c
1	0,30	-153,15	244,38	18,85	18,85	1052,4	423,1	38,0
2	2,10	-25,77	215,72	18,85	18,85	4,2	96,1	7,0
3	3,90	-136,52	187,05	18,85	18,85	1008,6	369,5	33,8

Verifiche taglio

N°	X	A _{sw}	V	t _c
1	0,30	0,00	-144,77	-3,16
2	2,10	0,00	-1,06	-0,02
3	3,90	0,00	117,83	2,57

Verifica sezioni fondazione [Combinazione n° 24 - SLE (Quasi Permanente) - Sisma Vert. negativo]

Base sezione B = 100 cm
 Altezza sezione H = 60,00 cm

Verifiche presso-flessione

N°	X	M	N	A _{fi}	A _{fs}	S _{fs}	S _{fi}	S _c
1	0,30	147,68	136,75	31,42	12,57	367,9	780,0	32,2
2	1,66	-59,75	140,05	15,71	18,85	317,0	178,2	15,2
3	3,10	-124,30	143,55	15,71	12,57	1435,3	360,0	36,0
4	4,54	-63,09	147,05	15,71	18,85	336,4	188,0	16,0
5	5,90	144,57	150,35	31,42	12,57	364,7	741,3	31,7

Verifiche taglio

N°	X	A _{sw}	V	t _c
1	0,30	6,28	-222,79	-4,86
2	1,66	3,14	-89,75	-1,96
3	3,10	0,00	0,79	0,02
4	4,54	3,14	94,36	2,06
5	5,90	6,28	225,06	4,91

Verifica sezioni traverso [Combinazione n° 24 - SLE (Quasi Permanente) - Sisma Vert. negativo]

Base sezione B = 100 cm
 Altezza sezione H = 60,00 cm

Verifiche presso-flessione

N°	X	M	N	A _{fi}	A _{fs}	S _{fs}	S _{fi}	S _c
1	0,30	-126,44	113,95	18,85	34,56	610,8	293,7	25,6

2	1,70	60,09	117,35	25,13	18,85	162,8	284,5	13,8
3	3,10	120,79	120,74	18,85	18,85	314,2	997,9	29,7
4	4,50	56,70	124,14	25,13	18,85	156,1	247,7	13,1
5	5,90	-133,25	127,54	18,85	34,56	634,4	311,5	27,1

Verifiche taglio

N°	X	A _{sw}	V	t _c
1	0,30	6,28	177,81	3,88
2	1,70	3,14	88,11	1,92
3	3,10	0,00	-1,22	-0,03
4	4,50	3,14	-90,54	-1,97
5	5,90	6,28	-180,24	-3,93

Verifica sezioni piedritto sinistro [Combinazione n° 24 - SLE (Quasi Permanente) - Sisma Vert. negativo]

Base sezione B = 100 cm
Altezza sezione H = 60,00 cm

Verifiche presso-flessione

N°	X	M	N	A _{fi}	A _{fs}	S _{fs}	S _{fi}	S _c
1	0,30	-147,68	226,39	18,85	18,85	1035,8	405,8	36,7
2	2,10	-22,13	202,10	18,85	18,85	7,8	86,4	6,3
3	3,90	-126,44	177,81	18,85	18,85	923,6	343,4	31,3

Verifiche taglio

N°	X	A _{sw}	V	t _c
1	0,30	0,00	144,70	3,16
2	2,10	0,00	3,25	0,07
3	3,90	0,00	-113,95	-2,49

Verifica sezioni piedritto destro [Combinazione n° 24 - SLE (Quasi Permanente) - Sisma Vert. negativo]

Base sezione B = 100 cm
Altezza sezione H = 60,00 cm

Verifiche presso-flessione

N°	X	M	N	A _{fi}	A _{fs}	S _{fs}	S _{fi}	S _c
1	0,30	-144,57	228,82	18,85	18,85	997,6	398,9	35,9
2	2,10	-20,20	204,53	18,85	18,85	11,8	83,5	6,0
3	3,90	-133,25	180,24	18,85	18,85	989,8	360,0	33,0

Verifiche taglio

N°	X	A _{sw}	V	t _c
1	0,30	0,00	-143,07	-3,12
2	2,10	0,00	0,37	0,01
3	3,90	0,00	119,14	2,60

Verifica sezioni fondazione [Combinazione n° 25 - SLE (Quasi Permanente) - Sisma Vert. positivo]

Base sezione B = 100 cm
Altezza sezione H = 60,00 cm

Verifiche presso-flessione

N°	X	M	N	A _{fi}	A _{fs}	S _{fs}	S _{fi}	S _c
1	0,30	153,15	151,92	31,42	12,57	384,3	795,3	33,5
2	1,66	-68,81	148,62	15,71	18,85	391,0	203,1	17,5
3	3,10	-134,27	145,12	15,71	12,57	1586,8	385,4	38,8
4	4,54	-65,59	141,62	15,71	18,85	372,8	193,6	16,7
5	5,90	156,07	138,32	31,42	12,57	387,0	832,8	33,9

Verifiche taglio

N°	X	A _{sw}	V	t _c
1	0,30	6,28	-240,21	-5,24
2	1,66	3,14	-94,00	-2,05
3	3,10	0,00	3,73	0,08
4	4,54	3,14	102,34	2,23
5	5,90	6,28	237,90	5,19

Verifica sezioni trasverso [Combinazione n° 25 - SLE (Quasi Permanente) - Sisma Vert. positivo]

Base sezione B = 100 cm
 Altezza sezione H = 60,00 cm

Verifiche presso-flessione

N°	X	M	N	A _{fi}	A _{fs}	S _{fs}	S _{fi}	S _c
1	0,30	-136,52	126,10	18,85	34,56	655,7	317,9	27,7
2	1,70	60,59	122,69	25,13	18,85	165,0	280,0	14,0
3	3,10	127,07	119,30	18,85	18,85	328,1	1068,3	31,2
4	4,50	64,03	115,91	25,13	18,85	171,6	317,6	14,7
5	5,90	-129,63	112,50	18,85	34,56	631,6	299,9	26,2

Verifiche taglio

N°	X	A _{sw}	V	t _c
1	0,30	6,28	187,05	4,08
2	1,70	3,14	93,95	2,05
3	3,10	0,00	1,23	0,03
4	4,50	3,14	-91,48	-2,00
5	5,90	6,28	-184,59	-4,03

Verifica sezioni piedritto sinistro [Combinazione n° 25 - SLE (Quasi Permanente) - Sisma Vert. positivo]

Base sezione B = 100 cm
 Altezza sezione H = 60,00 cm

Verifiche presso-flessione

N°	X	M	N	A _{fi}	A _{fs}	S _{fs}	S _{fi}	S _c
1	0,30	-153,15	244,38	18,85	18,85	1052,4	423,1	38,0
2	2,10	-25,77	215,72	18,85	18,85	4,2	96,1	7,0
3	3,90	-136,52	187,05	18,85	18,85	1008,6	369,5	33,8

Verifiche taglio

N°	X	A _{sw}	V	t _c
1	0,30	0,00	144,77	3,16
2	2,10	0,00	1,06	0,02
3	3,90	0,00	-117,83	-2,57

Verifica sezioni piedritto destro [Combinazione n° 25 - SLE (Quasi Permanente) - Sisma Vert. positivo]

Base sezione B = 100 cm
 Altezza sezione H = 60,00 cm

Verifiche presso-flessione

N°	X	M	N	A _{fi}	A _{fs}	S _{fs}	S _{fi}	S _c
1	0,30	-156,07	241,92	18,85	18,85	1088,6	429,5	38,8
2	2,10	-27,92	213,25	18,85	18,85	1,5	99,8	7,3
3	3,90	-129,63	184,59	18,85	18,85	941,6	352,6	32,1

Verifiche taglio

N°	X	A _{sw}	V	t _c
1	0,30	0,00	-146,14	-3,19
2	2,10	0,00	-4,70	-0,10
3	3,90	0,00	112,50	2,45

Verifica sezioni fondazione [Combinazione n° 26 - SLE (Quasi Permanente) - Sisma Vert. negativo]

Base sezione B = 100 cm
 Altezza sezione H = 60,00 cm

Verifiche presso-flessione

N°	X	M	N	A _{fi}	A _{fs}	S _{fs}	S _{fi}	S _c
1	0,30	144,57	150,35	31,42	12,57	364,7	741,3	31,7
2	1,66	-63,09	147,05	15,71	18,85	336,4	188,0	16,0
3	3,10	-124,30	143,55	15,71	12,57	1435,3	360,0	36,0
4	4,54	-59,75	140,05	15,71	18,85	317,0	178,2	15,2
5	5,90	147,68	136,75	31,42	12,57	367,9	780,0	32,2

Verifiche taglio

N°	X	A _{sw}	V	t _c
1	0,30	6,28	-225,06	-4,91
2	1,66	3,14	-88,14	-1,92
3	3,10	0,00	3,48	0,08
4	4,54	3,14	95,80	2,09
5	5,90	6,28	222,79	4,86

Verifica sezioni traverso [Combinazione n° 26 - SLE (Quasi Permanente) - Sisma Vert. negativo]

Base sezione B = 100 cm
 Altezza sezione H = 60,00 cm

Verifiche presso-flessione

N°	X	M	N	A _{fi}	A _{fs}	S _{fs}	S _{fi}	S _c
1	0,30	-133,25	127,54	18,85	34,56	634,4	311,5	27,1
2	1,70	56,70	124,14	25,13	18,85	156,1	247,7	13,1
3	3,10	120,79	120,74	18,85	18,85	314,2	997,9	29,7
4	4,50	60,09	117,35	25,13	18,85	162,8	284,5	13,8
5	5,90	-126,44	113,95	18,85	34,56	610,8	293,7	25,6

Verifiche taglio

N°	X	A _{sw}	V	t _c
1	0,30	6,28	180,24	3,93
2	1,70	3,14	90,54	1,97

3	3,10	0,00	1,22	0,03
4	4,50	3,14	-88,11	-1,92
5	5,90	6,28	-177,81	-3,88

Verifica sezioni piedritto sinistro [Combinazione n° 26 - SLE (Quasi Permanente) - Sisma Vert. negativo]

Base sezione B = 100 cm

Altezza sezione H = 60,00 cm

Verifiche presso-flessione

N°	X	M	N	A _{fi}	A _{fs}	S _{fs}	S _{fi}	S _c
1	0,30	-144,57	228,82	18,85	18,85	997,6	398,9	35,9
2	2,10	-20,20	204,53	18,85	18,85	11,8	83,5	6,0
3	3,90	-133,25	180,24	18,85	18,85	989,8	360,0	33,0

Verifiche taglio

N°	X	A _{sw}	V	t _c
1	0,30	0,00	143,07	3,12
2	2,10	0,00	-0,37	-0,01
3	3,90	0,00	-119,14	-2,60

Verifica sezioni piedritto destro [Combinazione n° 26 - SLE (Quasi Permanente) - Sisma Vert. negativo]

Base sezione B = 100 cm

Altezza sezione H = 60,00 cm

Verifiche presso-flessione

N°	X	M	N	A _{fi}	A _{fs}	S _{fs}	S _{fi}	S _c
1	0,30	-147,68	226,39	18,85	18,85	1035,8	405,8	36,7
2	2,10	-22,13	202,10	18,85	18,85	7,8	86,4	6,3
3	3,90	-126,44	177,81	18,85	18,85	923,6	343,4	31,3

Verifiche taglio

N°	X	A _{sw}	V	t _c
1	0,30	0,00	-144,70	-3,16
2	2,10	0,00	-3,25	-0,07
3	3,90	0,00	113,95	2,49

Verifica sezioni fondazione [Combinazione n° 27 - SLE (Frequente) - Sisma Vert. positivo]

Base sezione B = 100 cm

Altezza sezione H = 60,00 cm

Verifiche presso-flessione

N°	X	M	N	A _{fi}	A _{fs}	S _{fs}	S _{fi}	S _c
1	0,30	156,07	138,32	31,42	12,57	387,0	832,8	33,9
2	1,66	-65,59	141,62	15,71	18,85	372,8	193,6	16,7
3	3,10	-134,27	145,12	15,71	12,57	1586,8	385,4	38,8
4	4,54	-68,81	148,62	15,71	18,85	391,0	203,1	17,5
5	5,90	153,15	151,92	31,42	12,57	384,3	795,3	33,5

Verifiche taglio

N°	X	A _{sw}	V	t _c
----	---	-----------------	---	----------------

1	0,30	6,28	-237,90	-5,19
2	1,66	3,14	-95,53	-2,08
3	3,10	0,00	1,13	0,02
4	4,54	3,14	100,97	2,20
5	5,90	6,28	240,21	5,24

Verifica sezioni traverso [Combinazione n° 27 - SLE (Frequente) - Sisma Vert. positivo]

Base sezione B = 100 cm
 Altezza sezione H = 60,00 cm

Verifiche presso-flessione

N°	X	M	N	A _{fi}	A _{fs}	S _{fs}	S _{fi}	S _c
1	0,30	-129,63	112,50	18,85	34,56	631,6	299,9	26,2
2	1,70	64,03	115,91	25,13	18,85	171,6	317,6	14,7
3	3,10	127,07	119,30	18,85	18,85	328,1	1068,3	31,2
4	4,50	60,59	122,69	25,13	18,85	165,0	280,0	14,0
5	5,90	-136,52	126,10	18,85	34,56	655,7	317,9	27,7

Verifiche taglio

N°	X	A _{sw}	V	t _c
1	0,30	6,28	184,59	4,03
2	1,70	3,14	91,48	2,00
3	3,10	0,00	-1,23	-0,03
4	4,50	3,14	-93,95	-2,05
5	5,90	6,28	-187,05	-4,08

Verifica sezioni piedritto sinistro [Combinazione n° 27 - SLE (Frequente) - Sisma Vert. positivo]

Base sezione B = 100 cm
 Altezza sezione H = 60,00 cm

Verifiche presso-flessione

N°	X	M	N	A _{fi}	A _{fs}	S _{fs}	S _{fi}	S _c
1	0,30	-156,07	241,92	18,85	18,85	1088,6	429,5	38,8
2	2,10	-27,92	213,25	18,85	18,85	1,5	99,8	7,3
3	3,90	-129,63	184,59	18,85	18,85	941,6	352,6	32,1

Verifiche taglio

N°	X	A _{sw}	V	t _c
1	0,30	0,00	146,14	3,19
2	2,10	0,00	4,70	0,10
3	3,90	0,00	-112,50	-2,45

Verifica sezioni piedritto destro [Combinazione n° 27 - SLE (Frequente) - Sisma Vert. positivo]

Base sezione B = 100 cm
 Altezza sezione H = 60,00 cm

Verifiche presso-flessione

N°	X	M	N	A _{fi}	A _{fs}	S _{fs}	S _{fi}	S _c
1	0,30	-153,15	244,38	18,85	18,85	1052,4	423,1	38,0
2	2,10	-25,77	215,72	18,85	18,85	4,2	96,1	7,0
3	3,90	-136,52	187,05	18,85	18,85	1008,6	369,5	33,8

Verifiche taglio

N°	X	A _{sw}	V	t _c
1	0,30	0,00	-144,77	-3,16
2	2,10	0,00	-1,06	-0,02
3	3,90	0,00	117,83	2,57

Verifica sezioni fondazione [Combinazione n° 28 - SLE (Frequente) - Sisma Vert. negativo]

Base sezione B = 100 cm

Altezza sezione H = 60,00 cm

Verifiche presso-flessione

N°	X	M	N	A _{fi}	A _{fs}	S _{fs}	S _{fi}	S _c
1	0,30	147,68	136,75	31,42	12,57	367,9	780,0	32,2
2	1,66	-59,75	140,05	15,71	18,85	317,0	178,2	15,2
3	3,10	-124,30	143,55	15,71	12,57	1435,3	360,0	36,0
4	4,54	-63,09	147,05	15,71	18,85	336,4	188,0	16,0
5	5,90	144,57	150,35	31,42	12,57	364,7	741,3	31,7

Verifiche taglio

N°	X	A _{sw}	V	t _c
1	0,30	6,28	-222,79	-4,86
2	1,66	3,14	-89,75	-1,96
3	3,10	0,00	0,79	0,02
4	4,54	3,14	94,36	2,06
5	5,90	6,28	225,06	4,91

Verifica sezioni traverso [Combinazione n° 28 - SLE (Frequente) - Sisma Vert. negativo]

Base sezione B = 100 cm

Altezza sezione H = 60,00 cm

Verifiche presso-flessione

N°	X	M	N	A _{fi}	A _{fs}	S _{fs}	S _{fi}	S _c
1	0,30	-126,44	113,95	18,85	34,56	610,8	293,7	25,6
2	1,70	60,09	117,35	25,13	18,85	162,8	284,5	13,8
3	3,10	120,79	120,74	18,85	18,85	314,2	997,9	29,7
4	4,50	56,70	124,14	25,13	18,85	156,1	247,7	13,1
5	5,90	-133,25	127,54	18,85	34,56	634,4	311,5	27,1

Verifiche taglio

N°	X	A _{sw}	V	t _c
1	0,30	6,28	177,81	3,88
2	1,70	3,14	88,11	1,92
3	3,10	0,00	-1,22	-0,03
4	4,50	3,14	-90,54	-1,97
5	5,90	6,28	-180,24	-3,93

Verifica sezioni piedritto sinistro [Combinazione n° 28 - SLE (Frequente) - Sisma Vert. negativo]

Base sezione B = 100 cm

Altezza sezione H = 60,00 cm

Verifiche presso-flessione

N°	X	M	N	A _{fi}	A _{fs}	S _{fs}	S _{fi}	S _c
1	0,30	-147,68	226,39	18,85	18,85	1035,8	405,8	36,7
2	2,10	-22,13	202,10	18,85	18,85	7,8	86,4	6,3
3	3,90	-126,44	177,81	18,85	18,85	923,6	343,4	31,3

Verifiche taglio

N°	X	A _{sw}	V	t _c
1	0,30	0,00	144,70	3,16
2	2,10	0,00	3,25	0,07
3	3,90	0,00	-113,95	-2,49

Verifica sezioni piedritto destro [Combinazione n° 28 - SLE (Frequente) - Sisma Vert. negativo]

Base sezione B = 100 cm
 Altezza sezione H = 60,00 cm

Verifiche presso-flessione

N°	X	M	N	A _{fi}	A _{fs}	S _{fs}	S _{fi}	S _c
1	0,30	-144,57	228,82	18,85	18,85	997,6	398,9	35,9
2	2,10	-20,20	204,53	18,85	18,85	11,8	83,5	6,0
3	3,90	-133,25	180,24	18,85	18,85	989,8	360,0	33,0

Verifiche taglio

N°	X	A _{sw}	V	t _c
1	0,30	0,00	-143,07	-3,12
2	2,10	0,00	0,37	0,01
3	3,90	0,00	119,14	2,60

Verifica sezioni fondazione [Combinazione n° 29 - SLE (Frequente) - Sisma Vert. positivo]

Base sezione B = 100 cm
 Altezza sezione H = 60,00 cm

Verifiche presso-flessione

N°	X	M	N	A _{fi}	A _{fs}	S _{fs}	S _{fi}	S _c
1	0,30	153,15	151,92	31,42	12,57	384,3	795,3	33,5
2	1,66	-68,81	148,62	15,71	18,85	391,0	203,1	17,5
3	3,10	-134,27	145,12	15,71	12,57	1586,8	385,4	38,8
4	4,54	-65,59	141,62	15,71	18,85	372,8	193,6	16,7
5	5,90	156,07	138,32	31,42	12,57	387,0	832,8	33,9

Verifiche taglio

N°	X	A _{sw}	V	t _c
1	0,30	6,28	-240,21	-5,24
2	1,66	3,14	-94,00	-2,05
3	3,10	0,00	3,73	0,08
4	4,54	3,14	102,34	2,23
5	5,90	6,28	237,90	5,19

Verifica sezioni traverso [Combinazione n° 29 - SLE (Frequente) - Sisma Vert. positivo]

Base sezione B = 100 cm
 Altezza sezione H = 60,00 cm

Verifiche presso-flessione

N°	X	M	N	A _{fi}	A _{fs}	S _{fs}	S _{fi}	S _c
1	0,30	-136,52	126,10	18,85	34,56	655,7	317,9	27,7
2	1,70	60,59	122,69	25,13	18,85	165,0	280,0	14,0
3	3,10	127,07	119,30	18,85	18,85	328,1	1068,3	31,2
4	4,50	64,03	115,91	25,13	18,85	171,6	317,6	14,7
5	5,90	-129,63	112,50	18,85	34,56	631,6	299,9	26,2

Verifiche taglio

N°	X	A _{sw}	V	t _c
1	0,30	6,28	187,05	4,08
2	1,70	3,14	93,95	2,05
3	3,10	0,00	1,23	0,03
4	4,50	3,14	-91,48	-2,00
5	5,90	6,28	-184,59	-4,03

Verifica sezioni piedritto sinistro [Combinazione n° 29 - SLE (Frequente) - Sisma Vert. positivo]

Base sezione B = 100 cm
 Altezza sezione H = 60,00 cm

Verifiche presso-flessione

N°	X	M	N	A _{fi}	A _{fs}	S _{fs}	S _{fi}	S _c
1	0,30	-153,15	244,38	18,85	18,85	1052,4	423,1	38,0
2	2,10	-25,77	215,72	18,85	18,85	4,2	96,1	7,0
3	3,90	-136,52	187,05	18,85	18,85	1008,6	369,5	33,8

Verifiche taglio

N°	X	A _{sw}	V	t _c
1	0,30	0,00	144,77	3,16
2	2,10	0,00	1,06	0,02
3	3,90	0,00	-117,83	-2,57

Verifica sezioni piedritto destro [Combinazione n° 29 - SLE (Frequente) - Sisma Vert. positivo]

Base sezione B = 100 cm
 Altezza sezione H = 60,00 cm

Verifiche presso-flessione

N°	X	M	N	A _{fi}	A _{fs}	S _{fs}	S _{fi}	S _c
1	0,30	-156,07	241,92	18,85	18,85	1088,6	429,5	38,8
2	2,10	-27,92	213,25	18,85	18,85	1,5	99,8	7,3
3	3,90	-129,63	184,59	18,85	18,85	941,6	352,6	32,1

Verifiche taglio

N°	X	A _{sw}	V	t _c
1	0,30	0,00	-146,14	-3,19
2	2,10	0,00	-4,70	-0,10
3	3,90	0,00	112,50	2,45

Verifica sezioni fondazione [Combinazione n° 30 - SLE (Frequente) - Sisma Vert. negativo]

Base sezione B = 100 cm
 Altezza sezione H = 60,00 cm

Verifiche presso-flessione

N°	X	M	N	A _{fi}	A _{fs}	S _{fs}	S _{fi}	S _c
1	0,30	144,57	150,35	31,42	12,57	364,7	741,3	31,7
2	1,66	-63,09	147,05	15,71	18,85	336,4	188,0	16,0
3	3,10	-124,30	143,55	15,71	12,57	1435,3	360,0	36,0
4	4,54	-59,75	140,05	15,71	18,85	317,0	178,2	15,2
5	5,90	147,68	136,75	31,42	12,57	367,9	780,0	32,2

Verifiche taglio

N°	X	A _{sw}	V	t _c
1	0,30	6,28	-225,06	-4,91
2	1,66	3,14	-88,14	-1,92
3	3,10	0,00	3,48	0,08
4	4,54	3,14	95,80	2,09
5	5,90	6,28	222,79	4,86

Verifica sezioni traverso [Combinazione n° 30 - SLE (Frequente) - Sisma Vert. negativo]

Base sezione B = 100 cm
 Altezza sezione H = 60,00 cm

Verifiche presso-flessione

N°	X	M	N	A _{fi}	A _{fs}	S _{fs}	S _{fi}	S _c
1	0,30	-133,25	127,54	18,85	34,56	634,4	311,5	27,1
2	1,70	56,70	124,14	25,13	18,85	156,1	247,7	13,1
3	3,10	120,79	120,74	18,85	18,85	314,2	997,9	29,7
4	4,50	60,09	117,35	25,13	18,85	162,8	284,5	13,8
5	5,90	-126,44	113,95	18,85	34,56	610,8	293,7	25,6

Verifiche taglio

N°	X	A _{sw}	V	t _c
1	0,30	6,28	180,24	3,93
2	1,70	3,14	90,54	1,97
3	3,10	0,00	1,22	0,03
4	4,50	3,14	-88,11	-1,92
5	5,90	6,28	-177,81	-3,88

Verifica sezioni piedritto sinistro [Combinazione n° 30 - SLE (Frequente) - Sisma Vert. negativo]

Base sezione B = 100 cm
 Altezza sezione H = 60,00 cm

Verifiche presso-flessione

N°	X	M	N	A _{fi}	A _{fs}	S _{fs}	S _{fi}	S _c
1	0,30	-144,57	228,82	18,85	18,85	997,6	398,9	35,9
2	2,10	-20,20	204,53	18,85	18,85	11,8	83,5	6,0
3	3,90	-133,25	180,24	18,85	18,85	989,8	360,0	33,0

Verifiche taglio

N°	X	A _{sw}	V	t _c
----	---	-----------------	---	----------------

1	0,30	0,00	143,07	3,12
2	2,10	0,00	-0,37	-0,01
3	3,90	0,00	-119,14	-2,60

Verifica sezioni piedritto destro [Combinazione n° 30 - SLE (Frequente) - Sisma Vert. negativo]

Base sezione B = 100 cm
Altezza sezione H = 60,00 cm

Verifiche presso-flessione

N°	X	M	N	A _{fi}	A _{fs}	S _{fs}	S _{fi}	S _c
1	0,30	-147,68	226,39	18,85	18,85	1035,8	405,8	36,7
2	2,10	-22,13	202,10	18,85	18,85	7,8	86,4	6,3
3	3,90	-126,44	177,81	18,85	18,85	923,6	343,4	31,3

Verifiche taglio

N°	X	A _{sw}	V	t _c
1	0,30	0,00	-144,70	-3,16
2	2,10	0,00	-3,25	-0,07
3	3,90	0,00	113,95	2,49

Verifica sezioni fondazione [Combinazione n° 31 - SLE (Rara) - Sisma Vert. positivo]

Base sezione B = 100 cm
Altezza sezione H = 60,00 cm

Verifiche presso-flessione

N°	X	M	N	A _{fi}	A _{fs}	S _{fs}	S _{fi}	S _c
1	0,30	156,07	138,32	31,42	12,57	387,0	832,8	33,9
2	1,66	-65,59	141,62	15,71	18,85	372,8	193,6	16,7
3	3,10	-134,27	145,12	15,71	12,57	1586,8	385,4	38,8
4	4,54	-68,81	148,62	15,71	18,85	391,0	203,1	17,5
5	5,90	153,15	151,92	31,42	12,57	384,3	795,3	33,5

Verifiche taglio

N°	X	A _{sw}	V	t _c
1	0,30	6,28	-237,90	-5,19
2	1,66	3,14	-95,53	-2,08
3	3,10	0,00	1,13	0,02
4	4,54	3,14	100,97	2,20
5	5,90	6,28	240,21	5,24

Verifica sezioni traverso [Combinazione n° 31 - SLE (Rara) - Sisma Vert. positivo]

Base sezione B = 100 cm
Altezza sezione H = 60,00 cm

Verifiche presso-flessione

N°	X	M	N	A _{fi}	A _{fs}	S _{fs}	S _{fi}	S _c
1	0,30	-129,63	112,50	18,85	34,56	631,6	299,9	26,2
2	1,70	64,03	115,91	25,13	18,85	171,6	317,6	14,7
3	3,10	127,07	119,30	18,85	18,85	328,1	1068,3	31,2
4	4,50	60,59	122,69	25,13	18,85	165,0	280,0	14,0
5	5,90	-136,52	126,10	18,85	34,56	655,7	317,9	27,7

Verifiche taglio

N°	X	A _{sw}	V	t _c
1	0,30	6,28	184,59	4,03
2	1,70	3,14	91,48	2,00
3	3,10	0,00	-1,23	-0,03
4	4,50	3,14	-93,95	-2,05
5	5,90	6,28	-187,05	-4,08

Verifica sezioni piedritto sinistro [Combinazione n° 31 - SLE (Rara) - Sisma Vert. positivo]

Base sezione B = 100 cm
 Altezza sezione H = 60,00 cm

Verifiche presso-flessione

N°	X	M	N	A _{fi}	A _{fs}	S _{fs}	S _{fi}	S _c
1	0,30	-156,07	241,92	18,85	18,85	1088,6	429,5	38,8
2	2,10	-27,92	213,25	18,85	18,85	1,5	99,8	7,3
3	3,90	-129,63	184,59	18,85	18,85	941,6	352,6	32,1

Verifiche taglio

N°	X	A _{sw}	V	t _c
1	0,30	0,00	146,14	3,19
2	2,10	0,00	4,70	0,10
3	3,90	0,00	-112,50	-2,45

Verifica sezioni piedritto destro [Combinazione n° 31 - SLE (Rara) - Sisma Vert. positivo]

Base sezione B = 100 cm
 Altezza sezione H = 60,00 cm

Verifiche presso-flessione

N°	X	M	N	A _{fi}	A _{fs}	S _{fs}	S _{fi}	S _c
1	0,30	-153,15	244,38	18,85	18,85	1052,4	423,1	38,0
2	2,10	-25,77	215,72	18,85	18,85	4,2	96,1	7,0
3	3,90	-136,52	187,05	18,85	18,85	1008,6	369,5	33,8

Verifiche taglio

N°	X	A _{sw}	V	t _c
1	0,30	0,00	-144,77	-3,16
2	2,10	0,00	-1,06	-0,02
3	3,90	0,00	117,83	2,57

Verifica sezioni fondazione [Combinazione n° 32 - SLE (Rara) - Sisma Vert. negativo]

Base sezione B = 100 cm
 Altezza sezione H = 60,00 cm

Verifiche presso-flessione

N°	X	M	N	A _{fi}	A _{fs}	S _{fs}	S _{fi}	S _c
1	0,30	147,68	136,75	31,42	12,57	367,9	780,0	32,2
2	1,66	-59,75	140,05	15,71	18,85	317,0	178,2	15,2
3	3,10	-124,30	143,55	15,71	12,57	1435,3	360,0	36,0

4	4,54	-63,09	147,05	15,71	18,85	336,4	188,0	16,0
5	5,90	144,57	150,35	31,42	12,57	364,7	741,3	31,7

Verifiche taglio

N°	X	A _{sw}	V	t _c
1	0,30	6,28	-222,79	-4,86
2	1,66	3,14	-89,75	-1,96
3	3,10	0,00	0,79	0,02
4	4,54	3,14	94,36	2,06
5	5,90	6,28	225,06	4,91

Verifica sezioni trasverso [Combinazione n° 32 - SLE (Rara) - Sisma Vert. negativo]

Base sezione B = 100 cm

Altezza sezione H = 60,00 cm

Verifiche presso-flessione

N°	X	M	N	A _{fi}	A _{fs}	S _{fs}	S _{fi}	S _c
1	0,30	-126,44	113,95	18,85	34,56	610,8	293,7	25,6
2	1,70	60,09	117,35	25,13	18,85	162,8	284,5	13,8
3	3,10	120,79	120,74	18,85	18,85	314,2	997,9	29,7
4	4,50	56,70	124,14	25,13	18,85	156,1	247,7	13,1
5	5,90	-133,25	127,54	18,85	34,56	634,4	311,5	27,1

Verifiche taglio

N°	X	A _{sw}	V	t _c
1	0,30	6,28	177,81	3,88
2	1,70	3,14	88,11	1,92
3	3,10	0,00	-1,22	-0,03
4	4,50	3,14	-90,54	-1,97
5	5,90	6,28	-180,24	-3,93

Verifica sezioni piedritto sinistro [Combinazione n° 32 - SLE (Rara) - Sisma Vert. negativo]

Base sezione B = 100 cm

Altezza sezione H = 60,00 cm

Verifiche presso-flessione

N°	X	M	N	A _{fi}	A _{fs}	S _{fs}	S _{fi}	S _c
1	0,30	-147,68	226,39	18,85	18,85	1035,8	405,8	36,7
2	2,10	-22,13	202,10	18,85	18,85	7,8	86,4	6,3
3	3,90	-126,44	177,81	18,85	18,85	923,6	343,4	31,3

Verifiche taglio

N°	X	A _{sw}	V	t _c
1	0,30	0,00	144,70	3,16
2	2,10	0,00	3,25	0,07
3	3,90	0,00	-113,95	-2,49

Verifica sezioni piedritto destro [Combinazione n° 32 - SLE (Rara) - Sisma Vert. negativo]

Base sezione B = 100 cm

Altezza sezione H = 60,00 cm

Verifiche presso-flessione

N°	X	M	N	A _{fi}	A _{fs}	S _{fs}	S _{fi}	S _c
1	0,30	-144,57	228,82	18,85	18,85	997,6	398,9	35,9
2	2,10	-20,20	204,53	18,85	18,85	11,8	83,5	6,0
3	3,90	-133,25	180,24	18,85	18,85	989,8	360,0	33,0

Verifiche taglio

N°	X	A _{sw}	V	t _c
1	0,30	0,00	-143,07	-3,12
2	2,10	0,00	0,37	0,01
3	3,90	0,00	119,14	2,60

Verifica sezioni fondazione [Combinazione n° 33 - SLE (Rara) - Sisma Vert. positivo]

Base sezione B = 100 cm

Altezza sezione H = 60,00 cm

Verifiche presso-flessione

N°	X	M	N	A _{fi}	A _{fs}	S _{fs}	S _{fi}	S _c
1	0,30	153,15	151,92	31,42	12,57	384,3	795,3	33,5
2	1,66	-68,81	148,62	15,71	18,85	391,0	203,1	17,5
3	3,10	-134,27	145,12	15,71	12,57	1586,8	385,4	38,8
4	4,54	-65,59	141,62	15,71	18,85	372,8	193,6	16,7
5	5,90	156,07	138,32	31,42	12,57	387,0	832,8	33,9

Verifiche taglio

N°	X	A _{sw}	V	t _c
1	0,30	6,28	-240,21	-5,24
2	1,66	3,14	-94,00	-2,05
3	3,10	0,00	3,73	0,08
4	4,54	3,14	102,34	2,23
5	5,90	6,28	237,90	5,19

Verifica sezioni trasverso [Combinazione n° 33 - SLE (Rara) - Sisma Vert. positivo]

Base sezione B = 100 cm

Altezza sezione H = 60,00 cm

Verifiche presso-flessione

N°	X	M	N	A _{fi}	A _{fs}	S _{fs}	S _{fi}	S _c
1	0,30	-136,52	126,10	18,85	34,56	655,7	317,9	27,7
2	1,70	60,59	122,69	25,13	18,85	165,0	280,0	14,0
3	3,10	127,07	119,30	18,85	18,85	328,1	1068,3	31,2
4	4,50	64,03	115,91	25,13	18,85	171,6	317,6	14,7
5	5,90	-129,63	112,50	18,85	34,56	631,6	299,9	26,2

Verifiche taglio

N°	X	A _{sw}	V	t _c
1	0,30	6,28	187,05	4,08
2	1,70	3,14	93,95	2,05
3	3,10	0,00	1,23	0,03
4	4,50	3,14	-91,48	-2,00
5	5,90	6,28	-184,59	-4,03

Verifica sezioni piedritto sinistro [Combinazione n° 33 - SLE (Rara) - Sisma Vert. positivo]

Base sezione B = 100 cm
 Altezza sezione H = 60,00 cm

Verifiche presso-flessione

N°	X	M	N	A _{fi}	A _{fs}	S _{fs}	S _{fi}	S _c
1	0,30	-153,15	244,38	18,85	18,85	1052,4	423,1	38,0
2	2,10	-25,77	215,72	18,85	18,85	4,2	96,1	7,0
3	3,90	-136,52	187,05	18,85	18,85	1008,6	369,5	33,8

Verifiche taglio

N°	X	A _{sw}	V	t _c
1	0,30	0,00	144,77	3,16
2	2,10	0,00	1,06	0,02
3	3,90	0,00	-117,83	-2,57

Verifica sezioni piedritto destro [Combinazione n° 33 - SLE (Rara) - Sisma Vert. positivo]

Base sezione B = 100 cm
 Altezza sezione H = 60,00 cm

Verifiche presso-flessione

N°	X	M	N	A _{fi}	A _{fs}	S _{fs}	S _{fi}	S _c
1	0,30	-156,07	241,92	18,85	18,85	1088,6	429,5	38,8
2	2,10	-27,92	213,25	18,85	18,85	1,5	99,8	7,3
3	3,90	-129,63	184,59	18,85	18,85	941,6	352,6	32,1

Verifiche taglio

N°	X	A _{sw}	V	t _c
1	0,30	0,00	-146,14	-3,19
2	2,10	0,00	-4,70	-0,10
3	3,90	0,00	112,50	2,45

Verifica sezioni fondazione [Combinazione n° 34 - SLE (Rara) - Sisma Vert. negativo]

Base sezione B = 100 cm
 Altezza sezione H = 60,00 cm

Verifiche presso-flessione

N°	X	M	N	A _{fi}	A _{fs}	S _{fs}	S _{fi}	S _c
1	0,30	144,57	150,35	31,42	12,57	364,7	741,3	31,7
2	1,66	-63,09	147,05	15,71	18,85	336,4	188,0	16,0
3	3,10	-124,30	143,55	15,71	12,57	1435,3	360,0	36,0
4	4,54	-59,75	140,05	15,71	18,85	317,0	178,2	15,2
5	5,90	147,68	136,75	31,42	12,57	367,9	780,0	32,2

Verifiche taglio

N°	X	A _{sw}	V	t _c
1	0,30	6,28	-225,06	-4,91
2	1,66	3,14	-88,14	-1,92
3	3,10	0,00	3,48	0,08
4	4,54	3,14	95,80	2,09

5 5,90 6,28 222,79 4,86

Verifica sezioni traverso [Combinazione n° 34 - SLE (Rara) - Sisma Vert. negativo]

Base sezione B = 100 cm
Altezza sezione H = 60,00 cm

Verifiche presso-flessione

N°	X	M	N	A _{fi}	A _{fs}	S _{fs}	S _{fi}	S _c
1	0,30	-133,25	127,54	18,85	34,56	634,4	311,5	27,1
2	1,70	56,70	124,14	25,13	18,85	156,1	247,7	13,1
3	3,10	120,79	120,74	18,85	18,85	314,2	997,9	29,7
4	4,50	60,09	117,35	25,13	18,85	162,8	284,5	13,8
5	5,90	-126,44	113,95	18,85	34,56	610,8	293,7	25,6

Verifiche taglio

N°	X	A _{sw}	V	t _c
1	0,30	6,28	180,24	3,93
2	1,70	3,14	90,54	1,97
3	3,10	0,00	1,22	0,03
4	4,50	3,14	-88,11	-1,92
5	5,90	6,28	-177,81	-3,88

Verifica sezioni piedritto sinistro [Combinazione n° 34 - SLE (Rara) - Sisma Vert. negativo]

Base sezione B = 100 cm
Altezza sezione H = 60,00 cm

Verifiche presso-flessione

N°	X	M	N	A _{fi}	A _{fs}	S _{fs}	S _{fi}	S _c
1	0,30	-144,57	228,82	18,85	18,85	997,6	398,9	35,9
2	2,10	-20,20	204,53	18,85	18,85	11,8	83,5	6,0
3	3,90	-133,25	180,24	18,85	18,85	989,8	360,0	33,0

Verifiche taglio

N°	X	A _{sw}	V	t _c
1	0,30	0,00	143,07	3,12
2	2,10	0,00	-0,37	-0,01
3	3,90	0,00	-119,14	-2,60

Verifica sezioni piedritto destro [Combinazione n° 34 - SLE (Rara) - Sisma Vert. negativo]

Base sezione B = 100 cm
Altezza sezione H = 60,00 cm

Verifiche presso-flessione

N°	X	M	N	A _{fi}	A _{fs}	S _{fs}	S _{fi}	S _c
1	0,30	-147,68	226,39	18,85	18,85	1035,8	405,8	36,7
2	2,10	-22,13	202,10	18,85	18,85	7,8	86,4	6,3
3	3,90	-126,44	177,81	18,85	18,85	923,6	343,4	31,3

Verifiche taglio

N°	X	A _{sw}	V	t _c
----	---	-----------------	---	----------------

1	0,30	0,00	-144,70	-3,16
2	2,10	0,00	-3,25	-0,07
3	3,90	0,00	113,95	2,49

Verifiche fessurazione*Simbologia adottata ed unità di misura*

N°	Indice sezione
X_i	Ascissa/Ordinata sezione, espresso in m
M_p	Momento, espresse in kNm
M_n	Momento, espresse in kNm
w_k	Ampiezza fessure, espresse in mm
w_{lim}	Apertura limite fessure, espresse in mm
s	Distanza media tra le fessure, espresse in mm
e_{sm}	Deformazione nelle fessure, espresse in [%]

Verifica fessurazione fondazione [Combinazione n° 14 - SLE (Quasi Permanente)]

N°	X	A_{fi}	A_{fs}	M_p	M_n	M	w	w_{lim}	S_m	e_{sm}
1	0,30	31,42	12,57	145,78	-135,59	141,65	0,00	0,20	0,00	0,00000
2	1,66	15,71	18,85	136,14	-137,83	-71,52	0,00	0,20	0,00	0,00000
3	3,10	15,71	12,57	135,31	-133,62	-135,24	0,18	0,20	208,94	0,00049
4	4,54	15,71	18,85	136,14	-137,83	-71,52	0,00	0,20	0,00	0,00000
5	5,90	31,42	12,57	145,78	-135,59	141,65	0,00	0,20	0,00	0,00000

Verifica fessurazione traverso [Combinazione n° 14 - SLE (Quasi Permanente)]

N°	X	A_{fi}	A_{fs}	M_p	M_n	M	w	w_{lim}	S_m	e_{sm}
1	0,30	18,85	34,56	140,25	-148,76	-123,97	0,00	0,20	0,00	0,00000
2	1,70	25,13	18,85	142,46	-139,06	67,84	0,00	0,20	0,00	0,00000
3	3,10	18,85	18,85	138,25	-138,25	131,42	0,00	0,20	0,00	0,00000
4	4,50	25,13	18,85	142,46	-139,06	67,84	0,00	0,20	0,00	0,00000
5	5,90	18,85	34,56	140,25	-148,76	-123,97	0,00	0,20	0,00	0,00000

Verifica fessurazione piedritto sinistro [Combinazione n° 14 - SLE (Quasi Permanente)]

N°	X	A_{fi}	A_{fs}	M_p	M_n	M	w	w_{lim}	S_m	e_{sm}
1	0,30	18,85	18,85	138,25	-138,25	-141,65	0,07	0,20	142,63	0,00027
2	2,10	18,85	18,85	138,25	-138,25	-44,99	0,00	0,20	0,00	0,00000
3	3,90	18,85	18,85	138,25	-138,25	-123,97	0,00	0,20	0,00	0,00000

Verifica fessurazione piedritto destro [Combinazione n° 14 - SLE (Quasi Permanente)]

N°	X	A_{fi}	A_{fs}	M_p	M_n	M	w	w_{lim}	S_m	e_{sm}
1	0,30	18,85	18,85	138,25	-138,25	-141,65	0,07	0,20	142,63	0,00027
2	2,10	18,85	18,85	138,25	-138,25	-44,99	0,00	0,20	0,00	0,00000
3	3,90	18,85	18,85	138,25	-138,25	-123,97	0,00	0,20	0,00	0,00000

Verifica fessurazione fondazione [Combinazione n° 15 - SLE (Frequente)]

N°	X	A_{fi}	A_{fs}	M_p	M_n	M	w	w_{lim}	S_m	e_{sm}
1	0,30	31,42	12,57	145,78	-135,59	141,65	0,00	0,30	0,00	0,00000
2	1,66	15,71	18,85	136,14	-137,83	-71,52	0,00	0,30	0,00	0,00000
3	3,10	15,71	12,57	135,31	-133,62	-135,24	0,18	0,30	208,94	0,00049
4	4,54	15,71	18,85	136,14	-137,83	-71,52	0,00	0,30	0,00	0,00000
5	5,90	31,42	12,57	145,78	-135,59	141,65	0,00	0,30	0,00	0,00000

Verifica fessurazione traverso [Combinazione n° 15 - SLE (Frequente)]

N°	X	A _{fi}	A _{fs}	M _p	M _n	M	w	W _{lim}	S _m	e _{sm}
1	0,30	18,85	34,56	140,25	-148,76	-123,97	0,00	0,30	0,00	0,00000
2	1,70	25,13	18,85	142,46	-139,06	67,84	0,00	0,30	0,00	0,00000
3	3,10	18,85	18,85	138,25	-138,25	131,42	0,00	0,30	0,00	0,00000
4	4,50	25,13	18,85	142,46	-139,06	67,84	0,00	0,30	0,00	0,00000
5	5,90	18,85	34,56	140,25	-148,76	-123,97	0,00	0,30	0,00	0,00000

Verifica fessurazione piedritto sinistro [Combinazione n° 15 - SLE (Frequente)]

N°	X	A _{fi}	A _{fs}	M _p	M _n	M	w	W _{lim}	S _m	e _{sm}
1	0,30	18,85	18,85	138,25	-138,25	-141,65	0,07	0,30	142,63	0,00027
2	2,10	18,85	18,85	138,25	-138,25	-44,99	0,00	0,30	0,00	0,00000
3	3,90	18,85	18,85	138,25	-138,25	-123,97	0,00	0,30	0,00	0,00000

Verifica fessurazione piedritto destro [Combinazione n° 15 - SLE (Frequente)]

N°	X	A _{fi}	A _{fs}	M _p	M _n	M	w	W _{lim}	S _m	e _{sm}
1	0,30	18,85	18,85	138,25	-138,25	-141,65	0,07	0,30	142,63	0,00027
2	2,10	18,85	18,85	138,25	-138,25	-44,99	0,00	0,30	0,00	0,00000
3	3,90	18,85	18,85	138,25	-138,25	-123,97	0,00	0,30	0,00	0,00000

Verifica fessurazione fondazione [Combinazione n° 16 - SLE (Frequente)]

N°	X	A _{fi}	A _{fs}	M _p	M _n	M	w	W _{lim}	S _m	e _{sm}
1	0,30	31,42	12,57	145,78	-135,59	177,50	0,04	0,30	82,69	0,00027
2	1,66	15,71	18,85	136,14	-137,83	-83,07	0,00	0,30	0,00	0,00000
3	3,10	15,71	12,57	135,31	-133,62	-156,21	0,20	0,30	208,94	0,00055
4	4,54	15,71	18,85	136,14	-137,83	-78,09	0,00	0,30	0,00	0,00000
5	5,90	31,42	12,57	145,78	-135,59	164,29	0,04	0,30	82,69	0,00025

Verifica fessurazione traverso [Combinazione n° 16 - SLE (Frequente)]

N°	X	A _{fi}	A _{fs}	M _p	M _n	M	w	W _{lim}	S _m	e _{sm}
1	0,30	18,85	34,56	140,25	-148,76	-154,42	0,03	0,30	82,34	0,00022
2	1,70	25,13	18,85	142,46	-139,06	88,64	0,00	0,30	0,00	0,00000
3	3,10	18,85	18,85	138,25	-138,25	154,65	0,09	0,30	133,42	0,00039
4	4,50	25,13	18,85	142,46	-139,06	68,20	0,00	0,30	0,00	0,00000
5	5,90	18,85	34,56	140,25	-148,76	-156,23	0,03	0,30	82,34	0,00022

Verifica fessurazione piedritto sinistro [Combinazione n° 16 - SLE (Frequente)]

N°	X	A _{fi}	A _{fs}	M _p	M _n	M	w	W _{lim}	S _m	e _{sm}
1	0,30	18,85	18,85	138,25	-138,25	-177,50	0,08	0,30	142,63	0,00034
2	2,10	18,85	18,85	138,25	-138,25	-44,81	0,00	0,30	0,00	0,00000
3	3,90	18,85	18,85	138,25	-138,25	-154,42	0,08	0,30	142,63	0,00031

Verifica fessurazione piedritto destro [Combinazione n° 16 - SLE (Frequente)]

N°	X	A _{fi}	A _{fs}	M _p	M _n	M	w	W _{lim}	S _m	E _{sm}
1	0,30	18,85	18,85	138,25	-138,25	-164,29	0,08	0,30	142,63	0,00032
2	2,10	18,85	18,85	138,25	-138,25	-40,09	0,00	0,30	0,00	0,00000
3	3,90	18,85	18,85	138,25	-138,25	-156,23	0,08	0,30	142,63	0,00033

Verifica fessurazione fondazione [Combinazione n° 17 - SLE (Frequente)]

N°	X	A _{fi}	A _{fs}	M _p	M _n	M	w	W _{lim}	S _m	E _{sm}
1	0,30	31,42	12,57	145,78	-135,59	173,54	0,04	0,30	82,69	0,00027
2	1,66	15,71	18,85	136,14	-137,83	-85,45	0,00	0,30	0,00	0,00000
3	3,10	15,71	12,57	135,31	-133,62	-163,09	0,21	0,30	208,94	0,00059
4	4,54	15,71	18,85	136,14	-137,83	-85,45	0,00	0,30	0,00	0,00000
5	5,90	31,42	12,57	145,78	-135,59	173,54	0,04	0,30	82,69	0,00027

Verifica fessurazione traverso [Combinazione n° 17 - SLE (Frequente)]

N°	X	A _{fi}	A _{fs}	M _p	M _n	M	w	W _{lim}	S _m	E _{sm}
1	0,30	18,85	34,56	140,25	-148,76	-167,74	0,03	0,30	82,34	0,00024
2	1,70	25,13	18,85	142,46	-139,06	86,60	0,00	0,30	0,00	0,00000
3	3,10	18,85	18,85	138,25	-138,25	174,53	0,10	0,30	133,42	0,00045
4	4,50	25,13	18,85	142,46	-139,06	86,60	0,00	0,30	0,00	0,00000
5	5,90	18,85	34,56	140,25	-148,76	-167,74	0,03	0,30	82,34	0,00024

Verifica fessurazione piedritto sinistro [Combinazione n° 17 - SLE (Frequente)]

N°	X	A _{fi}	A _{fs}	M _p	M _n	M	w	W _{lim}	S _m	E _{sm}
1	0,30	18,85	18,85	138,25	-138,25	-173,54	0,08	0,30	142,63	0,00034
2	2,10	18,85	18,85	138,25	-138,25	-50,60	0,00	0,30	0,00	0,00000
3	3,90	18,85	18,85	138,25	-138,25	-167,74	0,09	0,30	142,63	0,00035

Verifica fessurazione piedritto destro [Combinazione n° 17 - SLE (Frequente)]

N°	X	A _{fi}	A _{fs}	M _p	M _n	M	w	W _{lim}	S _m	E _{sm}
1	0,30	18,85	18,85	138,25	-138,25	-173,54	0,08	0,30	142,63	0,00034
2	2,10	18,85	18,85	138,25	-138,25	-50,60	0,00	0,30	0,00	0,00000
3	3,90	18,85	18,85	138,25	-138,25	-167,74	0,09	0,30	142,63	0,00035

Verifica fessurazione fondazione [Combinazione n° 18 - SLE (Frequente)]

N°	X	A _{fi}	A _{fs}	M _p	M _n	M	w	W _{lim}	S _m	E _{sm}
1	0,30	31,42	12,57	145,78	-135,59	164,29	0,04	0,30	82,69	0,00025
2	1,66	15,71	18,85	136,14	-137,83	-78,09	0,00	0,30	0,00	0,00000
3	3,10	15,71	12,57	135,31	-133,62	-156,21	0,20	0,30	208,94	0,00055
4	4,54	15,71	18,85	136,14	-137,83	-83,07	0,00	0,30	0,00	0,00000
5	5,90	31,42	12,57	145,78	-135,59	177,50	0,04	0,30	82,69	0,00027

Verifica fessurazione traverso [Combinazione n° 18 - SLE (Frequente)]

N°	X	A _{fi}	A _{fs}	M _p	M _n	M	w	W _{lim}	S _m	e _{sm}
1	0,30	18,85	34,56	140,25	-148,76	-156,23	0,03	0,30	82,34	0,00022
2	1,70	25,13	18,85	142,46	-139,06	68,20	0,00	0,30	0,00	0,00000
3	3,10	18,85	18,85	138,25	-138,25	154,65	0,09	0,30	133,42	0,00039
4	4,50	25,13	18,85	142,46	-139,06	88,64	0,00	0,30	0,00	0,00000
5	5,90	18,85	34,56	140,25	-148,76	-154,42	0,03	0,30	82,34	0,00022

Verifica fessurazione piedritto sinistro [Combinazione n° 18 - SLE (Frequente)]

N°	X	A _{fi}	A _{fs}	M _p	M _n	M	w	W _{lim}	S _m	e _{sm}
1	0,30	18,85	18,85	138,25	-138,25	-164,29	0,08	0,30	142,63	0,00032
2	2,10	18,85	18,85	138,25	-138,25	-40,09	0,00	0,30	0,00	0,00000
3	3,90	18,85	18,85	138,25	-138,25	-156,23	0,08	0,30	142,63	0,00033

Verifica fessurazione piedritto destro [Combinazione n° 18 - SLE (Frequente)]

N°	X	A _{fi}	A _{fs}	M _p	M _n	M	w	W _{lim}	S _m	e _{sm}
1	0,30	18,85	18,85	138,25	-138,25	-177,50	0,08	0,30	142,63	0,00034
2	2,10	18,85	18,85	138,25	-138,25	-44,81	0,00	0,30	0,00	0,00000
3	3,90	18,85	18,85	138,25	-138,25	-154,42	0,08	0,30	142,63	0,00031

Verifica fessurazione fondazione [Combinazione n° 19 - SLE (Rara)]

N°	X	A _{fi}	A _{fs}	M _p	M _n	M	w	W _{lim}	S _m	e _{sm}
1	0,30	31,42	12,57	145,78	-135,59	232,00	0,05	100,00	82,69	0,00035
2	1,66	15,71	18,85	136,14	-137,83	-103,60	0,00	100,00	0,00	0,00000
3	3,10	15,71	12,57	135,31	-133,62	-205,06	0,25	100,00	208,94	0,00070
4	4,54	15,71	18,85	136,14	-137,83	-103,60	0,00	100,00	0,00	0,00000
5	5,90	31,42	12,57	145,78	-135,59	232,00	0,05	100,00	82,69	0,00035

Verifica fessurazione traverso [Combinazione n° 19 - SLE (Rara)]

N°	X	A _{fi}	A _{fs}	M _p	M _n	M	w	W _{lim}	S _m	e _{sm}
1	0,30	18,85	34,56	140,25	-148,76	-230,44	0,05	100,00	82,34	0,00032
2	1,70	25,13	18,85	142,46	-139,06	107,76	0,00	100,00	0,00	0,00000
3	3,10	18,85	18,85	138,25	-138,25	220,99	0,12	100,00	133,42	0,00054
4	4,50	25,13	18,85	142,46	-139,06	107,76	0,00	100,00	0,00	0,00000
5	5,90	18,85	34,56	140,25	-148,76	-230,44	0,05	100,00	82,34	0,00032

Verifica fessurazione piedritto sinistro [Combinazione n° 19 - SLE (Rara)]

N°	X	A _{fi}	A _{fs}	M _p	M _n	M	w	W _{lim}	S _m	e _{sm}
1	0,30	18,85	18,85	138,25	-138,25	-232,00	0,11	100,00	142,63	0,00046
2	2,10	18,85	18,85	138,25	-138,25	-45,55	0,00	100,00	0,00	0,00000
3	3,90	18,85	18,85	138,25	-138,25	-230,44	0,12	100,00	142,63	0,00049

Verifica fessurazione piedritto destro [Combinazione n° 19 - SLE (Rara)]

N°	X	A _{fi}	A _{fs}	M _p	M _n	M	w	W _{lim}	S _m	e _{sm}
----	---	-----------------	-----------------	----------------	----------------	---	---	------------------	----------------	-----------------

1	0,30	18,85	18,85	138,25	-138,25	-232,00	0,11	100,00	142,63	0,00046
2	2,10	18,85	18,85	138,25	-138,25	-45,55	0,00	100,00	0,00	0,00000
3	3,90	18,85	18,85	138,25	-138,25	-230,44	0,12	100,00	142,63	0,00049

Verifica fessurazione fondazione [Combinazione n° 20 - SLE (Rara)]

N°	X	A _{fi}	A _{fs}	M _p	M _n	M	w	W _{lim}	S _m	e _{sm}
1	0,30	31,42	12,57	145,78	-135,59	243,96	0,05	100,00	82,69	0,00037
2	1,66	15,71	18,85	136,14	-137,83	-107,45	0,00	100,00	0,00	0,00000
3	3,10	15,71	12,57	135,31	-133,62	-212,06	0,26	100,00	208,94	0,00072
4	4,54	15,71	18,85	136,14	-137,83	-105,79	0,00	100,00	0,00	0,00000
5	5,90	31,42	12,57	145,78	-135,59	239,53	0,05	100,00	82,69	0,00036

Verifica fessurazione traverso [Combinazione n° 20 - SLE (Rara)]

N°	X	A _{fi}	A _{fs}	M _p	M _n	M	w	W _{lim}	S _m	e _{sm}
1	0,30	18,85	34,56	140,25	-148,76	-240,61	0,05	100,00	82,34	0,00034
2	1,70	25,13	18,85	142,46	-139,06	114,68	0,00	100,00	0,00	0,00000
3	3,10	18,85	18,85	138,25	-138,25	228,73	0,13	100,00	133,42	0,00055
4	4,50	25,13	18,85	142,46	-139,06	107,89	0,00	100,00	0,00	0,00000
5	5,90	18,85	34,56	140,25	-148,76	-241,17	0,05	100,00	82,34	0,00034

Verifica fessurazione piedritto sinistro [Combinazione n° 20 - SLE (Rara)]

N°	X	A _{fi}	A _{fs}	M _p	M _n	M	w	W _{lim}	S _m	e _{sm}
1	0,30	18,85	18,85	138,25	-138,25	-243,96	0,12	100,00	142,63	0,00048
2	2,10	18,85	18,85	138,25	-138,25	-45,48	0,00	100,00	0,00	0,00000
3	3,90	18,85	18,85	138,25	-138,25	-240,61	0,12	100,00	142,63	0,00051

Verifica fessurazione piedritto destro [Combinazione n° 20 - SLE (Rara)]

N°	X	A _{fi}	A _{fs}	M _p	M _n	M	w	W _{lim}	S _m	e _{sm}
1	0,30	18,85	18,85	138,25	-138,25	-239,53	0,12	100,00	142,63	0,00048
2	2,10	18,85	18,85	138,25	-138,25	-43,94	0,00	100,00	0,00	0,00000
3	3,90	18,85	18,85	138,25	-138,25	-241,17	0,12	100,00	142,63	0,00052

Verifica fessurazione fondazione [Combinazione n° 21 - SLE (Rara)]

N°	X	A _{fi}	A _{fs}	M _p	M _n	M	w	W _{lim}	S _m	e _{sm}
1	0,30	31,42	12,57	145,78	-135,59	242,63	0,05	100,00	82,69	0,00037
2	1,66	15,71	18,85	136,14	-137,83	-108,24	0,00	100,00	0,00	0,00000
3	3,10	15,71	12,57	135,31	-133,62	-214,35	0,26	100,00	208,94	0,00073
4	4,54	15,71	18,85	136,14	-137,83	-108,24	0,00	100,00	0,00	0,00000
5	5,90	31,42	12,57	145,78	-135,59	242,63	0,05	100,00	82,69	0,00037

Verifica fessurazione traverso [Combinazione n° 21 - SLE (Rara)]

N°	X	A _{fi}	A _{fs}	M _p	M _n	M	w	W _{lim}	S _m	e _{sm}
1	0,30	18,85	34,56	140,25	-148,76	-245,03	0,05	100,00	82,34	0,00034
2	1,70	25,13	18,85	142,46	-139,06	114,01	0,00	100,00	0,00	0,00000

3	3,10	18,85	18,85	138,25	-138,25	235,36	0,13	100,00	133,42	0,00057
4	4,50	25,13	18,85	142,46	-139,06	114,01	0,00	100,00	0,00	0,00000
5	5,90	18,85	34,56	140,25	-148,76	-245,03	0,05	100,00	82,34	0,00034

Verifica fessurazione piedritto sinistro [Combinazione n° 21 - SLE (Rara)]

N°	X	A _{fi}	A _{fs}	M _p	M _n	M	w	W _{lim}	S _m	e _{sm}
1	0,30	18,85	18,85	138,25	-138,25	-242,63	0,12	100,00	142,63	0,00048
2	2,10	18,85	18,85	138,25	-138,25	-47,42	0,00	100,00	0,00	0,00000
3	3,90	18,85	18,85	138,25	-138,25	-245,03	0,13	100,00	142,63	0,00052

Verifica fessurazione piedritto destro [Combinazione n° 21 - SLE (Rara)]

N°	X	A _{fi}	A _{fs}	M _p	M _n	M	w	W _{lim}	S _m	e _{sm}
1	0,30	18,85	18,85	138,25	-138,25	-242,63	0,12	100,00	142,63	0,00048
2	2,10	18,85	18,85	138,25	-138,25	-47,42	0,00	100,00	0,00	0,00000
3	3,90	18,85	18,85	138,25	-138,25	-245,03	0,13	100,00	142,63	0,00052

Verifica fessurazione fondazione [Combinazione n° 22 - SLE (Rara)]

N°	X	A _{fi}	A _{fs}	M _p	M _n	M	w	W _{lim}	S _m	e _{sm}
1	0,30	31,42	12,57	145,78	-135,59	239,53	0,05	100,00	82,69	0,00036
2	1,66	15,71	18,85	136,14	-137,83	-105,79	0,00	100,00	0,00	0,00000
3	3,10	15,71	12,57	135,31	-133,62	-212,06	0,26	100,00	208,94	0,00072
4	4,54	15,71	18,85	136,14	-137,83	-107,45	0,00	100,00	0,00	0,00000
5	5,90	31,42	12,57	145,78	-135,59	243,96	0,05	100,00	82,69	0,00037

Verifica fessurazione traverso [Combinazione n° 22 - SLE (Rara)]

N°	X	A _{fi}	A _{fs}	M _p	M _n	M	w	W _{lim}	S _m	e _{sm}
1	0,30	18,85	34,56	140,25	-148,76	-241,17	0,05	100,00	82,34	0,00034
2	1,70	25,13	18,85	142,46	-139,06	107,89	0,00	100,00	0,00	0,00000
3	3,10	18,85	18,85	138,25	-138,25	228,73	0,13	100,00	133,42	0,00055
4	4,50	25,13	18,85	142,46	-139,06	114,68	0,00	100,00	0,00	0,00000
5	5,90	18,85	34,56	140,25	-148,76	-240,61	0,05	100,00	82,34	0,00034

Verifica fessurazione piedritto sinistro [Combinazione n° 22 - SLE (Rara)]

N°	X	A _{fi}	A _{fs}	M _p	M _n	M	w	W _{lim}	S _m	e _{sm}
1	0,30	18,85	18,85	138,25	-138,25	-239,53	0,12	100,00	142,63	0,00048
2	2,10	18,85	18,85	138,25	-138,25	-43,94	0,00	100,00	0,00	0,00000
3	3,90	18,85	18,85	138,25	-138,25	-241,17	0,12	100,00	142,63	0,00052

Verifica fessurazione piedritto destro [Combinazione n° 22 - SLE (Rara)]

N°	X	A _{fi}	A _{fs}	M _p	M _n	M	w	W _{lim}	S _m	e _{sm}
1	0,30	18,85	18,85	138,25	-138,25	-243,96	0,12	100,00	142,63	0,00048
2	2,10	18,85	18,85	138,25	-138,25	-45,48	0,00	100,00	0,00	0,00000
3	3,90	18,85	18,85	138,25	-138,25	-240,61	0,12	100,00	142,63	0,00051

Verifica fessurazione fondazione [Combinazione n° 23 - SLE (Quasi Permanente) - Sisma Vert. positivo]

N°	X	A _{fi}	A _{fs}	M _p	M _n	M	w	W _{lim}	S _m	e _{sm}
1	0,30	31,42	12,57	145,78	-135,59	156,07	0,03	0,20	82,69	0,00024
2	1,66	15,71	18,85	136,14	-137,83	-65,59	0,00	0,20	0,00	0,00000
3	3,10	15,71	12,57	135,31	-133,62	-134,27	0,16	0,20	208,94	0,00045
4	4,54	15,71	18,85	136,14	-137,83	-68,81	0,00	0,20	0,00	0,00000
5	5,90	31,42	12,57	145,78	-135,59	153,15	0,03	0,20	82,69	0,00023

Verifica fessurazione traverso [Combinazione n° 23 - SLE (Quasi Permanente) - Sisma Vert. positivo]

N°	X	A _{fi}	A _{fs}	M _p	M _n	M	w	W _{lim}	S _m	e _{sm}
1	0,30	18,85	34,56	140,25	-148,76	-129,63	0,00	0,20	0,00	0,00000
2	1,70	25,13	18,85	142,46	-139,06	64,03	0,00	0,20	0,00	0,00000
3	3,10	18,85	18,85	138,25	-138,25	127,07	0,00	0,20	0,00	0,00000
4	4,50	25,13	18,85	142,46	-139,06	60,59	0,00	0,20	0,00	0,00000
5	5,90	18,85	34,56	140,25	-148,76	-136,52	0,00	0,20	0,00	0,00000

Verifica fessurazione piedritto sinistro [Combinazione n° 23 - SLE (Quasi Permanente) - Sisma Vert. positivo]

N°	X	A _{fi}	A _{fs}	M _p	M _n	M	w	W _{lim}	S _m	e _{sm}
1	0,30	18,85	18,85	138,25	-138,25	-156,07	0,08	0,20	142,63	0,00031
2	2,10	18,85	18,85	138,25	-138,25	-27,92	0,00	0,20	0,00	0,00000
3	3,90	18,85	18,85	138,25	-138,25	-129,63	0,00	0,20	0,00	0,00000

Verifica fessurazione piedritto destro [Combinazione n° 23 - SLE (Quasi Permanente) - Sisma Vert. positivo]

N°	X	A _{fi}	A _{fs}	M _p	M _n	M	w	W _{lim}	S _m	e _{sm}
1	0,30	18,85	18,85	138,25	-138,25	-153,15	0,07	0,20	142,63	0,00030
2	2,10	18,85	18,85	138,25	-138,25	-25,77	0,00	0,20	0,00	0,00000
3	3,90	18,85	18,85	138,25	-138,25	-136,52	0,00	0,20	0,00	0,00000

Verifica fessurazione fondazione [Combinazione n° 24 - SLE (Quasi Permanente) - Sisma Vert. negativo]

N°	X	A _{fi}	A _{fs}	M _p	M _n	M	w	W _{lim}	S _m	e _{sm}
1	0,30	31,42	12,57	145,78	-135,59	147,68	0,03	0,20	82,69	0,00022
2	1,66	15,71	18,85	136,14	-137,83	-59,75	0,00	0,20	0,00	0,00000
3	3,10	15,71	12,57	135,31	-133,62	-124,30	0,00	0,20	0,00	0,00000
4	4,54	15,71	18,85	136,14	-137,83	-63,09	0,00	0,20	0,00	0,00000
5	5,90	31,42	12,57	145,78	-135,59	144,57	0,00	0,20	0,00	0,00000

Verifica fessurazione traverso [Combinazione n° 24 - SLE (Quasi Permanente) - Sisma Vert. negativo]

N°	X	A _{fi}	A _{fs}	M _p	M _n	M	w	W _{lim}	S _m	e _{sm}
1	0,30	18,85	34,56	140,25	-148,76	-126,44	0,00	0,20	0,00	0,00000
2	1,70	25,13	18,85	142,46	-139,06	60,09	0,00	0,20	0,00	0,00000
3	3,10	18,85	18,85	138,25	-138,25	120,79	0,00	0,20	0,00	0,00000
4	4,50	25,13	18,85	142,46	-139,06	56,70	0,00	0,20	0,00	0,00000
5	5,90	18,85	34,56	140,25	-148,76	-133,25	0,00	0,20	0,00	0,00000

Verifica fessurazione piedritto sinistro [Combinazione n° 24 - SLE (Quasi Permanente) - Sisma Vert. negativo]

N°	X	A _{fi}	A _{fs}	M _p	M _n	M	w	W _{lim}	S _m	e _{sm}
1	0,30	18,85	18,85	138,25	-138,25	-147,68	0,07	0,20	142,63	0,00030
2	2,10	18,85	18,85	138,25	-138,25	-22,13	0,00	0,20	0,00	0,00000
3	3,90	18,85	18,85	138,25	-138,25	-126,44	0,00	0,20	0,00	0,00000

Verifica fessurazione piedritto destro [Combinazione n° 24 - SLE (Quasi Permanente) - Sisma Vert. negativo]

N°	X	A _{fi}	A _{fs}	M _p	M _n	M	w	W _{lim}	S _m	e _{sm}
1	0,30	18,85	18,85	138,25	-138,25	-144,57	0,07	0,20	142,63	0,00029
2	2,10	18,85	18,85	138,25	-138,25	-20,20	0,00	0,20	0,00	0,00000
3	3,90	18,85	18,85	138,25	-138,25	-133,25	0,00	0,20	0,00	0,00000

Verifica fessurazione fondazione [Combinazione n° 25 - SLE (Quasi Permanente) - Sisma Vert. positivo]

N°	X	A _{fi}	A _{fs}	M _p	M _n	M	w	W _{lim}	S _m	e _{sm}
1	0,30	31,42	12,57	145,78	-135,59	153,15	0,03	0,20	82,69	0,00023
2	1,66	15,71	18,85	136,14	-137,83	-68,81	0,00	0,20	0,00	0,00000
3	3,10	15,71	12,57	135,31	-133,62	-134,27	0,16	0,20	208,94	0,00045
4	4,54	15,71	18,85	136,14	-137,83	-65,59	0,00	0,20	0,00	0,00000
5	5,90	31,42	12,57	145,78	-135,59	156,07	0,03	0,20	82,69	0,00024

Verifica fessurazione traverso [Combinazione n° 25 - SLE (Quasi Permanente) - Sisma Vert. positivo]

N°	X	A _{fi}	A _{fs}	M _p	M _n	M	w	W _{lim}	S _m	e _{sm}
1	0,30	18,85	34,56	140,25	-148,76	-136,52	0,00	0,20	0,00	0,00000
2	1,70	25,13	18,85	142,46	-139,06	60,59	0,00	0,20	0,00	0,00000
3	3,10	18,85	18,85	138,25	-138,25	127,07	0,00	0,20	0,00	0,00000
4	4,50	25,13	18,85	142,46	-139,06	64,03	0,00	0,20	0,00	0,00000
5	5,90	18,85	34,56	140,25	-148,76	-129,63	0,00	0,20	0,00	0,00000

Verifica fessurazione piedritto sinistro [Combinazione n° 25 - SLE (Quasi Permanente) - Sisma Vert. positivo]

N°	X	A _{fi}	A _{fs}	M _p	M _n	M	w	W _{lim}	S _m	e _{sm}
1	0,30	18,85	18,85	138,25	-138,25	-153,15	0,07	0,20	142,63	0,00030
2	2,10	18,85	18,85	138,25	-138,25	-25,77	0,00	0,20	0,00	0,00000
3	3,90	18,85	18,85	138,25	-138,25	-136,52	0,00	0,20	0,00	0,00000

Verifica fessurazione piedritto destro [Combinazione n° 25 - SLE (Quasi Permanente) - Sisma Vert. positivo]

N°	X	A _{fi}	A _{fs}	M _p	M _n	M	w	W _{lim}	S _m	e _{sm}
1	0,30	18,85	18,85	138,25	-138,25	-156,07	0,08	0,20	142,63	0,00031
2	2,10	18,85	18,85	138,25	-138,25	-27,92	0,00	0,20	0,00	0,00000
3	3,90	18,85	18,85	138,25	-138,25	-129,63	0,00	0,20	0,00	0,00000

Verifica fessurazione fondazione [Combinazione n° 26 - SLE (Quasi Permanente) - Sisma Vert. negativo]

N°	X	A _{fi}	A _{fs}	M _p	M _n	M	w	W _{lim}	S _m	E _{sm}
1	0,30	31,42	12,57	145,78	-135,59	144,57	0,00	0,20	0,00	0,00000
2	1,66	15,71	18,85	136,14	-137,83	-63,09	0,00	0,20	0,00	0,00000
3	3,10	15,71	12,57	135,31	-133,62	-124,30	0,00	0,20	0,00	0,00000
4	4,54	15,71	18,85	136,14	-137,83	-59,75	0,00	0,20	0,00	0,00000
5	5,90	31,42	12,57	145,78	-135,59	147,68	0,03	0,20	82,69	0,00022

Verifica fessurazione traverso [Combinazione n° 26 - SLE (Quasi Permanente) - Sisma Vert. negativo]

N°	X	A _{fi}	A _{fs}	M _p	M _n	M	w	W _{lim}	S _m	E _{sm}
1	0,30	18,85	34,56	140,25	-148,76	-133,25	0,00	0,20	0,00	0,00000
2	1,70	25,13	18,85	142,46	-139,06	56,70	0,00	0,20	0,00	0,00000
3	3,10	18,85	18,85	138,25	-138,25	120,79	0,00	0,20	0,00	0,00000
4	4,50	25,13	18,85	142,46	-139,06	60,09	0,00	0,20	0,00	0,00000
5	5,90	18,85	34,56	140,25	-148,76	-126,44	0,00	0,20	0,00	0,00000

Verifica fessurazione piedritto sinistro [Combinazione n° 26 - SLE (Quasi Permanente) - Sisma Vert. negativo]

N°	X	A _{fi}	A _{fs}	M _p	M _n	M	w	W _{lim}	S _m	E _{sm}
1	0,30	18,85	18,85	138,25	-138,25	-144,57	0,07	0,20	142,63	0,00029
2	2,10	18,85	18,85	138,25	-138,25	-20,20	0,00	0,20	0,00	0,00000
3	3,90	18,85	18,85	138,25	-138,25	-133,25	0,00	0,20	0,00	0,00000

Verifica fessurazione piedritto destro [Combinazione n° 26 - SLE (Quasi Permanente) - Sisma Vert. negativo]

N°	X	A _{fi}	A _{fs}	M _p	M _n	M	w	W _{lim}	S _m	E _{sm}
1	0,30	18,85	18,85	138,25	-138,25	-147,68	0,07	0,20	142,63	0,00030
2	2,10	18,85	18,85	138,25	-138,25	-22,13	0,00	0,20	0,00	0,00000
3	3,90	18,85	18,85	138,25	-138,25	-126,44	0,00	0,20	0,00	0,00000

Verifica fessurazione fondazione [Combinazione n° 27 - SLE (Frequente) - Sisma Vert. positivo]

N°	X	A _{fi}	A _{fs}	M _p	M _n	M	w	W _{lim}	S _m	E _{sm}
1	0,30	31,42	12,57	145,78	-135,59	156,07	0,03	0,30	82,69	0,00024
2	1,66	15,71	18,85	136,14	-137,83	-65,59	0,00	0,30	0,00	0,00000
3	3,10	15,71	12,57	135,31	-133,62	-134,27	0,16	0,30	208,94	0,00045
4	4,54	15,71	18,85	136,14	-137,83	-68,81	0,00	0,30	0,00	0,00000
5	5,90	31,42	12,57	145,78	-135,59	153,15	0,03	0,30	82,69	0,00023

Verifica fessurazione traverso [Combinazione n° 27 - SLE (Frequente) - Sisma Vert. positivo]

N°	X	A _{fi}	A _{fs}	M _p	M _n	M	w	W _{lim}	S _m	E _{sm}
1	0,30	18,85	34,56	140,25	-148,76	-129,63	0,00	0,30	0,00	0,00000
2	1,70	25,13	18,85	142,46	-139,06	64,03	0,00	0,30	0,00	0,00000
3	3,10	18,85	18,85	138,25	-138,25	127,07	0,00	0,30	0,00	0,00000
4	4,50	25,13	18,85	142,46	-139,06	60,59	0,00	0,30	0,00	0,00000
5	5,90	18,85	34,56	140,25	-148,76	-136,52	0,00	0,30	0,00	0,00000

Verifica fessurazione piedritto sinistro [Combinazione n° 27 - SLE (Frequente) - Sisma Vert. positivo]

N°	X	A _{fi}	A _{fs}	M _p	M _n	M	w	W _{lim}	S _m	e _{sm}
1	0,30	18,85	18,85	138,25	-138,25	-156,07	0,08	0,30	142,63	0,00031
2	2,10	18,85	18,85	138,25	-138,25	-27,92	0,00	0,30	0,00	0,00000
3	3,90	18,85	18,85	138,25	-138,25	-129,63	0,00	0,30	0,00	0,00000

Verifica fessurazione piedritto destro [Combinazione n° 27 - SLE (Frequente) - Sisma Vert. positivo]

N°	X	A _{fi}	A _{fs}	M _p	M _n	M	w	W _{lim}	S _m	e _{sm}
1	0,30	18,85	18,85	138,25	-138,25	-153,15	0,07	0,30	142,63	0,00030
2	2,10	18,85	18,85	138,25	-138,25	-25,77	0,00	0,30	0,00	0,00000
3	3,90	18,85	18,85	138,25	-138,25	-136,52	0,00	0,30	0,00	0,00000

Verifica fessurazione fondazione [Combinazione n° 28 - SLE (Frequente) - Sisma Vert. negativo]

N°	X	A _{fi}	A _{fs}	M _p	M _n	M	w	W _{lim}	S _m	e _{sm}
1	0,30	31,42	12,57	145,78	-135,59	147,68	0,03	0,30	82,69	0,00022
2	1,66	15,71	18,85	136,14	-137,83	-59,75	0,00	0,30	0,00	0,00000
3	3,10	15,71	12,57	135,31	-133,62	-124,30	0,00	0,30	0,00	0,00000
4	4,54	15,71	18,85	136,14	-137,83	-63,09	0,00	0,30	0,00	0,00000
5	5,90	31,42	12,57	145,78	-135,59	144,57	0,00	0,30	0,00	0,00000

Verifica fessurazione traverso [Combinazione n° 28 - SLE (Frequente) - Sisma Vert. negativo]

N°	X	A _{fi}	A _{fs}	M _p	M _n	M	w	W _{lim}	S _m	e _{sm}
1	0,30	18,85	34,56	140,25	-148,76	-126,44	0,00	0,30	0,00	0,00000
2	1,70	25,13	18,85	142,46	-139,06	60,09	0,00	0,30	0,00	0,00000
3	3,10	18,85	18,85	138,25	-138,25	120,79	0,00	0,30	0,00	0,00000
4	4,50	25,13	18,85	142,46	-139,06	56,70	0,00	0,30	0,00	0,00000
5	5,90	18,85	34,56	140,25	-148,76	-133,25	0,00	0,30	0,00	0,00000

Verifica fessurazione piedritto sinistro [Combinazione n° 28 - SLE (Frequente) - Sisma Vert. negativo]

N°	X	A _{fi}	A _{fs}	M _p	M _n	M	w	W _{lim}	S _m	e _{sm}
1	0,30	18,85	18,85	138,25	-138,25	-147,68	0,07	0,30	142,63	0,00030
2	2,10	18,85	18,85	138,25	-138,25	-22,13	0,00	0,30	0,00	0,00000
3	3,90	18,85	18,85	138,25	-138,25	-126,44	0,00	0,30	0,00	0,00000

Verifica fessurazione piedritto destro [Combinazione n° 28 - SLE (Frequente) - Sisma Vert. negativo]

N°	X	A _{fi}	A _{fs}	M _p	M _n	M	w	W _{lim}	S _m	e _{sm}
1	0,30	18,85	18,85	138,25	-138,25	-144,57	0,07	0,30	142,63	0,00029
2	2,10	18,85	18,85	138,25	-138,25	-20,20	0,00	0,30	0,00	0,00000
3	3,90	18,85	18,85	138,25	-138,25	-133,25	0,00	0,30	0,00	0,00000

Verifica fessurazione fondazione [Combinazione n° 29 - SLE (Frequente) - Sisma Vert. positivo]

N°	X	A _{fi}	A _{fs}	M _p	M _n	M	w	W _{lim}	S _m	e _{sm}
1	0,30	31,42	12,57	145,78	-135,59	153,15	0,03	0,30	82,69	0,00023
2	1,66	15,71	18,85	136,14	-137,83	-68,81	0,00	0,30	0,00	0,00000
3	3,10	15,71	12,57	135,31	-133,62	-134,27	0,16	0,30	208,94	0,00045

4	4,54	15,71	18,85	136,14	-137,83	-65,59	0,00	0,30	0,00	0,00000
5	5,90	31,42	12,57	145,78	-135,59	156,07	0,03	0,30	82,69	0,00024

Verifica fessurazione traverso [Combinazione n° 29 - SLE (Frequente) - Sisma Vert. positivo]

N°	X	A _{fi}	A _{fs}	M _p	M _n	M	w	W _{lim}	S _m	e _{sm}
1	0,30	18,85	34,56	140,25	-148,76	-136,52	0,00	0,30	0,00	0,00000
2	1,70	25,13	18,85	142,46	-139,06	60,59	0,00	0,30	0,00	0,00000
3	3,10	18,85	18,85	138,25	-138,25	127,07	0,00	0,30	0,00	0,00000
4	4,50	25,13	18,85	142,46	-139,06	64,03	0,00	0,30	0,00	0,00000
5	5,90	18,85	34,56	140,25	-148,76	-129,63	0,00	0,30	0,00	0,00000

Verifica fessurazione piedritto sinistro [Combinazione n° 29 - SLE (Frequente) - Sisma Vert. positivo]

N°	X	A _{fi}	A _{fs}	M _p	M _n	M	w	W _{lim}	S _m	e _{sm}
1	0,30	18,85	18,85	138,25	-138,25	-153,15	0,07	0,30	142,63	0,00030
2	2,10	18,85	18,85	138,25	-138,25	-25,77	0,00	0,30	0,00	0,00000
3	3,90	18,85	18,85	138,25	-138,25	-136,52	0,00	0,30	0,00	0,00000

Verifica fessurazione piedritto destro [Combinazione n° 29 - SLE (Frequente) - Sisma Vert. positivo]

N°	X	A _{fi}	A _{fs}	M _p	M _n	M	w	W _{lim}	S _m	e _{sm}
1	0,30	18,85	18,85	138,25	-138,25	-156,07	0,08	0,30	142,63	0,00031
2	2,10	18,85	18,85	138,25	-138,25	-27,92	0,00	0,30	0,00	0,00000
3	3,90	18,85	18,85	138,25	-138,25	-129,63	0,00	0,30	0,00	0,00000

Verifica fessurazione fondazione [Combinazione n° 30 - SLE (Frequente) - Sisma Vert. negativo]

N°	X	A _{fi}	A _{fs}	M _p	M _n	M	w	W _{lim}	S _m	e _{sm}
1	0,30	31,42	12,57	145,78	-135,59	144,57	0,00	0,30	0,00	0,00000
2	1,66	15,71	18,85	136,14	-137,83	-63,09	0,00	0,30	0,00	0,00000
3	3,10	15,71	12,57	135,31	-133,62	-124,30	0,00	0,30	0,00	0,00000
4	4,54	15,71	18,85	136,14	-137,83	-59,75	0,00	0,30	0,00	0,00000
5	5,90	31,42	12,57	145,78	-135,59	147,68	0,03	0,30	82,69	0,00022

Verifica fessurazione traverso [Combinazione n° 30 - SLE (Frequente) - Sisma Vert. negativo]

N°	X	A _{fi}	A _{fs}	M _p	M _n	M	w	W _{lim}	S _m	e _{sm}
1	0,30	18,85	34,56	140,25	-148,76	-133,25	0,00	0,30	0,00	0,00000
2	1,70	25,13	18,85	142,46	-139,06	56,70	0,00	0,30	0,00	0,00000
3	3,10	18,85	18,85	138,25	-138,25	120,79	0,00	0,30	0,00	0,00000
4	4,50	25,13	18,85	142,46	-139,06	60,09	0,00	0,30	0,00	0,00000
5	5,90	18,85	34,56	140,25	-148,76	-126,44	0,00	0,30	0,00	0,00000

Verifica fessurazione piedritto sinistro [Combinazione n° 30 - SLE (Frequente) - Sisma Vert. negativo]

N°	X	A _{fi}	A _{fs}	M _p	M _n	M	w	W _{lim}	S _m	e _{sm}
1	0,30	18,85	18,85	138,25	-138,25	-144,57	0,07	0,30	142,63	0,00029
2	2,10	18,85	18,85	138,25	-138,25	-20,20	0,00	0,30	0,00	0,00000
3	3,90	18,85	18,85	138,25	-138,25	-133,25	0,00	0,30	0,00	0,00000

Verifica fessurazione piedritto destro [Combinazione n° 30 - SLE (Frequente) - Sisma Vert. negativo]

N°	X	A _{fi}	A _{fs}	M _p	M _n	M	w	W _{lim}	S _m	ε _{sm}
1	0,30	18,85	18,85	138,25	-138,25	-147,68	0,07	0,30	142,63	0,00030
2	2,10	18,85	18,85	138,25	-138,25	-22,13	0,00	0,30	0,00	0,00000
3	3,90	18,85	18,85	138,25	-138,25	-126,44	0,00	0,30	0,00	0,00000

Verifica fessurazione fondazione [Combinazione n° 31 - SLE (Rara) - Sisma Vert. positivo]

N°	X	A _{fi}	A _{fs}	M _p	M _n	M	w	W _{lim}	S _m	ε _{sm}
1	0,30	31,42	12,57	145,78	-135,59	156,07	0,03	100,00	82,69	0,00024
2	1,66	15,71	18,85	136,14	-137,83	-65,59	0,00	100,00	0,00	0,00000
3	3,10	15,71	12,57	135,31	-133,62	-134,27	0,16	100,00	208,94	0,00045
4	4,54	15,71	18,85	136,14	-137,83	-68,81	0,00	100,00	0,00	0,00000
5	5,90	31,42	12,57	145,78	-135,59	153,15	0,03	100,00	82,69	0,00023

Verifica fessurazione traverso [Combinazione n° 31 - SLE (Rara) - Sisma Vert. positivo]

N°	X	A _{fi}	A _{fs}	M _p	M _n	M	w	W _{lim}	S _m	ε _{sm}
1	0,30	18,85	34,56	140,25	-148,76	-129,63	0,00	100,00	0,00	0,00000
2	1,70	25,13	18,85	142,46	-139,06	64,03	0,00	100,00	0,00	0,00000
3	3,10	18,85	18,85	138,25	-138,25	127,07	0,00	100,00	0,00	0,00000
4	4,50	25,13	18,85	142,46	-139,06	60,59	0,00	100,00	0,00	0,00000
5	5,90	18,85	34,56	140,25	-148,76	-136,52	0,00	100,00	0,00	0,00000

Verifica fessurazione piedritto sinistro [Combinazione n° 31 - SLE (Rara) - Sisma Vert. positivo]

N°	X	A _{fi}	A _{fs}	M _p	M _n	M	w	W _{lim}	S _m	ε _{sm}
1	0,30	18,85	18,85	138,25	-138,25	-156,07	0,08	100,00	142,63	0,00031
2	2,10	18,85	18,85	138,25	-138,25	-27,92	0,00	100,00	0,00	0,00000
3	3,90	18,85	18,85	138,25	-138,25	-129,63	0,00	100,00	0,00	0,00000

Verifica fessurazione piedritto destro [Combinazione n° 31 - SLE (Rara) - Sisma Vert. positivo]

N°	X	A _{fi}	A _{fs}	M _p	M _n	M	w	W _{lim}	S _m	ε _{sm}
1	0,30	18,85	18,85	138,25	-138,25	-153,15	0,07	100,00	142,63	0,00030
2	2,10	18,85	18,85	138,25	-138,25	-25,77	0,00	100,00	0,00	0,00000
3	3,90	18,85	18,85	138,25	-138,25	-136,52	0,00	100,00	0,00	0,00000

Verifica fessurazione fondazione [Combinazione n° 32 - SLE (Rara) - Sisma Vert. negativo]

N°	X	A _{fi}	A _{fs}	M _p	M _n	M	w	W _{lim}	S _m	ε _{sm}
1	0,30	31,42	12,57	145,78	-135,59	147,68	0,03	100,00	82,69	0,00022
2	1,66	15,71	18,85	136,14	-137,83	-59,75	0,00	100,00	0,00	0,00000
3	3,10	15,71	12,57	135,31	-133,62	-124,30	0,00	100,00	0,00	0,00000
4	4,54	15,71	18,85	136,14	-137,83	-63,09	0,00	100,00	0,00	0,00000
5	5,90	31,42	12,57	145,78	-135,59	144,57	0,00	100,00	0,00	0,00000

Verifica fessurazione traverso [Combinazione n° 32 - SLE (Rara) - Sisma Vert. negativo]

N°	X	A _{fi}	A _{fs}	M _p	M _n	M	w	W _{lim}	S _m	E _{sm}
1	0,30	18,85	34,56	140,25	-148,76	-126,44	0,00	100,00	0,00	0,00000
2	1,70	25,13	18,85	142,46	-139,06	60,09	0,00	100,00	0,00	0,00000
3	3,10	18,85	18,85	138,25	-138,25	120,79	0,00	100,00	0,00	0,00000
4	4,50	25,13	18,85	142,46	-139,06	56,70	0,00	100,00	0,00	0,00000
5	5,90	18,85	34,56	140,25	-148,76	-133,25	0,00	100,00	0,00	0,00000

Verifica fessurazione piedritto sinistro [Combinazione n° 32 - SLE (Rara) - Sisma Vert. negativo]

N°	X	A _{fi}	A _{fs}	M _p	M _n	M	w	W _{lim}	S _m	E _{sm}
1	0,30	18,85	18,85	138,25	-138,25	-147,68	0,07	100,00	142,63	0,00030
2	2,10	18,85	18,85	138,25	-138,25	-22,13	0,00	100,00	0,00	0,00000
3	3,90	18,85	18,85	138,25	-138,25	-126,44	0,00	100,00	0,00	0,00000

Verifica fessurazione piedritto destro [Combinazione n° 32 - SLE (Rara) - Sisma Vert. negativo]

N°	X	A _{fi}	A _{fs}	M _p	M _n	M	w	W _{lim}	S _m	E _{sm}
1	0,30	18,85	18,85	138,25	-138,25	-144,57	0,07	100,00	142,63	0,00029
2	2,10	18,85	18,85	138,25	-138,25	-20,20	0,00	100,00	0,00	0,00000
3	3,90	18,85	18,85	138,25	-138,25	-133,25	0,00	100,00	0,00	0,00000

Verifica fessurazione fondazione [Combinazione n° 33 - SLE (Rara) - Sisma Vert. positivo]

N°	X	A _{fi}	A _{fs}	M _p	M _n	M	w	W _{lim}	S _m	E _{sm}
1	0,30	31,42	12,57	145,78	-135,59	153,15	0,03	100,00	82,69	0,00023
2	1,66	15,71	18,85	136,14	-137,83	-68,81	0,00	100,00	0,00	0,00000
3	3,10	15,71	12,57	135,31	-133,62	-134,27	0,16	100,00	208,94	0,00045
4	4,54	15,71	18,85	136,14	-137,83	-65,59	0,00	100,00	0,00	0,00000
5	5,90	31,42	12,57	145,78	-135,59	156,07	0,03	100,00	82,69	0,00024

Verifica fessurazione traverso [Combinazione n° 33 - SLE (Rara) - Sisma Vert. positivo]

N°	X	A _{fi}	A _{fs}	M _p	M _n	M	w	W _{lim}	S _m	E _{sm}
1	0,30	18,85	34,56	140,25	-148,76	-136,52	0,00	100,00	0,00	0,00000
2	1,70	25,13	18,85	142,46	-139,06	60,59	0,00	100,00	0,00	0,00000
3	3,10	18,85	18,85	138,25	-138,25	127,07	0,00	100,00	0,00	0,00000
4	4,50	25,13	18,85	142,46	-139,06	64,03	0,00	100,00	0,00	0,00000
5	5,90	18,85	34,56	140,25	-148,76	-129,63	0,00	100,00	0,00	0,00000

Verifica fessurazione piedritto sinistro [Combinazione n° 33 - SLE (Rara) - Sisma Vert. positivo]

N°	X	A _{fi}	A _{fs}	M _p	M _n	M	w	W _{lim}	S _m	E _{sm}
1	0,30	18,85	18,85	138,25	-138,25	-153,15	0,07	100,00	142,63	0,00030
2	2,10	18,85	18,85	138,25	-138,25	-25,77	0,00	100,00	0,00	0,00000
3	3,90	18,85	18,85	138,25	-138,25	-136,52	0,00	100,00	0,00	0,00000

Verifica fessurazione piedritto destro [Combinazione n° 33 - SLE (Rara) - Sisma Vert. positivo]

N°	X	A _{fi}	A _{fs}	M _p	M _n	M	w	W _{lim}	S _m	E _{sm}
1	0,30	18,85	18,85	138,25	-138,25	-156,07	0,08	100,00	142,63	0,00031
2	2,10	18,85	18,85	138,25	-138,25	-27,92	0,00	100,00	0,00	0,00000
3	3,90	18,85	18,85	138,25	-138,25	-129,63	0,00	100,00	0,00	0,00000

Verifica fessurazione fondazione [Combinazione n° 34 - SLE (Rara) - Sisma Vert. negativo]

N°	X	A _{fi}	A _{fs}	M _p	M _n	M	w	W _{lim}	S _m	E _{sm}
1	0,30	31,42	12,57	145,78	-135,59	144,57	0,00	100,00	0,00	0,00000
2	1,66	15,71	18,85	136,14	-137,83	-63,09	0,00	100,00	0,00	0,00000
3	3,10	15,71	12,57	135,31	-133,62	-124,30	0,00	100,00	0,00	0,00000
4	4,54	15,71	18,85	136,14	-137,83	-59,75	0,00	100,00	0,00	0,00000
5	5,90	31,42	12,57	145,78	-135,59	147,68	0,03	100,00	82,69	0,00022

Verifica fessurazione traverso [Combinazione n° 34 - SLE (Rara) - Sisma Vert. negativo]

N°	X	A _{fi}	A _{fs}	M _p	M _n	M	w	W _{lim}	S _m	E _{sm}
1	0,30	18,85	34,56	140,25	-148,76	-133,25	0,00	100,00	0,00	0,00000
2	1,70	25,13	18,85	142,46	-139,06	56,70	0,00	100,00	0,00	0,00000
3	3,10	18,85	18,85	138,25	-138,25	120,79	0,00	100,00	0,00	0,00000
4	4,50	25,13	18,85	142,46	-139,06	60,09	0,00	100,00	0,00	0,00000
5	5,90	18,85	34,56	140,25	-148,76	-126,44	0,00	100,00	0,00	0,00000

Verifica fessurazione piedritto sinistro [Combinazione n° 34 - SLE (Rara) - Sisma Vert. negativo]

N°	X	A _{fi}	A _{fs}	M _p	M _n	M	w	W _{lim}	S _m	E _{sm}
1	0,30	18,85	18,85	138,25	-138,25	-144,57	0,07	100,00	142,63	0,00029
2	2,10	18,85	18,85	138,25	-138,25	-20,20	0,00	100,00	0,00	0,00000
3	3,90	18,85	18,85	138,25	-138,25	-133,25	0,00	100,00	0,00	0,00000

Verifica fessurazione piedritto destro [Combinazione n° 34 - SLE (Rara) - Sisma Vert. negativo]

N°	X	A _{fi}	A _{fs}	M _p	M _n	M	w	W _{lim}	S _m	E _{sm}
1	0,30	18,85	18,85	138,25	-138,25	-147,68	0,07	100,00	142,63	0,00030
2	2,10	18,85	18,85	138,25	-138,25	-22,13	0,00	100,00	0,00	0,00000
3	3,90	18,85	18,85	138,25	-138,25	-126,44	0,00	100,00	0,00	0,00000

Inviluppo spostamenti nodali**Inviluppo spostamenti fondazione**

X [m]	u _{Xmin} [cm]	u _{Xmax} [cm]	u _{Ymin} [cm]	u _{Ymax} [cm]
0,30	-0,1407	0,1464	0,0834	0,2528
1,66	-0,1421	0,1451	0,0587	0,1684
3,10	-0,1436	0,1436	0,0435	0,1208
4,54	-0,1451	0,1421	0,0587	0,1684
5,83	-0,1464	0,1407	0,0834	0,2528

Inviluppo spostamenti traverso

X [m]	u _{Xmin} [cm]	u _{Xmax} [cm]	u _{Ymin} [cm]	u _{Ymax} [cm]
0,30	-0,1574	0,1628	0,0869	0,2615
1,70	-0,1588	0,1615	0,1169	0,3477
3,10	-0,1602	0,1602	0,1346	0,3953
4,50	-0,1615	0,1588	0,1169	0,3477
5,90	-0,1628	0,1574	0,0869	0,2615

Inviluppo spostamenti piedritto sinistro

Y [m]	u _{Xmin} [cm]	u _{Xmax} [cm]	u _{Ymin} [cm]	u _{Ymax} [cm]
0,30	-0,1407	0,1464	0,0834	0,2528
2,10	-0,1520	0,1538	0,0852	0,2573
3,90	-0,1574	0,1628	0,0869	0,2615

Inviluppo spostamenti piedritto destro

Y [m]	u _{Xmin} [cm]	u _{Xmax} [cm]	u _{Ymin} [cm]	u _{Ymax} [cm]
0,30	-0,1464	0,1407	0,0834	0,2528
2,10	-0,1538	0,1520	0,0852	0,2573
3,90	-0,1628	0,1574	0,0869	0,2615

Inviluppo sollecitazioni nodali**Inviluppo sollecitazioni fondazione**

X [m]	M _{min} [kNm]	M _{max} [kNm]	V _{min} [kN]	V _{max} [kN]	N _{min} [kN]	N _{max} [kN]
0,30	-325,43	-141,65	-504,45	-205,63	111,06	298,61
1,66	36,76	145,80	-199,93	-84,23	111,06	298,61
3,10	106,74	287,60	-1,75	9,06	111,06	298,61
4,54	36,76	145,80	91,24	215,67	111,06	298,61
5,90	-325,43	-141,65	205,63	504,45	111,06	298,61

Inviluppo sollecitazioni traverso

X [m]	M _{min} [kNm]	M _{max} [kNm]	V _{min} [kN]	V _{max} [kN]	N _{min} [kN]	N _{max} [kN]
0,30	-329,65	-123,97	166,42	444,91	82,55	278,77
1,70	35,71	155,20	81,73	237,68	82,55	278,77
3,10	98,26	317,85	-12,93	12,93	82,55	278,77
4,50	35,71	155,20	-237,68	-81,73	82,55	278,77
5,90	-329,65	-123,97	-444,91	-166,42	82,55	278,77

Inviluppo sollecitazioni piedritto sinistro

Y [m]	M _{min} [kNm]	M _{max} [kNm]	V _{min} [kN]	V _{max} [kN]	N _{min} [kN]	N _{max} [kN]
0,30	-325,43	-141,65	111,32	299,92	209,60	513,75
2,10	-73,59	26,45	-4,92	8,76	188,01	479,33
3,90	-329,65	-123,97	-278,77	-82,55	166,42	444,91

Inviluppo sollecitazioni piedritto destro

Y [m]	M _{min} [kNm]	M _{max} [kNm]	V _{min} [kN]	V _{max} [kN]	N _{min} [kN]	N _{max} [kN]
0,30	-325,43	-141,65	-299,92	-111,32	209,60	513,75
2,10	-73,59	26,45	-8,76	4,92	188,01	479,33
3,90	-329,65	-123,97	82,55	278,77	166,42	444,91

Inviluppo pressioni terreno**Inviluppo pressioni sul terreno di fondazione**

X [m]	Stmin [kg/cmq]	Stmax [kg/cmq]
0,30	0,83	2,53
1,66	0,59	1,68
3,10	0,44	1,21
4,54	0,59	1,68
5,90	0,83	2,53

Inviluppo verifiche stato limite ultimo (SLU)**Verifica sezioni fondazione (Inviluppo)**

Base sezione B = 100 cm
 Altezza sezione H = 60,00 cm

X	A _{fi}	A _{fs}	CS
0,30	31,42	12,57	2,45
1,66	15,71	18,85	2,23
3,10	15,71	12,57	1,22
4,54	15,71	18,85	2,14
5,90	31,42	12,57	2,45

X	V _{Rd}	V _{Rsd}	V _{Rcd}	A _{sw}
0,30	0,00	602,40	2318,22	6,28
1,66	0,00	301,20	2318,22	3,14
3,10	244,38	0,00	0,00	0,00
4,54	0,00	301,20	2318,22	3,14
5,90	0,00	602,40	2318,22	6,28

Verifica sezioni traverso (Inviluppo)

Base sezione B = 100 cm
 Altezza sezione H = 60,00 cm

X	A _{fi}	A _{fs}	CS
0,30	18,85	34,56	2,61

1,70	25,13	18,85	2,48
3,10	18,85	18,85	1,54
4,50	25,13	18,85	2,48
5,90	18,85	34,56	2,61

X	V _{Rd}	V _{Rsd}	V _{Rcd}	A _{sw}
0,30	0,00	602,40	2310,64	6,28
1,70	0,00	301,20	2310,64	3,14
3,10	251,35	0,00	0,00	0,00
4,50	0,00	301,20	2310,64	3,14
5,90	0,00	602,40	2310,64	6,28

Verifica sezioni piedritto sinistro (Inviluppo)

Base sezione B = 100 cm
Altezza sezione H = 60,00 cm

Y	A _{fi}	A _{fs}	CS
0,30	18,85	18,85	1,88
2,10	18,85	18,85	15,19
3,90	18,85	18,85	1,74

Y	V _{Rd}	V _{Rsd}	V _{Rcd}	A _{sw}
0,30	281,87	0,00	0,00	0,00
2,10	277,14	0,00	0,00	0,00
3,90	272,41	0,00	0,00	0,00

Verifica sezioni piedritto destro (Inviluppo)

Base sezione B = 100 cm
Altezza sezione H = 60,00 cm

Y	A _{fi}	A _{fs}	CS
0,30	18,85	18,85	1,88
2,10	18,85	18,85	15,19
3,90	18,85	18,85	1,74

Y	V _{Rd}	V _{Rsd}	V _{Rcd}	A _{sw}
0,30	281,87	0,00	0,00	0,00
2,10	277,14	0,00	0,00	0,00
3,90	272,41	0,00	0,00	0,00

Inviluppo verifiche stato limite esercizio (SLE)**Verifica sezioni fondazione (Inviluppo)**

Base sezione B = 100 cm
Altezza sezione H = 60,00 cm

X	A _{fi}	A _{fs}	S _c	S _{fi}	S _{fs}
0,30	31,42	12,57	53,16	1287,71	607,86
1,66	15,71	18,85	27,54	317,94	633,05

3,10	15,71	12,57	62,00	612,93	2557,08
4,54	15,71	18,85	27,54	317,94	633,05
5,90	31,42	12,57	53,16	1287,71	607,86

X	t _c	A _{sw}
0,30	-8,2	6,28
1,66	-3,3	3,14
3,10	0,1	0,00
4,54	3,5	3,14
5,90	8,2	6,28

Verifica sezioni traverso (Inviluppo)

Base sezione B = 100 cm

Altezza sezione H = 60,00 cm

X	A _{fi}	A _{fs}	S _c	S _{fi}	S _{fs}
0,30	18,85	34,56	49,48	565,67	1199,28
1,70	25,13	18,85	26,33	568,70	307,34
3,10	18,85	18,85	57,67	2009,42	603,75
4,50	25,13	18,85	26,33	568,70	307,34
5,90	18,85	34,56	49,48	565,67	1199,28

X	t _c	A _{sw}
0,30	7,2	6,28
1,70	3,8	3,14
3,10	-0,3	0,00
4,50	-3,8	3,14
5,90	-7,2	6,28

Verifica sezioni piedritto sinistro (Inviluppo)

Base sezione B = 100 cm

Altezza sezione H = 60,00 cm

Y	A _{fi}	A _{fs}	S _c	S _{fi}	S _{fs}
0,30	18,85	18,85	60,58	672,46	1690,46
2,10	18,85	18,85	12,36	168,10	78,85
3,90	18,85	18,85	60,67	661,18	1827,25

Y	t _c	A _{sw}
0,30	5,0	0,00
2,10	0,1	0,00
3,90	-4,5	0,00

Verifica sezioni piedritto destro (Inviluppo)

Base sezione B = 100 cm

Altezza sezione H = 60,00 cm

Y	A _{fi}	A _{fs}	S _c	S _{fi}	S _{fs}
0,30	18,85	18,85	60,58	672,46	1690,46
2,10	18,85	18,85	12,36	168,10	78,85

3,90	18,85	18,85	60,67	661,18	1827,25
------	-------	-------	-------	--------	---------

Y	tc	A_{sw}
0,30	-5,0	0,00
2,10	-0,1	0,00
3,90	4,5	0,00

Verifiche geotecniche*Simbologia adottata**IC* Indice della combinazione*N_c, N_q, N_g* Fattori di capacità portante*N_c, N_q, N_g* Fattori di capacità portante corretti per effetto forma, inclinazione del carico, affondamento, etc.*q_u* Portanza ultima del terreno, espressa in [kg/cmq]*Q_U* Portanza ultima del terreno, espressa in [kN]/m*Q_Y* Carico verticale al piano di posa, espressa in [kN]/m*FS* Fattore di sicurezza a carico limite

IC	N_c	N_q	N_g	N'_c	N'_q	N'_g	q_u	Q_U	Q_Y	FS
1	50,59	37,75	40,05	70,82	47,07	40,05	435,97	265077,00	720,79	367,76
2	50,59	37,75	40,05	70,82	47,07	40,05	402,83	244931,52	900,70	271,93
3	50,59	37,75	40,05	70,57	46,91	39,86	397,47	241672,04	937,03	257,91
4	50,59	37,75	40,05	70,82	47,07	40,05	402,83	244931,52	944,74	259,26
5	50,59	37,75	40,05	70,57	46,91	39,86	397,47	241672,04	937,03	257,91
6	50,59	37,75	40,05	50,58	33,97	25,22	304,57	185182,32	591,50	313,07
7	50,59	37,75	40,05	49,83	33,49	24,70	298,97	181778,35	491,58	369,78
8	50,59	37,75	40,05	53,47	35,85	27,24	298,08	181239,86	441,52	410,49
9	50,59	37,75	40,05	52,76	35,39	26,73	292,46	177823,19	341,60	520,56
10	50,59	37,75	40,05	50,58	33,97	25,22	304,57	185182,32	591,50	313,07
11	50,59	37,75	40,05	49,83	33,49	24,70	298,97	181778,35	491,58	369,78
12	50,59	37,75	40,05	53,47	35,85	27,24	298,08	181239,86	441,52	410,49
13	50,59	37,75	40,05	52,76	35,39	26,73	292,46	177823,19	341,60	520,56

Schema StrutturaleArea ed Inerzia elementi

Destinazione	Area [cmq]	Inerzia [cm⁴]
Fondazione	6000,00	1800000,00
Piedritto sinistro	6000,00	1800000,00
Piedritto destro	6000,00	1800000,00
Traverso	6000,00	1800000,00

Simbologia adottata ed unità di misura

N	indice elemento
N_i	indice nodo iniziale elemento
N_j	indice nodo finale elemento
(X_i, Y_i)	coordinate nodo iniziale, espresse in cm
(X_j, Y_j)	coordinate nodo finale, espresse in cm
$Dest$	appartenenza elemento

N	N_i	N_j	X_i	Y_i	X_j	Y_j	$Dest$
1	1	2	30,00	30,00	37,50	30,00	Fond
2	2	3	37,50	30,00	45,00	30,00	Fond
3	3	4	45,00	30,00	52,50	30,00	Fond
4	4	5	52,50	30,00	60,00	30,00	Fond
5	5	6	60,00	30,00	69,62	30,00	Fond
6	6	7	69,62	30,00	79,23	30,00	Fond
7	7	8	79,23	30,00	88,85	30,00	Fond
8	8	9	88,85	30,00	98,46	30,00	Fond
9	9	10	98,46	30,00	108,08	30,00	Fond
10	10	11	108,08	30,00	117,69	30,00	Fond
11	11	12	117,69	30,00	127,31	30,00	Fond
12	12	13	127,31	30,00	136,92	30,00	Fond
13	13	14	136,92	30,00	146,54	30,00	Fond
14	14	15	146,54	30,00	156,15	30,00	Fond
15	15	16	156,15	30,00	165,77	30,00	Fond
16	16	17	165,77	30,00	175,38	30,00	Fond
17	17	18	175,38	30,00	185,00	30,00	Fond
18	18	19	185,00	30,00	194,62	30,00	Fond
19	19	20	194,62	30,00	204,23	30,00	Fond
20	20	21	204,23	30,00	213,85	30,00	Fond
21	21	22	213,85	30,00	223,46	30,00	Fond
22	22	23	223,46	30,00	233,08	30,00	Fond
23	23	24	233,08	30,00	242,69	30,00	Fond
24	24	25	242,69	30,00	252,31	30,00	Fond
25	25	26	252,31	30,00	261,92	30,00	Fond
26	26	27	261,92	30,00	271,54	30,00	Fond
27	27	28	271,54	30,00	281,15	30,00	Fond
28	28	29	281,15	30,00	290,77	30,00	Fond
29	29	30	290,77	30,00	300,38	30,00	Fond
30	30	31	300,38	30,00	310,00	30,00	Fond
31	31	32	310,00	30,00	319,62	30,00	Fond
32	32	33	319,62	30,00	329,23	30,00	Fond
33	33	34	329,23	30,00	338,85	30,00	Fond
34	34	35	338,85	30,00	348,46	30,00	Fond
35	35	36	348,46	30,00	358,08	30,00	Fond
36	36	37	358,08	30,00	367,69	30,00	Fond
37	37	38	367,69	30,00	377,31	30,00	Fond
38	38	39	377,31	30,00	386,92	30,00	Fond
39	39	40	386,92	30,00	396,54	30,00	Fond
40	40	41	396,54	30,00	406,15	30,00	Fond

41	41	42	406,15	30,00	415,77	30,00	Fond
42	42	43	415,77	30,00	425,38	30,00	Fond
43	43	44	425,38	30,00	435,00	30,00	Fond
44	44	45	435,00	30,00	444,62	30,00	Fond
45	45	46	444,62	30,00	454,23	30,00	Fond
46	46	47	454,23	30,00	463,85	30,00	Fond
47	47	48	463,85	30,00	473,46	30,00	Fond
48	48	49	473,46	30,00	483,08	30,00	Fond
49	49	50	483,08	30,00	492,69	30,00	Fond
50	50	51	492,69	30,00	502,31	30,00	Fond
51	51	52	502,31	30,00	511,92	30,00	Fond
52	52	53	511,92	30,00	521,54	30,00	Fond
53	53	54	521,54	30,00	531,15	30,00	Fond
54	54	55	531,15	30,00	540,77	30,00	Fond
55	55	56	540,77	30,00	550,38	30,00	Fond
56	56	57	550,38	30,00	560,00	30,00	Fond
57	57	58	560,00	30,00	567,50	30,00	Fond
58	58	59	567,50	30,00	575,00	30,00	Fond
59	59	60	575,00	30,00	582,50	30,00	Fond
60	60	61	582,50	30,00	590,00	30,00	Fond
61	1	125	30,00	30,00	30,00	37,50	PiedL
62	125	126	30,00	37,50	30,00	45,00	PiedL
63	126	127	30,00	45,00	30,00	52,50	PiedL
64	127	128	30,00	52,50	30,00	60,00	PiedL
65	128	129	30,00	60,00	30,00	69,38	PiedL
66	129	130	30,00	69,38	30,00	78,75	PiedL
67	130	131	30,00	78,75	30,00	88,13	PiedL
68	131	132	30,00	88,13	30,00	97,50	PiedL
69	132	133	30,00	97,50	30,00	106,88	PiedL
70	133	134	30,00	106,88	30,00	116,25	PiedL
71	134	135	30,00	116,25	30,00	125,63	PiedL
72	135	136	30,00	125,63	30,00	135,00	PiedL
73	136	137	30,00	135,00	30,00	144,38	PiedL
74	137	138	30,00	144,38	30,00	153,75	PiedL
75	138	139	30,00	153,75	30,00	163,13	PiedL
76	139	140	30,00	163,13	30,00	172,50	PiedL
77	140	141	30,00	172,50	30,00	181,88	PiedL
78	141	142	30,00	181,88	30,00	191,25	PiedL
79	142	143	30,00	191,25	30,00	200,63	PiedL
80	143	144	30,00	200,63	30,00	210,00	PiedL
81	144	145	30,00	210,00	30,00	218,89	PiedL
82	145	146	30,00	218,89	30,00	227,78	PiedL
83	146	147	30,00	227,78	30,00	236,67	PiedL
84	147	148	30,00	236,67	30,00	245,56	PiedL
85	148	149	30,00	245,56	30,00	254,44	PiedL
86	149	150	30,00	254,44	30,00	263,33	PiedL
87	150	151	30,00	263,33	30,00	272,22	PiedL
88	151	152	30,00	272,22	30,00	281,11	PiedL
89	152	153	30,00	281,11	30,00	290,00	PiedL
90	153	154	30,00	290,00	30,00	299,09	PiedL
91	154	155	30,00	299,09	30,00	308,18	PiedL
92	155	156	30,00	308,18	30,00	317,27	PiedL
93	156	157	30,00	317,27	30,00	326,36	PiedL
94	157	158	30,00	326,36	30,00	335,45	PiedL
95	158	159	30,00	335,45	30,00	344,55	PiedL
96	159	160	30,00	344,55	30,00	353,64	PiedL
97	160	161	30,00	353,64	30,00	362,73	PiedL
98	161	162	30,00	362,73	30,00	371,82	PiedL
99	162	163	30,00	371,82	30,00	380,91	PiedL
100	163	281	30,00	380,91	30,00	390,00	PiedL
101	61	203	590,00	30,00	590,00	37,50	PiedR
102	203	204	590,00	37,50	590,00	45,00	PiedR

103	204	205	590,00	45,00	590,00	52,50	PiedR
104	205	206	590,00	52,50	590,00	60,00	PiedR
105	206	207	590,00	60,00	590,00	69,38	PiedR
106	207	208	590,00	69,38	590,00	78,75	PiedR
107	208	209	590,00	78,75	590,00	88,13	PiedR
108	209	210	590,00	88,13	590,00	97,50	PiedR
109	210	211	590,00	97,50	590,00	106,88	PiedR
110	211	212	590,00	106,88	590,00	116,25	PiedR
111	212	213	590,00	116,25	590,00	125,63	PiedR
112	213	214	590,00	125,63	590,00	135,00	PiedR
113	214	215	590,00	135,00	590,00	144,38	PiedR
114	215	216	590,00	144,38	590,00	153,75	PiedR
115	216	217	590,00	153,75	590,00	163,13	PiedR
116	217	218	590,00	163,13	590,00	172,50	PiedR
117	218	219	590,00	172,50	590,00	181,88	PiedR
118	219	220	590,00	181,88	590,00	191,25	PiedR
119	220	221	590,00	191,25	590,00	200,63	PiedR
120	221	222	590,00	200,63	590,00	210,00	PiedR
121	222	223	590,00	210,00	590,00	218,89	PiedR
122	223	224	590,00	218,89	590,00	227,78	PiedR
123	224	225	590,00	227,78	590,00	236,67	PiedR
124	225	226	590,00	236,67	590,00	245,56	PiedR
125	226	227	590,00	245,56	590,00	254,44	PiedR
126	227	228	590,00	254,44	590,00	263,33	PiedR
127	228	229	590,00	263,33	590,00	272,22	PiedR
128	229	230	590,00	272,22	590,00	281,11	PiedR
129	230	231	590,00	281,11	590,00	290,00	PiedR
130	231	232	590,00	290,00	590,00	299,09	PiedR
131	232	233	590,00	299,09	590,00	308,18	PiedR
132	233	234	590,00	308,18	590,00	317,27	PiedR
133	234	235	590,00	317,27	590,00	326,36	PiedR
134	235	236	590,00	326,36	590,00	335,45	PiedR
135	236	237	590,00	335,45	590,00	344,55	PiedR
136	237	238	590,00	344,55	590,00	353,64	PiedR
137	238	239	590,00	353,64	590,00	362,73	PiedR
138	239	240	590,00	362,73	590,00	371,82	PiedR
139	240	241	590,00	371,82	590,00	380,91	PiedR
140	241	313	590,00	380,91	590,00	390,00	PiedR
141	281	282	30,00	390,00	45,00	390,00	Trav
142	282	283	45,00	390,00	60,00	390,00	Trav
143	283	284	60,00	390,00	78,63	390,00	Trav
144	284	285	78,63	390,00	97,26	390,00	Trav
145	285	286	97,26	390,00	115,90	390,00	Trav
146	286	287	115,90	390,00	134,53	390,00	Trav
147	287	288	134,53	390,00	152,41	390,00	Trav
148	288	289	152,41	390,00	170,29	390,00	Trav
149	289	290	170,29	390,00	188,18	390,00	Trav
150	290	291	188,18	390,00	206,06	390,00	Trav
151	291	292	206,06	390,00	223,94	390,00	Trav
152	292	293	223,94	390,00	241,82	390,00	Trav
153	293	294	241,82	390,00	259,71	390,00	Trav
154	294	295	259,71	390,00	277,59	390,00	Trav
155	295	296	277,59	390,00	295,47	390,00	Trav
156	296	297	295,47	390,00	310,00	390,00	Trav
157	297	298	310,00	390,00	324,53	390,00	Trav
158	298	299	324,53	390,00	342,41	390,00	Trav
159	299	300	342,41	390,00	360,29	390,00	Trav
160	300	301	360,29	390,00	378,18	390,00	Trav
161	301	302	378,18	390,00	396,06	390,00	Trav
162	302	303	396,06	390,00	413,94	390,00	Trav
163	303	304	413,94	390,00	431,82	390,00	Trav
164	304	305	431,82	390,00	449,71	390,00	Trav

165	305	306	449,71	390,00	467,59	390,00	Trav
166	306	307	467,59	390,00	485,47	390,00	Trav
167	307	308	485,47	390,00	504,10	390,00	Trav
168	308	309	504,10	390,00	522,74	390,00	Trav
169	309	310	522,74	390,00	541,37	390,00	Trav
170	310	311	541,37	390,00	560,00	390,00	Trav
171	311	312	560,00	390,00	575,00	390,00	Trav
172	312	313	575,00	390,00	590,00	390,00	Trav
173	1	62	30,00	30,00	30,00	-70,00	MollaF
174	2	63	37,50	30,00	37,50	-70,00	MollaF
175	3	64	45,00	30,00	45,00	-70,00	MollaF
176	4	65	52,50	30,00	52,50	-70,00	MollaF
177	5	66	60,00	30,00	60,00	-70,00	MollaF
178	6	67	69,62	30,00	69,62	-70,00	MollaF
179	7	68	79,23	30,00	79,23	-70,00	MollaF
180	8	69	88,85	30,00	88,85	-70,00	MollaF
181	9	70	98,46	30,00	98,46	-70,00	MollaF
182	10	71	108,08	30,00	108,08	-70,00	MollaF
183	11	72	117,69	30,00	117,69	-70,00	MollaF
184	12	73	127,31	30,00	127,31	-70,00	MollaF
185	13	74	136,92	30,00	136,92	-70,00	MollaF
186	14	75	146,54	30,00	146,54	-70,00	MollaF
187	15	76	156,15	30,00	156,15	-70,00	MollaF
188	16	77	165,77	30,00	165,77	-70,00	MollaF
189	17	78	175,38	30,00	175,38	-70,00	MollaF
190	18	79	185,00	30,00	185,00	-70,00	MollaF
191	19	80	194,62	30,00	194,62	-70,00	MollaF
192	20	81	204,23	30,00	204,23	-70,00	MollaF
193	21	82	213,85	30,00	213,85	-70,00	MollaF
194	22	83	223,46	30,00	223,46	-70,00	MollaF
195	23	84	233,08	30,00	233,08	-70,00	MollaF
196	24	85	242,69	30,00	242,69	-70,00	MollaF
197	25	86	252,31	30,00	252,31	-70,00	MollaF
198	26	87	261,92	30,00	261,92	-70,00	MollaF
199	27	88	271,54	30,00	271,54	-70,00	MollaF
200	28	89	281,15	30,00	281,15	-70,00	MollaF
201	29	90	290,77	30,00	290,77	-70,00	MollaF
202	30	91	300,38	30,00	300,38	-70,00	MollaF
203	31	92	310,00	30,00	310,00	-70,00	MollaF
204	32	93	319,62	30,00	319,62	-70,00	MollaF
205	33	94	329,23	30,00	329,23	-70,00	MollaF
206	34	95	338,85	30,00	338,85	-70,00	MollaF
207	35	96	348,46	30,00	348,46	-70,00	MollaF
208	36	97	358,08	30,00	358,08	-70,00	MollaF
209	37	98	367,69	30,00	367,69	-70,00	MollaF
210	38	99	377,31	30,00	377,31	-70,00	MollaF
211	39	100	386,92	30,00	386,92	-70,00	MollaF
212	40	101	396,54	30,00	396,54	-70,00	MollaF
213	41	102	406,15	30,00	406,15	-70,00	MollaF
214	42	103	415,77	30,00	415,77	-70,00	MollaF
215	43	104	425,38	30,00	425,38	-70,00	MollaF
216	44	105	435,00	30,00	435,00	-70,00	MollaF
217	45	106	444,62	30,00	444,62	-70,00	MollaF
218	46	107	454,23	30,00	454,23	-70,00	MollaF
219	47	108	463,85	30,00	463,85	-70,00	MollaF
220	48	109	473,46	30,00	473,46	-70,00	MollaF
221	49	110	483,08	30,00	483,08	-70,00	MollaF
222	50	111	492,69	30,00	492,69	-70,00	MollaF
223	51	112	502,31	30,00	502,31	-70,00	MollaF
224	52	113	511,92	30,00	511,92	-70,00	MollaF
225	53	114	521,54	30,00	521,54	-70,00	MollaF
226	54	115	531,15	30,00	531,15	-70,00	MollaF

227	55	116	540,77	30,00	540,77	-70,00	MollaF
228	56	117	550,38	30,00	550,38	-70,00	MollaF
229	57	118	560,00	30,00	560,00	-70,00	MollaF
230	58	119	567,50	30,00	567,50	-70,00	MollaF
231	59	120	575,00	30,00	575,00	-70,00	MollaF
232	60	121	582,50	30,00	582,50	-70,00	MollaF
233	61	122	590,00	30,00	590,00	-70,00	MollaF
234	1	123	30,00	30,00	-70,00	30,00	MollaPL
235	125	164	30,00	37,50	-70,00	37,50	MollaPL
236	126	165	30,00	45,00	-70,00	45,00	MollaPL
237	127	166	30,00	52,50	-70,00	52,50	MollaPL
238	128	167	30,00	60,00	-70,00	60,00	MollaPL
239	129	168	30,00	69,38	-70,00	69,38	MollaPL
240	130	169	30,00	78,75	-70,00	78,75	MollaPL
241	131	170	30,00	88,13	-70,00	88,13	MollaPL
242	132	171	30,00	97,50	-70,00	97,50	MollaPL
243	133	172	30,00	106,88	-70,00	106,88	MollaPL
244	134	173	30,00	116,25	-70,00	116,25	MollaPL
245	135	174	30,00	125,63	-70,00	125,63	MollaPL
246	136	175	30,00	135,00	-70,00	135,00	MollaPL
247	137	176	30,00	144,38	-70,00	144,38	MollaPL
248	138	177	30,00	153,75	-70,00	153,75	MollaPL
249	139	178	30,00	163,13	-70,00	163,13	MollaPL
250	140	179	30,00	172,50	-70,00	172,50	MollaPL
251	141	180	30,00	181,88	-70,00	181,88	MollaPL
252	142	181	30,00	191,25	-70,00	191,25	MollaPL
253	143	182	30,00	200,63	-70,00	200,63	MollaPL
254	144	183	30,00	210,00	-70,00	210,00	MollaPL
255	145	184	30,00	218,89	-70,00	218,89	MollaPL
256	146	185	30,00	227,78	-70,00	227,78	MollaPL
257	147	186	30,00	236,67	-70,00	236,67	MollaPL
258	148	187	30,00	245,56	-70,00	245,56	MollaPL
259	149	188	30,00	254,44	-70,00	254,44	MollaPL
260	150	189	30,00	263,33	-70,00	263,33	MollaPL
261	151	190	30,00	272,22	-70,00	272,22	MollaPL
262	152	191	30,00	281,11	-70,00	281,11	MollaPL
263	153	192	30,00	290,00	-70,00	290,00	MollaPL
264	154	193	30,00	299,09	-70,00	299,09	MollaPL
265	155	194	30,00	308,18	-70,00	308,18	MollaPL
266	156	195	30,00	317,27	-70,00	317,27	MollaPL
267	157	196	30,00	326,36	-70,00	326,36	MollaPL
268	158	197	30,00	335,45	-70,00	335,45	MollaPL
269	159	198	30,00	344,55	-70,00	344,55	MollaPL
270	160	199	30,00	353,64	-70,00	353,64	MollaPL
271	161	200	30,00	362,73	-70,00	362,73	MollaPL
272	162	201	30,00	371,82	-70,00	371,82	MollaPL
273	163	202	30,00	380,91	-70,00	380,91	MollaPL
274	281	314	30,00	390,00	-70,00	390,00	MollaPL
275	61	124	590,00	30,00	690,00	30,00	MollaPR
276	203	242	590,00	37,50	690,00	37,50	MollaPR
277	204	243	590,00	45,00	690,00	45,00	MollaPR
278	205	244	590,00	52,50	690,00	52,50	MollaPR
279	206	245	590,00	60,00	690,00	60,00	MollaPR
280	207	246	590,00	69,38	690,00	69,38	MollaPR
281	208	247	590,00	78,75	690,00	78,75	MollaPR
282	209	248	590,00	88,13	690,00	88,13	MollaPR
283	210	249	590,00	97,50	690,00	97,50	MollaPR
284	211	250	590,00	106,88	690,00	106,88	MollaPR
285	212	251	590,00	116,25	690,00	116,25	MollaPR
286	213	252	590,00	125,63	690,00	125,63	MollaPR
287	214	253	590,00	135,00	690,00	135,00	MollaPR
288	215	254	590,00	144,38	690,00	144,38	MollaPR

289	216	255	590,00	153,75	690,00	153,75	MollaPR
290	217	256	590,00	163,13	690,00	163,13	MollaPR
291	218	257	590,00	172,50	690,00	172,50	MollaPR
292	219	258	590,00	181,88	690,00	181,88	MollaPR
293	220	259	590,00	191,25	690,00	191,25	MollaPR
294	221	260	590,00	200,63	690,00	200,63	MollaPR
295	222	261	590,00	210,00	690,00	210,00	MollaPR
296	223	262	590,00	218,89	690,00	218,89	MollaPR
297	224	263	590,00	227,78	690,00	227,78	MollaPR
298	225	264	590,00	236,67	690,00	236,67	MollaPR
299	226	265	590,00	245,56	690,00	245,56	MollaPR
300	227	266	590,00	254,44	690,00	254,44	MollaPR
301	228	267	590,00	263,33	690,00	263,33	MollaPR
302	229	268	590,00	272,22	690,00	272,22	MollaPR
303	230	269	590,00	281,11	690,00	281,11	MollaPR
304	231	270	590,00	290,00	690,00	290,00	MollaPR
305	232	271	590,00	299,09	690,00	299,09	MollaPR
306	233	272	590,00	308,18	690,00	308,18	MollaPR
307	234	273	590,00	317,27	690,00	317,27	MollaPR
308	235	274	590,00	326,36	690,00	326,36	MollaPR
309	236	275	590,00	335,45	690,00	335,45	MollaPR
310	237	276	590,00	344,55	690,00	344,55	MollaPR
311	238	277	590,00	353,64	690,00	353,64	MollaPR
312	239	278	590,00	362,73	690,00	362,73	MollaPR
313	240	279	590,00	371,82	690,00	371,82	MollaPR
314	241	280	590,00	380,91	690,00	380,91	MollaPR
315	313	315	590,00	390,00	690,00	390,00	MollaPR